

The left side of the book cover features a large, abstract geometric design. It consists of several overlapping shapes: a large semi-circle at the top left, a series of parallel diagonal stripes forming a chevron-like pattern below it, and a large triangle on the right side. The design is rendered in shades of gray and white.

I. CONSTANTIN
I. DIACONESCU

M. IVANCIOVICI
C-TIN ȘERBU

APLICAȚII ȘI PROBLEME DE RADIO ȘI TELEVIZIUNE

PREFAȚĂ

Lucrarea este destinată elevilor liceelor industriale și poate fi folosită de toți cei ce se pregătesc pentru a urma o facultate de profil electric; totodată, ea poate fi utilă muncitorilor și tehnicienilor care lucrează în domeniul electronicii și automaticii, care vor să aprofundeze cunoștințele fundamentale de specialitate. Cartea cuprinde probleme de interes teoretic și practic referitoare la elemente de circuit, circuite acordate, semnale modulate și o serie de blocuri funcționale utilizate în aparatura electronică, de radio și de televiziune.

Partea întâi a fiecărui capitol cuprinde breviarele de teorie și enunțurile problemelor, grupate în capitolele de bază ale radioelectronicii. S-a urmărit ca studierea breviarelor și rezolvarea problemelor să asigure atât sintetizarea, aprofundarea și fixarea temeinică a cunoștințelor teoretice, cât și formarea deprinderilor de lucru independent, a capacității de a aborda și a rezolva probleme care solicită ansamblul cunoștințelor de fizică și matematică din liceu, în concordanță cu actualele exigențe ale pregătirii viitorilor specialiști. Aceasta face ca lucrarea să cuprindă, alături de un număr restrâns de probleme care reprezintă aplicații numerice ale unor relații teoretice, o serie de probleme de dificultate gradat sporită, în spiritul și la nivelul cerut de concursurile de admitere în învățământul superior, precum și unele probleme-întrebări, menite a deprinde cititorul cu utilizarea cunoștințelor teoretice fundamentale pentru înțelegerea și interpretarea unor fenomene și procese particulare, de tipul celor care intervin în aplicațiile practice ale radioelectronicii.

În a doua parte a cărții sînt date rezultatele tuturor problemelor, precum și rezolvări și indicații de rezolvare pentru probleme tipice sau de dificultate sporită. Problemele pentru care se dau rezolvări detaliate sînt marcate cu indicele R, alături de numărul problemei. În general, sînt date alături de rezultatul numeric cîl și cel literal, ceea ce reprezintă o indicație indirectă asupra rezolvării problemei.

Numerele figurilor coincid cu numerele problemelor la care se referă. Figurile din cadrul rezolvărilor sînt marcate cu numărul problemei, urmat de indicele R.

Autorii mulțumesc tov. conf. dr. ing. Drăgulescu Marin pentru remarcabilul aport la îmbunătățirea lucrării.

AUTORII

CUPRINS

Prefață	3
Partea I. BREVIARE ȘI ENUNȚURI	9
1. Elemente de circuit	9
Breviar	18
Enunțuri	18
Rezistoare	20
Bobine	22
Condensatoare	23
Reactoare disipative	24
Transformatorul de audiofrecvență	26
2. Circuite acordate	26
Breviar	34
Enunțuri	34
Circuitul acordat serie	37
Circuitul acordat derivație	38
Circuitul acordat derivație cu prize	40
Circuite cuplate	44
3. Semnale modulate	44
Breviar	48
Enunțuri	48
Semnale modulate în amplitudine	50
Semnale modulate în fază	51
Semnale modulate în frecvență	51

4. Bazele televiziunii	53
Breviar	53
Enunțuri	57
Televiziunea în alb-negru	57
Captarea imaginilor	57
Transmisiunea semnalelor de TV-AN	57
Circuite pentru TV-AN	58
Televiziunea în culori	58
Semnale de TVC	58
Semnale pentru imagini de control	59
Decodare	60
Circuite pentru TVC	61
5. Amplificatoare de audio și videofrecvență	66
Breviar	66
Enunțuri	74
Dispozitivul activ la nivel mic	74
Amplificatorul de audiofrecvență la nivel mic	75
Amplificatorul de videofrecvență la nivel mic	76
Reacția în amplificatoare	78
Amplificatorul de audiofrecvență de putere	79
6. Amplificatoare selective	83
Breviar	83
Enunțuri	86
7. Oscilatoare și schimbătoare de frecvență	91
Breviar	91
Enunțuri	100
Oscilatoare sinusoidale	100
Oscilatoare LC	100
Oscilatoare RC	104
Schimbătoare de frecvență	107
8. Modulatoare și demodulatoare	109
Breviar	109
Enunțuri	116
Producerea modulației liniare	116
Producerea modulației în frecvență	119
Demodularea semnalelor cu modulație liniară	121
Demodularea semnalelor cu modulație de frecvență	123
9. Circuite de impulsuri	126
Breviar	126
Enunțuri	133
Circuite de formare a impulsurilor	133
Oscilator de relaxare cu tub de neon	136

Circuite basculante	136
Oscilatorul autoblocat	142
10. Circuite de baleiaj	144
Breviar	149
Enunțuri	149
Deflexia electromagnetică	150
Baleiajul orizontal	153
Baleiajul vertical	156
11. Circuite de alimentare	156
Breviar	165
Enunțuri	165
Redresoare	169
Stabilizatoare de tensiune	171
Transformatorul de rețea	173
<i>Partea a II-a. REZOLVĂRI, INDICAȚII ȘI RĂSPUNSURI</i>	173
1. Elemente de circuit	183
2. Circuite acordate	192
3. Semnale modulate	199
4. Bazele televiziunii	251
5. Amplificatoare de audio și videofrecvență	264
6. Amplificatoare selective	270
7. Oscilatoare și schimbătoare de frecvență	286
8. Modulatoare și demodulatoare	294
9. Circuite de impulsuri	310
10. Circuite de baleiaj	355
11. Circuite de alimentare	

PARTEA ÎNȚĂ

BREVIARE ȘI ENUNȚURI

1. ELEMENTE DE CIRCUIT

BREVIAR

● Rezistoare

- *Rezistența unui conductor metalic se poate determina cu ajutorul relației :*

$$R = \rho \frac{l}{s} \quad [\Omega], \quad (1)$$

în care :

- ρ este rezistivitatea conductorului, în $\Omega \cdot m$;
- l — lungimea conductorului, în m ;
- s — secțiunea conductorului, în m^2 .

- *Legea de variație a rezistenței cu temperatura (pînă la o încălzire a conductorului de aproximativ $200^\circ C$ și ținînd seama că $\alpha(t - t_0) \ll 1$) este dată de relația :*

$$\begin{aligned} R_t &= \rho_0 [1 + \alpha_p(t - t_0)] \frac{l_0 [1 + \alpha(t - t_0)]}{s_0 [1 + 2\alpha(t - t_0)]} \cong \rho_0 \frac{l_0}{s_0} [1 + \alpha_p(t - t_0)] = \\ &= R_0 [1 + \alpha_p(t - t_0)] \quad [\Omega], \end{aligned} \quad (2)$$

în care :

- R_t este valoarea rezistenței la temperatura t ;
- R_0 — valoarea rezistenței la temperatura t_0 ;
- ρ_0 — rezistivitatea conductorului la temperatura t_0 ;
- l_0 — lungimea conductorului la temperatura t_0 ;
- s_0 — secțiunea conductorului la temperatura t_0 ;

Tabelul 1.1
Valorile mărimilor ρ și α_ρ pentru câteva materiale

Mater. alui	Rezistivitatea ρ la 20°C [$\Omega \cdot m$]	Coeficientul de temperatură α_ρ la 20°C [$grad^{-1}$]
Argint	$1,6 \cdot 10^{-8}$	$3,8 \cdot 10^{-3}$
Alama	$7,5 \cdot 10^{-8}$	$2,0 \cdot 10^{-3}$
Aluminiu	$2,8 \cdot 10^{-8}$	$3,9 \cdot 10^{-3}$
Aur	$2,3 \cdot 10^{-8}$	$3,6 \cdot 10^{-3}$
Cupru	$1,7 \cdot 10^{-8}$	$3,9 \cdot 10^{-3}$
Constantan	$48 \cdot 10^{-8}$	$2,0 \cdot 10^{-3}$
Cositor	$11,5 \cdot 10^{-8}$	$4,2 \cdot 10^{-3}$
Fier	$9,66 \cdot 10^{-8}$	$6,0 \cdot 10^{-3}$
Manganină	$48 \cdot 10^{-8}$	$\pm 1,0 \cdot 10^{-3}$
Molibden	$5,7 \cdot 10^{-8}$	$3,3 \cdot 10^{-3}$
Nichel	$10,0 \cdot 10^{-8}$	$5,0 \cdot 10^{-3}$
Platină	$10,6 \cdot 10^{-8}$	$3,8 \cdot 10^{-3}$
Tungsten	$5,6 \cdot 10^{-8}$	$4,5 \cdot 10^{-3}$

α_ρ — coeficientul de temperatură al rezistivității (în $grad^{-1}$), adică variația relativă a rezistivității pe unitatea de variație a temperaturii;
 α — coeficientul de dilatație liniară a conductorului.

În tabelul 1.1 sînt date valorile pentru ρ și α_ρ în cazul unor materiale uzuale.

● *Efectu. pelicular.* În cazul unui curent alternativ sinusoidal $i(t) = I_0 \cos(\omega t + \varphi_i)$, densitatea de curent scade spre centrul conductorului după o lege exponențială, conform relației

$$\frac{J_z}{J_0} = e^{-\frac{z}{\delta}}, \quad (3)$$

în care :

J_0 este densitatea de curent la suprafața conductorului ;

J_z — densitatea de curent la adîncimea z de la suprafața conductorului ;

δ — adîncimea de pătrundere (adîncimea la care densitatea curentului scade la $1/e$ din densitatea de la suprafața conductorului).

Adîncimea de pătrundere δ se poate aprecia cu ajutorul relației

$$\delta = 503,3 \sqrt{\frac{\rho}{\mu_r f}} \quad [m], \quad (4)$$

în care :

ρ este rezistivitatea conductorului, în $\Omega \cdot m$;

μ_r — permeabilitatea relativă ;

f — frecvența, în Hz.

○ *Observație.* La frecvențe înalte, lucrurile se petrec pentru puterea disipată ca și cum curentul de intensitate I ar fi uniform distribuit în coroana de adîncime δ , iar în restul conductorului ar fi zero.

● *Puterea nominală.* Puterea maximă pe care o poate disipa rezistența în timpul funcționării, fără să-și modifice sensibil valoarea, reprezintă puterea nominală :

$$P_n = RI^2 \text{ sau } P_n = \frac{U^2}{R} \quad [W]. \quad (5)$$

● Bobine

● Inductivitatea bobinelor cilindrice cu un singur strat de spire bobinate una lângă alta (fig. 1) se poate determina cu ajutorul următoarei relații (Nagaoka):

$$L = 0,00987k \frac{n^2 D^2}{l} \quad [\mu\text{H}], \quad (6)$$

în care :

l — este lungimea bobinei, în cm;

D — diametrul bobinei, în cm;

n — numărul de spire;

k — un factor de corecție (subunitar) care depinde de raportul $\frac{D}{l}$ (tab. 1.2).

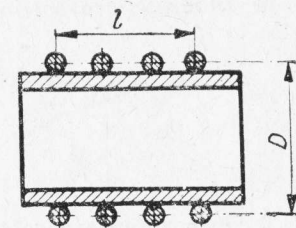


Fig. 1

Tabelul 1.2

Coefficientul k în funcție de D/l

D/l	0,1	0,2	0,4	0,6	0,8	1,0	2,0	3,0	4,0	5,0
k	0,959	0,920	0,850	0,789	0,735	0,688	0,526	0,429	0,365	0,320

● În cazul bobinelor cilindrice cu mai multe straturi (fig. 2), inductivitatea se poate determina cu ajutorul relației :

$$L = \frac{0,079n^2 D^2}{3D + 9a + 10b} \quad [\mu\text{H}] \quad (7)$$

(dimensiunile D , a și b se iau în cm).

Grosimea b , în funcție de factorul de umplere K_u , se poate calcula cu relația :

$$b = 0,00785 \frac{nd^2}{K_u a}, \quad (8)$$

în care, d este diametrul conductorului (inclusiv izolația), în mm.

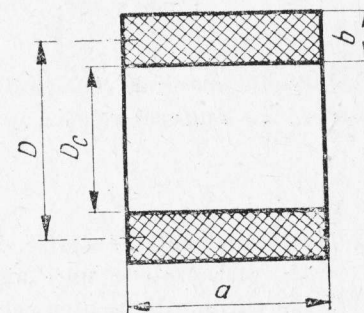


Fig. 2

● Inductivitatea bobinelor cu miez avînd și un întrefier se poate determina cu ajutorul relației :

$$L = 1,256 \cdot 10^{-8} \frac{S_f n^2}{\frac{l_f}{\mu_r} + l_a} \quad [\text{H}], \quad (9)$$

în care :

- S_f este suprafața secțiunii transversale a miezului (a brațului central), în cm^2 ;
- n — numărul de spire ale înfășurării;
- l_f — lungimea medie a circuitului magnetic, în cm ;
- l_a — lungimea întrefierului, în cm ;
- μ_r — permeabilitatea relativă a miezului.

Pentru circuitul magnetic obișnuit al unei bobine cu întrefier (fig. 3) se poate scrie :

$$S_f = bg,$$

$$l_f = l + 2f - a. \quad (10)$$

Pentru alegerea tipului de tolă se folosește relația :

$$S_f S_F = \frac{L I_0^2}{K_u J B} \cdot 10^2 \quad [\text{cm}^4], \quad (11)$$

în care :

- I_0 este intensitatea curentului continuu ce străbate bobina, în A;
- K_u — factorul de umplere;
- J — densitatea curentului, în A/mm^2 ;
- B — inducția admisă, în T;
- S_F — suprafața ferestrei tolei, în cm^2 ($S_F = ac$).

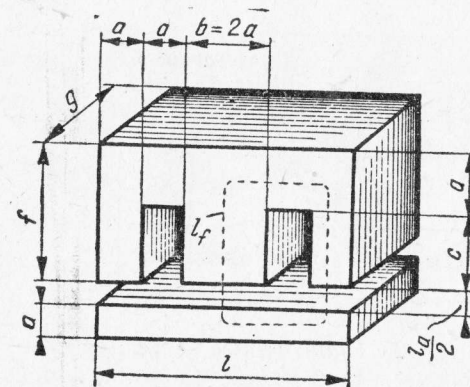


Fig. 3

Inducția maximă B_M (în T) se poate determina în funcție de tensiunea U_{ef} (V) aplicată bobinei, cu ajutorul relației :

$$U_{ef} = 4,44 \cdot 10^{-4} f n S_f B_M, \quad (12)$$

în care :

- f este frecvența tensiunii, în Hz;
- n — numărul de spire ale bobinei.

Două curbe utile pentru calculul de dimensionare al bobinelor cu întrefier (metoda Haana) sînt prezentate în figura 4, în care $V = S_f l_f$ este volumul corespunzător al fierului,

Rezistența în curent continuu a bobinei cu întregier se poate determina cu ajutorul relației :

$$R = \frac{0,00022nl_e}{d^2} \quad [\Omega], \quad (13)$$

în care :

$$l_e = 2(2a + b + g) \quad [\text{cm}];$$

d — diametrul conductorului, în mm.

● Inductivitatea unei bobine de radiofrecvență cu miez feromagnetic se poate determina cu relația :

$$L = \mu_{ef} L_0, \quad (14)$$

în care :

L_0 este inductivitatea bobinei fără miez ;

μ_{ef} — permeabilitatea efectivă ($\mu_{ef} > 1$).

● Dacă bobina este ecranată (fig. 5), inductivitatea acesteia este dată de relația :

$$L_e = L_0 \left[1 - \left(\frac{D}{D_e} \right)^2 \frac{1}{k} \right], \quad (15)$$

în care k reprezintă un factor ce depinde de raportul $\frac{D}{l}$. În cazul $\frac{D}{l} < 5$ se poate folosi relația

$$k = 1 - 0,32 \sqrt{\frac{D}{l}}. \quad (16)$$

În cazul unui ecran magnetic, cîmpul magnetic la o adîncime z de la suprafața conductorului este

$$H = H_0 e^{-\frac{z}{\delta}}, \quad (17)$$

unde :

H_0 este intensitatea cîmpului la suprafața conductorului ;

δ — adîncimea de pătrundere.

● Factorul de calitate al unei bobine se poate determina cu relația

$$Q = \frac{\omega L}{R}, \quad (18)$$

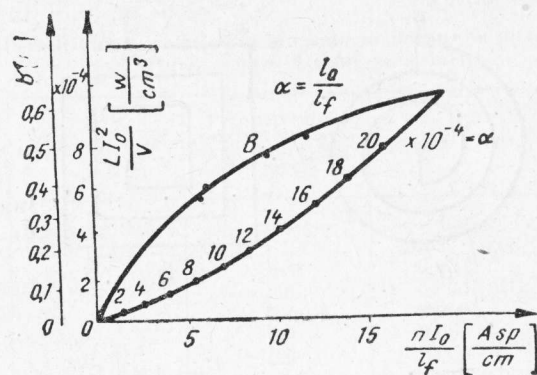


Fig. 4

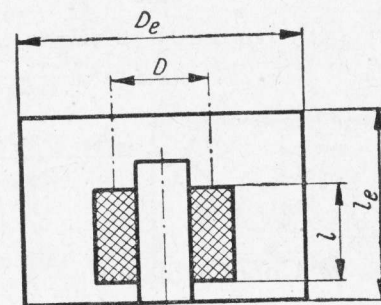


Fig. 5

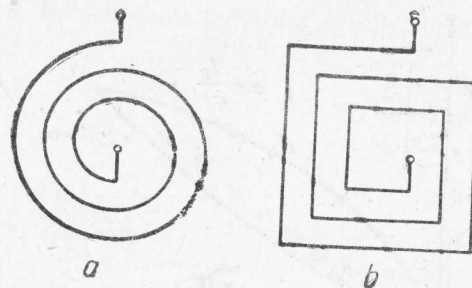


Fig. 6

în care :

L este inductivitatea bobinei ;

R — rezistența totală serie de pierderi.

● În gama undelor ultracurte se pot folosi cu succes bobine imprimate (fig. 6).

Pentru aceste bobine, factorul de calitate poate lua valori între limitele $Q = 70 \dots 100$, iar numărul de spire $n = 3 \dots 15$.

În cazul acestor bobine, inductivitatea lor se poate determina cu ajutorul următoarelor relații :

— pentru bobinele spirale (fig. 6, a) :

$$L = 4,97 \cdot 10^{-3} \cdot r_{med} \sqrt[3]{n^5} \cdot \lg 8 \frac{r_{med}}{c} \quad [\mu H]; \quad (19)$$

— pentru bobinele pătrate (fig. 6, b) :

$$L = 5,55 \cdot 10^{-3} \cdot a_{med} \sqrt[3]{n^5} \cdot \lg 8 \frac{a_{med}}{c} \quad [\mu H], \quad (20)$$

în care :

$$r_{med} = \frac{D_{ext} + D_{int}}{4} \text{ este raza medie, în mm ;}$$

$$a_{med} = \frac{A_{ext} - A_{int}}{4} \text{ — latura medie a pătratului, în mm ;}$$

$$c = \frac{D_{ext} - D_{int}}{2} = \frac{A_{ext} - A_{int}}{2} \text{ — lățimea medie, în mm.}$$

● Condensatoare

● Valoarea capacității C a unui condensator plan se poate determina cu relația

$$C = \varepsilon_0 \varepsilon_r \frac{S(n-1)}{d} \quad [F], \quad (21)$$

în care :

n este numărul total al plăcilor condensatorului ;

S — suprafața fiecărei plăci a condensatorului, în m^2 ;

d — distanța între plăcile condensatorului, în mm ;

ϵ_r — permitivitatea relativă a dielectricului ;
 $\epsilon_0 = 8,856 \cdot 10^{-12}$ F/m — permitivitatea vidului.

● Capacitatea condensatorului cilindric este dată de relația

$$C = \epsilon_0 \epsilon_r \frac{2\pi l}{\ln \frac{r_2}{r_1}} \quad [\text{F}], \quad (22)$$

în care :

l este lungimea cilindrilor, în m ;

r_2 — raza interioară a cilindrilor exterior, în m ;

r_1 — raza exterioară a cilindrilor interior, în m.

● Pierderile în dielectric se pot exprima prin relația

$$P_a = U_{ef} I_{ef} \cos \varphi, \quad (23)$$

în care $\cos \varphi$ reprezintă factorul de putere al condensatorului. În tabela 1.3 sînt date valorile lui ϵ_r și ale factorului de putere pentru diferite materiale.

Pierderile într-un condensator se reprezintă printr-o rezistență în serie sau în paralel cu capacitatea condensatorului.

Un parametru important al condensatorului este tangenta unghiului de pierderi (fig. 7) :

$$\text{tg } \delta = \omega CR, \quad (24)$$

unde :

R este rezistența echivalentă de pierderi considerată în serie ;

C — capacitatea echivalentă serie.

● Factorul de calitate al condensatorului este dat de relația

$$Q = \frac{1}{\text{tg } \delta}. \quad (25)$$

● Reactoare disipative

● O reactanță cu pierderi poate fi reprezentată ca o reactanță fără pierderi în serie cu o rezistență, sau ca o reactanță fără pierderi în paralel cu o rezistență (fig. 8).

Tabela 1.3

Permitivitatea relativă și tangenta unghiului de pierderi ($\text{tg } \delta$) pentru diverse materiale

Materialul	Permitivitatea relativă a materialului la 1 MHz și 25°C	$\text{tg } \delta$ (la 1 MHz)
Apă distilată	78	0,04
Bachelită	4,3...5,4	0,03...0,06
Cuarț	3,8	0,0002
Ebonită	2,8	0,006
Mica	5,4	0,0003
Micalex	7,5	0,001
Polistiren	2,6	0,00007
Porțelan	5...6	0,0075...0,0009
Pirex	4,5	0,0002
Sellac	3,5	0,002
Ulei de transformator	2,3	0,0008

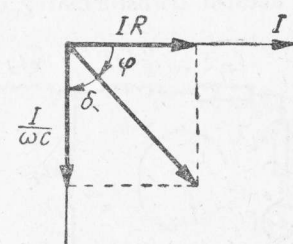


Fig. 7

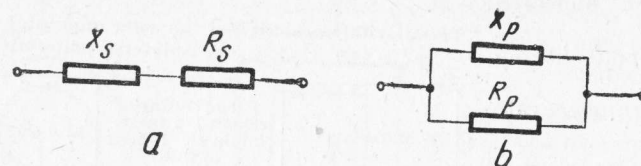


Fig. 8

● În acest caz există următoarele relații între reactanțele și rezistențele paralel și serie echivalente :

$$X_p = X_s \left[1 + \frac{1}{Q^2} \right], \quad (26)$$

$$R_p = R_s [1 + Q^2],$$

în care Q reprezintă *factorul de calitate al reactanței cu pierderi*

$$Q = \frac{|X_s|}{R_s} = \frac{R_p}{|X_p|}. \quad (27)$$

● Transformatorul de audiofrecvență

Transformatorul de audiofrecvență are în mod obișnuit sarcină rezistivă. Aplicația tipică a acestui transformator este realizarea adaptării într-o bandă de audiofrecvență dorită (de exemplu, transformatorul utilizat pentru difuzoarele de radioficare sau transformatorul de modulație din instalațiile de emisie).

● Schema electrică a transformatorului cu sarcină rezistivă este reprezentată în figura 9.

Se utilizează notațiile :

σ — coeficientul de scăpări (în mod obișnuit $\sigma \leq 0,03$);

k — coeficientul de cuplaj ($k = \sqrt{1 - \sigma} \cong 1$);

L_1 — inductivitatea bobinei primarului, în H;

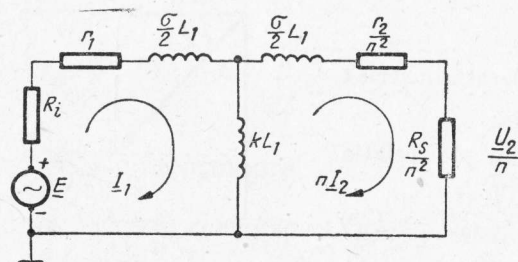


Fig. 9

- n_1 — numărul de spire ale înfășurării primarului;
- n_2 — numărul de spire ale înfășurării secundarului;
- $n = \frac{n_2}{n_1}$ — raportul de transformare;

- r_1 — rezistența proprie a înfășurării primare, în Ω ;
- r_2 — rezistența proprie a înfășurării secundarului, în Ω ;
- R_i — rezistența internă a generatorului, în Ω ;
- R_s — rezistența de sarcină, în Ω ;
- U_2 — tensiunea la bornele secundarului, în V;
- E — tensiunea generatorului, în V.

Pentru calcule se consideră $k \cong 1$.

● Schema echivalentă în domeniul frecvențelor medii se obține prin neglijarea reactanțelor, factorul de transfer fiind

$$\left. \frac{U_2}{E} \right|_m = \frac{nR_s/n^2}{R_i + r_1 + \frac{r_2 + R_s}{n^2}} \quad (28)$$

În domeniul frecvențelor joase reactanța inductivităților $\frac{\sigma}{2} L_1$ se consideră neglijabilă, factorul de transfer fiind în modul

$$\left. \frac{U_2}{E} \right|_j = \left. \frac{U_2}{E} \right|_m \cdot \frac{1}{\sqrt{1+(f/f)^2}}, \quad (29)$$

unde :

$$f_j = \frac{1}{2\pi k L_1} \frac{(R_i + r_1) \frac{R_s + r_2}{n^2}}{R_i + r_1 + \frac{R_s + r_2}{n^2}}, \quad (k \cong 1) \quad (30)$$

reprezintă frecvența limită inferioară, la care tensiunea la ieșire scade cu 3 dB față de valoarea sa din domeniul frecvențelor medii.

În domeniul frecvențelor superioare se poate elimina din schema echivalentă inductivitatea transversală (kL_1), factorul de transfer fiind dat de relația

$$\left. \frac{U_2}{E} \right|_s = \left. \frac{U_2}{E} \right|_m \cdot \frac{1}{\sqrt{1+(f/f_s)^2}}, \quad (31)$$

unde

$$f_s = \frac{1}{2\pi \sigma L_1} \left(R_i + r_1 + \frac{R_s + r_2}{n^2} \right) \quad (32)$$

reprezintă frecvența limită superioară, la care tensiunea scade cu 3 dB față de valoarea sa în domeniul frecvențelor medii

○ Notă. Energia corespunzătoare unui element de circuit din schema reală este egală cu energia corespunzătoare elementului transformat din schema echivalentă.

● Transformatorul ideal se caracterizează prin :

$$r_1 = r_2 = 0; \sigma L_1 = 0; L_1 = \infty, \quad (33)$$

ENUNȚURI

● Rezistoare

1.1. Să se determine rezistența unui rezistor realizat din conductor de cupru cu lungimea de 30 m și diametrul de 0,2 mm, la temperatura de 20°C.

1.2(R). Pe o carcasă cu diametrul de 20 mm se realizează o rezistență bobinată (spiră lângă spiră) din sîrmă de manganină, diametrul conductorului fiind de 0,3 mm. Să se determine lungimea înfășurării, știindu-se că valoarea rezistenței este de 200 Ω .

1.3(R). Două conductoare unul de cupru iar celălalt de aluminiu, de diametre egale, prezintă aceeași valoare a rezistenței. Ce lungime are conductorul de aluminiu, dacă cel de cupru are o lungime de 2 m?

1.4. O rezistență bobinată spiră lângă spiră se realizează dintr-un conductor de constantan pe un suport ceramic de diametru 10 mm. Lungimea înfășurării este de 10 cm, iar diametrul suportului — de 0,3 mm. Să se determine valoarea rezistenței și numărul de spire, știind că rezistivitatea constantanului este $48 \cdot 10^{-8} \Omega \text{m}$.

1.5. Un transformator are înfășurarea primară realizată din conductor de cupru și prezintă la temperatura de 20°C o rezistență de 5 Ω . După o oră de funcționare, rezistența înfășurării a crescut cu 1 Ω . Să se determine temperatura de încălzire a transformatorului.

1.6. Un conductor de cupru prezintă la temperatura t_1 rezistența de 200 Ω . La o temperatură t_2 rezistența conductorului devine 210 Ω . Să se determine variația de temperatură.

1.7. Filamentele tuburilor unui radioreceptor sînt alimentate în serie, ca în figura 1.7. Cunoscîndu-se căderile de tensiune pe filamente și știind că alimentarea radioreceptorului se realizează de la o rețea de 120 V, să se determine lungimea conductorului de manganină cu diametrul de 0,2 mm necesar pentru realizarea rezistenței R_s , care să asigure o funcționare normală a radioreceptorului. Se consideră că intensitatea curentului de alimentare a filamentelor este de 0,12 A,

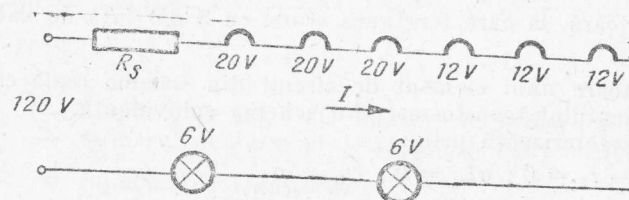


Fig. 1.7

1.8. Să se determine valoarea rezistenței de negativare automată R_s și puterea disipată pe ea (fig. 1.8), dacă negativarea TEC-ului trebuie să fie de -4 V, iar curentul de repaus al drenei — de 8 mA.

1.9. Un ciocan de lipit de 75 W a fost realizat pentru o tensiune de 120 V. Să se determine valoarea rezistenței care trebuie conectată în serie cu ciocanul de lipit, precum și puterea pe care o va disipa această rezistență, pentru ca ciocanul de lipit să poată fi utilizat la o tensiune de 220 V.

1.10. Un conductor de cupru, care are la temperatura $t_0 = 0^\circ\text{C}$ rezistența $R_0 = 1\ \Omega$, este conectat la un generator de tensiune constantă (de rezistență internă $R_i = 0$), $E = 1$ V. Să se calculeze puterea disipată la temperatura $t = 10^\circ\text{C}$.

1.11(R). În figura 1.11 este reprezentată, o rețea infinită de rezistențe, avînd valorile indicate în figură. Să se determine valoarea rezistenței privite între bornele a , b .

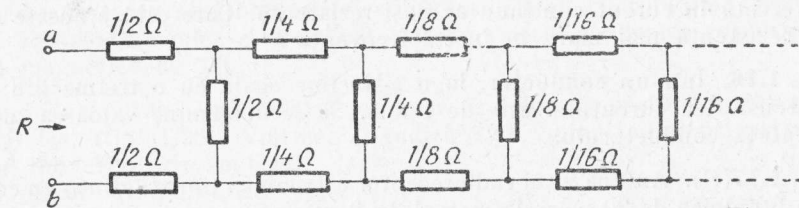


Fig. 1.11

1.12(R). Se consideră o rețea triunghiulară infinită de rezistențe de $1\ \Omega$ (fig. 1.12). Care este valoarea rezistenței rețelei privită între punctele a , b ?

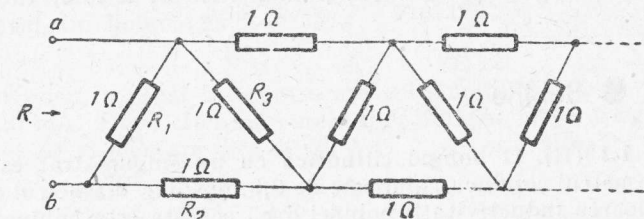


Fig. 1.12

1.13(R). Se consideră circuitul din figura 1.13, în care $R_1 = 1\ \text{k}\Omega$, $R_2 = 100\ \Omega$, $R_3 = 200\ \Omega$, $R_4 = 1\ \text{k}\Omega$, $R_5 = 500\ \Omega$, $R_6 = 1\ \text{k}\Omega$ și $R_7 = 500\ \Omega$. Circuitul este alimentat de sursa $E = 20$ V de rezistență internă $R_i = 10\ \Omega$. Să se determine valoarea curentului I .

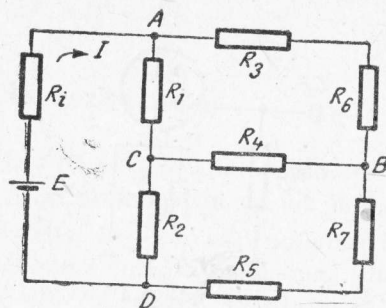


Fig. 1.13

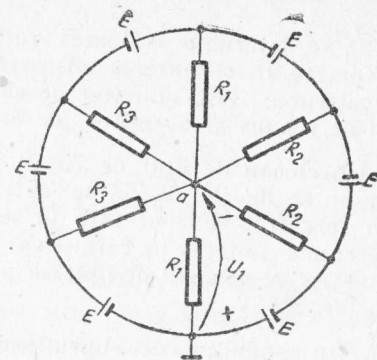


Fig. 1.14

1.14(R). Se consideră circuitul prezentat în figura 1.14, în care $E = 2 \text{ V}$, $R_1 = 2 \Omega$, $R_2 = 4 \Omega$ și $R_3 = 6 \Omega$. Să se determine valoarea tensiunii U_1 .

1.15. Două conductoare de cupru de aceeași lungime, unul tubular, iar celălalt plin, prezintă în curent continuu aceeași rezistență. Care dintre aceste două conductoare va avea o rezistență mai mare în înaltă frecvență?

1.16. Într-un conductor, la o adâncime egală cu o treime din adâncimea de pătrundere, intensitatea curentului este de 1 mA . Să se determine valoarea intensității curentului la suprafața conductorului.

1.17(R). Antena unui radioreceptor este confecționată dintr-un conductor de cupru ($\mu_r = 1$) cu lungimea de 20 m și diametrul de 2 mm . Să se determine rezistența conductorului antenei pentru frecvențele 10 MHz și 100 MHz .

1.18. Să se determine lungimea de undă pentru care un conductor de cupru ($\mu_r = 1$), având lungimea de 100 m și diametrul de 2 mm , va prezenta o rezistență de 10Ω .

● Bobine

1.19(R). O bobină cilindrică cu un singur strat este realizată din conductor de cupru; diametrul conductorului este de $0,5 \text{ mm}$, iar diametrul carcasei este de 4 cm . Să se determine valoarea inductivității bobinei dacă aceasta este bobinată spiră lângă spiră, numărul de spire fiind 200.

1.20. Să se determine inductivitatea bobinei din problema precedentă, dacă bobina nu se realizează spiră lângă spiră, distanța între două spire alăturate fiind de $0,5 \text{ mm}$.

1.21. Inductivitatea totală a celor două bobine cuplate prezentate în figura 1.21 este într-un caz $600 \mu\text{H}$, iar în celălalt caz $525 \mu\text{H}$. Să se determine valoarea inductivității mutuale.

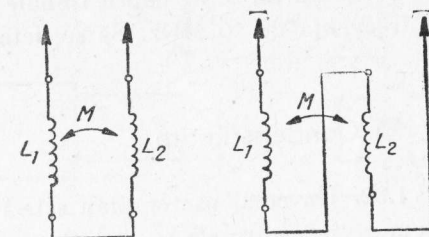


Fig. 1.21

1.22(R). Să se dimensioneze bobina circuitului de intrare al unui radioreceptor pentru gama undelor lungi ($f_{\min} = 150 \text{ kHz}$), capacitatea maximă a condensatorului de acord fiind de 500 pF .

1.23(R). Să se dimensioneze o bobină de șoc pentru o celulă de filtrație, știindu-se că este parcursă de un curent $I_0 = 50 \text{ mA}$, are inductivitatea de 4 H , iar căderea de tensiune la bornele bobinei trebuie să fie mai mică de 10 V .

1.24. Un circuit de frecvență intermediară este realizat cu o bobină cilindrică; diametrul mediu al înfășurării bobinei este de 1 cm , lungimea de 2 cm , iar inductivitatea $L = 50 \mu\text{H}$. Bobina este ecranată cu ajutorul unui ecran cilindric, care are dimensiunile $l_e = 4 \text{ cm}$ și $D_e = 3 \text{ cm}$. Să se determine valoarea inductivității bobinei ecranate.

1.25. Să se determine inductivitatea unei bobine de radiofrecvență cu miez feromagnetic, știindu-se că inductivitatea bobinei fără miez este de $200 \mu\text{H}$, iar miezul are forma cilindrică și permeabilitatea efectivă magnetică de $1,8$.

1.26. Pentru măsurarea inductivității unei bobine cu miez se folosește metoda volt-ampmetrului în c.a. ($f = 50 \text{ Hz}$) (fig. 1.26). Voltmetrul indică 120 V , iar miliampermetrul 200 mA . Să se determine inductivitatea bobinei, dacă rezistența ei proprie este de 50Ω . Care este eroarea metodei de măsurare dacă se neglijează rezistența proprie a bobinei?

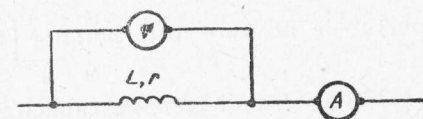


Fig. 1.26

1.27. Unei bobine de inductivitate 200 mH și rezistență proprie 50Ω i se aplică o tensiune continuă de 20 V . Să se determine după cât timp curentul din bobină va atinge 50% din valoarea sa maximă.

1.28. Curentul de acționare al unui releu, a cărui înfășurare are o inductivitate de 1 H și rezistență proprie de 800Ω , este de 20 mA . După cât timp curentul de înfășurare va fi egal cu curentul de acționare, dacă tensiunea de alimentare este de 20 V ?

1.29. Care este influența efectului pelicular asupra inductivității unei bobine?

1.30(R). Să se explice în ce condiții, pentru determinarea inductivității unei bobine, este valabilă relația $L = \frac{U}{\omega I}$, în care U reprezintă tensiunea măsurată la bornele bobinei, iar I — intensitatea curentului care trece prin bobină,

1.31. Un ecran de cupru trebuie să realizeze o antrenare de 60 dB a unui câmp magnetic la frecvența de 10 MHz. Să se determine grosimea minimă a ecranului.

● Condensatoare

1.32. Un condensator plan este realizat din două plăci în formă de pătrat cu latura de 1 cm, având între ele ca dielectric un strat de mică de grosime 1 mm. Să se determine valoarea capacității condensatorului.

1.33. Un condensator variabil cu aer are plăcile rotorului și ale statorului de formă semicirculară. Să se determine valoarea maximă a capacității condensatorului, știindu-se că numărul plăcilor rotorului (respectiv ale statorului) este 6, distanța dintre plăcile rotorului și ale statorului este de 1 mm, iar raza plăcilor este de 3 cm.

1.34(R). Unui condensator de 500 pF i se aplică o tensiune alternativă de amplitudine 100 V și frecvență 3 MHz. Știindu-se că în acest caz valoarea pierderilor în dielectric este de 2 W, să se determine tangenta unghiului de pierderi.

1.35(R). Să se determine valoarea capacității condensatorului care trebuie conectat în serie cu un ciocan de lipit de 75 W realizat pentru o tensiune de 120 V, pentru ca acesta să poată fi utilizat la o tensiune de 220 V.

1.36(R). Se consideră divizorul de tensiune reprezentat în figura 1.36. Să se determine raportul de divizare a tensiunilor $\left(\frac{U_2}{U_1}\right)$ în funcție de valorile elementelor din schemă.

1.37(R). Să se determine capacitatea echivalentă corespunzătoare schemei din figura 1.37 și tensiunea pe fiecare condensator dacă $C_1 = C_2 = C_3 = C_4 = C_5 = C_6 = 1 \mu\text{F}$ și $U = 100 \text{ V}$.

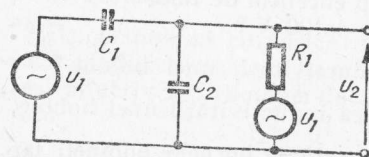


Fig. 1.36

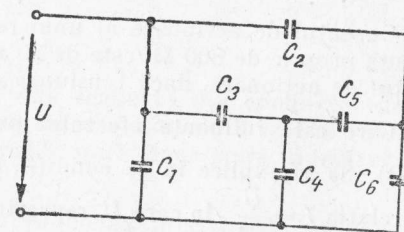


Fig. 1.37

1.38. Se măsoară capacitatea unui condensator printr-o metodă de rezonanță (fig. 1.38). Bornele a, b fiind scurtcircuitate, rezonanța circuitului se obține pentru o valoare a condensatorului variabil $C_{r1} = 200 \text{ pF}$. Conectându-se între bornele a, b condensatorul de capacitate necunoscută C_x , rezonanța se obține pentru o valoare a condensatorului variabil $C_{r2} = 500 \text{ pF}$. Care este valoarea capacității C_x ?

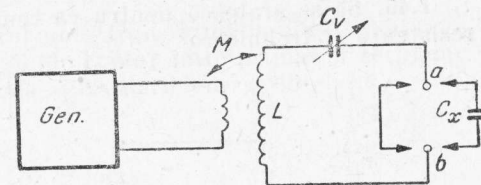


Fig. 1.38

1.39. Unui condensator cu capacitatea de $1 \mu\text{F}$ în serie cu o rezistență de $5 \text{ k}\Omega$ i se aplică o tensiune continuă E . Să se determine după cât timp tensiunea pe condensator va fi egală cu jumătatea tensiunii sursei E .

● Reactoare disipative

1.40. Să se determine condițiile de echivalare a reactoarelor disipative seriei și derivației (relațiile 26).

1.41. Bobina mobilă a unui difuzor are rezistența serie $R = 5 \Omega$ și inductivitatea $L = 200 \mu\text{H}$. Să se deducă reactorul disipativ derivație la frecvențele $f = 100 \text{ Hz}$ și $f = 5 \text{ kHz}$.

1.42. Bobina unui circuit de frecvență intermediară are inductivitatea $L = 300 \mu\text{H}$ și factorul de calitate $Q = 100$. Să se determine reactorul disipativ derivație la frecvența $f = 470 \text{ kHz}$.

1.43(R). Condensatorul variabil dintr-un radioreceptor are capacitatea maximă $C_M = 500 \text{ pF}$ și cea minimă $C_m = 50 \text{ pF}$ din care 20 pF reprezintă capacitatea suportului, iar 30 pF — capacitatea reziduală a plăcilor. Suportul este constituit dintr-un material dielectric cu $\text{tg } \delta = 4\%$. Să se determine factorul de calitate al condensatorului variabil cînd acesta este închis și cînd acesta este deschis.

1.44(R). Să se arate că dacă pentru circuitul reprezentat în figura 1.44 este îndeplinită condiția $R_L = R_C = \sqrt{\frac{L}{C}}$, tensiunile U_1 și U_2 sînt egale, indiferent de frecvență.

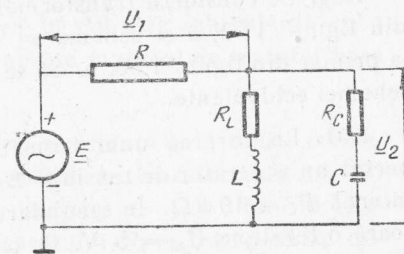


Fig. 1.44

1.45. Să se arate că pentru ca impedanța de intrare a dipolului din figura 1.45 să fie o rezistență r , trebuie ca

$$\left| \frac{X_C}{X_L} \right| = \frac{R - r}{R}.$$

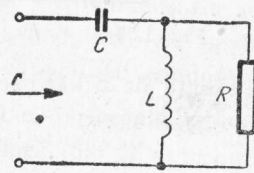


Fig. 1.45

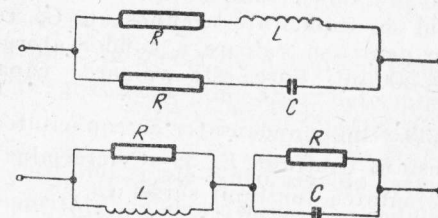


Fig. 1.46

1.46. Să se deducă condiția necesară pentru ca circuitele reprezentate în figura 1.46 să se găsească la rezonanță și impedanța lor în acest caz să fie egală cu R .

1.47(R). Să se determine valoarea tensiunii de zgomot datorate agitației termice la bornele unei rezistențe R în paralel cu o capacitate C , într-o bandă de frecvențe $\Delta f = f_1 - f_2$, cunoscând că $C = 100$ pF; $R = 11,77$ k Ω ; $T = 290$ K; $f_1 = 410$ kHz și $f_2 = 400$ kHz.

● Transformatorul de audiofrecvență

1.48. Care este valoarea impedanței de intrare într-un transformator, în domeniul frecvențelor medii, știind că rezistența înfășurării primare este $r_1 = 50$ Ω , rezistența înfășurării secundare este $r_2 = 5$ Ω , raportul de transformare este $n = n_2/n_1 = 0,1$, iar rezistența de sarcină este $R_s = 300$ Ω ?

1.49. Înseriind înfășurările unui transformator într-un sens sau celălalt, se măsoară la intrare o inductivitate $L' = 4$ H sau $L'' = 36$ H. Să se determine inductivitățile proprii ale înfășurărilor și raportul de transformare, știind că coeficientul de scăpări poate fi neglijat.

1.50. Se consideră transformatorul diferențial ideal din figura 1.50, *a* și schema sa echivalentă raportată la primar din figura 1.50, *b*. Să se determine elementele schemei echivalente.

1.51. La intrarea unui transformator ideal este conectat un generator de tensiune $E = 1$ V cu o rezistență internă $R_i = 10$ k Ω . În secundarul lăsat în gol se măsoară o tensiune $U_{20} = 5$ V. Ce tensiune se va măsura pe o rezistență de sarcină $R_s = 100$ k Ω ?

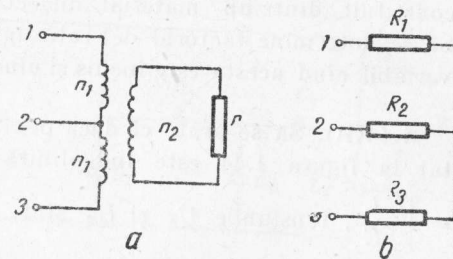


Fig. 1.50

1.52. Care este valoarea condensatorului din primarul unui transformator ideal cu raportul de transformare n , echivalentă condensatoarelor C_c — de cuplaj între primar și secundar și C_2 — din secundar ? (fig. 1.52). Se va utiliza metoda echivalării energetice.

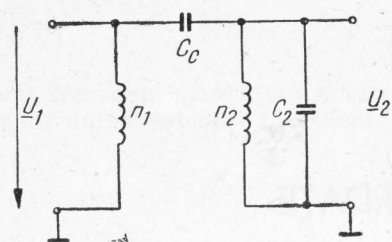


Fig. 1.52

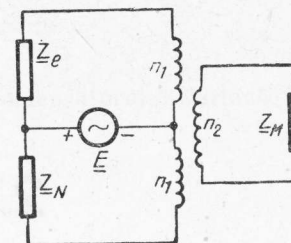


Fig. 1.53

1.53. Pentru montajul antilocal al aparatului telefonic se poate reprezenta o schemă echivalentă ca în figura 1.53. Să se arate că dacă $Z_e = Z_N$, impedanța Z_M nu modifică circuitul echivalent pentru generatorul E .

1.54. Un transformator considerat ideal debitează pe o rezistență de sarcină $R_s = 2 \text{ k}\Omega$ o putere $P_2 = 20 \text{ W}$, primarul fiind conectat la un generator de tensiune $U_{1ef} = 120 \text{ V}$. Se cere raportul de transformare pentru cazul în care rezistența internă a generatorului de tensiune se consideră zero și pentru cazul în care acesta este $R_{int} = 100 \Omega$.

1.55. Un transformator debitează la frecvențe medii o putere de 1 W pe o sarcină rezistivă. Știind că frecvența limită inferioară este de 40 Hz , să se afle la ce frecvență puterea pe sarcină scade cu 6 dB .

1.56. La un transformator de audiofrecvență s-a măsurat în domeniul frecvențelor înalte impedanța de intrare a transformatorului cu ieșirea în scurtcircuit, care este echivalentă cu o rezistență de 600Ω în serie cu o inductivitate cu valoarea de 50 mH . În domeniul frecvențelor joase, impedanța de intrare a transformatorului cu ieșirea în gol este echivalentă cu o rezistență de 400Ω în serie cu o inductivitate de 10 H . Se cunoaște raportul de transformare $n = 3$. Care sînt parametrii transformatorului ?

1.57. Se consideră un transformator de audiofrecvență avînd rezistența înfășurării primarului $r_1 = 100 \Omega$, a înfășurării secundarului $r_2 = 300 \Omega$, raportul de transformare $n = 3$, inductanța bobinei primarului $L_1 = 10 \text{ H}$, iar coeficientul de scăpări $\sigma = 1\%$. Considerînd rezistența de sarcină $R_s = 10 \text{ k}\Omega$ și rezistența internă a generatorului $R_i = 5 \text{ k}\Omega$, să se determine frecvențele limită ale transformatorului și factorul de transfer din domeniul frecvențelor medii.

2. CIRCUITE ACORDATE

BREVIAR

● Circuitul acordat serie

Circuitele acordate serie pot fi reprezentate ca în figura 1.

● Impedanța circuitului acordat serie este de forma

$$\underline{Z} = R + jX. \quad (1)$$

● Frecvența de rezonanță a circuitului serie (f_r) este frecvența la care impedanța sa este pur rezistivă ($X = 0$). Pentru forma echivalentă din figura 1 rezultă

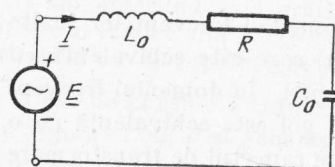


Fig. 1

$$f_r = \frac{1}{2\pi \sqrt{L_0 C_0}}. \quad (2)$$

● Factorul de calitate Q al circuitului serie este raportul dintre modulul reactanței de un tip (inductiv sau capacitiv) la frecvența de rezonanță și rezistența serie a circuitului. Pentru forma echivalentă din figura 1 rezultă

$$Q = \frac{\omega_r L_0}{R} = \frac{1}{\omega_r C_0 R}. \quad (3)$$

● Variabila normalată x este prin definiție

$$x = \frac{X}{R}. \quad (4)$$

Pentru schema circuitului serie se poate scrie

$$x = \beta Q. \quad (5)$$

Dacă elementele circuitului sînt fixe, iar frecvența f a generatorului variază, atunci

$$\beta = \frac{f}{f_r} - \frac{f_r}{f} \cong \frac{2(f - f_r)}{f_r}. \quad (6)$$

Dacă frecvența generatorului este f_r (2), iar capacitatea condensatorului variază în jurul valorii C_0 , luînd valoarea C , atunci

$$\beta \cong \frac{C - C_0}{C_0}. \quad (7)$$

Dacă frecvența generatorului este f_r (2), iar inductanța bobinei variază luînd valoarea L , atunci

$$\beta = \frac{L - L_0}{L_0}. \quad (8)$$

○ **Observație.** În funcție de mărimile introduse mai sus, *impedanța* circuitului serie se poate scrie

$$\underline{Z} = R(1 + jx). \quad (9)$$

● *Curentul prin circuitul serie* este

$$\underline{I} = \frac{\underline{E}}{\underline{Z}} = \frac{E}{R(1 + jx)}, \text{ dacă } \underline{E} = E. \quad (10)$$

● *Curentul normal al circuitului serie* este raportul :

$$\frac{\underline{I}}{I_0} = \frac{1}{1 + jx}; \quad \frac{I}{I_0} = \frac{1}{\sqrt{1 + x^2}}, \quad (11)$$

unde I_0 este curentul prin circuit la frecvența de rezonanță :

$$I_0 = \frac{E}{R}. \quad (12)$$

● *Curentul normal în modul (selectivitatea în curent)* se exprimă în *decibeli*, conform relație

$$\frac{I}{I_0} [\text{dB}] = 20 \log \frac{I}{I_0}. \quad (13)$$

○ **Notă.** Dacă rezultatul este egal cu n dB, iar $n < 0$, se spune că există o *atenuare* de $|n|$ dB.

• *Lărgimea de bandă* la o atenuare de 3 dB (B_{3dB}) este diferența dintre frecvențele pentru care modulul curentului scade cu 3 dB față de valoarea sa la frecvența de rezonanță :

$$B_{3dB} = \frac{f_r}{Q} \quad (14)$$

• Circuitul acordat derivație

Circuitul acordat derivație poate fi pus deseori sub forma din figura 2. În cele ce urmează ne vom referi la această configurație.

• *Impedanța circuitului acordat derivație* se deduce din relația

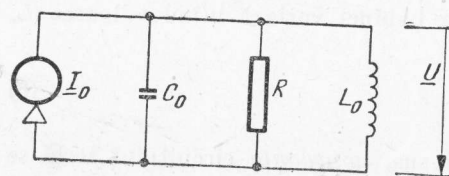


Fig. 2

$$\frac{1}{Z} = \frac{1}{R} + \frac{1}{jX} = \frac{1}{R} + j\left(\omega C_0 - \frac{1}{\omega L_0}\right). \quad (15)$$

• *Frecvența de rezonanță a circuitului derivație* (f_r) este frecvența la care impedanța sa este pur rezistivă ($X = \infty$), deci

$$f_r = \frac{1}{2\pi\sqrt{L_0 C_0}} \quad (16)$$

• *Factorul de calitate Q al circuitului derivație* este raportul dintre rezistența sa în paralel și modulul reactanței de un tip (inductiv sau capacitiv) la frecvența de rezonanță :

$$Q = \frac{R}{\omega_r L_0} = R \omega_r C_0. \quad (17)$$

• *Variabila normală* este prin definiție

$$x = -\frac{R}{X}. \quad (18)$$

Variabila normală x se poate exprima și sub forma

$$x = \beta Q, \quad (19)$$

în care β are semnificațiile din relațiile (6), (7) sau (8), după caz.

○ *Observație.* Impedanța circuitului derivație se poate scrie sub forma

$$Z = \frac{R}{1 + jx}, \quad (20)$$

avînd modulul de valoare maximă pe frecvența de rezonanță : $Z = R$.

pentru
ă :

(14)

urmează

(15)

patie (f_r)
rezistivă

(16)

in paralel
:

(17)

(18)

(19)

(20)

• Tensiunea la bornele circuitului derivație este

$$\underline{U} = \underline{I}_0 Z = \frac{RI_0}{1 + jx}, \text{ dacă } \underline{I}_0 = I_0. \quad (21)$$

• Tensiunea normală a circuitului derivație este

$$\frac{\underline{U}}{\underline{U}_0} = \frac{1}{1 + jx}; \quad \frac{U}{U_0} = \frac{1}{\sqrt{1 + x^2}}, \quad (22)$$

unde \underline{U}_0 este tensiunea la bornele circuitului pe frecvența de rezonanță:

$$\underline{U}_0 = RI_0. \quad (23)$$

• Tensiunea normală în modul (selectivitatea în tensiune) se exprimă în decibeli conform relației :

$$\frac{U}{U_0} [\text{dB}] = 20 \log \frac{U}{U_0}. \quad (24)$$

• Lărgimea de bandă la o atenuare de 3 dB ($B_{3\text{dB}}$) se definește, pentru modulul tensiunii similar ca în cazul circuitului serie și se poate determina cu relația

$$B_{3\text{dB}} = \frac{f_r}{Q}. \quad (25)$$

● Circuitul acordat derivație cu prize

Forma cea mai generală de circuit acordat derivație cu prize este reprezentată în figura 3, a, în care de obicei unul dintre generatoarele de curent lipsește.

Dacă sint îndeplinite condițiile

$$R_1 \gg \omega_r(L_1 + M); \quad R'_1 \gg \frac{1}{\omega_r C_1}, \quad (26)$$

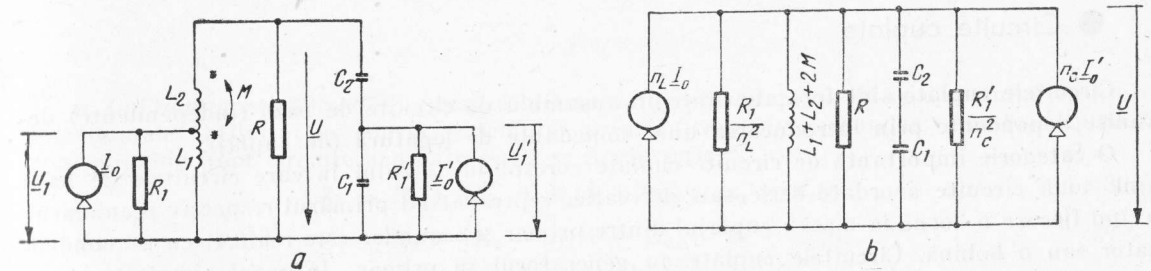


Fig. 3

unde $f_r = \omega_r/2\pi$ este frecvența de rezonanță a circuitului

$$f_r = \frac{1}{2\pi \sqrt{(L_1 + L_2 + 2M) \frac{C_1 C_2}{C_1 + C_2}}}, \quad (27)$$

atunci este valabilă schema echivalentă din figura 3,b.

● Coeficienții de priză n_L și n_C sînt

$$n_L = \frac{L_1 + M}{L_1 + L_2 + 2M}, \quad n_C = \frac{C_2}{C_1 + C_2}. \quad (28)$$

Dacă cuplajul dintre bobinele L_1 și L_2 este strîns ($M = \sqrt{L_1 L_2}$), atunci notînd cu n_1 numărul de spire al bobinei L_1 și cu n_2 numărul de spire al bobinei L_2 , se poate scrie

$$n_L = \frac{n_1}{n_1 + n_2}. \quad (29)$$

● Între tensiunile \underline{U}_1 , \underline{U}'_1 și \underline{U} sînt valabile relațiile

$$\underline{U}_1 = n_L \underline{U}, \quad \underline{U}'_1 = n_C \underline{U}. \quad (30)$$

● Factorul de calitate în sarcină al circuitului derivație cu prize se determină cu ajutorul schemei echivalente din figura 3,b. Rezultă

$$Q = \frac{R_e}{\omega_r(L_1 + L_2 + 2M)}, \quad \text{unde} \quad \frac{1}{R_e} = \frac{1}{R} + \frac{n_L^2}{R_1} + \frac{n_C^2}{R'_1}. \quad (31)$$

● Factorul de calitate în gol al circuitului derivație corespunde situației în care prizele sînt lăsate în gol:

$$Q_0 = \frac{R}{\omega_r(L_1 + L_2 + 2M)}. \quad (32)$$

● Circuite cuplate

Circuitele cuplate sînt formate dintr-un ansamblu de circuite de bază (independente) devenite dependente prin introducerea unor impedanțe de legătură (de cuplaj).

O categorie importantă de circuite cuplate corespunde cazului în care circuitele de bază sînt două circuite acordate serie sau derivație, reprezentînd primarul respectiv secundarul, avînd fiecare o bornă la masă; cuplajul dintre primar și secundar este realizat cu un condensator sau o bobină. Circuitele cuplate au generatorul în primar. În cazul circuitelor serie generatorul este de tensiune, iar în cazul circuitelor derivație generatorul este de curent.

● Cuadripolul de cuplaj este format din reactanța de cuplaj și reactanțele de același tip cu ea din primar și secundar. Cuadripolul de cuplaj poate fi în T sau în π (fig. 4).

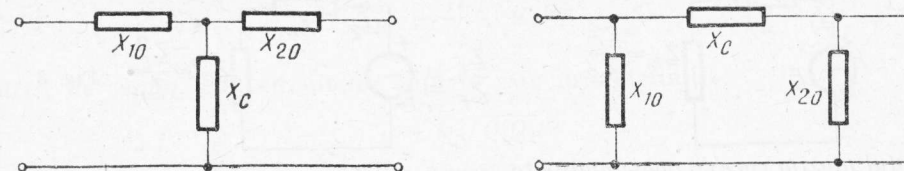


Fig. 4

● Coeficientul de cuplaj k este prin definiție

— pentru cuadripolul de cuplaj în T :

$$k = \frac{|X_c|}{\sqrt{(X_{10} + X_c)(X_{20} + X_c)}}; \quad (33)$$

— pentru cuadripolul de cuplaj în π :

$$k = \frac{\sqrt{X_{10}X_{20}}}{\sqrt{(X_{10} + X_c)(X_{20} + X_c)}}. \quad (33')$$

Circuite cuplate serie

Circuitele cuplate serie pot fi aduse la una dintre configurațiile reprezentate în figura 5.



Fig. 5

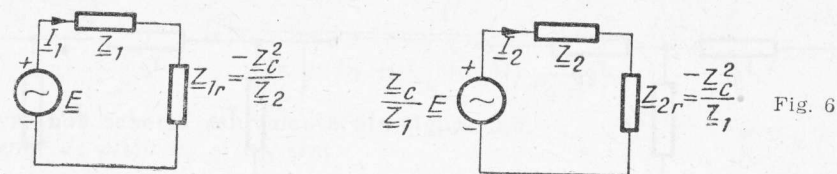
● Impedanța primarului, Z_1 , respectiv impedanța secundarului Z_2 se determină însumând impedanțele întâlnite pe conturul ochiului primar, respectiv secundar. Aceste impedanțe corespunzând unor circuite acordate serie, se poate scrie:

$$Z_1 = R_1 + jX_1 = R_1(1 + jx_1); \quad x_1 = \beta_1 Q_1; \quad (33, a)$$

$$Z_2 = R_2 + jX_2 = R_2(1 + jx_2); \quad x_2 = \beta_2 Q_2, \quad (33, b)$$

unde semnificațiile parametrilor x , β și Q sînt cele cunoscute.

● Schemele echivalente pentru circuitele primar, respectiv secundar sînt reprezentate în figura 6.



● Curentul maxim care se poate obține în secundar este

$$I_{2MM} = \frac{jE}{2\sqrt{R_1 R_2}} \quad (34)$$

Circuite cuplate derivație

Circuitele cuplate derivație pot fi aduse la una din configurațiile reprezentate în figura 7.

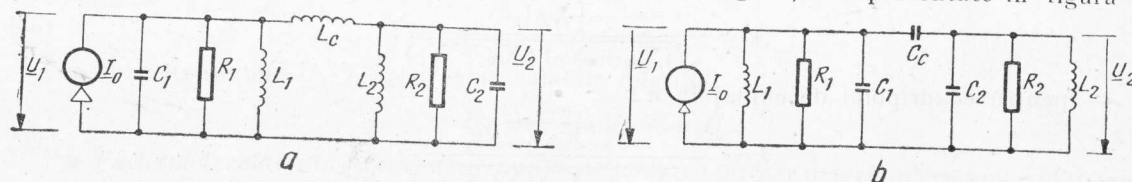


Fig. 7

● Impedanța primarului Z_1 , respectiv impedanța secundarului Z_2 , sînt egale cu impedanța la bornele primarului cu secundarul scurtcircuitat, respectiv cu impedanța la bornele secundarului cu primarul scurtcircuitat. Aceste impedanțe corespund unor circuite acordate derivație, deci :

$$Z_1 = \frac{R_1}{1 + jx_1}; \quad x_1 = \beta_1 Q_1; \quad (35, a)$$

$$Z_2 = \frac{R_2}{1 + jx_2}; \quad x_2 = \beta_2 Q_2, \quad (35, b)$$

cu semnificațiile cunoscute pentru parametrii x , β și Q .

● Schemele echivalente pentru circuitele primar, respectiv secundar sînt reprezentate în figura 8.

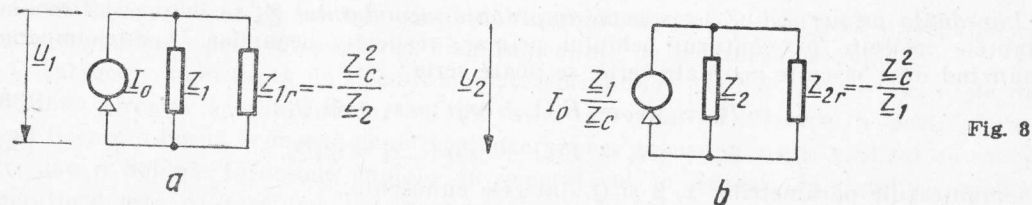


Fig. 8

entate

- Tensiunea maximă care se poate obține la bornele secundarului este

$$\underline{U}_{2MM} = \frac{jI_0}{2} \sqrt{R_1 R_2}. \quad (36)$$

- Indicele de cuplaj g al circuitelor cuplate este prin definiție

$$g = k \sqrt{Q_1 Q_2}. \quad (37)$$

Cuplajul critic se obține pentru $g = 1$.

- Pentru circuitele cuplate serie, respectiv derivație sînt valabile relațiile :

$$\frac{I_1}{I_2} = \frac{1 + jx_2}{jg} \sqrt{\frac{R_2}{R_1}}; \quad (38, a)$$

$$\frac{U_1}{U_2} = \frac{1 + jx_2}{jg} \sqrt{\frac{R_1}{R_2}}. \quad (38, b)$$

- Pentru circuitele cuplate serie, respectiv derivație, se introduce funcția normală $A(x_1; x_2; g)$:

$$\frac{I_2}{I_{2MM}} = A(x_1; x_2; g); \quad \frac{U_2}{U_{2MM}} = A(x_1; x_2; g), \quad (39)$$

unde

$$A(x_1; x_2; g) = \frac{2g}{(1 + jx_1)(1 + jx_2) + g^2}. \quad (40)$$

- Dacă primarul și secundarul au aceeași frecvență de acord f_r , introducînd notațiile :

$$b = \frac{Q_1}{Q_2} + \frac{Q_2}{Q_1}; \quad x = \sqrt{x_1 x_2} = \frac{2(f - f_r)}{f_r} \sqrt{Q_1 Q_2} \quad (41)$$

se obține pentru modulul funcției normale expresia

$$A(x; b; g) = \frac{2g}{\sqrt{x^4 - 2x^2 \left(g^2 - \frac{b}{2} \right) + (g^2 + 1)^2}}. \quad (42)$$

- Cuplajul de tranziție este prin definiție corespunzător condiției

$$g_t = \sqrt{\frac{b}{2}}. \quad (43)$$

○ Notă. În figura 9 sînt reprezentate principalele valori ale modulului funcției normale $A(x; b; g)$ pentru o valoare b dată, parametrul fiind indicele de cuplaj g , iar variabila x .

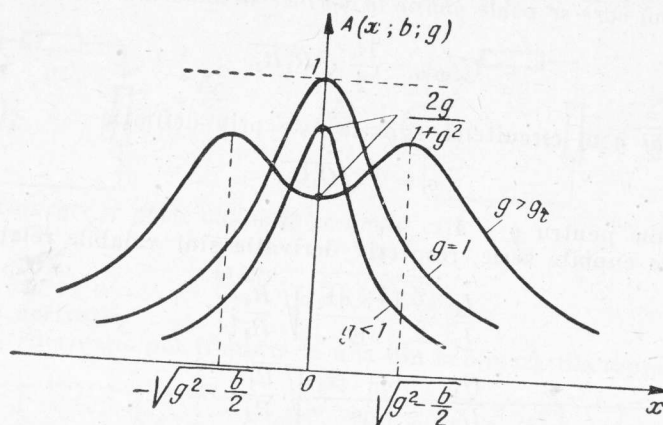


Fig. 9

● *Lărgimea de bandă în sens Cebîșev* definită pentru circuitele cuplate lucrînd deasupra cuplaiului de tranziție ($g > g_t$) este egală cu lărgimea domeniului de frecvențe în jurul frecvenței de rezonanță pentru care funcția normalizată nu scade în modul sub valoarea de la frecvența de rezonanță :

$$B_c = \sqrt{2} \frac{f_0}{\sqrt{Q_1 Q_2}} \sqrt{g^2 - \frac{b}{2}}. \quad (44)$$

● *Neuniformitatea în bandă* este raportul dintre valoarea maximă și cea minimă a modulului funcției normate în domeniul de frecvențe al benzii în sens Cebîșev, exprimat în decibeli :

$$\eta[\text{dB}] = 20 \log \frac{A_{MAX}}{A_{min}}; \quad A_{min} = \frac{2g}{1 + g^2}. \quad (45)$$

○ De remarcă că pentru $Q_1 = Q_2$ ($b = 2$) se obține $A_{MAX} = 1$.

ENUNȚURI

● Circuitul acordat serie

2.1. Pentru un circuit acordat serie se cunosc $R = 10 \, \Omega$, $L_0 = 310 \, \mu\text{H}$ și $C_0 = 200 \, \text{pF}$. Să se determine frecvența, factorul său de calitate și lărgimea de bandă la o atenuare de 3 dB.

2.2. Să se dimensioneze un circuit acordat serie cu frecvența de rezonanță $f_r = 1 \, \text{MHz}$, avînd impedanța la rezonanță egală cu $10 \, \Omega$ și lărgimea de bandă la o atenuare de 3 dB egală cu 20 kHz.

2.3. Un circuit acordat serie este alimentat pe frecvența de rezonanță de la un generator de tensiune. La bornele condensatorului se obține o tensiune $U_c = 20$ V. După inserierea unei rezistențe $R' = 100 \Omega$, tensiunea la bornele condensatorului devine $U'_c = 5$ V. Să se determine rezistența proprie a circuitului acordat.

2.4(R). Un circuit acordat serie este format dintr-o bobină cu pierderi și un condensator cu pierderi. Știind că factorul de calitate al bobinei la frecvența de rezonanță este Q_L , iar factorul de calitate al condensatorului la aceeași frecvență este Q_c , să se arate că factorul de calitate la circuitului serie este $Q = \frac{Q_L Q_c}{Q_L + Q_c}$.

2.5. Un circuit acordat serie are elementele $R = 10 \Omega$, $L_0 = 125 \mu\text{H}$ și $C_0 = 200 \text{ pF}$ și este alimentat de un generator de tensiune sinusoidală cu amplitudinea $E = 1$ V. Dacă generatorul lucrează pe frecvența de rezonanță, să se determine curentul prin circuit și tensiunea la bornele condensatorului.

2.6. Să se determine domeniul de frecvențe în jurul frecvenței de rezonanță pentru care în aproximarea expresiei

$$\beta = \frac{f}{f_r} - \frac{f_r}{f} \text{ prin } \tilde{\beta} = \frac{2(f - f_r)}{f_r}$$

se face o eroare relativă mai mică de $\varepsilon\%$. Aplicație pentru $\varepsilon = 5\%$ și $f_r = 1$ MHz.

2.7. Un circuit acordat serie avînd frecvența de rezonanță $f_r = 500$ kHz are condensatorul de capacitate $C_0 = 800 \text{ pF}$ și lărgimea de bandă la o atenuare de 3 dB egală cu 10 kHz. Să se determine impedanța circuitului la frecvențele f_r , $f_1 = 510$ kHz și $f_2 = 490$ kHz.

Dacă circuitul este alimentat de la un generator de tensiune sinusoidală de amplitudine egală cu 0,5 V, să se determine curentul prin circuit și tensiunea la bornele condensatorului, cînd frecvența generatorului este f_r , f_1 sau f_2 .

2.8. Să se determine rezistența ce trebuie inseriată cu circuitul acordat din problema 2.7 astfel încît lărgimea de bandă la o atenuare de 3 dB să devină egală cu 25 kHz.

2.9. Un circuit acordat serie, cu frecvența de rezonanță de 1 MHz și lărgimea de bandă la o atenuare de 3 dB egală cu 10 kHz, are capacitatea condensatorului $C_0 = 200 \text{ pF}$. Care este impedanța circuitului serie la frecvența de 1 MHz dacă în paralel cu condensatorul C_0 se pune o capacitate egală cu 4 pF?

2.10. Un circuit acordat serie cu frecvența de rezonanță $f_r = 10$ MHz și factorul de calitate $Q = 50$ este realizat cu o bobină avînd inductanța $L_0 = 5 \mu\text{H}$. Circuitul are conectat la intrare un generator de tensiune sinusoidală pe frecvența de 10 MHz și amplitudine 100 mV. Cit este curentul prin circuit dacă inductanța bobinei crește cu 10%?

2.11(R). Pentru un circuit acordat serie cunoaștem frecvența de rezonanță egală cu 470 kHz și lărgimea benzii de trecere la o atenuare de 3 dB egală cu 9 kHz. Care este lărgimea benzii de trecere la o atenuare de 6 dB?

2.12. Un circuit serie format dintr-un condensator fără pierderi și o bobină cu pierderi este alimentat de la un generator de tensiune sinusoidală cu amplitudinea E (conform figurii). Pentru ce frecvență a generatorului tensiunea la bornele bobinei cu pierderi este egală în amplitudine cu tensiunea aplicată de la generator ?

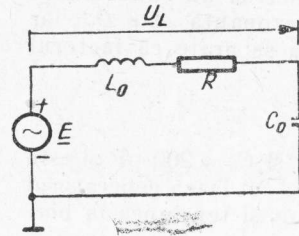


Fig. 2.12

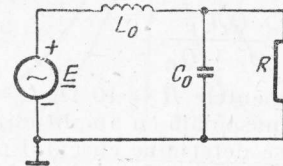


Fig. 2.13

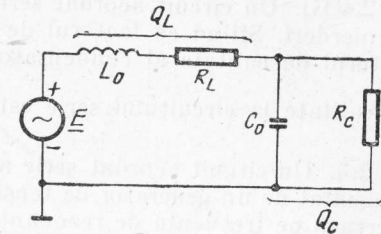


Fig. 2.14

2.13(R). Circuitul prezentat în figură are, în cazul în care rezistența R lipsește, frecvența de rezonanță $f_r = 500$ kHz. Pentru o rezistență $R = 1$ k Ω , frecvența de rezonanță se modifică cu 10%. Să se determine elementele circuitului.

2.14. Pentru circuitul serie din figură se cunosc $L_0 = 64$ μ H și $C_0 = 400$ pF. În jurul frecvenței de rezonanță se cunoaște factorul de calitate al bobinei $Q_L = 50$ și factorul de calitate al condensatorului $Q_C = 10$. Să se determine frecvența de rezonanță a circuitului și factorul său de calitate. Care este amplitudinea tensiunii la bornele condensatorului dacă generatorul de semnal asigură amplitudinea $E = 1$ V, iar frecvența sa este egală cu frecvența de rezonanță a circuitului ?

2.15. Un circuit serie are elementele $R = 8$ Ω , $L_0 = 100$ μ H și $C_0 = 100$ pF. Generatorul de tensiune aplicat circuitului debitează o tensiune sinusoidală de amplitudine $E = 2$ V pe frecvența de rezonanță. Care este amplitudinea tensiunii rezultate la bornele condensatorului ? Ce tensiune suportă un om care pune mîna la bornele condensatorului (rezistența mîinii este $R_m = 10$ k Ω) ?

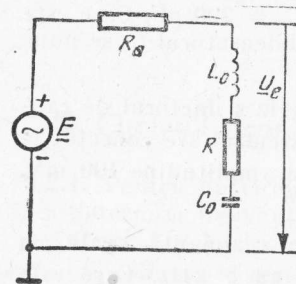


Fig. 2.16

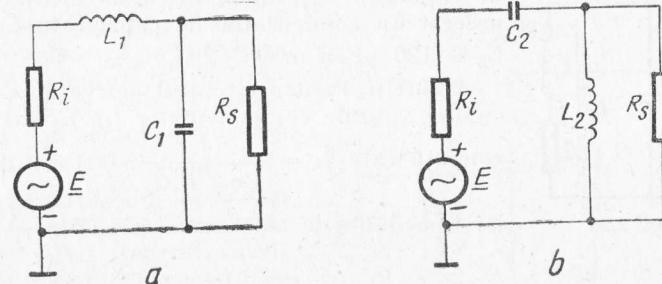
2.16. La intrarea unui receptor, în scopul atenuării semnalelor de frecvență intermediară, se utilizează un circuit de rejecție format dintr-un circuit serie acordat pe frecvența $f_r = 470$ kHz, avînd factorul de calitate $Q = 100$ și bobina de inductanță $L_0 = 300$ μ H. Cînoșcînd rezistența echivalentă a antenei $R_a = 300$ Ω , să se determine modulul raportului dintre factorii de transfer U_e/E (conform figurii) evaluați la frecvențele de 470 kHz (frecvență intermediară) și de 550 kHz (cea mai apropiată frecvență din gama de unde medii).

2.17. Un circuit serie este alimentat de la un generator de tensiune sinusoidală de amplitudine $E = 1$ V și frecvența $f_r = 2$ MHz

egală cu cea de rezonanță a circuitului. Elementele circuitului serie sînt $L_0 = 125 \mu\text{H}$ și $R = 20 \Omega$. Care este valoarea tensiunii la bornele condensatorului? Ce tensiune măsoară un voltmetru de valori eficace care prezintă la intrare o capacitate $C_V = 5 \text{ pF}$? Dar un voltmetru cu o rezistență de intrare $R_V = 100 \text{ k}\Omega$?

2.18. O rezistență de sarcină $R_s = 6 \text{ k}\Omega$ trebuie adaptată la un generator de impedanță internă $R_i = 500 \Omega$, la frecvența de 1 MHz , în scopul obținerii transferului maxim de putere. În acest scop se utilizează una dintre schemele din figură. Să se determine elementele schemei, presupunînd reactantele fără pierderi.

Fig. 2.18



● Circuitul acordat derivație

2.19. Să se dimensioneze un circuit derivație avînd frecvența de rezonanță 1 MHz , lărgimea de bandă la o atenuare de 3 dB egală cu 10 kHz și impedanța la rezonanță $R = 50 \text{ k}\Omega$.

2.20(R). Un circuit acordat derivație este realizat prin conectarea în paralel a unei bobine avînd factorul de calitate Q_L cu un condensator avînd factorul de calitate Q_C . Să se arate că factorul de calitate al circuitului derivație este $Q = \frac{Q_L Q_C}{Q_L + Q_C}$.

2.21. Un circuit acordat derivație avînd frecvența de rezonanță egală cu 470 kHz este constituit dintr-o bobină de inductanță $L_0 = 125 \mu\text{H}$ cu factorul de calitate $Q_L = 100$ și un condensator fără pierderi. Ce rezistență trebuie conectată în paralel cu circuitul acordat pentru a realiza o lărgime de bandă la o atenuare de 3 dB egală cu $9,4 \text{ kHz}$?

2.22. Un circuit acordat derivație este realizat cu o bobină de inductanță $L_0 = 125 \mu\text{H}$ și un condensator $C_0 = 200 \text{ pF}$. Pe frecvența de rezonanță impedanța circuitului este $R = 64 \text{ k}\Omega$. De la un generator de curent, în circuit se injectează un curent sinusoidal de amplitudine $I_0 = 0,1 \text{ mA}$ pe frecvența de rezonanță. Care este tensiunea la bornele circuitului? Cu cîți decibeli scade tensiunea la bornele circuitului dacă frecvența generatorului se modifică cu 5% ?

2.23. Unui circuit acordat derivație avînd frecvența de rezonanță de 10 MHz, factorul de calitate $Q = 100$ și capacitatea $C_0 = 50$ pF i se aplică un curent de la un generator sinusoidal de amplitudine $I_0 = 0,1$ mA, pe frecvența de acord. Ce tensiune va măsura la bornele circuitului un voltmetru electronic (gradat în valori de vîrf) dacă impedanța sa de intrare este infinită? Dar dacă impedanța sa de intrare este o capacitate $C_v = 5$ pF?

2.24. Să se determine capacitatea parazită a unei bobine, știind că pentru a obține cu ajutorul ei un circuit acordat derivație cu frecvența de rezonanță f_{01} este necesar un condensator de capacitate C_1 , iar pentru a avea frecvența de rezonanță $f_{02} = af_{01}$ este necesar un condensator de capacitate C_2 . Caz particular: $C_1 = 250$ pF, $C_2 = 120$ pF și $a = \sqrt{2}$.

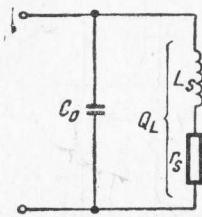


Fig. 2.25

2.25(R). Pentru circuitul derivație avînd configurația din figură se cunosc valorile componentelor L_s , C_0 și r_s . Să se arate că frecvența de rezonanță este $f_r = \frac{1}{2\pi\sqrt{L_s C_0}}$, factorul de calitate este $Q = Q_L = \frac{\omega_r L_s}{r_s}$,

iar impedanța la rezonanță este $Z = \frac{L_s}{C_0 r_s}$, dacă $Q_L > 10$.

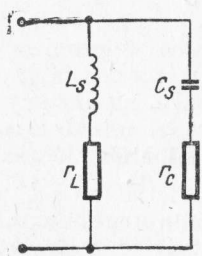


Fig. 2.27

2.26. Pentru circuitul derivație avînd configurația din problema precedentă se cunosc valorile componentelor L_s , C_0 și valoarea factorului de calitate Q_L al bobinei în jurul frecvenței de rezonanță. Să se determine valoarea exactă a frecvenței de rezonanță și impedanța la rezonanță.

2.27. Se consideră circuitul avînd configurația din figură. Să se arate că dacă $r_L = r_C = \sqrt{\frac{L_s}{C_s}}$ impedanța circuitului nu depinde de frecvență. Cît este această impedanță?

2.28. Un circuit acordat derivație are frecvența de rezonanță f_0 și factorul de calitate Q . Care este lărgimea de bandă la o atenuare de 6 dB?

● Circuitul acordat derivație cu priză

2.29. Pentru circuitul derivație cu priză pe bobină, coeficientul de priză n_L este dat de relația (28). Notînd cu n_1 numărul de spire al bobinei L_1 , cu n_2 numărul de spire al bobinei L_2 și considerînd că $L_1 = \alpha n_1^2$, $L_2 = \alpha n_2^2$, $M = \sqrt{L_1 L_2}$ să se arate valabilitatea relației (29).

2.30(R). Se consideră circuitul derivație cu priză din figură, pentru care se cunosc: $C_0 = 200$ pF, $Q_0 = 100$, $f_r = 1$ MHz. Generatorul de curent lucrează pe frecvența de rezonanță f_r a circuitului avînd amplitudinea curentului $I_0 = 0,1$ mA și rezistența internă $R_g = 10$ k Ω .

Să se determine coeficientul de priză optim n_{L0} astfel ca tensiunea U_0 rezultată la bornele circuitului să fie maximă și amplitudinea acestei tensiuni. Cît este lărgimea de bandă la o atenuare de 3 dB a circuitului în sarcină?

2.31. Pentru circuitul din problema precedentă se impune $n_L = 0,7$. Să se determine amplitudinea tensiunii rezultate la bornele circuitului și lărgimea de bandă la o atenuare de 3 dB. Să se rezolve problema și în cazul $n_L = 1$.

2.32. Se consideră circuitul derivație cu priză din figură, pentru care se cunosc $C_1 = C_2 = 100$ pF, $Q_0 = 100$ și $f_r = 10$ MHz. Generatorul de curent lucrează pe frecvența de rezonanță f_r a circuitului, avînd curentul de amplitudine $I_0 = 0,1$ mA și rezistența internă $R_g = 4$ k Ω . Care sînt amplitudinea tensiunii rezultate la bornele circuitului și factorul de calitate în sarcină?

2.33. Pentru circuitul cu configurația din problema precedentă se cunosc elementele: $L_0 = 100$ μ H, $R = 32$ k Ω și frecvența de rezonanță $f_r = 500$ kHz. Generatorul de curent debitează pe frecvența f_r un curent de amplitudine 0,2 mA și are impedanța internă $R_g = 8$ k Ω . Să se determine capacitățile C_1 și C_2 pentru ca tensiunea la bornele circuitului să fie maximă. Cît este această tensiune și cît este lărgimea de bandă la o atenuare de 3 dB, respectiv 6 dB?

2.34. Un generator de tensiune de amplitudine $E = 1$ V și rezistență internă $R_g = 10$ k Ω lucrează pe frecvența de rezonanță $f_r = 500$ kHz a circuitului din figură. Se cunosc: $n_1 = n_2$, $C_1 = C_2 = 2$ nF, $R_s = 10$ k Ω , $Q_0 = 100$. Să se determine tensiunea la bornele rezistenței de sarcină și factorul de calitate în sarcină al circuitului. Dacă generatorul își modifică frecvența la $f_g = 490$ kHz, care este tensiunea la bornele rezistenței de sarcină?

2.35. Pentru circuitul avînd configurația din problema precedentă se cunosc: $E = 1$ V, $R_g = 10$ k Ω , $n_1 + n_2 = 200$ spire, $C_1 = C_2 = 2$ nF, $R_s = 10$ k Ω , $Q_0 = 100$. Să se determine n_1 și n_2 astfel ca la bornele rezistenței R_s să rezulte tensiunea maximă pe frecvența de rezonanță $f_r = 500$ kHz a circuitului.

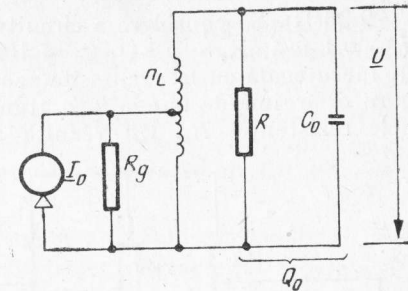


Fig. 2.30

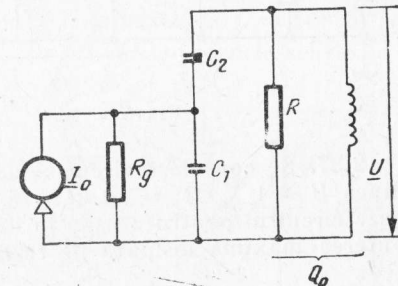


Fig. 2.32

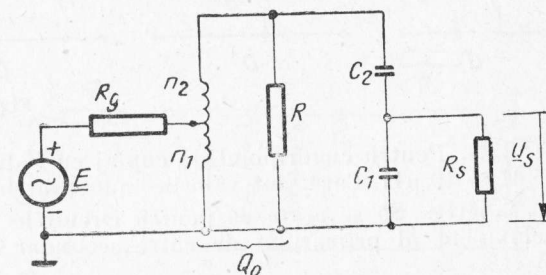


Fig. 2.34

2.36(R). Să considerăm circuitul derivație cu prize din figură. Elementele cunoscute sînt : $I_0 = 0,1 \text{ mA}$, $R_g = 5 \text{ k}\Omega$, $Q_0 = 100$, $R_s = 600 \Omega$, capacitatea de acord $C_a = 1 \text{ nF}$ și frecvența de lucru egală cu frecvența de acord $f_r = 600 \text{ kHz}$. Să se dimensioneze circuitul pentru a asigura o lărgime de bandă la o atenuare de 3 dB egală cu 20 kHz și tensiunea maximă la bornele rezistenței R_s . Cît rezultă această tensiune ?

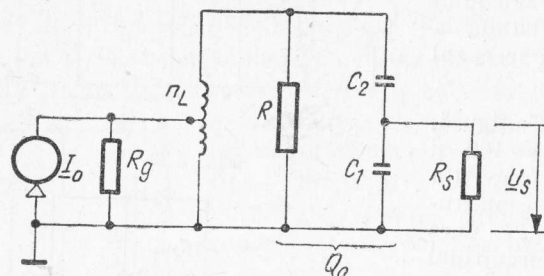


Fig. 2.36

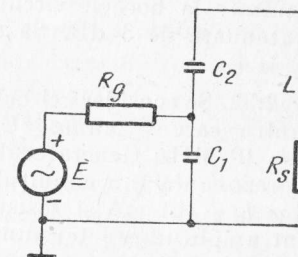


Fig. 2.37

2.37. Se consideră circuitul derivație cu priză din figură, pentru care se cunosc amplitudinea $E = 1 \text{ V}$, $R_g = 10 \text{ k}\Omega$, $R_s = 50 \Omega$ și frecvența de lucru $f_r = 1 \text{ MHz}$. Să se dimensioneze circuitul pentru a asigura lărgimea de bandă la o atenuare de 3 dB egală cu 25 kHz și puterea maximă disipată pe rezistența R_s . Cît este această putere ?

● Circuite cuplate

2.38. Pentru cuadripolii de cuplaj din figură să se determine coeficienții de cuplaj k .

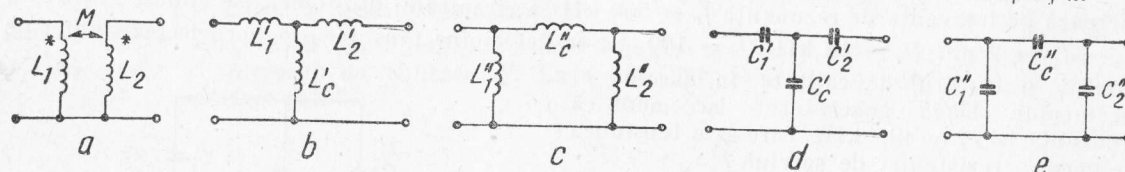


Fig. 2.38

2.39. Pentru cuadripolul de cuplaj cu inductanță mutuală se cunosc : $L_1 = L_2 = 500 \mu\text{H}$ și $M = 10 \mu\text{H}$. Care sînt valorile inductanțelor cuadripolilor în T și în π echivalenți ?

2.40(R). Să se arate ca pentru circuitele cuplate serie, impedanța reflectată în circuitul echivalent al primarului de către secundar se poate scrie :

$$\underline{Z}_{1r} = \frac{R_1 g^2}{1 + jx_2}.$$

2.41. Două circuite cuplate serie sînt alimentate pe frecvența de acord sincron a primarului și secundarului. Pentru ce valoare a indicelui de cuplaj rezistența din circuitul echivalent al primarului crește de n ori?

2.42. Două circuite cuplate serie avînd primarul identic cu secundarul lucrează pe frecvența de acord sincron. Cunoscînd $Q_1 = Q_2 = 100$, să se determine coeficientul de cuplaj pentru care curentul din primar are aceeași amplitudine cu curentul din secundar. Cît este defazajul dintre cei doi curenți?

2.43. Două circuite cuplate serie au indicele de cuplaj $g = 2$, rezistența primarului $R_1 = 10 \Omega$ și factorul de calitate al secundarului $Q_2 = 50$. Cu cît trebuie dezacordat secundarul față de frecvența de lucru $f_r = 1$ MHz pentru ca reactanța reflectată în primar să fie maximă și ce valoare are aceasta?

2.44. Un circuit rezonant serie, avînd inductanța $L_1 = 50 \mu\text{H}$ și capacitatea $C = 500$ pF, este cuplat inductiv cu o bobină fără pierderi de inductanță $L_2 = 50 \mu\text{H}$ cu bornele scurtcircuitate. Dacă inductanța de cuplaj M variază între zero și $25 \mu\text{H}$, să se determine între ce limite variază frecvența de acord a circuitului serie echivalent.

2.45. Pentru schema din figură să se determine impedanța între bornele 1—1' la frecvența pentru care ambele circuite sînt acordate, valoarea reactanței de cuplaj fiind $\omega_0 M = 10 \Omega$, iar $L = L_2 = 30$ mH. Se mai cunosc $R_L = R_C = R_2 = 10 \Omega$.

2.46. Se consideră două circuite cuplate avînd primarul și secundarul cu aceeași frecvență de acord f_r , același factor de calitate Q , lucrînd la cuplaj critic. Să se arate că lărgimea benzii de trecere la o atenuare de 3 dB este $B_{3\text{dB}} = \sqrt{2} f_0 / Q$.

2.47. Două circuite cuplate avînd primarul și secundarul cu aceeași frecvență de acord f_r și același factor de calitate Q lucrează cu indicele de cuplaj $g = \sqrt{2} + 1 \approx 2,41$. Să se arate că banda în sens Cebîșev este $B_c = 3,1 f_0 / Q$, iar neuniformitatea $\eta = 3$ dB.

2.48. Pentru circuitele cuplate serie din figură se cunosc frecvențele de acord $f_{r1} = f_{r2} = 2$ MHz, inductanțele $L_1 = L_2 = 100 \mu\text{H}$, factorii de calitate $Q_1 = 50$, $Q_2 = 100$ și coeficientul de cuplaj $k = 0,03$. În paralel cu inductanța secundarului se introduce o rezistență R'_2 care egalizează valorile factorilor de calitate. Care este valoarea rezistenței R'_2 și cea a lărgimii de bandă în sens Cebîșev înainte și după egalizare?

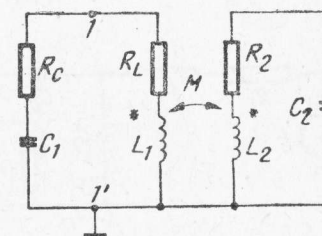


Fig. 2.45

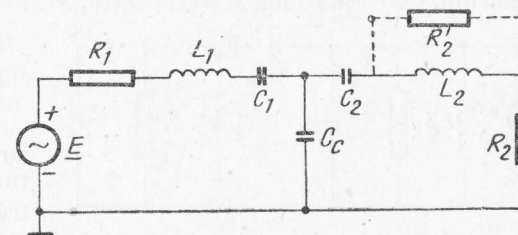


Fig. 2.48

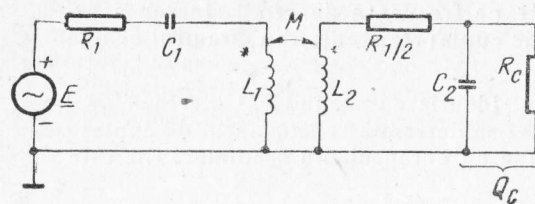


Fig. 2.49

2.49. Circuitele cuplate din figură se caracterizează prin următoarele: factorul de calitate al primarului $Q_1 = 50$, cel corespunzător condensatorului din secundar $Q_C = 100$, inductanțele $L_1 = L_2 = 1 \text{ mH}$ și $M = 50 \text{ } \mu\text{H}$. Dacă circuitele primar și secundar sînt acordate pe aceeași frecvență $f_i = 200 \text{ kHz}$, care este frecvența generatorului f_g pentru care puterea disipată pe rezistența $R_1/2$ a secundarului este maximă?

2.50(R). Pentru circuitele cuplate serie din figură se cunosc $L_1 = L_2 = 400 \text{ } \mu\text{H}$, $C_1 = C_2 = 500 \text{ pF}$ și $R_1 = R_2 = 20 \text{ } \Omega$. Să se determine condensatorul de cuplaj C_C astfel încît neuniformitatea în bandă să fie $\eta = 3 \text{ dB}$. Cît este lărgimea de bandă în sens Cebîșev?

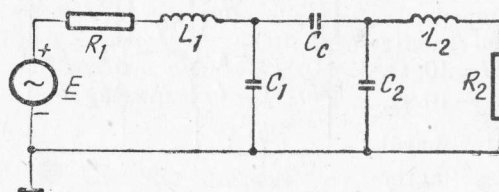


Fig. 2.50

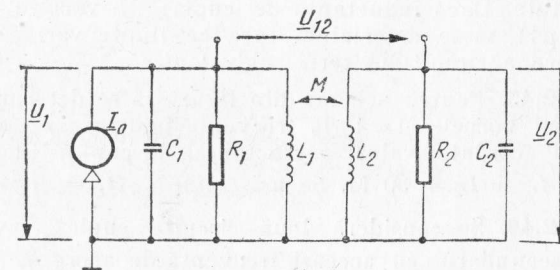


Fig. 2.51

2.51. Circuitele cuplate derivație din figură au elementele $L_1 = L_2 = 200 \text{ } \mu\text{H}$, $Q_1 = Q_2 = 100$, $M = 6 \text{ } \mu\text{H}$ și frecvența de acord a primarului egală cu cea a secundarului $f_i = 200 \text{ kHz}$. Dacă generatorul de curent sinusoidal are amplitudinea $I_0 = 0,1 \text{ mA}$ și frecvența egală cu cea de acord a circuitelor, să se determine amplitudinile tensiunilor care iau naștere la bornele primarului, secundarului și între primar și secundar.

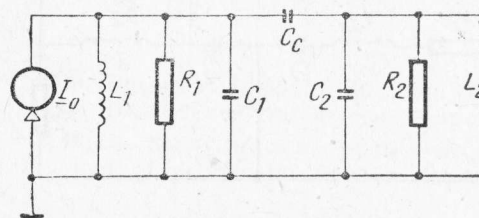


Fig. 2.52

2.52. Să se dimensioneze circuitele cuplate din figură astfel ca: $L_1 = L_2$, $R_1 = R_2$, $C_1 = C_2 = 1 \text{ nF}$, frecvența de rezonanță să fie egală cu 500 kHz , lărgimea de bandă în sens Cebîșev $B_C = 31 \text{ kHz}$, iar neuniformitatea în bandă $\eta = 3 \text{ dB}$. Ce amplitudine trebuie să aibă generatorul de curent pentru ca lucrînd pe frecvența de acord a circuitelor să producă în secundar o tensiune de amplitudine 1 V ?

2.53. Să se dimensioneze circuitele cuplate din figură astfel ca $C_1 = C_2$, $R_1 = R_2$, $L_1 = L_2 = 100 \mu\text{H}$, frecvența de rezonanță să fie egală cu 1 MHz, cuplajul să fie critic, iar lărgimea de bandă la o atenuare de 3 dB să aibă valoarea $B_{3\text{dB}} = 28,2 \text{ kHz}$.

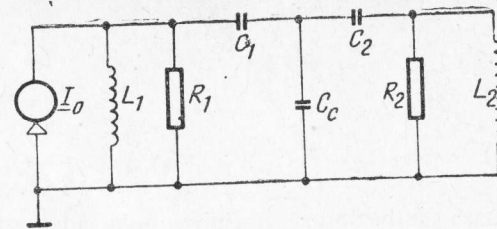


Fig. 2.53

2.54. Se consideră configurația de circuite cuplate din problema 2.52 pentru care se cunosc elementele: $L_1 = L_2 = 500 \mu\text{H}$, $R_1 = 50 \text{ k}\Omega$, $R_2 = 100 \text{ k}\Omega$, frecvențele de acord ale primarului și secundarului egale cu $f_r = 200 \text{ kHz}$ și $g = 2$. Să se determine valorile capacităților. La ce frecvențe ale generatorului se obțin tensiunile maxime din secundar și ce amplitudine au dacă generatorul de curent asigură amplitudinea $I_0 = 0,1 \text{ mA}$?

2.55. Pentru circuitele cuplate din figură se cunosc: coeficienții de priză din bobina primarului n_p și din bobina secundarului n_s egali: $n_p = n_s = 0,5$; $R_2 = 2R_1$, $R_3 = R_1/2$, $L_1 = L_2$ și $C_1 = C_2 = 100 \text{ pF}$. Frecvența de acord a circuitelor primar și secundar este egală cu 2 MHz,

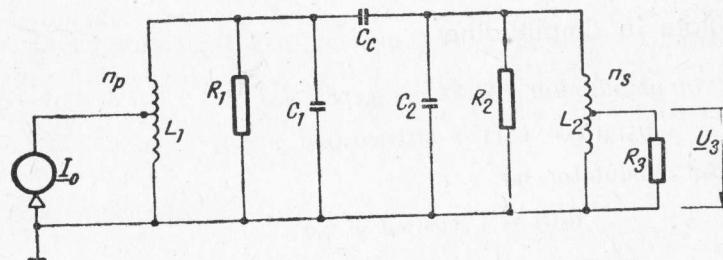


Fig. 2.55

cuplajul este critic, iar lărgimea de bandă la o atenuare de 3 dB are valoarea $B_{3\text{dB}} = 56,4 \text{ kHz}$. Să se determine elementele circuitului. Dacă $I_0 = 1 \text{ mA}$, cât este amplitudinea tensiunii la bornele rezistenței R_3 pe frecvența de acord?

3. SEMNALE MODULATE

BREVIAR

- Semnale modulate în amplitudine

- Semnalul modulat în amplitudine (MA) are expresia

$$u_{MA}(t) = U_0[1 + kf(t)]\cos(\omega_0 t + \varphi_0) \quad (1)$$

în care $f(t)$ este semnalul modulator iar

$$u_0(t) = U_0\cos(\omega_0 t + \varphi_0) \quad (2)$$

este semnalul purtător.

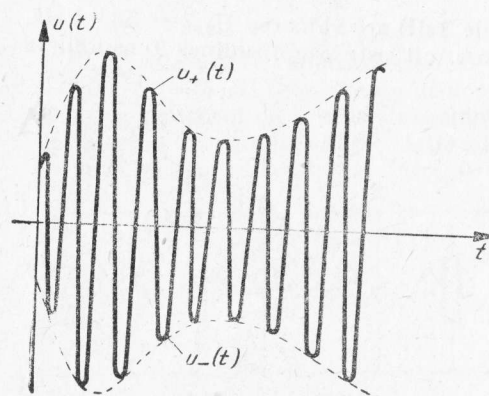


Fig. 1

- Anvelopa superioară a semnalului modulat în amplitudine se obține considerând $\cos(\omega_0 t + \varphi_0) = 1$:

$$u_+(t) = U_0[1 + kf(t)], \quad (3)$$

iar anvelopa inferioară rezultă pentru $\cos(\omega_0 t + \varphi_0) = -1$:

$$u_-(t) = -U_0[1 + kf(t)]. \quad (4)$$

Între anvelopa inferioară și cea superioară are loc variația datorită factorului $\cos(\omega_0 t + \varphi_0)$ obținându-se pentru semnalul modulat în amplitudine legea de variație din figura 1.

● Dacă semnalul modulator este sinusoidal :

$$f(t) = U_m \cos \omega_m t, \quad (5)$$

atunci semnalul modulat în amplitudine este

$$u_{MA}(t) = U_0(1 + m \cos \omega_m t) \cos(\omega_0 t + \varphi_0) \quad (6)$$

în care $m = kU_m$ reprezintă gradul de modulație ($m \leq 1$)

● Descompunerea în componente spectrale a semnalului modulator în amplitudine corespunde dezvoltării expresiei sale în sumă de componente sinusoidale. În cazul expresiei (6) rezultă :

$$u_{MA}(t) = U_0 \cos(\omega_0 t + \varphi_0) + \frac{U_0 m}{2} \cos[(\omega_0 + \omega_m)t + \varphi_0] + \frac{U_0 m}{2} \cos[(\omega_0 - \omega_m)t + \varphi_0]. \quad (7)$$

● Lărgimea benzii de frecvențe ocupate de semnalul modulat în amplitudine este egală cu diferența dintre frecvențele cele mai depărtate care se găsesc în dezvoltarea în componente spectrale. În cazul expresiei (6) rezultă

$$B = 2f_m. \quad (8)$$

● Puterea semnalului modulat în amplitudine este egală cu puterea disipată pe o rezistență de 1Ω de semnalul considerat, tensiune sau curent. În cazul expresiei (6) rezultă :

$$P = \frac{1}{2} U_0^2 \left(1 + \frac{m^2}{2} \right). \quad (9)$$

● Semnale modulate în fază

● Semnalul modulat în fază (MP) are expresia :

$$u_{MP}(t) = U_0 \cos[\omega_0 t + kf(t) + \varphi_0], \quad (10)$$

unde $f(t)$ este semnalul modulator.

Dacă semnalul modulator este sinusoidal (5), atunci semnalul modulat în fază devine :

$$u_{MP}(t) = U_0 \cos(\omega_0 t + \Delta\varphi \cos \omega_m t + \varphi_0). \quad (11)$$

în care $\Delta\varphi = kU_m$ este deviația de fază, măsurată în radiani.

● Descompunerea în componente spectrale a semnalului modulat în fază corespunde exprimării sale sub forma unei sume de componente sinusoidale. Acest fapt se poate realiza prin metode elementare dacă $|kf(t)| < 0,4$, avînd în vedere aproximațiile :

$$\sin[kf(t)] \cong kf(t); \cos[kf(t)] \cong 1; |kf(t)| < 0,4. \quad (12)$$

Pentru cazul particular al semnalului modulator sinusoidal (11), este cunoscut rezultatul

$$u_{MP}(t) = U_0 \sum_{k=-\infty}^{+\infty} J_k(\Delta\varphi) \cos \left[(\omega_0 + k\omega_m)t + k\frac{\pi}{2} + \varphi_0 \right]. \quad (13)$$

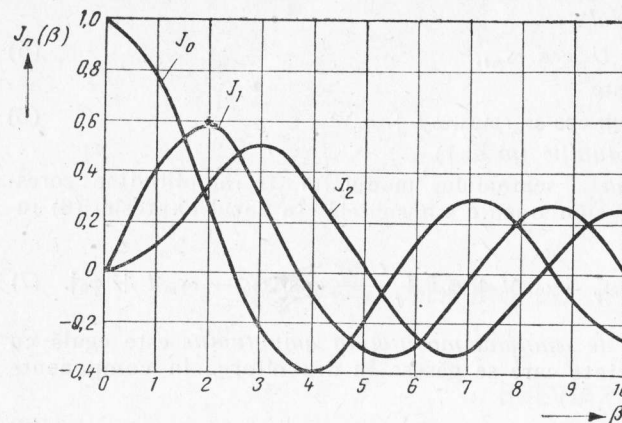


Fig. 2

ponente spectrale este în general infinit, considerăm importante numai componentele care depășesc 1% din amplitudinea purtătoarei nemodulate. Diferența dintre frecvențele componentelor cele mai depărtate între ele, cu convenția precizată anterior, determină lățimea benzii de frecvențe. O relație aproximativă valabilă în cazul semnalului modulator sinusoidal (11) este

$$B \cong 2(1 + \sqrt{\Delta\varphi} + \Delta\varphi)f_m. \quad (17)$$

● Puterea semnalului modulat în fază este egală cu puterea disipată pe o rezistență de 1 Ω de semnalul considerat, tensiune sau curent. În cazul semnalului modulator sinusoidal, având în vedere relația (15) rezultă:

$$P = \frac{1}{2} U_0^2. \quad (18)$$

● Semnale modulate în frecvență

● Semnalul modulat în frecvență (MF) are expresia:

$$u_{MF}(t) = U_0 \cos[\omega_0 t + k \int f(t) dt + \varphi_0], \quad (19)$$

unde $f(t)$ este semnalul modulator.

● Pentru un semnal de forma

$$u(t) = U_0 \cos[\varphi(t)], \quad (20)$$

se definește frecvența instantanee

$$\frac{1}{2\pi} \omega_i(t) = \frac{1}{2\pi} \frac{d\varphi(t)}{dt}. \quad (21)$$

S-au notat prin $J_k(\beta)$ funcțiile Bessel de speța 1, ordin k și argument β . În figura 2 sînt reprezentate cîteva dintre aceste funcții.

Menționăm cîteva din proprietățile acestor funcții, în relațiile ce urmează

$$J_{-k}(\beta) = (-1)^k J_k(\beta) \quad (14)$$

$$\sum_{k=-\infty}^{+\infty} J_k^2(\beta) = 1. \quad (15)$$

Dacă $\beta < 0,4$ se admit aproximațiile:

$$J_0(\beta) \cong 1, \quad J_1(\beta) \cong \frac{\beta}{2} \text{ și } J_k(\beta) \cong 0, \quad k \geq 2. \quad (16)$$

● Lățimea benzii de frecvențe ocupate de semnalul cu modulație de fază.

Avînd în vedere că numărul de com-

- În cazul semnalului modulat în frecvență (19), frecvența instantanee este

$$\frac{1}{2\pi} \omega_i(t) = \frac{1}{2\pi} [\omega_0 + kf(t)] \quad (22)$$

și se observă că variază în ritmul semnalului modulator.

- Dacă semnalul modulator este sinusoidal (5), atunci semnalul modulat în frecvență devine:

$$u_{MF}(t) = U_0 \cos(\omega_0 t + \beta \sin \omega_m t + \varphi_0), \quad (23)$$

în care

$$\beta = \frac{\Delta\omega}{\omega_m} = \frac{\Delta f}{f_m} \quad (24)$$

reprezintă indicele de modulație în frecvență, iar

$$\Delta f = \frac{k U_m}{2\pi} \quad (25)$$

este deviația de frecvență.

- Descompunerea în componente spectrale a semnalului modulat în frecvență se poate face prin metode trigonometrice dacă $|k \int f(t) dt| < 0,4$, caz în care sînt valabile aproximațiile:

$$\cos[k \int f(t) dt] \approx 1, \quad \sin[k \int f(t) dt] \approx k \int f(t) dt, \quad |k \int f(t) dt| < 0,4. \quad (26)$$

În cazul semnalului modulator sinusoidal (23) este valabilă dezvoltarea

$$u_{MF}(t) = U_0 \sum_{k=-\infty}^{\infty} J_k(\beta) \cos[(\omega_0 + k\omega_m)t], \quad (27)$$

unde $J_k(\beta)$ sînt funcțiile Bessel amintite mai sus.

În tabelul 3.1 sînt prezentate cîteva valori uzuale ale funcțiilor Bessel.

- Lățimea benzii de frecvență ocupate de semnalul cu modulație de frecvență, dat fiind numărul infinit al componentelor spectrale, se definește ca în cazul modulației de fază. O relație aproximativă valabilă în cazul semnalului modulator sinusoidal (23) este

$$B \approx 2(1 + \sqrt{\beta} + \beta)f_m. \quad (28)$$

- Puterea semnalului modulat în frecvență se definește ca în cazul semnalului modulat în fază. Similar, pentru semnal modulator sinusoidal rezultă

$$P = \frac{1}{2} U_0^2. \quad (29)$$

Tabelul 3.1

β	$J_0(\beta)$	$J_1(\beta)$	$J_2(\beta)$	$J_3(\beta)$	$J_4(\beta)$
0	1,0000	0	0	0	0
0,2	0,9900	0,0995	0,0050	0,0000	0,0000
0,4	0,9604	0,1960	0,0197	0,0013	0,0001
0,6	0,9120	0,2867	0,0437	0,0044	0,0003
0,8	0,8463	0,3688	0,0758	0,0102	0,0010
1,0	0,7652	0,4401	0,1149	0,0196	0,0025
1,2	0,6711	0,4983	0,1593	0,0325	0,0050
1,4	0,5669	0,5419	0,2073	0,0505	0,0091
1,6	0,4554	0,5699	0,2570	0,0725	0,0150
1,8	0,3400	0,5815	0,3061	0,0988	0,0232
2,0	0,2239	0,5767	0,3528	0,1289	0,0340

ENUNȚURI

● Semnale modulate în amplitudine

3.1. Să se reprezinte forma semnalului modulat în amplitudine

$u_{MA}(t) = U_0(1 + m \cos \omega_m t) \cos \omega_0 t$; $\omega_m \ll \omega_0$
 pentru $m = 0,5$ și pentru $m = 1,5$. Cum arată în realitate semnalul modulat în amplitudine pentru $m = 1,5$, ținând seama de modul de producere al acestuia?

3.2. Pentru tensiunea modulată în amplitudine

$$u_{MA}(t) = U_0 \left(1 + \sum_{k=1}^n m_k \cos \omega_k t \right) \cos(\omega_0 t + \varphi_0)$$

să se determine descompunerea în componente spectrale. Dacă $\omega_1 < \omega_2 < \omega_3 \dots < \omega_n$, să se găsească lărgimea benzii de frecvențe ocupate de semnal. Care este puterea disipată de această tensiune pe o rezistență de 1Ω ?

3.3(R). Se consideră tensiunea modulată în amplitudine

$$u_{MA}(t) = U_0 [1 + k f(t)] \cos \omega_0 t,$$

pentru care $k = 0,5$ iar

$$f(t) = \cos \omega_m t + \sin \omega_m t.$$

Să se determine gradul de modulație echivalent al semnalului, componentele sale spectrale și puterea disipată pe o rezistență de 1Ω .

3.4(R). La un oscilograf se aplică pe plăcile de deflexie orizontală tensiunea $f(t) = U_m \cos \omega_m t$, iar pe plăcile de deflexie verticală — tensiunea modulată în amplitudine $u_{MA}(t) = U_0(1 + m \cos \omega_m t) \cos \omega_0 t$. Să se arate că pe ecranul oscilografului se obține un trapez. Dacă se notează cu A mărimea bazei mari și cu B mărimea bazei mici, atunci:

$$m = \frac{A - B}{A + B};$$

3.5. Se consideră tensiunea dublu modulată în amplitudine avînd expresia:

$$u(t) = U_0 [1 + m_1(1 + m_2 \cos \omega_2 t) \cos \omega_1 t] \cos \omega_0 t.$$

Să se determine componentele sale spectrale.

3.6. Expresia semnalului modulat în amplitudine cu purtătoarea suprimată ($MA - PS$) este

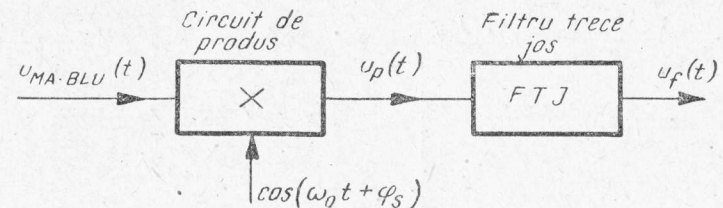
$$u_{MA-PS}(t) = U_0 f(t) \cos(\omega_0 t + \varphi_0),$$

în care $f(t)$ este semnalul modulator ale cărui componente spectrale sînt de frecvențe mai mici decît f_0 .

Dacă $f(t) = \cos \omega_m t$, să se reprezinte forma semnalului modulat și să se determine componentele sale spectrale.

3.7. Pentru demodularea semnalului modulat în amplitudine cu purtătoarea suprimată (problema 3.6) se utilizează schema din figură. Știind că filtrul trece-jos (FTJ) lasă să treacă nemodificate numai componentele de frecvențe mai mici decât f_0 , să se explice funcționarea schemei și să se determine valoarea optimă a fazei φ_s .

Fig. 3.7



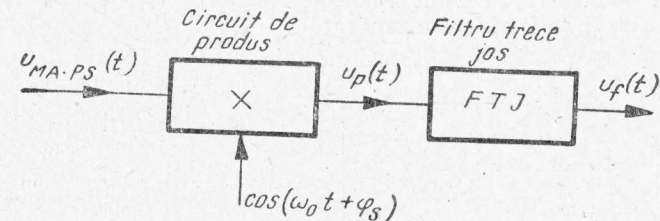
3.8. Semnalul modulat în amplitudine cu bandă laterală unică (MA-BLU) se poate obține din semnalul modulat în amplitudine cu purtătoarea suprimată (vezi problema 3.6) la care printr-un filtru se elimină toate componentele spectrale de frecvențe mai mici decât f_0 . Dacă semnalul modulator este :

$$f(t) = 2m_1 \cos \omega_1 t + 2m_2 \cos \omega_2 t; \quad \omega_1 \ll \omega_0; \quad \omega_2 \ll \omega_0,$$

să se găsească expresia semnalului MA-BLU.

3.9. Pentru demodularea semnalului modulat în amplitudine cu bandă laterală unică (problema 3.8) se utilizează schema din figură. Știind că filtrul trece-jos (FTJ) lasă să treacă nemodificate numai componentele de frecvențe mai mici decât f_0 , să se explice funcționarea schemei și efectul fazei φ_s .

Fig. 3.9



3.10. Semnalul cu modulație în amplitudine în cuadratură are expresia

$$u(t) = U_0(1 + m_1 \cos \omega_1 t) \cos \omega_0 t + U_0(1 + m_2 \cos \omega_2 t) \sin \omega_0 t; \quad \omega_1 \ll \omega_0; \quad \omega_2 \ll \omega_0.$$

Să se determine componentele spectrale ale semnalului. Care este puterea debitată de semnal pe o rezistență de 1Ω ?

3.11. Pentru extragerea separată a celor două informații purtate de semnalul cu modulație în amplitudine în cuadratură (vezi problema 3.10) se poate utiliza schema de demodu-

lare din figură. Știind că filtrele trece-jos (FTJ) lasă să treacă nemodificate numai componentele de frecvențe mai mici decât f_0 , să se explice funcționarea schemei.

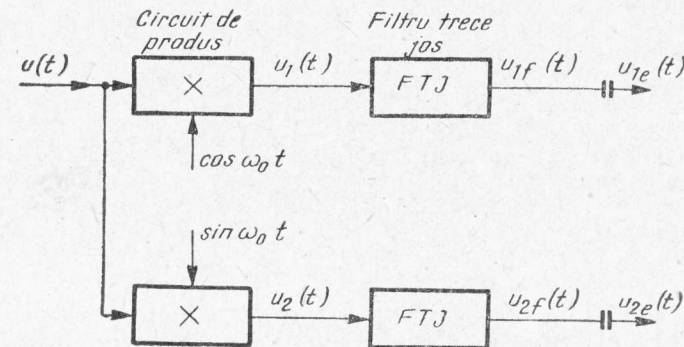


Fig. 3.11

3.12. Semnalul modulat polar are expresia :

$$u(t) = [u_1(t) - u_2(t)] + [u_1(t) + u_2(t)] \cos \omega_0 t,$$

pentru care

$$u_1(t) = 1 + m_1 \cos \omega_1 t; \quad \omega_1 \ll \omega_0;$$

$$u_2(t) = 1 + m_2 \cos \omega_2 t; \quad \omega_2 \ll \omega_0.$$

Să se determine componentele spectrale ale semnalului și forma variației sale în timp. Cum s-ar putea extrage separat cele două informații purtate de semnal?

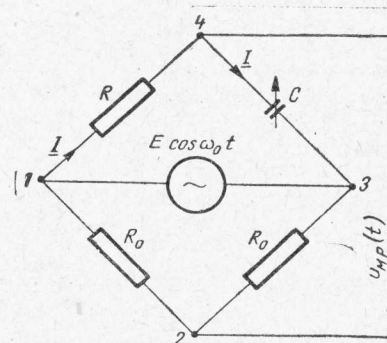


Fig. 3.14

● Semnale modulate în fază

3.13 (R). Pentru semnalul modulat în fază cu semnal modulator sinusoidal se cunoaște $\Delta\varphi < 0,4$ radiani. Să se scrie descompunerea sa în componente spectrale. Care este lărgimea de bandă ocupată de semnal?

3.14. Pentru producerea semnalului modulat în fază se poate utiliza circuitul din figură, în care condensatorul își variază capacitatea în ritmul semnalului modulator. Să se determine expresia tensiunii $u_{MP}(t)$ punând în evidență variația fazei dacă condensatorul își modifică capacitatea între limitele $C_0 - \Delta C$ și $C_0 + \Delta C$.

3.15 Să se determine lărgimea de bandă ocupată de un semnal modulat în fază pentru care $\Delta\varphi = 1$ radian, utilizând descompunerea în componente spectrale și apoi comparind rezultatul obținut cu cel bazat pe formula aproximativă de calcul al lărgimii de bandă.

3.16. Dacă la intrarea unui multiplicator de frecvență se introduce semnalul $u_i(t) = U_i \cos[\omega_0 t + \varphi(t)]$, la ieșirea sa se obține $u_e(t) = U_e \cos[n\omega_0 t + n\varphi(t)]$, unde n este factorul de multiplicare. Care sînt deviația de fază și frecvența purtătoare realizate la ieșirea a patru triplori conectați în cascadă, dacă semnalul la intrarea lor avea frecvența purtătoare de 0,9 MHz și deviația de fază de 1 radian?

3.17. O oscilație modulată în fază cu un semnal sinusoidal de frecvență între 50 Hz și 15 kHz are deviația de fază maximă $\Delta\varphi_M = \pi$ radiani. Care este deviația de frecvență maximă realizată?

● Semnale modulate în frecvență

3.18. Sistemul de radiodifuziune cu modulație de frecvență pe unde ultracurte lucrează cu deviația de frecvență maximă $\Delta f_M = 50$ kHz și cu frecvența de modulație maximă $f_{mM} = 15$ kHz. Care este lărgimea benzii de frecvențe ocupate de emisiune?

3.19. Se consideră un semnal modulat în frecvență cu un semnal modulator sinusoidal de frecvență cuprinsă între 50 Hz și 15 kHz. Dacă deviația de frecvență este $\Delta f = 50$ kHz, care este deviația de fază echivalentă maximă realizată?

3.20. Un semnal modulat în frecvență cu un semnal modulator sinusoidal de frecvență 1 kHz realizează o deviație de frecvență de 2 kHz. Care este spectrul de amplitudini ($U_0 = 1$ V) al semnalului și lărgimea benzii de frecvențe ocupate de semnal?

3.21. Se consideră semnalul modulator periodic reprezentat în figură. Să se reprezinte pe o perioadă a semnalului modulator, semnalul modulat în fază și semnalul modulat în frecvență.

3.22. Se consideră o oscilație modulată în amplitudine și în frecvență cu același semnal modulator:

$$u(t) = U_0(1 + m \cos \omega_m t) \cos(\omega_0 t + \beta \sin \omega_m t).$$

Presupunînd $m \ll 1$ și $\beta \ll 1$, să se descompună în componente acest semnal. Ce se întîmplă dacă $m = \beta$?

3.23(R). Se consideră semnalul modulat în frecvență

$$u_{MP}(t) = U_0 \cos(\omega_0 t + \beta_1 \sin \omega_1 t + \beta_2 \sin \omega_2 t),$$

pentru care $\beta_1 \ll 1$ și $\beta_2 \ll 1$. Să se descompună în componente spectrale acest semnal. Care este expresia semnalului modulator?

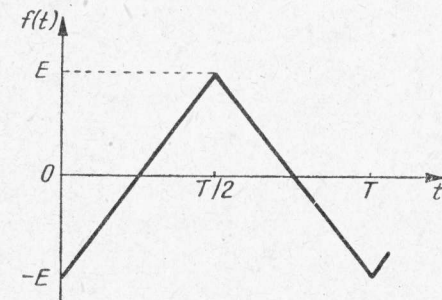


Fig. 3.21

3.24. O oscilație modulată în amplitudine și fază cu același semnal modulator sinusoidal are expresia

$$u(t) = U_0(1 + m \cos \omega_m t) \cos(\omega_0 t + \Delta\varphi \cos \omega_m t).$$

Dacă $m \ll 1$ și $\Delta\varphi \ll 1$, să se determine componentele spectrale ale semnalului.

3.25. Unei oscilații modulate în frecvență cu un semnal modulator sinusoidal de frecvență $f_m = 2$ kHz i se crește indicele de modulație β de la zero pînă are loc prima anulare a componentei spectrale pe frecvența purtătoare. Cît este în acest caz deviația de frecvență? Menținind în continuare această deviație de frecvență constantă, se descrește frecvența semnalului modulator pînă cînd are loc din nou anularea componentei spectrale pe frecvența purtătoare. Cît este în această situație frecvența semnalului modulator? (Se va avea în vedere că $J_0(\beta) = 0$, în ordine pentru valorile $\beta_1 = 2,4048$, $\beta_2 = 5,5201$, $\beta_3 = 8,6537$ etc.)

4. BAZELE TELEVIZIUNII

BREVIAR

A. TELEVIZIUNEA ÎN ALB-NEGRU

● Captarea imaginilor

● Pentru obiective se folosesc formulele lui Gauss sau Newton, respectiv :

$$\frac{1}{p} + \frac{1}{p'} = \frac{1}{f}; \quad (1)$$

$$xx' = ff', \quad (2)$$

în care :

f este distanța focală ;

p — distanța la obiect, egală cu $p = x + f$;

p' — distanța la imagine, egală cu $p' = x' + f$.

Deschiderea relativă a obiectivului este :

$$d_r = \frac{d_u}{f} = \frac{1}{n}, \quad (3)$$

în care d_u este deschiderea utilă.

● Iluminarea țintei unui tub videocaptor este dată de :

$$E_T = T \cdot B_{ob} \frac{\pi}{4} \left(\frac{d_u}{f} \right)^2; \quad (4)$$

în care :

T este transparenta obiectivului ;

B_{ob} — luminanța obiectului de pe scena de transmis.

• Frecvența video maximă a semnalului de VF este dată în general de :

$$f_{v_{max}} = \frac{1}{2} \cdot \frac{H}{V} \cdot n^2 f_c \quad (5)$$

în care :

$\frac{H}{V} = \frac{4}{3}$ este raportul de aspect al imaginii ;

n — numărul de linii de explorare ;

f_c — frecvența imaginilor complete (cadre).

• *Aprecierea calității unei imagini de TV* în ce privește finețea se face de cele mai multe ori pe mire, după numărul de linii. Între acest număr N și frecvența video maximă există le-

$$f_{v_{max}} [\text{MHz}] = \frac{N (\text{linii})}{80} \quad (6)$$

• Transmisiunea semnalelor de TV-AN

Transmisiunea semnalelor de TV se face în VF sau în RF.

• În VF semnalele transmise au polaritate pozitivă (albul la maximum), au amplitudine de $1 V_{vv}$ de la alb la sincro, cu $0,7 V_{vv}$ rezervați componentei de video sau de imagine și $0,3 V_{vv}$ pentru sincro. Semnalul complex se notează cu simbolul VBS (video, stingere sau blancare și sincronizare). Impedanțele sînt de regulă de 75Ω .

• În RF transmisiunea se face de regulă cu :

— MA cu RBL (rest de bandă laterală) pentru imagine, cu transmisiunea integrală a BLS (bandă laterală superioară) ;

— MF pentru sunet.

Lățimea totală a unui canal este după norma OIRT de 8 MHz avînd un ecart între purtătoarele de imagine și sunet de 6,5 MHz. Sunetul ocupă $\pm 0,25$ MHz, iar restul — cele două benzi de modulație : a imaginii 6,25 MHz pentru BLS și 1,25 MHz pentru BLI cu RBL.

Modulația este negativă, adică la vîrf de modulație corespunde semnalul sincro și la fund de modulație — albul din semnalul VBS.

B. TELEVIZIUNEA ÎN CULORI

Televiziunea în culori se bazează pe un procedeu aditiv de sinteză a culorilor pe un ecran al unui cinescop tricolor.

Toate sistemele de TVC utilizate asigură compatibilitatea, adică posibilitatea de recepție în alb-negru a semnalelor de TVC-CVBS (VBS + componentele de culoare) pe televizoare alb-negru.

● Semnale de TVC

În alegerea semnalelor s-a avut în vedere asigurarea compatibilității și asigurarea principiului luminanței constante.

● *Semnalele primare* sînt E_R , E_G și E_B .

● *Semnalul de luminanță*, care asigură compatibilitatea, este o combinație liniară a semnalelor primare :

$$E_Y = 0,30 E_R + 0,59 E_G + 0,11 E_B. \quad (7)$$

● *Semnalele de culoare* (diferență de culoare) sînt :

$$E_R - E_Y; E_G - E_Y; E_B - E_Y. \quad (8)$$

○ **Observație.** Transmisiunea semnalelor în aceeași lățime de bandă ca în alb-negru depinde de sistemul de TVC folosit.

● Semnale în sistemul NTSC

● *Semnalul de luminanță* este dat de expresia (7).

● *Semnalele de culoare* sînt :

$$\begin{cases} E_I = 0,74(E_R - E_Y) - 0,27(E_B - E_Y); \\ E_Q = 0,48(E_R - E_Y) + 0,41(E_B - E_Y). \end{cases} \quad (9)$$

● Transmisiunea se face cu ajutorul unei *subpurătoare*, care în S.U.A. este :

$$f_{sp} = 455 \frac{f_H}{2} \cong 3,58 \text{ MHz}. \quad (10)$$

● Cele două semnale de culoare modulează *MA-PS* în cuadratură simultan (*MAQ*) subpurătoarea, obținându-se *semnalul de crominanță*

$$E_C = E_I \cos(\omega_{sp} t + 33^\circ) + E_Q \sin(\omega_{sp} t + 33^\circ). \quad (11)$$

● *Semnalul complex CVBS* este

$$E_M = E_Y + E_C + S_{H+V+O} \quad (12)$$

● Semnale în sistemul PAL

● *Semnalul de luminanță* este același ca și la NTSC.

● *Semnalele de culoare* sînt :

$$\begin{cases} E_U = 0,493(E_B - E_Y); \\ E_V = 0,887(E_R - E_Y). \end{cases} \quad (13)$$

- Subpurătoarea aleasă în cadrul normei CCIR (B și G) este :

$$f_{sp} = \left(284 - \frac{1}{4}\right) f_H + \frac{f_V}{2} = 4,43361875 \text{ MHz.} \quad (14)$$

- Semnalul de cromaticitate este obținut tot prin modularea dublă în cuadratură MA-PS, cu semnalele de culoare :

$$E_C = E_V \sin \omega_{sp} t \pm E_V \cos \omega_{sp} t. \quad (15)$$

- Se observă că semnalul E_V își schimbă faza cu 180° de la linie la linie.
- Semnalul complex CVBS-PAL este

$$E_M = E_Y + E_C + S_{H+V+I}, \quad (16)$$

● Semnale în sistemul SECAM

- Semnalul de luminanță este dat de expresia (7).
- Semnalele de culoare care se transmit secvențial pe linii sînt :

$$\begin{cases} D_R = -1,9(E_R - E_Y); \\ D_B = +1,5(E_B - E_Y). \end{cases} \quad (17)$$

- Transmisiunea se face cu MF, alegînd pentru subpurătoare două valori pe cele două linii succesive :

$$\begin{aligned} f_{OR} &= 282 f_H = 4,406 \text{ MHz}; \\ f_{OB} &= 272 f_H = 4,250 \text{ MHz.} \end{aligned} \quad (18)$$

- Notă. Pentru reducerea vizibilității subpurătoarelor pe televizoarele alb-negru, se practică o serie de corecții ale semnalului în VF și în IF și o serie de inversiuni ale fazei semnalelor.

- Semnalul de cromaticitate va fi, în cazul unor valori constante ale semnalelor D_R și D_B (cazul barelor colorate)

$$e_{C(R,B)} = A_{IF} \cos 2\pi [f_{0(R,B)} + D_{R,B} \Delta f_{0(R,B)}] t. \quad (19)$$

- Semnalul complex CVBS-SECAM va fi

$$E_M = E_Y + e_{C(R,B)} + S_{H+V+ID}, \quad (20)$$

în care indicele ID semnifică niște semnale de identificare.

ENUNȚURI

A. TELEVIZIUNEA ÎN ALB-NEGRU

● Captarea imaginilor

4.1(R). Să se determine expresia cu care se poate calcula profunzimea de câmp a unui obiectiv cu distanța focală f , deschiderea utilă d_u și deschiderea relativă $d_r = \frac{d_u}{f} = \frac{1}{n}$.

4.2(R). Să se demonstreze expresia (4) care dă iluminarea pe ținta unui tub videocaptor E_T dintr-o cameră echipată cu un obiectiv avînd transparența T și deschiderea relativă d_r . Luminanța obiectului este B .

4.3(R). Să se determine relațiile pentru alegerea obiectivului pentru o cameră echipată cu vidicon de 1".

● Transmisiunea semnalelor de TV-AN

4.4(R). Să se găsească expresia exactă, aplicabilă în practică, pentru determinarea frecvenței video maxime.

4.5(R). Să se explice relația (6).

4.6(R). Să se pună în evidență distorsiunile de cuadratură care pot apărea atunci cînd se efectuează o transmisiune cu MA-BLU sau MA-RBL.

4.7. Să se arate că în cazul folosirii unui demodulator de produs pentru o oscilație MA transmisă cu BLU sau RBL nu mai apar distorsiuni de cuadratură și se obține la ieșire semnalul original de modulație.

4.8. Să se traseze caracteristica de fază a circuitului din figura 4.8. Acest circuit este folosit la transformarea MF în MP la demodularea sunetului cu MF, sau a semnalelor de cromaticitate în sistemul SECAM, cînd se folosesc CI cu structură de multiplicator analogic.

4.9(R). Să se arate ce se întîmplă cu semnalul de sunet MF care însoțește programul de TV într-un receptor de tip „cu interheterodinare”, dacă raportul între purtătoarea de imagine I și cea de sunet $S(I/S = \sigma)$ este egal cu unitatea, la intrarea în demodulatorul MA, unde are loc interheterodinarea între imaginea în MA și sunetul în MF.

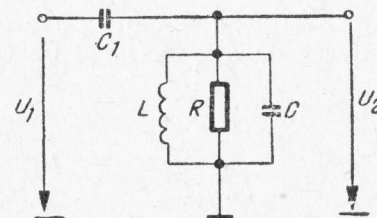


Fig. 4.8

● Circuite pentru TV-AN

4.10(R). Să se găsească rețeaua de polarizare a intrării pentru o poartă inversoare *TTL* astfel ca aceasta să poată funcționa în regiunea corespunzătoare unui amplificator inversor.

4.11(R). Să se realizeze un oscilator cu cuarț lucrînd pe frecvența $f_0 = 1$ MHz, necesar ca oscilator de bază într-un sincrogenerator de TV. Elementele active folosite vor fi porți *TTL*.

4.12(R). Să se realizeze un oscilator *LC* pe frecvența de 1 MHz, necesar sincrogeneratorului dintr-o cameră de *TVCI*. Se vor folosi ca elemente active porți *TTL*.

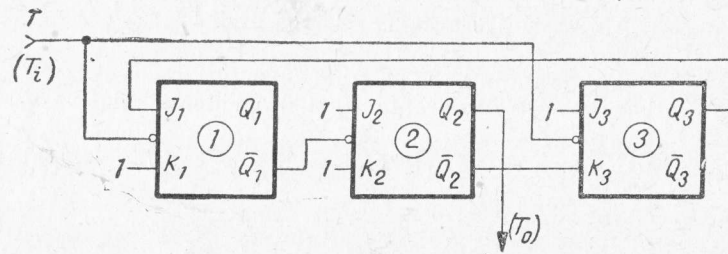


Fig. 4.13

4.13(R). Să se arate că schema din figura 4.13 cu trei circuite bistabile de tip *JK* asigură divizarea de frecvență cu 5, necesară în sincrogeneratoarele de televiziune pentru a se ajunge de la frecvența $2f_H = 31\,250$ Hz la $f_V = 50$ Hz.

4.14(R). Să se arate forma semnalelor de ieșire ale unui selector de linii de TV, care să permită afișarea pe ecranul unui osciloscop cu două canale a 4 cîmpuri de TV, succesive.

4.15(R). Să se determine lungimea buclei U de cablu de adaptare la o antenă de TV care recepționează programul 1 de TV pe canalul 6. Cablul folosit are impedanța caracteristică Z_0 de $75\ \Omega$.

4.16(R). Să se arate că transformatorul de adaptare BALUN (Balancing unit) folosit la antenele de TV asigură, pe lângă simetrizare, și adaptarea de impedanță, făcînd o transformare în raportul 4 : 1.

B. TELEVIZIUNEA ÎN CULORI

● Semnale de TVC

4.17(R). Să se determine coeficienții combinației liniare de semnale primare care dă semnalul de luminanță E_r pentru un sistem compatibil de TVC, în condițiile în care se lucrează cu albul de referință de tip C.

4.18(R). Să se arate că semnalele de diferență de culoare se anulează la transmisiuni în alb-negru și că în același timp nu contribuie la luminanța imaginii.

4.19(R). Care este eroarea care se face asupra luminanței imaginii dacă se practică corecția γ (gamma) asupra semnalelor primare?

4.20(R). Să se scrie expresia pentru semnale cu *MAQ* (modulație dublă în cuadratură obținută prin însumarea a două semnale *MA-PS*).

4.21(R). Să se scrie expresia generală a unui semnal $s(t)$ cu modulație în cuadratură realizată prin modularea a două semnale $m_1(t)$ și $m_2(t)$. Să se arate rezultatul demodulării.

4.22(R). Să se particularizeze problema 4.21(R) pentru cazul sistemului PAL.

4.23(R). Să se arate că un multiplicator analogic se poate comporta ca element sensibil la fază.

4.24(R). Să se arate cum se poate face demodularea unui semnal *MA-PS* cu ajutorul unui demodulator de produs.

4.25(R). Să se reprezinte linia spectrală corespunzătoare subpurtătoarei în sistemul PAL în raport cu liniile spectrale vecine ale spectrului primar al semnalului de TV alb-negru, respectiv al semnalului de luminanță E_Y în cazul TVC.

4.26(R). Să se arate care este defazajul suferit de subpurtătoare de la linie la linie, de la câmp la câmp și timpul după care subpurtătoarea revine cu aceeași fază pe o linie de același rang din câmpuri diferite, la sistemul PAL.

● Semnale pentru imagini de control

4.27(R). Să se alcătuiască tabelul de valori și să se reprezinte semnalul complex de TVC pentru o miră de bare în culori, conținând albul, negrul, cele trei culori primare și cele trei culori complementare, dispuse în ordinea descrescătoare a luminanțelor.

Luminanța și saturația vor fi maxime (100%). Se folosește un sistem în care diferențele de culoare se transmit ca atare.

4.28(R). Depășirile de nivel ale semnalului de TVC, așa cum rezultă din figura 4.27R, *b*, nu sînt tolerabile. (Deși semnalul se referă la culori cu luminanță și saturație maxime, caz care apare foarte rar în practică, amplitudinile semnalului de crominanță trebuie reduse.)

Se cer criteriile de reducere și valorile coeficienților de ponderare.

4.29(R). Folosind coeficienții de ponderare 0,877 și 0,493, să se găsească noile valori ale semnalelor de diferență, semnalul de crominanță, limitele maxime și faza subpurtătoarei.

Se consideră un sistem de TVC care transmite ca atare semnalele cu bare de saturație și luminanță maxime.

Ținînd seama de cele arătate în problema 4.28, să se reprezinte și semnalul complex.

4.30(R). Să se arate că în cazul sistemului NTSC, prin folosirea noilor axe *I* și *Q* ca și a rotirii fazei subpurtătoarei cu 33°, se obține automat ponderarea semnalelor astfel ca să nu se depășească nivelele de alb și negru decît cu 33%.

4.31(R). Să se găsească valorile corespunzătoare pentru componentele de semnal CVBS de TVC în cazul sistemului PAL pentru o miră de bare dispuse în ordine descrescătoare a luminanțelor.

Luminanța și saturația sînt de 75%.

4.32(R). Să se arate care sînt criteriile de deducere a semnalelor D_R și D_B în cazul sistemului SECAM.

4.33(R). Cum se deduc valorile corespunzătoare pragurilor de limitare la limitatoarele dintr-un codor SECAM, limitatoare care urmează după circuitele de corecție în VF (preaccentuare)?

4.34(R). Să se deducă alura curbei de preaccentuare în IF care asigură o modulație suplimentară de amplitudine a semnalului de cromaticitate modulat MF. Valorile găsite pentru mira de bare obișnuită să se înscrie într-un tabel.

4.35(R). Să se reprezinte semnalul complex CVBS-SECAM pentru mira de bare în culori, cu barele dispuse în ordinea descrescătoare a strălucirilor.

Reprezentarea se va face pe două linii succesive, corespunzătoare transmisiunii secvențiale a semnalelor D_R , respectiv D_B .

● Decodare

4.36(R). Să se determine analitic eroarea care afectează semnalul de cromaticitate în cazul corecției ce se efectuează în sistemul PAL de transmisiune în culori.

4.37(R). Să se arate schema-bloc a unui decodor PAL care asigură funcționarea după modul descris în răspunsul la problema 4.36.

4.38(R). Să se arate ce se întîmplă cu semnalele demodulate în cazul sistemului PAL, dacă apare o eroare de fază β pe lanțul de transmisiune.

4.39(R). Să se explice funcționarea decodurului PAL din figură, folosind o metodă analitică.

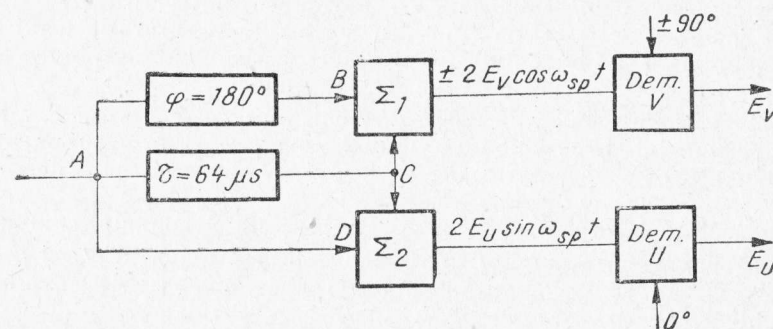
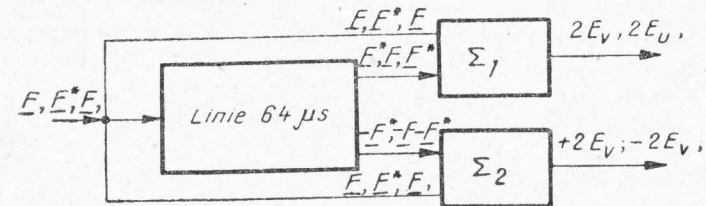


Fig. 4.39

4.40(R). Să se explice funcționarea decodorului PAL din problema 4.39 folosind o metodă fazorială.

4.41(R). Să se arate ce se întâmplă în cadrul decodorului PAL din figura 4.39 dacă semnalul E_c transmis este afectat de o eroare de fază β .

Fig. 4.42



4.42. Se consideră decodorul PAL din figura 4.42. Aceasta este structura obișnuită de decodor din televizoarele care folosesc circuite integrate. Linia are două ieșiri în opoziție de fază. Se presupune că amplitudinile tensiunilor sînt egale în toate punctele.

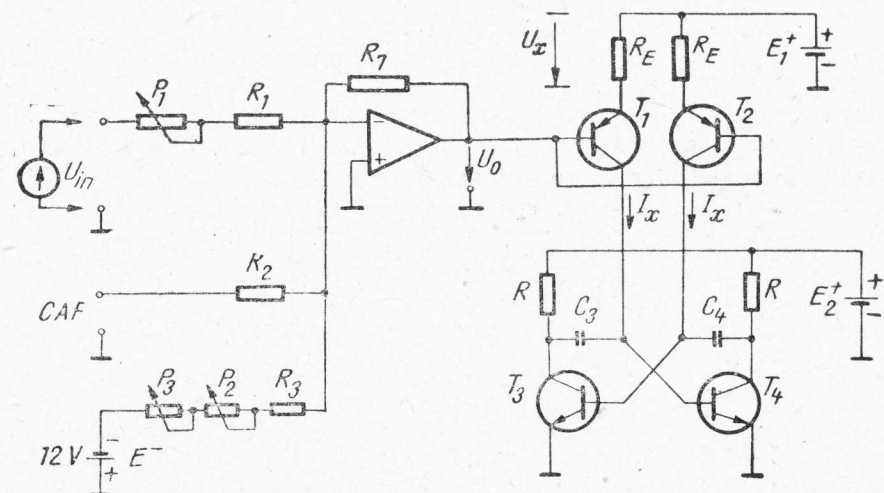
Se cere să se explice funcționarea fără și în prezența erorilor de fază.

● Circuite pentru TVC

4.43(R). Se consideră un oscilator modulat în frecvență pentru un codor SECAM.

Oscilatorul este realizat cu un circuit astabil format cu tranzistoarele T_3 și T_4 din figura 4.43. Condensatoarele de temporizare sînt C_3 și C_4 . În locul rezistențelor care asigură în mod obișnuit valorile constantelor de timp care determină cele două porțiuni ale perioadei de oscilație, se folosesc două generatoare de curent realizate cu două tranzistoare T_1 și T_2 .

Fig. 4.43



Curenții injectați de generatoare sînt comandați de la ieșirea unui sumator realizat cu un amplificator operațional la intrarea căruia se introduc:

- semnalul de VF de modulație D'_R sau D'_B ;
- o tensiune continuă E reglabilă manual pentru reglajul frecvenței centrale de oscilație pe frecvențele f_{OR} sau f_{OB} ;
- o tensiune de control automat al frecvenței (CAF) pentru a menține permanent frecvențele centrale f_{OR} sau f_{OB} într-un raport constant față de f_H , respectiv pe a 282-a sau a 272-a armonică a acesteia.

Se cere să se găsească relația care leagă frecvența de oscilație de tensiunea de intrare de VF, U_{in} .

4.44(R). Se consideră schema din figura 4.44, care reprezintă amplificatoarele de diferență de culoare dintr-un codor SECAM, în care se introduc și semnalele dinte de ferăstrău pentru a obține pe durata 9H din timpul stingerii pe verticală semnalele de identificare. Să se ex-

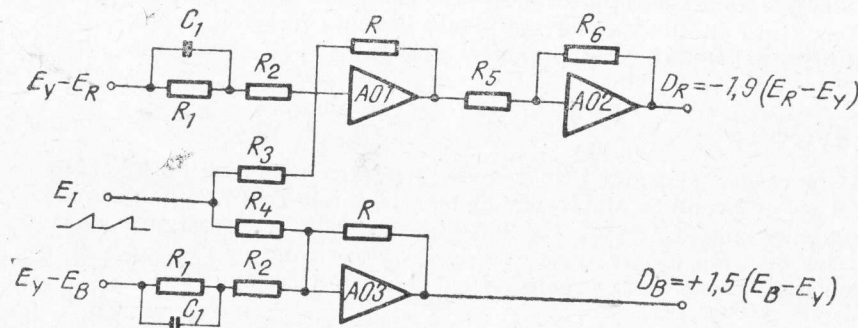


Fig. 4.44

prime amplificarea și, ținându-se seama de caracteristicile sistemului SECAM, să se calculeze amplificările și rețelele RC.

4.45(R). Se consideră circuitul din figura 4.45, care trebuie să asigure realizarea accentuării în IF, adică a curbei anticlopot pentru componentele semnalului de cromaticitate. Să se găsească condițiile de dimensionare.

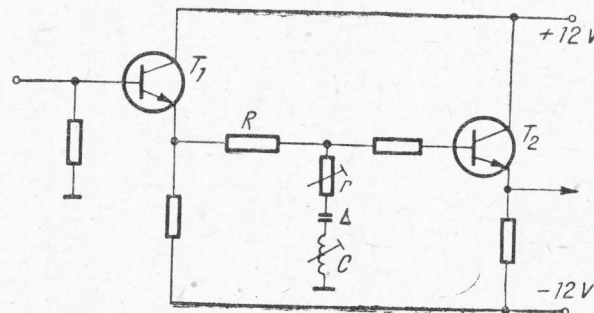
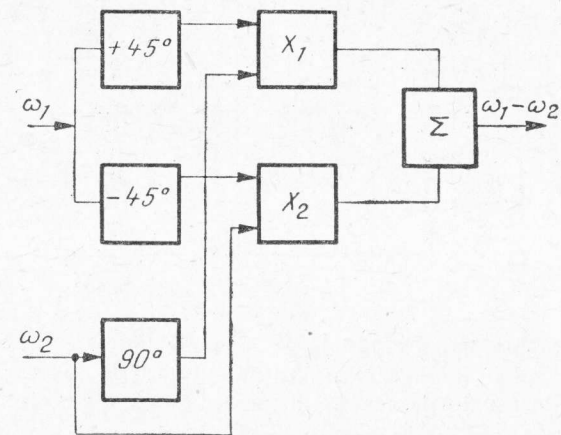


Fig. 4.45

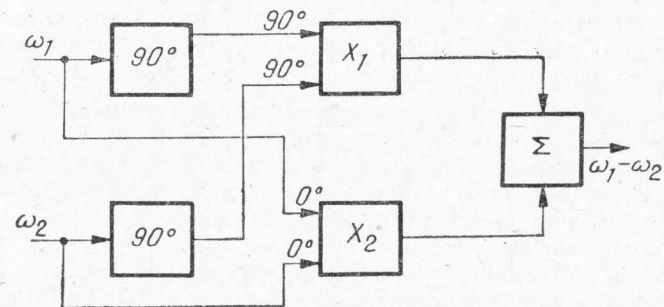
4.46(R). Se dă schema-bloc din figura 4.46. Să se arate că folosind defazașele considerate pentru semnalele cu pulsațiile ω_1 și ω_2 , corespunzătoare subpurătoarei f_{sp} respectiv cadrelor $f_v/2$, la intrările celor două multiplicatoare analogice X_1 și X_2 , se va obține la ieșirea de pe sarcina comună a multiplicatoarelor (Σ) offsetul de $f_v/2$, respectiv $\omega_1 - \omega_2$ adică $f_{sp} - f_v/2$.

Fig. 4.46



4.47(R). Dacă în schema-bloc din figura 4.46 se introduc defazașe de 0° , respectiv 90° , pentru ambele semnale, să se arate care este frecvența semnalului obținut la ieșirea schemei din figura 4.47.

Fig. 4.47



4.48(R). Ținând seama de problemele 4.25 ; 4.26 ; 4.46 ; 4.47, să se imagineze o schemă-bloc de generator de subpurătoare PAL care să aibă ieșiri de frecvențele f_{sp} (pentru codorul PAL) și f_H (pentru aservirea sincrogeneratorului).

4.49(R). Se consideră oscilatorul cu cuarț din figura 4.49. Se cere :

a) să se explice modul în care se obține reacția pozitivă necesară amorșării și întreținerii oscilațiilor ;

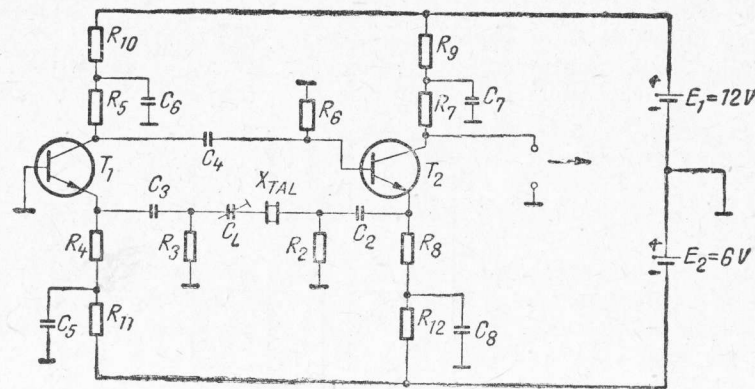


Fig. 4.49

b) să se facă schema echivalentă a rețelei de reacție și, ținând cont că Z este pur rezistiv la rezonanță, să se deducă expresia impedanței în funcție de frecvența normată $\Omega = \omega^2 L_1 C_1$ și să se calculeze valorile acestei frecvențe și a impedanței. Se cunosc parametrii rezonatorului cu cuarț;

c) să se calculeze amplificarea pe buclă la semnal mic, la frecvența de autooscilație și să se determine valoarea rezistenței $R_L = \frac{R_5 R_6}{R_5 + R_6}$ pentru o amplificare inițială pe buclă egală cu 2, ceea ce asigură autoamorsarea oscilațiilor;

d) să se calculeze elementele circuitelor de polarizare în curent continuu;

e) cum se aleg capacitățile de acord C_L și cele de cuplaj și de decuplare?

4.50(R). Se consideră schema din figura 4.50, care reprezintă un circuit având funcțiile de separare, limitare de amplitudine și filtrare a armonicilor subpurtătoarei de culoare. Acesta este destinat să asigure formarea unor semnale de frecvența subpurtătoarei, cu o lege de variație cât mai apropiată de forma sinusoidală și cu o amplitudine care să fie independentă de nivelul semnalului obținut la ieșirile a două oscilatoare care generează subpurtătoarea: cu offset de $f_H/2$ sau $f_H/4$, corespunzând sistemelor PAL (B, G), respectiv NTSC (B, G).

a) Să se exprime semnalul de intrare $u_i(t)$.

b) Să se determine elementele repetoarelor de intrare cu T_1 .

c) Să se explice funcționarea amplificatorului diferențial cu T_2 și D și să se găsească valoarea fundamentalei pulsurilor de curent i_{C2} , ca și valorile elementelor circuitului pe baza cărora se poate deduce amplitudinea fundamentalei tensiunii la ieșire.

4.51(R). Se cere să se realizeze schema unui circuit de interfațare pentru obținerea semnalului dreptunghiular de frecvență ($f_{sp} - 25$ Hz), compatibil cu nivelele logice TTL din lanțul de divizare care urmează într-un generator de subpurtătoare. Acest lanț de divizare trebuie să dea la ieșire un semnal având frecvența f_H . De asemenea, se cere să se determine valorile elementelor schemei.

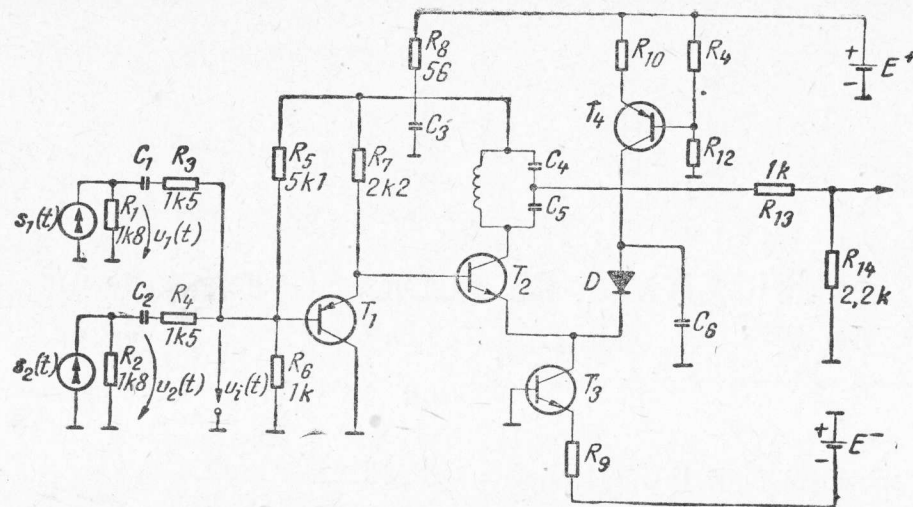


Fig. 4.50

4.52(R). Să se arate structura circuitelor pentru obținerea unor defazaje de $\pm 45^\circ$ la frecvența subpurătoare f_{sp} , așa cum sînt necesare la intrarea modulatorilor echilibrate realizate cu multiplicatoare analogice care, într-un generator de subpurătoare, realizează offset-ul de $f_{sL} - f_v/2$.

4.53(R). Să se arate o structură posibilă de circuit defazor pentru a realiza un defazaj de 90° între două semnale la o anumită frecvență. Să se explice funcționarea și să se dea expresia defazajului.

4.54(R). Să se realizeze un divizor de frecvență cu 227 folosind circuite integrate. Acesta este necesar pentru o treaptă de divizare în lanțul de la generatorul de f_{sp} la ieșirea f_H pentru aservirea sincrogeneratorului.

4.55(R). Să se realizeze un divizor de frecvență cu 567 folosind circuite de numărare de tip CDB 490.

5. AMPLIFICATOARE DE AUDIO ȘI VIDEOFRECVENȚĂ

BREVIAR

● Dispozitivul activ la nivel mic

Funcționarea la nivel mic se caracterizează prin posibilitatea de modelare a elementului activ printr-o schemă echivalentă liniarizată.

● Pentru tranzistorul în conexiune emitor comun, schema echivalentă cu parametri hibridi h este reprezentată în figura 1, parametrii corespunzând punctului static de funcționare. Schema este utilă la frecvențe mai mici ca $f_\beta = f_T/h_{21}$, în care f_T este frecvența de tranziție.

● Schema echivalentă Giacoletto simplificată este reprezentată în figura 2. Se pot admite următoarele aproximații:

$$r_1 \cong h_{11} \cong \frac{h_{21}}{g_m}; \quad g_m \cong 35|I_{C0}|; \quad r_2 \cong k/h_{22};$$

$$k = \begin{cases} 1 & \text{pentru } R_\theta \geq h_{11}; \\ 2 & \text{pentru } R_\theta < h_{11}, \end{cases} \quad (1)$$

în care:

I_{C0} este componenta medie a curentului de colector;

R_θ — rezistența internă a generatorului de semnal conectat la intrarea tranzistorului.

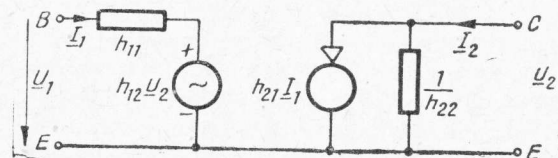


Fig. 1

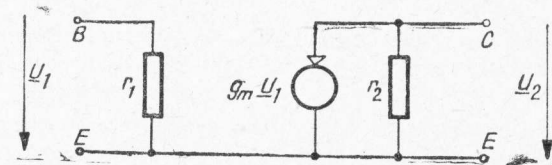


Fig. 2

● Amplificatorul de audiofrecvență la nivel mic

Schema unui etaj amplificator este reprezentată în figura 3.

● În domeniul frecvențelor medii sînt valabile relațiile

$$R_{intr} = \frac{h_{11} + \Delta h R_S}{1 + h_{22} R_S}; \quad R_{te} = \frac{h_{11} + R_{ge}}{\Delta h + h_{22} R_{ge}};$$

$$\frac{1}{R_{ge}} = \frac{1}{R_g} + \frac{1}{R_1} + \frac{1}{R_2};$$

$$\underline{A}_u = \frac{U_2}{U_1} = - \frac{h_{21}}{\frac{h_{11}}{R_S} + \Delta h}; \quad \underline{A}_i = \frac{I_2}{I_1} = \frac{h_{21}}{1 + h_{22} R_S};$$

$$\Delta h = h_{11} h_{22} - h_{12} h_{21}; \quad (2)$$

● În domeniul frecvențelor înalte tranzistorul în conexiune emitor comun are schema echivalentă simplificată reprezentată în figura 4, pentru care

$$r_{bb'} \cong 50 \, \Omega; \quad C \cong C_{b'e} + g_m R_S C_{b'c};$$

$$h_{11} = r_{bb'} + r_{b'e}; \quad f_s = 1/2\pi C_{b'e} r_{b'e}. \quad (3)$$

În domeniul frecvențelor înalte amplificarea etajului este

$$\underline{A}_s(j\omega) = \frac{A_0}{1 + j \frac{\omega}{\omega_s}}; \quad \omega_s = 2\pi f_s = \frac{1}{CR''}$$

$$\frac{1}{R''} = \frac{1}{r_{b'e}} + \frac{1}{R_g + r_{bb'}}; \quad (4)$$

în care f_s este frecvența limită superioară.

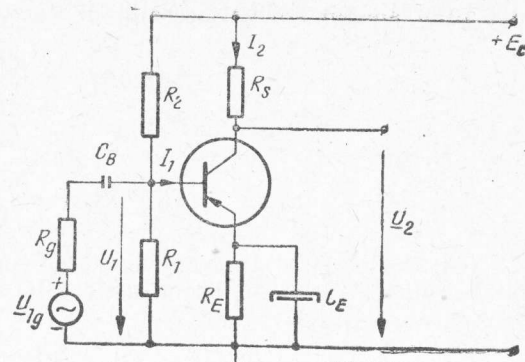
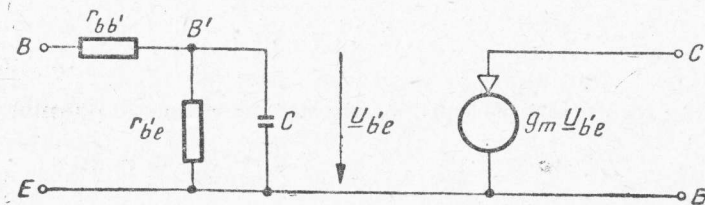


Fig. 3

Fig. 4



• În domeniul frecvențelor joase, dacă decuplarea rezistenței din emitor se consideră ideală, dat fiind efectul condensatorului de cuplaj C_B amplificarea are expresia

$$\underline{A}_j(j\omega) = \frac{A_0}{1 + \frac{\omega'_j}{j\omega}}; \quad \omega'_j = 2\pi f'_j = \frac{1}{C_B R'_j};$$

$$R'_j = R_g + \frac{h_{11} R_B}{h_{11} + R_B}; \quad R_B = \frac{R_1 R_2}{R_1 + R_2}. \quad (5)$$

Tot în domeniul frecvențelor joase, presupunînd condensatorul de cuplaj C_B de capacitate suficient de mare, datorită efectului condensatorului de decuplare C_E din emitor amplificarea are expresia

$$\underline{A}_j(j\omega) \cong -\frac{A_0}{1 + \frac{\omega''_j}{j\omega}}; \quad \omega''_j = 2\pi f''_j = \frac{1}{C_E R'_E};$$

$$R'_E = \frac{R_E(h_{11} + R_{ge})}{h_{11} + R_{ge} + (h_{21} + 1)R_E}; \quad \frac{1}{R_{ge}} = \frac{1}{R_g} + \frac{1}{R_1} + \frac{1}{R_2}. \quad (6)$$

Frecvența limită inferioară este f_j , egală cu cea mai mare dintre frecvențele f'_j și f''_j .

• Amplificatorul de videofrecvență la nivel mic

• Amplificatoarele de videofrecvență necorectate sînt amplificatoare cu cuplaj RC , conectate în cascadă, avînd rezistența de sarcină de valoare redusă. Dacă amplificatorul este realizat cu n etaje identice, fiecare avînd amplificarea în domeniul frecvențelor medii A_0 și frecvența limită superioară f_s , frecvența limită superioară f_{sn} corespunzătoare întregului amplificator este

$$f_{sn} = f_s (2^{1/n} - 1)^{1/2}. \quad (7)$$

• Amplificatoarele de videofrecvență corectate au sarcină complexă. Alegerea corectă a elementelor sarcinii permite realizarea unei frecvențe limită superioară mai mare. Pătratul modulului amplificării în domeniul frecvențelor înalte, poate fi pus sub forma

$$|\underline{A}_s(j\omega)|^2 = A_0^2 \frac{1 + a_2 \omega^2 + a_4 \omega^4 + \dots}{1 + b_2 \omega^2 + b_4 \omega^4 + \dots}. \quad (8)$$

Dimensionarea optimă necesită îndeplinirea relațiilor

$$a_2 = b_2; \quad a_4 = b_4, \dots \quad (9)$$

În domeniul frecvențelor joase, în condițiile utilizării circuitelor de corecție, pătratul modului amplificării poate fi pus sub forma

$$|A_j(j\omega)|^2 = A_0^2 \frac{1 + a'_2 \frac{1}{\omega^2} + a'_4 \frac{1}{\omega^4} + \dots}{1 + b'_2 \frac{1}{\omega^2} + b'_4 \frac{1}{\omega^4} + \dots} \quad (10)$$

Condițiile de optimizare sînt

$$a'_2 = b'_2; a'_4 = b'_4, \dots \quad (11)$$

● Reacția în amplificatoare

● *Reacția* poate fi *de tensiune* sau *de curent*, după cum tensiunea de reacție aplicată la intrare este proporțională cu tensiunea sau cu curentul de la ieșire.

● *Reacția* poate fi *serie* sau *derivație*, după cum tensiunea de reacție se aplică la intrare în serie cu tensiunea semnalului sau în derivație.

● *Amplificatorul cu reacție în serie la intrare* este reprezentat în figura 5 în cele două variante: cu reacție de tensiune (fig. 5, a) și cu reacție de curent (fig. 5, b).

● *Amplificatorul cu reacție în derivație la intrare* este reprezentat în figura 6 în cele două variante: cu reacție de tensiune (fig. 6, a) și cu reacție de curent (fig. 6, b).

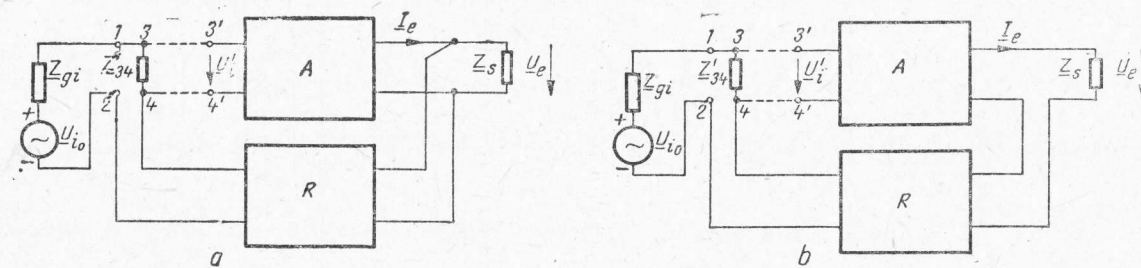


Fig. 5

● *Schemele echivalente ale amplificatoarelor cu reacție* au configurația din figura 7 pentru cazul reacției în serie la intrare și din figura 8 pentru cazul reacției în derivație. Reprezentările sînt date pentru reacția de tensiune. Notățiile utilizate în aceste scheme sînt:

Z_{34} — impedanța de intrare a amplificatorului văzută dinspre bornele 3'—4';

U_{i0} — tensiunea în gol a generatorului de semnal;

Z_{gi} — impedanța internă a generatorului de semnal;

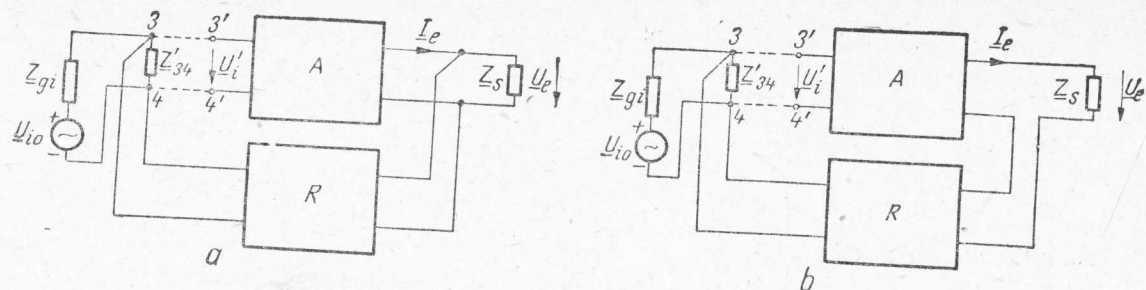


Fig. 6

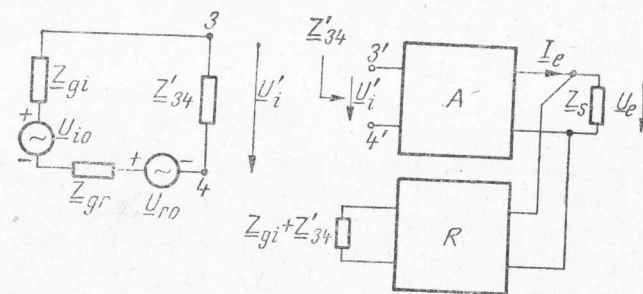


Fig. 7

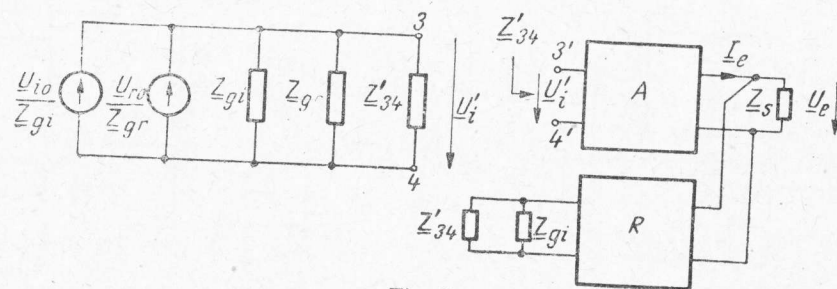


Fig. 8

- \underline{U}'_i — tensiunea la bornele impedanței \underline{Z}'_{34} ;
 \underline{U}_{ro} — tensiunea generatorului echivalent la ieșirea rețelei de reacție, în condițiile în care la bornele 3'—4' s-a aplicat tensiunea \underline{U}'_i ;
 \underline{Z}_{gr} — impedanța internă a generatorului echivalent de mai sus;
 \underline{U}_e — tensiunea la ieșire;
 \underline{I}_e — curentul la ieșire;

\underline{U}_i — tensiunea care rezultă la bornele impedanței Z'_{34} datorită generatorului de semnal (bucla de reacție deschisă: $\underline{U}_{i0} \neq 0$ și $\underline{U}_{r0} = 0$);

\underline{U}_r — tensiunea care rezultă la bornele impedanței Z_{31} datorită generatorului echivalent rețelei de reacție (bucla de reacție deschisă: $\underline{U}_{i0} = 0$, $\underline{U}_{r0} \neq 0$).

● Cu aceste notații se definesc următoarele mărimi:

$\underline{\beta} = \frac{\underline{U}_r}{\underline{U}_e}$ — factorul de transfer al rețelei de reacție R , în cazul reacției de tensiune;

$\underline{\alpha} = \frac{\underline{U}_r}{\underline{I}_e}$ — funcția de transfer a rețelei de reacție R , în cazul reacției de curent (de dimensiunea unei impedanțe);

$\underline{A} = \frac{\underline{U}_e}{\underline{U}_i}$ — amplificarea cu bucla de reacție deschisă;

$\underline{A}_i = \frac{\underline{U}_e}{\underline{U}_i}$ — amplificarea cu bucla de reacție închisă (amplificarea este raportată la tensiunea de intrare între bornele 3'—4').

● Pentru amplificatorul cu reacție, amplificarea este:

$$\underline{A}_i = \frac{\underline{A}}{1 - \underline{A}\underline{\beta}'} \quad (12)$$

în care pentru reacția de tensiune $\underline{\beta}' = \underline{\beta}$, iar pentru reacția de curent $\underline{\beta}' = \underline{\alpha}/Z_s$.

Mărimea $\underline{W} = \underline{A}\underline{\beta}'$ se numește *factor de reacție*. Reacția este pozitivă dacă $|1 - \underline{W}| < 1$ și negativă dacă $|1 - \underline{W}| > 1$.

● *Reacția negativă are următoarele efecte:*

- reduce distorsiunile amplificatorului de $|1 - \underline{W}|$ ori;
- uniformizează variația amplificării cu frecvența, crescînd frecvența limită superioară și scăzînd frecvența limită inferioară cu factorul $|1 - \underline{W}|$;
- modifică impedanța de intrare a amplificatorului prin multiplicarea cu $(1 - \underline{W})$ la reacția în serie cu intrarea și prin divizare la $(1 - \underline{W})$ pentru reacția în derivație cu intrarea;
- modifică impedanța de ieșire a amplificatorului prin divizare la $(1 - \underline{W})$ pentru reacția de tensiune și prin multiplicare cu $(1 - \underline{W})$ la reacția de curent.

● Amplificatorul de audiofrecvență de putere

● Schema de principiu a unui *amplificator de putere cu tranzistor lucrînd în clasă A* este reprezentată în figura 9.

S-au notat cu n_1 și n_2 numărul de spire al înfășurărilor din primar respectiv secundar, iar cu r_1 și r_2 rezistențele înfășurărilor transformatorului.

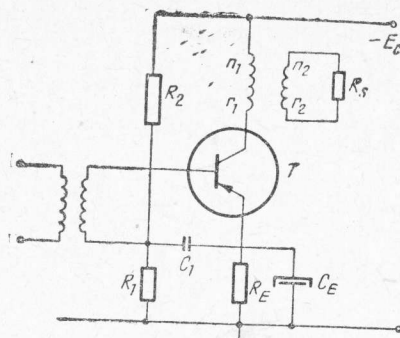


Fig. 9

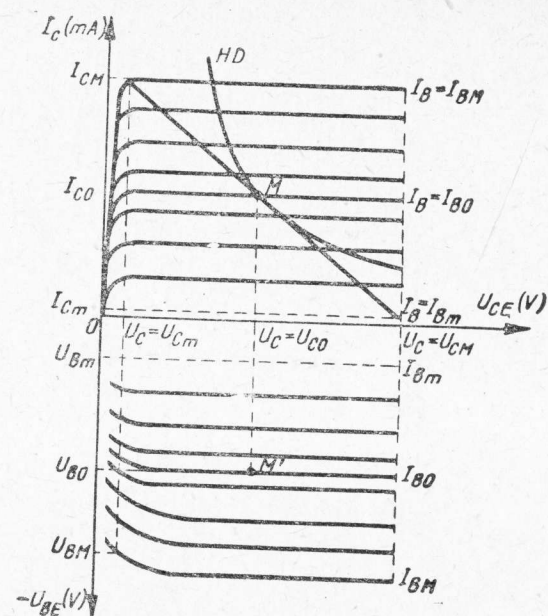


Fig. 10

Punctul static de funcționare și rezistența de sarcină se aleg astfel încât dreapta de sarcină să se situeze sub hiperbola de disipație maxim admisibilă (conform fig. 10).
Rezistența de sarcină a tranzistorului R_c este :

$$R_c = \left(\frac{n_1}{n_2} \right)^2 R_s ; R_c = \frac{U_{c0} - U_{cm}}{I_{cm} - I_{c0}} . \quad (13)$$

Bilanțul puterilor este următorul :

— puterea absorbită

$$P_a = U_{c0} I_{c0} + (r_1 + R_E) I_{c0}^2 ; \quad (14)$$

— puterea utilă

$$P_u = \frac{1}{2} (U_{c0} - U_{cm}) (I_{cm} - I_{c0}) . \quad (15)$$

Din caracteristicile $U_{BE} = f(U_{CE})$ cu I_B parametru (v. fig. 10) se obțin mărimile caracteristice de intrare :

— puterea absorbită la intrare

$$P_{intr} = \frac{(I_{BM} - I_{Bm})(U_{BM} - U_{Bm})}{8} ; \quad (16)$$

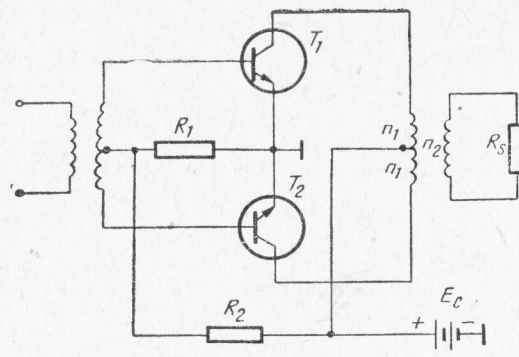


Fig. 11

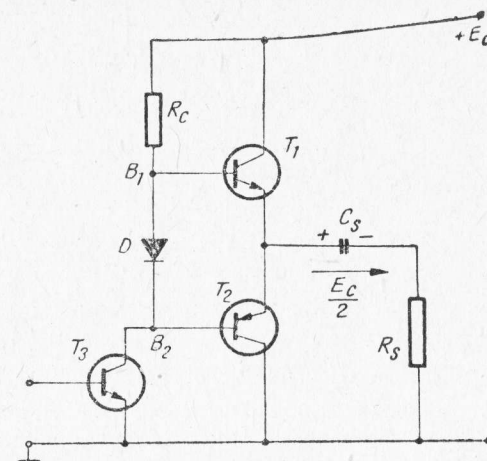


Fig. 12

— rezistența medie de intrare

$$R_{intr} = \frac{U_{BM} - U_{Bm}}{I_{BM} - I_{Bm}}. \quad (17)$$

● Schema de principiu a unui *amplificator de putere în contralimp cu tranzistoare funcționând în clasa B* echipat cu transformator de ieșire este reprezentată în figura 11.

Elementele de polarizare se aleg astfel încât curentul de colector să aibă o valoare mică (I_{C0}), dar diferită de zero când nu există semnal.

Dreapta de sarcină trebuie să asigure o utilizare bună a tensiunii de alimentare:

$U_{CM} = \xi E_C$ ($\xi = 0,9 \dots 1$). Rezistența de sarcină a unui tranzistor este

$$R_C = \frac{U_{CM}}{I_{CM} - I_{C0}} \approx \frac{E_C}{I_{CM}}. \quad (18)$$

Bilanțul puterilor este următorul:

— puterea absorbită (de ambele tranzistoare)

$$P_a = \frac{2E_C I_{CM}}{\pi}; \quad (19)$$

— puterea utilă (maximă)

$$P_{uM} = \frac{1}{2} I_{CM} \xi E_C. \quad (20)$$

● O schemă simplă de *amplificator în contralimp cu simetrie complementară*, la care nu mai sînt necesare transformatoare, este reprezentată în figura 12. Dioda D asigură deschiderea inițială a tranzistoarelor T_1 și T_2 pentru funcționarea în clasa B.

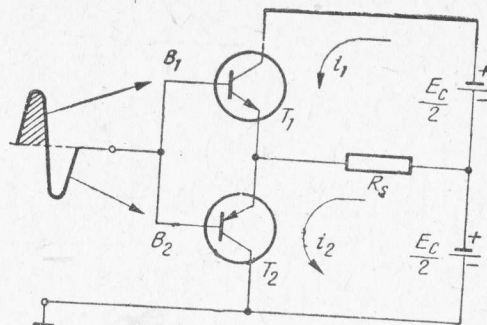


Fig. 13

Cu tranzistorul T_2 se realizează etajul excitator al etajului de putere.

În figura 13 este reprezentată *schema echivalentă simplificată* pentru analiza funcționării etajului final: s-a ținut seama de încărcarea condensatorului C la tensiunea $E_C/2$ și s-a considerat tensiunea bază-emitor de deschidere a tranzistoarelor T_1 și T_2 nulă (dat fiind efectul diodei D).

Tranzistoarele T_1 și T_2 pot fi realizate prin combinații de două (dubleți) sau trei tranzistoare (tripleți), în care tranzistoarele de putere sînt de același tip (*pn*p sau *np*n).

ENUNȚURI

● Dispozitivul activ la nivel mic

5.1. Pentru tranzistorul EFT 323 se cunosc parametrii h în punctul static de funcționare $I_{C0} = -1$ mA, $U_{CE0} = -6$ V. Să se determine rezistențele schemei din figură pentru a asigura acest punct static de funcționare, dacă se alege curentul prin divizor $I_d = -1$ mA și $U_{E0} = -2$ V.

5.2. Pentru schema din figură tranzistorul lucrează la un curent mediu $|I_{C0}| = 2$ mA. Știind că $h_{21} = 200$ și că $r_2 \gg R_S$, să se reprezinte schema echivalentă a montajului.

5.3. Să se determine rezistența de intrare la un tranzistor în conexiune emitor comun care se caracterizează prin $h_{21} = 100$, dacă $I_{C0} = 0,5$ mA și dacă $|I_{C0}| = 3$ mA.

5.4. Tranzistorul BC 109 în punctul static de funcționare $I_{C0} = 2$ mA, $U_{CE0} = 5$ V are parametrii hibrizi: $h_{11} = 8,7$ k Ω ; $h_{12} = 3 \cdot 10^{-4}$; $h_{21} = 600$; $h_{22} = 60$ μ S. Să se determine rezistențele din schemă care asigură punctul static de funcționare de mai sus, știind că $U_{E0} = 1$ V, $E_C = 12$ V și $I_d = 1$ mA.

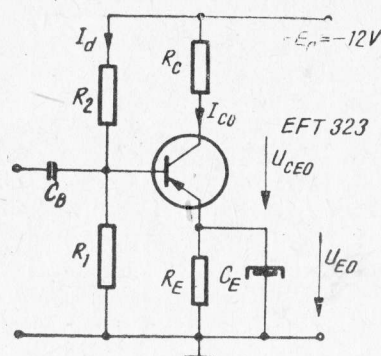


Fig. 5.1

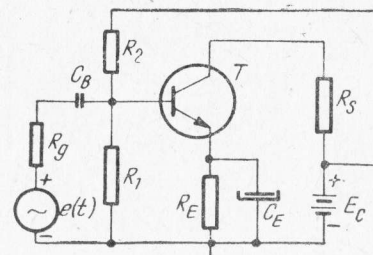


Fig. 5.2

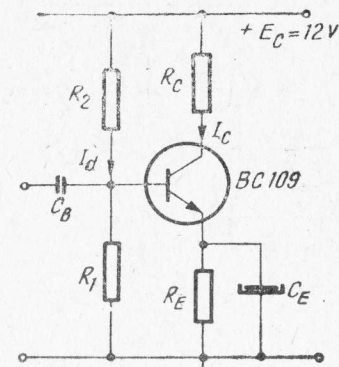


Fig. 5.4

● Amplificatorul de audiofrecvență la nivel mic

5.5. Se consideră amplificatorul de audiofrecvență din figura 3 realizat cu tranzistorul BC 109, pentru care parametrii hibridi sînt: $h_{11} = 8,7 \text{ k}\Omega$; $h_{12} = 3 \cdot 10^{-4}$; $h_{21} = 600$ și $h_{22} = 60 \text{ }\mu\text{S}$. Cunoscînd $R_{\theta e} = 1 \text{ k}\Omega$ și $R_s = 4,7 \text{ k}\Omega$, să se determine: amplificarea în tensiune, amplificarea în curent, impedanța de intrare în etaj și impedanța de ieșire.

5.6(R). Pentru un tranzistor avînd $h_{21} = 200$ curentul de polarizare este $|I_{C0}| = 2 \text{ mA}$. Cunoscînd rezistența de sarcină $R_s = 5 \text{ k}\Omega$, să se determine amplificarea sa în tensiune și frecvența sa limită superioară dacă generatorul utilizat are rezistența internă $R_g = 2 \text{ k}\Omega$, iar $C = 900 \text{ pF}$.

5.7. Un amplificator de audiofrecvență este echipat cu un tranzistor avînd frecvența de tranziție $f_T = 70 \text{ MHz}$, capacitatea $C_{b'e} = 6 \text{ pF}$ și $h_{21} = 50$. Dacă curentul de polarizare este $|I_{C0}| = 2 \text{ mA}$ și $R_g = 600 \text{ }\Omega$, iar $R_s = 2 \text{ k}\Omega$, să se determine frecvența limită superioară.

5.8. Cu un tranzistor avînd frecvența de tranziție $f_T = 70 \text{ MHz}$, capacitatea $C_{b'e} = 6 \text{ pF}$ și $h_{21} = 50$ se realizează un amplificator de audiofrecvență care are frecvența limită superioară 500 kHz . Știind că în punctul mediu de funcționare $|I_{C0}| = 3 \text{ mA}$ și că generatorul aplicat are rezistența internă $R_g = 1 \text{ k}\Omega$, să se determine valoarea rezistenței de sarcină R_s și amplificarea în tensiune realizată.

5.9. Să se determine condensatorul de decuplare C_E din emitorul unui amplificator de audiofrecvență pentru care frecvența limită inferioară este $f'_j = 30 \text{ Hz}$, dacă $h_{11} = 2 \text{ k}\Omega$, $h_{21} = 100$, $R_g = 1 \text{ }\Omega$, $R_1 = 3 \text{ k}\Omega$, $R_2 = 15 \text{ k}\Omega$, $R_E = 500 \text{ }\Omega$.

5.10. Să se determine frecvența limită inferioară f'_j a unui amplificator de audiofrecvență echipat cu un tranzistor avînd $h_{21} = 200$, curentul mediu de colector $|I_{C0}| = 2 \text{ mA}$.

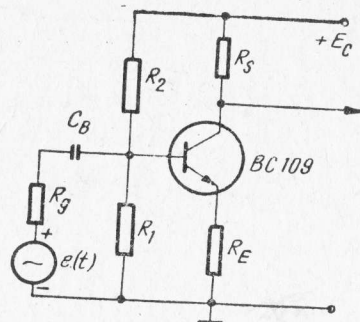


Fig. 5.13

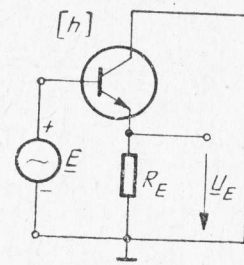


Fig. 5.14

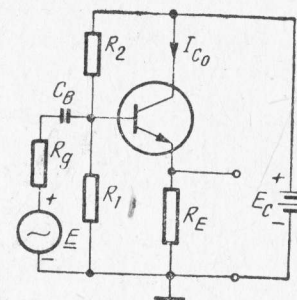


Fig. 5.16

Se cunosc de asemenea rezistența $R_g = 600 \, \Omega$ ($R_g \ll R_1$, $R_g \ll R_2$), condensatorul de decuplare cu capacitatea $C_E = 100 \, \mu\text{F}$ și rezistența din emitor $R_E = 1 \, \text{k}\Omega$.

5.11. Să se determine valoarea condensatorului de decuplare din bază C_B care asigură frecvența limită inferioară $f_j = 30 \, \text{Hz}$, știind $R_g = 1 \, \text{k}\Omega$, $R_1 = 3 \, \text{k}\Omega$, $R_2 = 15 \, \text{k}\Omega$, $h_{21} = 100$ și $|I_{C0}| = 2 \, \text{mA}$.

5.12(R). La un amplificator de audiofrecvență echipat cu un tranzistor avind $h_{21} = 100$ și curentul mediu de colector $|I_{C0}| = 2 \, \text{mA}$ se cunosc valorile elementelor: $R_g = 1 \, \text{k}\Omega$, $R_1 = 3 \, \text{k}\Omega$, $R_2 = 15 \, \text{k}\Omega$, $R_E = 1 \, \text{k}\Omega$, $C_E = 100 \, \mu\text{F}$, $C_B = 10 \, \mu\text{F}$. Care este frecvența limită inferioară?

5.13(R). Se consideră etajul amplificator de audiofrecvență din figură (tranzistor BC 109) pentru care se cunosc $h_{21} = 200$, $R_E = 300 \, \Omega$, $R_1 = 10 \, \text{k}\Omega$, $R_2 = 50 \, \text{k}\Omega$, $R_g = 1 \, \text{k}\Omega$, $E_C = 12 \, \text{V}$ și $C_B = 20 \, \mu\text{F}$. Care este frecvența limită inferioară?

5.14. Se consideră repetorul pe emitor reprezentat în figură. Cunoscind parametrii hibrizi h , să se determine amplificarea în tensiune și impedanța de ieșire cu intrarea în scurtcircuit.

5.15. Să se determine amplificarea în tensiune a unui repetor pe emitor pentru care tranzistorul avind $h_{21} = 200$ lucrează la curentul mediu $|I_{C0}| = 2 \, \text{mA}$. Rezistența din emitor este $R_E = 1 \, \text{k}\Omega$.

5.16. Care este rezistența de ieșire a unui repetor pe emitor echipat cu un tranzistor avind $h_{21} = 200$, dacă lucrează la curentul mediu $|I_{C0}| = 3 \, \text{mA}$, rezistența generatorului este $R_g = 1 \, \text{k}\Omega$, și rezistența din emitor $R_E = 1 \, \text{k}\Omega$. (Se consideră $R_1 \gg R_g$, $R_2 \gg R_g$, condensatorul C_E de reactanță neglijabilă și $R_g \ll 1/h_{22}$).

● Amplificatorul de videofrecvență la nivel mic

5.17. Cele două etaje identice care realizează un amplificator de videofrecvență au fiecare frecvența superioară $f_s = 5 \, \text{MHz}$. Care este frecvența limită superioară a întregului amplificator?

5.18. Ce frecvență limită superioară trebuie să asigure fiecare dintre cele trei etaje identice componente ale unui amplificator de videofrecvență pentru ca frecvența limită superioară a amplificatorului să fie egală cu $f_{s3} = 6,4 \text{ MHz}$?

5.19 (R). Se consideră etajul amplificator de videofrecvență din figură, corectat în domeniul frecvențelor joase prin introducerea grupului R_f, C_f . Presupunind decuplarea perfectă a rezistenței din emitor, să se determine expresia amplificării în domeniul frecvențelor medii și joase. Pentru tranzistor se cunosc parametrii h_{11}, h_{21} și se consideră $h_{12} = 0, h_{22} = 0$.

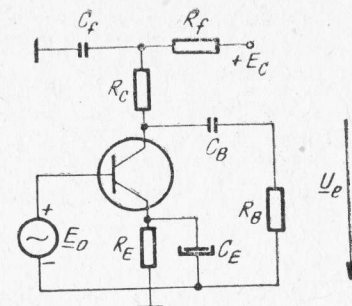


Fig. 5.19

5.20. Să se găsească relațiile care asigură optimizarea amplificării în domeniul frecvențelor joase pentru montajul analizat în problema 5.19.

5.21. Etajul amplificator de videofrecvență reprezentat în figură are capacitatea condensatorului din emitor astfel aleasă încât în domeniul frecvențelor medii rezistența din emitor nu este decuplată. Să se determine amplificarea în domeniul frecvențelor medii și înalte cunoscând pentru tranzistor parametrii: r_{be}, C și g_m ($R_1 \gg R_g, R_2 \gg R_g, R'_B \gg R_C$).

5.22 (R). Expresia amplificării unui etaj amplificator de videofrecvență corectat în domeniul frecvențelor înalte este:

$$\underline{A}_s(j\omega) = A_0 \frac{1 + aj\omega}{1 + m(j\omega) + n(j\omega)^2}.$$

Să se arate că optimizarea comportării sale în domeniul frecvențelor înalte conduce la relația: $m^2 - 2n = a^2$. Cât este în aceste condiții frecvența limită superioară?

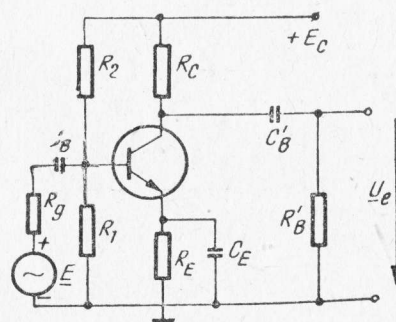


Fig. 5.21

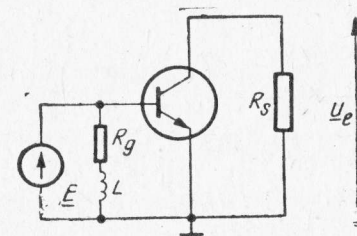


Fig. 5.24

5.23. Să se stabilească relațiile de optimizare pentru amplificatorul de videofrecvență analizat în problema 5.21, privind comportarea amplificării în domeniul frecvențelor înalte.

5.24 (R). În figură este reprezentată schema simplificată a unui etaj amplificator de videofrecvență corectat în domeniul frecvențelor înalte. Să se determine amplificarea U_e/E

în domeniul frecvențelor medii și înalte, cunoscând parametrii tranzistorului $r_{bb'}$, $r_{b'e}$, $C_{b'e}$, $C_{b'c}$ și g_m . Care este relația de condiție care asigură comportarea optimă a amplificatorului la frecvențe înalte?

5.25. Pentru etajul amplificator de videofrecvență din problema precedentă se cunosc parametrii: $r_{bb'} = 50 \Omega$, $r_{b'e} = 250 \Omega$, $C_{b'e} = 5 \text{ pF}$ ($C_{b'c}$ se poate neglija), $g = g_m = 100 \text{ mA/V}$, $R_s = R_g$, $A_0 = 781, 25$. Să se determine R_g și L pentru comportarea optimă a etajului în domeniul frecvențelor înalte.

● Reacția în amplificatoare

5.26. Unui amplificator avînd amplificarea $A = 400$ și distorsiunile $\delta = 5\%$ i se aplică o reacție negativă avînd ca efect reducerea distorsiunilor la $0,5\%$. Ce nivel de tensiune trebuie asigurat la intrare pentru a obține la ieșire o tensiune de amplitudine 1 V ?

5.27. Un amplificator are frecvența limită superioară egală cu 20 kHz și amplificarea de 1000 . Se aplică o reacție negativă care reduce amplificarea la 500 . Cît devine frecvența limită superioară?

5.28(R) Amplificatorul cu tranzistor din figură are aplicată o reacție serie de curent. Să se determine rezistența de intrare în montaj, cunoscînd h_{11} , h_{21} și admitînd $h_{12} = 0$, $h_{22} = 0$.

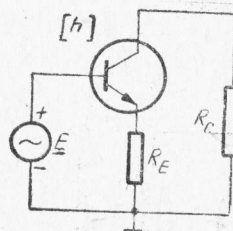


Fig. 5.28

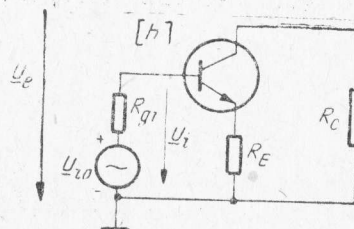


Fig. 5.29

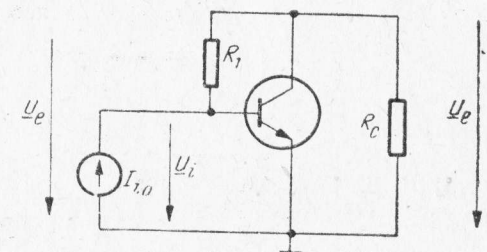


Fig. 5.30

5.29(R). Pentru amplificatorul cu tranzistor din figură să se determine amplificarea în tensiune $A_r = \frac{U_e}{U_i}$ și amplificarea $A_{r0} = \frac{U_e}{U_{i0}}$. Se cunosc elementele schemei, curentul mediu de colector I_{C0} și parametrul h_{21} .

5.30. Amplificatorul cu tranzistor din figură are aplicată o reacție de tensiune în derivație cu intrarea. Să se determine rezistența de intrare în montaj cunoscînd elementele schemei, parametrii tranzistorului: h_{11} , h_{21} , $h_{12} = 0$, $h_{22} = 0$ și $R_1 \gg R_C$.

5.31. Să se determine amplificarea de tensiune $\underline{A}_{ro} = \underline{U}_e / \underline{U}_i$ a amplificatorului cu reacție din figura 5.30. Se cunosc elementele schemei, curentul mediu de colector $|I_{C0}|$ și parametrul h_{21} .

5.32. Amplificatorul operațional β A 741 are în buclă deschisă amplificarea $2 \cdot 10^5$ și frecvența limită superioară 10 Hz. Să se reprezinte conectarea sa ca repetor și să se determine frecvența limită superioară realizată.

5.33(R). Amplificatorul operațional β A 741 are în buclă deschisă amplificarea $2 \cdot 10^5$, frecvența limită superioară 10 Hz și impedanța de ieșire la frecvența zero $Z_e = 75 \Omega$. Să se determine pentru configurația din figură care este impedanța de ieșire și amplificarea realizată la frecvența zero ($R_I = 100 \Omega$, $R_R = 10 \text{ k}\Omega$).

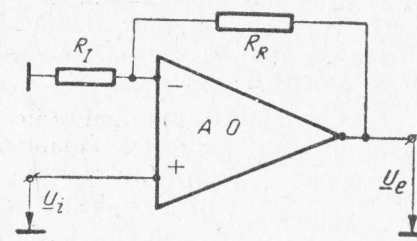


Fig. 5.33

● Amplificatorul de audiofrecvență de putere

5.34. Un etaj amplificator de putere este realizat cu un tranzistor lucrînd în clasa A; transformatorul de ieșire avînd randamentul $\eta_T = 85\%$. Știînd că, pentru obținerea unor distorsiuni mici, tensiunea minimă colector-emitor în timpul funcționării este egală cu 10% din tensiunea existentă în lipsa semnalului, iar curentul minim de colector este egal cu 10% din cel existent în lipsa semnalului, să se determine puterea disipată minimă necesară a fi acceptată de tranzistor pentru a se obține o putere în sarcină de 60 mW. Care este puterea disipată de tranzistor?

5.35(R). Un etaj final lucrînd în clasă A realizează o putere utilă de 40 mW, amplificarea de putere obținută fiind de 900. Rezistența internă a generatorului echivalent aplicat la intrare este $R_g = 500 \Omega$. Cunoscînd curentul de bază maxim absorbit de tranzistor $I_{BM} = 2.3 \text{ mA}$, să se determine amplitudinea tensiunii și puterea pe care trebuie să o debiteze etajul prefinal, precum și rezistența de intrare a amplificatorului.

5.36. Un amplificator de audiofrecvență de putere tranzistorizat funcționează în clasă A, în punctul mediu de funcționare $I_{B0} = 1.2 \text{ mA}$, $U_{CE0} = 7.5 \text{ V}$, $I_{C0} = 20 \text{ mA}$. După trasarea dreptei de sarcină, pe caracteristici se obțin valorile maxime și minime ale tensiunilor și curenților: $I_{CM} = 35 \text{ mA}$; $I_{cm} = 2 \text{ mA}$; $I_{BM} = 2.3 \text{ mA}$; $I_{Bm} = 0.1 \text{ mA}$; $U_{CEm} = 1.8 \text{ V}$; $U_{CEM} = 13.8 \text{ V}$; $U_{BEM} = 0.3 \text{ V}$; $U_{BEm} = 0.15 \text{ V}$.

Să se determine puterea utilă la semnal maxim, puterea disipată maximă, puterea necesară la intrare, rezistența de intrare și rezistența de sarcină a tranzistorului.

5.37. Un amplificator de audiofrecvență de putere în contratimp funcționînd în clasă B este alimentat de la o sursă $E_C = 6 \text{ V}$, factorul de utilizare al tensiunii de alimentare fiind $\xi = 0.9$. Știînd că trebuie realizată o putere utilă de 400 mW într-un difuzor de rezistență $R_d = 6 \Omega$, să se determine raportul de transformare al transformatorului de ieșire, presupus ideal. Care este puterea absorbită de montaj?

5.38(R). Un amplificator de audiofrecvență de putere în contratimp, funcționând în clasă B, are transformatorul de ieșire cu un randament $\eta_T = 0,8$ și raportul dintre numărul total de spire al primarului și numărul de spire al secundarului egal cu 7. Rezistența de sarcină este formată dintr-un difuzor avînd rezistența $R_s = 5 \Omega$. Dacă bateria folosită pentru alimentare este de tensiune $E_C = 9 \text{ V}$, să se determine puterea utilă maximă, puterea absorbită și randamentul global.

5.39. Etajul final al unui radioreceptor portabil este realizat după schema amplificatorului în contratimp cu simetrie complementară (fig. 12). Dacă difuzorul are rezistența $R_s = 8 \Omega$ și tensiunea de alimentare este $E_C = 6 \text{ V}$, să se determine puterea utilă maximă. Cît devine această putere dacă se înlocuiește difuzorul cu un altul avînd rezistența $R'_s = 4 \Omega$?

5.40. Ce valoare trebuie să aibă condensatorul C_s al unui amplificator în contratimp cu simetrie complementară (fig. 12), pentru a asigura frecvența limită inferioară egală cu $f_j = 20 \text{ Hz}$, știind că difuzorul are rezistența $R_s = 4 \Omega$?

5.41(R). În practică, în locul diodei D din schema amplificatorului de putere reprezentat în figura 12 se utilizează dioda multiplicată realizată ca în figură. Să se determine tensiunea U_{CE} cunoscînd U_{BE} și rezistențele R_1 și R_2 . Să se calculeze R_1 și R_2 știind $U_{CE} = 1,4 \text{ V}$, $U_{BE} = 0,68 \text{ V}$ și curentul $I_D = 0,2 \text{ mA}$ prin divizorul R_1, R_2 .

5.42. Etajul final al unui amplificator de audiofrecvență este realizat în contratimp cu simetrie complementară. Sarcina etajului este un difuzor de rezistență $R_s = 4 \Omega$, iar tensiunea de alimentare $E_C = 40 \text{ V}$. Să se determine puterea absorbită maximă, puterea utilă maximă și puterea disipată corespunzătoare.

5.43(R). Să se determine puterea disipată maximă pentru un etaj în contratimp cu simetrie complementară, dacă se cunosc tensiunea de alimentare E_C și rezistența de sarcină R_s . Să se aplice rezultatul obținut pentru datele din problema 5.42.

5.44. În figură sînt reprezentați doi dubleți, unul fără inversiune de polaritate (a) și altul cu inversiune de polaritate (b). Pentru tranzistoarele echivalente *nnp* (a) respectiv *pnnp* (b) să se determine parametrii h'_{11} și h'_{21} , neglijînd pentru tranzistoarele componente h_{12} și h_{22} .

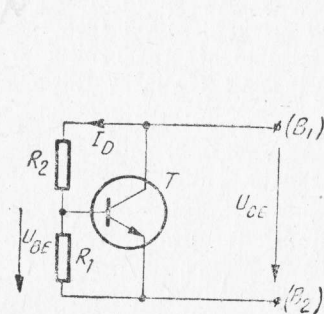


Fig. 5.41

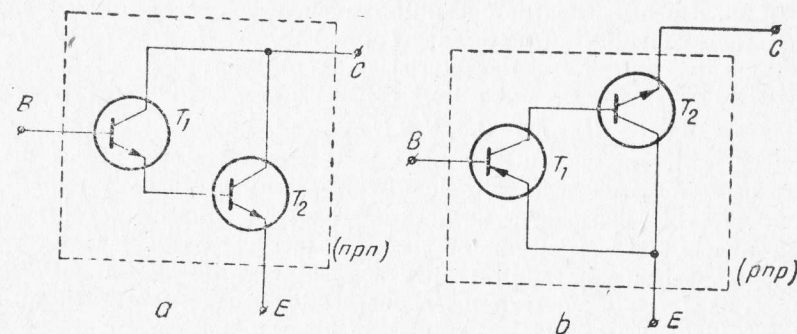


Fig. 5.44

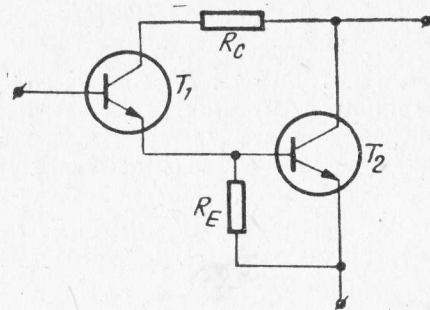


Fig. 5.45

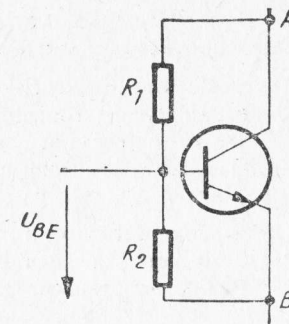


Fig. 5.46

5.45. La realizarea practică a unui dublet Darlington se introduc rezistențele R_C și R_E (fig. 5.45) de valori mici (47–150 Ω). Să se explice rolul lor.

5.46(R). Să se arate că montajul din figura 5.46 realizează între bornele A și B o tensiune care reprezintă un multiplu al tensiunii U_{BE} , care este tensiunea pe dioda corespunzătoare joncțiunii BE.

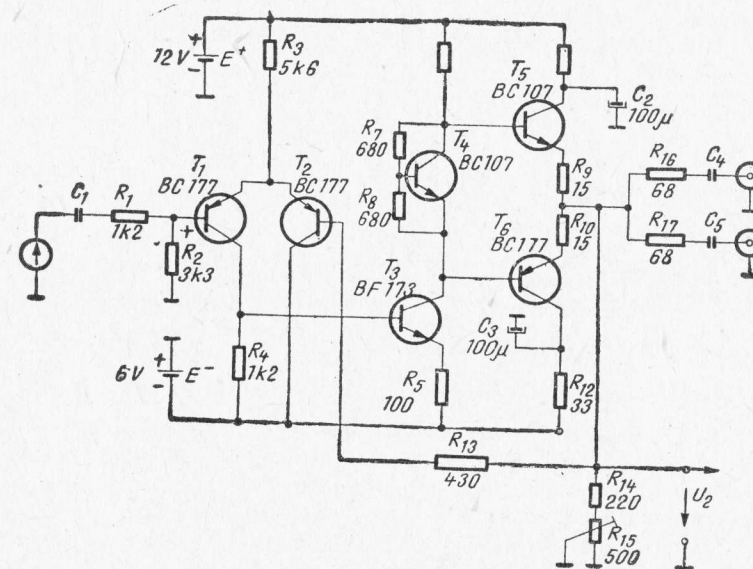


Fig. 5.47

Se cere să se determine variația cu temperatura a acestei tensiuni și să se explice care este aplicația curentă a acestui montaj.

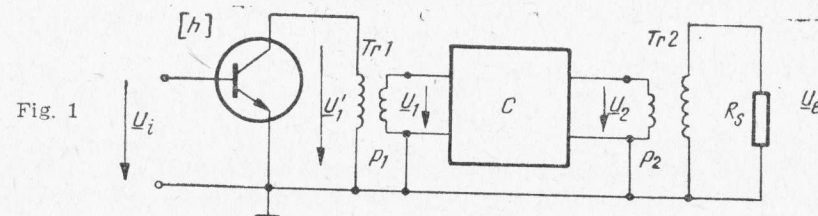
5.47(R). Se dă amplificatorul distribuitor din figura 5.47. Să se determine punctele statice de funcționare ale tranzistoarelor, să se specifice rolul tranzistorului T_3 , să se calculeze rezistența de intrare la frecvențe medii și valorile minimă și maximă ale amplificării cu reacție în funcție de poziția cursorului potențiometrului R_{15} , considerînd amplificarea pe buclă suficient de mare.

5.48(R). Se consideră un amplificator corector de apertură de tip diferențial (numit și cosinusoidal). Se cere să se reprezinte formele de semnal la intrările și la ieșirea corectorului, ca și caracteristica de fază.

6. AMPLIFICATOARE SELECTIVE

BREVIAR

● Un etaj selectiv de amplificare are *schema de principiu* din figura 1, cuadripolul C având proprietăți selective. Deoarece rezistențele care amortizează cuadripolul C la intrare și la ieșire ar fi prea mici, se utilizează circuite cu priză la intrare și la ieșire, ele fiind reprezentate prin transformatoarele ideale Tr_1 și Tr_2 având rapoartele de transformare n_i și n_e :



$$n_i = U_1'/U_1; \quad n_e = U_e/U_2. \quad (1)$$

Rapoartele n_i și n_e sînt coeficienți de priză.

● *Schema echivalentă a amplificatorului* este reprezentată în figura 2, tranzistorul fiind caracterizat de parametri h ($h_{12} = 0$). Dacă se elimină prizele, schema echivalentă are configurația din figura 3, *a*. Înglobînd în cuadripolul Γ rezistențele de la intrarea și ieșirea cuadripolului C , se obține schema echivalentă din figura 3, *b*.

● Dacă impedanța de transfer a cuadripolului Γ este

$$Z_t(j\omega) = U_2/I_1, \quad (2)$$

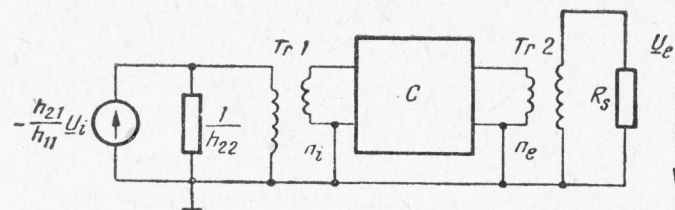


Fig. 2

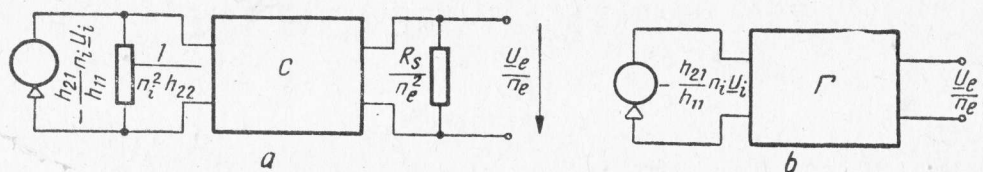


Fig. 3

atunci amplificarea montajului este

$$\underline{A}(j\omega) = -\frac{h_{21}}{h_{11}} n_i n_e \underline{Z}_L(j\omega). \quad (3)$$

• Dacă cuadripolul Γ este un circuit derivatie cu factorul de calitate Q , frecvența de acord f_r și capacitatea condensatorului C , atunci:

— lărgimea benzii de trecere la o atenuare cu 3 dB este

$$B_{3dB} = f_r/Q; \quad (4)$$

— amplificarea la frecvența de acord este

$$A_0 = \underline{A}(j\omega_r) = -\frac{h_{21}n_in_eQ}{2\pi f_r C h_{11}}. \quad (5)$$

• Dacă cuadripolul Γ este un circuit cuplat derivatie, în care C_1 și C_2 sînt capacitățile de acord ale primarului respectiv secundarului, circuitele fiind acordate pe aceeași frecvență f_r și factorii de calitate ai primarului respectiv secundarului fiind Q_1 și Q_2 , atunci:

a) la cuplajul de tranziție $\left(g = \sqrt{\frac{b}{2}}; b = \frac{Q_1}{Q_2} + \frac{Q_2}{Q_1}\right)$

— lărgimea benzii de trecere la o atenuare cu 3 dB este

$$B_{3dB} = \frac{f_r}{\sqrt{Q_1 Q_2}} \sqrt{1 + g^2}; \quad (6)$$

— amplificarea pe frecvența de rezonanță

$$\underline{A}_0 = \underline{A}(j\omega_r) = \frac{-jh_{21}n_in_eg\sqrt{Q_1 Q_2}}{2\pi f_r \sqrt{C_1 C_2} (1 + g^2) h_{11}}; \quad (7)$$

b) *peste cuplajul de tranziție:*

— lărgimea benzii de trecere în sens Cebîșev este

$$B_c = \frac{f_r}{\sqrt{Q_1 Q_2}} \sqrt{2} \sqrt{g^2 - \frac{b}{2}}; \quad (8)$$

— neuniformitatea în bandă este

$$\eta = \frac{\sqrt{1 + g^2(b + 2) - b^2/4}}{g^2 + 1}; \quad (9)$$

— amplificarea la frecvența de rezonanță corespunde relației (7), în care $g > \sqrt{\frac{b}{2}}$.

● Un amplificator cu n etaje identice realizate cu circuit acordat derivație, fiecare cu lărgimea benzii de trecere B_{3dB} și amplificarea A_0 , are amplificarea globală A_{0n} și lărgimea benzii de trecere B_{n3dB} :

$$A_{0n} = A_0^n; \quad B_{n3dB} = (2^{1/n} - 1)^{1/2} B_{3dB}. \quad (10)$$

● Un amplificator cu n etaje identice realizate cu circuite cuplate la cuplajul de tranziție, fiecare cu amplificarea A_0 și lărgimea benzii de trecere B_{3dB} , are amplificarea globală A_{0n} și lărgimea benzii de trecere B_{n3dB} :

$$A_{0n} = A_0^n; \quad B_{n3dB} = (2^{1/n} - 1)^{1/4} B_{3dB}. \quad (11)$$

● Un amplificator cu n etaje identice realizate cu circuite cuplate peste cuplajul de tranziție, fiecare cu amplificarea A_0 , neuniformitatea în bandă η și lărgimea benzii în sens Cebîșev B_c , are amplificarea globală A_{0n} , neuniformitatea în bandă η_n și lărgimea benzii în sens Cebîșev B_{nc} :

$$A_{0n} = A_0^n; \quad \eta_n = \eta^n; \quad B_{nc} = B_c. \quad (12)$$

● În cazul amplificatorului cu circuit acordat derivație, coeficientul de priză se alege astfel încît

$$\frac{1}{h_{22} n^2} = \frac{R_s}{n_c^2}. \quad (13)$$

● În cazul amplificatorului cu circuite cuplate coeficienții de priză pot fi aleși astfel încît factorii de calitate ai primarului și secundarului să rezulte egali. Dacă circuitele cuplate, lucrînd în gol, aveau factorii de calitate egali, atunci coeficienții de priză îndeplinesc relația (13).

● Dacă se ține seama de capacitatea de reacție C_p care apare între baza și colectorul tranzistorului amplificator pentru ca performanțele determinate făcînd abstracție de aceasta să fie valabile este necesar să se efectueze următoarele verificări:

- se determină rezistența R_{1c} la intrarea tranzistorului ($C_p = 0$);
- se determină rezistența R_{2c} la ieșirea tranzistorului ($C_p = 0$);
- se calculează modulul fazorului de reacție:

$$T_r = \frac{h_{21}}{h_{11}} \omega_r C_p R_{1c} R_{2c}. \quad (14)$$

Este necesar ca

$$T_r \ll 1. \quad (15)$$

○ **Observație.** În cazul dimensionării unui amplificator selectiv cu tranzistoare, condiția (15) poate juca un rol important în stabilirea coeficienților de priză, deoarece rezistențele R_{1e} și R_{2e} la amplificatorul cu mai multe etaje depind de aceștia conform relațiilor

$$R_{1e} = n_e^2 \frac{Q_2}{\omega_r C_2}; \quad R_{2e} = n_i^2 \frac{Q_1}{\omega_r C_1}, \quad (16)$$

în care

— la utilizarea circuitelor cuplate Q_1 și Q_2 sint factorii de calitate ai primarului, respectiv secundarului, iar C_1 și C_2 sint capacitățile condensatoarelor de acord ale primarului, respectiv secundarului;

— la utilizarea circuitelor derivație $Q_1 = Q_2 = Q$, unde Q este factorul de calitate în sarcină al circuitului derivație, iar $C_1 = C_2 = C$, în care C este capacitatea condensatorului de acord,

ENUNȚURI

6.1(R). Un amplificator selectiv cu circuit acordat derivație are schema din figură. Se cunosc parametrii tranzistorului: $h_{11} = 5 \text{ k}\Omega$, $h_{12} = 0$, $h_{21} = 100$, $1/h_{22} = 50 \text{ k}\Omega$ și elementele de circuit $C_1 = 10 \text{ nF}$, $C_2 = 1 \text{ nF}$, $R_s = 1 \text{ k}\Omega$, $Q_0 = 100$, $(L_1 + M)/(L_1 + L_2 + 2M) = 0,9$ și $f_r = 0,8 \text{ MHz}$. Să se determine lărgimea benzii de trecere la o atenuare cu 3 dB și amplificarea pe frecvența de rezonanță.

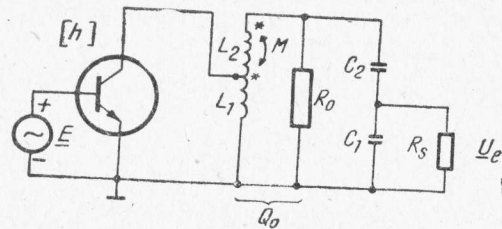


Fig. 6.1

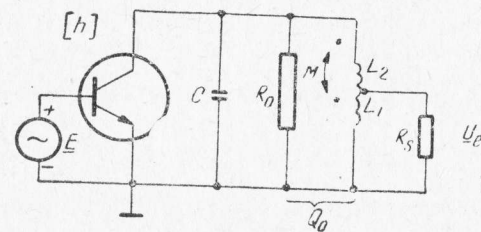


Fig. 6.3

6.2. Ce rezistență R_a trebuie montată în paralel cu circuitul acordat al amplificatorului din problema precedentă pentru ca lărgimea benzii de trecere la o atenuare cu 3 dB să se dubleze? Cît devine în acest caz amplificarea pe frecvența de acord?

6.3. Pentru etajul amplificator cu circuit derivație din figură se cunosc parametrii tranzistorului: $h_{11} = 5 \text{ k}\Omega$, $h_{21} = 200$, $h_{12} = 0$, $1/h_{22} = 30 \text{ k}\Omega$ și elementele de circuit $L_1 + L_2 + 2M = 25 \text{ }\mu\text{H}$, $Q_0 = 100$, $f_r = 1 \text{ MHz}$, $R_s = 2 \text{ k}\Omega$. Să se determine coeficientul de priză $n_e = L_1 + M/L_1 + L_2 + 2M$ astfel încît amplificarea să fie maximă. Cît rezultă această amplificare și lărgimea benzii de trecere la o atenuare cu 3 dB?

6.4. Un amplificator selectiv cu circuit acordat derivație are sarcina conectată prin priză capacitivă ca în figură. Știind parametrii h ai tranzistorului ($h_{12} = 0$), factorul de calitate în gol al circuitului Q_0 , capacitatea de acord $C_1 C_2 / (C_1 + C_2) = C$, frecvența de acord f_r și rezistența de sarcină R_s , să se determine coeficientul de priză și expresiile capacităților C_1 și C_2 pentru a realiza o lărgime de bandă la o atenuare de 3 dB, B_{3dB} , dată. Care este expresia amplificării la frecvența de acord?

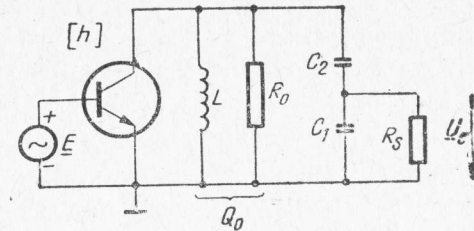


Fig. 6.4

6.5(R). Pentru proiectarea unui amplificator selectiv avînd schema din figura 6.1 se alege un tranzistor avînd parametrii h cunoscuți ($h_{12} = 0$), se estimează valoarea factorului de calitate al bobinei Q_0 și se alege capacitatea condensatorului de acord C . Se mai cunosc: rezistența de sarcină $R_s = h_{11}$ și lărgimea benzii de trecere la o atenuare cu 3 dB, B_{3dB} . Urmărind obținerea amplificării maxime care sînt valorile coeficienților de priză n_i și n_e ? Să se determine și expresia amplificării maxime realizate.

6.6. Să se determine elementele de circuit ale amplificatorului conform problemei 6.5 dacă se cunosc parametrii: $h_{11} = 2 \text{ k}\Omega$, $h_{21} = 100$, $h_{12} = 0$, $1/h_{22} = 20 \text{ k}\Omega$, $Q_0 = 100$, $C = 1 \text{ nF}$, $R_s = h_{11}$, $B_{3dB} = 18 \text{ kHz}$ și $f_r = 470 \text{ kHz}$. Cît este amplificarea realizată?

6.7(R). Cu un tranzistor avînd parametrii $h_{11} = 3 \text{ k}\Omega$, $h_{21} = 100$, $h_{12} = 0$ și $1/h_{22} = 40 \text{ k}\Omega$ se realizează un amplificator selectiv conform scheme din figura 6.4. Se știe $Q_0 = 80$, $R_s = 2 \text{ k}\Omega$, $B_{3dB} = 100 \text{ kHz}$ și $f_r = 5 \text{ MHz}$ și se cere să se determine valoarea condensatorului de acord și coeficientul de priză n_e pentru ca amplificarea rezultată să fie maximă. Ce valori au capacitățile C_1 , C_2 și amplificarea realizată?

6.8. La un amplificator selectiv realizat cu trei etaje identice cu circuite derivație cu priză se cunosc parametrii tranzistoarelor $h_{11} = 5 \text{ k}\Omega$, $h_{21} = 100$, $h_{12} = 0$, $1/h_{22} = 30 \text{ k}\Omega$ factorii de calitate în gol ai circuitelor acordate $Q_0 = 100$ rezistența de sarcină $R_s = h_{11}$, coeficienții de priză $n_i = 0,77$, $n_e = 0,316$, frecvența de acord $f_r = 473 \text{ kHz}$ și capacitatea condensatorului de acord $C = 1 \text{ nF}$. Să se determine amplificarea și lărgimea benzii de trecere la o atenuare cu 3 dB pentru întreg amplificatorul.

6.9. Pentru amplificatorul din problema 6.8 se știe că valoarea capacității condensatorului de reacție este $C_p = 1 \text{ pF}$. Să se determine valorile rezistențelor R_{1e} , R_{2e} și mărimea T_θ . Amplificatorul realizează performanțele determinat în problema 6.8?

6.10. Un amplificator selectiv cu trei etaje dintre care unul este reprezentat în figură utilizează bobine cu factorul de calitate Q_0 și tranzistoare cu parametrii $h_{11} = 5 \text{ k}\Omega$, $h_{21} = 100$,

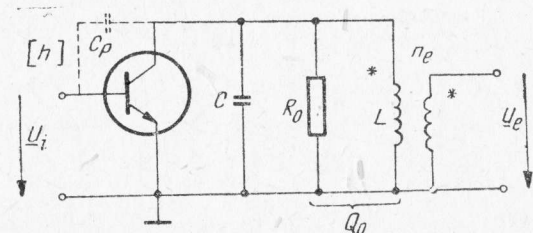


Fig. 6.10

$h_{12} = 0$, $1/h_{22} = 30 \text{ k}\Omega$, $C_p = 1 \text{ pF}$. Cunoscând frecvența centrală $f_r = 10,7 \text{ MHz}$, lărgimea benzii de trecere a întregului amplificator la o atenuare cu 3 dB, $B = 200 \text{ kHz}$, $R_s = h_{11}$ și $T_o = 0,1$, să se determine amplificarea globală rezultată.

6.11. Pentru amplificatorul din problema 6.10 se precizează $Q_0 = 100$. Care sînt valorile elementelor de circuit?

6.12(R). Un amplificator selectiv este format din trei etaje identice cu circuite acordate derivație, frecvența de acord fiind $f_r = 470 \text{ kHz}$. Cît trebuie să fie lărgimea benzii de trecere a fiecărui etaj, dacă lărgimea benzii de trecere a întregului amplificator este $B_{3 \text{ dB}} = 9 \text{ kHz}$? De cîte ori scade amplificarea la o frecvență depărtată cu 9 kHz de cea de acord, față de amplificarea la frecvența de acord?

6.13. Un amplificator selectiv este realizat cu patru etaje identice cu circuite cuplate lucrînd la cuplajul de tranziție. Să se determine lărgimea benzii de trecere la o atenuare cu 3 dB ce trebuie asigurată pentru fiecare etaj astfel încît lărgimea benzii de trecere la o atenuare cu 3 dB să fie de 100 kHz.

6.14. Un amplificator de frecvență intermediară dintr-un receptor pentru emisiunile cu modulație în frecvență este format din trei etaje identice cu circuite cuplate în care primarul și secundarul au aceeași frecvență de acord $f_r = 10,7 \text{ MHz}$ și același factor de calitate $Q_1 = Q_2$. Știind că la o neuniformitate globală de 3 dB lărgimea benzii de trecere în sens Cebîșev este de 200 kHz, să se determine coeficientul de cuplaj al circuitelor cuplate, factorul de calitate al primarului și secundarului și lărgimea benzii de trecere în sens Cebîșev pe etaj.

6.15. Un amplificator de radiotrecvență se realizează cu trei etaje identice, cu circuite cuplate peste cuplajul de tranziție. Se cunoaște raportul dintre factorii de calitate ai primarului și secundarului $Q_1/Q_2 = 1/3$. La o neuniformitate globală de 3 dB, fiind necesar să se obțină o lărgime de bandă în sens Cebîșev de 73 kHz în jurul frecvenței de acord sincron $f_r = 2 \text{ MHz}$, să se determine coeficientul de cuplaj și factorii de calitate ai circuitelor primar și secundar.

6.16. Amplificatorul din figură lucrează cu circuitele cuplate la cuplaj critic, parametrii tranzistorului fiind $h_{11} = 2 \text{ k}\Omega$, $h_{12} = 0$, $h_{21} = 100$, $1/h_{22} = 30 \text{ k}\Omega$, $Q_1 = Q_2 = 50$, $f_r = 470 \text{ kHz}$. Să se determine valorile condensatoarelor, amplificarea și lărgimea benzii de trecere la o atenuare cu 3 dB dacă inductanța bobinei este $L = 100 \text{ }\mu\text{H}$.

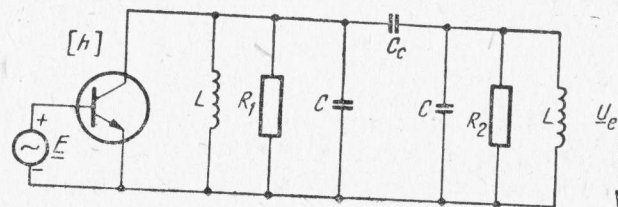
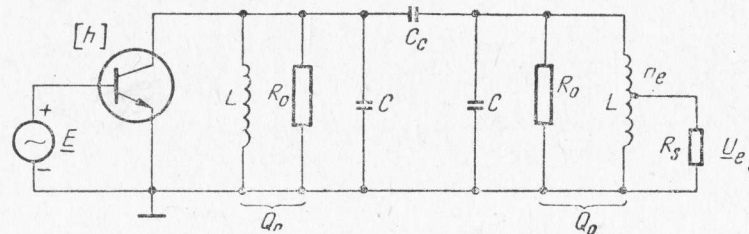


Fig. 6.16

6.17(R). Amplificatorul din figură lucrează cu circuitele cuplate la cuplaj critic, tranzistorul având parametri $h_{11} = 2 \text{ k}\Omega$, $h_{12} = 0$, $h_{21} = 100$, $1/h_{22} = 40 \text{ k}\Omega$, $f_r = 1 \text{ MHz}$ și $Q_1 = Q_2$. Lărgimea benzii de trecere la o atenuare cu 3 dB fiind $B_{3\text{dB}} = 50 \text{ kHz}$ și capacitatea de acord $(C + C_C) = 1 \text{ nF}$, să se determine amplificarea obținută pe frecvența de acord și coeficientul de priză n_e din secundar dacă $R_s = h_{11}$. Ce valori au coeficientul de cuplaj și condensatorul C_C ?

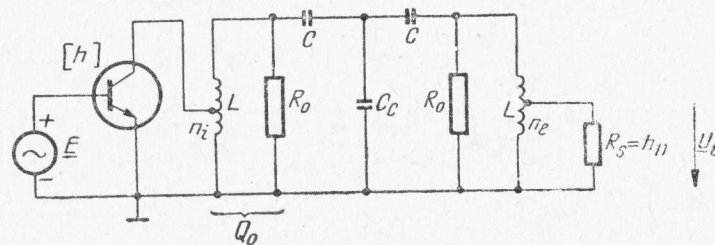
Fig. 6.17



6.18. Un amplificator selectiv cu circuite cuplate la cuplaj critic are schema din figura 6.17. Știind că în sarcină $Q_1 = Q_2 = 50$ și frecvența de acord $f_r = 470 \text{ kHz}$, să se determine lărgimea benzii de trecere la o atenuare cu 3 dB. De câte ori scade amplificarea în raport cu cea de la rezonanță la frecvența $f_1 = 500 \text{ kHz}$?

6.19(R). La realizarea amplificatorului selectiv din figură s-a utilizat un tranzistor având $h_{11} = 2 \text{ k}\Omega$, $h_{21} = 80$, $h_{12} = 0$, $1/h_{22} = 20 \text{ k}\Omega$. Frecvența de lucru este egală cu frecvența

Fig. 6.19



de acord sincron a celor două circuite, $f_r = 0,8 \text{ MHz}$, factorii de calitate ai bobinelor $Q_0 = 100$, condensatorul $C = 1 \text{ nF}$, neuniformitatea în bandă — 3 dB, iar lărgimea benzii în sens Cebîșev $B_C = 49,47 \text{ kHz}$.

Știind că se lucrează cu factori de calitate egali în sarcina pentru primar și secundar ($Q_1 = Q_2$), să se determine coeficienții de priză n_1 și n_e , precum și valoarea capacității condensatorului C_C (conform figurii, $R_s = h_{11}$). Cât este amplificarea la frecvența de acord?

6.20(R). Un etaj selectiv avînd schema din figură are coeficienții de priză $n_i = 0,5$ și $n_e = 0,05$, factorii de calitate ai primarului și secundarului în sarcină $Q_1 = Q_2 = Q$, frecvența de acord sincron $f_r = 10,7$ MHz, lărgimea de bandă în sens Cebîșev 200 kHz la o neuniformitate

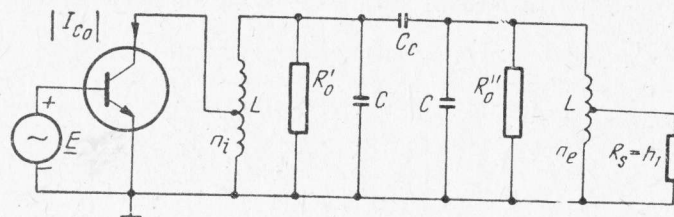


Fig. 6.20

de 1 dB. Se realizează un amplificator cu trei etaje de acest tip. Să se determine lărgimea benzii în sens Cebîșev și neuniformitatea în bandă a întregului amplificator. Dacă capacitatea condensatorului de acord este $(C + C_c) = 100$ pF, să se determine amplificarea globală știind că tranzistorul are curentul mediu de colector $|I_{C0}| = 2$ mA.

6.21. Pentru amplificatorul cu trei etaje din problema precedentă să se determine rezistențele R_{1e} și R_{2e} , precum și mărimea T_e dacă $C_e = 0,5$ pF. Cum interpretați rezultatul?

7. OSCILATOARE ȘI SCHIMBĂTOARE DE FRECVENȚĂ

BREVIAR

A. OSCILATOARE SINUSOIDALE

Oscilatoarele sinusoidale sînt montaje, conținînd dispozitive active de circuit (tuburi electronice, tranzistoare etc.), care generează semnale sinusoidale pe o anumită frecvență.

Problemele mai importante care se ridică la studiul oscilatoarelor sinusoidale sînt :

- *determinarea frecvenței de oscilație ;*
- *determinarea condițiilor de amorsare a oscilațiilor ;*
- *determinarea amplitudinii oscilațiilor în condițiile unei bune stabilități de frecvență.*

Se știe că un amplificator cu reacție poate autooscila cînd sînt satisfăcute concomitent două condiții :

- *condiția de fază (reacția să fie pozitivă) ;*
- *condiția de amplitudine (factorul de reacție $A\beta \geq 1$).*

Aceste două condiții rezultă din relația lui Barkhausen

$$\underline{A\beta} = 1. \quad (1)$$

● Oscilatoare LC

Oscilatoarele *LC* se utilizează în general în înaltă frecvență, deoarece în joasă frecvență valorile inductivităților *L* necesare sînt foarte mari, ceea ce pune probleme dificile de realizare.

O metodă de studiu a oscilatoarelor sinusoidale cu circuit acordat constă în determinarea rezistenței negative introduse în circuit de un element sau de un amplificator cu reacție pozitivă.

● Frecvența oscilațiilor se stabilește punând condiția de rezonanță pentru circuitul serie echivalent, iar condiția de anersare și stabilire a amplitudinii oscilațiilor corespunde rezistenței totale nule a circuitului echivalent.

● Schema de principiu a unui oscilator LC este dată în figura 1, în care dispozitivul activ poate fi un tranzistor bipolar, un TEC sau un tub electronic. Cuadripolul de reacție pozitivă este reprezentat sub forma unui cuadripol în π , deoarece orice cuadripol poate fi transpus într-un cuadripol în π . În această schemă s-a notat cu $Z_{in} = R_{in} + jX_{in}$ impedanța echivalentă măsurată la intrarea dispozitivului activ cu $Z_{ies} = R_{ies} + jX_{ies}$ impedanța internă echivalentă, măsurată la ieșirea aceluiași dispozitiv.

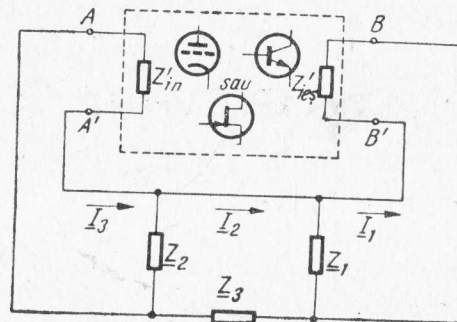


Fig. 1

● Condiția de oscilație și frecvența de lucru. În regim staționar sinusoidal se va scrie sistemul de ecuații pe ochiuri având în vedere că în sistem nu există nici o tensiune electromotoare aplicată din exterior :

$$\begin{cases} Z_{11}I_1 + Z_{12}I_2 + Z_{13}I_3 = 0; \\ Z_{21}I_1 + Z_{22}I_2 + Z_{23}I_3 = 0; \\ Z_{31}I_1 + Z_{32}I_2 + Z_{33}I_3 = 0, \end{cases} \quad (2)$$

unde :

$Z_{11} = R_{ies} + Z_1$ (în expresia lui Z_1 intră și componenta reactivă X_{ies} a impedanței de ieșire a dispozitivului activ);

$Z_{22} = Z_1 + Z_2 + Z_3$;

$Z_{33} = R_{in} + Z_2$ (în expresia lui Z_2 intră și componenta reactivă X_{in} a impedanței de intrare a dispozitivului activ);

$Z_{12} = -Z_1$;

$Z_{21} = -Z_1$;

$Z_{13} = SR_{in}R_{ies}$ [în această relație S reprezintă panta dispozitivului activ (denumită

și conductanță mutuală), care este considerată reală (la tranzistorul bipolar

$$S = y_{21} = \frac{h_{21}}{h_{11}}];$$

$Z_{31} = 0$ (se consideră că reacția internă este negliabilă sau impedanța mutuală dacă există se înglobează în Z_3);

$Z_{23} = -Z_2$;

$Z_{32} = -Z_2$.

Pentru ca sistemul să aibă soluții diferite de zero, este necesar ca determinantul sistemului să fie egal cu 0, adică

$$D = \begin{vmatrix} R_{ies} + Z_1 & -Z_1 & SR_{in}R_{ie} \\ -Z_1 & Z_1 + Z_3 + Z_3 & -Z_2 \\ 0 & -Z_2 & R_{in} + Z_2 \end{vmatrix} = 0. \quad (3)$$

Prin anularea părții reale a determinantului se obține condiția de oscilație, iar prin anularea părții imaginare — frecvența pe care va oscila sistemul. În condiții normale de lucru se dorește ca stabilitatea de frecvență a sistemului să fie cât mai bună și condiția de amorsare a oscilațiilor să fie cât mai ușor de îndeplinit, deci factorul de calitate a circuitului acordat Z_1, Z_2, Z_3 să fie cât mai bun, iar frecvența de oscilație a sistemului ω_0 să fie cât mai apropiată de frecvența de rezonanță a circuitului oscilant (ce formează cuadripolul de reacție) dată de $X_1 + X_2 + X_3 = 0$. Pentru aceasta este necesar să fie îndeplinite condițiile

$$\begin{aligned} |X_1| &\gg R_1; \\ |X_2| &\gg R_2; \\ |X_3| &\gg R_3; \\ R_{in} &\gg |X_2|; \\ R_{ies} &\gg |X_1|. \end{aligned} \quad (4)$$

Cu aceste relații părțile reală și imaginară ale relației (3) sînt

$$R_1 + R_2 + R_3 + \frac{X_1^2}{R_{ies}} + \frac{X_2^2}{R_{in}} - SX_1X_2 = 0 \text{ (condiția de oscilație);} \quad (5)$$

$$X_1 + X_2 + X_3 = 0 \text{ (frecvența de lucru).} \quad (6)$$

Termenii $\frac{X_1^2}{R_{ies}}$ și $\frac{X_2^2}{R_{in}}$ reprezintă rezistențele de amortizare introduse în circuitul oscilant de rezistența internă echivalentă a dispozitivului activ, respectiv de rezistența echivalentă de intrare. Se notează cu

$$R = R_1 + R_2 + R_3 + \frac{X_1^2}{R_{ies}} + \frac{X_2^2}{R_{in}} \quad (7)$$

rezistența totală a circuitului oscilant; cu această notație relația (5) devine

$$-SX_1X_2 + R = 0 \quad (8, a)$$

$$S = \frac{R}{X_1X_2} = \frac{1}{\sqrt{\frac{X_1^2}{R} \frac{X_2^2}{R}}} = \frac{1}{\sqrt{Z_{ies}Z_{in}}}, \quad (8, b)$$

unde :

$Z_{ieq} = \frac{X_1^2}{R}$ reprezintă impedanța circuitului oscilant văzută dinspre ieșirea dispozitivului activ ;

$Z_{in} = \frac{X_2^2}{R}$ reprezintă impedanța circuitului oscilant văzută dinspre intrarea dispozitivului activ.

● Relația (8, b) indică panta necesară efectivă a dispozitivului activ pentru ca sistemul să oscileze, iar relația (6) dă condiția ca circuitul oscilant Z_1, Z_2, Z_3 să fie acordat. Din relația (8, a) rezultă că X_1, X_2 trebuie să fie amândouă inductive sau amândouă capacitive, iar din relația (6)

rezultă că reactanța X_3 trebuie să fie de semn contrar față de X_1, X_2 . În concluzie, se poate spune că există numai două tipuri fundamentale de oscilatoare LC și anume : Colpitts și Hartley (fig. 2, a și 2, b).

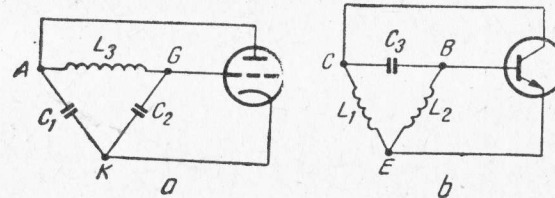


Fig. 2

dorește o bună stabilitate de amplitudine la variațiile unor factori (temperatură, sarcină etc.), iar cea superioară — când se dorește o bună stabilitate de frecvență. Se arată că pentru $Z_{in} = Z_{ieq}$ stabilitatea frecvenței este cea mai bună.

● La frecvențe foarte înalte, în loc de circuite cu constante concentrate se pot folosi trunchiuri de linie cu lungimea $l \leq \lambda/4$, unde λ este lungimea de undă corespunzătoare frecvenței f_0 . Din punct de vedere practic se preferă linia în scurtcircuit, care are impedanța de intrare

$$Z_i \cong jX_i = jZ_0 \operatorname{tg} \beta l = jZ_0 \operatorname{tg} \frac{2\pi}{\lambda} l, \quad (9)$$

unde Z_0 este impedanța caracteristică a liniei, iar $\lambda(\text{m}) = \frac{300}{f_0(\text{MHz})}$.

● Oscilatoare RC

Oscilatoarele RC nu conțin circuite acordate.

● Oscilatoarele RC se împart în două grupe :

— oscilatoare RC de tipul I, la care amplificatorul introduce un defazaj de 180° , iar rețeaua de reacție constituită din celule RC introduce de asemenea un defazaj de 180° ;

— oscilatoare RC de tipul II, în care amplificatorul nu defazează semnalul, iar defazajul introdus de rețeaua de reacție este nul.

Oscilatoare RC de tipul I

● În figura 3 sînt prezentate schemele unor oscilatoare RC de tipul I realizate cu tuburi electronice sau TEC-uri (fig. 3, a și 3, b), respectiv cu tranzistoare bipolare (fig. 3, c și 3, d).

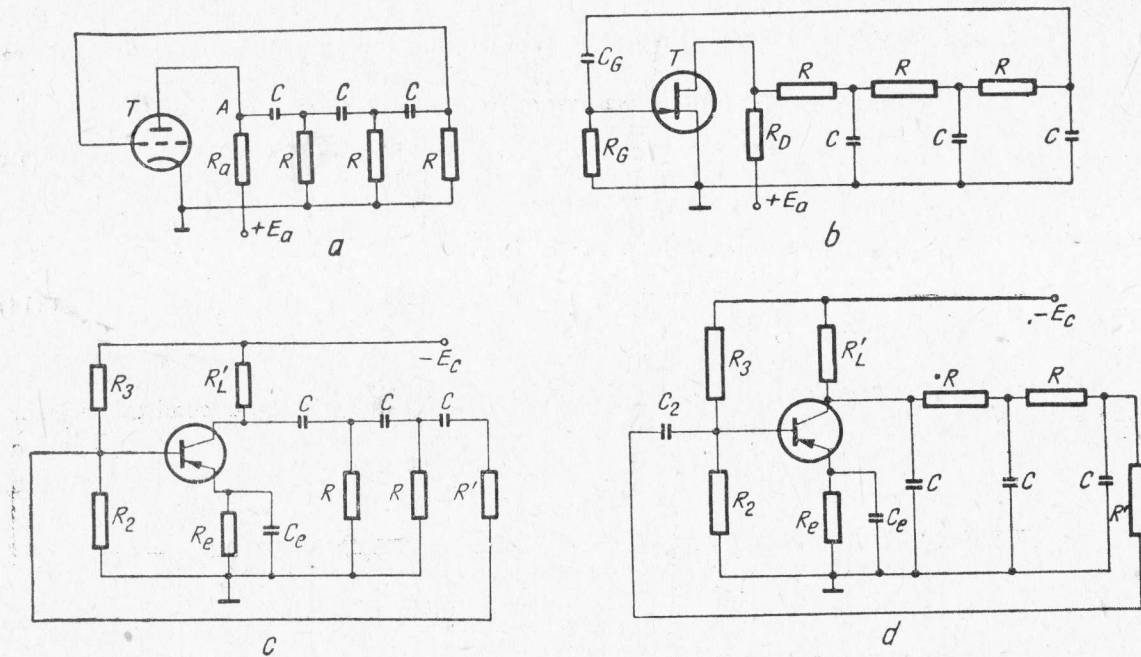


Fig. 3

● În cazul oscilatorului RC cu trei etape de de fazare identice tip trece-sus (fig. 3, a), frecvența de oscilație este dată de relația (valabilă și pentru montaje cu TEC-uri)

$$f = \frac{1}{2\pi RC \sqrt{6 + 4k}}, \quad (10)$$

în care $k = \frac{R_{ie\varphi}}{R}$ (în general, se poate lua $R_{ie\varphi} \ll R$, unde $R_{ie\varphi}$ este impedanța văzută între punctele A și masă spre tubul electronic). Amplificarea pe care trebuie să o realizeze dispozitivul activ este

$$A = -(29 + 23k + 4k^2). \quad (11)$$

• Pentru oscilatorul RC cu trei celule de defazare identice tip trece-jos (fig. 3, b), condiția de obținere a defazajului de 180° conduce la relația

$$f = \frac{\sqrt{6}}{2\pi RC} \quad (12)$$

(se consideră $R_{ie} \ll R$).

Amplificarea pe care trebuie să o realizeze tubul trebuie, și în acest caz, să fie egală cel puțin cu 29.

• Dacă rețeaua de defazare conține patru celule RC trece-sus rezultă ($R_{ie} \ll R$)

$$f = \frac{1}{2\pi \sqrt{\frac{10}{7}} RC}; \quad A = -18,5, \quad (13)$$

iar dacă celulele de defazare sînt de tipul trece-jos

$$f = \frac{1}{2\pi \sqrt{\frac{7}{10}} RC}; \quad A = -18,5. \quad (14)$$

• În cazul cînd rețeaua de defazare este realizată cu trei celule inegale (fig. 4) condiția de amorsare a oscilațiilor este

$$A \geq 8 + \frac{12}{a} + \frac{7}{a^2} + \frac{2}{a^3}. \quad (15)$$

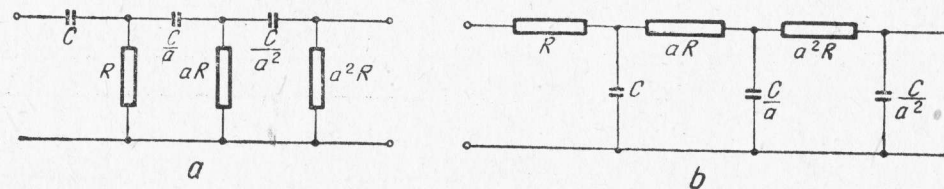


Fig. 4

Pentru rețeaua trece-sus cu trei celule de defazare inegale (fig. 4, a) frecvența de oscilație este dată de relația

$$f = \frac{1}{2\pi RC \sqrt{3 + \frac{2}{a} + \frac{1}{a^2}}}, \quad (16)$$

iar pentru rețeaua trece-jos (fig. 4, b)

$$f = \frac{\sqrt{3 + \frac{2}{a} + \frac{1}{a^2}}}{2\pi RC}. \quad (17)$$

● În cazul oscilatoarelor RC realizate cu tranzistoare bipolare (fig. 3, c și 3, d), rezistența R' se dimensionează în așa fel ca în curent alternativ să se resimtă în ultima celulă RC, o rezistență egală cu R :

$$R' + \frac{1}{1/R_2 + 1/R_3 + 1/h_{11e}} = R. \quad (18)$$

Notind cu $R_L = \frac{R'_L}{1 + h_{22e} R'_L}$, se alege pentru R_L valoarea optimă $R_L = 2,7R$. În general $h_{22e} R'_L \ll 1$ și $R_L \cong R'_L$.

Pentru îndeplinirea condiției de amorsare a oscilațiilor trebuie ca amplificarea de curent să fie

$$h_{21e} \geq 45. \quad (19)$$

Frecvența oscilațiilor generate, în cazul unei scheme de oscilator RC cu trei celule identice este dată de relația

$$f = \frac{1}{2\pi C \sqrt{6R^2 + 4RR_L}} \quad (20)$$

pentru oscilatorul cu celule trece-sus și

$$f = \frac{1}{2\pi RC} \sqrt{\frac{6R + 4R_L}{R}} \quad (21)$$

pentru oscilatorul cu celule trece-jos.

Oscilatoare RC de tipul II

● În figura 5 este prezentată schema bloc a oscilatorului RC de tipul II cu rețea Wien. Pentru schema cu reacție de curent (fig. 5, a), dacă se neglijează impedanța de intrare condiția de amorsare a oscilațiilor este dată de relația

$$A_i \geq 1 + \frac{R_1}{R_2} + \frac{C_2}{C_1}. \quad (22)$$

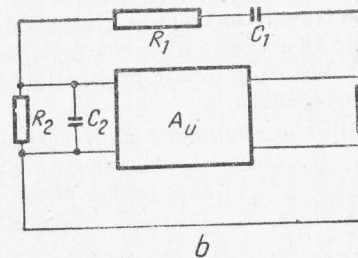
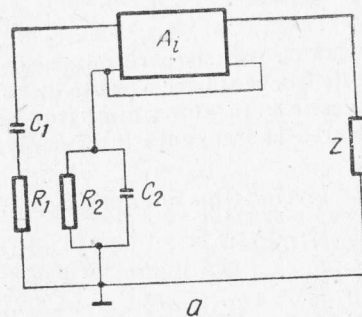


Fig. 5

Pentru *schema cu reacție de tensiune* (fig. 5, b) dacă se consideră impedanța de intrare infinit de mare, condiția de amorsare a oscilațiilor este dată de relația

$$A_u \geq 1 + \frac{R_1}{R_2} + \frac{C_2}{C_1}. \quad (23)$$

Pentru ambele variante frecvența oscilațiilor generate este

$$f = \frac{1}{2\pi \sqrt{R_1 C_1 R_2 C_2}}. \quad (24)$$

● Oscilatoare RC de tipul II se pot realiza și cu rețea dublu T. În figura 6 este prezentată schema bloc a unui oscilator RC cu rețea dublu T.

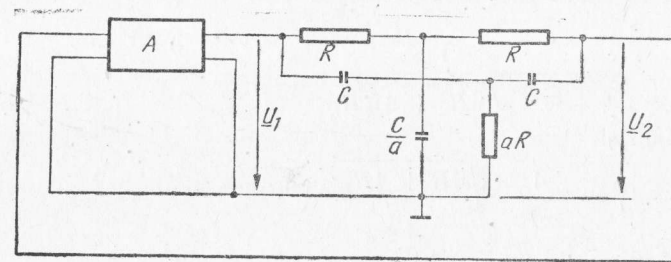


Fig. 6

Frecvența oscilațiilor generate este dată de relația

$$f = \frac{1}{2\pi RC}. \quad (25)$$

B. SCHIMBĂTOARE DE FRECVENȚĂ

Actualmente schimbătoarele de frecvență se realizează cu tranzistoare bipolare sau tranzistoare TEC. Un tranzistor lucrînd în regim de schimbare de frecvență are o pantă de conversie S_c , de care depinde direct proporțional amplificarea de conversie a etajului schimbător de frecvență, amplificarea ce intervine direct proporțional în amplificarea la frecvență intermediară a receptorului superheterodină.

● Pentru un etaj schimbător de frecvență cu tranzistor bipolar (fig. 7) expresia pantei de conversie este

$$S_c = y_{21c} = \frac{J_1(x)}{J_0(x)} y_{21}, \quad (26)$$

unde $J_0(x)$ și $J_1(x)$ sînt funcțiile Bessel de prima speță modificate, de ordin zero, respectiv 1,

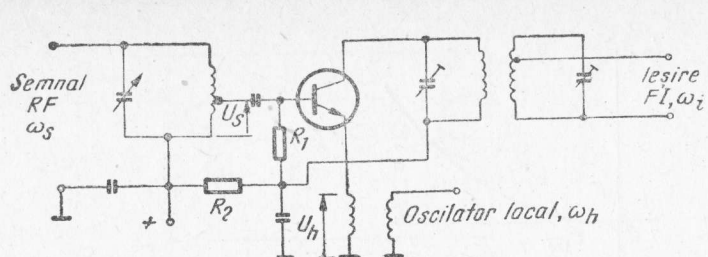


Fig. 7

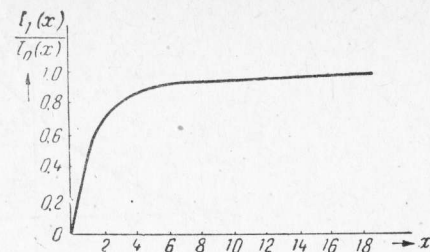


Fig. 8

și de argument $x = \frac{U_h q}{kT} = \frac{U_h}{U_T}$, iar y_{21} este panta în regim de amplificarea a tranzistorului; tensiunea semnalului este $u_s = U_s(t) \cos \omega_s t$, tensiunea oscilatorului local este $u_h = U_h \cos \omega_h t$, q — sarcina electronului, k — constanta lui Boltzman, T — temperatura absolută în $^{\circ}K$. La temperatura $T = 300 \text{ K} = 27^{\circ}C$, $U_T = \frac{kT}{q} = 26 \text{ mV}$. În figura 8 este

dată curba $\frac{J_1(x)}{J_0(x)} = f(x)$.

● Pentru un etaj schimbător de frecvență cu tranzistor TEC-J (tranzistor cu efect de câmp cu grilă joncțiune), reprezentat în figura 9, panta de conversie este

$$S_c = \frac{U_h}{2(E'_{GS} - E_{GS})} S \quad (27)$$

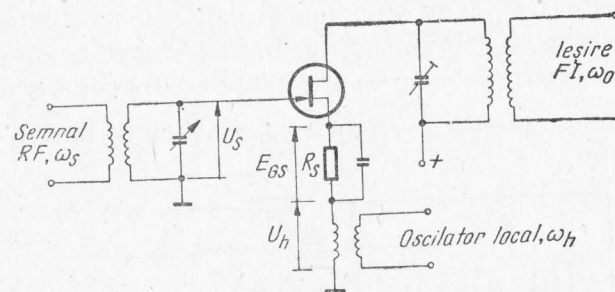


Fig. 9

unde E'_{GS} este tensiunea de blocare a curentului prin tranzistor, E_{GS} — tensiunea de polarizare grilă-sursă (fig. 10, a), U_h — amplitudinea tensiunii oscilatorului local, iar S — panta tranzistorului în regim de amplificare.

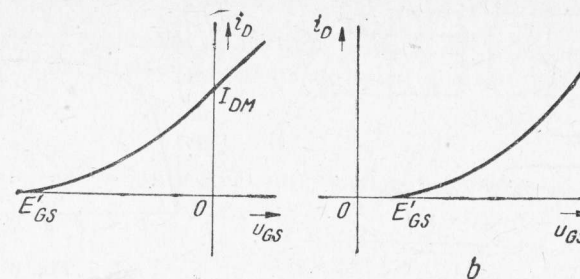


Fig. 10

● Pentru un etaj schimbător de frecvență cu tranzistor TEC-MIS cu canal indus, panta de conversie are expresia (fig. 10, b)

$$S_c = \frac{U_h}{2(E_{GS} - E'_{GS})} S. \quad (28)$$

ENUNȚURI

A. OSCILATOARE SINUSOIDALE

● Oscilatoare LC

7.1. Se consideră oscilatorul LC din figura 7.1. Se cunosc: frecvența de oscilație 1 MHz, panta tranzistorului $S_0 = y_{21} = 85$ mA/V, factorul de calitate al circuitului oscilant în sarcină $Q = 50$. Să se determine elementele circuitului oscilant C_1 , C_2 , L_3 .

7.2(R). Să se arate că în cazul unui oscilator LC stabilitatea relativă maximă de frecvență se obține atunci când impedanța Z_{in} este egală cu Z_{ies} .

7.3. Să se determine expresia stabilității relative de frecvență $\frac{\Delta f}{f}$ în cazul când dintr-o cauză oarecare s-a produs o variație a capacităților de intrare și ieșire ale dispozitivului activ cu $\Delta C_1 = \Delta C_2$.

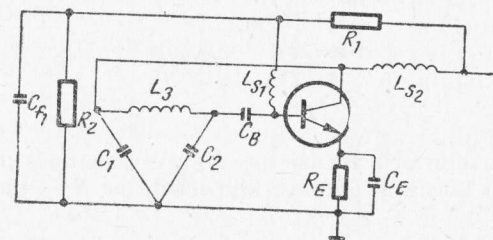


Fig. 7.1

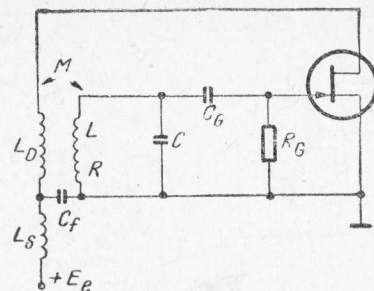


Fig. 7.4

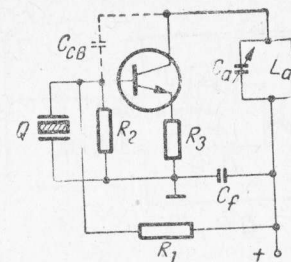


Fig. 7.5

7.4. Se consideră oscilatorul cu circuit acordat și reacție prin cuplaj mutual din figura 7.4. Să se determine condițiile de amorsare a oscilațiilor atunci cînd se cunoaște panta de semnal mic a TEC-ului, S_0 , valoarea rezistenței de pierderi R a circuitului oscilant și capacitatea de acord C .

7.5. Fie schema oscilatorului cu cristal de cuarț din figura 7.5. Să se deducă schema echivalentă a acestui oscilator știind că montajul oscilează.

7.6. Se dă schema oscilatorului Hartley din figura 7.6, în care se cunosc : $L_1 = L_2 = 10 \mu\text{H}$, $Q = 50$, frecvența minimă de lucru $f_m = 1 \text{ MHz}$. Se cere să se afle panta necesară a dispozitivului activ, valoarea condensatorului variabil C_3 și banda de frecvență în care poate lucra normal acest oscilator.

7.7. Se consideră schema oscilatorului Colpitts din figura 7.7, la care se presupune $C_3 \ll C_0$, $C_3 \ll C_2$, $C_0 \ll C_1$. Să se afle ce tip de TEC este necesar (panta lui) cînd se cunosc frecvența de lucru $f = 0,5 \text{ MHz}$, $Q = 50$, $C_1 = 2 \text{ nF}$, $C_2 = 1 \text{ nF}$, $C_3 = 50 \text{ pF}$.

7.8. Elementele unui oscilator Colpitts (fig. 2, a) sînt : $L_3 = 6 \mu\text{H}$, $C_1 = 100 \text{ pF}$, $C_2 = 1000 \text{ pF}$, rezistența de pierderi a circuitului $R_1 + R_2 + R_3 = 10 \Omega$, $S_0 = 1,7 \text{ mA/V}$, $R_{ie} = R_i = 12 \text{ k}\Omega$. Să se verifice dacă este îndeplinită condiția de amorsare a oscilațiilor.

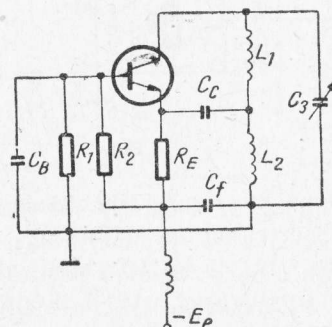


Fig. 7.6

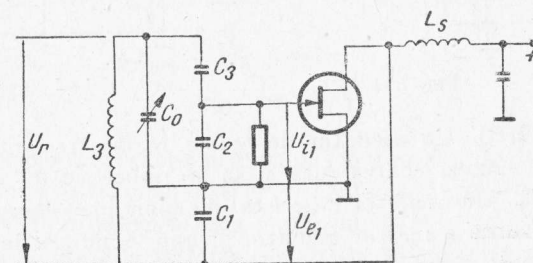


Fig. 7.7

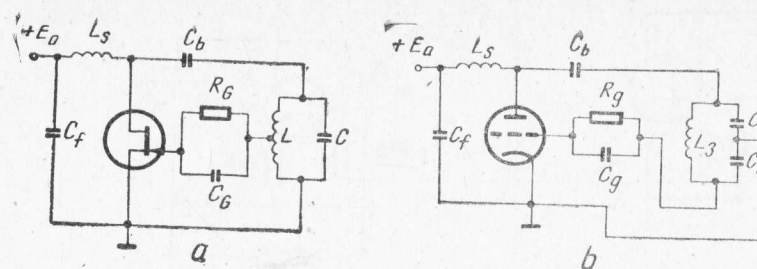


Fig. 7.9

7.9. Să se indice greșelile din schemele oscilatoarelor în trei puncte prezentate în figura 7.9.

7.10(R). Se consideră un oscilator la care calea de reacție se realizează prin capacitatea grilă-drenă C_{gd} . Oscilatorul are în circuitul de drenă și în cel de grilă două circuite oscilante identice acordate pe frecvența de 10 MHz. Să se determine frecvența oscilațiilor generate, dacă $C_{gd} = 10$ pF, $L_1 = L_2 = 5$ μ H.

7.11(R). Un oscilator de foarte înaltă frecvență este realizat conform schemei din figura 7.11. Știind că tubul are rezistența internă foarte mare că $C_{gk} = 10$ pF, $C_{ak} = 1,4$ pF, $C_{ga} = 2,6$ pF și $R_g = 1$ M Ω să se determine schema echivalentă a montajului, lungimea liniei l și panta necesară a tubului, dacă $f_0 = 10^9$ MHz, $Z_0 = 600$ Ω și factorul de calitate al întregului circuit în gol este $Q = 200$.

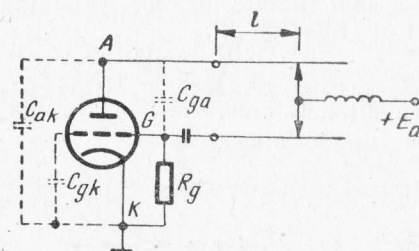


Fig. 7.11

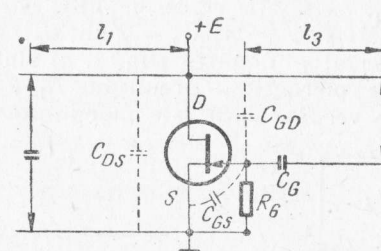


Fig. 7.12

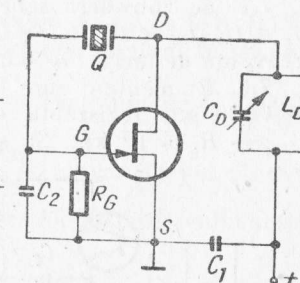


Fig. 7.13

7.12(R). Un oscilator de foarte înaltă frecvență are schema din figura 7.12. Să se stabilească schema echivalentă și să se indice ce fel de linii în scurtcircuit se folosesc.

7.13. Un oscilator cu cristal de cuarț are schema din figura 7.13. Să se determine schema echivalentă a acestui oscilator și apoi condiția de amorsare a oscilațiilor știind că circuitul $L_D C_D$ are la rezonanță impedanța $R_1 = 1$ k Ω , frecvența cristalului de cuarț este 1 MHz, iar rezistența $R_g = 1$ M Ω .

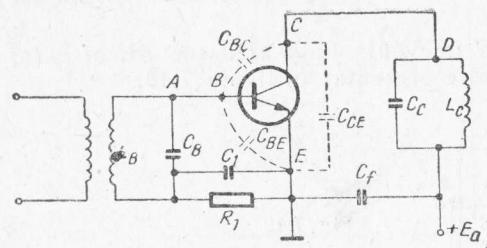


Fig. 7.14

7.14. Un etaj amplificator de radiofrecvență, care are schema dată în figura 7.14, lucrînd pe frecvența de 1 MHz oscilează parazit pe o frecvență de 10 MHz. Să se determine schema oscilatorului echivalent și să se arate metoda de a elimina aceste oscilații.

7.15. Un etaj amplificator de radiofrecvență are schema din figura 7.15 și lucrează pe frecvența de 2 MHz. Se constată că apar oscilații parazite pe frecvența de 100 kHz. Se cere schema oscilatorului echivalent.

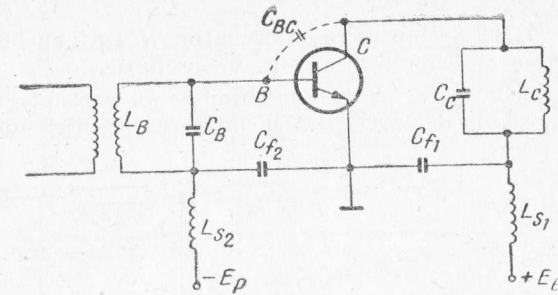


Fig. 7.15

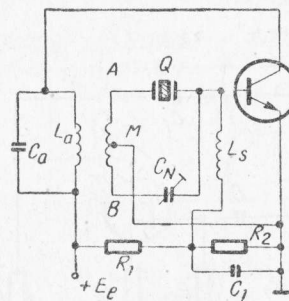


Fig. 7.16

7.16. Fie schema oscilatorului cu cristal de cuarț și reacție prin cuplaj mutual din figura 7.16. În această schemă cristalul lucrează pe frecvența de rezonanță serie; se cere să se explice funcționarea oscilatorului și condiția pe care trebuie să o îndeplinească montajul.

7.17. Un etaj amplificator lucrează pe frecvența f de 10 MHz (fig. 7.17). Se constată experimental că montajul oscilează parazit pe frecvența de 9 MHz. Se cere să se reprezinte schema echivalentă a acestui oscilator și metoda de a elimina aceste oscilații.

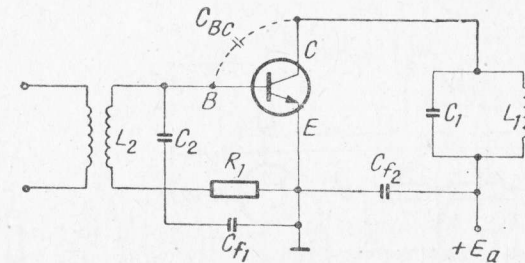


Fig. 7.17

● Oscilatoare RC

7.18. Se consideră un oscilator RC tip I cu TEC, realizat cu trei celule identice RC trece-sus. Să se determine frecvența de oscilație.

7.19 Să se determine limitele în care poate varia frecvența unui oscilator RC al cărui circuit de defazare pentru obținerea reacției pozitive este prezentat în figura 7.19.

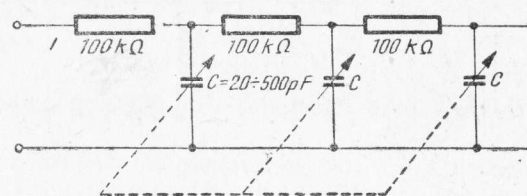


Fig. 7.19

7.20(R). În figura 7.20 este prezentat un oscilator RC cu rețea trece-jos realizat cu TEC tip BFW 11 ($S = 3,2 \text{ mA/V}$; $r_{DS} = 20 \text{ k}\Omega$). Frecvența oscilațiilor este de 1 kHz. Să se determine valoarea rezistenței R_{D1} , capacitatea C a rețelei de defazare fiind de 6 000 pF.

7.21(R). Un oscilator RC este realizat cu patru celule defazoare identice. Să se determine valoarea frecvenței oscilațiilor generate, precum și valoarea minimă a amplificării pentru amorsarea oscilațiilor în cazul că:

- celulele defazoare sînt de tipul trece-sus;
- celulele defazoare sînt de tipul trece-jos.

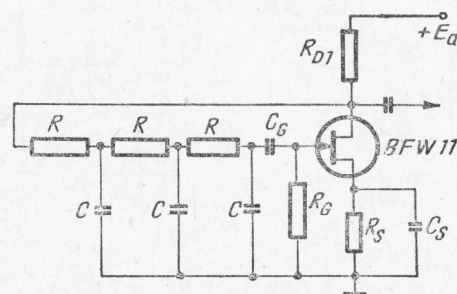


Fig. 7.20

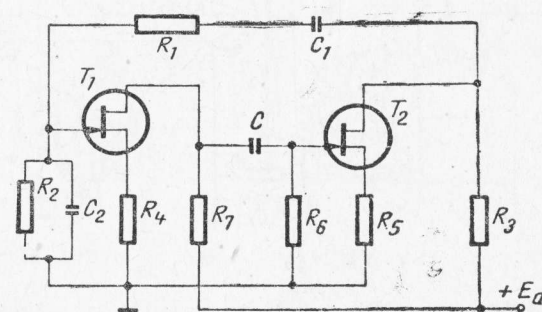
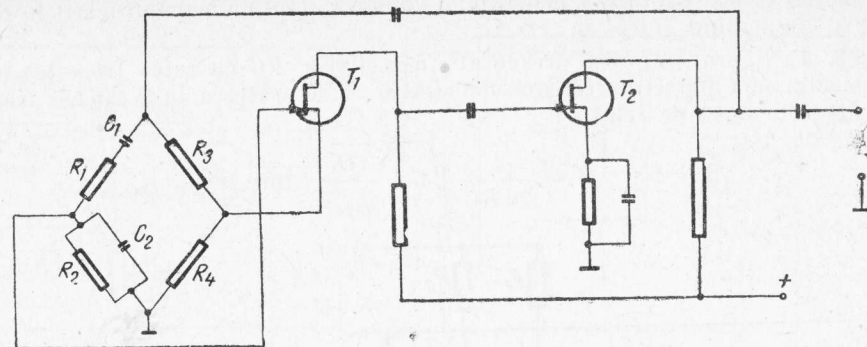


Fig. 7.22

7.22. Se consideră schema unui oscilator RC tipul II prezentată în figura 7.22. Știind că $R_1 = R_2 = 100 \text{ k}\Omega$, $R_3 = 5 \text{ k}\Omega$, $R_4 = R_5 = 600 \Omega$, $R_6 = 2 \text{ M}\Omega$, $R_7 = 20 \text{ k}\Omega$, $C = 1 \mu\text{F}$, $C_1 = C_2 = 1000 \text{ pF}$, să se determine frecvența oscilațiilor generate.

Fig. 7.23



7.23. Schema unui oscilator cu punte Wien este prezentată în figura 7.23. Elementele care constituie puntea au valorile $R_1 = R_2 = 40 \text{ k}\Omega$; $C_1 = C_2 = 10.000 \text{ pF}$; $R_3 = 2 \text{ k}\Omega$; $R_4 = 800 \Omega$. Să se determine frecvența oscilațiilor generate.

7.24. Ce valori trebuie să aibă rezistențele R_1 , R_2 , R_3 din circuitul de defazare al unui oscilator RC (fig. 7.24) pentru ca frecvența oscilațiilor generate să fie de 10 kHz .

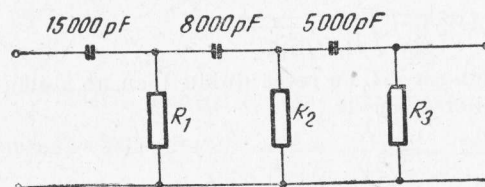


Fig. 7.24

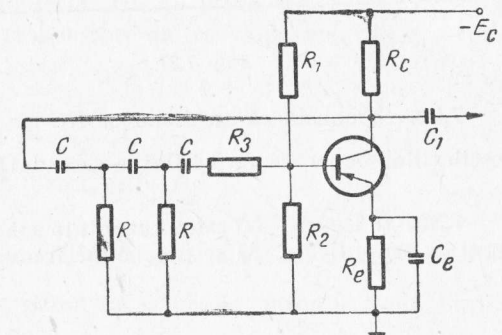


Fig. 7.25

7.25. În figura 7.25 este prezentată schema de principiu a unui oscilator cu tranzistor cu rețea trece-sus cu reacție de curent. Să se determine relația pentru frecvența oscilațiilor generate în cazul cînd $R_c = R$.

7.26. Pentru oscilatorul prezentat în figura 7.25 condiția de amorsare a oscilațiilor este ca amplificarea de curent în scurtcircuit a tranzistorului să fie mai mare sau cel puțin egală cu atenuarea rețelei. $h_{21e} \geq 23 + \frac{29R}{R_c} + \frac{4R_c}{R}$. Să se determine valoarea raportului $\frac{R_c}{R}$ pentru care amplificarea de curent are o valoare minimă. Cît devine frecvența oscilațiilor generate în acest caz?

7.27. Se consideră un oscilator RC cu tranzistor cu rețea trece-jos (fig. 7.27). Să se determine frecvența oscilațiilor generate și valoarea minimă a amplificării în curent a tranzistorului în cazul cînd $R_e = R$.

7.28. În figura 7.27 este prezentat un oscilator RC cu rețea trece-jos, în care rezistența din colector face parte din rețeaua defazoare. Să se arate că în acest caz frecvența oscilațiilor generate este dată de relația :

$$f = \frac{1}{2\pi RC} \sqrt{6 + \frac{4R}{h_{11e}}}, \text{ cînd } R_e = R.$$

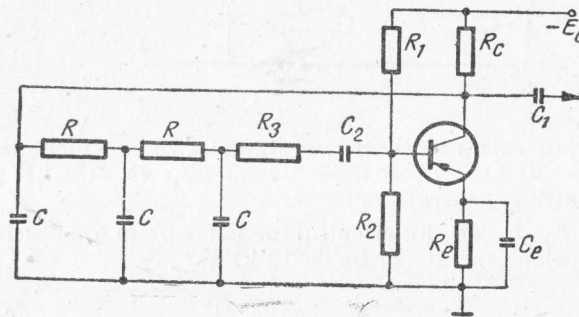


Fig. 7.27

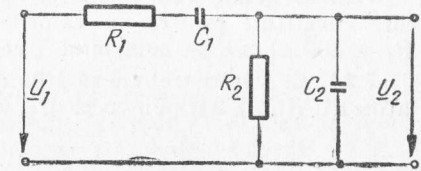


Fig. 7.20

7.29. Se consideră un oscilator RC tip II cu rețea Wien (fig. 7.29). Să se arate că frecvența oscilațiilor generate de oscilator este dată de relația $f = \frac{1}{2\pi \sqrt{R_1 R_2 C_1 C_2}}$.

7.30. În figura 7.30 este prezentată schema unui oscilator RC cu rețea dublu T cu un singur etaj de amplificare. Să se determine frecvența oscilațiilor generate.

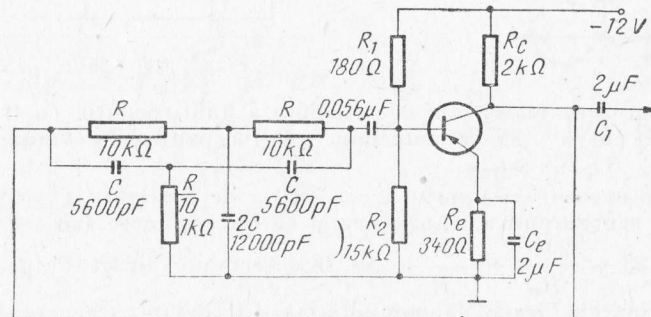


Fig. 7.30

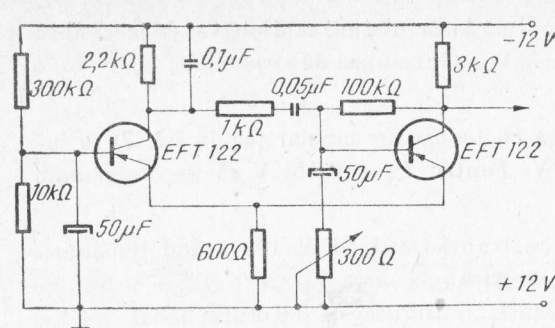


Fig. 7.31

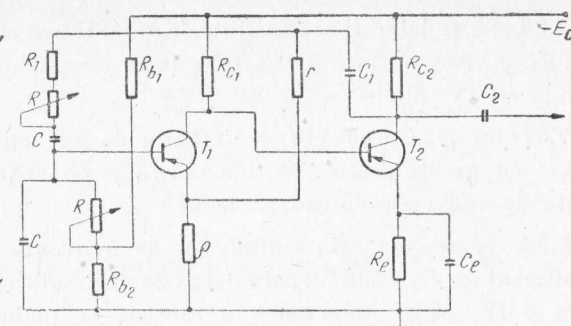


Fig. 7.32

7.31. Schema unui oscilator cu rețea Wien este prezentată în figura 7.31. Cunoscându-se valorile elementelor din schemă, să se determine frecvența oscilațiilor.

7.32. Se consideră schema de principiu a unui oscilator RC cu rețea Wien cu frecvență variabilă, prezentată în figura 7.32. Să se determine relația care dă frecvența maximă a oscilațiilor generate în funcție de elementele schemei.

B. SCHIMBĂTOARE DE FRECVENȚĂ

7.33(R). Pentru un etaj schimbător de frecvență cu TEC-J, să se arate că expresia pantei de conversie este $S_O = \frac{U_h}{2(E'_{GS} - E_{GS})} S$ (fig. 10, a), știind că expresia curentului de drenă este: $i_D = I_{DM} \left(1 - \frac{u_{GS}}{E'_{GS}} \right)$, unde I_{DM} este curentul de drenă pentru $u_{GS} = 0$.

7.34(R). În cazul unui etaj schimbător de frecvență cu TEC-MIS expresia pantei de conversie este $S_O = \frac{U_h}{2(E_{GS} - E'_{GS})} S$ (fig. 10, b), știind că expresia curentului de drenă este $i_D = \frac{\beta}{2} (u_{GS} - E'_{GS})$, unde β este un parametru constructiv al TEC-MIS.

7.35. Pentru un etaj schimbător de frecvență cu tranzistor bipolar ca în figura 7 să se determine condițiile de pantă de conversie maximă și tensiunea oscilatorului local pentru a obține această pantă.

7.36. Să se determine condițiile de amplificare maximă în cazul unui schimbător de frecvență cu TEC-J, pentru tranzistorul BFW 10 cu $S = 3,2 \text{ mA/V}$, cu tensiunea de alimentare $E_a = 15 \text{ V}$ și $E_{GS} = 0 \text{ V}$, $E'_{GS} = -4,5 \text{ V}$.

7.37. În cazul unui etaj schimbător de frecvență cu tranzistor bipolar (ca în fig. 7) se lucrează cu un tranzistor BF 182 cu $y_{21} = 65 \text{ mA/V}$. Pentru $U_h = 0,15 \text{ V}$ să se determine panta de conversie a tranzistorului.

7.38. Pentru un etaj schimbător de frecvență cu tranzistorul BFW 182 avînd tensiunea de alimentare $E_a = 15 \text{ V}$, caracteristica are o alură de parabolă între $E'_{GS} = -1,2 \text{ V}$ și $u_{GS} = -0,6 \text{ V}$. Să se determine: tensiunea de polarizare, tensiunea oscilatorului local și S_G .

8. MODULATOARE ȘI DEMODULATOARE

BREVIAR

● Producerea modulației liniare

● Schema generală de producere a modulației liniare este reprezentată în figura 1, $g(t)$ fiind semnalul modulator f_0 — frecvența purtătoare, $u(t)$ — semnalul modulat. Blocul cu factorul de transfer $H(j\omega)$ reprezintă filtrul de formare.

● Expresia generală a tensiunii modulate liniar este

$$u(t) = \frac{\alpha}{2} g(t) \cos \omega_0 t + \frac{1}{2} g_q(t) \sin \omega_0 t \quad (1)$$

în care, în cazul semnalului modulator sinusoidal:

— pentru modulația în amplitudine (MA):

$$g(t) = U_0[1 + m \cos \omega_m t]; \quad g_q(t) = 0; \quad \alpha = 2; \quad (2)$$

— pentru modulația în amplitudine cu bandă laterală dublă și purtătoarea suprimată (BLD-PS):

$$g(t) = U_0 \cos \omega_m t; \quad g_q(t) = 0; \quad \alpha = 2; \quad (3)$$

— pentru modulația în amplitudine cu bandă laterală unică (BLU):

$$g(t) = U_0 \cos \omega_m t; \quad g_q(t) = \pm U_0 \sin \omega_m t; \quad \alpha = 1; \quad (4)$$

(semnul plus — pentru reținerea benzii laterale inferioare și semnul minus — pentru reținerea benzii laterale superioare);

— pentru modulația în amplitudine cu rest de bandă laterală (RBL):

dacă $\omega_m < \omega_1$:

$$g(t) = U_0 \cos \omega_m t; \quad g_q(t) = -U_0 \frac{\omega_m}{\omega_1} \sin \omega_m t; \quad \alpha = 1;$$

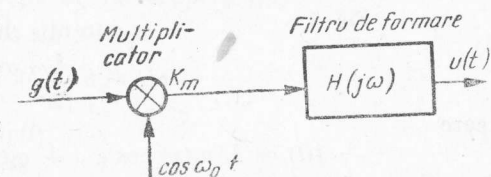


Fig. 1

dacă $\omega_m > \omega_1$:

$$g(t) = U_0 \cos \omega_m t; \quad g_q(t) = -U_0 \sin \omega_m t; \quad \alpha = 1, \quad (5)$$

în care ω_1 este frecvența de la care o bandă laterală este complet eliminată;
— pentru modulația în amplitudine cu RBL în televiziune:

dacă $\omega_m < \omega_1$:

$$g(t) = U_0(1 + m \cos \omega_m t); \quad g_q(t) = -U_0 m \frac{\omega_m}{\omega_1} \sin \omega_m t; \quad \alpha = 1; \quad (6)$$

dacă $\omega_m > \omega_1$:

$$q(t) = U_0(1 + m \cos \omega_m t); \quad g_q(t) = -U_0 m \sin \omega_m t; \quad \alpha = 1.$$

● Circuitele de producere a modulației liniare se diferențiază după procedeele de realizare a înmulțirii. Configurația de amplificator diferențial din figura 2 permite obținerea unui circuit de înmulțire. Cu notațiile

$$g_m = \alpha \frac{I_0}{4E_0}; \quad E_0 = \frac{kT}{q}, \quad (7)$$

dacă $|u_1 - u_2| \ll E_0$, curenții din colectoare sînt:

$$\alpha i_1 = \alpha \frac{I_0}{2} + g_m(u_1 - u_2); \quad \alpha i_2 = \alpha \frac{I_0}{2} - g_m(u_1 - u_2). \quad (8)$$

În cazul

$$u_1 - u_2 = U_0 \cos \omega_0 t; \quad x = U_0/E_0, \quad (9)$$

curenții de colector pot fi scriși

$$\alpha i_1 = \alpha \frac{I_0}{2} + \alpha i; \quad \alpha i_2 = \alpha \frac{I_0}{2} - \alpha i, \quad (10)$$

în care

$$i(t) = I_0[a_1(x) \cos \omega_0 t + a_3(x) \cos 3\omega_0 t + a_5(x) \cos 5\omega_0 t + \dots]. \quad (11)$$

Valori ale coeficienților $a_1(x)$, $a_3(x)$ și $a_5(x)$ sînt date în tabelul 8.1.

Tabelul 8.1

Coeficienții dezvoltării (11) în funcție de parametrul $x = U_0/E_0$

x	0,0	0,5	1,0	1,5	2,0	2,5	3,0	4,0	5,0	7,0	10,0	∞
$a_1(x)$	0,0000	0,1231	0,2336	0,3305	0,4058	0,4631	0,5054	0,5586	0,5877	0,6112	0,6257	0,6366
$a_3(x)$	0,0000	0,0000	-0,0046	-0,0136	-0,0271	-0,0435	-0,0611	0,0000	-0,1214	-0,1571	-0,1827	-0,2122
$a_5(x)$	0,0000	0,0000	0,0000	0,0000	0,0000	0,00226	0,0097	0,0000	0,0355	0,0575	0,0831	0,1273

● Tranzistorul cu efect de cîmp (TEC) cu canal N, utilizat la realizarea unor modulatoare, funcționează conform relației

$$i_D = I_{DSS} \left(1 - \frac{u_{GS}}{U_p} \right)^2 \quad (12)$$

dacă

$$|u_{DS}| < 100 \text{ mV}, \quad U_p < u_{GS} < V_0 \cong 0,7 \text{ V}. \quad (13)$$

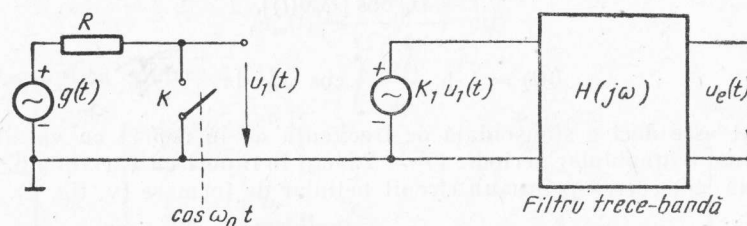


Fig. 3

● Modulatorul cu chopper în variantă neechilibrată este reprezentat în figura 3. Comutatorul K este închis dacă $\cos \omega_0 t < 0$ și deschis dacă $\cos \omega_0 t > 0$. Tensiunea $u_1(t)$ se obține din semnalul modulator $g(t)$ prin înmulțirea sa cu funcția de întrerupere $f_i(t)$:

$$f_i(t) = \begin{cases} 1 & \text{pentru } \cos \omega_0 t > 0; \\ 0 & \text{pentru } \cos \omega_0 t < 0, \end{cases} \quad (14)$$

deci

$$u_1(t) = f_i(t)g(t). \quad (15)$$

Funcția de întrerupere poate fi dezvoltată în serie

$$f_i(t) = \frac{1}{2} + \frac{2}{\pi} \cos \omega_0 t - \frac{2}{3\pi} \cos 3\omega_0 t + \dots \quad (16)$$

Filtrul trece-bandă (FTB) elimină componentele nedorite la ieșirea modulatorului.

● Producerea modulației în frecvență

● Semnalul modulat în frecvență poate fi pus sub forma

$$u(t) = U_0 \cos \int \omega_i(\tau) d\tau, \quad (17)$$

în care frecvența instantanee este

$$\omega_i(t) = \omega_0 + \Delta\omega \cos \omega_m t \quad (18)$$

dacă semnalul modulator este sinusoidal.

Un circuit care produce tensiunea (17) va trebui să satisfacă ecuația

$$\int u(\tau) d\tau + \frac{1}{\omega_0^2(t)} \frac{du(t)}{dt} = 0 \quad (19)$$

care reprezintă forma aproximativă a ecuației satisfăcute de semnalele modulate în frecvență.

● *Metoda generatorului de undă triunghiulară* pornește de la observația că tensiunea modulată în frecvență (17) poate fi scrisă sub forma

$$u = U_0 \cos [\omega_0 \theta(t)],$$

unde

$$\theta(t) = t + \frac{\Delta\omega}{\omega_0} \int \cos \omega_m \tau d\tau. \quad (20)$$

Semnalul modulat este deci o sinusoidală de frecvență ω_0 în raport cu variabila θ . Dacă se realizează un semnal triunghiular periodic ($T = 2\pi/\omega_0$) în raport cu variabila θ , acesta se transformă în sinusoidă la trecerea printr-un circuit neliniar de formare (v. fig. 4).

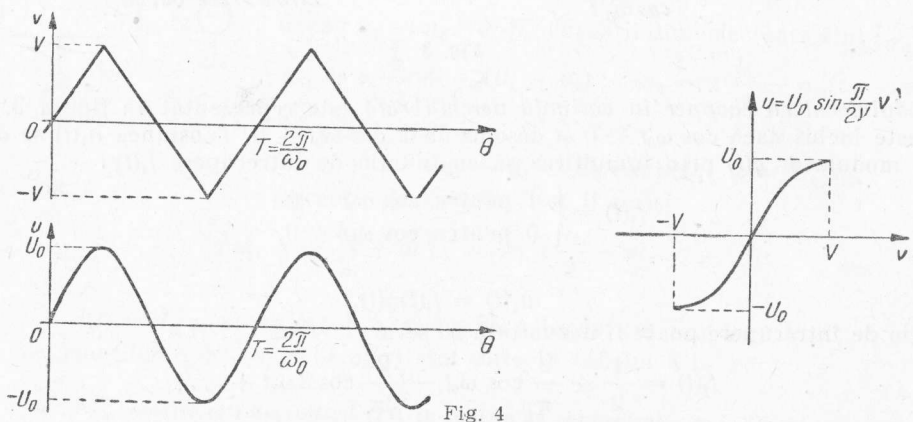


Fig. 4

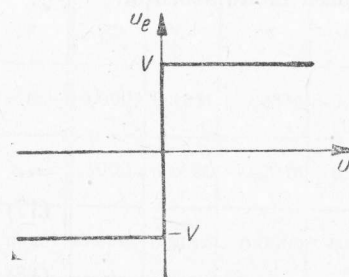


Fig. 5

● La trecerea semnalului modulat în frecvență printr-un limitator ideal simetric cu caracteristica din figura 5, la ieșire se obține :

$$u_0(t) = \frac{4V}{\pi} \left[\cos \omega_0 \theta(t) - \frac{1}{3} \cos 3\omega_0 \theta(t) + \frac{1}{5} \cos 5\omega_0 \theta(t) \dots \right] \quad (21)$$

Relația (21) stă la baza funcționării *multiplicatoarelor de frecvență*.

● Demodularea semnalelor cu modulație liniară

● *Demodulatorul necoerent*, reprezentat în figura 6, generează local purtătoarea $A \cos \omega_0 t$ de amplitudine mare în raport cu semnalul recepționat. Dacă semnalul la intrare are expresia (1), la ieșire se obține

$$u_{e0}(t) = \eta_d \frac{\alpha g(t)}{2}. \quad (22)$$

● *Demodulatorul coerent*, reprezentat în figura 7, produce la ieșire semnalul

$$u_{e0}(t) = \frac{K_m A \alpha}{4} g(t) \quad (23)$$

dacă la intrare se aplică semnalul (1).

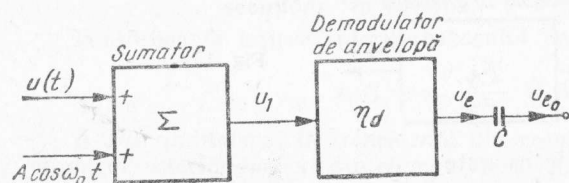


Fig. 6

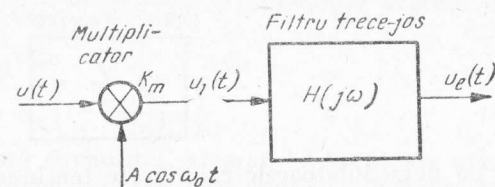


Fig. 7

● *Detectorul de anvelopă* poate fi realizat prin mediere, conform schemei din figura 8, în care condensatorul C_0 nu influențează componentele semnalului modulator, dar scurtcircuitază radiofrecvența. La ieșire tensiunea este

$$u_e(t) = \frac{\alpha R_0}{\pi R} U_i(t) - \frac{\alpha V_0 R_0}{2R}, \quad (24)$$

dacă $U_i(t) > 4V_0$, în care V_0 este tensiunea de deschidere a diodei.

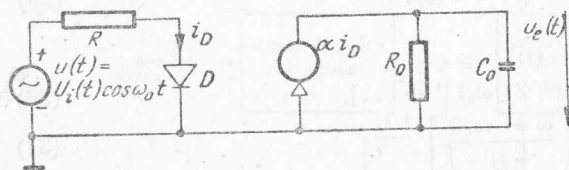


Fig. 8

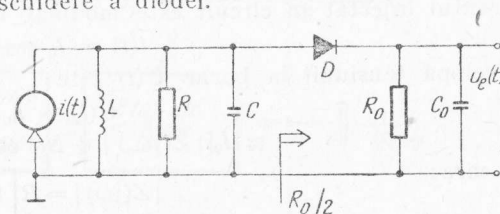


Fig. 9

● *Detectorul de vîrf*, din figura 9, prezintă rezistența la intrare $R_0/2$, pe frecvența purtătoare. Condensatorul C_0 este un scurtcircuit pentru radiofrecvență și nu afectează semnalul demodulat dacă

$$2\pi f_{mM} \frac{2RR_0}{R_0 + 2R} (C + C_0) < 1, \quad (25)$$

în care f_{mM} este frecvența maximă modulatoră.

Pentru ca distorsiunile de neurmărire să nu apară, este necesar ca

$$\frac{2RC}{R_0 C_0} > 1. \quad (26)$$

● Demodularea semnalelor cu modulație de frecvență

● O mare categorie de demodulatoare pentru semnale cu modulație de frecvență funcționează după principiul *schemei bloc* din figura 10. Dacă tensiunea aplicată demodulatorului are expresia (17), la ieșire se obține

$$u_e(t) = K_A K_D U_0 \omega_i(t). \quad (27)$$

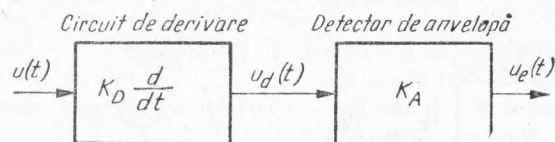


Fig. 10

La demodulatoarele echilibrate tensiunea la ieșire este

$$u_e(t) = K_A K_D U_0 [\omega_i(t) - \omega_0] = K_A K_D U_0 \Delta \omega \cos \omega_m t, \quad (28)$$

în care ultima egalitate este valabilă dacă semnalul modulator este sinusoidal.

Demodulatoarele se deosebesc după procedeele de realizare a derivării și după tipul demodulatorului de anvelopă.

● *Demodulatorul Clarke-Hess* realizează direct derivarea cu ajutorul condensatorului C (v. fig. 8.33).

● *Derivarea* poate fi realizată cu un circuit derivație dezacordat la frecvența purtătoare. Dacă curentul injectat în circuit este modulat în frecvență:

$$i(t) = I_0 \cos(\omega_0 t + \beta \sin \omega_m t), \quad (29)$$

anvelopa tensiunii la borne $U(t)$ este

$$U(t) = I_0 |Z[j\omega_i(t)]| \cong I_0 [|Z(j\omega_0)| + \Delta \omega \cos \omega_m t |Z(j\omega_0)|' + \dots], \quad (30)$$

în care:

$$|Z(j\omega)| = R \left[1 + \left(\frac{\omega - \omega_r}{\pi B} \right)^2 \right]^{-1/2}, \quad (31)$$

iar:

R este impedanța la rezonanță a circuitului derivație;

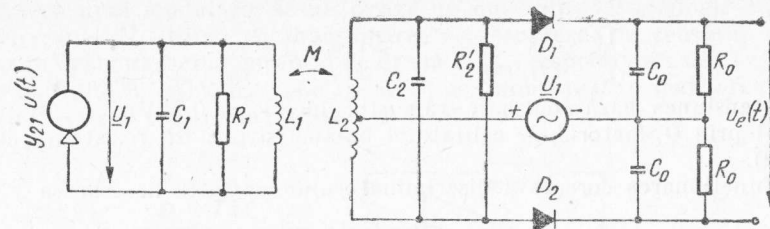
f_r — frecvența de acord a circuitului;

B — lărgimea de bandă la 3 dB a circuitului în sarcină.

● *Discriminatorul de fază*, avînd schema de principiu din figura 11, funcționează corect dacă

$$B_2 > 5B_{MF}; \quad \frac{kQ_2}{2} \sqrt{\frac{C_1}{C_2}} = 1, \quad (32)$$

Fig. 11



în care :

B_{MF} este lărgimea de bandă ocupată de semnalul modulat în frecvență ;

B_2, Q_2 — lărgimea de bandă, respectiv factorul de calitate al circuitului acordat din secundar, în sarcină.

Tensiunea la ieșirea discriminatorului de fază este

$$u_e(t) = \eta_a \frac{\sqrt{2}}{\pi B_2} U_1 \Delta \omega \cos \omega_m \left(t - \frac{1}{2\pi B_2} \right). \quad (33)$$

• Discriminatorul în coincidență din componența circuitului integrat TAA 661 are atașat circuitul exterior format din elementele C_1, C_2, L, R (v. fig. 12). Tensiunea la ieșirea discriminatorului are amplitudinea

$$U_e = 0,254(E_c - V_0)Q_s \frac{\Delta f}{f_0}, \quad (34)$$

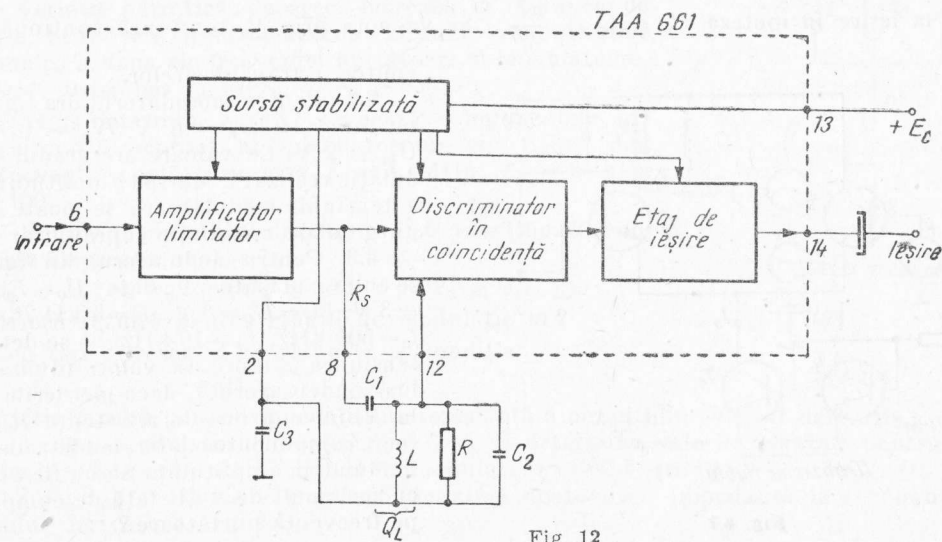


Fig. 12

în care

$$\frac{1}{Q_s} = \frac{1}{Q_L} + R_s \omega_0 \frac{C_1 C_2}{C_1 + C_2} = \frac{1}{R(C_1 + C_2) \omega_0}, \quad (35)$$

iar V_0 este tensiunea bază-emitor a tranzistorului ($V_0 \cong 0,7$ V).

S-a notat prin Q_L factorul de calitate al bobinei și prin R_s rezistența de ieșire la borna 8 ($R_s \cong 50 \Omega$).

Pentru funcționarea corectă a discriminatorului mai este necesar ca

$$\frac{C_1}{C_1 + C_2} = 0,085. \quad (36)$$

ENUNȚURI

● Producerea modulației liniare

8.1(R). Se consideră modulatorul avînd la bază un multiplicator analogic cu o intrare neliniară, realizat cu o configurație de amplificator diferențial cu generator de curent comandat în ritmul semnalului modulator. Cunoșcînd tensiunile de alimentare, amplitudinile tensiunilor aplicate, rezistențele din schemă și parametrul α al tranzistoarelor să se determine expresia tensiunii la ieșire în ipoteza $U_0 \leq E_0 = \frac{kT}{q}$. Se va nota prin V_0 tensiunea continuă bază-emitor a tranzistoarelor.

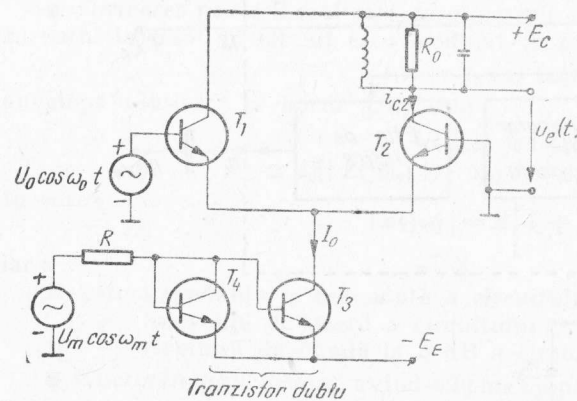


Fig. 8.1

emitor a tranzistoarelor.

8.2. Pentru modulatorul din figura 8.1 se cunoaște $E_E = 6$ V, $V_0 = 0,7$ V și $U_m = 2$ V. Ce valoare are gradul de modulație realizat? Măriind amplitudinea U_m a tensiunii modulator se poate obține un grad de modulație supraunitar?

8.3. Pentru modulatorul din figura 8.1 se cunosc următoarele date: $U_0 = E_0$, $U_m = 3$ V, $E_E = E_C = 6$ V, $R = 6$ k Ω , $R_0 = 3$ k Ω , $f_0 = 500$ kHz, $f_m = 10$ kHz. Să se determine tensiunea la ieșire. Ce valori admise poate lua condensatorul C dacă pierderile în bobină sînt cuprinse în rezistența R_0 , astfel încît componentele laterale ale semnalului modulat în amplitudine să nu fie atenuate cu mai mult de 3 dB față de componenta pe frecvența purtătoare?

8.4(R). La realizarea unui modulator se utilizează un multiplicator analogic cu tranzistor cu efect de câmp cu canal N . Știind că funcționarea se efectuează la tensiune drenă-sursă mică ($|U_{DS}| < 100 \text{ mV}$) și cunoscând curentul de drenă I_{DSS} , respectiv tensiunea de prag U_p , să se scrie expresia tensiunii la ieșire $u_e(t)$. Ce restricții se impun pentru realizarea produsului dintre $u_1(t)$ și $u_2(t)$ cu privire la tensiunile $u_1(t)$ și $u_2(t)$?

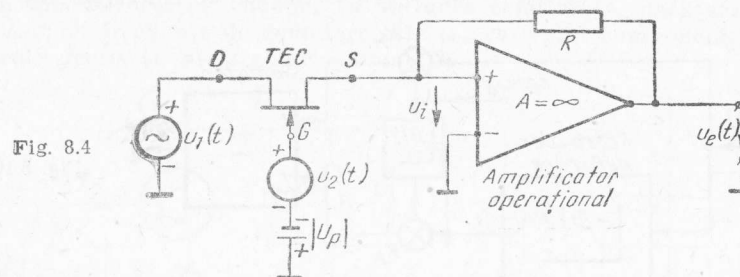


Fig. 8.4

8.5. Pentru multiplicatorul analogic din figura 8.4 se cunosc: $u_1(t) = U_0 \cos \omega_0 t$, $u_2(t) = U_2 + U_m \cos \omega_m(t)$ și $U_0 = 50 \text{ mV}$, $U_2 = 2 \text{ V}$, $U_m = 1 \text{ V}$, $U_p = -4 \text{ V}$, $I_{DSS} = 4 \text{ mA}$, $R = 4 \text{ k}\Omega$. Să se determine tensiunea la ieșire $u_e(t)$ și gradul de modulație realizat.

8.6(R). La modulatorul din figură tranzistorul cu efect de câmp cu canal N este utilizat ca element neliniar cu lege de variație pătratică, deoarece lucrează în regiunea de saturație. Știind că circuitul acordat elimină componentele pe armonica a doua ale frecvenței purtătoare și modulator, să se scrie tensiunea la ieșire.

8.7. Să se determine cu cât atenuează componentele nedorite circuitul acordat al modulatorului din figura 8.6, dacă frecvența purtătoare este $f_0 = 1 \text{ MHz}$, $f_m = 5 \text{ kHz}$ și $Q = 100$.

8.8. Pentru modulatorul din figura 8.6 funcționarea corectă este asigurată dacă

$$U_p \leq u_{GS} \leq V_0 \quad (U_p \cong -4 \text{ V}; \quad V_0 \cong 0,7 \text{ V}).$$

Ce restricții rezultă pentru gradul de modulație m ?

Știind că este necesar să se respecte și condiția

$$u_e(t) > -|U_p|,$$

ce restricție rezultă pentru impedanța la rezonanță a circuitului acordat derivație?

8.9. Pentru modulatorul din figura 8.6 să se determine valorile maxime pentru U_0 și A astfel încât să se poată obține gradul de modulație $m = 0,5$, știind: $E_D = 12 \text{ V}$, $U_p = -4 \text{ V}$, $V_0 = 0,7 \text{ V}$, $I_{DSS} = 4 \text{ mA}$. Ce valoare maximă poate avea impedanța la rezonanță, R_0 , a circuitului derivație?

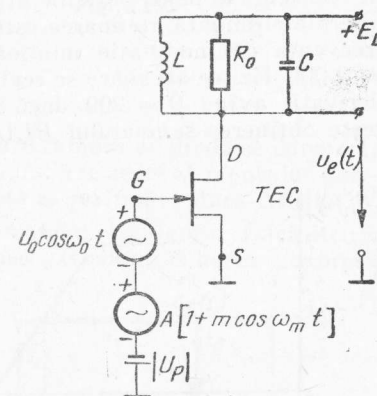


Fig. 8.6

8.10. Pentru producerea semnalului modulat cu bandă laterală unică se utilizează schema din figură, în care rețeaua de defazare introduce un defazaj egal cu $-\pi/2$ la toate componentele semnalului modulator $g(t)$, fără a schimba amplitudinile lor. Dacă $g(t) = U_1 \cos \omega_1 t + U_2 \cos \omega_2 t$, să se determine semnalul la ieșire cînd circuitul de însumare efectuează suma sau diferența semnalelor aplicate și să se interpreteze rezultatul. Circuitele de înmulțire ale schemei sînt multiplicatoare analogice integrate de tip L 025 cu factor de conversie $K_M [V^{-1}]$.

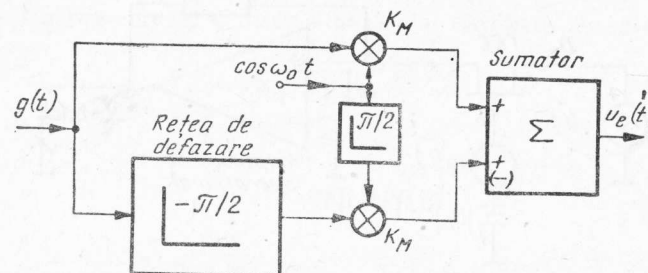


Fig. 8.10

8.11. Pentru producerea semnalului modulat cu bandă laterală unică se poate utiliza schema generală din figura 1, unde $H(j\omega)$ este factorul de transfer al unui filtru trece-bandă care extrage banda laterală dorită. Extragerea se consideră realizată în bune condiții dacă în domeniul de frecvențe al benzii laterale utile nu se obține o atenuare mai mare de 3 dB, iar pentru banda laterală eliminată atenuarea este mai mare de 40 dB. Considerînd pentru semnalul modulator frecvența de modulație minimă $f_{mm} = 300$ Hz și frecvența de modulație maximă $f_{mM} = 3000$ Hz, ce atenuare se realizează pentru banda nedorită, cu ajutorul unui circuit acordat derivație avînd $Q = 200$, dacă frecvența purtătoare este 10 kHz, respectiv 100 kHz. Se urmărește obținerea semnalului BLU cu bandă laterală superioară.

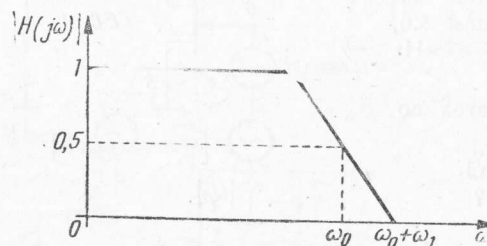


Fig. 8.12

Se consideră filtru de formare ca în figura 8.12 să se scrie semnalul de ieșire $u(t)$, punînd în evidență componenta în fază și pe cea în cuadratură.

8.14(R). Se consideră modulatorul cu chopper în care comutatorul este realizat cu ajutorul unui tranzistor cu efect de câmp cu canal N. Semnalul de comandă în grilă este $u_0(t) =$

8.12. Pentru producerea semnalului modulat cu RBL se utilizează schema din figura 1, în care caracteristica de transfer a filtrului este reprezentată în figura 8.12. Dacă frecvența modulator f_m este astfel încît factorul de transfer al filtrului este 0,25 pentru $(f_0 + f_m)$ și 0,75 pentru $(f_0 - f_m)$, să se scrie expresia semnalului rezultat $u(t)$ pentru $g(t) = U_m \cos \omega_m t$, punînd în evidență componenta în fază și pe cea în cuadratură.

8.13. La obținerea semnalului modulat cu RBL din televiziune, în cadrul schemei din figura 1 trebuie considerat $g(t) = U_0(1 + m \cos \omega_m t)$. Pentru

$= -U_0 f_i(t)$ unde $U_0 > |U_p|$, iar funcția de întrerupere $f_i(t)$ este egală cu unitatea pentru $\cos \omega_0 t > 0$ și egală cu zero pentru $\cos \omega_0 t < 0$. Să se determine rezistența R astfel încât în conducție $|u_{DS}| = |u_1| < 100$ mV, considerind impedanța de intrare în etajul amplificator foarte mare. Să se scrie expresia tensiunii la bornele circuitului acordat, știind că acesta filtrează numai componentele în jurul frecvenței ω_0 .

8.15. Pentru modulatorul cu chopper în varianta echilibrată, dacă semnalul modulator este $q(t) = \cos \omega_m t$ iar frecvența de comutare este ω_0 , care sînt componentele care trebuie să treacă prin filtrul selectiv și care trebuie atenuate?

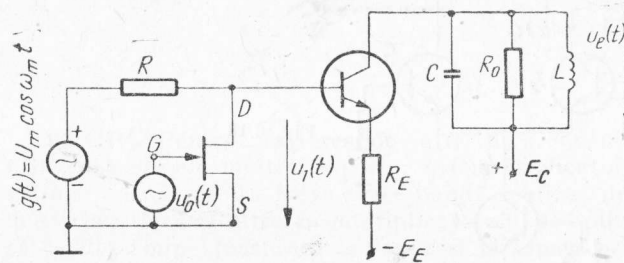


Fig. 8.14

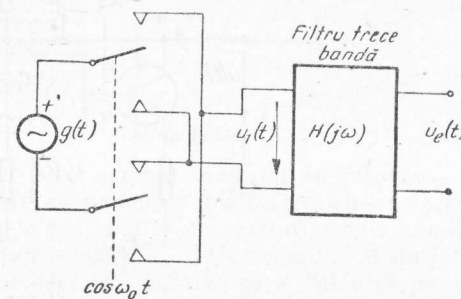


Fig. 8.15

● Producerea modulației în frecvență

8.16. Se consideră circuitul echivalent al unui oscilator în care ramura cu diodă se comportă ca un condensator de capacitate variabilă $C_D(t) = C_0 + \Delta C \cos \omega_m t$. Să se arate că montajul generează o tensiune modulată în frecvență. Ce deviație de frecvență se realizează dacă $\Delta C \ll C_0$?

8.17(R). Se consideră oscilatorul cu generator de curent comandat din figură. Dacă $A(t) = A_0 + A_1 \cos \omega_m t$, să se determine pentru frecvența instantanee a tensiunii la borne o expresie

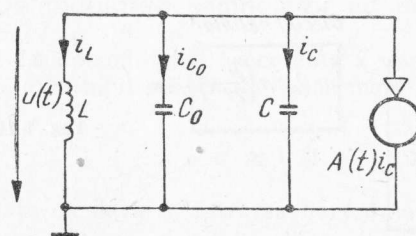


Fig. 8.16

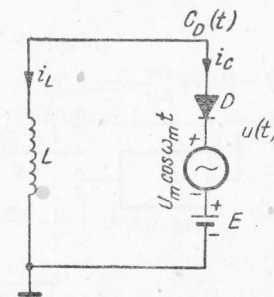


Fig. 8.17

aproximativă de forma $\omega_i(t) \cong \omega_0 - \Delta\omega \cos \omega_m t$, precizînd valorile rezultate pentru ω_0 și $\Delta\omega$ în funcție de elementele schemei și de parametrii A_0 și A_1 ($A_1 \ll A_0$).

8.18. Schema din figură generează semnale cu modulație de frecvență pe principiul prezentat în problema 8.17. Să se determine expresiile parametrilor A_0 și A_1 în funcție de elementele schemei ($r\omega_0 C \ll 1$ și $|u_1(t)| \ll E_0$).

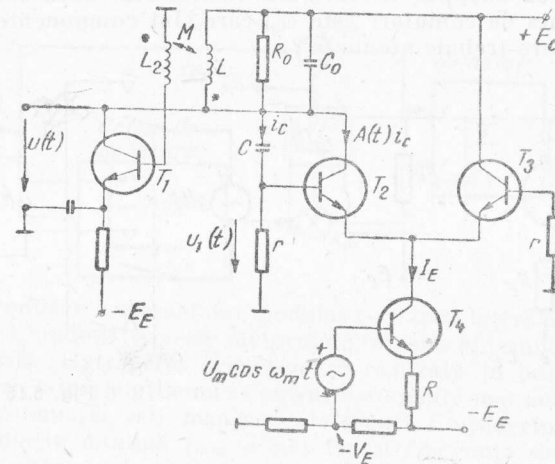


Fig. 8.18

8.19(R). Pentru producerea semnalelor cu modulație de frecvență se poate utiliza schema din figură, care are la bază metoda generatorului de undă triunghiulară. În componența schemei intră un etaj de schimbare a semnelui (inversor), un comutator comandat de detectorul de prag (care închide comutatorul în poziția a după ce tensiunea v coboară la valoarea $-V$ și închide comutatorul în poziția b după ce tensiunea v crește la valoarea V), un integrator și un circuit neliniar avînd caracteristica $u = U_0 \sin\left(\frac{\pi}{2V} v\right)$ pentru $v \in [-V, V]$. Să se determine

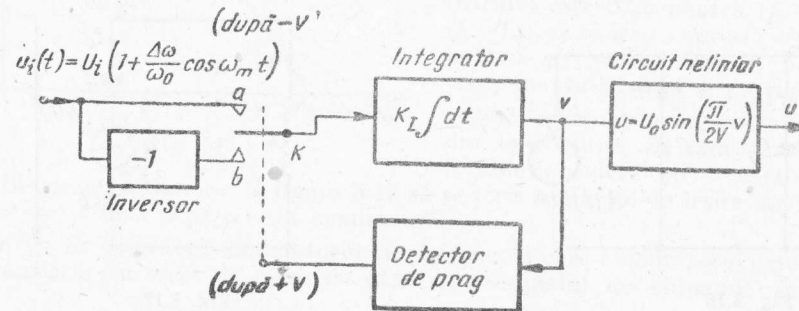
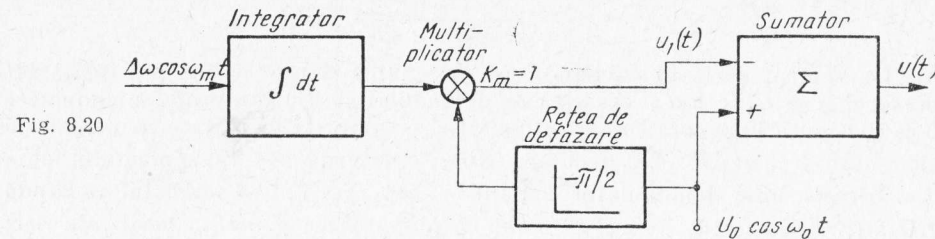


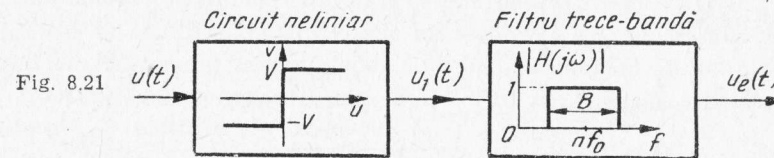
Fig. 8.19

valoarea frecvenței purtătoare a tensiunii modulate în frecvență $u(t)$ și deviația de frecvență realizată.

8.20. Procedeu Armstrong pentru producerea semnalelor cu modulație în frecvență avînd $\beta = \Delta\omega/\omega_m \ll 0,2$ radiani utilizează schema bloc din figură. Să se explice funcționarea schemei.



8.21(R). Pentru creșterea deviației de frecvență a unui semnal modulat în frecvență se utilizează etajele multiplicatoare. Un multiplicator este ca principiu realizat dintr-un circuit neliniar urmat de un filtru trece-bandă realizat de cele mai multe ori cu un circuit acordat derivație. Dacă la intrarea multiplicatorului se aplică tensiunea $u(t) = U_0 \cos(\omega_0 t + \beta \sin \omega_m t)$, să se determine tensiunea la ieșire și lărgimea benzii necesare de trecere a filtrului pentru cazul triplorului.



8.22. La realizarea unui triplor (v. problema 8.21) se asigură $V = 0,5$ V, semnalul modulat în frecvență aplicat caracterizîndu-se prin $U_0 = 1$ V, $f_0 = 1$ MHz, $\Delta f = 10$ kHz, $f_m = 5$ kHz. Să se determine parametrii semnalului la ieșire și lărgimea benzii de trecere a filtrului.

● Demodularea semnalelor cu modulație liniară

8.23. La demodularea necoerentă a semnalelor cu modulație liniară (v. fig. 6), purtătoarea însumată are amplitudinea mult mai mare decît cea a semnalului recepționat. Utilizînd aproximațiile :

$$1 + x^2 \cong 1 \text{ și } \sqrt{1 + x} \cong 1 + \frac{1}{2} x \text{ pentru } |x| \ll 1,$$

să se arate că dacă la intrarea demodulatorului semnalul este

$$u(t) = \frac{\alpha}{2} g(t) \cos \omega_0 t + \frac{1}{2} g_q(t) \sin \omega_0 t,$$

iar purtătoarea însumată este $A \cos [(\omega_0 + \Delta\omega)t + \varphi_0]$, atunci la ieșire rezultă :

$$u_{e0}(t) = \eta_a \left[\frac{\alpha g(t)}{2} \cos (\Delta\omega t + \varphi_0) - \frac{g_q(t)}{2} \sin (\Delta\omega t + \varphi_0) \right],$$

cu condiția

$$A \gg \sqrt{\alpha^2 g^2(t) + g_q^2(t)}.$$

8.24(R). Un semnal modulat cu bandă laterală dublă și purtătoare suprimată (*BLD-PS*) avînd expresia $u(t) = U_m \cos \omega_m t \cos \omega_0 t$ este demodulat cu ajutorul unui demodulator coerent (v. fig. 7) care asigură frecvența corectă a purtătoarei generate local dar are o eroare de fază φ_0 astfel încît $-15^\circ < \varphi_0 < 15^\circ$. Ce efect are eroarea de fază asupra semnalului demodulat ?

8.25. La intrarea unui demodulator coerent (v. fig. 7) se aplică semnalul cu bandă laterală unică (*BLU*) $u(t) = U_m \cos(\omega_0 + \omega_m) t$. Știind că purtătoarea generată local este $A \cos (\omega_0 + \Delta\omega)t$, să se găsească expresia semnalului demodulat.

8.26. Distorsiunile de armonica a doua la demodularea semnalului de televiziune, dacă frecvența modulatorie este mică, pot fi calculate cu relația

$$\delta_2 = \frac{m}{4} \left| \left(\frac{f_m}{f_1} \right)^2 - \frac{m^2}{1 + m^2} \right|; f_m < f_1,$$

în care $f_1 = 0,75$ MHz (v. fig. 8.12), iar m este gradul de modulație (demodulatorul de anvelopă utilizat considerîndu-se ideal). Ce valoare au aceste distorsiuni dacă $m = 0,5$ și $f_m = 0,25f_1$?

8.27. Distorsiunile de armonica a doua la demodularea semnalului de televiziune pentru frecvențe modulatorie mari ($f_m > 0,75$ MHz) pot fi calculate cu relația

$$\delta_2 = \frac{1}{4} \cdot \frac{m}{1 + m^2}$$

în cazul unui demodulator de anvelopă ideal. Ce valoare au aceste distorsiuni la un grad de modulație $m = 0,5$?

8.28(R). Se consideră detectorul de anvelopă prin mediere reprezentat în figură. Știind condensatorul C ca fiind scurtcircuit pentru semnalul aplicat $u(t) = U_0(1 + m \cos \omega_m t) \cos \omega_0 t$, să se scrie expresia tensiunii demodate $u_e(t)$, dacă $U_0(1 - m) > 4V_0$.

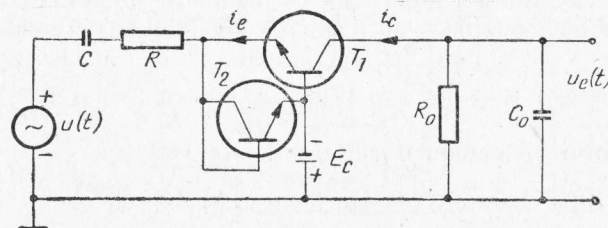


Fig. 8.28

8.29. Un detector de anvelopă prin mediere care poate lucra și la semnale mici în raport cu tensiunea de deschidere a diodei (V_0) este reprezentat în figură. Să se explice funcționarea schemei.

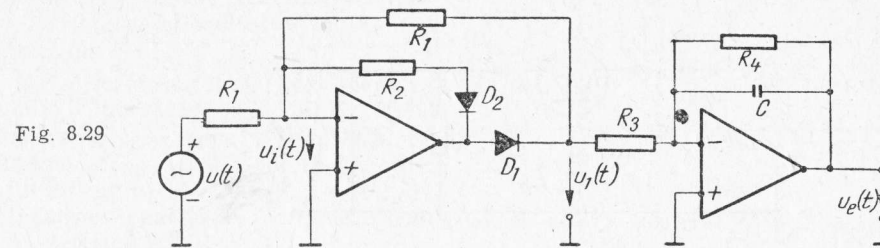


Fig. 8.29

8.30. Semnalul modulat în amplitudine aplicat detectorului reprezentat în figura 8.29 se caracterizează prin frecvența purtătoare $f_0 = 470$ kHz și frecvența semnalului modulator f_m cuprinsă între 30 Hz și 4,5 kHz. Dacă rezistența $R_4 = 10$ k Ω , să se determine capacitatea condensatorului C .

8.31(R). Detectorul de vîrf dintr-un radio-receptor lucrează la frecvența $f_0 = 470$ kHz, capacitatea circuitului acordat fiind $C' = 1$ nF, iar factorul de calitate al circuitului înainte de conectarea detectorului $Q_0 = 80$. Știind rezistența $R_0 = 10$ k Ω , să se determine coeficientul de priză n_2 pentru conectarea detectorului, astfel încît factorul de calitate în sarcină să devină $Q' = 40$.

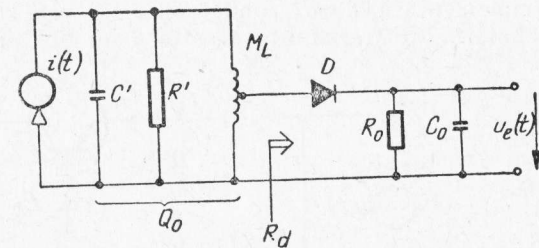


Fig. 8.31

8.32. Pentru detectorul de vîrf din problema precedentă să se stabilească dacă există distorsiuni de urmărire și dacă tensiunea la ieșire are nivelul dependent de frecvența semnalului modulator, știind că frecvența semnalului modulator este cuprinsă între 30 Hz și 4,5 kHz, iar $C_0 = 1,5$ nF.

● Demodularea semnalelor cu modulație de frecvență

8.33. Demodulatorul Clarke-Hess utilizează dispozitive semiconductoare (tranzistorul T și dioda D) cu germaniu astfel încît tensiunea de deschidere V_0 poate fi neglijată. Condensatorul C_0 scurtcircuitează componentele de radiofrecvență și poate fi considerat de reactanță mult mai mare decît rezistența R_0 la frecvențele modulator. Neglijînd rezistențele în conducție

pentru dioda D și jonctiunea bază-emitor a tranzistorului T în raport cu reactanța condensatorului C , să se găsească expresia tensiunii la ieșire, dacă la intrarea demodulatorului se aplică tensiunea $u(t) = U_0 \cos(\omega_0 t + \beta \sin \omega_m t)$.

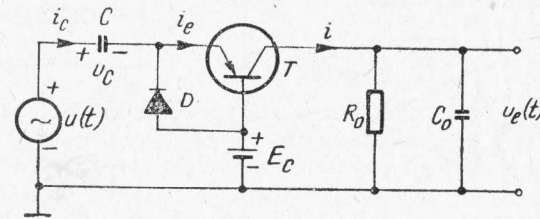


Fig. 8.33

8.34(R). Pentru demodulatorul Clarke-Hess din figura 8.33 se cunosc $R_0 = 10 \text{ k}\Omega$, $E_C = 9 \text{ V}$, $U_0 = 1 \text{ V}$, $f_0 = 1 \text{ MHz}$, $\Delta f = 5 \text{ kHz}$, $f_m \leq 3 \text{ kHz}$. Să se determine capacitatea condensatorului C astfel încît panta demodulatorului să fie maximă. Care este valoarea maxim admisă pentru capacitatea condensatorului C_0 ?

8.35. Varianta echilibrată a demodulatorului Clarke-Hess din figură conține o ramură complementară în care condensatorul C_c este scurtcircuitat pentru semnalul aplicat. Ce valoare trebuie să aibă rezistența R astfel încît funcționarea echilibrată să fie asigurată?

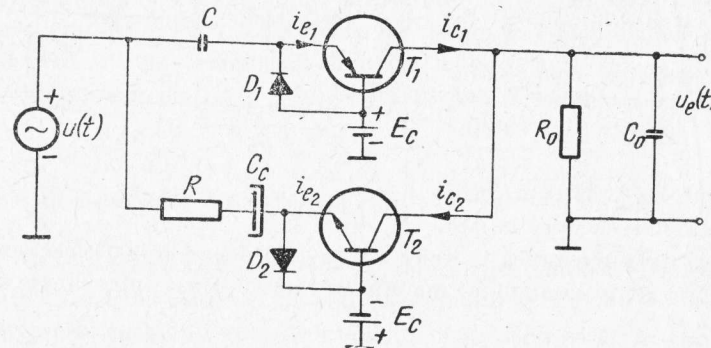


Fig. 8.35

8.36(R). Pentru demodulatorul Clarke-Hess în varianta echilibrată se cunosc : $R_0 = 10 \text{ k}\Omega$, $E_C = 9 \text{ V}$, $U_0 = 1 \text{ V}$, $f_0 = 1 \text{ MHz}$, $\Delta f = 5 \text{ kHz}$, $f_m \leq 3 \text{ kHz}$. Ce capacitate are condensatorul C pentru a asigura eficacitatea maximă a demodulatorului? Să se stabilească și valoarea necesară a rezistenței R .

8.37. Pentru demodulatorul care utilizează un circuit derivație dezacordat în raport cu frecvența purtătoare se cunosc : factorul de calitate al circuitului acordat în lipsa amortizării de către detector $Q_0 = 80$, capacitatea de acord $C = 2 \text{ nF}$, frecvența purtătoare $f_0 = 460 \text{ kHz}$,

Să se determine rezistența detectorului R_0 astfel încât factorul de calitate în sarcină să fie $Q = 40$ și frecvența de rezonanță a circuitului f , să asigure eficacitatea maximă a demodulatorului.

8.38. Un discriminator de fază lucrează la frecvența purtătoare $f_0 = 10,7$ MHz, într-un radioreceptor pentru emisiuni de radiodifuziune ($B_{MF} \cong 200$ kHz). Știind coeficientul de cuplaj $k = 0,1$ și $C_1 = 100$ pF, să se determine capacitatea condensatorului C_2 și panta realizată de demodulator, dacă $U_1 = 3$ V și $\eta_d \cong 1$.

8.39. Demodulatorul pentru semnale cu modulație în frecvență realizat cu circuitul integrat TAA 661 (fig. 12) are conectat în exterior circuitul C_1 , L , R , C_2 . Știind că $U_e = 1,41$ V, $f_0 = 6,5$ MHz, $\Delta f = 50$ kHz, $E_C = 12$ V, $Q_L = 70$ și $R_e = 50$ Ω , să se dimensioneze circuitul exterior (rezistența R lipsește).

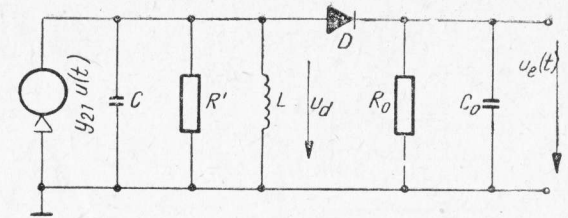


Fig 8.37

9. CIRCUITE DE IMPULSURI

BREVIAR

Circuitele de impulsuri sînt destinate transformării semnalelor în impulsuri sau producerii de impulsuri. În cazul acestor circuite interesează: forma impulsurilor produse, amplitudinea acestora (tensiunea vîrf la vîrf), frecvența de repetiție a impulsurilor, stabilitatea frecvenței (în cazul generatoarelor), coeficientul de umplere (la impulsurile dreptunghiulare) etc.

● Circuite de formare a impulsurilor

Limitatoare de amplitudine pentru impulsuri

● Se numește *limitator* un diport (cuadripol) la ieșirea căruia tensiunea $u_{ieș}(t)$ rămîne practic constantă cînd tensiunea la intrare $u_{in}(t)$ depășește o anumită valoare de prag U_{pr} . În acest scop se folosesc limitatoarele cu diodă serie sau paralel (fig. 1, *a* și *b*) sau limitatorul cu tranzistor (fig. 1, *c*) numit și amplificator limitator.

● Limitatoarele se utilizează pentru formarea unor impulsuri de amplitudine standard, restabilirea formei impulsurilor al căror palier este distorsionat, formarea unor impulsuri dintr-o tensiune sinusoidală.

Circuite de îngustare (de diferențiere) a impulsurilor

Pentru circuitul RC din figura 2, *a*,

$$i = C \frac{du_c}{dt} . \quad (1)$$

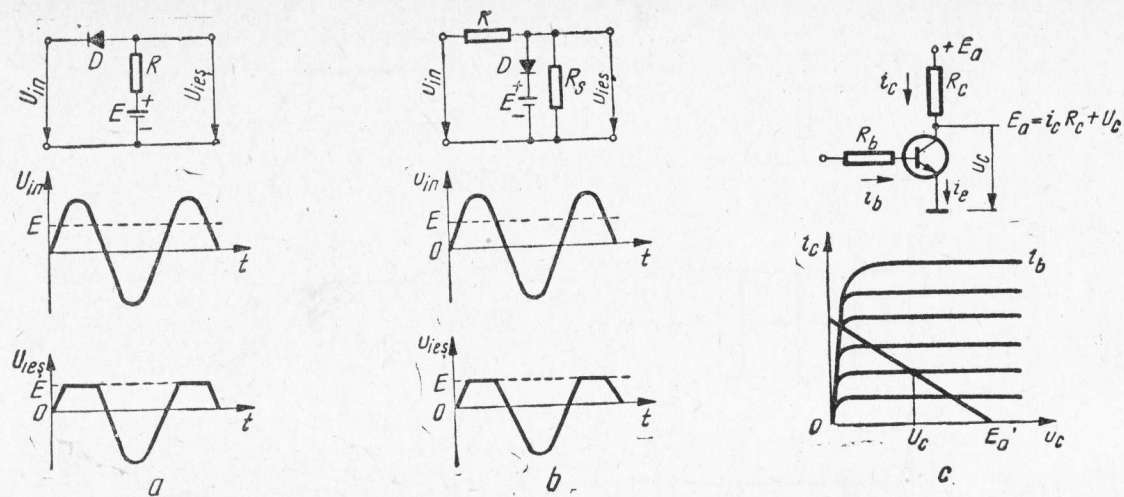


Fig. 1

Dacă rezistența R este mică, se poate admite

$$u_c \cong u_{in} \quad (2)$$

$$i \cong C \frac{du_{in}}{dt}; \quad (3)$$

În aceste condiții

$$u_{ies} = Ri \cong RC \frac{du_{in}}{dt}. \quad (4)$$

• Pentru regimul armonic condiția (4) este realizată cu aproximație foarte bună când

$$R \ll \frac{1}{\omega C}$$

sau

$$\tau = RC \ll \frac{1}{\omega}. \quad (5)$$

În aceste condiții circuitul este un circuit de diferențiere:

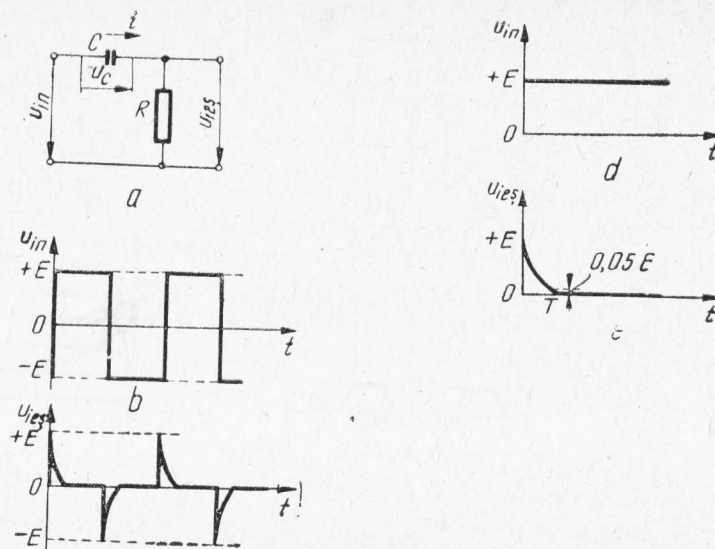


Fig. 2

• În cazul unui semnal periodic dreptunghiular (fig. 2, b), condiția (5) trebuie îndeplinită pentru armonica de frecvență cea mai mare care are o pondere în sinteza semnalului periodic. Din figura 2, c se vede că din impulsurile dreptunghiulare s-au obținut prin diferențiere impulsuri de foarte scurtă durată; printr-un proces de limitare se pot elimina impulsurile negative sau cele pozitive după dorință.

• Presupunind că la intrarea circuitului de îngustare a impulsurilor se aplică un singur impuls treaptă de amplitudine E la timpul $t = 0$ și că rezistența R este foarte mică, se poate scrie

$$u_C = E \left(1 - e^{-\frac{t}{\tau}} \right) \cong E = u_{in}; \quad (6)$$

și

$$u_{ies} = RC \frac{du_C}{dt} = E e^{-\frac{t}{\tau}}. \quad (7)$$

În figurile 2, d și 2, e este reprezentat semnalul la intrarea circuitului RC și apoi la ieșire. Durata T a impulsului obținut la ieșire este egală cu intervalul de timp în care tensiunea u_{ies} scade practic la 0, adică devine mai mică decât $0,05E$. Acest lucru se produce după

$$T = 3\tau = 3RC. \quad (8)$$

○ Notă. Rezultate similare se obțin și cu un circuit RL , dacă tensiunea la bornele bobinei se consideră ca tensiune de ieșire.

Circuite de lățire (de integrare) a impulsurilor

În cazul circuitului din figura 3, a, dacă rezistența este mare se poate scrie

$$u_R \cong u_{in} \quad (9)$$

și

$$i = \frac{u_{in}}{R} \quad (10)$$

Tensiunea la ieșire este

$$u_{ieș} \cong \frac{1}{C} \int_0^t i \, dt = \frac{1}{CR} \int_0^t u_{in} \, dt. \quad (11)$$

● În cazul regimului armonic relația (11) este adevărată cînd

$$R \gg \frac{1}{\omega C}$$

sau

$$\tau = RC \gg \frac{1}{\omega}, \quad (12)$$

ceea ce arată că circuitul este un circuit de integrare.

● În cazul unui semnal periodic dreptunghiular (fig. 3, b) condiția (12) trebuie îndeplinită pentru armonica de frecvență fundamentală. Din figura 3, c se constată că din impulsuri dreptunghiulare se obțin prin integrare impulsuri lățite, de durată

$$T = T_1 + T_2, \quad (13)$$

unde

$$T_2 \cong 3\tau = 3RC. \quad (14)$$

Aceste impulsuri au amplitudinea

$$E_{ieș} = E \left(1 - e^{-\frac{T_1}{\tau}} \right). \quad (15)$$

○ Notă. Rezultate similare se obțin și cu circuite RL .

● Oscilator de relaxare cu tub de neon

● Schema unui oscilator de relaxare cu tub cu neon este prezentată în figura 4, a, iar în figura 4, b sînt prezentate oscilațiile produse de montajul respectiv.

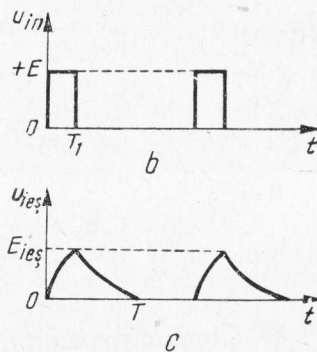
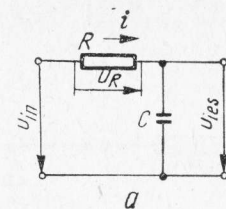


Fig. 3

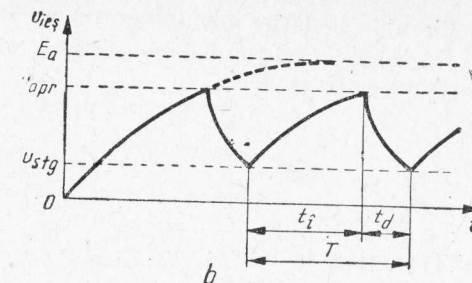
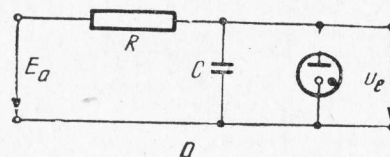


Fig. 4

- Perioada oscilațiilor generate este dată de relația

$$T = t_i + t_d = C \left[R \ln \frac{E_a - U_{stg}}{E_a - U_{apr}} + R_t \ln \frac{U_{apr}}{U_{stg}} \right]; \quad (16)$$

$t_d \ll t_i$

• Circuite basculante

Circuitele basculante se pot găsi în două stări : un dispozitiv blocat și celălalt în conducție și invers, trecerea dintr-o stare în cealaltă făcându-se fără aplicarea sau la aplicarea, din exterior, a unor impulsuri de comandă.

Circuitul basculant astabil

Circuitul basculant astabil (multivibratorul) nu are nici o stare stabilă corespunzătoare conducerii, respectiv blocării unei ramuri. Trecerea dintr-o stare în cealaltă se face fără a fi necesar un impuls la comandă din exterior.

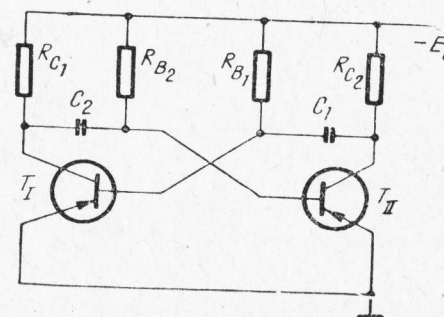


Fig. 5

• În figura 5 este prezentată schema unui circuit basculant astabil cu tranzistoare cu cuplaj colector-bază. Dacă se notează cu T_1 durata cît tranzistorul T_I este blocat și cu T_2 aceeași mărime pentru T_{II} , sînt valabile relațiile

$$T_1 = C_1 R_{B1} \ln 2 = 0,69 C_1 R_{B1}; \quad T_2 = C_2 R_{B2} \ln 2 = 0,69 C_2 R_{B2}. \quad (17, a)$$

• Perioada oscilațiilor generate $T = T_1 + T_2$, iar în cazul unui montaj simetric

$$T = 2CR_B \ln 2 = 1,38 CR_B. \quad (17, b)$$

Tranzistorul T_I , respectiv T_{II} se află în stare de saturație dacă sînt îndeplinite condițiile

$$\left. \begin{aligned} R_{B1} &\leq \beta_1 R_{C1} \\ R_{B2} &\leq \beta_2 R_{C2} \end{aligned} \right\} \quad (18)$$

● *Fronturile negative ale impulsurilor generate* sînt determinate de încărcarea capacităților de colector la blocarea tranzistorului respectiv.

În cazul unui circuit simetric timpul de revenire este dat de relația

$$t_{rev} = 2,3 CR_C \quad (19)$$

Circuitul basculant monostabil

Circuitele basculante monostabile se caracterizează printr-o singură stare stabilă de funcționare corespunzătoare conducerii pe o anumită ramură și blocării pe cealaltă. La o comandă exterioară adecvată, circuitele monostabile trec într-o a doua stare (cvasistabilă) un timp finit, după care revin la starea stabilă.

● *Frecvența impulsurilor generate* este egală cu frecvența impulsurilor de comandă.

● În figura 6 este prezentată schema unui circuit basculant monostabil cu tranzistoare cu cuplaj colector-bază. În starea stabilă tranzistorul T_I este blocat, iar tranzistorul T_{II} conduce la saturație. Pentru acest lucru trebuie îndeplinite condițiile

$$\left. \begin{aligned} E_B &\geq R_{B1} I_{CB0 \max} & (T_I - \text{blocat}); \\ R_{B2} &\leq \beta_{\min} R_{C2} & (T_{II} - \text{saturat}). \end{aligned} \right\} \quad (20)$$

● Pentru producerea basculării este necesar un impuls de comandă, iar pentru ca T_I să conducă la saturație trebuie îndeplinită condiția

$$\frac{E_C}{R + R_{C2}} - \frac{E_B}{R_{B1}} \geq \frac{E_C}{\beta_{\min} R_{C1}} \quad (21)$$

Durata cvasistabilă cît tranzistorul T_I este în stare de saturație se determină cu relația

$$T_t = 0,69 C_2 R_{B2}, \quad (22)$$

iar amplitudinea impulsului generat este

$$U_{vr2} = \frac{R}{R + R_{C2}} E_C \quad (23)$$

Timpul de revenire la starea stabilă se datorește reîncărcării condensatorului C_2 :

$$t_{rev} \cong 2 \cdot 2,3 C_2 R_{C1}. \quad (24)$$

● *Perioada minimă de repetiție a impulsurilor de comandă* este

$$T_{\min} = T_t + t_{rev}. \quad (25)$$

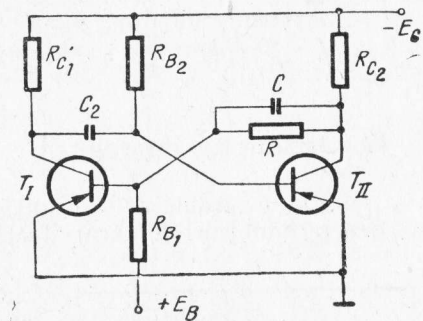


Fig. 6

Circuitul basculant bistabil

Circuitul basculant bistabil, de cele mai multe ori simetric, se caracterizează prin două poziții stabile de funcționare, corespunzătoare conducerii pe o ramură și blocării pe cealaltă ramură a elementului activ cu care este construit.

- Pentru producerea basculării dintr-o stare în cealaltă este necesar :
 - un impuls convenabil aplicat să deschidă ramura blocată ;
 - amplificarea în tensiune a buclei închise să fie supraunitară.
- În figura 7 este prezentată schema de principiu a unui circuit basculant bistabil simetric realizat cu tranzistoare bipolare.

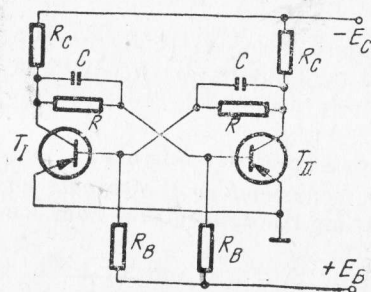


Fig. 7

- Pentru ca un tranzistor să fie blocat se impune condiția
- $$E_B > R_B I_{CB0 \max} \quad (26)$$
- iar pentru ca celălalt tranzistor să fie saturat — condiția

$$R < \frac{\beta_{\min}}{1 + \beta_{\min} \frac{I_{CB0 \max}}{I_C}} R_C, \quad (27)$$

unde I_C reprezintă valoarea curentului de colector la saturație

$$I_C \cong \frac{E_C}{R_C}$$

• Oscilatorul autoblocat

Oscilatorul autoblocat este un generator de tensiune nesinusoidală, cu ajutorul căruia se pot genera impulsuri de durată foarte mică (0,05—25 μ s), având coeficienți de umplere reduși.

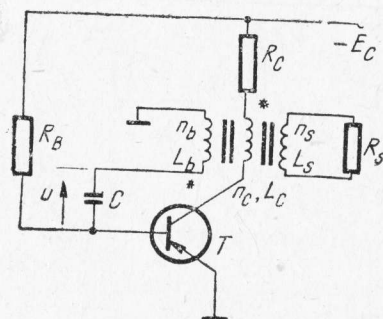


Fig. 8

- Schema de principiu a unui oscilator autoblocat cu tranzistor este prezentată în figura 8. Realizarea unui proces cumulativ pe bucla de reacție este condiționată de relația
- $$\beta n > 1, \quad (28)$$

în care :

β este factorul de amplificare în curent al tranzistorului ;

$n = \frac{n_c}{n_b}$ — raportul de transformare colector/bază.

- Durata T_p cîl tranzistorul este blocat rezultă din relația

$$T_p = CR_b \ln \left[1 + \frac{U_i}{E_C + R_B I_{CB0}} \right], \quad (29)$$

în care :

$$U_t = 0,55 \frac{nE_c T_t}{C(R_c + n^2 h_{11es})} ; \quad (30)$$

T_t reprezintă durata cît tranzistorul se află în stare de saturație ;
 h_{11es} — parametrul h_{11e} la saturația tranzistorului.

ENUNȚURI

● Circuite de formare a impulsurilor

9.1. Se consideră circuitul RC de lațire a impulsurilor din figura 3, a care este alimentat de la un generator de impulsuri cu un impuls dreptunghiular de durată $T_1 = 250 \mu s$. Știind că $R = 100 k\Omega$, $C = 0,1 \mu F$ și că amplitudinea impulsurilor la intrare este $E = 1 V$, să se determine amplitudinea și durată impulsului la ieșire și să se reprezinte grafic.

9.2. La circuitul RC din figura 3, a se consideră ca se conectează un generator de impulsuri cu impedanță internă nulă, impulsuri a căror formă este reprezentată în figura 9.2. Se cere să se deducă tensiunea la ieșire, dacă $R = 100 k\Omega$, $C = 0,1 \mu F$, amplitudinea impulsurilor $E = 1 V$ și frecvența impulsurilor $f = 2 kHz$.

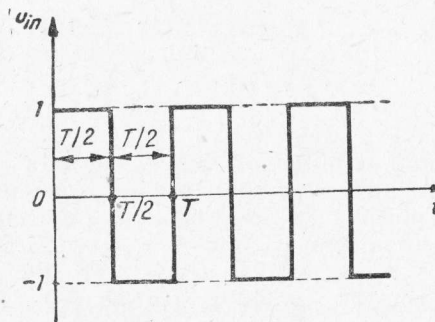


Fig. 9.2

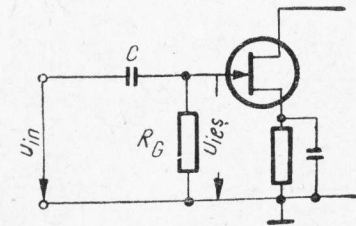


Fig. 9.3

9.3. La intrarea unui etaj de amplificare cu TEC la care capacitatea de cuplaj este $C = 10 nF$ și rezistența de grilă $R_G = 0,5 M\Omega$ (fig. 9.3) se aplică un impuls dreptunghiular de durată $T_t = 50 ms$ și amplitudine $E = 1 V$. Să se reprezinte tensiunea la intrarea pe grilă, dacă se consideră că generatorul de impulsuri de la intrare are impedanță internă nulă.

9.4. Să se arate ce se întâmplă în cazul problemei 9.3 dacă se ține seama de capacitatea de intrare a TEC-ului $C_{in} = 5 \text{ pF}$, deci dacă se iau în considerare capacitățile parazite. Care este situația dacă capacitatea C are în loc de 10 nF , valoarea de 40 pF ?

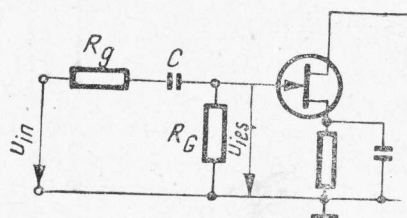


Fig. 9.5

9.5. Se consideră circuitul din figura 9.5, care este practic circuitul din figura 9.3, în care se ține seama și de rezistența internă a generatorului R_g . Datele problemei sînt cele de la problema 9.3. Se consideră două cazuri: a) $R_g = 10 \text{ k}\Omega$, b) $R_g = 100 \text{ k}\Omega$.

9.6. Se conectează un circuit RC la intrarea unui etaj cu tranzistor bipolar (fig. 9.6), care are o impedanță de intrare $R_g \approx 10 \text{ k}\Omega$. Presupunînd că la intrare se aplică un generator de impulsuri cu impedanță internă nulă, ca impulsul dreptunghiular aplicat are durata $T_i = 1 \text{ ms}$ și amplitudinea $E = 1 \text{ V}$ și că $R = 100 \text{ k}\Omega$, $C = 22 \text{ nF}$, să se determine tensiunea pe baza tranzistorului.

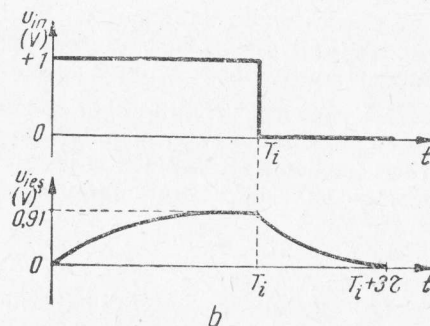
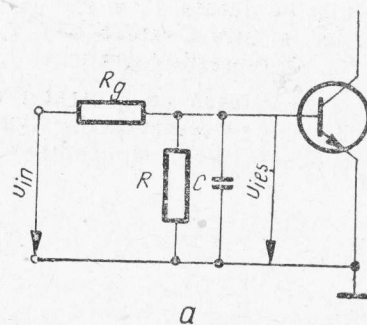


Fig. 9.6

9.7. Se consideră circuitul de intrare a unui etaj amplificator de impulsuri ca cel din figura 9.7, în care se ține seama și de capacitatea de intrare C_{in} , în paralel pe rezistența R_g . Să se deducă și să se reprezinte tensiunea la ieșirea circuitului, u_{ies} , dacă $R_g = 10 \text{ k}\Omega$, $C = 50 \text{ pF}$, $R_G = 500 \text{ k}\Omega$, $C_{in} = 5 \text{ pF}$ și $E = 1 \text{ V}$ și să se compare cu situația cînd $R_g = 0$ și $C_{in} = 0$, în cazul unui impuls dreptunghiular cu durata $T_i = 1 \text{ ms}$.

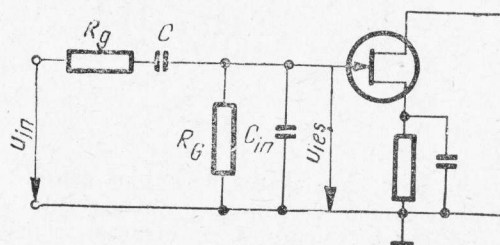


Fig. 9.7

9.8. Se consideră un limitator serie cu o diodă ca în figura 9.8, în care dioda se consideră că este deschisă la o tensiune $u_D \geq 0$. Să se determine expresia tensiunii la ieșire atunci cînd se cunosc

rezistența internă a generatorului R_g , rezistența directă a diodei R_D , rezistența inversă a diodei R_{inv} , rezistența R , tensiunea E , tensiunea de intrare $u_{in} = U_{in} \sin \omega t$. Aplicație: $E_a = 10$ V, $K = 0,1$, $R = 2$ k Ω , $R_g = 4$ Ω , $R_D = 100$ Ω , $R_{inv} = 1$ M Ω , $u_{in} = 10 \sin [10^5 t]$.

9.9. Se considera un limitator serie cu diodă ca în figura 9.9, a, căruia i se aplică o tensiune periodică de perioadă $T = 4$ μ s, cu expresia

$$\begin{cases} u_{in} = E, & t \in \left[kT, \left(k + \frac{1}{2} \right) T \right], \\ u_{in} = -E, & t \in \left[\left(k + \frac{1}{2} \right) T, (k+1)T \right]. \end{cases}$$

Se consideră că $R \gg R_D$ (rezistența directă a diodei), $R \ll R_{inv}$ (rezistența inversă a diodei) și că tensiunea la care dioda este deschisă este $U_D \geq 0$. Să se determine expresia tensiunii la ieșire; ce se întâmplă dacă se ține seama de capacitatea diodei C_D și de capacitatea parazită C , în paralel pe rezistența R ? Aplicație: $E = 10$ V, $R_D = 100$ Ω , $R_{inv} = 1$ m Ω , $C_D = 8$ pF, $C = 20$ pF, $R = 10$ k Ω .

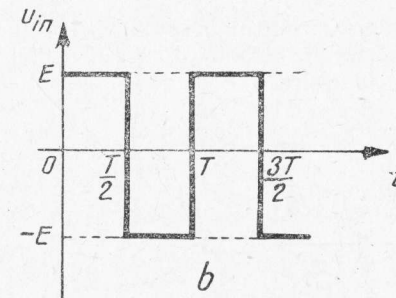
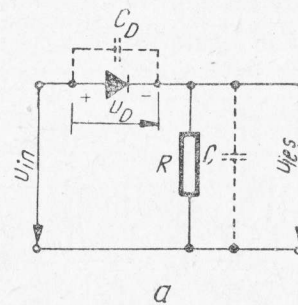


Fig. 9.9

9.10. Fie un limitator bilateral paralel cu diode reale cu siliciu (fig. 9.10). Să se reprezinte tensiunea la ieșirea unui astfel de limitator cînd la intrare se aplică o tensiune sinusoidală cu amplitudinea $E = 1,2$ V și frecvența 1 kHz. Rezistența de sarcină $R_s = 10$ k Ω , iar $R_g = 4$ Ω ; $R_D = 100$ Ω , $R_{inv} = 1$ M Ω (capacitățile parazite sînt neglijabile).

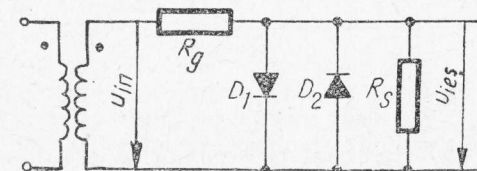


Fig. 9.10.

● Oscilator de relaxare cu tub de neon

9.11. Elementele unui oscilator de relaxare cu tub cu neon (fig. 4) au următoarele valori : $R = 5 \text{ k}\Omega$, $C = 5 \text{ }\mu\text{F}$, $U_{apr} = 100 \text{ V}$, $U_{stg} = 75 \text{ V}$, $R_i = 200 \text{ }\Omega$, $E_a = 120 \text{ V}$. Să se determine frecvența și amplitudinea oscilațiilor generate.

9.12. Să se determine frecvența impulsurilor generate de un oscilator de relaxare cu tub cu neon pentru care $R = 1 \text{ M}\Omega$, $C = 1 \text{ }\mu\text{F}$, $U_{apr} = \frac{E_a}{2}$, $U_{stg} = \frac{E_a}{4}$ și $R \gg R_i$.

● Circuite basculante

9.13. Să se arate cum se poate realiza modificarea coeficientului de umplere al impulsurilor dreptunghiulare generate de un multivibrator, fără a se modifica frecvența acestor oscilații.

9.14. Pentru circuitul basculant astabil cu tranzistoare prezentat în figura 5, să se determine relația pentru perioada oscilațiilor generate în cazul cînd nu se neglijează curentul I_{CB0} .

9.15(R). Pentru micșorarea duratei fronturilor negative ale impulsurilor generate se folosește schema din figura 9.15. Să se explice cum se realizează acest lucru. Care este condiția de menținere în saturatie a tranzistorului T_{II} în acest caz ?

9.16. Se consideră circuitul basculant astabil prezentat în figura 5, pentru care se cunosc $R_{B1} = R_{B2} = 20 \text{ k}\Omega$, $C_1 = 500 \text{ pF}$, $C_2 = 1000 \text{ pF}$. Să se determine frecvența de repetiție a impulsurilor de la ieșire.

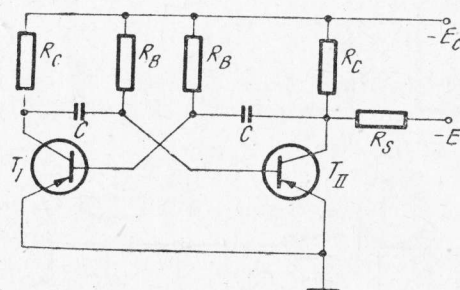


Fig. 9.15

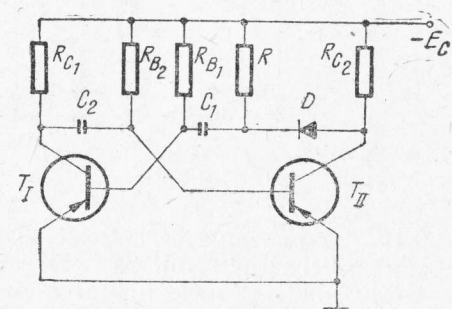


Fig. 9.17

9.17. Un circuit basculant astabil simetric lucrează pe o sarcină activă (fig. 9.17). Să se determine expresia perioadei impulsurilor generate în cazul cînd nu se neglijează I_{CB0} .

9.18. Să se determine condiția care trebuie îndeplinită pentru ca în cazul circuitului basculant astabil prezentat în figura 5 tranzistoarele să lucreze la saturație. Nu se vor neglija tensiunile $U_{EC\ sat}$ și U_{EB} . Care este amplitudinea impulsurilor generate?

9.19. În figura 9.19 este prezentată schema unui circuit basculant astabil simetric. Să se determine expresia perioadei de repetiție a impulsurilor generate. Să se calculeze valoarea minimă a tensiunii sursei E_{C2} .

9.20. Un circuit basculant astabil cu cuplaj colector-bază are elementele $R_{C1} = R_{C2} = 1\text{ k}\Omega$; $R_{B1} = R_{B2} = 30\text{ k}\Omega$; $C_1 = C_2 = 500\text{ pF}$; $E_C = 12\text{ V}$. Să se determine frecvența impulsurilor generate, precum și durata frontului negativ al acestor impulsuri.

9.21. Pentru circuitul basculant astabil prezentat în figura 5, să se reprezinte formele de undă ale tensiunilor u_{C1} , u_{C2} , u_{B1} și u_{B2} .

9.22(R). Circuitul basculant astabil prezentat în figura 19.9 are $C = 10\text{ nF}$, $R_B = 20\text{ k}\Omega$; $R_C = 2\text{ k}\Omega$; $E_{C1} = 12\text{ V}$; $E_{C2} = 3\text{ V}$. Să se determine frecvența impulsurilor generate și valoarea minimă a factorului de amplificare în curent pentru ca tranzistoarele să fie saturate imediat după basculare.

9.23(R). În figura 9.23 este prezentată schema unui circuit basculant astabil, ale cărui elemente au valorile $C_1 = C_2 = 5\text{ nF}$; $R_1 = R_2 = 1\text{ k}\Omega$; $R_3 = R_1 = R_5 = R_6 = 15\text{ k}\Omega$ și $E_C = 2E = 12\text{ V}$. Să se determine frecvența impulsurilor generate.

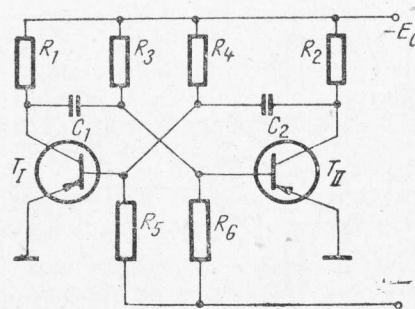


Fig. 9.23

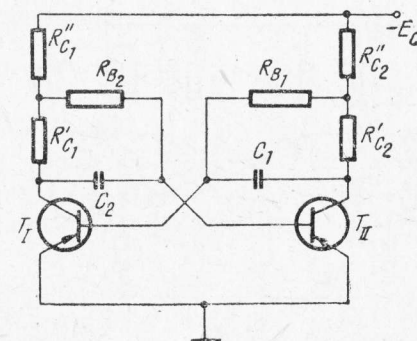


Fig. 9.24

9.24. Se consideră un circuit basculant astabil a cărui schemă este prezentată în figura 9.24. Cunoscându-se valorile elementelor schemei $E_C = 12\text{ V}$, $R'_{C1} = R'_{C2} = 1\text{ k}\Omega$, $R'_{C1} = R'_{C2} = 2\text{ k}\Omega$; $R_{B1} = R_{B2} = 75\text{ k}\Omega$; $C_1 = C_2 = 470\text{ pF}$, să se determine frecvența impulsurilor generate precum și amplitudinea acestora (se va neglija curentul I_{CB0}).

9.25. Un circuit basculant astabil cu pornire sigură este prezentat în figura 9.25. Să se explice de ce nu pot rămâne simultan în saturație ambele tranzistoare.

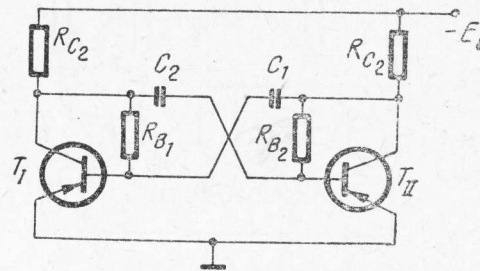


Fig. 9.25

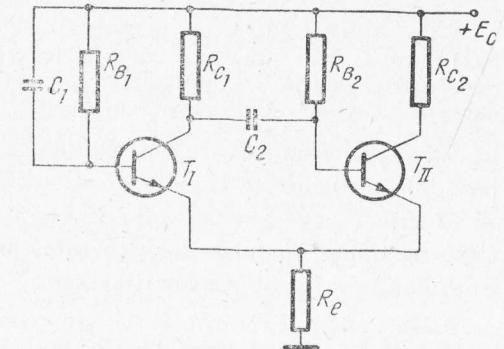


Fig. 9.26

9.26. Elementele circuitului basculant astabil prezentat în figura 9.26 au valorile $E_C = 10 \text{ V}$; $R_{B1} = R_{B2} = 120 \text{ k}\Omega$; $R_{C1} = 4,7 \text{ k}\Omega$; $R_{C2} = 1 \text{ k}\Omega$; $C_2 = 680 \text{ pF}$; $C_1 = 1 \text{ }\mu\text{F}$; $R_e = 200 \text{ }\Omega$. Să se explice principiul de funcționare al montajului și să se determine valoarea perioadei impulsurilor generate.

9.27. În figura 9.27 este prezentată schema unui multivibrator cu diode de accelerare cu ajutorul cărora se obține o îmbunătățire a formei impulsurilor generate. Să se explice cum se realizează acest lucru.

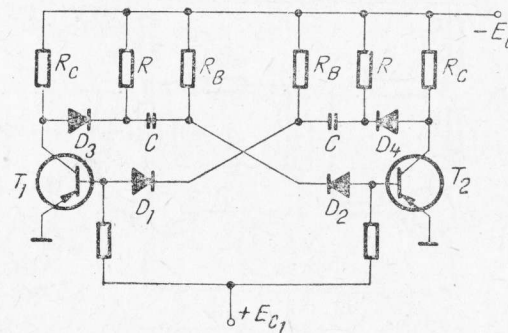


Fig. 9.27

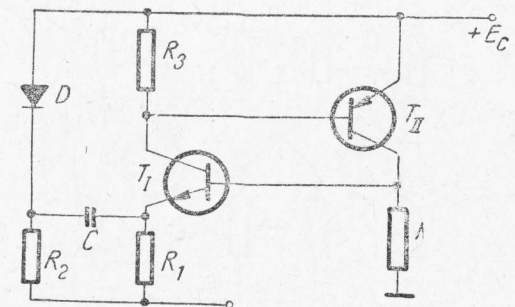


Fig. 9.28

9.28(R). Circuitul basculant astabil prezentat în figura 9.28 este realizat cu ajutorul unei perechi de tranzistoare complementare și are proprietatea că poate genera semnale de frecvențe mai mari. Să se explice principiul de funcționare al circuitului și să se stabilească o relație pentru perioada oscilațiilor generate.

9.29. În figura 9.29 este prezentată schema unui multivibrator cu cuplaj capacitiv între emitori, echipat cu tranzistoare complementare. Să se explice funcționarea schemei, avantajele care le prezintă și să se reprezinte variațiile tensiunilor din colector și emitor.

9.30. Pentru circuitul basculant monostabil prezentat în figura 6 să se reprezinte diagramele de variație în timp pentru tensiunile u_{CEI} , u_{CEII} și u_{BEII} .

9.31. Ce se întâmplă cu durata t_i a stării cvasistabile (T_I —saturat) pentru schema prezentată în figura 6, dacă temperatura mediului ambiant crește.

9.32(R). Se consideră un circuit basculant monostabil cu cuplaj colector-bază (fig. 6) pentru care se presupune $I_{CB0} = 0$ și $U_{CE\text{ sat}} = 0$ și se cunosc următoarele valori ale elementelor schemei: $\beta_{\min} = 20$; gradul de saturație minim pentru ambele tranzistoare $n = 2$; tensiunea de blocare a tranzistorului T_I , $u_{BI} = 1,5 \text{ V}$; $E_C = 12 \text{ V}$; $E_B = 6 \text{ V}$; curentul de saturație al tranzistorului T_{II} este de 2 mA ; $C_2 = 100 \text{ nF}$; $R_{C1} = 2 \text{ k}\Omega$. Să se determine durata T_i a stării cvasistabile, timpul de revenire și amplitudinea impulsului obținut.

9.33(R). Pentru circuitul basculant monostabil prezentat în figura 6 se cunoaște valoarea rezistenței $R_{B2} = 10 \text{ k}\Omega$. Să se determine valoarea capacității C_2 pentru a se realiza o durată a impulsului $T_i = 20 \mu\text{s}$.

9.34. În figura 9.34 este prezentată schema unui circuit basculant monostabil (se neglijează curentul I_{CB0} și tensiunile pe joncțiunile tranzistorului saturat). Să se determine condiția de blocare a tranzistorului T_I și condiția de saturație a tranzistorului T_{II} . Să se determine durata impulsului obținut în urma aplicării unui impuls de declanșare, precum și durata timpului de revenire.

9.35. Să se determine în ce condiții un circuit basculant monostabil cu tranzistoare, cu cuplaj colector-bază, poate deveni un divizor de frecvență.

9.36. În figura 9.36 este prezentată schema unui circuit monostabil cu tranzistoare bipolare de tip npn. Se cere durata impulsului obținut în colectorul tranzistorului T_{II} , precum și diagramele tensiunilor din baze și colectori.

9.37. Schema unui circuit basculant monostabil cu cuplaj prin emitor este prezentată în figura 9.37. Să se deducă relațiile pentru durata impulsului și pentru timpul de revenire în funcție de elementele schemei.

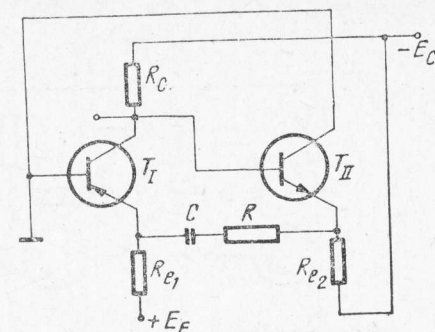


Fig. 9.29

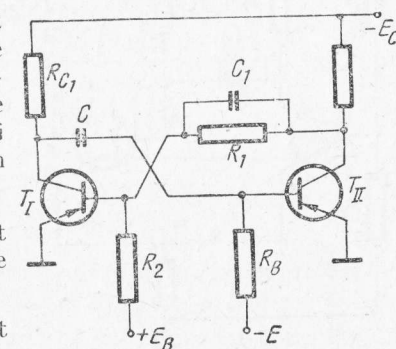


Fig. 9.34

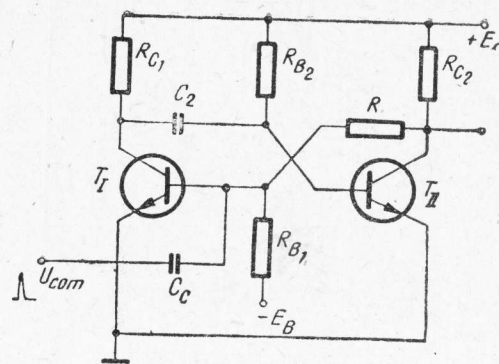


Fig. 9.36

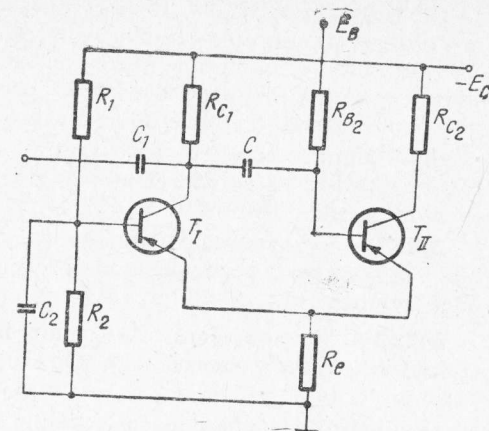


Fig. 9.37

9.38. În figura 9.38 este prezentată schema unui circuit basculant monostabil cu cuplaj prin emitor. Să se determine durata impulsului obținut în urma aplicării unui impuls de declanșare în funcție de elementele schemei, precum și amplitudinea acestui impuls, presupunând că în stare de conducție tranzistoarele sînt saturate.

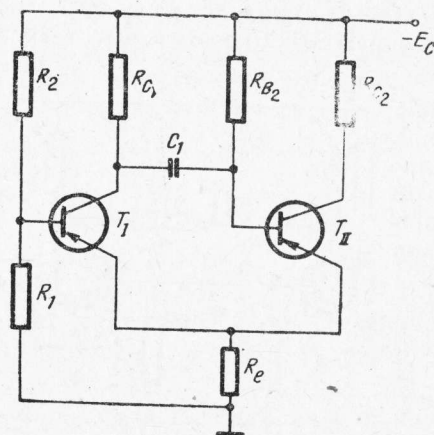


Fig. 9.38

9.39. Pentru circuitul basculant monostabil prezentat în figura 9.41 să se determine condițiile ca în starea stabilă tranzistorul T_I să fie blocat, iar tranzistorul T_{II} să fie la saturație. Să se determine de asemenea valoarea timpului de revenire.

9.40. Să se reprezinte diagramele de variație în timp a tensiunilor u_{C1} , u_{CII} , u_{BE11} și u_E pentru circuitul basculant monostabil prezentat în figura 9.38.

9.41. În figura 9.41 este prezentată schema unui circuit basculant monostabil cu cuplaj capacitiv între emitori. Să se explice funcționarea schemei și avantajele pe care aceasta le prezintă.

9.42. Să se explice de ce un circuit basculant bistabil poate fi considerat ca un divizor de frecvență, raportul de divizare fiind egal cu 2.

9.43. Pentru circuitul basculant bistabil prezentat în figura 7 să se determine : tensiunea de colector a tranzistorului blocat ; tensiunea de colector a tranzistorului aflat în stare de saturație ; amplitudinea impulsului obținut după basculare.

9.44. Să se determine amplitudinea impulsului de ieșire al unui circuit basculant bistabil simetric, cunoscind: $E_C = 12$ V; $E_B = 6$ V; tensiunea pe baza tranzistorului saturat 0,3 V (egală aproximativ cu cea de pe colector); curentul rezidual al tranzistorului blocat $I_{CB0} = 0,15$ mA și rezistențele $R_C = 2$ k Ω , $R = 15$ k Ω .

9.45(R). Se consideră circuitul basculant bistabil simetric prezentat în figura 9.45, pentru care se cunosc: $E_C = 4,5$ V; $E_B = 3$ V; $\beta = 40$; $I_{CB0} = 100$ μ A; $I_C = 10$ mA; $R_1 = 9$ k Ω ; $R_2 = 20$ k Ω . Să se verifice dacă sînt îndeplinite condițiile ca tranzistorul T_{II} să fie blocat, iar tranzistorul T_I în stare de saturație.

9.46. Tensiunea pe baza tranzistorului blocat al unui circuit basculant bistabil simetric este de 0,5 V, iar amplitudinea impulsului generat în urma basculării este de 8 V. Tranzistoarele folosite sînt EFT 322 cu $I_{CB0} = 0,1$ mA, iar tensiunile de alimentare sînt $E_C = 12$ V și $E_B = 6$ V. Să se determine elementele circuitului basculant.

9.47(R). În figura 9.47 este prezentată schema unui circuit basculant bistabil simetric cu polarizare automată. Să se determine condițiile care trebuie îndeplinite pentru ca un tranzistor să fie blocat, iar celălalt în regim de saturație; de asemenea să se determine amplitudinea impulsului obținut în urma basculării.

9.48(R). Pentru circuitul basculant bistabil simetric cu polarizare automată din figura 9.47 se cunosc elementele $E_C = 12$ V, $R_C = 2$ k Ω , $R_B = 30$ k Ω , $R = 15$ k Ω , $R_E = 500$ Ω , $\beta = 20$. Să se determine dacă sînt îndeplinite condițiile de saturație și blocare pentru tranzistoare, tensiunile în colectoarele celor două tranzistoare, precum și amplitudinea impulsului obținut în urma basculării. (Se neglijează I_{CB0} și u_{CES} .)

9.49. În figura 9.49 este prezentată schema de principiu a unui circuit basculant Schmitt de tipul bistabil asimetric cu cuplaj prin emitor. Să se explice principiul de funcționare și avantajele pe care le prezintă această schemă.

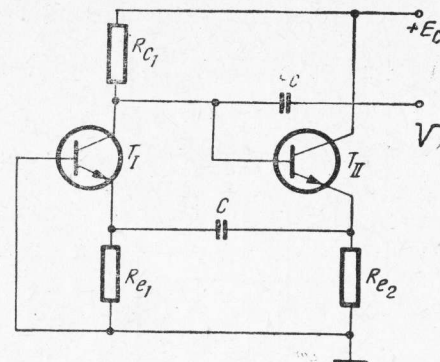


Fig. 9.41

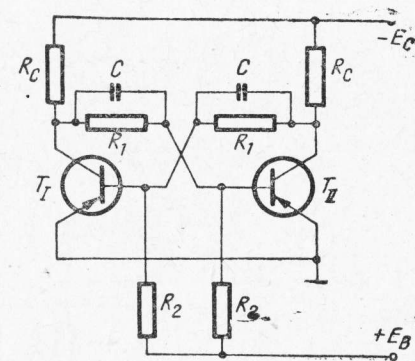


Fig. 9.45

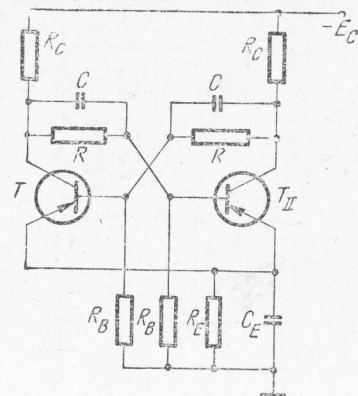


Fig. 9.47

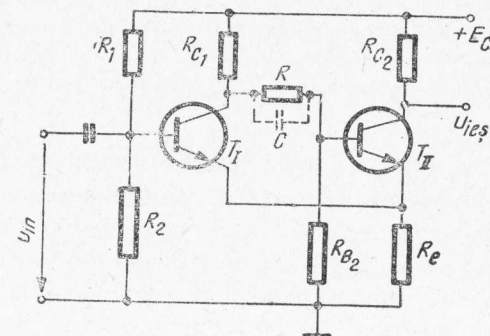


Fig. 9.49

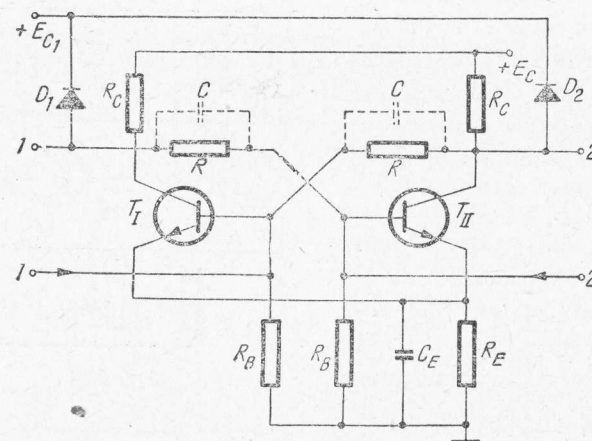


Fig. 9.50

9.50. O schemă de circuit bistabil simetric cu polarizare automată și cu diode de fixare este prezentată în figura 9.50. Să se explice care este rolul diodelor de fixare.

● Oscilatorul autoblocat

9.51. Să se arate care este influența mării tensiunii anodice E_C asupra frecvenței și duratei impulsului generat de oscilatorul autoblocat.

9.52. Un oscilator autoblocat trebuie să genereze trei frecvențe: 2 000 Hz; 1 000 Hz și 500 Hz. Pentru obținerea frecvenței de 2 000 Hz în circuitul bazei se conectează o rezistență

de $10\text{ k}\Omega$. Să se determine valorile rezistențelor ce trebuie conectate în circuitul de bază pentru obținerea frecvențelor de 1000 Hz și 500 Hz , dacă celelalte elemente ale schemei nu se modifică.

9.53. Pentru oscilatorul autoblocat prezentat în figura 8 să se reprezinte diagramele de variație în timp pentru u , u_{BE} , i_C , i_B , u_{CE} .

9.54. În figura 9.54 este prezentată schema unui oscilator autoblocat cu tranzistor bipolar în conexiune EC . Se cere perioada oscilațiilor generate și să se reprezinte variația tensiunii în baza tranzistorului.

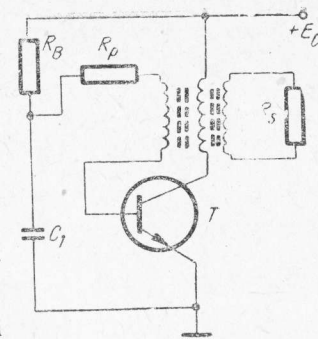


Fig. 9.54

10. CIRCUITE DE BALEIAJ

BREVIAR

● Deflexia electromagnetice

În traductoarele de imagine — fie pentru captare fie pentru redare (cinescoapele) — trebuie să se facă analiza, respectiv sinteza imaginii. Aceasta se realizează aproape în exclusivitate cu ajutorul deflexiei electromagnetice.

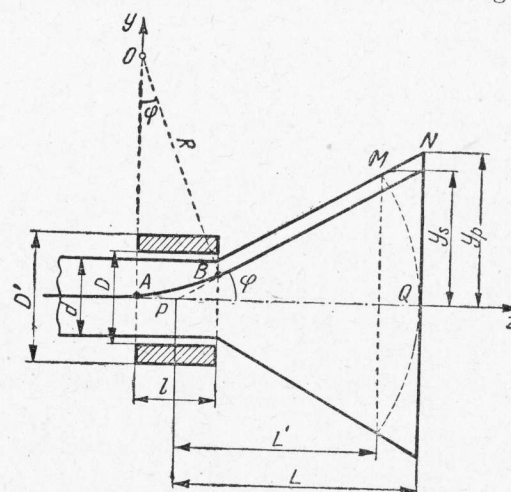


Fig. 1

● Pentru cinescoape, bobinele care asigură deflexia sînt plasate pe gîtul tubului cinescop. Se folosesc două perechi de bobine dispuse la 90° pentru a asigura deviația pe cele două direcții: orizontală și verticală. Cîmpurile magnetice create sînt transversale în raport cu gîtul tubului și sînt perpendiculare între ele.

Astfel fasciculul de electroni avînd viteza \bar{v} , va fi supus acțiunii simultane a două cîmpuri \vec{B} . Considerînd separat pe fiecare dintre ele, fasciculul va fi deviat ca urmare a forței

$$\vec{f} = e(\bar{v} \times \vec{B}) = evB. \quad (1)$$

● Traectoria urmată de electron în interiorul cîmpului este un cerc, iar de la ieșirea din cîmp pînă la ecran se va mișca pe tangenta la cerc în punctul de ieșire din cîmp, așa cum se vede din figura 1.

Raza corespunzătoare a arcului de cerc este dată de

$$R = \frac{mv}{eB}, \quad (2)$$

în care :

m este masa electronului ;
 e — sarcina electronului.

● Viteza electronului este de sute de km/s la tensiuni de accelerare U_a mici și se apropie de viteza luminii pe măsură ce tensiunile de accelerare U_a cresc către 25 kV.

● Numărul de amperspire (număr de spire $n \times$ curent de deflexie I) necesar pentru asigurarea deflexiei este

$$nI = 2,69 \frac{D}{l} \sqrt{U_a} \sin \varphi, \quad (3)$$

Semnificația unor mărimi se vede în figura 1.

● Energia necesară pentru asigurarea deflexiei este dată de

$$W_m = w_m V = 143,9 \cdot 10^{-7} \cdot a U_a \sin^2 \varphi \operatorname{tg} \frac{\varphi}{2}, \quad (4)$$

în care :

w_m este densitatea de energie magnetică ;
 V — volumul ocupat de câmp ;
 a — raza gîtului tubului ;
 U_a — tensiunea de accelerare ;
 φ — jumătate din unghiul total de deflexie.

Luînd toate mărimile în sistemul SI, rezultă valori care nu sînt comode. De aceea se obișnuiește să se utilizeze raza în mm și tensiunea în kV ; rezultă

$$W_m = \frac{1}{70} a [\text{mm}] U_a [\text{kV}] \sin^2 \varphi \operatorname{tg} \frac{\varphi}{2} [\text{mJ}]. \quad (5)$$

Se va considera sinusul unghiului de deflexie după direcția respectivă (H sau V) și tangenta unghiului de deflexie maxim pe diagonală pentru a se găsi energiile necesare de deflexie H , respectiv V .

● Puterile necesare se determină din :

$$\begin{aligned} P_H &= W_{mH} \cdot f_H ; \\ P_V &= W_{mV} \cdot f_V. \end{aligned} \quad (6)$$

Din cauza frecvențelor diferite se observă că puterile necesare pentru deflexia pe orizontală vor fi mult mai mari decît cele pentru baleiajul vertical.

● Bobinele de deflexie se fac sub formă de sa sau tor. Inductanța lor este dată aproximativ de relația :

$$L = \ln^2 \cdot 10^{-9} [H], \quad (7)$$

în care L depinde de numărul de spire, n și de lungimea bobinei, l .

Din motive constructive și din cauza dispozitivelor electronice folosite în generatoarele de baleiaj, inductanța bobinelor pentru orizontală, L_H , și pentru verticală, L_V , se realizează ușor diferită, pînă la un ordin de mărime ($L_V > L_H$). De exemplu:

$$L_H = 200 \mu\text{H} \text{ și } L_V = 1-2 \text{ mH}.$$

• Comportarea bobinelor va fi diferită în cele două circuite de baleiaj, din cauza frecvențelor diferite. Astfel, constantele lor de timp $\tau_H = \frac{L_H}{r_H}$ și $\tau_V = \frac{L_V}{r_V}$ vor fi în raport cu perioadele corespunzătoare

$$\tau_H \gg T_H \text{ și } \tau_V \leq T_V. \quad (8)$$

Ca urmare, bobinele L_H vor avea un comportament într-o primă aproximație pur inductiv, iar cele de cadre (cîmpuri) — aproape pur rezistiv.

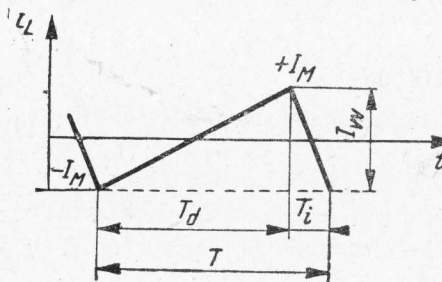


Fig. 2

• Forma necesară a curenților va fi aceea de dinte de ferăstrău (v. fig. 2) pentru a asigura baleiaj cu viteză constantă. Ca urmare a comportamentului diferit al bobinelor la cele două frecvențe, tensiunile la bornele bobinelor vor avea alura din figura 3.

Din cauza nesimetriei curenților, respectiv a abaterii formei lor de la cea liniar crescătoare, pe cursa directă apar *distorsiuni neliniare* care sînt *nesimetrice*.

Din cauza ecranului care este aproape plan și nu sferic, dacă forma curenților se menține perfect liniară vor apărea la unghiuri egale deviații mai mari pe ecran (v. fig. 1). Ca urmare, liniile rastrului nu vor mai fi echidistante, iar dacă se cumulează efectele pe cele două direcții, imaginea va avea și un contur în formă de pernă. Această *distorsiune geometrică* se numește *distorsiune de ecran plat* și este *simetrică*.

Cu ajutorul bobinelor de deflexie sau prin predistorsionarea voită a formei curenților de baleiaj, se poate face *corecția distorsiunilor de ecran plat*.

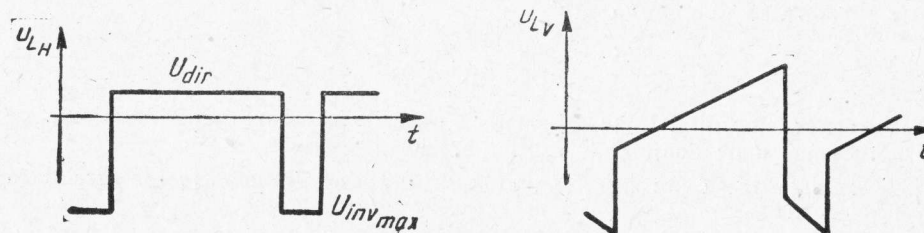


Fig. 3

● Baleiajul orizontal

Din examinarea formei tensiunii la bornele bobinei L_H (v. fig. 3) și a comportamentului său, ca și a puterii cerute (v. rel. 6), se constată că *generatorul de baleiaj* H va lucra în comutație și că trebuie să comute puteri relativ mari. Se vor aplica tensiuni constante pe bobine și automat vor rezulta curenți liniar variabili.

● Ca *elemente de comutație* se vor folosi diode, tranzistoare și tiristoare construite special să conducă curenți mari pe cursa directă și să suporte tensiunile inverse mari care apar pe timpul cursei de întoarcere.

Întrucît la sfîrșitul cursei directe, în bobină este acumulată o energie

$$W = \frac{1}{2} L_H I_M^2 = \frac{1}{8} L_H I_{VT}^2, \quad (9)$$

aceasta se folosește pentru a obține trasarea cursei inverse, a unei porțiuni din prima parte a cursei directe și pentru alimentarea altor consumatori din receptorul de TV.

● Se folosesc *schemele* de :

- recuperare derivație (cel mai des);
- recuperare serie (foarte rar);
- recuperare mixtă (uneori);
- recuperare derivație, într-o schemă asociată cu un convertor de mărire a tensiunii de alimentare la televizoare portabile (care seamănă cu recuperarea mixtă).

● Tensiunea *pe cursa directă* este :

$$U_{dH} = L_H \left. \frac{di_H}{dt} \right|_{t_H = T_{dH}} = L_H \frac{I_M}{T_{dH}}; \quad (10)$$

Aceasta are o valoare de ordinul zecilor de volți pînă la cca 150 V.

● *Pe cursa inversă* întoarcerea se face oscilant, pe o frecvență egală cu aproape de trei ori frecvența liniilor :

$$\omega_0 = 2\pi f_0 = \frac{2\pi}{T_0} = \frac{2\pi}{2T_{iH}} = \frac{\pi}{T_{iH}} \cong 3\omega_H. \quad (11)$$

Deci curențul va fi

$$i_{iH} = I_M \cos \omega_0 t, \quad (12)$$

iar tensiunea la borne :

$$u_{LiH} = L_H \frac{di_H}{dt} = -\omega_0 L_H I_M \sin \omega_0 t, \quad (13)$$

avînd valoarea maximă

$$|U_{i \max}| = \omega_0 L_H I_M = 2\pi f_0 L_H I_M = \pi L_H \frac{I_M}{T_{iH}}. \quad (13')$$

Același lucru se poate deduce și în funcție de energia existentă în circuitul oscilant format pe timpul întoarcerii (L_H cu C_{avort} , care are valori de ordinul cîteva nF):

$$W_e = \frac{1}{2} C U_{i\max}^2 = \frac{1}{2} L_H I_M^2 = W_m. \quad (14)$$

Deci

$$U_{i\max} = \sqrt{\frac{2W_m}{C}}; \quad (15)$$

Aceasta ajunge la valori de ordinul sutelor pînă la 1 200 V.

● În etajele de baleiaj H se face și corecția distorsiunilor.

Distorsiunile nesimetrice se corectează cu ajutorul unor bobine cu inductanța reglabilă avînd miez saturat. Acestea sînt inseriate cu bobinele de deflexie.

Distorsiunile simetrice (de ecran plat) se corectează dînd o formă în „S” curentului de deflexie. Aceasta se obține realizînd o rezonanță serie la o frecvență de cca 2—3 ori mai joasă decît f_H , prin introducerea unui condensator C_S în serie cu L_H .

Valoarea condensatorului se poate calcula din

$$C_S = \frac{T_{aH}}{8L_H \operatorname{tg}^2 \varphi_{\max}}; \quad (16)$$

Excitația acestui etaj final de amplificator de putere care comută se face ca un driver comandat la rîndul său de un oscilator sinusoidal.

Driverul lucrează tot în comutație, de regulă în regim on-off în raport cu etajul final (în contratimp)

Oscilatorul este realizat cu elemente discrete sau cu o parte dintr-un CI care are funcțiuni multiple: separator, comparator, oscilator etc., numit în mod generic sincroprocesor.

● Baleiajul vertical

Examinînd aceleași forme de curenți și tensiuni din figurile 2 și 3 ca și puterile ce intră în joc (v. rel. 6), se constată că *generatorul de baleiaj vertical* va fi un amplificator obișnuit de JF de putere mică.

● *Puterea* este dată aproximativ de relația

$$P_v \cong R_v I_{Vef}^2 = R_v \frac{I_{VM}^2}{\sqrt{3}} = R_v \frac{I_{Vv}^2}{\sqrt{12}}; \quad (17)$$

Cum în orice condiții se pune problema reducerii consumului de putere, a îmbunătățirii randamentului, schemele au evoluat ca și în JF de la amplificator în clasă A, la clasă B cu tranzistoare complementare, clasă B cu tranzistoare identice (montaj cvasicomplementar), ajungînd pînă la scheme în clasă D (în comutație).

- *Elementele folosite în schemele de baleiaj vertical sînt:*
 - tranzistoare obișnuite de JF ;
 - tiristoare lucrînd în impulsuri obținute de la baleiajul orizontal;
 - circuite integrate fabricate special pentru baleiajul vertical cu montaj clasă B în final (de ex. TDA 1170);
 - circuite integrate lucrînd în comutație în clasă D , ca de exemplu CI-TDA 2560,
- *Problemele care se pun în baleiajul vertical sînt legate în special de:*
 - liniarizarea curenților pentru a obține distorsiuni minime;
 - accelerarea întoarcerii, în special la etajele alimentate la tensiuni reduse (televizoare portabile), pentru a nu depăși durata stingerii pe verticală;
 - corecția distorsiunilor de ecran plat.

Fie în schemele cu circuite discrete, fie în cele cu CI, se folosesc în întregul bloc de baleiaj vertical șase tranzistoare care să asigure:

- formarea unor impulsuri de perioadă $T_0 > T_H$ într-un CBA care este sincronizat cu S_V ;
- formarea unor semnale TLV cît mai liniare pentru excitație;
- etajele finale în contratimp în montaj complementar sau evasicomplementar, care comandă bobinele printr-un cuplaj cu condensator.

De multe ori montajul folosește procedeul bootstrap pentru o mai bună liniarizare la vîrf de curent.

Un grup diodă D — condensator C asigură împreună cu bobinele de deflexie o rezonanță pe timpul întoarcerii pentru a obține o tensiune mai ridicată care la rîndul ei asigură o întoarcere mai rapidă.

O reacție, de obicei negativă, asigură stabilizarea PSF ;

O reacție, de obicei pozitivă (fără să se atingă condițiile de oscilație), asigură predistorionarea în mod voit a curentului astfel ca să se realizeze corecția în „S”. În rețeaua de reacție se introduce o rețea de integrare care introduce un termen în t^2 . Acesta va da forma în „S” a curentului.

ENUNȚURI

● Deflexia electromagnetică

10.1(R). Să se determine traiectoria pe care o urmează un electron de sarcină e și de masă m care intră într-un cîmp magnetic \vec{B} cu viteza \vec{v} . Cîmpul este perpendicular pe direcția de mișcare. Tensiunea de accelerare este U_a . Lungimea pe care acționează cîmpul este l .

10.2(R). Să se determine de cine depinde sensibilitatea S_m a deviației magnetice.

10.14(R). Să se determine pe baza rezultatelor problemei precedente durata totală a întoarcerii, respectiv durata stingerii pe orizontală.

10.15(R). Să se găsească valoarea tensiunii maxime la bornele bobinelor pentru circuitul de întoarcere din figura 10.13R, a.

10.16(R). Să se determine valoarea medie a curentului de colector la tranzistorul final de baleiaj H de tipul BU 205. Se știe că valoarea maximă a curentului de colector este $I_{CM}^+ = 1,35$ A, iar valoarea maximă în conducție inversă este $I_{CM}^- = 0,85$ A. De asemenea, se cer duratele de conducție în cele două regimuri.

Se consideră curent sub formă de dinte pe timpul cursei directe T_{dH} .

10.17(R). Să se determine puterea pe care o disipă tranzistorul BU 205 la temperaturile ambiante $T_{amb} = 50-60^\circ$ și $T_{amb} = 90^\circ$. Puterea maximă dată în catalog este de $P_{Dmax} = 10$ W, temperatura maximă a joncțiunii este $T_{jmax} = 115^\circ$, iar rezistența termică între joncțiune și capsulă este $R_{thjc} = 2,5^\circ\text{C/W}$.

10.18(R). Să se exprime raportul curenților dintr-un etaj de baleiaj orizontal (care se notează în mod obișnuit cu $\sqrt{\eta}$) în funcție de mărimile cunoscute T_H , T_{dH} , I_{CV} și $I_{C0} = I_C$, arătate în figura 10.18.

10.19(R). Să se găsească valorile minimă și maximă posibile ale factorului de umplere δ , pentru tensiunea de comandă aplicată în secundarul transformatorului dintre driver și circuitul de bază al tranzistorului final de baleiaj H .

10.20(R). Să se explice de ce apar căderi de tensiune diferite pe tranzistorul BU 205 folosit în baleiajul orizontal pe timpul saturației inverse și a celei directe, respectiv pe ultima parte din timpul conducției inverse și pe o a doua parte a cursei directe a baleiajului orizontal, când conduce direct.

10.21(R). Să se determine valoarea condensatorului de corecție în „S” — sau de tangentă — care face corecția distorsiunilor de ecran plat.

10.22(R). Pentru forma de tensiune de la bornele bobinelor de deflexie specifică baleiajului orizontal să se găsească raportul dintre tensiunea inversă $U_{inv} \cong U_1$ și cea directă U_2 .

10.23(R). Se dă montajul din figura 10.23. Să se arate de câte ori multiplică elementul de reactanță realizat cu tranzistorul T , capacitatea C_V prezentată de dioda varicap D_V .

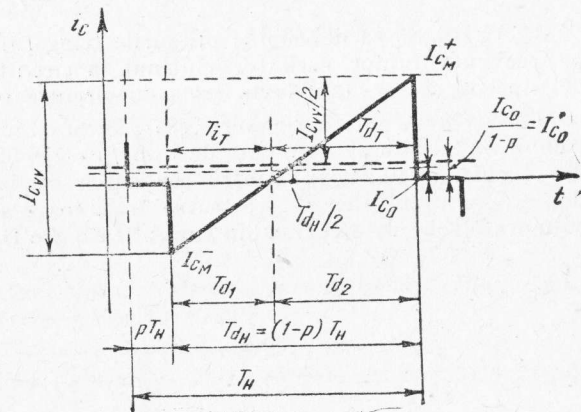


Fig. 10.18

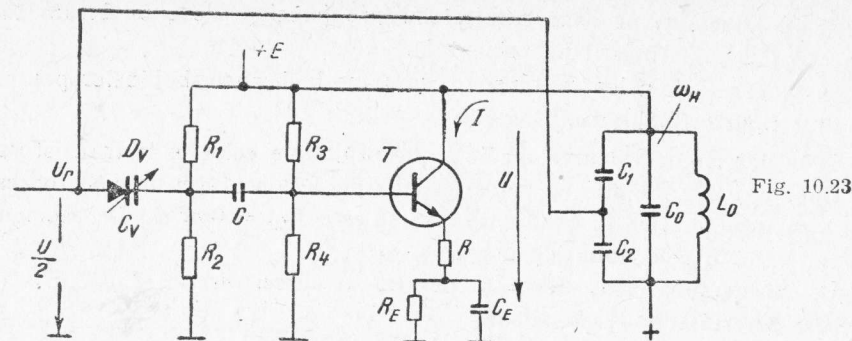


Fig. 10.23

10.24(R). Să se determine pragurile triggerului Schmitt din oscilatorul de relaxare lucrând pe frecvența liniilor, oscilator conținut în circuitul integrat TBA 950, ce îndeplinește funcția de sincroprocesor în televizoarele cu circuite integrate.

10.25(R). În sincroprocesorul realizat cu circuitul integrat TBA 950, oscilatorul de relaxare trebuie să lucreze pe frecvența de linii $f_H = 15\,625\text{ Hz}$. Triggerul Schmitt folosit are structura din problema 10.24(R). Pentru realizarea oscilațiilor se folosește un condensator cu styroflex $C_{13} = 10\text{ nF}$ legat la intrarea inversoare și două generatoare de curent, I^+ și I^- , așa cum arată schema de principiu simplificată din figura 10.25. Curentul I^- este de șapte ori mai

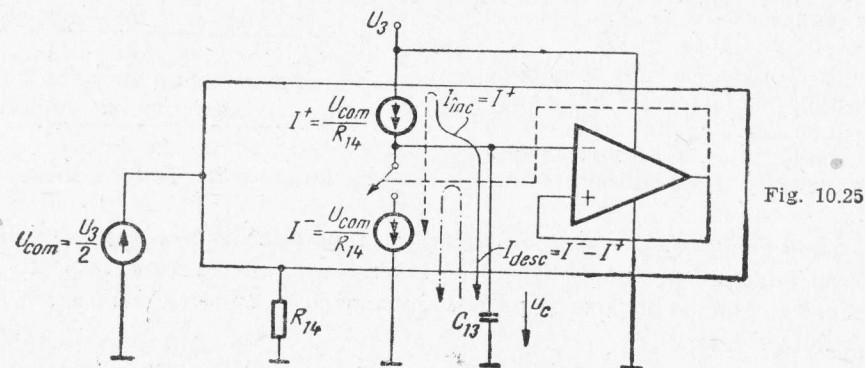


Fig. 10.25

mare decât I^+ care asigură încărcarea, pentru a se realiza raportul dorit între duratele curselor directă (T_{dH}) și inversă (T_{iH}) la explorarea pe linii T_H . De la ieșirea triggerului Schmitt se acționează și comutatorul reprezentat simbolic în figură.

Tensiunea de comandă U_{com} este egală cu jumătatea tensiunii de alimentare. În interiorul circuitului integrat există și un convertor de tensiune-curent (de la U_{com} la I^+) pentru generatoarele de curent, a cărui constantă de proporționalitate este asigurată de rezistența R_{14} montată

în exteriorul circuitului integrat. Se cere valoarea caestei rezistențe pentru a asigura frecvența de oscilație dorită, adică $f_H = 15\,625\text{ Hz}$.

10.26(R). Să se explice funcționarea triplorului de tensiune din figura 10.26 dacă se aplică tensiuni de formă sinusoidală.

10.27(R). Să se explice funcționarea multiplicatorului de tensiune din figura 10.26 dacă se aplică acestuia tensiuni de tipul celor de baleiaj H , de forma din figura 10.22R.

10.28(R). Să se arate care sînt capacitățile raportate în primar în cazul unui redresor *FIT* de tip clasic și al unuia de tip cu diode de separare între înfășurările secundare (*split diode trafo*).

10.29(R). Să se explice cum depinde rezistența internă a redresorului de *FIT* de acordul pe o armonică superioară impară a frecvenței de oscilație liberă f_0 de pe timpul întoarcerii pe orizontală T_{iH} .

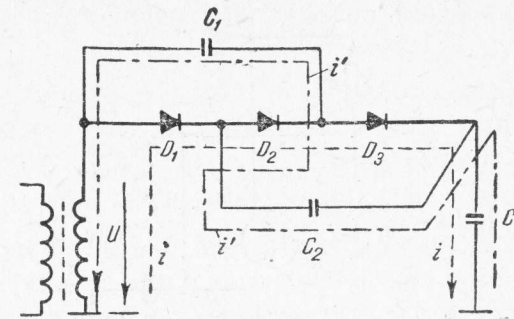


Fig. 10.26

● Baleiajul vertical

10.30(R). Să se calculeze, pentru un televizor Sport, valoarea curentului de deflexie necesar și tensiunea inversă pe care o suportă tranzistoarele finale.

Bobina are $R_V = 16\ \Omega$ și $L_V = 30\text{ mH}$.

10.31(R). Să se găsească schema echivalentă generală pentru etajele de baleiaj vertical cu elemente discrete cele mai întâlnite în practică, fie că lucrează cu curent sub formă de dinte de ferăstrău crescător la ieșire, fie — cu dinte de ferăstrău descrescător (evident, prin modul de legare al capetelor bobinelor, baleiajul se face totdeauna de sus în jos).

10.32(R). Să se arate cum se realizează corecția în „S” în cazul baleiajului vertical pe formele de undă care apar pe schema echivalentă din figura 10.31R.

10.33(R). Pentru cazul montajului de baleiaj V din figura 10.33 să se explice cum se produce întoarcerea pe verticală.

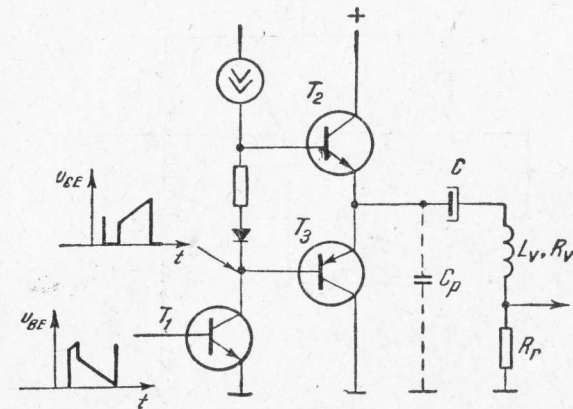


Fig. 10.33

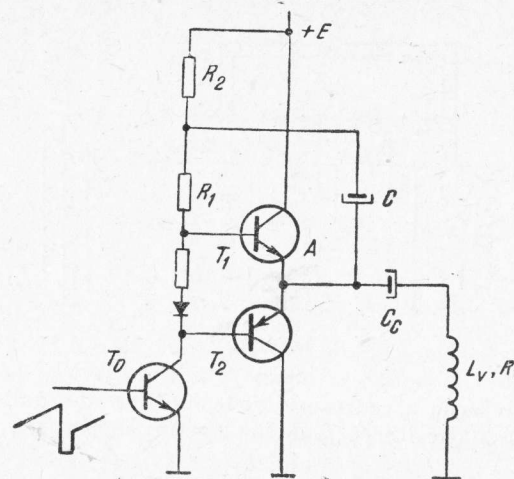


Fig. 10.36

10.37(R). Pentru schema din figura 10.36 să se exprime puterea de fiecare tranzistor pe cursa directă

10.38(R). Să se găsească expresia perioadei proprii de oscilație T_0 pentru circuitul basculant astabil (CBA) nesimetric, folosit ca oscilator pentru blocul de baleiaj vertical (fig. 10.38).

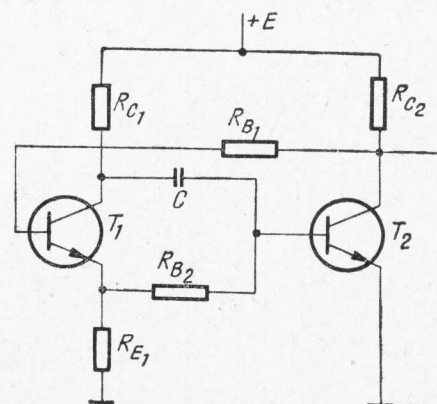


Fig. 10.38

10.34(R). În timpul întoarcerii pe verticală, în primul moment al întoarcerii are loc un salt de tensiune la bornele bobinelor, după care curentul își schimbă sensul de variație. Cursa de întoarcere nu poate fi făcută oricât de lungă. Norma o limitează la maximum $25T_H = B_H$ (durata stingerii). De obicei se impune o limită de circa 1 ms pentru întoarcere.

Să se arate care este tensiunea U_i care trebuie aplicată la bornele bobinelor pentru a obține o întoarcere de durată dorită.

10.35(R). Să se explice funcționarea schemei de baleiaj vertical cu elemente D și C pentru accelerarea întoarcerii și să se traseze formele de undă ale curentului și tensiunii.

10.36(R). Pentru etajul final de baleiaj vertical avînd schema din figura 10.36 să se exprime curentul și tensiunea pe cursele directă și inversă și să se facă reprezentarea lor grafică.

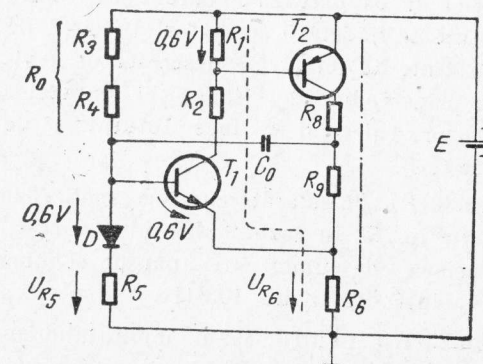


Fig. 10.40

10.39(R). Să se reprezinte formele de undă pe electrozii tranzistoarelor din schema din figura 10.38

10.40(R). Se dă schema de *CBA* nesimetric din figura 10.40, folosit ca oscilator de baleiaj vertical în televizoarele românești. Se cere să se descrie funcționarea și condițiile puse pentru funcționare.

10.41(R). Să se determine perioada de oscilație T_0 a circuitului *CBA* din figura 10.40.

10.42(R). Să se reprezinte formele tensiunilor pe bazele celor două tranzistoare, T_1 și T_2 (fig. 10.40) și pe colectorul tranzistorului T_2 , de unde se culege semnalul de ieșire pentru comanda grupului *RC* de integrare și obținere a tensiunii *TLV*. Tranzistorul T_2 joacă rolul comutatorului *K* din figura 10.31R.

11. CIRCUITE DE ALIMENTARE

BREVIAR

● Redresoare

● Parametrii cei mai importanți ai unui redresor sint :

- tensiunea redresată pe sarcină, U_0 ;
- curentul redresat în sarcină, I_0 ;
- factorul de ondulație, $\gamma = \frac{U_1}{U_0}$ (U_1 reprezintă amplitudinea componentei alternative maxime) ;

- randamentul redresării, $\eta = \frac{P_u}{P_a}$, unde :

$P_u = U_0 I_0$ este puterea utilă de curent continuu ;

- P_a — puterea dată de transformator elementelor redresoare și rezistenței de sarcină, în care în afară de puterea utilă P_u se dezvoltă și o putere de c.a. datorită undulațiilor tensiunii redresate.

● Schema unui redresor monoalternanță fără filtru este prezentată în figura 1, a, iar în figura 1, b este prezentată variația tensiunii pe rezistența de sarcină :

$$\begin{cases} u = \frac{R_s}{R_s + R_1} e_2 & \text{pentru } e_2 > 0 ; \\ u = 0 & \text{pentru } e_2 < 0. \end{cases} \quad (1)$$

Rezistența R_s reprezintă rezistența totală de limitare $R_s = R_1 + r_2 + r_1 \left(\frac{n_2}{n_1} \right)^2$, unde R_1 este rezistența internă a dispozitivului de redresare.

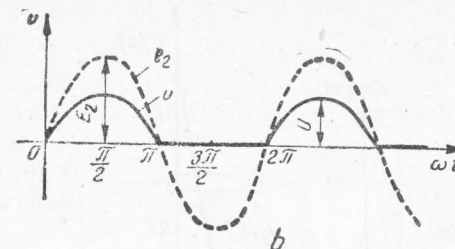
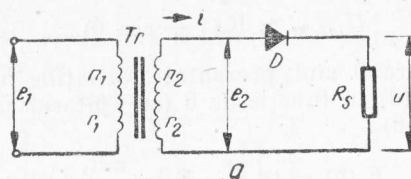


Fig. 1

Pentru această schemă se obține

$$\begin{aligned} U_0 &= \frac{U}{\pi} = \frac{R_s}{\pi(R_s + R_t)} E_2; \\ I_0 &= \frac{E_2}{\pi(R_s + R_t)}; \\ \gamma &= \frac{\pi}{2}; \end{aligned} \quad (2)$$

$U_{inv M} = E_2$ ($U_{inv M}$ este tensiunea inversă maximă).

● Pentru îmbunătățirea performanțelor redresorului, în paralel cu rezistența de sarcină R_s , se conectează un condensator de capacitate C (fig. 2).

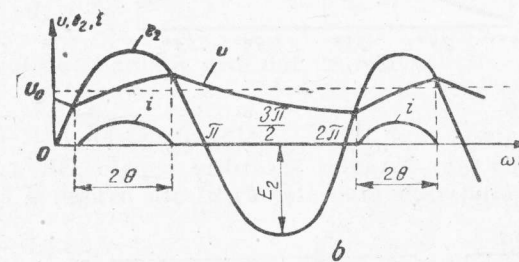
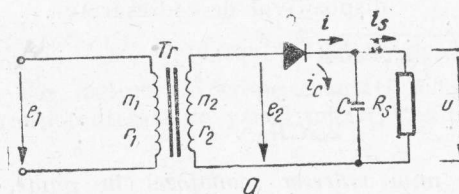


Fig. 2

Pentru această schemă se obține:

$$\begin{aligned} U_0 &\cong E_2 \cos \theta; \\ I_0 &= \frac{E_2}{\pi R_t} (\sin \theta - \theta \cos \theta); \end{aligned} \quad (3)$$

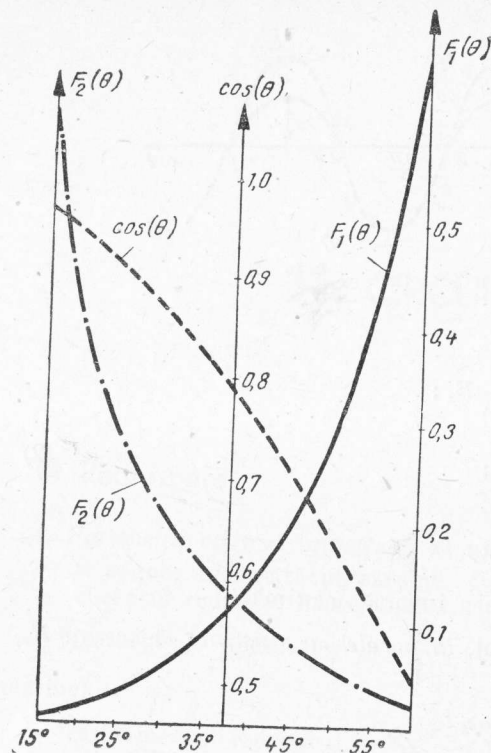


Fig. 3

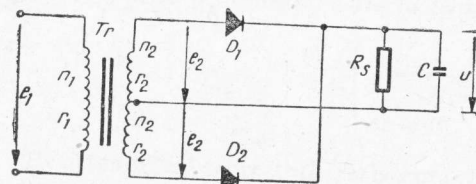


Fig. 4

$$\gamma \cong \frac{\pi - \theta}{\omega C R_s};$$

$$U_{inv M} \cong E_2(1 + \cos \theta).$$

În figura 3 sînt prezentate variațiile funcțiilor $F_1(\theta)$ și $F_2(\theta)$ în funcție de θ (cu ajutorul cărora se determină θ):

$$\begin{aligned} F_1(\theta) &= \operatorname{tg} \theta - \theta = \frac{\pi R_t}{R_s}; \\ F_2(\theta) &= \frac{\pi(1 - \cos \theta)}{\sin \theta - \theta \cos \theta}. \end{aligned} \quad (4)$$

• Schema unui redresor monofazat cu filtru, cu intrare pe condensator, care realizează redresarea ambelor alternanțe, este prezentată în figura 4. Mărimile caracteristice ale acestui redresor sînt:

$$F_1(\theta) = \operatorname{tg} \theta - \theta = \frac{\pi R_t}{2R_s};$$

$$U_0 \cong E_2 \cos \theta;$$

$$I_0 = \frac{U_0}{R_s};$$

$$I'_0 = \frac{U_0}{2R_s} (I'_0 - \text{valoarea medie a curentului prin dispozitivul de redresare});$$

$$U_{inv M} \cong E_2(1 + \cos \theta);$$

$$\gamma = \frac{\pi - 2\theta}{2\omega C R_s}.$$

• În cazul unui redresor monofazat în punte, rezistența totală de limitare este $R_t = 2R_t + r_2 + \left(\frac{n_2}{n_1}\right)^2 r_1$, iar tensiunea inversă aplicată fiecărei diode este de două ori mai mică decît în schema cu priză mediană pentru aceeași valoare a tensiunii redresate.

● În figura 5 este prezentată *schema unui filtru LC*. Tensiunea continuă la ieșirea din filtru este dată de relația

$$U'_0 = \frac{R_s}{R_s + R_L} U_0, \quad (6)$$

în care R_L reprezintă rezistența de pierderi a bobinei filtrului, iar U_0 — tensiunea continuă la intrarea în filtru.

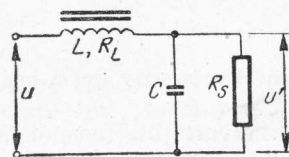


Fig. 5

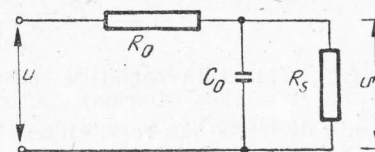


Fig. 6

● În cazul unui redresor dublă alternanță cu filtru LC, dacă sint îndeplinite condițiile $R_L \ll \ll 2\omega L$ și $R_s \gg \frac{1}{2\omega C}$ (ω reprezentînd pulsația corespunzătoare frecvenței f a tensiunii de alimentare a redresorului) factorul de ondulație la ieșirea din filtru este dat de relația

$$\gamma' = - \frac{\gamma}{4\omega^2 LC - 1}, \quad (7)$$

în care $\gamma = \frac{2}{3} \left(1 + \frac{R_t}{R_s + R_L} \right)$ reprezintă factorul de ondulație la intrarea în filtru.

○ Notă. În general, pentru funcționarea normală a unui redresor cu filtru LC, dacă se presupune $R_s \gg R_L$, trebuie îndeplinită condiția $\omega L \geq \frac{R_s}{3}$.

● În cazul unui filtru LC cu n secțiuni, factorul de ondulație este dat de relația

$$\gamma' \cong \frac{\gamma}{(4\omega^2 L_1 C_1 - 1)(4\omega^2 L_2 C_2 - 1) \dots (4\omega^2 L_n C_n - 1)}. \quad (8)$$

● În figura 6 este prezentată *schema unui filtru RC*, care se utilizează în cazul unor curenți redresați de valori mici. Tensiunea continuă la ieșirea din filtru este dată de relația :

$$U'_0 = \frac{R_s}{R_s + R_0} U_0. \quad (9)$$

● Pentru un redresor dublă alternanță cu filtru RC, factorul de ondulație este dat de relația :

$$\gamma' \cong \frac{\gamma}{2\omega C_0 R_0}, \quad (10)$$

în care ω reprezintă pulsația corespunzătoare frecvenței f a tensiunii alternative aplicate la intrarea redresorului.

● Stabilizatoare de tensiune

● *Parametrii importanți ai stabilizatorului de tensiune* sînt :

— factorul de stabilizare, care se referă la variațiile tensiunii de la ieșirea stabilizatorului datorate variațiilor tensiunii de la intrarea sa, menținîndu-se constant consumul de curent :

$$F = \frac{\Delta U_i / U_i}{\Delta U_e / U_e} \Big|_{I = ct}, \quad (11)$$

unde ΔU_i și ΔU_e reprezintă variațiile tensiunilor de la intrarea și respectiv de la ieșirea stabilizatorului ;

— rezistența de ieșire sau rezistența internă, care se referă la variațiile tensiunii de ieșire datorate variațiilor curentului absorbit de consumator :

$$R_i = \frac{\Delta U_e}{\Delta I} \Big|_{U_i = ct}, \quad (12)$$

— undulațiile tensiunii de ieșire ;

— coeficientul de stabilizare cu temperatura :

$$k_T = \frac{\Delta U_e}{U_e} \cdot \frac{100}{\Delta T} [\%], \quad (13)$$

unde ΔT reprezintă variația temperaturii.

● *Stabilizatoarele parametrice* utilizează proprietățile de stabilizare ale unui element nelinear (tub stabilovolt, diodă Zener).

● *Stabilizatoarele cu reacție* compară tensiunea de la ieșire cu o tensiune fixă furnizată de un element de referință ; diferența dintre cele două tensiuni este folosită pentru a comanda un element care reglează tensiunea la ieșire.

După modul de alcătuire a schemei, stabilizatoarele cu reacție pot fi cu *element de reglare serie* sau *derivație*.

● În cazul unui *stabilizator parametric cu diodă Zener* (fig. 7) se verifică dacă dioda aleasă este corespunzătoare, folosind relațiile

$$B = \frac{I_{sM} + I_{ZM}}{I_{sm} + I_{ZM}},$$

$$E = \left(1 - \frac{\beta}{100}\right) - \left(1 + \frac{\alpha}{100}\right) B, \quad (14)$$

unde :

I_{sM} este curentul maxim prin rezistența de sarcină R_s ;
 I_{sm} — curentul minim prin rezistența de sarcină R_s ;
 I_{ZM} — curentul maxim prin dioda Zener ;

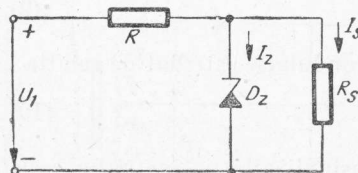


Fig. 7.

I_{ZM} — curentul minim prin dioda Zener;
 α și β — sînt variațiile (pozitive și negative) ale tensiunii de rețea.
 Dacă $E > 0$ dioda este bine aleasă; dacă $E < 0$, I_{ZM} este prea mic.
 Rezistența de limitare R se determină cu ajutorul relației:

$$R = \frac{U_1 \left(1 + \frac{\alpha}{100} \right) - U_Z}{I_{sm} + I_{ZM}} \quad (15)$$

● Schema bloc a unui stabilizator cu tranzistoare este prezentată în figura 8. Datele inițiale de proiectare sînt: tensiunea în sarcină U_s ; I_{sM} și I_{sm} (curenții maxim și minim absorbiți de sarcină); α și β — variațiile tensiunii de rețea; R_r — rezistența internă a redresorului; temperatura maximă a mediului ambiant.

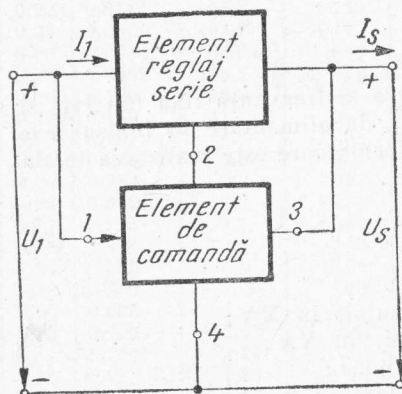


Fig. 8

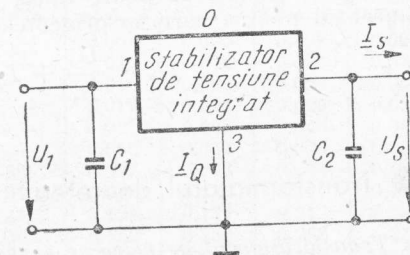


Fig. 9

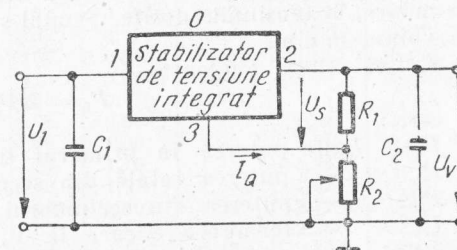


Fig. 10

● Actualmente se folosesc din ce în ce mai des stabilizatoare de tensiune și de curent integrate, care au avantajul că sînt compacte, au protecție termică și protecție la supracurent. În figura 9 este prezentată schema bloc a unui astfel de dispozitiv realizat pentru o tensiune fixă de ieșire U_s . Un astfel de dispozitiv poate fi folosit și pentru o tensiune variabilă de ieșire ($U_v \geq U_s$), ca în figura 10.

Expresia tensiunii de ieșire variabile este

$$U_v = U_s \left[1 + \frac{R_2}{R_1} \right] + I_Q R_2 \quad (16)$$

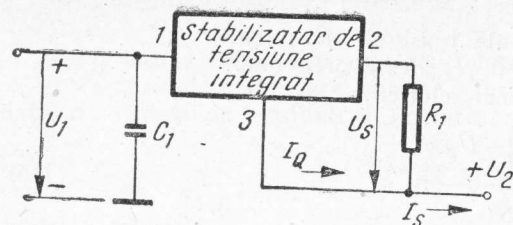


Fig. 11

unde I_Q este curentul propriu absorbit de stabilizatorul integrat. Pentru o bună funcționare se alege

$$\frac{U_s}{R_1} > 3I_Q. \quad (17)$$

În aceste condiții, domeniul de reglaj al tensiunii U_v este caracterizat prin coeficientul de reglaj, adică

$$\frac{U_{vM}}{U_{vm}} \approx \frac{R_1 + R_2}{R_1}. \quad (18)$$

Același dispozitiv se poate folosi și ca stabilizator de curent (fig. 11). Curentul pentru care se proiectează dispozitivul este

$$I_s = \frac{U_s}{R_1} + I_Q \approx \frac{U_s}{R_1} \leq I_{sM} \text{ (dat în catalog)}. \quad (19)$$

● Transformatorul de rețea

● Transformatorul de rețea se caracterizează prin funcționare la frecvență fixă (50 Hz) și prin aceea că redă puterea extrasă de la rețeaua alternativă de alimentare în înfășurările secundare, la tensiunile dorite. Scopul studiului acestor transformatoare este realizarea lor la un volum minim.

Există relația evidentă

$$P_2 = \sum P_2^{(i)} = \sum U_{2ef}^{(i)} I_{2ef}^{(i)} = \eta_T P_1, \quad (20)$$

în care :

- P_1 este puterea în primarul transformatorului, în VA ;
- P_2 — puterea totală din secundarele transformatorului, în VA ;
- $P_2^{(i)}$ — puterea din secundarul i al transformatorului, în VA ;
- $U_{2ef}^{(i)}$ — tensiunea eficace în V, la bornele secundarului i ;
- $I_{2ef}^{(i)}$ — curentul eficace în A, prin înfășurarea secundară i ;
- η_T — randamentul transformatorului ($\eta_T = 0,8 \dots 0,95$).

● Diametrul conductorului din cupru utilizat la realizarea unei înfășurări trebuie să satisfacă inegalitatea

$$d \geq 1,3 \sqrt{\frac{I}{J}}, \quad (21)$$

în care :

- d este diametrul sîrmei, în mm ;
- I — curentul maxim prin înfășurare, în A ;
- J — densitatea de curent admisă, în A/mm²,

În general $J = 2 \dots 3 \text{ A/mm}^2$. Este utilă folosirea tabelului 11.1 care are la bază relația (21).

Tabelul 11.1

Date privind conductoarele din cupru pentru înfășurările transformatoarelor și bobinelor de șoc cu miez de fier

Diametrul conductorului neizolat (mm)	Secțiunea conductorului neizolat (mm ²)	Rezistența a 100 m conductor la 20° C (Ω)	Numărul de spire de conductor înfășurat strâns pe 1 cm ² de fereastră, izolamentul fiind					Curentul admisibil la o încărcare de			
			email (sp/cm ²)	1 × mătase (sp/cm ²)	2 × mătase (sp/cm ²)	1 × bumbac (sp/cm ²)	2 × bumbac (sp/cm ²)	2 A/mm ² (A)	2,5 A/mm ² (A)	3 A/mm ² (A)	4 A/mm ² (A)
0,05	0,00196	929	18 030	10 000	5 300	—	—	0,004	0,005	0,006	0,008
0,08	0,00502	363	8 200	5 700	3 520	—	—	0,010	0,013	0,015	0,021
0,10	0,00785	224	5 700	4 250	2 800	2 070	—	0,016	0,020	0,024	0,031
0,12	0,00950	185	4 000	3 520	2 280	1 720	—	0,019	0,024	0,029	0,038
0,15	0,0154	114	2 800	2 400	1 720	1 360	—	0,031	0,038	0,046	0,062
0,18	0,0255	68,8	2 070	1 800	1 360	1 100	—	0,050	0,064	0,076	0,102
0,20	0,0314	55,8	1 720	1 530	1 180	940	665	0,063	0,078	0,094	0,126
0,25	0,0491	35,7	1 140	1 020	835	700	515	0,098	0,123	0,147	0,196
0,30	0,0708	24,08	810	740	630	540	413	0,122	0,177	0,212	0,288
0,35	0,0962	18,2	592	567	493	395	302	0,192	0,240	0,288	0,385
0,40	0,126	13,9	470	450	395	325	245	0,252	0,315	0,380	0,504
0,45	0,159	11	368	360	323	269	210	0,318	0,400	0,480	0,636
0,50	0,197	8,9	308	304	274	231	182	0,394	0,490	0,590	0,788
0,55	0,238	7,3	255	250	226	195	157	0,476	0,590	0,710	0,952
0,60	0,284	6,2	217	217	194	172	134	0,568	0,710	0,850	1,136
0,65	0,332	5,3	183	185	166	159	118	0,664	0,830	1,00	1,328
0,70	0,385	4,5	164	166	148	134	108	0,770	0,960	1,15	1,540
0,75	0,442	4	140	143	129	118	96	0,884	1,105	1,33	1,768
0,80	0,503	3,5	125	128	117	108	88	1,00	1,26	1,51	2,012
0,85	0,580	3,08	106	113	104	96	79	1,16	1,45	1,74	2,32
0,90	0,636	2,76	101	103	95	88	73	1,27	1,59	1,91	2,54
0,95	0,702	2,47	90	92	86	79	66	1,40	1,76	2,11	2,81
1	0,785	2,24	83	85	79	73	62	1,57	1,96	2,36	3,14
1,1	0,95	1,88	69	70	64	62	53	1,90	2,40	2,85	3,80
1,2	1,13	1,55	58	59	55	53	46,5	2,26	2,82	3,40	4,52
1,3	1,33	1,32	50,5	51	48	46,5	41	2,66	3,32	4,00	5,32
1,4	1,54	1,13	44,5	45	42	41	36	3,28	3,85	4,60	6,16
1,5	1,78	0,98	39	39,5	37	36	32	3,50	4,45	5,34	7,12

● Inducția în miez nu trebuie să depășească valoarea maxim acceptată B_M (la tole fier-siliciu se consideră $B_M = 0,6 \dots 1,2 \text{ T}$), pentru a nu distorsiona forma de undă. Există relația

$$n_v = \frac{1}{4,44/BS_f}, \quad (22)$$

în care :

n_p — este numărul de spire pe volt (sp/V) ;

f — frecvența de lucru, în Hz ;

B — inducția în miez, în T ;

S_f — secțiunea netă a miezului, în m².

În vederea compensării pierderilor, numărul de spire pe volt se ia în primar cu 5—10% mai mic, iar în secundar — cu același procent mai mare față de n_p calculat cu relația (22) pentru $B = B_M$.

● *Miezul transformatorului*, realizat cu tole standardizate de tip E și I, are configurația din figura 12, în care grosimea pachetului de tole poate fi schimbată.

În tabelul 11.2 sînt prezentate cîteva date referitoare la tolele standardizate de tip E și I.

Tabelul 11.2

Tole standardizate tip E și I

Tipul tolei	a (mm)	Greutatea (g)*			
		Tola E		Tola I	
		1	2	1	2
E 5	5	1,20	1,76	0,40	0,57
E 6,4	6,4	2,07	3,04	0,66	0,97
E 8	8	3,08	4,53	1,03	1,59
E 10	10	4,95	7,10	1,61	2,36
E 12,5	12,5	7,28	10,70	2,52	3,70
E 14	14	9,40	13,00	3,16	4,63
E 16	16	12,40	18,00	4,14	6,21
E 18	18	15,60	23,00	5,20	7,60
E 20	20	24,30	28,30	6,40	9,40
E 25	25	30,00	44,00	10,50	14,50
E 32	32	50,00	73,00	16,50	23,60

* Coloana 1 corespunde tolelor cu grosimea de 0,35 mm, iar coloana 2 — tolelor de 0,5 mm.

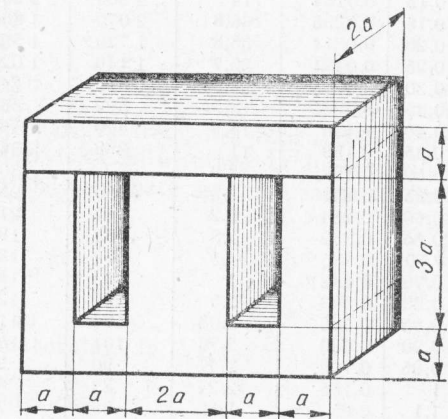


Fig. 12

○ **Observație.** Pentru a nu alege la întâmplare tola necesară realizării unui transformator, se poate utiliza relația de condiție

$$S_f \geq 10^{-3} \sqrt{\frac{P_1}{f}}. \quad (23)$$

ENUNȚURI

● Redresoare

11.1. O diodă idealizată prezintă o caracteristică $i = f(u)$ ca în figura 11.1. Considerându-se aplicată o tensiune $u(t) = U_0 \sin \omega_0 t$ cu $U_0 = 1$ V, să se reprezinte forma curentului $i(t)$ prin diodă.

11.2. O punte de redresare ideală prezintă o caracteristică $i = f(u)$ ca în figura 11.2. Să se reprezinte forma curentului i prin diodă, dacă $u(t) = U_0 \sin \omega_0 t$ și $U_0 = 1$ V.

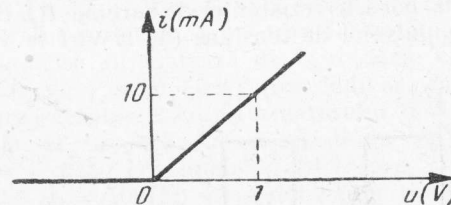


Fig. 11.1

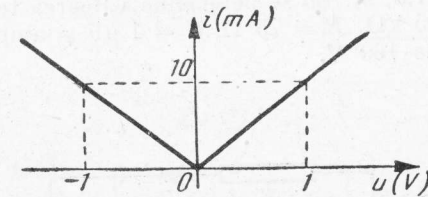


Fig. 11.2

11.3(R). Se consideră schema de redresare prezentată în figura 11.3. Să se reprezinte variația curentului prin rezistența de sarcină R_s . De asemenea, să se determine în acest caz valorile maxime și medii al curentului prin sarcină, tensiunea inversă maximă. (Se presupune amplitudinea tensiunii din secundar $E_2 > e_0$.) Caz particular; $E_2 = 10$ V; $e_0 = 6$ V; $R_t + R_s = 1 \Omega$.

11.4(R). Un redresor monoalternanță cu o sarcină rezistivă de $3 \text{ k}\Omega$, folosește o diodă semiconductoare a cărei caracteristică statică se poate aproxima printr-o dreaptă care trece prin origine, avînd panta $S = 2 \text{ mA/V}$. Știindu-se că alimentarea se face de la o rețea de curent alternativ de $220 \text{ V}/50 \text{ Hz}$, iar transformatorul are $n = 2$, $r_1 = 10 \Omega$ și $r_2 = 25 \Omega$, să se determine valoarea tensiunii continue U_0 la bornele rezistenței de sarcină, precum și valoarea maximă a curentului prin diodă.

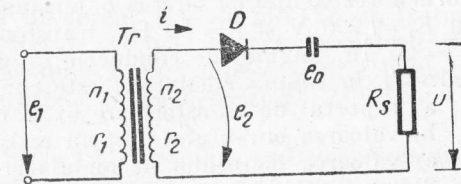


Fig. 11.3

11.5(R). Un redresor monoalternanță cu sarcină rezistivă de 500Ω folosește ca element redresor un gazotron, care are o cădere de tensiune de 12 V în timpul conducerii. Știindu-se că redresorul este alimentat de la o rețea de c.a. 220 V , valoarea unghiului de conducție $2\theta = 170^\circ$, ar înfășurările transformatorului au $r_1 = 10 \Omega$ și $r_2 = 20 \Omega$, să se determine:

a) raportul de transformare al transformatorului de rețea;

- b) valoarea tensiunii continue la bornele rezistenței de sarcină, dacă gazotronul are $R_i \cong 12 \Omega$;
 c) tensiunea inversă maximă.

11.6. Redresorul prezentat în figura 11.3 are o rezistență de sarcină $R_s = 1 \text{ k}\Omega$ la bornele căreia se obține o tensiune $U_0 = 50 \text{ V}$. Cunoscându-se $R_i = 100 \Omega$, semiunghiul de conducție $\theta = \frac{\pi}{2}$, $e_0 = 5 \text{ V}$, $E_1 = 220 \text{ V}$, să se determine valoarea raportului de transformare al transformatorului considerat fără pierderi.

11.7(R). Să se demonstreze că în cazul unui redresor monofazat monoalternanță, fără filtru, cu sarcină rezistivă, randamentul ideal al redresării are o valoare constantă.

11.8. În schema de redresare prezentată în figura 11.8, a sursa de tensiune alternativă furnizează impulsuri dreptunghiulare cu perioada de $0,5 \text{ ms}$ și coeficientul de umplere $0,5$ (fig. 11.8, b). Să se determine valoarea tensiunii U_0 la bornele rezistenței de sarcină R_s , dacă $R_s = 5 \text{ k}\Omega$, $R = 75 \Omega$, $C = 1 \mu\text{F}$ și amplitudinea impulsului de tensiune (de la vîrf la vîrf) este de 160 V .

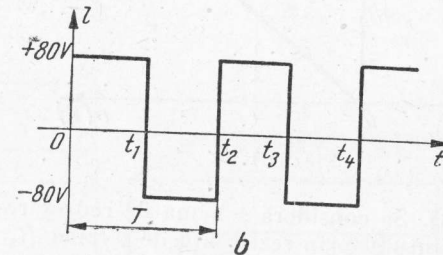
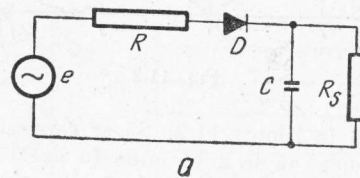


Fig. 11.8

11.9(R). Un redresor monoalternanță cu intrarea pe condensator trebuie să furnizeze la bornele rezistenței de sarcină o tensiune $U_0 = 200 \text{ V}$. Alimentarea se realizează de la o rețea cu $E_1 = 220 \text{ V}$ și $f = 50 \text{ Hz}$, transformatorul fiind considerat fără pierderi. Cunoscându-se $C = 25 \mu\text{F}$, unghiul de conducție a curentului $2\theta = 120^\circ$ și știind că rezistența elementului redresor în timpul conducției este constantă și are valoarea de 300Ω , să se determine:

- a) raportul de transformare al transformatorului;
 b) valoarea curentului I_0 prin rezistența de sarcină R_s ;
 c) valoarea factorului de ondulație;
 d) tensiunea inversă maximă.

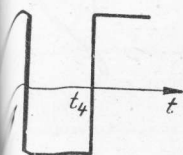
11.10. Pentru un redresor monoalternanță cu intrare pe condensator se cunosc următoarele date: $E_1 = 220 \text{ V}$; $f = 50 \text{ Hz}$; $r_1 = 15 \Omega$; $r_2 = 15 \Omega$; $R_i = 50 \Omega$; $n = 1$; $R_s = 2 \text{ k}\Omega$ și $C = 100 \mu\text{F}$. Se cere să se determine valoarea tensiunii continue redresate, curentul continuu în rezistența de sarcină tensiunea inversă maximă și valoarea factorului de ondulație.

11.11 Să se arate că randamentul ideal al unui redresor dublă alternanță, fără filtru, cu sarcină rezistivă, are o valoare constantă, nedepinzînd de valorile rezistenței de sarcină și a tensiunii de alimentare.

ă gazotronul are $R_i \cong$

înă $R_s = 1 \text{ k}\Omega$ la bor-
2, semiunghiul de con-
ortului de transformare

t monoalternanță, fără
loare constantă.
e tensiune alternativă
cientul de umplere 0,5
tei de sarcină R_s , dacă
une (de la vîrf la vîrf)



trebuie să furnizeze la
alizează de la o rețea
pierderi. Cunoscîndu-se
rezistența elementului
 Ω , să se determine :

Se cunosc următoarele
 $n = 1$; $R_s = 2 \text{ k}\Omega$
dresate, curentul con-
ectorului de ondulație.
nanță, fără filtru, cu
tenței de sarcină și a

11.12(R). Un redresor în punte furnizează pe o rezistență de sarcină de $2,5 \text{ k}\Omega$, o tensiune continuă 150 V . Considerîndu-se că transformatorul de alimentare are $r_1 = 5 \Omega$, $r_2 = 16 \Omega$ și $n = 1,5$, iar alimentarea se face de la o rețea ce are $E_1 = 220 \text{ V}$, $f = 50 \text{ Hz}$, să se determine rezistența internă a elementelor redresoare.

11.13(R). Se consideră schema de redresare în punte prezentată în figura 11.13. Cunoscîndu-se $E_2 = 24 \text{ V}$, $f = 50 \text{ Hz}$, $C = 25 \mu\text{F}$, $R_s = 2 \text{ k}\Omega$, $n = 2$, $r_1 = 2,5 \Omega$, $r_2 = 10 \Omega$, $R_i = 100 \Omega$, să se determine valoarea medie a curentului în rezistența de sarcină R_s și valoarea factorului de ondulație.

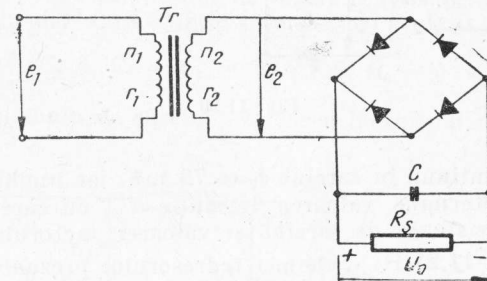


Fig. 11.13

11.14. Un redresor dublă alternanță fără filtru, cu sarcină rezistivă și cu transformator cu priză mediană se alimentează de la o rețea cu $E_1 = 220 \text{ V}$; $f = 50 \text{ Hz}$. Cunoscîndu-se că pentru fiecare secțiune a transformatorului $n = 2$; $r_1 = 2,5 \Omega$; $r_2 = 3 \Omega$, că rezistența de sarcină $R_s = 4 \text{ k}\Omega$, iar diodele redresoare prezintă în timpul conducerii o rezistență constantă $R_i = 100 \Omega$, să se determine tensiunea continuă la bornele rezistenței de sarcină, tensiunea inversă maximă și valoarea factorului de ondulație.

11.15. Pentru redresorul prezentat în problema 11.14 curentul continuu prin rezistența de sarcină este I_0 . Să se determine valoarea maximă a curentului prin rezistența de sarcină.

11.16(R). În paralel cu rezistența de sarcină a redresorului prezentat în problema 11.14 se conectează un condensator de capacitate $C = 25 \mu\text{F}$. Să se determine în aceste condiții tensiunea continuă la bornele rezistenței de sarcină, valoarea factorului de ondulație și tensiunea inversă maximă.

11.17(R). Un redresor dublă alternanță cu filtru LC trebuie să furnizeze la bornele rezistenței de sarcină o tensiune continuă $U'_0 = 100 \text{ V}$ la un curent $I_0 = 40 \text{ mA}$, cu un factor de ondulație $\gamma' \leq 5\%$. Să se determine valoarea rezistenței de sarcină, valoarea inductivității L și a capacității C , precum și valoarea maximă admisibilă a rezistenței proprii a bobinei astfel încît căderea de tensiune continuă la bornele acestuia să nu depășească 2% din valoarea tensiunii U_0 .

11.18. Se consideră un redresor dublă alternanță cu filtru LC , tensiunea pe fiecare secțiune a secundarului transformatorului fiind $e_2 = 110 \sin 314t$. Elementele redresoare precum și transformatorul se consideră ideale. Inductivitatea $L = 6 \text{ H}$ ($R_L = 0$); capacitatea $C = 10 \mu\text{F}$, iar rezistența de sarcină $R_s = 1,2 \text{ k}\Omega$. Să se determine tensiunea continuă U'_0 și curentul I_0 , factorul de ondulație și valoarea maximă a curentului prin diodă.

11.19(R). Datele unei scheme de redresare dublă alternanță cu filtru LC sînt următoarele: $e_1 = 220 \sin 314t$; $n = n_2/n_1 = 1,2$ (pentru fiecare secțiune a secundarului transformatorului de alimentare); $r_1 = 10 \Omega$; $r_2 = 12 \Omega$; $R_i = 100 \Omega$; $L = 5 \text{ H}$; $R_L = 150 \Omega$, $R_s = 1,2 \text{ k}\Omega$ și $C = 8 \mu\text{F}$. Să se determine:

a) tensiunea și curentul continuu redresat;

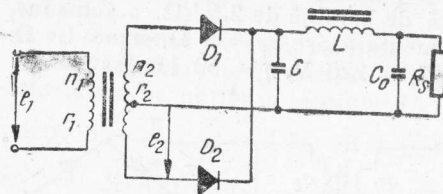


Fig. 11.20

b) factorul de ondulație al tensiunii la ieșirea din filtru ;

c) amplitudinea tensiunii alternative de frecvența cea mai joasă la ieșirea din filtru.

11.20(R). Elementele schemei unui redresor dublă alternanță cu filtru π (fig. 11.20) au următoarele valori : $C_0 = 10 \mu\text{F}$; $C = 25 \mu\text{F}$; $L = 6 \text{ H}$; $R_L = 200 \Omega$; transformatorul se consideră fără pierderi, cu $n = \frac{n_2}{n_1} = 3$; $R_i = 100 \Omega$; valoarea curentului

continuu în sarcină $I_0 = 75 \text{ mA}$, iar unghiul de deschidere al curentului este $2\theta = 90^\circ$. Să se determine valoarea tensiunii E_2 , cu care se alimentează redresorul, tensiunea continuă pe rezistența de sarcină și valoarea factorului de ondulație.

11.21(R). Schemei redresorului prezentat în figura 11.20 i se mai adaugă un filtru $R_1 C_1$ (fig. 11.21) cu $R_1 = 200 \Omega$ și $C_1 = 10 \mu\text{F}$. Să se determine valoarea tensiunii redresate pe rezistența de sarcină și valoarea factorului de ondulație.

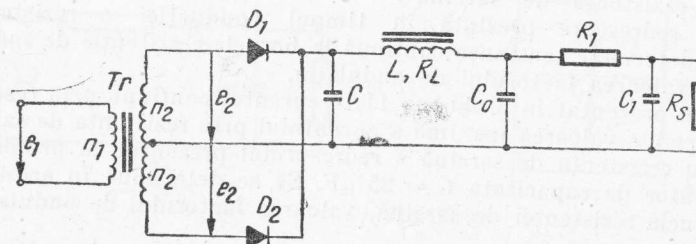


Fig. 11.21

11.22. Factorul de ondulație al tensiunii redresate la ieșirea unui filtru LC este γ_L' . Se înlocuiește bobina cu o rezistență R care are valoarea egală cu reactanța prezentată de bobină la frecvența tensiunii de alimentare. Să se determine valoarea noului factor de ondulație γ_R în funcție de valoarea vechiului factor γ_L' .

11.23(R). Se consideră un redresor în punte, a cărei schemă este prezentată în figura 11.23. Cunosându-se $e_1 = 220 \sin 314 t$; $n = \frac{n_2}{n_1} = 2$; $r_1 = 5 \Omega$; $r_2 = 10 \Omega$; $R_i = 250 \Omega$; $R_s =$

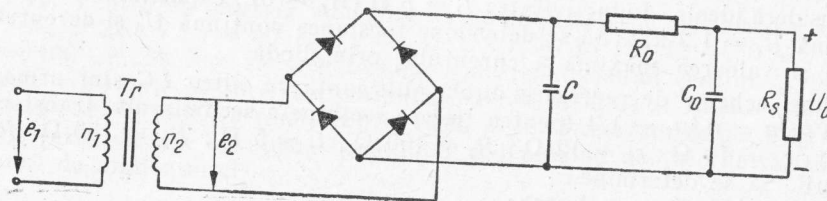
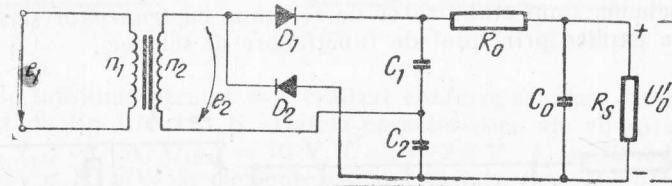


Fig. 11.23

$= 2,5 \text{ k}\Omega$; $C = C_0 = 25 \text{ }\mu\text{F}$; $R_0 = 1 \text{ k}\Omega$, să se determine tensiunea continuă redresată și valoarea factorului de ondulație.

11.24. În figura 11.24 este prezentată schema unui redresor dublor de tensiune cu sarcină rezistivă și filtru RC. Să se explice funcționarea schemei. Cunoscându-se $e_1 = 220 \sin 314t$; $n = \frac{n_2}{n_1} = 2$; $r_1 = 4 \text{ }\Omega$; $r_2 = 8 \text{ }\Omega$; $R_i = 100 \text{ }\Omega$; $C_1 = C_2 = C_0 = 25 \text{ }\mu\text{F}$; $R_0 = 1 \text{ k}\Omega$ și $R_s = 10 \text{ k}\Omega$, să se determine curentul I_0 prin rezistența de sarcină, valoarea factorului de ondulație și tensiunea inversă maximă admisibilă.

Fig. 11.24



○ Stabilizatoare de tensiune

11.25(R). O schemă de stabilizator cu o diodă Zener cu rezistență de balast este prezentată în figura 11.25. Dioda Zener utilizată are următoarele date funcționale: valoarea maximă a curentului prin diodă $I_{ZM} = 20 \text{ mA}$; valoarea minimă a curentului prin diodă $I_{ZM} = 3 \text{ mA}$; puterea disipată maxim admisibilă $P_{dZ} = 200 \text{ mW}$; $R_Z = 8 \text{ }\Omega$. Știindu-se că $U_1 = 24 \text{ V} \pm 10\%$ și $R = 400 \text{ }\Omega$, să se determine valorile maxime și minime ale curentului prin sarcină, precum și variația tensiunii la bornele sarcinii.

11.26. Pentru stabilizatorul cu rezistență de balast prezentat în figura 11.25 să se arate că rezistența R trebuie să îndeplinească condiția $R_m < R < R_M$, unde:

$$R_m = \frac{U_{1M} - U_Z - R_Z \cdot I_{ZM}}{I_{ZM} \left(1 + \frac{R_Z}{R_{sm}} \right) + \frac{U_Z}{R_{sm}}};$$

$$R_M = \frac{U_{1m} - U_Z - R_Z \cdot I_{Zm}}{I_{Zm} \left(1 + \frac{R_Z}{R_{sm}} \right) + \frac{U_Z}{R_{sm}}}.$$

11.27(R). Să se calculeze elementele unui stabilizator cu rezistență de balast cu diodă Zener cunoscându-se $U_s = 9 \text{ V}$; $I_{sM} = 50 \text{ mA}$; $I_{sm} = 20 \text{ mA}$; variațiile tensiunii redresorului sint $\pm 15\%$.

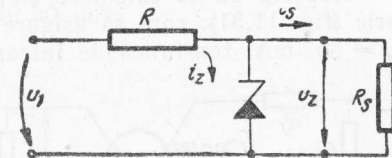


Fig. 11.25

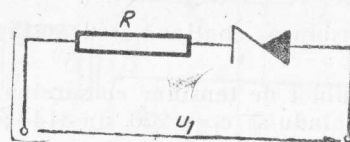


Fig. 11.28

11.28. Se consideră schema de stabilizare a tensiunii prezentată în figura 11.28, în care dioda Zener are următoarele date de funcționare: $R_Z = 10 \Omega$; $P_{dZ} = 350 \text{ mW}$; $U_Z = 9 \text{ V}$. Tensiunea care se aplică este $U_1 = 12 \text{ V} \pm 10\%$. Să se calculeze valoarea minimă necesară pentru rezistența R pentru ca dioda să nu se distrugă.

11.29. Schema unui stabilizator de tensiune cu tranzistor în paralel este prezentată în figura 11.29. Să se explice principiul de funcționare al schemei.

11.30. Schema unui stabilizator de tensiune cu tranzistor serie este prezentată în figura 11.30. Să se explice principiul de funcționare al schemei.

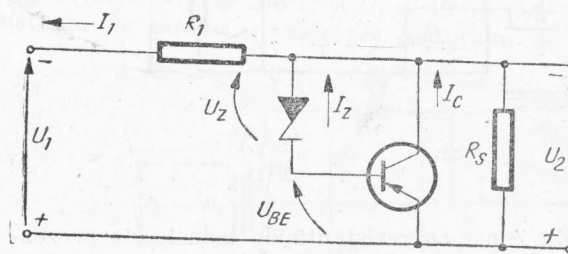


Fig. 11.29

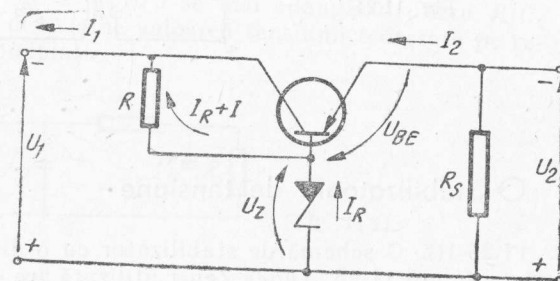


Fig. 11.30

11.31(R). Să se calculeze elementele unui stabilizator de tensiune cu două tranzistoare serie (fig. 11.31), care să asigure la ieșire o tensiune de 10 V , pentru un curent de sarcină $I_s = 35 \text{ mA}$, tensiunea de intrare modificându-se între 27 V și 34 V .

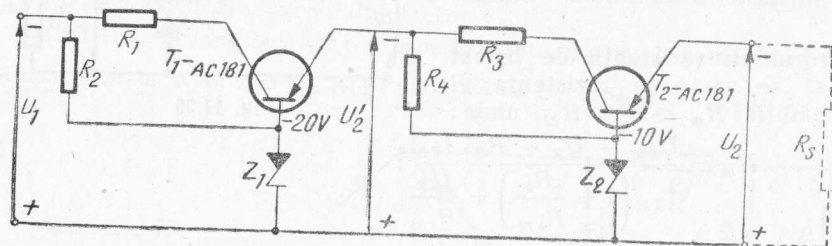


Fig. 11.31

11.32(R). Să se explice principiul de funcționare al stabilizatorului cu amplificator de eroare, a cărui schemă este prezentată în figura 11.32.

11.33(R). Să se proiecteze un stabilizator cu diodă Zener (fig. 7) care să dea o tensiune în sarcină $U_s = 9 \text{ V}$, la un curent maxim $I_{sm} = 45 \text{ mA}$ și $I_{sm} = 20 \text{ mA}$. Variațiile tensiunii de rețea sînt $\alpha = 15\%$, $\beta = 20\%$, iar rezistența redresorului $R_r = 15 \Omega$.

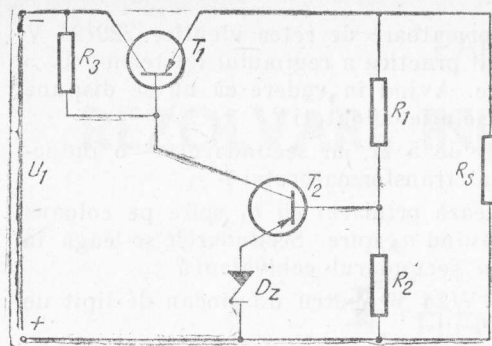


Fig. 11.32

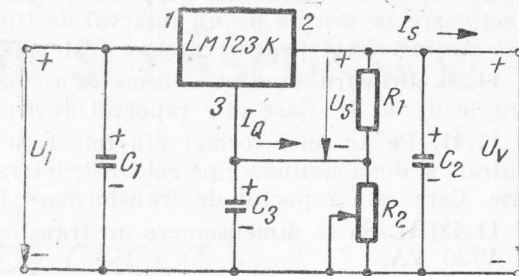


Fig. 11.34

11.34. Un stabilizator de tensiune integrat este realizat conform schemei din figura 11.34, folosind un circuit integrat de tip LM 123 K. Datele caracteristice ale circuitului integrat LM 123 K sînt: $U_s = 5 \text{ V}$, $I_{sM} = 3 \text{ A}$, $U_{12M} = 10 \text{ V}$, $U_{12m} = 2,5 \text{ V}$, $I_Q = 12 \text{ mA}$, ΔU (pentru un interval lung de timp) $\leq 35 \text{ mV}$, iar elementele schemei sînt: $C_1 = 2,2 \mu\text{F}$, $C_2 = 1 \mu\text{F}$, $C_3 = 25 \mu\text{F}$, $R_1 = 100 \Omega$, $R_{2M} = 100 \Omega$. Să se explice rolul condensatoarelor C_1 , C_2 , C_3 și să se determine domeniul de reglaj al tensiunii U_v și tensiunea de alimentare U_1 .

11.35. Să se calculeze schema unui stabilizator de tensiune integrat realizată conform schemei din figura 11.34. Se cere ca $\frac{U_{vM}}{U_{vm}} = 1,5$, $U_{vm} = 8 \text{ V}$, $I_{sM} = 1 \text{ A}$.

11.36. Să se calculeze un stabilizator de curent pentru încărcarea acumuloarelor de la radiotelefoane portabile IEMI știind că ansamblul de acumuloare are tensiunea $U_2 = 12 \text{ V}$, iar curentul de încărcare constant trebuie să fie de 50 mA .

● Transformatorul de rețea

11.37. Miezul unui transformator, realizat cu tole E și I, are caracteristicile geometrice din figura 12. Să se determine relația dintre secțiunea minimă necesară a miezului și puterea P_1 în primarul transformatorului la frecvența f . Se admite o densitate de curent $J = 2 \text{ A/mm}^2$, inducția maximă în miez $B_M = 0,6 \text{ T}$ și se consideră că la o secțiune de cupru corespunzătoare bobinajului este necesară o fereastră de suprafață dublă.

11.38(R). Să se determine parametrul a (în cm) pentru miezul cu configurația din figura 12, la un transformator de rețea care absoarbe o putere P_1 (VA), avînd în vedere relația de condiție (23).

11.39. S-au realizat pentru o instalație două transformatoare de rețea identice 220/24 V pentru o putere de 200 VA. Se pune problema verificării practice a regimului lor termic la o funcționare în sarcină pe un interval de timp de 24 ore. Avînd în vedere că nu se dispune încă de instalația pentru care au fost construite, ce soluție adoptați?

11.40. Primarul unui transformator are o inductivitate de 5 H, iar secundarul — o inductivitate de 45 H. Care este raportul de transformare al transformatorului?

11.41. Pe un miez format din tole E și I se bobinează primarul cu n_1 spire pe coloana centrală și două secundare pe coloanele laterale, fiecare avînd n_2 spire. Secundarele se leagă în serie. Care este raportul de transformare în raport cu secundarul echivalent?

11.42(R). Să se dimensioneze un transformator 220 V/24 V pentru un ciocan de lipit de 24 V/30 VA.

11.43. Să se dimensioneze transformatorul de rețea necesar alimentatorului stabilizat al unui radioreceptor tranzistorizat. Se cunosc: tensiunea din primar egală cu 220 V, tensiunea din secundar egală cu 10 V și curentul absorbit din secundar egal cu 300 mA.

PARTEA A DOUA

REZOLVĂRI, INDICAȚII ȘI RĂSPUNSURI

1. ELEMENTE DE CIRCUIT

● Rezistoare

$$1.1. R = \rho \frac{l}{s}; \rho_{Cu} \cong 1,7 \cdot 10^{-8} \Omega m;$$

$$R = 16,23 \Omega.$$

$$1.2. R = \rho \frac{l_{con\alpha}}{\pi d^2}; l_{con\alpha} \cong \pi D n \quad (n = \text{numărul de spire}); n = \frac{l}{d} \quad (l = \text{lungimea înfășu-}$$

rării); $R = 4\rho \frac{D}{d^3} l$. Rezultă $l = \frac{1}{4\rho} \cdot \frac{d^3}{D} \cdot R$; pentru manga-

nină $\rho_{manganin\alpha} = 48 \cdot 10^{-8} \Omega m$ și $l \cong 521 R \frac{d^3}{D}$ [mm] (d — diame-

trul conductorului în mm, D — diametrul carcasei în mm).
 $l \cong 141$ mm.

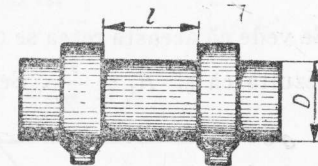


Fig. 1.2R

$$1.3. R_{Cu} = \rho_{Cu} \frac{l_{Cu}}{s_{Cu}}; R_{Al} = \rho_{Al} \frac{l_{Al}}{s_{Al}}. \text{ Deoarece } R_{Cu} = R_{Al}, s_{Cu} = s_{Al}, \text{ rezultă } \frac{\rho_{Cu}}{\rho_{Al}} = \frac{l_{Al}}{l_{Cu}} \text{ sau}$$

$$l_{Al} = l_{Cu} \frac{\rho_{Cu}}{\rho_{Al}}; l_{Al} \cong 1,215 \text{ m.}$$

$$1.4. R = 4\rho \frac{Dl}{d^3} = 192 \frac{Dl}{d^3} 10^{-8} \Omega; R = 71,1 \Omega; n = \frac{l}{d}; n \cong 333 \text{ spire.}$$

$$1.5. \Delta t = t - t_0 = \frac{l}{\alpha_p} \cdot \frac{R_t - R_0}{R_0}; \text{ pentru cupru } \alpha_p = 3,9 \cdot 10^{-3} \text{ grad}^{-1}; \Delta t = 51,3^\circ C \Rightarrow t = 71,3^\circ C;$$

$$1.6. \Delta t = t_2 - t_1 = \frac{1}{\alpha_p} \cdot \frac{R_2 - R_1}{R_1}; \Delta t = 12,8^\circ \text{C}.$$

$$1.7. R = \frac{U_{Rs}}{I} = \frac{12 \text{ V}}{0,12 \text{ A}} = 100 \Omega; l = R \frac{s}{\rho};$$

$$\text{Cum } \rho_{\text{manganin}} = 48 \cdot 10^{-8} \Omega \text{m} \Rightarrow l \cong 6,5 \text{ m}.$$

$$1.8. R_s = 500 \Omega; P = 0,032 \text{ W}.$$

$$1.9. \text{Curentul prin rezistența ciocanului de lipit } I \cong 0,625 \text{ A}; R_s = 160 \Omega; P = 62,5 \text{ W}.$$

$$1.10. \text{Pentru cupru coeficientul de temperatură al rezistivității este } \alpha_p = 3,9 \cdot 10^{-3} \text{ grad}^{-1}, \text{ iar coeficientul de dilatație liniară } \alpha = 1,7 \cdot 10^{-5} \text{ grad}^{-1};$$

$$P \cong \frac{E^2}{R_0[1 + \alpha_p(t - t_0)][1 - \alpha(t - t_0)]} \cong \frac{E^2}{R_0} [1 - \alpha_p(t - t_0)] \cdot [1 + \alpha(t - t_0)] = 0,961 \text{ W}.$$

$$1.11. \text{Dacă se neglijează prima secțiune } \left(\frac{1}{2} \Omega\right), \text{ se obține rețeaua din figura 1.11R, a.}$$

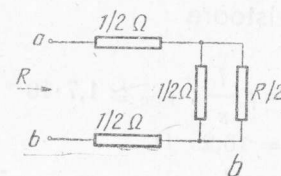
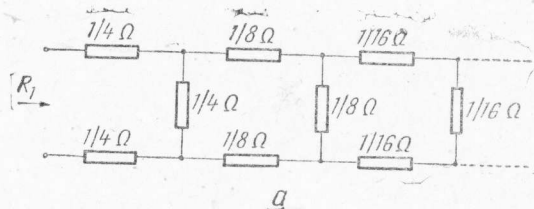


Fig. 1.11R

Se vede că această rețea se obține din prima înmulțindu-se rezistențele acestora cu factorul $1/2$; rezultă că și $R_1 = \frac{R}{2}$. Se obține în acest fel rețeaua din figura 1.11R, b, din care rezultă

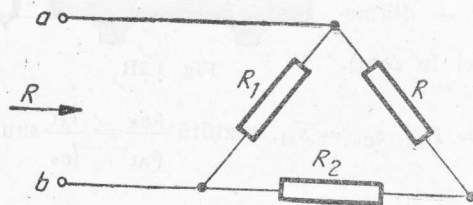


Fig. 1.12R

$$R = 1 + \frac{\frac{R}{4}}{\frac{R}{4} + 1}; R = 1,28 \Omega.$$

1.12. Rețeaua fiind infinit de lungă, se poate considera că rezistențele R_1 și R_2 se pot îndepărta fără ca valoarea rezistenței R să se modifice, obținându-se în acest fel schema echivalentă din figura 1.12R.

$$R = \frac{(R + R_2) R_1}{R_1 + R_2 + R}.$$

Rezultă $R = 0,618 \Omega$.

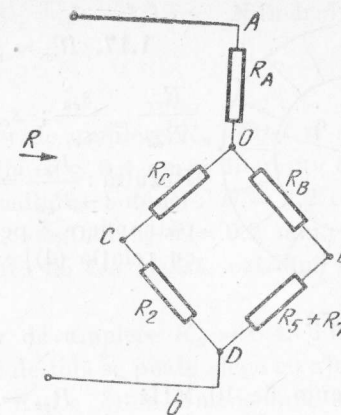
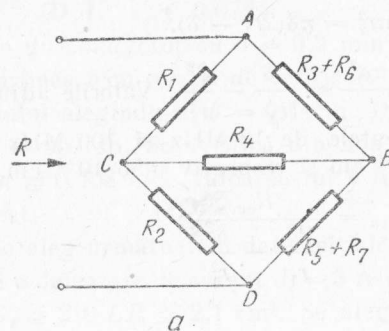


Fig. 1.13R

1.13. Se transformă schema prezentată în figura 1.13 în cea din figura 1.13R, a, iar pe urmă în cea din figura 1.13R, b.

Folosindu-se formulele de transformare triunghi-stea, se obține:

$$R_A = \frac{R_1(R_3 + R_6)}{R_1 + R_3 + R_4 + R_6}; R_A = 375 \Omega;$$

$$R_B = \frac{R_4(R_3 + R_6)}{R_1 + R_3 + R_4 + R_6}; R_B = 375 \Omega;$$

$$R_C = \frac{R_1 R_4}{R_1 + R_3 + R_4 + R_6}; R_C = 312,5 \Omega.$$

Rezultă

$$R = R_A + \frac{(R_C + R_2)(R_B + R_5 + R_7)}{R_C + R_2 + R_B + R_5 + R_7}; R = 692,3 \Omega;$$

$$I = \frac{E}{R_i + R}; I = 28,5 \text{ mA}.$$

1.14. În acest caz, pentru nodul a, este valabil relația $\sum I = 0$, deci

$$\frac{E - U_1}{R_3} + \frac{2E - U_1}{R_3} + \frac{3E - U_1}{R_1} + \frac{2E - U_1}{R_2} + \frac{E - U_1}{R_2} - \frac{U_1}{R_1} = 0.$$

Rezultă: $U_1 = 3 \text{ V}$.

1.15. Conducătorul plin, deoarece perimetrul acestuia este mai mic decât perimetrul conductorului tubular.

$$1.16. z = \frac{\delta}{3}; \frac{I_0}{I_z} = e^{1/3}; I_0 \cong 1,4 \text{ mA}.$$

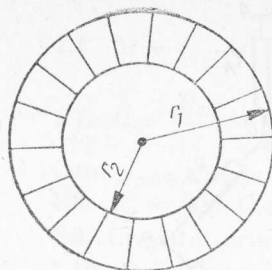


Fig. 1.17R

1.17. $R_{cc} = \rho \frac{l}{\pi r_1^2}$; $R_{cc} = 0,108 \Omega$ pentru $\rho_{Cu} = 1,7 \cdot 10^{-8} \Omega m$;

$$\frac{R_{cc}}{R_{ca}} = \frac{s_{ca}}{s_{cc}}; s_{ca} = \pi r_1^2 - \pi r_2^2 = \pi \delta (2r_1 - \delta).$$

Rezultă: $\frac{R_{cc}}{R_{ca}} = \frac{2\pi \delta r_1 - \pi \delta^2}{\pi r_1^2} = \frac{2\delta}{r_1} - \frac{\delta^2}{r_1^2}$. Valorile adâncimilor de pătrundere δ pentru frecvențele de 10 MHz și 100 MHz [calculate cu relația (4)] sînt $2,1 \cdot 10^{-3} \text{ cm}$ și respectiv $6,56 \cdot 10^{-4} \text{ cm}$.

$$R_{ca} = \frac{R_{cc}}{\frac{2\delta}{r_1} - \frac{\delta^2}{r_1^2}};$$

Pentru frecvența de 10 MHz: $R_{ca} = 2,6 \Omega$,

Pentru frecvența de 100 MHz: $R_{ca} = 8,26 \Omega$.

1.18. $R_{cc} = \rho \frac{l}{s^2}$; $R_{cc} = 0,54 \Omega$; $\frac{R_{cc}}{R_{ca}} \cong \frac{2\delta}{r_1}$ [a se vedea problema 1.17].

Rezultă $\delta \cong 2,7 \cdot 10^{-5} \text{ m}$, iar din relația (4)

$$f = \frac{503,3^2 \rho}{\delta^2 \mu_r}; \text{ se obține } f \cong 5,9 \text{ MHz.}$$

● Bobine

1.19. $L = 0,00987 k \frac{n^2 D^2}{l}$; $l = nd = 10 \text{ cm}$; $k = 0,85$ (din tabela 1.2 pentru $\frac{D}{l} = 0,4$). Rezultă: $L = 537 \mu H$.

1.20. În acest caz $l = 200(0,5 + 0,5) = 20 \text{ cm}$ și $\frac{D}{l} = 0,2$; din tabela 1.2 se obține $k = 0,92$. Rezultă $L = 291 \mu H$.

1.21. $M \cong 19 \mu H$.

1.22. Inductivitatea necesară este:

$$L = \frac{1}{4\pi^2 f_{min}^2 C_{max}} \cong 2,25 \text{ mH.}$$

Valoarea inductivității fiind mare, se alege o bobină „fagure” cu mai multe straturi [relația (7)]. Se alege o carcasă cu următoarele dimensiuni: $D_c = 0,8 \text{ cm}$; $a = 0,6 \text{ cm}$; $b =$

$r = 0,5$ cm. Diametrul mediu al bobinei este: $D = D_e + b = 1,3$ cm. Numărul de spire al bobinei: $n = \frac{1}{D} \sqrt{\frac{L(3D + 9a + 10b)}{0,079}} = 491$ spire.

Se alege un conductor cu $d = 0,2$ mm și un factor de umplere $K_u = 0,7$ și se calculează din nou mărimea b cu relația de verificare (8); se obține $b \cong 0,4$ cm și diferența fiind mare se reface calculul alegându-se $b = 0,4$ cm. Diametrul mediu al bobinei: $D = 1,2$ cm; numărul de spire $n = 507$ sp. Se verifică din nou mărimea b , alegându-se $d = 0,2$ mm, $K_u = 0,65$ și se obține $n \cong 0,408$ cm. Valoarea lui b fiind apropiată de cea aleasă, calculul se poate considera corect.

1.23. Se aleg următoarele date inițiale: un factor de umplere $K_u = 0,4$, o inducție $B = 0,4$ T și o densitate de curent $J = 3$ A/mm². Tipul de tolă se poate alege cu ajutorul relației (11): $S_f \cdot S_F \cong 210 LI_0^2 \cong 2,1$ cm⁴. Se alege o tolă tip E (fig. 3) cu dimensiunile $a = 0,64$ cm; $b = 1,28$ cm; $c = 1,92$ cm, $l = 3,84$ cm; $f = 2,56$ cm. Grosimea pachetului de tole g se alege, de obicei, egală sau puțin mai mare decât dimensiunea $2a$ a tolei. Se alege $g = 1,28$ cm. Rezultă: $S_f = bg = 1,64$ cm²; $S_F = ac \cong 1,23$ cm²; $l_f = l + 2f - a = 8,32$ cm; $l_e = 2(2a + b + g) = 7,68$ cm.

Volumul corespunzător fierului va fi: $V = S_f l_f = 13,64$ cm³. Rezultă: $\frac{LI_0^2}{V} = 7,33 \cdot 10^{-4}$ W/cm³.

Din diagrama prezentată în figura 4 se obține $\alpha = 20 \cdot 10^{-4}$; $B = 0,6$ T; $n \frac{I_0}{l_f} = 16 \frac{\text{A} \cdot \text{sp}}{\text{cm}}$. Rezultă $n = 2\,662$ sp., iar întrefierul optim $l_a = \alpha l_f = 0,166$ mm.

Densitatea de curent necesară J_{nec} se poate determina din relația $J_{nec} = \frac{LI_0^2}{K_u B S_f S_F} 10^2 \cong \cong 2,07$ A/mm².

Diametrul necesar pentru conductor $d = 1,13 \sqrt{\frac{I_0}{J_{nec}}} = 0,175$ mm. Se alege un conductor cu diametrul de 0,18 mm. Rezistența în curent continuu a bobinei este dată de relația (13): $R = 139 \Omega$. Căderea de tensiune la bornele bobinei este $U_0 = RI_0 = 6,95$ V < 10 V.

1.24. Inductivitatea bobinei ecranate se poate determina cu ajutorul relațiilor (15), (16). Se obține $L_e = 46,4$ μH.

1.25. $L = \mu_{ef} L_0 = 360$ μH.

1.26. $\sqrt{r^2 + \omega^2 L^2} = \frac{U}{I}$; rezultă $L \cong 1,903$ H. Dacă se neglijează r , se obține $L' \cong$

$\cong 1,909$ H. Eroarea metodei de măsurare $\varepsilon = \left| \frac{\Delta L}{L} \right| \cong 0,3\%$.

1.27. $i_L = I \left(1 - e^{-\frac{R}{L}t} \right)$; $\frac{i_L}{I} = 0,5$; rezultă $t \cong 2,77$ ms.

1.28. $t = 2$ ms.

1.29. Nu modifică inductivitatea.

1.30. Condiția este $R^2 + \omega^2 L^2 \cong \omega^2 L^2 = \frac{U^2}{I^2}$; deci $Q = \frac{\omega L}{R} \gg 1$. Eroarea este dată de relația $\varepsilon = \frac{1}{\sqrt{1 - \frac{1}{Q^2}}} - 1$; pentru $Q = 10$ rezultă $\varepsilon \cong 0,5\%$.

1.31. Din relația (17) rezultă, pentru 60 dB, $\frac{H_0}{H} = 10^3$. Pentru $f = 10$ MHz, $\delta = 2,1 \cdot 10^{-3}$ cm (vezi problema 1.17); $\frac{H_0}{H} = e^{\frac{z}{\delta}}$, de unde rezultă că $z \geq 14,5 \cdot 10^{-3}$ cm.

● Condensatoare

1.32. $C = 4,782$ pF.

1.33. $C = 0,884 \frac{\varepsilon_r S(n-1)}{d}$; $C_M \cong 137$ pF.

1.34(R). $P_d = \frac{U_{ef}^2}{R_p} = U_{ef}^2 \omega^2 C^2 R_s = U_{ef}^2 \omega C \operatorname{tg} \delta$. Rezultă $\operatorname{tg} \delta = 2,1\%$.

1.35. Intensitatea curentului prin rezistența ciocanului este $I = \frac{75}{120} = 0,625$ A. Tensiunea la bornele condensatorului adițional este $U_c = \sqrt{220^2 - 120^2} = 184$ V. Rezultă $X_c = \frac{U_c}{I} = 294,4 \Omega$ și $C = \frac{1}{2\pi f X_c} = 10,8 \mu\text{F}$. Se alege un condensator nepolarizat de $10 \mu\text{F}/200$ V.

1.36. Se observă că datorită sursei de tensiune u_1 în serie cu rezistența R_1 schema este echivalentă cu cea reprezentată în figura 1.36R.

$$\left| \frac{U_2}{U_1} \right| = \sqrt{\frac{1 + \omega^2 R_1^2 C_1^2}{1 + \omega^2 R_1^2 (C_1 + C_2)^2}}.$$

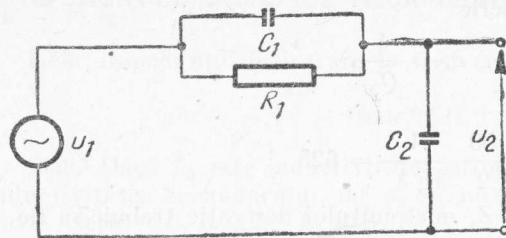


Fig. 1.36R

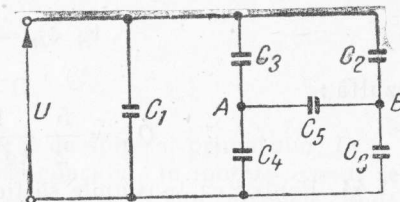


Fig. 1.37R

1.37. Schema din figura 1.37 poate fi reprezentată ca în figura 1.37R. Deoarece toate condensatoarele au capacități egale, potențialele în punctele A și B sînt egale, condensatorul C_5 nu se încarcă și nu influențează asupra capacității totale. Rezultă :

$$C_e = C_1 + \frac{C_3 C_4}{C_3 + C_4} + \frac{C_2 C_6}{C_2 + C_6} = 2 \mu\text{F};$$

$$U_{C1} = 100 \text{ V}; U_{C2} = U_{C3} = U_{C4} = U_{C6} = 50 \text{ V}; U_{C5} = 0 \text{ V};$$

1.38. $\frac{1}{2\pi\sqrt{LC_{v1}}} = \frac{1}{2\pi\sqrt{L \frac{C_{v2}C_x}{C_{v2} + C_x}}}$. Rezultă :

$$C_x = \frac{C_{v1}C_{v2}}{C_{v2} - C_{v1}} \cong 333 \text{ pF};$$

1.39. $\frac{E}{2} = E(1 - e^{-t/\tau})$; $\tau = RC = 5 \mu\text{s}$; Rezultă $t \cong 3,5 \mu\text{s}$.

● Reactoare disipative

1.41. Pentru $f = 100 \text{ Hz}$: $L_p \cong 320 \text{ mH}$; $R_p \cong 5 \Omega$;
 pentru $f = 5 \text{ kHz}$: $L_p \cong 326 \mu\text{H}$; $R_p \cong 12,9 \Omega$.

1.42. $L_p \cong L_s = 300 \mu\text{H}$; $R_p = Q\omega L_p = 88,59 \text{ k}\Omega$.

1.43. Schema echivalentă a condensatorului variabil deschis este dată în figura 1.43R. Pentru suport

$$\text{tg } \delta_s = \frac{|X_{c\text{sup}}|}{R} = \frac{1}{\omega C_{\text{sup}} R}, \text{ iar pentru întreg ansamblul}$$

$$\text{tg } \delta_m = \frac{1}{\omega(C_{\text{sup}} + C_{\text{rez}})R} = \frac{\omega C_{\text{sup}} \text{tg } \delta_s}{\omega C_m} = \frac{C_{\text{sup}}}{C_m} \text{tg } \delta_s = \frac{1}{Q_m}.$$

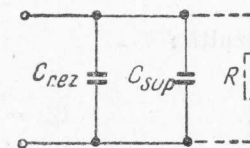


Fig. 1.43R

În cazul condensatorului variabil închis se poate scrie

$$\operatorname{tg} \delta_M = \frac{1}{\omega C_M R} = \frac{C_{sup}}{C_M} \operatorname{tg} \delta_s = \frac{1}{Q_M}.$$

Rezultă :

$$Q_m = \frac{5}{2} \frac{1}{\operatorname{tg} \delta_s} = 62,5; \quad Q_M = \frac{50}{2} \frac{1}{\operatorname{tg} \delta_s} = 625.$$

1.44. Pentru ca tensiunile să fie egale, impedanța \underline{Z} , a circuitului derivație trebuie să fie egală cu R :

$$\underline{Z} = \frac{(R_L + j\omega L) \left(R_C + \frac{1}{j\omega C} \right)}{R_L + R_C + j \left(\omega L - \frac{1}{\omega C} \right)} = R.$$

Pentru ca ultima egalitate să nu depindă de frecvență trebuie ca

$$\frac{R_L}{1} = \frac{L + R_L R_C C}{C(R_L + R_C)} = \frac{R_C}{1} = R, \text{ sau } R_L = R_C = \sqrt{\frac{L}{C}} = R.$$

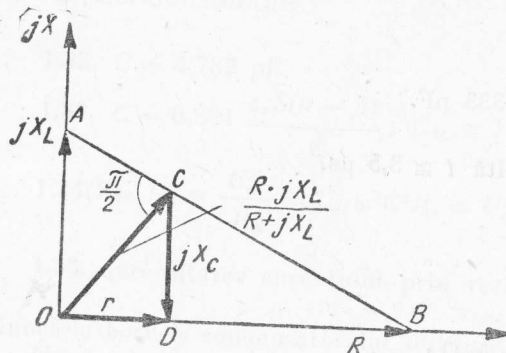


Fig. 1.45R

1.45. Se utilizează reprezentarea geometrică a impedanțelor (fig. 1.45R). Din asemănarea triunghiurilor OAB și BCD rezultă :

$$\left| \frac{X_C}{X_L} \right| = \frac{R - r}{R}.$$

$$1.46. \omega_0^2 = \frac{1}{LC}; \quad R = \sqrt{\frac{L}{C}}.$$

1.47. Tensiunea de zgomot, datorată agitației termice la bornele unei impedanțe $\underline{Z} = R + jX$ este

$E_{ef}^2 = 4kT \int_{f_1}^{f_2} R(f) df$, unde $k = 1,37 \cdot 10^{-23}$ J/K (constanta lui Boltzman), iar T este temperatura rezistenței, în K. În cazul problemei date

$$\underline{Z} = \frac{R}{1 + j\omega RC} = \frac{R}{1 + \omega^2 R^2 C^2} - j \frac{\omega CR^2}{1 + \omega^2 R^2 C^2};$$

Rezultă :

$$E_{ef}^2 = 4kTR \int_{f_1}^{f_2} \frac{df}{1 + 4\pi^2 f^2 R^2 C^2} = \frac{2kT}{\pi C} \operatorname{arctg} \frac{2\pi(f_2 - f_1)RC}{1 + 4\pi^2 f_1 f_2 C^2 R^2}.$$

Efectuându-se calculele se obține : $E_{ef} = 1,4 \mu V$.

● Transformatorul de audiofrecvență

1.48. Impedanța de intrare la frecvențe medii este

$$R_{intr} = r_1 + \frac{r_2 + R_s}{n^2} = 30\,550\ \Omega.$$

1.49. Dacă L_1 este inductivitatea primarului, n_1 — numărul de spire al primarului, L_2 — inductivitatea secundarului, iar n_2 — numărul de spire al secundarului, în ipoteza $\sigma = 0$ se poate scrie: $L_1 = \alpha n_1^2$, $L_2 = \alpha n_2^2$, $L' = \alpha(n_1 - n_2)^2$, $L'' = \alpha(n_1 + n_2)^2$. Din ultimele două relații: $\frac{n_2}{n_1} = 0,5$. Deoarece $L' = \alpha n_1^2 \left(1 - \frac{n_2}{n_1}\right)^2 = L_1 \left(1 - \frac{n_2}{n_1}\right)^2$, rezultă $L_1 = 16\text{ H}$ și $L_2 = 4\text{ H}$.

1.50. Impedanța de intrare între bornele 1, 2 este

$$Z_{12} = R_1 + R_2 = \left(\frac{n_1}{n_2}\right)^2 r; \text{ între bornele } 2, 3: Z_{23} = R_2 + R_3 = \left(\frac{n_1}{n_2}\right)^2 r, \text{ iar între bornele } 1, 3: Z_{13} = R_1 + R_3 = \left(\frac{2n_1}{n_2}\right)^2 r = 4\left(\frac{n_1}{n_2}\right)^2 r. \text{ Rezultă: } R_1 = R_3 = 2\left(\frac{n_1}{n_2}\right)^2 r; R_2 = -\left(\frac{n_1}{n_2}\right)^2 r.$$

1.51. Cu sarcină infinită $U_{20} = nE$, deci $n = 5$. Când sarcina este conectată: $U_2 = nE \frac{R_s/n^2}{R_t + R_s/n^2} = 1,43\text{ V}$.

1.52. Se notează cu indicele e suplimentar capacitatea echivalentă din primar (conform fig. 1.52R). Din echivalarea energetică se poate scrie:

$$\frac{C_{ee} U_1^2}{2} = \frac{C_e (1 \pm n)^2 U_1^2}{2},$$

$$\frac{C_{2e} U_1^2}{2} = \frac{C_2 n^2 U_1^2}{2}.$$

Rezultă: $C_{ee} = C_e (1 \pm n)^2$ și $C_{2e} = C_2 n^2$.

1.53. Se ține seama de rezultatul problemei 1.50.

1.54. Din schema echivalentă raportată la primar rezultă

$$P_2 = \frac{R}{n^2} \left(\frac{U_{1ef}}{R_{int} + \frac{R_s}{n^2}} \right)^2. \text{ Dacă } R_{int} = 0 \text{ se obține } n = 1,67, \text{ iar dacă } R_{int} = 600\ \Omega$$

rezultă $n = 10$ sau $n = 2$.

$$1.55. \text{ Se poate scrie: } U_2 = \frac{U_{20}}{\sqrt{1 + \left(\frac{f_j}{f}\right)^2}}, P_{s0} = \frac{U_{20}^2}{R_s} = 1\text{ W și } P_s = \frac{U_2^2}{R_s}.$$

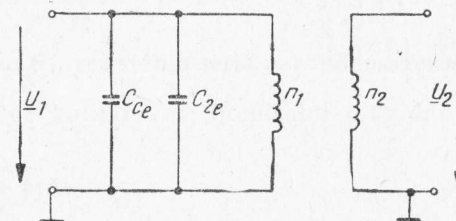


Fig. 1.52R

Condiția este : $10 \log \frac{P_{20}}{P_2} = 20 \log \frac{U_{20}}{U_2} = 6 \text{ deci}$

$$\frac{U_{20}}{U_2} = \sqrt{1 + \left(\frac{f_j}{f}\right)^2} = 2 \text{ și se obține } f = f_j / \sqrt{3} = 23,09 \text{ Hz.}$$

1.56. $L_1 = 10 \text{ H}$, $\sigma = 5 \cdot 10^{-3}$, $r_1 = 400 \text{ } \Omega$, $r_2 = 1800 \text{ } \Omega$,

1.57. $\left. \frac{U_2}{E} \right|_m = 0,534$; $f_j \cong 15 \text{ Hz}$; $f_s \cong 10 \text{ kHz}$.

2. CIRCUITE ACORDATE

● Circuitul acordat serie

2.1. $f_r = 639,18 \text{ kHz}$; $Q = 124,5$, $B_{3\text{dB}} = 5,13 \text{ kHz}$.

2.2. $Q = f_r/B_{3\text{dB}} = 50$; $L = QR/\omega_r = 79,58 \text{ } \mu\text{H}$; $C_0 = 1/\omega_r RQ = 318,31 \text{ pF}$.

2.3. $U_c = \frac{E}{R} \cdot \frac{1}{\omega_r C_0}$; $U'_c = \frac{E}{R + R'} \cdot \frac{1}{\omega_r C_0}$; $\frac{U_c}{U'_c} = \frac{R + R'}{R}$; $R = R'/3 = 33,3 \text{ } \Omega$.

2.4. Notînd cu R_L rezistența serie a bobinei și cu R_C rezistența serie a condensatorului, rezultă: $\frac{1}{Q_L} = \frac{R_L}{\omega_r L_0}$; $\frac{1}{Q_C} = R_C \omega_r C_0 = \frac{R_C}{\omega_r L_0}$. Factorul de calitate al circuitului este dat de relația $\frac{1}{Q} = \frac{R_L + R_C}{\omega_r L_0} = \frac{1}{Q_L} + \frac{1}{Q_C}$, ceea ce trebuia arătat.

2.5. $I = E/R = 100 \text{ mA}$; $U_c = \frac{E}{R} \sqrt{\frac{L_0}{C_0}} = 79,06 \text{ V}$.

2.6. Condiția este $\left| \frac{\beta - \tilde{\beta}}{\beta} \right| \leq \frac{\varepsilon}{100}$. Rezultă $|f - f_r| \leq \frac{2\varepsilon}{100 - \varepsilon} f_r$. Numeric $|f - f_r| \leq 100 \text{ kHz}$.

2.7. $Q = f_r/B_{3\text{dB}} = 50$; $R = 1/\omega_r C_0 Q = 7,96 \text{ } \Omega$; $x_1 = \frac{2(f_1 - f_r)}{f_r} Q = 2$; $x_2 = \frac{2(f_2 - f_r)}{f_r} Q = -2$; $Z(f_r) = R = 7,96 \text{ } \Omega$; $Z(f_1) = R(1 + jx_1) = (7,96 + j15,92) \text{ } \Omega$; $Z(f_2) = (7,96 - j15,92) \text{ } \Omega$. Curentul este $I = E/Z$; $I(f_r) = 62,83 \text{ mA}$; $I(f_1) = (12,56 - j25,13) \text{ mA}$; $I(f_2) =$

$$= (12,56 + j \ 25,13) \text{ mA. Tensiunea la bornele condensatorului } \underline{U}_c = \frac{f_r}{f} \cdot \frac{QE}{i(1+jx)} \cong$$

$$\cong -\frac{QE(x+j)}{1+x^2} : \underline{U}_c(f_r) = -j \ 25 \text{ V} ; \underline{U}_c(f_1) = -(10 + 5 j) \text{ V} ; \underline{U}_c(f_2) = (10 - 5 j) \text{ V} ;$$

$$U_c(f_r) = 25 \text{ V} ; U_c(f_1) = U_c(f_2) = 11,18 \text{ V} ;$$

$$2.8. R' = R = 7,96 \ \Omega.$$

$$2.9. Q = f_r/B_{3\text{dB}} = 100 ; R = 1/\omega_r CQ = 7,96 \ \Omega ; x = \frac{C - C_0}{C_0} Q = 2 ; \underline{Z} = R(1+jx) =$$

$$= (7,96 + j \ 15,92) \ \Omega.$$

$$2.10. R = \omega_r L/Q = 6,28 \ \Omega ; x = \frac{L - L_0}{L_0} Q = 5 ; I = \frac{E}{R} \cdot \frac{1-jx}{1+x^2} = (0,61 - j \ 3,06) \text{ mA} ;$$

$$I = 3,12 \text{ mA}.$$

$$2.11. \text{ Se pune condiția } \frac{1}{\sqrt{1+x^2}} = \frac{1}{2}, \text{ deoarece raportul } \frac{1}{2} \text{ corespunde atenuării de } 6 \text{ dB} ;$$

$$\text{Se obține } x = \sqrt{3} \text{ și deci } B_{6\text{dB}} = 2(f - f_r) = \sqrt{3}f_r/Q.$$

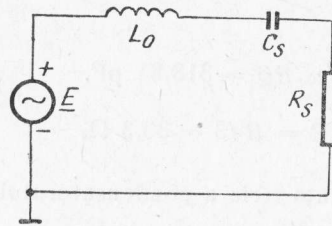


Fig. 2.13R

$$2.12. \omega = \frac{1}{\sqrt{2L_0C_0}} ;$$

$$2.13. \text{ Se transformă la frecvența de rezonanță } (f'_r) \text{ reactorul}$$

$$\text{disipativ derivație } (C_0, R) \text{ în reactorul disipativ serie } (C_s, R_s)$$

$$\text{pentru care : } C_s = C \left(1 + \frac{1}{Q^2}\right) ; Q = R\omega_r C_0. \text{ Rezultă } \omega'_r =$$

$$= \frac{1}{\sqrt{L_0C_s}} = \omega_r \frac{1}{\sqrt{1 + \frac{1}{Q^2}}}, \text{ unde } f_r = \frac{1}{2\pi\sqrt{L_0C_0}} = 500 \text{ kHz}$$

$$\text{și } f'_r/f_r = 0,9.$$

$$\text{Se obține : } C_0 = \frac{1}{2\pi R f_r \sqrt{1 - \left(\frac{f'_r}{f_r}\right)^2}} = 730 \text{ pF} ; L_0 = \frac{1}{\omega_r^2 C_0} = 138,8 \ \mu\text{H} ;$$

$$2.14. \text{ Frecvența de rezonanță este } f_r = \frac{1}{2\pi\sqrt{L_0C_0}} \cdot \frac{1}{\sqrt{1 + \frac{1}{Q_c^2}}} = 0,99 \text{ MHz, iar fac-}$$

$$\text{torul de calitate } Q = \frac{Q_L Q_c}{Q_L + Q_c} = 8,33. \text{ Tensiunea la bornele condensatorului pe frecvența de}$$

$$\text{rezonanță este : } U_c = QE \sqrt{1 + \frac{1}{Q_c^2}} = 8,37 \text{ V}.$$

2.15. Pentru $R_m = \infty$ se obține $f_r = \frac{1}{2\pi\sqrt{L_0C_0}} = 1,59 \text{ MHz}$, $Q = 125$, iar $U_c = QE = 250 \text{ V}$. Pentru $R_m = 10 \text{ k}\Omega$, $Q_c = \omega_r C_0 R \cong \omega_r C_0 R = 10$, noua frecvență de rezonanță $f'_r = f_r \frac{1}{\sqrt{1 + \frac{1}{Q_c^2}}} \cong f_r$, factorul de calitate echivalent $Q_e = \frac{QQ_c}{Q + Q_c} = 9,26$, iar $U_c = Q_e E \sqrt{1 + \frac{1}{Q_c^2}} = 18,6 \text{ V}$.

2.16. Se obține: $\frac{U_e}{E} (f_r = 470 \text{ kHz}) = \frac{R}{R + R_a} = 0,0287$, unde $R = \frac{\omega_r L}{Q} = 8,86 \Omega$, iar $\frac{U_e}{E} (f = 550 \text{ kHz}) = \frac{Z}{|Z + R_a|} = \frac{R\sqrt{1+x^2}}{\sqrt{(R+R_a)^2 + R^2x^2}} = 0,67$, unde $x = \left(\frac{f}{f_r} - \frac{f_r}{f}\right) Q = 31,57$. Raportul căutat este 0,0427.

2.17. Se obține $Q = 78,54$, $C_0 = 50,66 \text{ pF}$; $U_c = QE = 78,54$. În prezența capacității C_v circuitul se dezacordează: $x = \frac{C_v}{C_0} Q = 7,75$, iar $U'_c = \frac{QE}{\sqrt{1+x^2}} = 10,05 \text{ V}$. Dacă $R = 100 \text{ k}\Omega$,

$Q_c = \omega_r C_0 R = 63,66$ iar factorul de calitate echivalent $Q_e = \frac{QQ_c}{Q + Q_c} = 35,17$. Rezultă

$U''_c = Q_e E \sqrt{1 + \frac{1}{Q_c^2}} \cong Q_e E = 35,17 \text{ V}$. (Modificarea frecvenței de rezonanță datorită rezistenței R este neesențială deoarece $Q_c > 10$, după cum se vede din problema 2.15.)

2.18. $L_1 = 264 \mu\text{H}$, $C_1 = 88 \text{ pF}$ sau $L_2 = 286 \mu\text{H}$, $C_2 = 107 \text{ pF}$.

● Circuitul acordat derivație

2.19. $C_0 = \frac{1}{2\pi B_{3\text{dB}} R} = 318 \text{ pF}$; $L_0 = \frac{1}{\omega_r^2 C_0} = 79,7 \mu\text{H}$.

2.20. Reprezentăm circuitul ca în figură. Pentru rezistența echivalentă de pierderi se poate scrie: $\frac{1}{R} = \frac{1}{R_L} + \frac{1}{R_C}$, de unde

$$\begin{aligned} \frac{\omega_r L_0}{R} &= \frac{\omega_r L_0}{R_L} + \frac{\omega_r L_0}{R_C} \text{ sau } \frac{1}{Q} = \frac{1}{Q_L} + \frac{1}{Q_C} \text{ deoarece } \frac{\omega_r L_0}{R_C} = \\ &= \frac{1}{\omega_r C_0 R_C} = \frac{1}{Q_C}. \end{aligned}$$

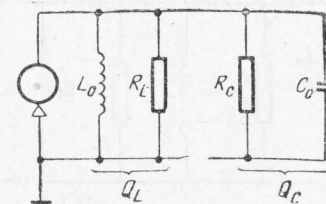


Fig. 2.20R

2.21. Trebuie realizat $Q = f_r/B_{3dB} = 50$. Rezistența R conectată în paralel cu circuitul trebuie să asigure numai ea un factor de calitate echivalent Q_R (vezi problema 2.20), astfel ca $\frac{1}{Q} = \frac{1}{Q_L} + \frac{1}{Q_R}$. Rezultă $Q_R = 100$ și $R = \omega_r L_0 Q_R = 36,9 \text{ k}\Omega$.

2.22. Tensiunea la bornele circuitului pe frecvența de rezonanță $U = I_0 R = 6,4 \text{ V}$. Cu frecvența generatorului modificată: $x = \frac{2(f - f_r)}{f_r} Q = 2R \sqrt{\frac{C_0}{L_0}} \cdot \frac{f - f_r}{f_r} = 8,096$ noua tensiune este $U' = \frac{I_0 R}{\sqrt{1 + x^2}} = 0,785 \text{ V}$. Rezultă atenuarea $20 \log \frac{U}{U'} = 18,23 \text{ dB}$.

2.23. În primul caz $U = I_0 \frac{Q}{\omega_r C_0} = 3,18 \text{ V}$. Dacă $C_v = 5 \text{ pF}$ circuitul se dezacordează: $x = \frac{C_v}{C_0} Q = 10$, iar noua tensiune este $U' = \frac{U}{\sqrt{1 + x^2}} = 0,316 \text{ V}$.

2.24. $C_p = \frac{C_1 - a^2 C_2}{a^2 - 1} = 10 \text{ pF}$.

2.25. Transformînd reactorul disipativ serie (L_s, r_s) în reactorul disipativ (L_0, R), la frecvența de rezonanță $L_0 = L_s \left(1 + \frac{1}{Q_L^2}\right)$. Frecvența de rezonanță este $f_r = \frac{1}{2\pi\sqrt{L_0 C_0}} \cong \frac{1}{2\pi\sqrt{L_s C_0}}$ pentru $Q_L > 10$, deoarece reactorul disipativ serie (L_s, r_s) și cel derivație (L_0, R) au același factor de calitate $Q = Q_L$. Impedanța la rezonanță este $Z = R = r_s(1 + Q_L^2) \cong r_s Q_L^2 = \frac{\omega_r^2 L_s^2}{r_s} = \frac{L_s}{C_0 r_s}$.

2.26. $f_r = \frac{1}{2\pi\sqrt{L_s C_0}} \cdot \frac{1}{\sqrt{1 + \frac{1}{Q_L^2}}}$; $Z = r_s(1 + Q_L^2)$.

2.27. $Z = r_L$.

2.28. $B_{6dB} = \sqrt{3} \frac{f_r}{Q}$.

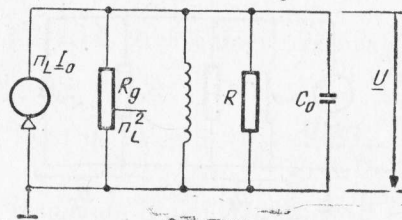


Fig. 2.30R

● Circuitul acordat derivație cu prize

2.30. Din schema echivalentă (fig. 2.30R) se determină pe frecvența de rezonanță tensiunea la bornele circuitului:

$$U = n_L I_0 \frac{1}{\frac{n_L^2}{R_g} + \frac{\omega_r C_0}{Q_0}}, \text{ avînd valoarea maximă pentru}$$

$$n_{L0} = \sqrt{\frac{\omega_r C_0 R_g}{Q_0}} = 0,355. \text{ Valoarea maximă a tensiunii este } U_0 = \frac{I_0 R_g}{2n_{L0}} = \frac{I_0}{2} \sqrt{\frac{R_g Q_0}{\omega_r C}} = 1,41 \text{ V.}$$

Factorul de calitate al circuitului este $Q = Q_0/2 = 50$ și deci $B_{3\text{ dB}} = \frac{f_r}{Q} = 20 \text{ kHz}$.

2.31. Dacă n_{L0} este coeficientul de priză optim (problema 2.30), atunci ; $Q = \frac{Q_0}{1 + \left(\frac{n_L}{n_{L0}}\right)^2}$;

$$U = n_L I_0 \frac{Q}{\omega_r C_r}. \text{ Pentru } n_L = 0,7 : Q = 20,46 ; B_{3\text{ dB}} = 48,88 \text{ kHz} ; U = 1,14 \text{ V. Pentru}$$

$$n_L = 1 : Q = 11,19 ; B_{3\text{ dB}} = 89,37 \text{ kHz, } U = 0,89 \text{ V.}$$

2.32. Factorul de calitate Q în sarcină rezultă din relațiile $\frac{1}{Q} = \frac{1}{Q_0} + \frac{n_C^2(C_1 + C_2)}{\omega_r C_1 C_2 R_S}$ și

$$n_C = \frac{C_2}{C_1 + C_2} = 0,5 ; Q = 33,45 ; B_{3\text{ dB}} = 298,95 \text{ kHz. Tensiunea la bornele circuitului este}$$

$$U = n_C I_0 \frac{Q(C_1 + C_2)}{\omega_r C_1 C_2} = 0,532 \text{ V.}$$

2.33. Se obține : $n_{C0} = \sqrt{\frac{R_g}{R}} = 0,5$, deci $C_1 = C_2$. Rezultă $U = n_{C0} I_0 \frac{R}{2} = 1,6 \text{ V}$. Notînd

$$Q_0 = \frac{R}{\omega_r L_0} = 101,9 \text{ se obține } Q = \frac{Q_0}{2} = 50,9 \text{ și } B_{3\text{ dB}} = \frac{f_r}{Q} = 9,82 \text{ kHz} ; B_{6\text{ dB}} = \sqrt{3} \frac{f_r}{Q} =$$

$$= 17 \text{ kHz} ; C_1 = C_2 = 2,026 \text{ nF.}$$

2.34. Se obțin : $n_C = \frac{C_2}{C_1 + C_2} = 0,5 ; n_L = \frac{n_1}{n_1 + n_2} = 0,5 ; \frac{1}{Q} = \frac{1}{Q_0} + \frac{(C_1 + C_2)n_C^2}{\omega_r C_1 C_2 R_S} \oplus$

$$+ \frac{(C_1 + C_2)n_L^2}{\omega_r C_1 C_2 R_g} \text{ deci } Q = 38,59. \text{ Tensiunea pe frecvența de rezonanță este } U_{S0} = n_L n_C \cdot$$

$$\cdot \frac{E}{R_g} \cdot \frac{Q(C_1 + C_2)}{\omega_r C_1 C_2} = 0,307 \text{ V. Dacă generatorul are frecvența de } 490 \text{ kHz, rezultă}$$

$$x = \frac{2(f_g - f_r)}{f_r} Q = 1,54 \text{ și tensiunea } U_S = \frac{U_{S0}}{\sqrt{1 + x^2}} = 0,167 \text{ V.}$$

2.35. $n_L = \frac{n_1}{n_1 + n_2} = \sqrt{\frac{R_g}{R_e}}; \frac{1}{R_e} = \frac{n_C^2}{R_s} = \frac{\omega_r C_1}{2Q}; R_e = 17,73 \text{ k}\Omega; n_r = 0,75; n_1 = 150 \text{ spire}; n_2 = 50 \text{ spire}.$

2.36. Din relația $\frac{1}{Q} = \frac{1}{Q_0} + \frac{n_L}{\omega_r C_a R_g} + \frac{n_C}{\omega_r C_g R_s}$ rezultă condiția: $\frac{n_L}{R_g} + \frac{n_C}{R_s} = \omega_r C_a$
 $\left(\frac{1}{Q} - \frac{1}{Q_0}\right) = 8,8 \cdot 10^{-5}$, unde s-a avut în vedere $Q = \frac{f_r}{B_{3\text{dB}}} = 30$.

Tensiunea pe sarcină este $U_S = n_S n_L I_0 \frac{Q}{\omega_r C_g}$ avînd valoarea maximă odată cu produsul $n_S n_L$ sau, ceea ce este același lucru, odată cu produsul $\frac{n_L}{R_g} \cdot \frac{n_C}{R_s}$. Deoarece produsul a două cantități este maxim, suma fiind impusă, atunci cînd cele două cantități sînt egale, rezultă condiția: $\frac{n_L^2}{R_g} = \frac{n_C^2}{R_s}$. Se determină $n_L = 0,47; n_C = 0,16; C_1 = \frac{C_a}{n_C} = 6,25 \text{ nF}; C_2 = \frac{C_1 n_C}{1 - n_C} = 1,19 \text{ nF}; U_S = 59,8 \text{ mV}.$

2.37. $Q = \frac{f_r}{B_{3\text{dB}}} = 40; L = \frac{2QR_s}{\omega_r} = 636,6 \text{ }\mu\text{H}; n_C = \sqrt{\frac{R_g}{2\omega_r LQ}} = 0,177; C_a = \frac{C_1 C_2}{C_1 + C_2} = \frac{1}{\omega_r^2 L} = 39,76 \text{ pF}; C_1 = \frac{C_a}{n_C} = 224,66 \text{ pF}; C_2 = C_1 \frac{n_L}{1 - n_C} = 48,32 \text{ pF}; P_S = \frac{E^2}{4R_g} = 25 \text{ mW}.$

● Circuite cuplate

2.38. $k_a = \frac{M}{\sqrt{L_1 L_2}}; k_b = \frac{L'_C}{\sqrt{(L'_1 + L'_C)(L'_2 + L'_C)}}; k_c = \frac{\sqrt{L'_1 L'_2}}{\sqrt{(L'_1 + L'_C)(L'_2 + L'_C)}}; k_d = \frac{\sqrt{C'_1 C'_2}}{\sqrt{(C'_1 + C'_C)(C'_2 + C'_C)}}; k_e = \frac{C'_C}{\sqrt{(C'_1 + C'_C)(C'_2 + C'_C)}}.$

2.39. Cuadripol în T: $L'_C = M = 10 \text{ }\mu\text{H}; L'_1 = L_1 - M = 490 \text{ }\mu\text{H}; L'_2 = L_2 - M = 490 \text{ }\mu\text{H}.$ Cuadripol în π : $L'_1 = L_1 + M = 510 \text{ }\mu\text{H}; L'_2 = L_2 + M = 510 \text{ }\mu\text{H}; L'_C = \frac{L_1 - M}{M} L'_1 = 24,5 \text{ mH}.$

$$2.40. \text{ Deoarece } g^2 = k^2 Q_1 Q_2 = \frac{X_C^2}{|X_{10} X_{20}|} \cdot \frac{|X_{10}|}{R_1} \cdot \frac{|X_{20}|}{R_2} = \frac{X_C^2}{R_1 R_2}, \quad X_{10} \text{ și } X_{20} \text{ fiind reactan-}$$

țele de un tip, la frecvența de acord din primar, respectiv din secundar, rezultă :

$$\underline{Z}_{1r} = \frac{-\underline{Z}_C^2}{\underline{Z}_2} = \frac{X_C^2}{R_2(1 + jx_2)} = \frac{g^2 R_1}{1 + jx_2} ;$$

$$2.41. \quad g = \sqrt{n - 1}.$$

2.42. Din relația (38, a), pentru $x_2 = 0$; $R_1 = R_2$ rezultă $g = 1$ și $k = \frac{g}{\sqrt{Q_1 Q_2}} = 0,01$. Defazaajul este de $\pi/2$.

$$2.43. \quad X_{1r} = -\frac{x_2 R_1 g^2}{1 + x_2^2} \text{ (vezi problema 2.40) cu valoare maximă pentru } x_2 = \pm 1.$$

Din $x_2 = \frac{2(f_0 - f_{r2})}{f_{r2}} Q_2$, unde f_{r2} este frecvența de acord a secundarului, rezultă $f_{r2} = 1,01$ MHz sau $f_{r2} = 0,99$ MHz, iar $X_{1r} = \pm 20 \Omega$.

$$2.44. \quad \underline{Z}_{1r} = \frac{\omega^2 M^2}{j\omega L_2} = -j\omega \frac{M^2}{L_2} = jX_{1r}. \text{ Rezultă pentru } M=0 : f_r = \frac{1}{2\pi\sqrt{L_1 C_1}} = 1,02 \text{ MHz,}$$

$$\text{iar pentru } M = 25 \mu\text{H} : f_r' = \frac{1}{2\pi\sqrt{\left(L_1 - \frac{M^2}{L_2}\right) C_1}} = 1,158 \text{ MHz.}$$

$$2.45. \text{ Impedanța serie reflectată în primar este o rezistență } R_{1r} = \frac{\omega_r^2 M^2}{R_2} = 10 \Omega. \text{ Între}$$

$$\text{bornele } 1-1' \text{ impedanța la rezonanță este : } Z_0 = \frac{\omega_r^2 L_1^2}{R_L + R_C + R_1} = 3 \text{ k}\Omega.$$

$$2.46. \text{ Din } \frac{U_2}{U_{2MM}} = \frac{2}{\sqrt{x^4 + 4}} = \frac{1}{2}, \text{ rezultă } x = \pm \sqrt{2} \text{ sau } 2(f - f_r) = B_{3dB} = \sqrt{2} \frac{f_r}{Q} ;$$

$$2.48. \text{ Pentru a realiza noul factor de calitate } Q_2' = 50, \text{ trebuie ca : } Q_{2L} = \frac{R_2'}{\omega_r L_2} = 100$$

$$\text{deoarece } \frac{1}{Q_2'} = \frac{1}{Q_2} + \frac{1}{Q_{2L}}. \text{ Rezultă } R_2' = 12,56 \text{ k}\Omega. \text{ Înainte de egalizarea factorilor de calitate}$$

$$g = 2,1 ; b = 2,5 \text{ și } B_C = 71,15 \text{ kHz. După egalizare : } g' = 1,5 ; b' = 2 ; B_C' = 63,1 \text{ kHz.}$$

$$2.49. Q_1 = Q_2 = 50; b = 2; g = \frac{M}{\sqrt{L_1 L_2}} \sqrt{Q_1 Q_2} = 5; x = \frac{2(f_g - f_r)}{f_r} \sqrt{Q_1 Q_2} = \\ = \pm \sqrt{g^2 - \frac{b}{2}}; f_g - f_r = \pm 9,8 \text{ kHz.}$$

$$2.50. \text{ Pentru } \eta = 3 \text{ dB trebuie } g = 2,41. \text{ Deoarece } k = \frac{C_c}{C_1 + C_c} \ll 1 \text{ rezultă } C_c \ll C_1 \\ \text{ și } f_r = \frac{1}{2\pi \sqrt{L_1 C_1}} = 355,88 \text{ kHz. În continuare } Q_1 = Q_2 = \frac{\omega_r L_1}{R_1} = 44,72, \text{ iar } k = \frac{g}{\sqrt{Q_1 Q_2}} = \\ = 0,054, \text{ ceea ce verifică ipoteza } k \ll 1. \text{ Rezultă } C_c = \frac{k}{1-k} C_1 = 28,54 \text{ pF și } B_c = \\ = 3,1 f_r / Q = 24,67 \text{ kHz } (Q = Q_1 = Q_2).$$

$$2.51. g = \frac{M}{\sqrt{L_1 L_2}} \sqrt{Q_1 Q_2} = 3; \underline{U}_{2MM} = j \frac{I_0}{2} \sqrt{R_1 R_2} = j \frac{I_0}{2} \omega_r \sqrt{L_1 L_2} \sqrt{Q_1 Q_2} = j 1,26 \text{ V; } \\ \underline{U}_2 = \underline{U}_{2MM} \frac{2g}{1+g^2} = j 0,756 \text{ V; } \underline{U}_1 = \underline{U}_2 \frac{1}{jg} \sqrt{\frac{R_1}{R_2}} = 0,252 \text{ V. Se obține } |\underline{U}_1 - \underline{U}_2| = \\ = \sqrt{U_1^2 + U_2^2} = 0,8 \text{ V.}$$

$$2.52. Q = 3,1 \frac{f_r}{B_c} = 50; g = 2,41; k = \frac{C_c}{C_1 + C_c} = \frac{g}{Q} = 0,0482, \text{ deci } C_c = \frac{k}{1-k} C_1 = \\ = 50,74 \text{ pF. În continuare se obține } L_1 = L_2 = \frac{1}{\omega_r^2 (C_1 + C_c)} = 96,5 \text{ } \mu\text{H, iar } I_0 = \\ = \frac{U_2}{\omega_r L_1 Q} \cdot \frac{1+g^2}{g} = 0,186 \text{ mA.}$$

$$2.53. Q = \sqrt{2} \frac{f_r}{B_{3dB}} = 50,1; k = \frac{C_1}{C_1 + C_c} = \frac{g}{Q} = 0,02, \text{ deci } C_c \gg C_1 \text{ și se poate scrie } \\ C_1 = \frac{1}{\omega_r^2 L_1} = 253,3 \text{ pF, apoi } C_c = \frac{1-k}{k} C_1 = 12,4 \text{ nF și } R_1 = R_2 = \omega_r L_1 Q = 32,04 \text{ k}\Omega.$$

$$2.54. Q_1 = \frac{R_1}{\omega_r L_1} = 79,6; Q_2 = \frac{R_2}{\omega_r L_2} = 159,2; k = \frac{C_1}{C_1 + C_c} = \frac{g}{\sqrt{Q_1 Q_2}} = 0,0178 \text{ deci } \\ C_c \gg C_1 \text{ și se poate aproxima } C_1 = C_2 = \frac{1}{\omega_r^2 L_1} = 1,27 \text{ nF, iar } C_c = \frac{1-k}{k} C_1 = 69,9 \text{ nF.}$$

$$\text{Frecvențele se deduc din } x = \frac{2(f - f_r)}{f_r} \sqrt{Q_1 Q_2} = \pm \sqrt{g^2 - \frac{b}{2}}, \text{ unde } b = \frac{Q_1}{Q_2} + \frac{Q_2}{Q_1} = 2,5 \text{ deci } \\ f - f_r = \pm 1,09 \text{ kHz. Amplitudinile sînt egale cu } U_a = U_{2MM} A(x; b; g) = 2,97 \text{ V.}$$

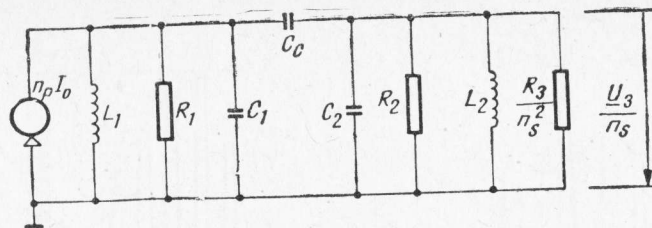


Fig. 2.55R

2.55. Se remarcă din schema echivalentă (fig. 2.55R) $Q_1 = Q_2 = \frac{R_1}{\omega_r L_1} = \sqrt{2} \frac{f_r}{B_{3 \text{ dB}}} =$
 $= 50$; $k = \frac{g}{\sqrt{Q_1 Q_2}} = 0,02$; $C_c = \frac{k}{1-k} C_1 = 2,04 \text{ pF} \ll C_1$, deci $L_1 = L_2 = \frac{1}{\omega_r^2 C_1} =$
 $= 62,5 \text{ } \mu\text{H}$, iar $R_1 = 39,27 \text{ k}\Omega$. Tensiunea la bornele rezistenței R_3 este $U_3 = n_s U_{2MM} =$
 $= n_s \frac{I_0}{2} R_1 = 15,62 \text{ V}$.

3. SEMNALE MODULATE

● Semnale modulate în amplitudine

3.1. Conform expresiei semnalului $u_{MA}(t)$, în figurile 3.1R, *a* și *b* este prezentată forma semnalului pentru $m = 0,5$, respectiv $m = 1,5$. Datorită modului de producere, în realitate pentru $m = 1,5$ are loc supramodularea, iar forma de undă obținută este cea din figura 3.1R, *c*.

3.2. Se obține descompunerea

$$u_{MA}(t) = U_0 \cos(\omega_0 t + \varphi_0) + \sum_{k=1}^n \frac{m_k U_0}{2} \cos[(\omega_0 + \omega_k)t + \varphi_0] + \sum_{k=1}^n \frac{m_k U_0}{2} \cos[(\omega_0 - \omega_k)t + \varphi_0]$$

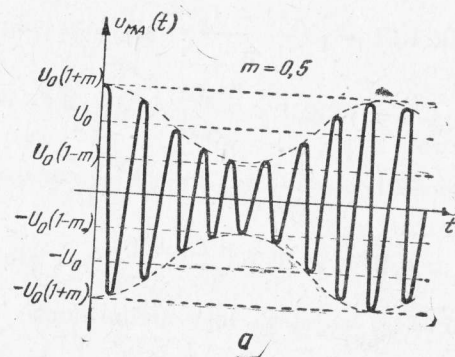


Fig. 3.1R

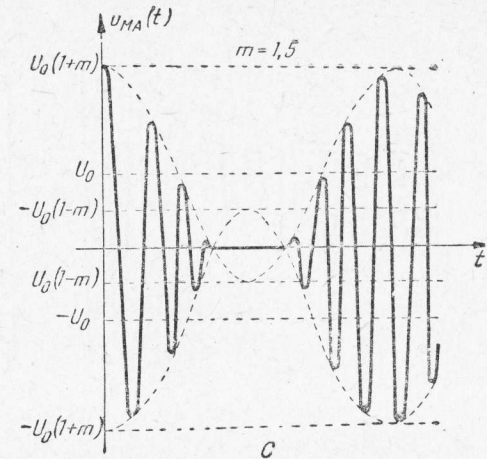
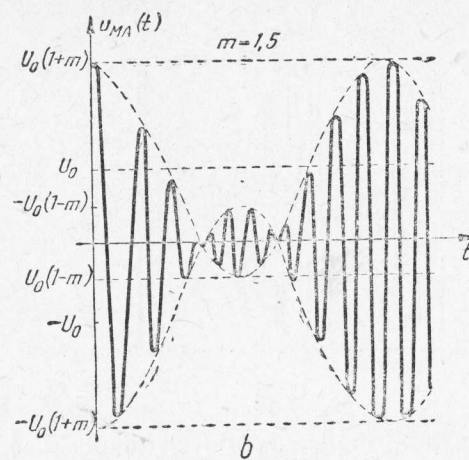


Fig. 3.1R

Lărgimea benzii de frecvențe este $B = 2 f_m$, iar puterea

$$P = \frac{U_0^2}{2} \left(1 + \sum_{k=1}^{\infty} \frac{m_k^2}{2} \right).$$

3.3. Se scrie mai întâi $f(t) = \sqrt{2} \cos \left(\omega_m t - \frac{\pi}{4} \right)$, de unde rezultă $m = \sqrt{2} k = 0,707$

Descompunerea în componente spectrale conduce la expresia

$$u_{MA}(t) = U_0 \cos \omega_0 t + U_0 \frac{\sqrt{2}}{4} \cos \left[(\omega_0 + \omega_m) t - \frac{\pi}{4} \right] + U_0 \frac{\sqrt{2}}{4} \cos \left[(\omega_0 - \omega_m) t + \frac{\pi}{4} \right].$$

Puterea disipată este

$$P = \frac{U_0^2}{2} \left(1 + \frac{m^2}{2} \right) = \frac{5}{8} U_0^2.$$

3.4. Notăm $y = u_{MA}(t)$, $x = f(t)$ și remarcăm că $x \in [-U_m, U_m]$, iar $y = U_0 \left(1 + \frac{m}{U_m} x \right) \cos \omega_0 t$. Anvelopa superioară pentru y se obține pentru $\cos \omega_0 t = 1$: $y_+ = U_0 \left(1 + \frac{m}{U_m} x \right)$, iar anvelopa inferioară — pentru $\cos \omega_0 t = -1$: $y_- = -U_0 \left(1 + \frac{m}{U_m} x \right)$. Într-

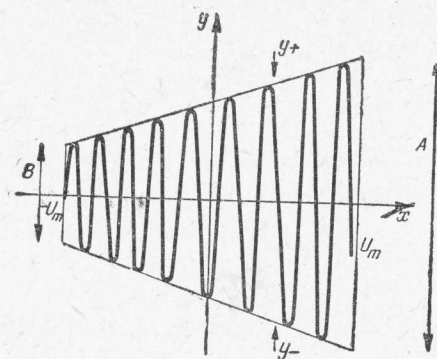


Fig. 3.4R

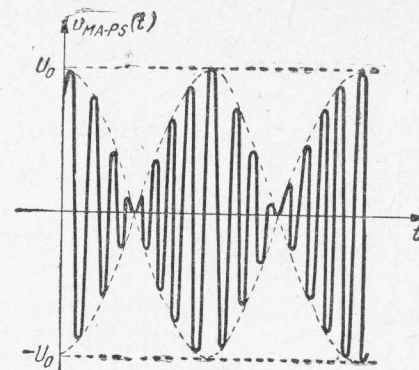


Fig. 3.6R

aceste anvelope care sînt segmente de dreaptă (vezi figura 3.4R), spotul se deplasează rapid datorită factorului $\cos \omega_0 t$. Se obține :

$$\text{pentru } x = U_m : A = 2U_0(1 + m);$$

$$\text{pentru } x = -U_m : B = 2U_0(1 - m),$$

din care se deduce relația cerută.

$$\begin{aligned} 3.5. \quad u(t) = & U_0 \cos \omega_0 t + \frac{U_0 m_1}{2} [\cos(\omega_0 + \omega_1)t + \cos(\omega_0 - \omega_1)t] + \\ & + \frac{U_0 m_1 m_2}{4} \cos[(\omega_0 + \omega_1 + \omega_2)t + \cos(\omega_0 - \omega_1 - \omega_2)t] + \\ & + \frac{U_0 m_1 m_2}{2} [\cos(\omega_0 + \omega_1 - \omega_2)t + \cos(\omega_0 - \omega_1 + \omega_2)t]. \end{aligned}$$

3.6. Forma semnalului $u_{MA-PS}(t) = U_0 \cos \omega_m t \cos(\omega_0 t + \varphi_0)$ este reprezentată în figura 3.6R. Descompunerea în componente spectrale conduce la

$$u_{MA-PS}(t) = \frac{U_0}{2} \cos[(\omega_0 + \omega_m)t + \varphi_0] + \frac{U_0}{2} \cos[(\omega_0 - \omega_m)t + \varphi_0].$$

3.7. Înaintea filtrului trece-jos semnalul este

$$u_p(t) = \cos(\omega_0 t + \varphi_s) u_{MA-PS}(t) = \frac{U_0}{2} \cos \omega_m t \cos(\varphi_0 - \varphi_s) + \frac{U_0}{2} \cos \omega_m t \cos(2\omega_0 t + \varphi_0 \mp \varphi_s).$$

După filtrul trece-jos rămîne $u_f(t) = \frac{U_0}{2} \cos(\varphi_0 - \varphi_s) \cos \omega_m t$. Valoarea optimă a fazei este $\varphi_s = \varphi_0$.

$$3.8. \quad u_{MA-BLU}(t) = U_0 m_1 \cos[(\omega_0 + \omega_1)t + \varphi_0] + U_0 m_2 \cos[(\omega_0 + \omega_2)t + \varphi_0].$$

3.9. Înaintea filtrului trece-jos semnalul este

$$u_p(t) = \cos(\omega_0 t + \varphi_s) u_{MA-BLU}(t) = \frac{U_0 m_1}{2} \cos[(2\omega_0 + \omega_1)t + \varphi_0 + \varphi_s] + \\ + \frac{U_0 m_1}{2} \cos(\omega_1 t + \varphi_0 - \varphi_s) + \frac{U_0 m_2}{2} \cos[(2\omega_0 + \omega_2)t + \varphi_0 + \varphi_s] + \\ + \frac{U_0 m_2}{2} \cos(\omega_2 t + \varphi_0 - \varphi_s).$$

După filtrare rezultă

$$u_f(t) = \frac{U_0 m_1}{2} \cos(\omega_1 t + \varphi_0 - \varphi_s) + \frac{U_0 m_2}{2} \cos(\omega_2 t + \varphi_0 - \varphi_s).$$

Este de preferat $\varphi_s = \varphi_0$, dar în transmisiunile audio nu are importanță defazajul, care nu este sesizat de ureche.

3.10. Descompunerea în componente este:

$$u(t) = U_0 \sqrt{2} \cos\left(\omega_0 t - \frac{\pi}{4}\right) + \frac{U_0 m_1}{2} \cos(\omega_0 + \omega_1)t + \frac{U_0 m_1}{2} \cos(\omega_0 - \omega_1)t + \\ + \frac{U_0 m_2}{2} \sin(\omega_0 + \omega_2)t + \frac{U_0 m_2}{2} \sin(\omega_0 - \omega_2)t.$$

Puterea este $P = \frac{U_0^2}{2} \left(2 + \frac{m_1^2}{2} + \frac{m_2^2}{2}\right).$

3.11. Înaintea filtrelor trece-jos semnalele sînt

$$u_1(t) = u(t) \cos \omega_0 t = \frac{U_0}{2} (1 + m_1 \cos \omega_1 t)(1 + \cos 2\omega_0 t) + \frac{U_0}{2} (1 + m_2 \cos \omega_2 t) \sin 2\omega_0 t;$$

$$u_2(t) = u(t) \sin \omega_0 t = \frac{U_0}{2} (1 + m_1 \cos \omega_1 t) \sin 2\omega_0 t + \frac{U_0}{2} (1 + m_2 \cos \omega_2 t)(1 + \cos 2\omega_0 t).$$

După filtrele trece-jos se obțin semnalele

$$u_{1f}(t) = \frac{U_0}{2} (1 + m_1 \cos \omega_1 t); \quad u_{2f}(t) = \frac{U_0}{2} (1 + m_2 \cos \omega_2 t).$$

Condensatorul eliminînd componenta continuă, rezultă

$$u_{1e}(t) = \frac{U_0}{2} m_1 \cos \omega_1 t, \quad u_{2e}(t) = \frac{U_0}{2} m_2 \cos \omega_2 t.$$

3.12. Descompunerea în componente spectrale este:

$$u(t) = m_1 \cos \omega_1 t - m_2 \cos \omega_2 t + 2 \cos \omega_0 t + \frac{m_1}{2} \cos(\omega_0 + \omega_1)t + \\ + \frac{m_1}{2} \cos(\omega_0 - \omega_1)t + \frac{m_2}{2} \cos(\omega_0 + \omega_2)t + \frac{m_2}{2} \cos(\omega_0 - \omega_2)t.$$

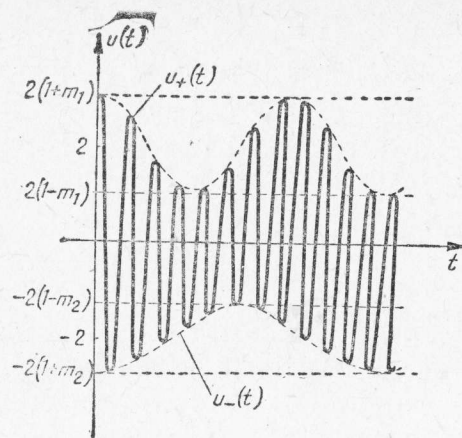


Fig. 3.12R

Pentru descrierea variației în timp se determină anvelopa superioară punind $\cos \omega_0 t = 1$: $u_+(t) = 2u_1(t) = 2(1 + m_1 \cos \omega_1 t)$, respectiv anvelopa inferioară pentru $\cos \omega_0 t = -1$: $u_-(t) = -2u_2(t) = -2(1 + m_2 \cos \omega_2 t)$.

Între cele două anvelope are loc variația datorită funcției $\cos \omega_0 t$.

Cele două informații cuprinse în legile de variație a anvelopelor se extrag cu două detectoare de anvelopă având diodele orientate diferit.

● Semnale modulate în fază

3.13. Se poate proceda direct:

$$\begin{aligned} u_{MF}(t) &= U_0 \cos(\omega_0 t + \Delta\varphi \cos \omega_m t) = \\ &= U_0 \cos \omega_0 t \cos(\Delta\varphi \cos \omega_m t) - U_0 \sin \omega_0 t \sin(\Delta\varphi \cos \omega_m t) \cong \\ &\cong U_0 \cos \omega_0 t - U_0 \sin \omega_0 t \cdot \Delta\varphi \cos \omega_m t = U_0 \cos \omega_0 t - \frac{U_0 \Delta\varphi}{2} \sin(\omega_0 + \omega_m)t - \frac{U_0 \Delta\varphi}{2} \sin(\omega_0 - \omega_m)t, \end{aligned}$$

unde s-a ținut seama că pentru $|x| < 0,4$ se poate scrie:

$$\sin x \cong x; \cos x \cong 1.$$

Altfel se utilizează relațiile (15), (17) și (19):

$$\begin{aligned} u_{MF}(t) &\cong U_0 J_0(\Delta\varphi) \cos \omega_0 t + U_0 J_1(\Delta\varphi) \cos \left[(\omega_0 + \omega_m)t + \frac{\pi}{2} \right] + U_0 J_{-1}(\Delta\varphi) \cos \left[(\omega_0 - \omega_m)t - \frac{\pi}{2} \right] \cong \\ &\cong U_0 \cos \omega_0 t - \frac{U_0 \Delta\varphi}{2} \sin(\omega_0 + \omega_m)t - \frac{U_0 \Delta\varphi}{2} \sin(\omega_0 - \omega_m)t, \end{aligned}$$

Lărgimea de bandă ocupată de semnal este $B = 2f_m$.

3.14. Din diagrama fazorială reprezentată în figură rezultă

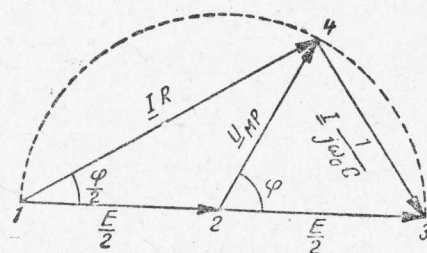


Fig. 3.14R

$$U_{MF} = \frac{E}{2} |\varphi|; \varphi = 2 \arctg \frac{1}{\omega_0 CR}, \text{ deci}$$

$$u_{MF}(t) = \frac{E}{2} \cos \left(\omega_0 t + 2 \arctg \frac{1}{\omega_0 CR} \right).$$

Variația de fază este:

$$\Delta\varphi = 2 \arctg \frac{1}{\omega_0(C_0 - \Delta C)R} - 2 \arctg \frac{1}{\omega_0(C_0 + \Delta C)R};$$

3.15. Din tabelul 1 rezultă $J_0(1) > 0,01$, iar $J_4(1) < 0,001$; deci componentele care depășesc 1% din valoarea purtătoarei ne-

modulate sînt pe frecvențele $\omega_0 + K\omega_m$, unde $K = \{-3, -2, -1, 0, 1, 2, 3\}$. Lărgimea de bandă este deci $B = 6f_m$. Conform relației aproximative, $B \approx 2(1 + \Delta\varphi + \sqrt{\Delta\varphi})f_m = 6f_m$.

3.16. Frecvența purtătoare $f_0 = 3^4 \cdot 0,9 = 72,9$ MHz, iar deviația de fază $\Delta\varphi = 3^4 \cdot 1 = 81$ radiani.

3.17. Se echivalează $\beta = \frac{\Delta f}{f_m} = \Delta\varphi$. Rezultă $\Delta f_M = \Delta\varphi_M f_m = 47,12$ kHz,

● Semnale modulate în frecvență

3.18. Indicele de modulație în frecvență al transmisiunii este $\beta_1 = \frac{\Delta f_M}{f_{mM}} = \frac{50}{15} = 3,33$. Lărgimea de bandă rezultă: $B = 2(1 + \beta_1 + \sqrt{\beta_1})f_{mM} = 184,8$ kHz.

3.19. Din echivalența $\beta = \frac{\Delta f}{f_m} = \Delta\varphi$ rezultă $\Delta\varphi_M = \frac{\Delta f_M}{f_{mM}} = 1000$ radiani.

3.20. Se determină $\beta = \frac{\Delta f}{f_m} = 2$, iar apoi din tabelul 1 — amplitudinile componentelor în volți pe frecvențele din paranteză: 0,2239 (f_0); 0,5767 ($f_0 \pm f_m$); 0,3528 ($f_0 \pm 2f_m$); 0,1289 ($f_0 \pm 3f_m$); 0,034 ($f_0 \pm 4f_m$). Lărgimea de bandă $B = 8f_m$. Cu relația aproximativă, $B = 2(1 + \beta + \sqrt{\beta})f_m = 8,83f_m$.

3.21. Reprezentarea este dată în figură împreună cu partea variabilă a frecvenței instantanee.

3.22. Avînd în vedere că β este mic și neglijînd termenii care conțin produsul $m\beta$, se obține:

$$u(t) = U_0 \cos \omega_0 t + \frac{U_0}{2}(m + \beta) \cos(\omega_0 + \omega_m)t + \frac{U_0}{2}(m - \beta) \cos(\omega_0 - \omega_m)t.$$

Dacă $m = \beta$ rămîne o singură componentă laterală.

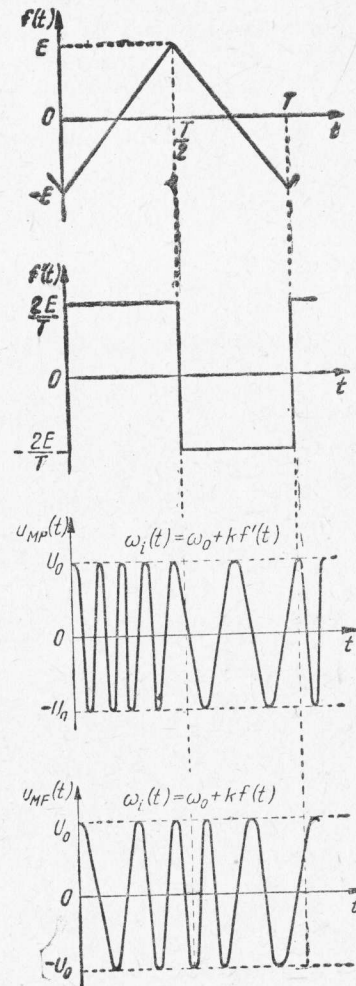


Fig. 3.21R

3.23. Se poate scrie succesiv :

$$u_{MF}(t) = U_0 \cos \omega_0 t \cos(\beta_1 \sin \omega_1 t + \beta_2 \sin \omega_2 t) - U_0 \sin \omega_0 t \sin(\beta_1 \sin \omega_1 t + \beta_2 \sin \omega_2 t) \cong U_0 \cos \omega_0 t - U_0 (\beta_1 \sin \omega_1 t + \beta_2 \sin \omega_2 t) \sin \omega_0 t = U_0 \cos \omega_0 t + U_0 \frac{\beta_1}{2} \cos(\omega_0 + \omega_1)t - U_0 \frac{\beta_1}{2} \cos(\omega_0 - \omega_1)t + U_0 \frac{\beta_2}{2} \cos(\omega_0 + \omega_2)t - U_0 \frac{\beta_2}{2} \cos(\omega_0 - \omega_2)t,$$

unde s-a ținut seama că pentru $|x| \ll 1$: $\cos x \cong 1$ și $\sin x \cong x$. Semnalul modulator este :

$$f(t) = \frac{1}{k} \cdot \frac{d}{dt} (\beta_1 \sin \omega_1 t + \beta_2 \sin \omega_2 t) = \frac{\beta_1 \omega_1}{k} \cos \omega_1 t + \frac{\beta_2 \omega_2}{k} \cos \omega_2 t.$$

3.24. Avînd în vedere că $\Delta\varphi$ este mic și neglijabil, termenii care conțin produsul $m\Delta\varphi$ rezultă :

$$u(t) = U_0 \cos \omega_0 t + U_0 \frac{m}{2} \cos(\omega_0 + \omega_m)t - U_0 \frac{\Delta\varphi}{2} \sin(\omega_0 + \omega_m)t + U_0 \frac{m}{2} \cos(\omega_0 - \omega_m)t - U_0 \frac{\Delta\varphi}{2} \sin(\omega_0 - \omega_m)t.$$

Grupînd termenii pe frecvențele $(\omega_0 + \omega_m)$ și $(\omega_0 - \omega_m)$ conform relației

$$m \cos \alpha - \Delta\varphi \sin \alpha = \sqrt{m^2 + \Delta\varphi^2} \cos \left(\alpha + \operatorname{arctg} \frac{\Delta\varphi}{m} \right),$$

se obține

$$u(t) = U_0 \cos \omega_0 t + \frac{U_0}{2} \sqrt{m^2 + \Delta\varphi^2} \cos \left[(\omega_0 + \omega_m)t + \operatorname{arctg} \frac{\Delta\varphi}{m} \right] + \frac{U_0}{2} \sqrt{m^2 + \Delta\varphi^2} \cos \left[(\omega_0 - \omega_m)t + \operatorname{arctg} \frac{\Delta\varphi}{m} \right].$$

3.25. Deviația de frecvență este $\Delta f = \beta_1 f_m = 4,81$ kHz. Noua frecvență modulatorie este $f'_m = \frac{\Delta f}{\beta_2} = 0,871$ kHz.

4. BAZELE TELEVIZIUNII

A. TELEVIZIUNEA ÎN ALB-NEGRU

● Captarea imaginilor

4.1. Eroarea totală admisă pentru distanța obiectului față de obiectiv se numește profunzime de câmp. Se admite o toleranță față de poziția obiectului față de obiectiv atât înaintea poziției corecte, cât și înapoia poziției corecte, pe niște distanțe pentru care un punct de pe obiect apare pe imagine ca un cerc, avînd un diametru mai mic decît ε , numit cerc de confuzie.

Se consideră un obiectiv format dintr-un sistem optic convergent cu distanța focală f și deschiderea uulă d_u , ca în figura 4.1R.

Punctele din planul P al obiectului au imaginile situate în planul P' .

Se ia un punct B_1 situat la o distanță $p - \Delta'p$. Imaginea se va forma în punctul B'_1 . Razele care trec de la B_1 prin obiectiv determină în planul P' un cerc de diametru $M'_1N'_1$. Se admite un cerc cu diametrul maxim egal cu ε . Se poate scrie, dacă m este inversul grosimentului :

$$M_1N_1 = \frac{1}{m} \quad M'_1N'_1 = \frac{1}{m} \varepsilon = \varepsilon \frac{p}{p'},$$

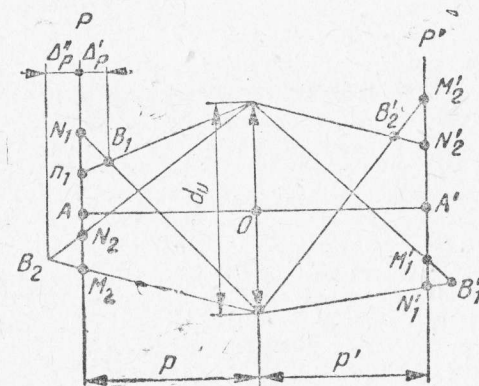


Fig. 4.1R

respectiv

$$\frac{M_1 N_1}{d_u} = \frac{\varepsilon \frac{p}{p'}}{d_u} = \frac{\Delta_p}{p - \Delta_p}.$$

De aici rezultă că

$$\Delta' p = \frac{\varepsilon \frac{p^2}{p'}}{d_u + \varepsilon \frac{p}{p'}}.$$

Din formula lentilelor (1) se poate deduce

$$\frac{p}{p'} = \frac{p - f}{f}$$

și înlocuind se găsește

$$\Delta' p = \frac{\varepsilon \frac{p - f}{f} p}{d_u + \varepsilon \frac{p - f}{f}}.$$

Ținînd seama că $d_r = \frac{d_u}{l}$ (rel. 3), rezultă:

$$\Delta' p = \frac{p(p - f)}{\frac{f^2}{n\varepsilon} + (p - f)}.$$

Același lucru se poate face și pentru imaginea creată de punctul B_2 pentru a găsi profunzimea de cîmp înaintea obiectului. Se găsește:

$$\Delta'' p = \frac{p(p - f)}{\frac{f^2}{n\varepsilon} - (p - f)}.$$

Profunzimea totală se obține însumînd cele două profunzimi:

$$\Delta p = \Delta' p + \Delta'' p = \frac{2p(p - f) \frac{f^2}{n\varepsilon}}{\frac{f^2}{(n\varepsilon)^2} - (p - f)^2}.$$

De aici se vede că pentru o distanță p dată și pentru un obiectiv cu f dat, la un cerc de confuzie ε impus, profunzimea de câmp este cu atât mai mare cu cât deschiderea relativă este mai mică (n mai mare), adică diafragma este mai închisă.

4.2. Se consideră un obiectiv cu deschiderea utilă d_u ca în figura 4.2R, determinată de o diafragmă de suprafață S .

Suprafața S_1 a obiectului emite spre obiectiv o intensitate luminoasă I care depinde de luminanța B a suprafeței obiectului:

$$I = BS_1.$$

Suprafața utilă a obiectivului S primește un flux luminos Φ care depinde de I și de unghiul solid total Ω sub care se vede suprafața S :

$$\Phi = I\Omega.$$

Iluminarea E a acestei suprafețe S va fi:

$$E = \frac{\Phi}{S} = \frac{I\Omega}{S} = \frac{BS_1}{S} \cdot \frac{S}{p^2} = B \frac{S_1}{p^2} = B\omega,$$

în care ω este unghiul solid sub care se vede din O suprafața S_1 .

Fluxul luminos φ care străbate obiectivul va depinde de transparenta acestuia T :

$$\varphi = T\Phi = TES = TB\omega S.$$

Iluminarea E_T a suprafeței S_2 , de pe ținta situată la distanța p' de obiectiv, va fi:

$$E_T = \frac{\varphi}{S_2} = BST \frac{\omega}{S_2}$$

și deoarece

$$S_2 = \omega p'^2 \cong \omega \cdot f^2$$

iar

$$S = \frac{\pi}{4} d_u^2,$$

rezultă

$$E_T = TB \frac{\pi}{4} \left(\frac{d_u}{f} \right)^2 = TB \frac{\pi}{4} \cdot \frac{1}{n^2}.$$

Suprafața S_1 a obiectului are o radiantă care depinde de coeficientul de reflexie al suprafeței, ρ :

$$R = \rho E;$$

aceasta este legată de fluxul luminos care este primit de suprafața S_1 de la sursele de lumină Φ_i și de luminanță prin relația

$$R = \rho E = \frac{\Phi_i}{S_1}.$$

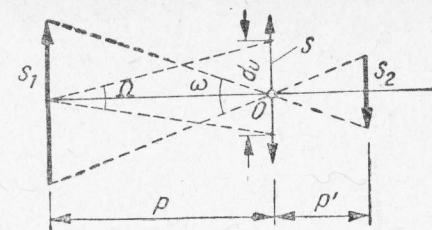


Fig. 4.2R

Dar

$$B = \frac{\Phi_t}{\pi S_1} = \frac{R}{\pi}.$$

Deci

$$B = \frac{\rho E_{ob}}{\pi}.$$

Înlocuind în expresia dedusă pentru E_T , se găsește

$$E_T = \rho T E_{ob} \frac{1}{4n^2}.$$

În mod obișnuit se folosește expresia

$$E_T = \frac{\rho E_{ob}}{5 n^2}$$

dedusă pentru o transparență $T = 0,8$.

Pentru o iluminare, acceptabilă, a țintei de circa 4 lx se folosește expresia de mai jos pentru determinarea iluminării obiectului în funcție de obiectiv și de ρ :

$$E_{ob} = \frac{20 n^2}{\rho}.$$

4.3. Dimensiunile țintei unui vidicon de 1" sînt de $9,6 \times 12,8$ mm.

Dacă distanța focală este f distanța la obiect este p și obiectul are dimensiunea $H/V =$ = lățime/înălțime, dintr-o construcție geometrică corespunzătoare se poate scrie, dacă se consideră planul imaginii amplasat practic în focar,

$$\frac{V}{9,6} = \frac{p}{f}, \text{ respectiv } \frac{H}{12,8} = \frac{p}{f}.$$

De aici rezultă

$$f = 9,6 \frac{p}{V}, \text{ respectiv } f = 12,8 \frac{p}{H}.$$

Ca urmare, se pot deduce distanțele focale necesare ale obiectivului. Dimensiunea H fiind mai mare, ea este cea care are prioritate.

Considerind de exemplu rapoarte H/p egale cu 1, 1/2, 1/4, 1/8, rezultă pentru distanțele focale necesare valorile 10, 25, 50, 100 mm.

Obiectivul se poate alege și dacă referirea se face la deschiderea unghiulară α (pe verticală) respectiv β pe orizontală. Din aceeași construcție geometrică rezultă

$$\operatorname{tg} \frac{\alpha}{2} = \frac{9,6 \text{ mm}}{2f}, \text{ respectiv } \operatorname{tg} \frac{\beta}{2} = \frac{12,8 \text{ mm}}{2 \cdot f}$$

și prin urmare

$$f = \frac{4,8}{\operatorname{tg} \frac{\alpha}{2}}$$

Un alt criteriu de alegere poate fi dat și de condițiile de iluminare.

Transformând relația obținută în problema 4.2, se găsește indicele n , respectiv deschiderea unghiulară necesară pentru un obiectiv :

$$n = \sqrt{\frac{0,2 E_{obp}}{E_T}}$$

● Transmisiunea semnalelor de TV-AN

4.4. Expresia dată în (5) nu ține seama de duratele de întoarcere pe orizontală și pe verticală :

$$T_{iH} = r_H T_H \text{ și } T_{iV} = r_V T_V.$$

Duratele active pentru explorare vor fi, la norma OIRT :

$$T_{aH} = T_H(1 - r_H) = T_H(1 - 0,18) = 0,82 T_H ;$$

$$T_{aV} = T_V(1 - r_V) = T_V(1 - 0,06) = 0,94 T_V.$$

Reducerea timpului de explorare a punctelor pe orizontală, la un același număr de puncte, cere frecvență mai mare. În schimb, pe verticală pierzându-se un număr de linii pe timpul întoarcerii, aceasta va influența frecvența finală în sensul reducerii ei.

Expresia va trebui completată în modul următor :

$$f_{Vmax} = \frac{1}{2} \cdot \frac{H}{V} \cdot \frac{0,92}{0,82} n^2 f_c = 0,76 n^2 f_c.$$

Pe baza cercetărilor lui Kell, Bedford și Trainer s-a constatat că nu toate liniile orizontale pot transmite detalii verticale. S-a constatat că cu 625 linii se pot transmite doar 400 puncte verticale, deci putem reduce încă banda (frecvența video maximă) a semnalului cu un factor $k = 0,67$:

$$f_{Vmax} = 0,67 \times 0,76 n^2 f_c.$$

Introducând valorile $n = 625$ și $f_c = 25$ Hz, se găsește o frecvență de circa 5 MHz.

Expresia generală din care se pot calcula benzile necesare pentru diverse norme va fi atunci :

$$f_{Vmax} = \frac{1}{2} k \frac{H}{V} \frac{(1 - r_V)}{(1 - r_H)} n^2 f_c.$$

4.5. S-a arătat în problema 4.4 că utilizând 625 linii de explorare se pot obține numai 400 de puncte.

Cum se admite aceeași definiție pe orizontală și pe verticală, și pe orizontală vom dispune tot de 400 linii de definiție.

S-a arătat că f_{vmax} în aceste condiții este de 5 MHz.

Astfel se poate face un calcul pe bază de proporționalitate între aceste linii de definiție N înscrise pe mira de control și banda de frecvențe a semnalului, f_{vmax} :

$$N_{linii} = \frac{400 \text{ linii}}{5 \text{ MHz}} f_{vmax} \text{ [MHz]}.$$

De unde rezultă

$$f_{vmax} \text{ [MHz]} = \frac{N_{linii}}{80}.$$

4.6. Se consideră o oscilație MA cu purtătoarea de amplitudine U_0 și frecvența f_0 și semnalul modulator de amplitudine U_m și frecvență f_m . Expresia sa este:

$$u_m(t) = U_0(1 + m \cos 2\pi f_m t) \cos 2\pi f_0 t,$$

în care m este gradul de modulație. Dezvoltînd, se obține:

$$u_m(t) = U_0 \cos 2\pi f_0 t + \frac{1}{2} m U_0 \cos 2\pi (f_0 + f_m) t + \frac{1}{2} m U_0 \cos 2\pi (f_0 - f_m) t.$$

Dacă se filtrează una dintre benzile laterale (să presupunem că banda laterală inferioară) rămîne:

$$u_m^*(t) = U_0 \cos 2\pi f_0 t + \frac{1}{2} m U_0 \cos 2\pi (f_0 + f_m) t.$$

Dezvoltînd al doilea termen și regroupînd relația se obține

$$u_m^*(t) = U_0 \left(1 + \frac{m}{2} \cos 2\pi f_m t \right) \cos 2\pi f_0 t + \frac{1}{2} m U_0 \sin 2\pi f_m t \sin 2\pi f_0 t.$$

Se constată că apar două componente decalate la 90° , una în fază (cea în $\cos 2\pi f_0 t$) și una în cuadratură (cea în $\sin 2\pi f_0 t$).

Dacă se face o demodulare obișnuită de amplitudine (detecție de anvelopă cu diodă), la ieșire se va obține anvelopa de modulație

$$U_d(t) = U_0 \sqrt{\left(1 + \frac{m}{2} \cos 2\pi f_m t \right)^2 + \left(\frac{1}{2} m \sin 2\pi f_m t \right)^2} = U_0 \sqrt{\left(1 + \frac{m^2}{4} \right) + m \cos 2\pi f_m t}.$$

Se observă că anvelopa nu mai este proporțională cu semnalul original modulator din cauza componentei în cuadratură.

Dar dacă $m \ll 1$, atunci

$$\frac{m^2}{4} \ll 1$$

și radicalul este aproximativ

$$U_d \cong U_0 \left(1 + \frac{m}{2} \cos 2\pi f_m t \right);$$

se obține semnalul inițial de amplitudine jumătate.

Același lucru se poate arăta și în cazul transmisiunii cu *RBL* specifică în TV.

4.7. Un demodulator de produs face înmulțirea între oscilația modulată primită și o oscilație regenerată local care are aceeași frecvență și fază cu purtătoarea recepționată.

Fie oscilația recepționată de forma simplificată

$$u(t) = U_1(t) \cos \omega_0 t + U_2(t) \sin \omega_0 t,$$

în care se vede că există două unde în cuadratură (90°) și în care $U_1(t)$ este semnalul util de *JF*, și fie oscilația regenerată local de forma

$$u_0(t) = U_0 \cos \omega_0 t.$$

Din înmulțire, după dezvoltări trigonometrice se vede că numai primul termen este un semnal care conține informația $U_1(t)$. Celălalt se anulează, iar termenii care conțin frecvențele $2\omega_0$ se elimină prin filtrare.

4.8. Condensatorul introduce un defazaj de $\frac{\pi}{2}$, iar circuitul derivație are o caracteristică de fază de forma

$$\varphi_d = -\arctg 2 Q_s \frac{\Delta f}{f_0}.$$

Deci ansamblul are caracteristica

$$\varphi = \frac{\pi}{2} - \arctg 2 Q_s \frac{\Delta f}{f_0},$$

care este reprezentată în figura 4.8R.

Pentru o bandă restrinsă în jurul frecvenței de rezonanță, caracteristica este practic liniară și va rezulta o relație liniară între faza și amplitudinea semnalului modulator de *JF*. Expresia de mai sus se poate scrie în acest caz

$$\varphi = \frac{\pi}{2} - 2 Q_s \frac{\Delta f}{f_0}.$$

La rezonanță defazajul este $\frac{\pi}{2}$, iar în jurul frecvenței centrale defazajul variază liniar cu deviația de frecvență Δf , deci cu amplitudinea semnalului modulator.

4.9. Se notează raportul imagine pe sunet $I/S = \sigma$ și spre simplificare se ia $S = 1$ deci $I = \sigma$.

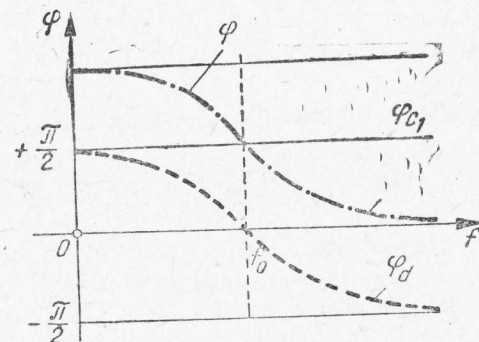


Fig. 4.8R

Considerînd purtătoarele nemodulate pentru început, distanțate la frecvența de 6,5 MHz, se poate face o reprezentare fazorială ca în figura 4.9R, a. Dacă fazorul I este staționar, S se învîrte cu diferența frecvențelor, 6,5 MHz. Rezultanta R oscilează între valorile $\sigma + 1$ și $\sigma - 1$. Expresia sa este

$$R = \sqrt{\sigma^2 + 1 + 2\sigma \cos \theta}.$$

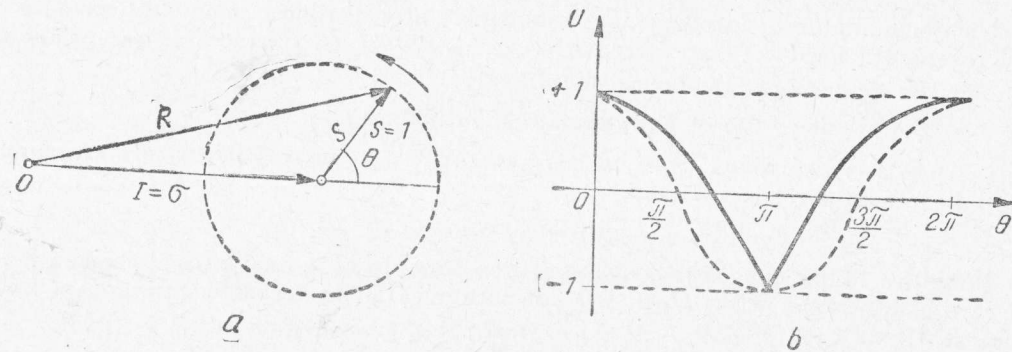


Fig. 4.9R

Valoarea undulațiilor care apar din bătaia acestor două semnale va fi

$$U = R - \sigma = \sqrt{\sigma^2 + 1 + 2\sigma \cos \theta} - \sigma.$$

Aceste undulații au frecvența de 6,5 MHz, care va fi a doua frecvență intermediară de sunet.

În cazul în care cele două purtătoare sînt egale, $\sigma = 1$ și expresia devine

$$u = \sqrt{2 + 2 \cos \theta} - 1 = \sqrt{2 + 2 \left(2 \cos^2 \frac{\theta}{2} - 1 \right)} - 1 = \sqrt{4 \cos^2 \frac{\theta}{2}} - 1 = 2 \cos \frac{\theta}{2} - 1.$$

Reprezentînd această relație, se obține diagrama din figura 4.9R, b.

În timpul transmisiunii sunetului frecvența variază, deci va apărea o deviație de frecvență în raport cu 6,5 MHz. În plus, la $\sigma = 1$, caz care poate apărea cînd se transmite nivel alb în imagine (modulația negativă pentru imagine înseamnă sincro la vîrf de modulație și albul la fund de modulație!), înfășurătoarea are forma oscilației dublu redresate. Aceasta are o fundamentală de amplitudine mai mică decît sinusoida de 6,5 MHz care trece prin AFI sunet. Cum σ variază în funcție de conținutul imaginii, rezultă că sunetul va avea, în afara modulației utile MF, și o modulație parazită MA. Componenta cea mai puternică din imagine care provoacă această modulație este cea dată de S_V și B_V . Această perturbare se va manifesta sub formă de brum pe sunet în cazul imaginilor luminoase sau cînd apare o subtitrare. Se evită aceasta avînd grijă ca în timpul transmisiunii să avem $\sigma \geq 2$.

● Circuite de TV-AN

4.10. În figura 4.10R, *a* este reprezentată caracteristica de transfer a porții logice de bază în cazul tehnicii *TTL*, iar în figura 4.10R, *b* este arătată simbolic schema de amplificator inversor.

În figura 4.10R, *c* se arată inversorul în care apar mărimile de intrare, iar în figura 4.10R, *d* se prezintă caracteristica de intrare pe care se indică domeniul în care trebuie făcută polarizarea intrării pentru a se asigura funcționarea în regiunea corespunzătoare de amplificator inversor.

a) Pentru stabilirea *PSF* (punctul static de funcționare) în regiunea activă, se poate folosi soluția elementară din figura 4.10R, *e*. Se observă că se poate scrie relația:

$$U_I = U_0 - RI_I.$$

Aceasta reprezintă o dreaptă care este reprezentată împreună cu caracteristica de intrare în figura 4.10R, *f*. Pentru ca această dreaptă să intersecteze caracteristica în porțiunea *bc*, tensiunea de intrare trebuie să fie mai mică decât cea (1,2–1,4) V. Pentru a evita reducerea tensiunii de ieșire sub cea 0,8 V, valoarea maximă a rezistenței *R* trebuie să fie:

$$R_{max} = \frac{U_{I(b)} - U_{0min}}{I_{I(b)max}} = \frac{1,4 - 0,8}{10^{-3}} \approx 600 \Omega.$$

b) Un circuit de polarizare superior are în vedere structura echivalentă simplificată a unei porți inversoare *TTL* în regiunea activă de funcționare.

În figura 4.10R, *g* se arată o rețea de polarizare, iar în figura 4.10R, *h* — structura simplificată a porții inversoare cu primul tranzistor considerat la saturație (deci *R₃* apare legat direct la intrare).

În regiunea activă de funcționare

$$U_I \approx 2u_{BE} \approx 1,2 - 1,4 \text{ V.}$$

Această tensiune este o medie ponderată între tensiunea de alimentare și tensiunea de ieșire. Dacă se neglijează curentul de bază al tranzistorului *T₁* se poate scrie

$$U_I = \frac{\frac{R_1 R_2}{R_1 + R_2}}{R_3 + \frac{R_1 R_2}{R_1 + R_2}} V_{CC} + \frac{\frac{R_1 R_3}{R_1 + R_3}}{R_2 + \frac{R_1 R_3}{R_1 + R_3}} U_0 = \frac{R_1 R_2 V_{CC} + R_1 R_3 U_0}{R_1 R_2 + R_1 R_3 + R_2 R_3}.$$

După înlocuirea tensiunii de intrare *U_I*, se obține:

$$U_0 = 2u_{BE} \left(1 + \frac{R_2}{R_1} + \frac{R_2}{R_3} \right) - \frac{R_2}{R_3} V_{CC}.$$

La un circuit *TTL* standard, rezistența *R₃* are o valoare tipică de 4 kΩ (minimum 3 kΩ).

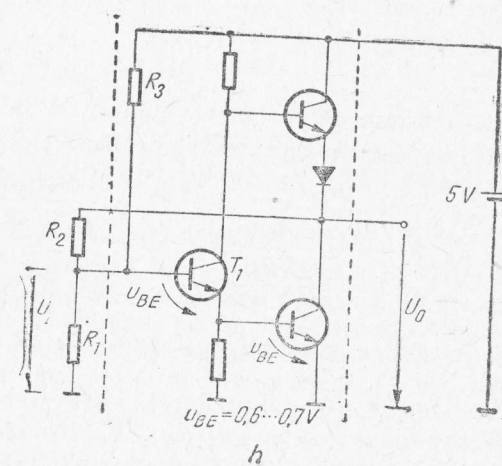
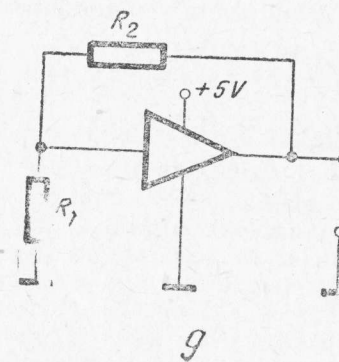
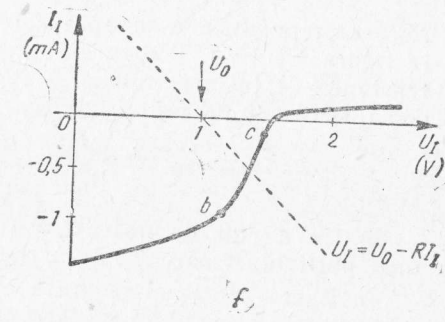
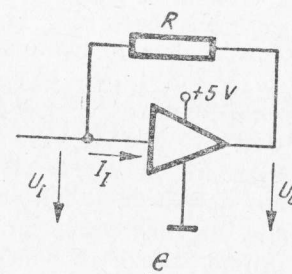
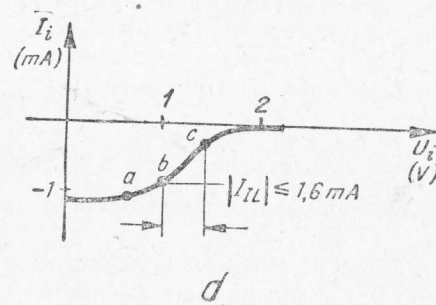
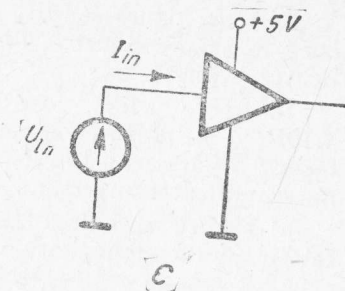
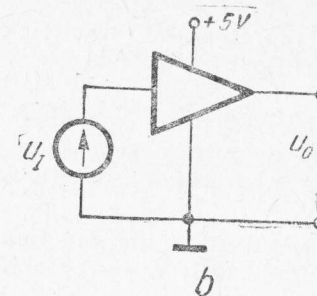
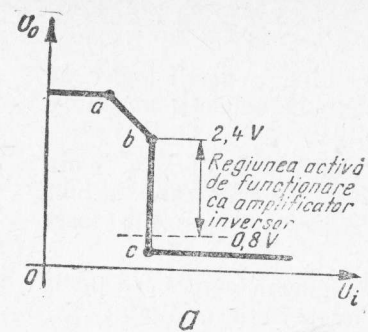


Fig. 4.10R

Alegind pentru R_2 o valoare de $2 \text{ k}\Omega$ în scopul reducerii contribuției tensiunii de alimentare (V_{CC}), valoarea rezistenței R_1 se găsește considerînd o tensiune de ieșire $U_0 = 2 \text{ V}$, care corespunde mijlocului regiunii active

$$2 = 1,3 \left(1 + \frac{R_2}{R_1} + 0,5 \right) - 0,5 \cdot 5,$$

respectiv

$$\frac{R_2}{R_1} = \frac{4,5}{1,3} - 1,5 \cong 2 \Rightarrow R_1 = 1 \text{ k}\Omega.$$

Valoarea maximă a rezistenței de polarizare din circuitul simplu se poate obține și din relația considerată aici, pentru $R_1 = \infty$ și $U_0 = U_{0 \min} = 0,8 \text{ V}$.

Deci :

$$R_2 \max = R_3 \frac{U_{0 \min} - 2 u_{BE}}{2 u_{BE} - V_{CC}} = \frac{1,4 - 0,8}{5 - 1,4} \cdot 4 = 660 \Omega.$$

4.11. Se utilizează două circuite NAND polarizate așa cum s-a arătat în problema 4.10.

Astfel se obține un amplificator neinversor, cu ieșirea avînd rezistența redusă. Cuplajul dintre cele două etaje se face capacitiv pentru a nu influența polarizările.

Semnalul de ieșire se aplică din nou la intrare prin circuitul de reacție pozitivă, în care se găsește un cristal de cuarț (X_{TAL}) în serie cu un condensator ajustabil, ca în figura 4.11R.

Condiția de oscilație — reacție pozitivă puternică — va fi îndeplinită doar la frecvențe de rezonanță serie a cuarțului, acolo unde acesta se prezintă ca o rezistență de cîteva zeci de ohmi. Cu C_T se poate ajusta frecvența în limite mici (sute de herți), la frecvențe imediat superioare frecvenței de rezonanță serie a cuarțului.

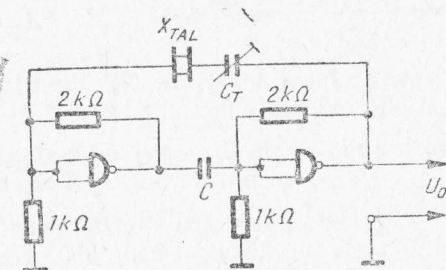


Fig. 4.11R

4.12. Un oscilator LC cuprinde un amplificator neinversor, cu etajul de ieșire avînd rezistența internă de valoare redusă, și un circuit rezonant serie în calea de reacție pozitivă, prin care semnalul se aplică de la ieșire la intrare. Montajul oscilează pe frecvența de rezonanță serie a circuitului rezonant.

Amplificatorul neinversor cu rezistență de ieșire mică se obține conectînd în cascadă două porți inversoare TTL, ca în figura 4.12R.

În vederea asigurării amorsării oscilațiilor, punctele de funcționare se plasează în regiunile de funcționare active (v. problema 4.10), iar cuplajul între cele două etaje se face capacitiv, ca în figura 4.12R.

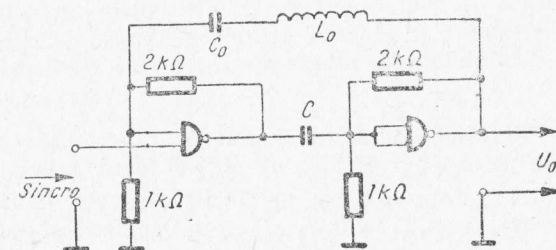


Fig. 4.12R

Dacă se consideră un circuit rezonant serie $L_0 C_0$ cu un factor de calitate $Q = 50 - 100$, care să asigure o rezistență serie $r = 10 \Omega$, raportul L_0/C_0 necesar va fi

$$\sqrt{\frac{L_0}{C_0}} = Q_r = 500 - 1000.$$

Din frecvența de oscilație dorită se obține cealaltă condiție:

$$f_0 = \frac{1}{2\pi\sqrt{L_0 C_0}} = \frac{1}{2\pi\sqrt{\frac{L_0}{C_0} C_0}} = \frac{1}{2\pi C_0 Q_r}.$$

Dacă frecvența dorită este $f_0 = 1 \text{ MHz}$, rezultă

$$Q_r = 50 \cdot 10 = 500,$$

$$C_0 = \frac{1}{2\pi f_0 Q_r} = \frac{1}{2\pi \cdot 10^6 \cdot 500} = 318 \text{ pF}.$$

Se alege $C_0 = 330 \text{ pF}$ și va rezulta

$$L_0 = \frac{1}{4\pi^2 f_0^2 C_0} = 76,7 \mu\text{H}.$$

4.13. Într-adevăr, în TV raportul între frecvențele $2 f_H$ și f_V este egal cu numărul de linii de explorare:

$$\frac{2 f_H}{f_V} = 625 = 5^4.$$

Deci folosind patru divizoare cu 5 în cascadă, frecvențele sînt divizate în trepte de la 31 250 Hz la 6 250, 1 250, 250, respectiv 50 Hz. Perioadele cresc de la 32 μs la 160 μs , 800 μs , 4 ms și 20 ms. Schema bloc din figura 4.13 este cea a unui divizor realizat cu un numărator asincron cu 5.

Din schemă se vede că pe intrările de tact avem:

$$T_1 = T_3; T_2 = \overline{Q}_1,$$

iar intrările de comandă sînt

$$J_1 = Q_3; K_1 = 1;$$

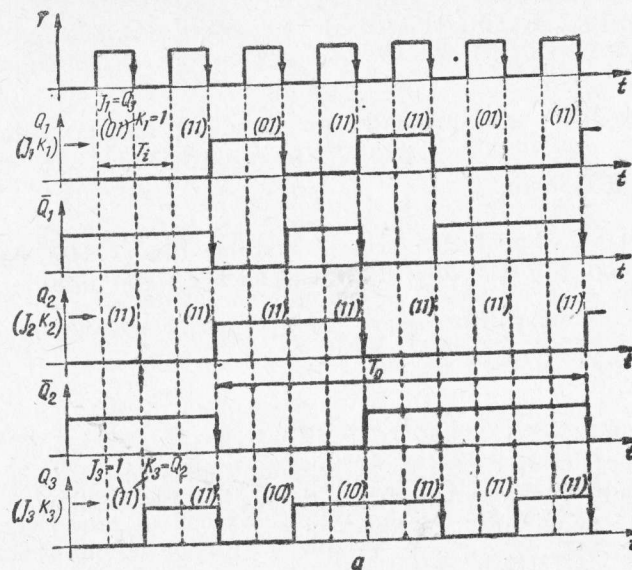
$$J_2 = 1; K_2 = 1;$$

$$J_3 = 1; K_3 = \overline{Q}_2.$$

Ținînd seama de modul de funcționare al unui bistabil de tip JK, s-au trasat formele de undă (fig. 4.13R, a) și s-a făcut tabelul corespunzător stărilor (fig. 4.13R, b).

Se observă că la al cincilea impuls de tact se revine în starea inițială, că perioada de ieșire este $T_0 = 5 T_1$ și că la acest tip de divizor factorul de umplere la ieșire (Q_2) este

$$\alpha = 2/5.$$



i	Q_1	Q_2	Q_3
0	0	0	0
1	0	0	1
2	1	1	0
3	0	1	1
4	1	0	1
5	0	0	0
6	0	0	1
7	1	1	0

b

Fig. 4.13R

Pe diagramele corespunzătoare formelor de undă s-a indicat cu grupe de două cifre situația intrărilor J_i , K_i pentru ușurarea înțelegerii funcționării fiecărui bistabil.

4.14. Pentru a afișa patru cîmpuri unul sub altul pe un osciloscop cu două canale se vor folosi:

- intrarea A a osciloscopului pentru semnalul de TV;
- intrarea B pentru un semnal sub formă de patru trepte scăzătoare, fiecare treaptă avînd durată unui cîmp TV, deci 20 ms;
- comutatorul de mod al osciloscopului — pe modul A + B;
- intrarea de Trig. ext. — cu semnal de declanșare cu perioada de repetiție de 20 ms.

Prin urmare, selectorul de linii, în afara semnalului obișnuit de declanșare a bazei de timp (cu perioadă de 40 ms pentru TV-AN sau 80 ms pentru TVC) trebuie să dea și semnale cu perioada de 20 ms. În plus, trebuie să genereze treptele. Pentru aceasta se folosește un numărător cu 4 (format din două CBB în cascadă) și o rețea de rezistențe ponderate (un convertor digital—analog).

4.15. Canalul 6 de TV are limitele

$$f_m = 174 \text{ MHz și } f_M = 182 \text{ MHz.}$$

Frecvența centrală este

$$f_0 = 178 \text{ MHz,}$$

Lungimea de undă corespunzătoare în aer este :

$$\lambda = \frac{300}{f_0[\text{MHz}]} = \frac{300}{178} = 1,685 \text{ m.}$$

La această lungime de undă, $\frac{\lambda}{2}$ în aer (de exemplu pentru un dipol de antenă) este

$$\frac{l_\lambda}{2} \cong 0,85 \text{ m.}$$

Pentru bucla U de adaptare a cablului nu se poate lua această lungime fiindcă vitezele de propagare în aer și în cablu, caracterizat printr-o constantă dielectrică ϵ_r , sînt diferite. Viteza în cablu este

$$v_c = \frac{c}{\sqrt{\epsilon_r \mu_r}} = \frac{3 \cdot 10^8}{\sqrt{\epsilon_r}} \text{ [m/s]}$$

deoarece $\mu_r = 1$.

Cablurile obișnuite au ca dielectric polietilena cu $\epsilon_r = 2,25$. Deci $\sqrt{\epsilon_r} = 1,5$ iar $1/1,5 = 0,66$. Viteza va fi mai mică în cablu. Ca urmare, relația care leagă pe f de λ prin intermediul vitezei luminii (viteza de propagare a undelor electromagnetice) devine pentru cablu

$$\lambda_c [\text{m}] = \frac{v_c [\text{m/s}]}{f_0 [\text{MHz}]} = \frac{0,66 \cdot 300}{f_0 [\text{MHz}]} = \frac{200}{f_0 [\text{MHz}]}$$

Lungimea buclei U va fi deci

$$l_{e\lambda} = \frac{1}{2} \cdot \frac{300}{\sqrt{\epsilon_r} f_0} = \frac{100}{178} = 0,56 \text{ m.}$$

Deci cu o lungime geometrică mai mică se obține o lungime electrică mai mare. În același mod se pot calcula buclele pentru orice canal.

4.16. Transformatorul de adaptare are schema din figura 4.16R, a. Schema echivalentă este cea din figura 4.16R, b. Se observă că liniile bobinate cu pas constant se comportă ca niște linii avînd impedanța caracteristică $2Z_0$. Ele vor fi adaptate avînd la capătul dinspre

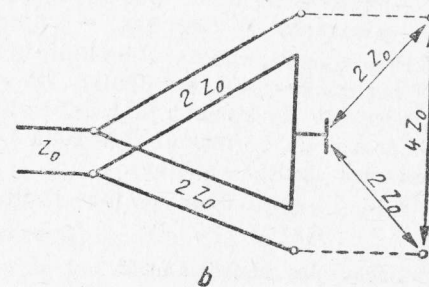
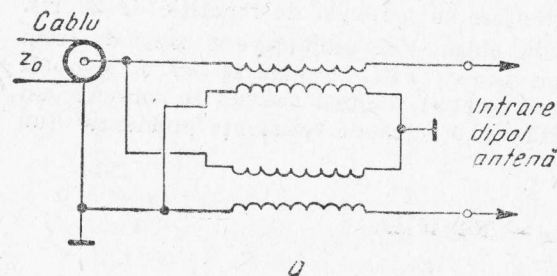


Fig 4.16R

antena cîte jumătate din valoarea impedanței totale de intrare în antenă, deci cîte $2Z_0$. Fiind adaptate pe impedanța caracteristică la intrare se vede $2Z_0$. La intrare acestea fiind în paralel, se obține Z_0 — impedanța egală cu cea a cablului.

B. TELEVIZIUNEA ÎN CULORI

● Semnale de TVC

4.17. Semnalul de luminanță E_Y este dat în cazul televiziunii în culori compatibile ca o combinație liniară a celor trei semnale primare :

$$E_Y = aE_R + bE_G + cE_B.$$

Culorile primare alese în TVC sînt $\lambda_R = 610$ nm, $\lambda_G = 535$ nm și $\lambda_B = 470$ nm. Cu aceste culori se poate sintetiza albul de tip C.

Determinarea coeficienților se face ținînd seama de caracteristica de sensibilitate spectrală a ochiului, prezentată în figura 4.17R. Se observă că acești coeficienți au valorile

$$V_{\lambda_R} = 0,47;$$

$$V_{\lambda_G} = 0,92; \Sigma V_{\lambda} = V_{\lambda_R} + V_{\lambda_G} + V_{\lambda_B} = 1,56;$$

$$V_{\lambda_B} = 0,17.$$

Suma constantelor respective trebuie să fie egală cu unitatea :

$$a + b + c = 1.$$

Prin urmare trebuie făcută o normare. Fiecare coeficient trebuie divizat cu suma lor. Deci

$$a = \frac{0,47}{1,56} = 0,30; \quad b = \frac{0,92}{1,56} = 0,59; \quad c = \frac{0,17}{1,56} = 0,11.$$

În aceste condiții semnalul de luminanță va avea expresia

$$E_Y = 0,30 E_R + 0,59 E_G + 0,11 E_B.$$

Semnalele primare se aleg egale pentru culori acromatice (alb-gri), deci urmează că :

$$E_R = E_G = E_B = E_Y$$

și la alb

$$E_R = E_G = E_B = E_Y = 1 V_Y;$$

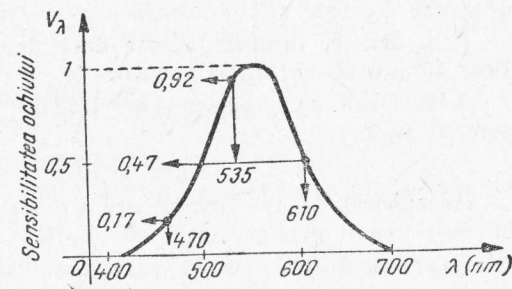


Fig. 4.17R

4.18. Intr-adevăr, deoarece

$$E_R = E_G = E_B = E_Y$$

la transmisiuni în alb-negru, înseamnă că orice semnal diferență de culoare se anulează în aceste cazuri :

$$E_R - E_Y = E_B - E_Y = E_G - E_Y = 0.$$

Cît privește contribuția la luminanță, trebuie să ne referim doar la tipul de tuburi cinescop care primesc pe catodi semnalul E_Y și pe cele trei grile — cele trei diferențe de culoare, ultima dematriciere făcînd-o chiar cinescopul.

În aceste condiții, dacă considerăm numai semnalele de diferență, fiecare tun ar produce o luminanță dată de o diferență de culoare, iar efectul total va fi dat de expresia :

$$Y_{TOT} = K[0,30(E_R - E_Y) + 0,59(E_G - E_Y) + 0,11(E_B - E_Y)],$$

în care K este un factor de conversiune exprimat în $\text{cd/m}^2\text{V}$.

Se observă că după transformare se obține :

$$Y_{TOT} = K[0,30 E_R + 0,59 E_G + 0,11 E_B - E_Y] = 0,$$

deoarece E_Y este egal tocmai cu suma primilor trei termeni.

Prin urmare luminanța este dată doar de semnalul E_Y ; diferențele de culoare modifică doar nuanța și saturația culorii.

4.19. Dacă se practică corecția de γ , în canalele semnalelor primare va apărea un semnal E'_Y :

$$E'_Y = 0,30 E_R^{1/\gamma} + 0,59 E_G^{1/\gamma} + 0,11 E_B^{1/\gamma} \neq E_Y^{1/\gamma}.$$

Receptorul de televiziune are un cinescop cu un factor de contrast γ . Deci luminanța obținută va fi proporțională cu $(E'_Y)^\gamma$.

Raportul dintre această valoare și valoarea reală va fi

$$\frac{(E'_Y)^\gamma}{E_Y} = \frac{[0,30 E_R^{1/\gamma} + 0,59 E_G^{1/\gamma} + 0,11 E_B^{1/\gamma}]^\gamma}{0,30 E_R + 0,59 E_G + 0,11 E_B}.$$

Pentru culorile primare saturate, dacă cinescopul are $\gamma = 2,2$, acest raport devine 0,23 pentru roșu, 0,53 pentru verde, 0,07 pentru albastru și numai la alb este egal cu unitatea.

Deci luminanța nu este redată corect decît în cazul alb-negrului; pentru imagini în culori apar erori mari la luminanța redată pe cinescop. Există metode de eliminare a acestui neajuns.

4.20. Se consideră cele două semnale $MA-PS$:

$$m_1(t) \sin \omega_0 t \text{ și } m_2(t) \sin \left(\omega t \pm \frac{\pi}{2} \right) = \pm m_2(t) \cos \omega_0 t.$$

Prin însumarea lor rezultă oscilația cu MAQ :

$$u(t) = m_1(t) \sin \omega_0 t \pm m_2(t) \cos \omega_0 t = m_1(t) \left[\sin \omega_0 t \pm \frac{m_2(t)}{m_1(t)} \cos \omega_0 t \right].$$

Notînd cu $\operatorname{tg} \theta = \frac{m_2(t)}{m_1(t)}$, rezultă :

$$u(t) = m_1(t)[\sin \omega_0 t \pm \operatorname{tg} \theta \cos \omega_0 t] = \frac{m_1(t)}{\cos \theta} [\sin \omega_0 t \cos \theta \pm \cos \omega_0 t \sin \theta].$$

Cum

$$\cos \theta = \frac{1}{\sqrt{1 + \operatorname{tg}^2 \theta}},$$

rezultă că

$$\frac{m_1(t)}{\cos \theta} = m_1(t) \sqrt{1 + \operatorname{tg}^2 \theta} = \sqrt{m_1^2(t) + m_2^2(t)} = M(t),$$

În final apare forma

$$u(t) = M(t) \sin[\omega_0 t \pm \theta(t)],$$

din care se vede că această oscilație cu *MAQ* este o oscilație modulată simultan în amplitudine (*MA*) și fază (*MP*), dată de $M(t)$ respectiv $\theta(t)$. Dacă se iau semnalele modulate *MA-PS* ca mai jos :

$$u(t) = m_1(t) \cos \omega_0 t \pm m_2(t) \sin \omega_0 t,$$

urmînd o cale identică se ajunge la

$$u(t) = M(t) \cos[\omega_0 t \mp \theta(t)].$$

4.21. Cele două semnale, $m_1(t)$ și $m(t)$, modulează *MA-PS* în cuadratură o purtătoare de frecvență ω_0 și fază φ_0 .

Se obțin două semnale *MA-PS* în cuadratură :

$$s_1(t) = m_1(t) \cos(\omega_0 t + \varphi_0);$$

$$s_2(t) = m_2(t) \sin(\omega_0 t + \varphi_0).$$

Acestea se însumează :

$$s(t) = m_1(t) \cos(\omega_0 t + \varphi_0) + m_2(t) \sin(\omega_0 t + \varphi_0).$$

Se notează

$$S(t) = \sqrt{m_1^2(t) + m_2^2(t)};$$

$$\operatorname{tg} \Phi(t) = \frac{m_2(t)}{m_1(t)}.$$

În reprezentare, dacă se consideră $\varphi_0 = 0$ se obține figura 4.21R.

Rezultă că

$$\cos \Phi(t) = \frac{m_1(t)}{S(t)};$$

$$\sin \Phi(t) = \frac{m_2(t)}{S(t)}.$$

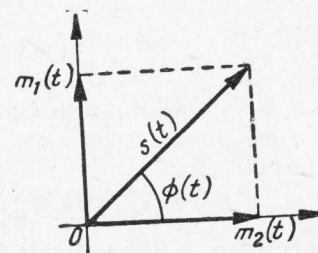


Fig. 4.21R

Atunci se poate scrie

$$s(t) = S(t)\sin[\omega_0 t + \varphi_0 + \Phi].$$

Această expresie arată că semnalul $s(t)$ este modulată simultan în amplitudine și fază ($MA + MP$). Pentru demodulare trebuie refăcute două purtătoare, și ele în cuadratură:

$$u_{p1} = \cos(\omega_1 t + \varphi_1) \text{ și } u_{p2} = \sin(\omega_1 t + \varphi_1).$$

Conform celor ce se vor arăta pentru problema 4.24, după cele două demodulatoare se obține:

$$s_{1d}(t) = S(t)\sin(\omega_0 t + \varphi_0 + \Phi)\cos(\omega_1 t + \varphi_1) = \frac{S(t)}{2} \{ \cos[(\omega_0 + \omega_1)t + \varphi_0 + \varphi_1 + \Phi] + \sin[(\omega_0 - \omega_1)t + \varphi_0 - \varphi_1 + \Phi] \}.$$

Filtrând primul termen cu un filtru FTJ și alegînd $\omega_0 = \omega_1$ și $\varphi_0 = \varphi_1$, se obține

$$s_{1d}(t) = \frac{S(t)}{2} \sin \Phi = \frac{m_1(t)}{2}.$$

În mod analog:

$$s_{2d}(t) = S(t)\sin(\omega_0 t + \varphi_0 + \Phi)\sin(\omega_1 t + \varphi_1)$$

și se obține după transformări:

$$s_{2d}(t) = \frac{S(t)}{2} \cos \Phi = \frac{m_2(t)}{2}.$$

Astfel s-au extras cele două mesaje, $m_1(t)$ și $m_2(t)$, pe două căi separate.

4.22. În cazul sistemului PAL

$$m_1(t) = E_V; S(t) = S_{PAL};$$

$$m_2(t) = E_U; \Phi(t) = \Phi_{PAL}$$

și

$$\omega_0 = \omega_{sp};$$

$$\varphi_0 = 0.$$

Deci

$$S_{PAL} = \sqrt{E_U^2 + E_V^2};$$

$$\operatorname{tg} \Phi_{PAL} = \frac{E_V}{E_U};$$

$$\cos \Phi_{PAL} = \frac{E_U}{S_{PAL}}; \sin \Phi_{PAL} = \frac{E_V}{S_{PAL}}.$$

Pe liniile $n; n+2; n+4$ etc. semnalul are forma

$$E_C = E_V \cos \omega_{sp} t + E_U \sin \omega_{sp} t,$$

respectiv,

$$E_C = S_{PAL} \sin \Phi_{PAL} \cos \omega_{sp} t + S_{PAL} \cos \Phi_{PAL} \sin \omega_{sp} t = S_{PAL} \sin(\omega_{sp} t + \Phi_{PAL}).$$

Pe liniile $n+1; n+3$ se produce inversarea lui E_V :

$$E_C = -E_V \cos \omega_{sp} t + E_U \sin \omega_{sp} t;$$

$$\operatorname{tg} \Phi'_{PAL} = -\frac{E_V}{E_U} \Rightarrow \Phi'_{PAL} = 2\pi - \Phi_{PAL};$$

$$\cos \Phi'_{PAL} = -\frac{E_U}{S_{PAL}} = \cos \Phi_{PAL};$$

$$E_C = S_{PAL} \sin(\omega_{sp}t - \Phi'_{PAL}).$$

În general se poate scrie:

$$E_C = S_{PAL} \sin[\omega_{sp}t + (-1)^n \Phi_{PAL}].$$

La demodularea de produs, la cele două demodulatoare se face înmulțirea semnalului E_C cu $\sin \omega_{sp}t$ respectiv $\cos \omega_{sp}t$. Se va obține astfel la ieșirea demodulatorului 1, după filtrare:

$$s_{1d}(t) = S_{PAL} \sin[\omega_{sp}t + (-1)^n \Phi_{PAL}] \cos \omega_{sp}t = S_{PAL} \sin[(-1)^n \Phi_{PAL}] = (-1)^n S_{PAL} \sin \Phi_{PAL} = (-1)^n E_V, \text{ și la demodulatorul 2:}$$

$$s_{2d}(t) = S_{PAL} \sin[\omega_{sp}t + (-1)^n \Phi_{PAL}] \sin \omega_{sp}t = S_{PAL} \cos[(-1)^n \Phi_{PAL}] = S_{PAL} \cos \Phi_{PAL} = E_U.$$

Semnalul E_V se va obține cu aceeași fază dacă la demodulator se schimbă de la linie la linie faza subpurtătoarei regenerate cu 180° , corespunzător schimbării de fază de la codor. Astfel se obțin cele două semnale diferență de culoare.

4.23. Se presupune că pe cele două intrări ale unui multiplicator analogic se aplică următoarele semnale:

$$v_x = A \sin \omega_0 t;$$

$$v_y = A \sin(\omega_0 t + \varphi).$$

Semnalul de ieșire va fi

$$v_0 = \frac{v_x v_y}{k} = \frac{A^2}{k} \sin \omega_0 t \sin(\omega_0 t + \varphi).$$

Admițînd pentru simplitate că constanta multiplicatorului $k[V] = 1$ și făcînd transformări, se găsește că

$$v_0(t) = \frac{1}{2} A^2 [\cos \varphi - \cos(2\omega_0 t + \varphi)].$$

După cum se vede, valoarea medie a semnalului de ieșire, respectiv componenta continuă a acestuia,

$$\bar{v}_0 = \frac{1}{T} \int_0^T v_0(t) dt = \frac{1}{2\pi} \int_0^{2\pi} \frac{1}{2} A^2 [\cos \varphi - \cos(2\omega_0 t + \varphi)] dt = \frac{1}{2} A^2 \cos \varphi,$$

este proporțională cu $\cos \varphi$, deci cu defazajul dintre cele două semnale de intrare.

În TV, printre alte aplicații, se folosește această proprietate la demodularea semnalelor modulate MF (sunet sau cromatică în sistemul SECAM).

Evident, înmulțirea trebuie să se facă între un semnal MF și același semnal transformat printr-un circuit ca cel din problema 4.8. Acesta are și o modulație de fază. Astfel prin înmulțire se va obține la ieșire un semnal proporțional cu φ care este tocmai semnalul original de modulație.

4.24. Se știe că un semnal MA în general are expresia :

$$s_m(t) = [A_1 + m(t)]\cos(\omega_0 t + \varphi_0),$$

în care :

A_1 este o componentă continuă ;

$m(t)$ — mesajul — semnalul modulator de forma $m(t) = M \cos(\omega_m t + \varphi_m)$;

ω_0 — pulsația purtătoarei.

În cazul $MA-PS$

$$A_1 = 0$$

și expresia semnalului modulat este

$$s_m(t) = m(t)\cos(\omega_0 t + \varphi_0).$$

Pentru a realiza demodularea de produs, va trebui să existe o purtătoare regenerată local la receptor. Fie aceste purtătoare de amplitudine unitară egală cu (s-a propus inițial o pulsație ușor diferită ω_1) :

$$u_p = \cos(\omega_1 t + \varphi_1).$$

Demodularea de produs înseamnă înmulțirea, deci la ieșirea demodulatorului se obține :

$$s(t) = m(t)\cos(\omega_0 t + \varphi_0)\cos(\omega_1 t + \varphi_1).$$

Efectuînd transformările se obține :

$$\begin{aligned} s(t) &= m(t) \frac{\cos[(\omega_0 + \omega_1)t + \varphi_0 + \varphi_1] + \cos[(\omega_0 - \omega_1)t + \varphi_0 - \varphi_1]}{2} = \\ &= \frac{m(t)}{2} \cos[(\omega_0 + \omega_1)t + \varphi_0 + \varphi_1] + \frac{m(t)}{2} \cos[(\omega_0 - \omega_1)t + \varphi_0 - \varphi_1]. \end{aligned}$$

Primul termen care are frecvența dublă $(\omega_0 + \omega_1)$ va fi filtrat cu un FTJ . Cel de-al doilea termen trebuie să redea mesajul.

Se observă că mesajul va fi redat cvasicorect numai dacă $\omega_0 = \omega_1$. Atunci

$$s(t) = \frac{m(t)}{2} \cos(\varphi_0 - \varphi_1).$$

Purtătoarea regenerată local trebuie deci să fie cu frecvență riguros egală cu purtătoarea de la emisie. În plus, trebuie evitat un defazaj

$$\varphi_0 - \varphi_1 = \frac{\pi}{2},$$

fiindcă atunci nu se mai recuperează mesajul. Deși nu este absolut obligatoriu, este bine să fie îndeplinită și condiția

$$\varphi_0 - \varphi_1 = 0$$

și astfel

$$s(t) = \frac{m(t)}{2}.$$

4.25. Subpurtătoarea în cadrul sistemului PAL se alege cu offset de sfert de linie și cu un offset suplimentar de jumătate de cîmp.

Considerînd armonicile a 283-a și a 284-a ale frecvenței liniilor, subpurtătoarea va fi plasată între a 567-a și a 568-a armonică a jumătății frecvenței de linii, cu un decalaj suplimentar de $f_V/2$, ca în figura 4.25R.

Pentru $n = 283$ rezultă valoarea exactă:

$$\begin{aligned} f_{sp_{PAL}} &= \left(284 - \frac{1}{4}\right) f_H + \frac{f_V}{2} = \\ &= \left(284 - \frac{1}{4}\right) f_H + \frac{f_H}{625}; \\ f_{sp_{PAL}} &= \left(284 - \frac{1}{4} + \frac{1}{625}\right) f_H = \\ &= \left(\frac{1\,135}{4} + \frac{1}{625}\right) f_H = \frac{1\,135 \cdot 625 + 4}{625 \cdot 4} f_H = \\ &= 4,433619 \text{ MHz.} \end{aligned}$$

Se poate stabili relația între perioade $T_{sp} = \frac{1}{f_{sp}}$ și $T_H = \frac{1}{f_H}$ și se găsește:

$$T_H = \left(284 - \frac{1}{4} + \frac{1}{625}\right) T_{sp}.$$

4.26. Din expresia

$$T_H = \left(284 - \frac{1}{4} + \frac{1}{625}\right) T_{sp}$$

se observă că neglijînd pe durata unei linii durata $\frac{T_{sp}}{625}$, ca fiind foarte mică în raport cu perioada T_{sp} , pe fiecare linie de explorare $T_H = 64 \mu s$ încap un număr de 284 de perioade din care se scade $\frac{1}{4} T_{sp}$, deci un sfert de perioadă. Prin urmare, între două linii succesive de pe același cîmp va apărea un decalaj de un sfert de perioadă, deci un defazaj de 90° .

După un cîmp, deci după 312,5 linii, se obține

$$312,5 T_H = 312,5 \left(284 - \frac{1}{4}\right) T_{sp} + \frac{1}{2} T_{sp},$$

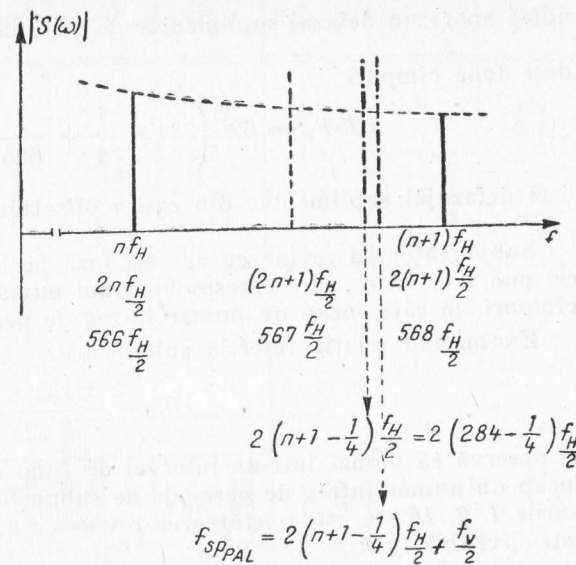


Fig. 4.25R

adică apare un defazaj suplimentar de 180° datorat termenului $\frac{T_{sp}}{2}$. După un cadru de TV, deci două cîmpuri

$$625T_H = 625 \left(284 - \frac{1}{4} + \frac{1}{625} \right) T_{sp} = 625 \left(284 - \frac{1}{4} \right) + T_{sp},$$

deci defazaajul suplimentar din cauza offsetului de $\frac{f_V}{2}$ este de o perioadă.

Subpurtătoarea revine cu aceeași fază pe linia de același rang din cadre succesive după cel mai scurt timp care corespunde unui număr întreg de cadre, respectiv un număr par de cîmpuri, în care încap un număr întreg de perioade de T_{sp} .

Examinînd relația rescrisă sub forma :

$$T_H = \frac{1\,135 \times 625 + 4}{625 \times 4} T_{sp},$$

se observă că numai într-un interval de timp de 4×625 linii, deci 4 cadre, sau 8 cîmpuri, încap un număr întreg de perioade de subpurtătoare. Deci, de exemplu, pe liniile 1 din cîmpurile 1, 9, 16 etc., subpurtătoarea revine cu aceeași fază (aceasta — fiindcă $1\,135 \times 625$ nu este divizibil cu 4).

● Semnale pentru imagini de control

4.27. Se știe, sau dacă nu — se va constata din tabelul ce urmează, că ordinea descrescătoare a luminanțelor barelor corespunde ordinii alb, galben, turcoaz (cyan) verde, mov (magenta-purpuriu), roșu, albastru și negru.

Știind că luminanța maximă înseamnă semnal de alb de $1 V_{VV}$, iar pentru saturația maximă a culorilor amplitudinea semnalelor primare trebuie să fie maximă, se poate alcătui tabelul din figura 4.27R, a.

Toate semnalele primare au valoarea 1 pentru alb, sînt zero pentru negru, egale fiecare cu unitatea pentru culoarea primară corespunzătoare — celelalte fiind nule — și egale două cîte două cu unitatea, cîte unul fiind nul pentru culorile complementare (de ex. : $E_R = 1$; $E_G = 1$ și $E_B = 0$ pentru galben, complementarul albastrului obținut din amestecul dintre roșu și verde).

Celelalte coloane din tabel se calculează ținînd cont de diferențele între coloane pentru diferențele de culoare sau de relațiile :

$$\begin{aligned} E_Y &= 0,30E_R + 0,59E_G + 0,11E_B; \\ E_C &= (E_R - E_Y)\cos \omega_{sp}t + (E_B - E_Y)\sin \omega_{sp}t = \\ &= |E_C|\sin(\omega_{sp}t + \Phi_C), \end{aligned}$$

Culoarea	E_R	E_G	E_B	E_Y	$E_R - E_Y$	$E_B - E_Y$	$ E_C $	$E_Y + E_C $	$E_Y - E_C $	Φ_c
Alb	1	1	1	1	0	0	0	1	1	0
Galben	1	1	0	0,89	+0,11	-0,89	0,89	1,78	0	172
Turcoaz	0	1	1	0,70	-0,70	+0,30	0,76	1,46	-0,06	307
Verde	0	1	0	0,59	-0,59	-0,28	0,83	1,42	-0,24	225
Magenta	1	0	1	0,41	+0,59	+0,59	0,83	1,24	-0,42	45
Roșu	1	0	0	0,30	+0,70	-0,30	0,76	1,06	-0,46	127
Albastru	0	0	1	0,11	-0,11	+0,89	0,89	1	-0,78	352
Negru	0	0	0	0	0	0	0	0	0	0

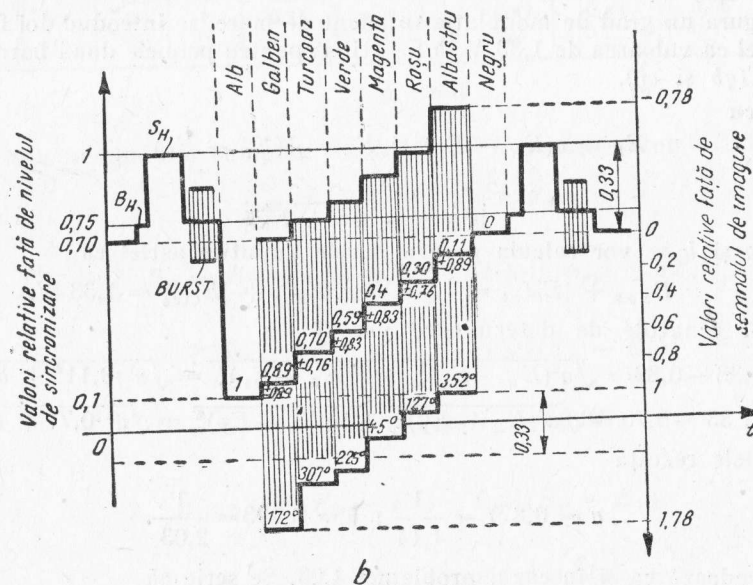


Fig. 4.27R

în care

$$|E_C| = \sqrt{(E_R - E_Y)^2 + (E_B - E_Y)^2}$$

și

$$\Phi_c = \arctg \frac{E_R - E_Y}{E_B - E_Y},$$

iar semnalul complex de TVC este

$$E_M = E_Y + E_C + S_{H+V+C}$$

Pentru reprezentare, așa cum este ea făcută în figura 4.27R, b , s-au calculat și limitele amplitudinii semnalului complex:

$$E_M = E_Y \pm |E_C|.$$

S-au notat pe diagramă și valorile semnalelor E_Y deasupra barei, E_C cu \pm și faza în grade. Se observă depășirile substanțiale care apar atât în domeniul sincronizării, putînd-o deranja, cît și în sensul albului, care ar conduce la supramodulația emițătorului.

4.28. Din studii aprofundate rezultă că dacă se acceptă în acest caz o supramodulație de 33%, în condiții de culori obișnuite, nu va apărea niciodată o supramodulație a emițătorului. Astfel, valoarea maximă a semnalului

$$E_M = E_Y + |E_C|$$

va fi redusă la 1,33 V.

Pentru a asigura un grad de modulație suficient de mare, se introduc doi factori de pondere, a și b , astfel ca valoarea de 1,33 V să fie atinsă pentru primele două bare de culoare, galben și turcoaz (gb și cy).

Se notează cu

$$E_V = a(E_R - E_Y) \text{ și } E_U = b(E_B - E_Y)$$

iar

$$|E'_C| = \sqrt{E_U^2 + E_V^2}.$$

Coefficienții a și b se vor calcula pentru barele amintite astfel ca

$$E_{Ygb} + |E'_C|_{gb} = 1,33 \text{ V și } E_{Ycy} + |E'_C|_{cy} = 1,33 \text{ V.}$$

Prin urmare, ecuațiile de determinare vor fi

$$|E'_C|_{gb} = 1,33 - 0,89 = \sqrt{a^2(E_R - E_Y)_{gb}^2 + b^2(E_B - E_Y)_{gb}^2} = \sqrt{a^2 \cdot 0,11^2 + b^2 \cdot 0,89^2};$$

$$|E'_C|_{cy} = 1,33 - 0,70 = \sqrt{a^2(E_R - E_Y)_{cy}^2 + b^2(E_B - E_Y)_{cy}^2} = \sqrt{a^2 \cdot 0,7^2 + b^2 \cdot 0,3^2}.$$

Efectuînd calculele rezultă

$$a = 0,877 = \frac{1}{1,14}; \quad b = 0,493 = \frac{1}{2,03}.$$

4.29. Se procedează ca și în cazul problemei 4.28. Se scrie că

$$E_V = 0,877(E_R - E_Y) = \frac{1}{1,14}(E_R - E_Y);$$

$$E_U = 0,493(E_B - E_Y) = \frac{1}{2,03}(E_B - E_Y);$$

$$|E_C| = \sqrt{E_U^2 + E_V^2};$$

$$\Phi_C = \arctg \frac{E_V}{E_U}.$$

Ținând seama de aceste relații se poate completa tabelul din figura 4.29R.
Ca și pentru figura 4.27R, b, se poate trasa semnalul complex de TVC și în acest caz:

Culoarea	E_R	E_G	E_B	E_Y	E_V	E_U	$ E_C $	$E_Y + E_C $	$E_Y - E_C $	Φ_c°
Alb	1	1	1	1	0	0	0	1	1	0
Galben	1	1	0	0,89	+0,10	-0,44	0,44	1,33	0,45	167
Turcoaz	0	1	1	0,70	-0,62	+0,15	0,63	1,33	0,07	283
Verde	0	1	0	0,59	-0,52	-0,29	0,59	1,18	0	241
Magenta	1	0	1	0,41	+0,52	+0,29	0,59	1	-0,18	61
Roșu	1	0	0	0,30	0,62	-0,15	0,63	0,93	-0,33	103
Albastru	0	0	1	0,11	-0,10	+0,44	0,44	0,55	-0,33	347
Negru	0	0	0	0	0	0	0	0	0	0

Fig. 4.29R

4.30. Expresia semnalului complex CVBS de TVC pentru sistemul NTSC este

$$E_M = E_Y + E_C + S_{H+V+C_2}$$

cu

$$E_C = E_I \cos(\omega_{sp}t + 33^\circ) \mp E_Q \sin(\omega_{sp}t + 33^\circ),$$

avînd

$$E_I = 0,74(E_R - E_Y) - 0,27(E_B - E_Y),$$

respectiv

$$E_I = 0,60E_R - 0,28E_G - 0,32E_B$$

și

$$E_Q = 0,48(E_R - E_Y) \mp 0,41(E_B - E_Y),$$

respectiv

$$E_Q = 0,21E_R - 0,52E_G + 0,31E_B$$

Și aici exprimarea se poate face sub forma

$$E_C = |E_C| \sin(\omega_{sp}t + \Phi_C),$$

în care

$$|E_C| = \sqrt{E_I^2 + E_Q^2},$$

iar

$$\Phi_C = 33^\circ + \arctg \frac{E_I}{E_Q}.$$

Considerînd acum $\cos 33^\circ = 0,84$ și $\sin 33^\circ = 0,54$ și înlocuind E_I și E_Q , se obține

$$E_C = 0,88[0,56(E_B - E_Y)\sin \omega_{sp}t + (E_R - E_Y)\cos \omega_{sp}t] = \frac{E_R - E_Y}{1,14} \cos \omega_{sp}t \mp$$

$$\pm \frac{E_B - E_Y}{2,03} \sin \omega_{sp}t;$$

$$|E_C| = \sqrt{E_U^2 + E_V^2};$$

$$\Phi_C = \arctg \frac{E_V}{E_U}, \text{ ca în problema 4.29.}$$

Dacă se completează tabelul, se va găsi un tabel identic cu cel din figura 4.29R, cu excepția coloanelor pentru E_I și E_Q , care diferă de E_U și E_V .

Deci ponderarea rezultă implicit și nivelele de alb și negru nu sînt depășite cu mai mult de 33%.

4.31. Se procedează ca în cazul problemelor 4.27 4.28 și 4.29.

Coeficienții de ponderare găsiți sînt chiar cei utilizați și de sistemul PAL.

Expresiile semnalelor sînt

$$E_M = E_Y + E_C + S_{H+V+C};$$

$$E_G = E_U \sin \omega_{sp}t \pm E_V \cos \omega_{sp}t.$$

$$|E_C| = \sqrt{E_U^2 + E_V^2}$$

Dacă
și

$$\Phi_C = \pm \arctg \frac{E_V}{E_U},$$

atunci

$$E_C = |E_C| \sin(\omega_{sp}t \pm \Phi_C).$$

Făcînd calculele în mod analog, se poate completa tabelul din figura 4.31R. Valorile diferă de tabelul 4.29R, numai din cauza valorilor diferite pentru semnalele primare, considerînd luminanța și saturația de 75%.

Semnalul poate fi trasat ca și în problemele precedente.

Culoare	E_R	E_G	E_B	E_Y	E_V	E_U	$ E_C $	$E_Y + E_C $	$E_Y - E_C $	Φ_C°
Alb	0,75	0,75	0,75	0,75	0	0	0	0,75	0,75	0
Galben	0,75	0,75	0	0,66	0,079	-0,325	0,34	1	0,32	167
Verde	0	0,75	0,75	0,53	-0,465	+0,110	0,48	1,01	0,05	283
Verde	0	0,75	0	0,45	-0,395	-0,222	0,45	0,90	0	241
Magenta	0,75	0	0,75	0,30	+0,395	+0,222	0,45	0,75	-0,15	61
Roșu	0,75	0	0	0,23	+0,465	-0,110	0,48	0,71	-0,25	103
Albastru	0	0	0,75	0,09	-0,079	+0,325	0,34	0,43	-0,25	347
Negru	0	0	0	0	0	0	0	0	0	0

Fig. 4.31R

4.32. Dacă se calculează pentru mira de bare în culori cu luminanța și saturatia de 75% semnalele diferență de culoare, se găsește valorile din tabelul 4.34R. a.

Se constată că diferențele de culoare iau valori cuprinse între limitele de mai jos :

$$-0,525 \leq (E_R - E_Y) \leq +0,525 ;$$

$$-0,667 \leq (E_B - E_Y) \leq +0,667.$$

În sistemul SECAM se face o pondrare a acestor semnale prin raportarea la unitate, apărând astfel o expandare a semnalelor.

Coefficienții de ponderare rezultă din această raportare în cazul valorilor extreme de mai sus. Semnele se iau diferite din motive de repartizare a spectrelor.

Astfel :

$$D_R = -\frac{1}{0,525} (E_R - E_Y) = -1,9(E_R - E_Y) ;$$

$$D_B = +\frac{1}{0,667} (E_B - E_Y) = +1,5(E_B - E_Y).$$

Se pot calcula valorile pentru toate barele de culoare care sînt înscrise în tabelul 4.34R. a.

4.33. Prin accentuare în VF apar salturi de amplitudine mare la trecerea de la o bară la alta. În aceste condiții, la modulatorile de frecvență vor apărea deviații mari de frecvență, care vor conduce la distorsiuni.

Din motive de lărgime de bandă impusă și pentru a asigura o vizibilitate cît mai redusă pe ecran, s-au ales cele două subpurtoare f_{0R} și f_{0B} (v. rel. 18).

De asemenea s-au ales deviații maxime de frecvență, care nu trebuie întrecute. Acestea sînt diferite pentru cele două culori și sînt asimetrice :

$$\Delta f_{Rmax} = \begin{cases} +350 \text{ kHz} \\ -500 \text{ kHz} \end{cases} \quad \text{și} \quad \Delta f_{Bmax} = \begin{cases} +500 \text{ kHz} \\ -350 \text{ kHz} \end{cases}$$

S-au normat și deviațiile nominale de frecvență, adică valorile deviațiilor pentru semnale unitare $D_R = 1 \text{ V}$ și $D_B = 1 \text{ V}$,

Acestea sînt

$$\Delta f_{R1} = 280 \text{ kHz} \text{ și } \Delta f_{B1} = 230 \text{ kHz}.$$

Din aceste valori se pot deduce nivelele impuse pentru limitare :

$$\frac{\pm \Delta f_{Rmax}}{\Delta f_{R1}} = \begin{cases} +\frac{350}{280} = +1,25 \\ -\frac{500}{280} = -1,8 \end{cases} \quad \text{și} \quad \frac{\pm \Delta f_{Bmax}}{\Delta f_{B1}} = \begin{cases} +\frac{500}{230} = 2,18 \\ -\frac{350}{230} = -1,52 \end{cases}$$

Deviațiile de frecvență corespunzătoare valorilor de palier ale semnalelor de bare se pot calcula ca și frecvențele instantanee f_{iR} și f_{iB} :

$$\Delta f_{Rcul} = D_{Rcul} \Delta f_{R1} ;$$

$$\Delta f_{Bcul} = D_{Bcul} \Delta f_{B1}$$

și

$$f_{iR\text{cul}} = f_{0R\text{cul}} + \Delta f_{R\text{cul}};$$

$$f_{iB\text{cul}} = f_{0R\text{cul}} + \Delta f_{B\text{cul}}.$$

De exemplu, pentru galben (gb) valorile sînt:

$$\Delta f_{R(gb)} = -0,16 \cdot 280 = -45 \text{ kHz};$$

$$\Delta f_{B(gb)} = -1 \cdot 230 = -230 \text{ kHz};$$

$$f_{iR(gb)} = 4,40625 - 45 = 4,36125 \text{ MHz};$$

$$f_{iB(gb)} = 4,250 - 230 = 4,020 \text{ MHz}.$$

Pentru toate celelalte, rezultatele sînt trecute în tabelul 4.34R, a.

Culoarea	E_R	E_G	E_B	E_Y	$E_R - E_Y$	$E_B - E_Y$	D_R	D_B	ΔI_R [kHz]	ΔI_B [kHz]	I_{iR} MHz	I_{iB} [MHz]	A_R [mV _{ve}]	A_B [mV _{ve}]
Alb	1	1	1	1	0	0	0	0	0	0	4,40625	4,250	206	166
Galben	0,75	0,75	0	0,6675	+0,0825	-0,6675	-0,16	-1	-45	-230	4,36125	4,020	184	350
Cyan	0	0,75	0,75	0,525	-0,525	+0,225	+1	+0,34	+280	+78	4,68625	4,328	457	170
Verde	0	0,75	0	0,4425	-0,4425	-0,4425	+0,84	-0,66	+235	-152	4,64125	4,098	418	270
Mov	0,75	0	0,75	0,3075	+0,4425	+0,4425	-0,84	+0,66	-235	+152	4,17125	4,402	206	204
Roșu	0,75	0	0	0,225	+0,525	-0,225	-1	-0,34	-280	-78	4,12625	4,172	242	206
Albastru	0	0	0,75	0,0825	-0,0825	+0,6675	+0,16	+1	+45	+230	4,45125	4,480	245	266
negru	0	0	0	0	0	0	0	0	0	0	4,40625	4,250	206	166
Semnale identifi- care	-	-	-	-	-	-	+1,25	-1,50	+350	-350	4,75625	3,900	535	500

a

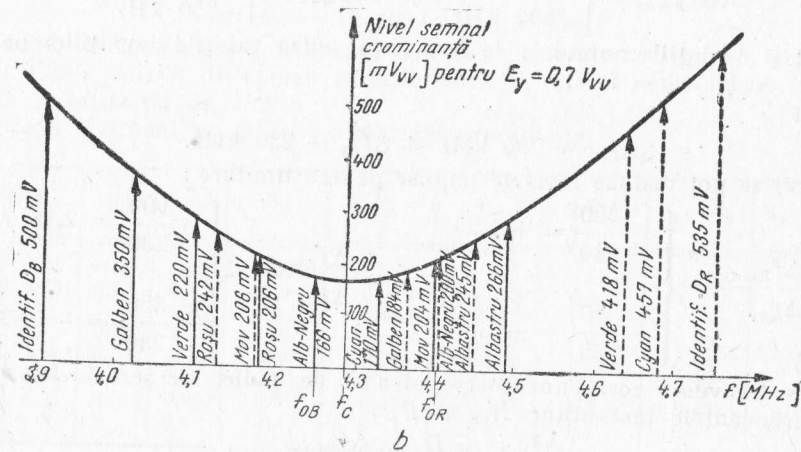


Fig. 4.34R

4.34. Curba de accentuare în IF (curba anticlopot) este dată de factorul de transfer al circuitului :

$$A_{IF} = \frac{1 + jQ\xi}{1 + jkQ\xi},$$

în care : $\xi = \frac{f}{f_c} - \frac{f_c}{f}$; $Q = 16$; $kQ = 1,26$, iar $f_c = 4,286$ MHz,

Curba se poate trasa la scară liniară sau logaritmică (în dB) :

$$|A|_{IF} = \frac{\sqrt{1 + 256\xi^2}}{\sqrt{1 + 1,6\xi^2}} \text{ sau } A_{dB} = 10 \log \frac{1 + 256\xi^2}{1 + 1,6\xi^2}.$$

La frecvența centrală, f_c , amplitudinea subpurtătoarei se ia egală cu 23% din valoarea corespunzătoare excursiei alocate pentru semnalul de luminanță, respectiv 0,7 V.

Deci $0,23 \times 0,7 \cong 0,160$ V la frecvența centrală. Pentru celelalte frecvențe, corespunzătoare diverselor bare, trebuie făcut calculul în mod similar. Valoarea $|A|_{IF}$ pentru frecvența $f_{IR,B}$ a barei respective. Aceasta se va multiplica cu 160 mV.

Rezultatele sînt înscrise în coloanele corespunzătoare din tabelul 4.34R, a.

Evident, calculul se face pe aceeași curbă pentru ambele semnale (D_R modulat sau D_B modulat), ținînd însă seama de frecvențele instantanee corespunzătoare.

De exemplu, pentru roșu se obțin pe rînd :

$D_{R(roșu)} = -1$; $\Delta f_{R(roșu)} = -280$ kHz ; $f_{IR(roșu)} = 4,40625 - 0,280 = 4,12625$ MHz ;
apoi se calculează :

$$\xi_{roșu} = \frac{f_{IR(roșu)}}{f_c} - \frac{f_c}{f_{IR(roșu)}} ;$$

$$\xi_{roșu} = \frac{4,12625}{4,286} - \frac{4,286}{4,12625} = 0,962 - 1,0387 = -0,076 ;$$

$$\xi_{roșu}^2 = 0,588 \cdot 10^{-2} ; \quad 256\xi^2 = 1,50 \text{ și } 1,26\xi^2 = 0,74 \cdot 10^{-2}.$$

Se găsește

$$|A|_{roșu} = \sqrt{\frac{1 + 1,5}{1}} \cong 1,58 ;$$

Ținînd cont că se acceptă 23% din semnalul E_V :

$$A_R = 0,23 \cdot 1,58 = 0,36 \text{ V.}$$

Dacă pentru luminanță se alocă doar 0,7 V fără sincro, rezultă :

$$A_R = 0,7 \cdot 0,36 \cong 0,25 \text{ V,}$$

Și așa se poate face pentru toate celelalte,

○ **De reținut.** Valorile înscrise în tabel sînt valabile pentru miră cu saturație de 75% cu $|A_{i, r}| = 0,16$ V la $f = f_c$ pentru $E_V = 0,7$ V_{VV}. S-a trasat totodată și caracteristica $|A_{i, r}| = f(f)$ ponderată și s-au figurat amplitudinile semnalelor modulate MF cu MA suplimentară: cu linie plină pentru D_B și cu linie punctată pentru D_R (v. fig. 4.34R, b).

4.35. După tabelul 4.34R, a se trasează semnalul complex CVBS — SECAM pentru valorile de palier (fig. 4.35R).

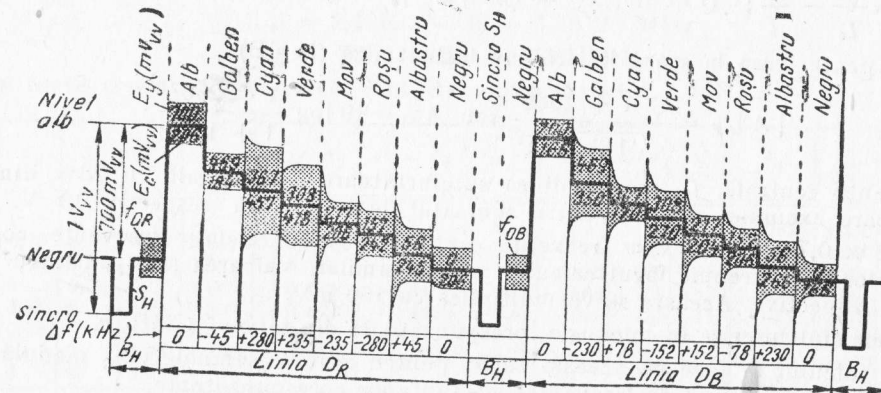


Fig. 4.35R

Forma depășirilor nu rezultă din calcul, dar așa sînt în realitate.

În regiunea supracreșterilor există o frecvență instantanee diferită de cea calculată din cauza accentuării în VF, care duce la amplitudini mai mari, deci deviații de frecvență mai mari decît cele corespunzătoare palierelor.

Întrucît în acea regiune frecvența instantanee este diferită, din cauza accentuării în IF vor rezulta alte amplitudini.

În concluzie, salturile de amplitudine conduc la variații de frecvență și de amplitudine ale semnalelor de cromaticitate.

● Decodare

4.36. Se va folosi un calcul trigonometric. Se exprimă semnalul de cromaticitate E_C la codare pe o linie n , fără eroare de fază:

$$E_C(\varphi) = E_{Cn}(\varphi) = S \sin(\omega_{sp}t + \varphi) = E_U \sin \omega_{sp}t + E_V \cos \omega_{sp}t,$$

în care

$$S = \sqrt{E_U^2 + E_V^2} \quad \text{și} \quad \tan \varphi = \frac{E_V}{E_U}.$$

Pe linia următoare $(n + 1)$, tot fără eroare de fază, la codor se schimbă faza cu 180° pentru semnalul E_V modulat :

$$E_C^*(-\varphi) = E_{C(n+1)}(-\varphi) = E_U \sin \omega_{sp}t - E_V \cos \omega_{sp}t.$$

Dacă apare o eroare de fază β , de la codor apare pe linia n semnalul :

$$\begin{aligned} E_C(\varphi + \beta) &= E_{Cn}(\varphi + \beta) = E_U \sin(\omega_{sp}t + \beta) + E_V \cos(\omega_{sp}t + \beta) = \\ &= E_U \sin \omega_{sp}t \cos \beta + E_U \cos \omega_{sp}t \sin \beta + E_V \cos \omega_{sp}t \cos \beta - E_V \sin \omega_{sp}t \sin \beta = \\ &= (E_U \cos \beta - E_V \sin \beta) \sin \omega_{sp}t + (E_U \sin \beta + E_V \cos \beta) \cos \omega_{sp}t. \end{aligned}$$

Pe linia $(n + 1)$, cu eroare de fază β , de la codor se va schimba doar faza semnalului E_V modulat :

$$\begin{aligned} E_C^*(-\varphi + \beta) &= E_{C(n+1)}^*(-\varphi + \beta) = (E_U \cos \beta + E_V \sin \beta) \sin \omega_{sp}t + \\ &+ (E_U \sin \beta - E_V \cos \beta) \cos \omega_{sp}t. \end{aligned}$$

În decodor, pe durata liniei $(n + 1)$ se dispune pe de o parte de semnalul afectat de eroarea de pe linia n , întârziat cu $\tau_H = 64 \mu s$:

$$E_{C(n+1)} = E_{Cn\tau_H}(\varphi + \beta)$$

și de semnalul corespunzător liniei $(n + 1)$ căruia i se practică o reflectare după axa U , respectiv se schimbă faza semnalului E_V modulat cu 180° prin schimbarea semnelor lui $\cos \omega_{sp}t$ în $-\cos \omega_{sp}t$, și se obține :

$$E_{C(n+1)}^*(\varphi - \beta) = (E_U \cos \beta + E_V \sin \beta) \sin \omega_{sp}t + (-E_U \sin \beta + E_V \cos \beta) \cos \omega_{sp}t ;$$

se adună apoi semnalele $E_{Cn}(\varphi + \beta)$ întârziat cu semnalul de pe linia $(n + 1)$ căruia i s-a făcut reflectarea și se ia media aritmetică. Astfel, la ieșirea decodului se obține un semnal :

$$\underline{E}_{C(n+1)}' = \frac{\underline{E}_{Cn\tau_H}(\varphi + \beta) + \underline{E}_{C(n+1)}^*(\varphi - \beta)}{2} = E_C'(\varphi) ;$$

$$\underline{E}_C'(\varphi) = \cos \beta [E_U \sin \omega_{sp}t + E_V \cos \omega_{sp}t] = \cos \beta \underline{E}_C(\varphi).$$

Se observă că pe linia $(n + 1)$ se obține semnalul corespunzător acestei linii $\underline{E}_C(\varphi)$, care în ciuda erorii de fază existente, β , este redat corect ca fază (φ) , deci ca nuanță de culoare. Eroarea se manifestă sub forma unei variații de amplitudine, care înseamnă o desaturare a culorii. De aceea factorul $\cos \beta$ se numește factor de desaturare.

4.37. Cele arătate în rezolvarea problemei 4.36 se referă la structura unui decodor simplu PAL_s, care practic nu se mai folosește astăzi. Linia de întârziere lipsea, iar efectul de întârziere obținut se baza pe capacitatea de integrare a ochiului și pe persistența luminoasă a senzațiilor (ochiul percepe media aritmetică a culorilor date de semnalele de pe două linii succesive).

Singura grijă este aceea de a comuta demodulatorul pentru V cu semnale ale subpurtătoare cu faze în opoziție față de cele ale codorului, ca în figura 4.37R, a, pentru a realiza lectarea față de axa U .

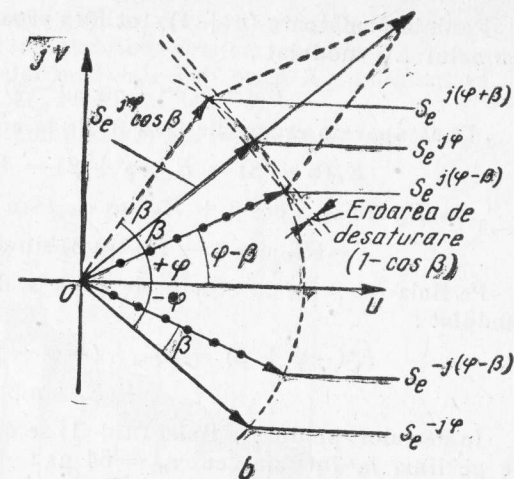
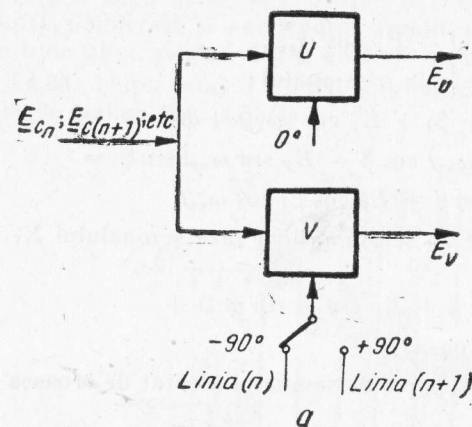


Fig. 4.37R

Cele spuse se pot ilustra și într-o diagramă de fazori ca în figura 4.37R, b.

Se presupune că se transmite semnalul $\underline{E}_C(\varphi) = S e^{j\varphi}$ pe linia n . Pe linia $(n+1)$, comutînd la codor faza lui E_V se va transmite $\underline{E}_C^*(\varphi) = S e^{-j\varphi}$. Cu eroare de fază, pe cele două linii succesive vor apărea fazorii :

$$\underline{E}_C(\varphi + \beta) = S e^{j(\varphi + \beta)};$$

$$\underline{E}_C^*(-\varphi - \beta) = S e^{-j(\varphi + \beta)}.$$

Dacă se face reflectarea ca în oglindă față de axa U , se obține pe linia $(n+1)$ fazorul :

$$\underline{E}_C^*(\varphi - \beta) = S e^{j(\varphi - \beta)}.$$

Ochiul percepiînd media aritmetică, se obține compensarea

$$\underline{E}_C(\varphi + \beta)_{COMPENS} = \frac{S e^{j(\varphi + \beta)} + S e^{j(\varphi - \beta)}}{2} = \frac{S e^{j\varphi} (e^{j\beta} + e^{-j\beta})}{2} = S e^{j\varphi} \cos \beta.$$

4.38(R). În cazul apariției unei erori de fază β , expresia semnalului va fi :

$$E_C = S_{PAL} \sin [\omega_{sp} t + (-1)^n \Phi + \beta].$$

Conform celor arătate în problema 4.22, la cele două demodulatoare 1 și 2 din schema din figura 4.38R se introduc ambele subpurtătoare regenerate (cele două demodulatoare sînt duble), respectiv

$$u_{p1} = \sin \omega_{sp} t;$$

$$u_{p2} = \cos \omega_{sp} t.$$

După înmulțire și filtrare rezultă :

$$E_U = S_{PAL} \cos [(-1)^n \Phi_{PAL} + \beta];$$

$$E_V = S_{PAL} \sin [(-1)^n \Phi_{PAL} + \beta].$$

Cu ajutorul unei linii de întârziere de $\tau = T_H = 64 \mu s$ și a două blocuri, unul de sumare și altul de scădere, se pot combina cele două semnale de pe două linii succesive, cel curent și cel întârziat (fig. 4.38R).

La ieșirile celor două demodulatoare duble se obțin următoarele semnale la același moment de timp (pe calea directă, linia curentă $n = \text{par}$; pe calea cu întârziere linia precedentă, deci $n = \text{impar}$) :

$$\text{pentru } n = \text{par} \begin{cases} E_{U1} = S_{PAL} \cos (\Phi_{PAL} + \beta); \\ E_{V1} = S_{PAL} \sin (\Phi_{PAL} + \beta); \end{cases}$$

$$\text{pentru } n = \text{impar} \begin{cases} E_{U2} = S_{PAL} \cos (-\Phi_{PAL} + \beta); \\ E_{V2} = S_{PAL} \sin (-\Phi_{PAL} + \beta). \end{cases}$$

La ieșirea blocului de sumare se obține :

$$E_{U1} + E_{U2} = S_{PAL} [\cos (\beta + \Phi) + \cos (\beta - \Phi)] = 2S_{PAL} \cos \Phi \cos \beta = 2E_U \cos \beta.$$

La ieșirea blocului de scădere se obține :

$$E_{V1} - E_{V2} = \pm S_{PAL} [\sin (\beta + \Phi) - \sin (\beta - \Phi)] = \pm 2S_{PAL} \sin \Phi \cos \beta = \pm 2E_V \cos \beta.$$

Se observă că se recuperează semnalele originale de VF, afectate doar de un factor de desaturare. Nuanța se păstrează corectă.

Semnalul E_V va apărea cu aceeași fază (permanent cu +) deoarece pe liniile succesive se comută faza subpurtătoarei la demodulatoarele pentru E_V .

4.39. Conform celor arătate în problema 4.22, expresiile semnalelor în punctul A, de intrare în decodor, în B după o defazare cu π și în C după o întârziere cu durata unei linii T_H vor fi :

$$u_A = S_{PAL} \sin [\omega_{sp} t + (-1)^n \Phi_{PAL}];$$

$$u_B = -S_{PAL} \sin [\omega_{sp} t + (-1)^n \Phi_{PAL}], \text{ cu schimbare de semn};$$

$$u_C = S_{PAL} \sin [\omega_{sp} t + (-1)^{n-1} \Phi_{PAL}], \text{ cu faza } \Phi_{PAL} \text{ corespunzătoare liniei precedente.}$$

$$u_D = u_A.$$

În sumatorul Σ_1 se obține

$$\begin{aligned} u_{\Sigma_1} &= u_B + u_C = S_{PAL} \{ \sin [\omega_{sp} t + (-1)^{n-1} \Phi_{PAL}] - \sin [\omega_{sp} t + (-1)^n \Phi_{PAL}] \} = \\ &= 2S_{PAL} \sin \frac{[(-1)^{n-1} - (-1)^n] \Phi_{PAL}}{2} \cdot \cos \left\{ \frac{[(-1)^{n-1} + (-1)^n] \Phi_{PAL} + 2\omega_{sp} t}{2} \right\} \end{aligned}$$

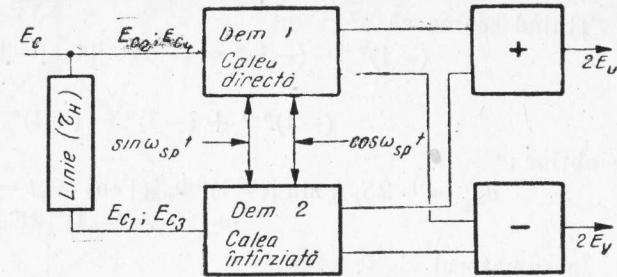


Fig. 4.38R

Ținând seama că

$$(-1)^{n-1} - (-1)^n = (-1)^{n-1}[1 - (-1)] = 2(-1)^{n-1} = -2(-1)^n$$

și

$$(-1)^{n-1} + (-1)^n = (-1)^{n-1}[1 + (-1)] = 0,$$

se obține :

$$\begin{aligned} u_{\Sigma_1} &= -2S_{PAL} \sin [(-1)^n \Phi_{PAL}] \cos \omega_{sp} t = -2(-1)^n S_{PAL} \sin \Phi_{PAL} \cos \omega_{sp} t ; \\ u_{\Sigma_1} &= -(-1)^n 2E_V \cos \omega_{sp} t. \end{aligned}$$

În sumatorul Σ_2 se obține

$$\begin{aligned} u_{\Sigma_2} &= u_A + u_C = S_{PAL} \{ \sin[\omega_{sp} t + (-1)^n \Phi_{PAL}] + \sin[\omega_{sp} t + (-1)^{n-1} \Phi_{PAL}] \} = \\ &= 2 S_{PAL} \sin \frac{2 \omega_{sp} t + [(-1)^n + (-1)^{n-1}] \Phi_{PAL}}{2} \cdot \cos \frac{(-1)^n - (-1)^{n-1}}{2} \Phi_{PAL} ; \end{aligned}$$

$$u_{\Sigma_2} = 2 S_{PAL} \cos \Phi_{PAL} \sin \omega_{sp} t = 2 E_U \sin \omega_{sp} t.$$

Demodulatele vor trebui să primească subpurtătoarele

$$u_{p_1} = -\sin \left[\omega_{sp} t + (-1)^n \frac{\pi}{2} \right] = -(-1)^n \cos \omega_{sp} t ;$$

$$u_{p_2} = \sin \omega_{sp} t.$$

În aceste condiții, reducând la jumătate amplitudinile la ieșirea decodorului se obțin semnalele originale de VF.

4.40. Se notează cu \underline{F} fazorul corespunzător semnalului transmis pe linia curentă și cu \underline{F}^* cel transmis pe linia următoare cu inversarea lui E_V la codor. Succesiunea care apare în punctul A din figura 4.39 este \underline{F} , \underline{F}^* , \underline{F} etc.

În B va fi un defazaj de π : $-\underline{F}$; $-\underline{F}^*$; $-\underline{F}$ etc.

În C datorită întârzierii: \underline{F}^* ; \underline{F} ; \underline{F}^* etc.

Fazorii corespunzători sînt arătați în figura 4.40R, *a*. S-a ales un fazor \underline{F} corespunzător culorii magenta.

Diagrama de fazori corespunzătoare sumatorului Σ_1 va fi cea din figura 4.40R, *b*.

Se observă că se adună fie \underline{F}^* cu $-\underline{F}$, fie pe linia următoare \underline{F} cu $-\underline{F}^*$ și se obține succesiv: $-2 E_V$, $+2 E_V$ etc.

Același lucru se poate arăta și analitic :

$$\begin{aligned} \underline{F} &= F \sin(\omega t + \Phi) = E_V \cos \omega t + E_U \sin \omega t ; \\ \underline{F}^* &= -E_V \cos \omega t + E_U \sin \omega t ; \\ -\underline{F} &= -E_V \cos \omega t - E_U \sin \omega t \end{aligned}$$

și deci :

$$\underline{F}^* - \underline{F} = -2 E_V \cos \omega t \text{ etc.}$$

Pentru sumatorul Σ_2 diagrama de fazori este cea din figura 4.40R, *c*. Se adună pe o linie \underline{F} cu \underline{F}^* , pe linia următoare \underline{F}^* cu \underline{F} etc. Se obține permanent la ieșire semnalul $2 E_U \sin \omega t$.

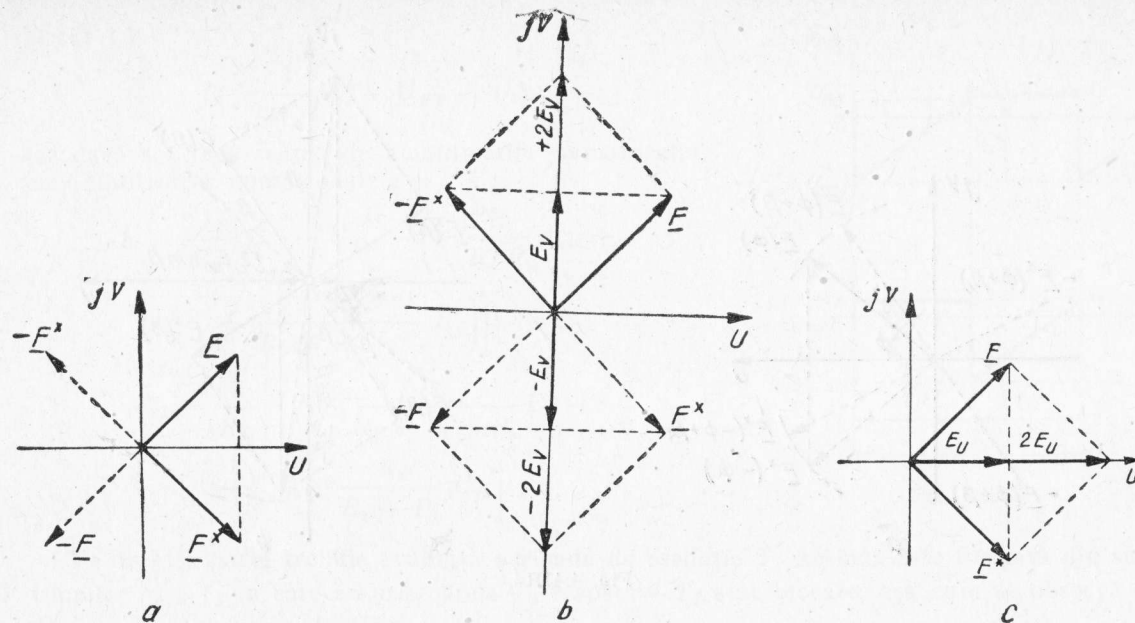


Fig. 4.40R

Se remarcă că la demodulatorul pentru E_V , deoarece pe linia cu \underline{F} (deci cînd se transmite $+E_V$) apare $-2E_V \cos \omega t$, secvența de comutare pentru subpurătoare va fi în antifază cu cea de la emisie, respectiv $-\cos \omega t$, $+\cos \omega t$ etc.

4.41. Dacă apare o eroare de fază β , diagrama de fazori va fi cea din figura 4.41R, a.

Făcînd sumarea, la ieșirea sumatorului Σ_1 din figura 4.39 se obține diagrama din figura 4.41R, b.

Se observă că din cauza distorsiunilor de fază (β) semnalele care intră la demodulatorul E_V nu mai sînt orientate după axa jV , deci cu alte faze decît $\pm 90^\circ$.

Ca urmare apar două componente, una după axa jV , care va fi demodulată dar va avea amplitudinea mai mică (apare desaturația $-\cos \beta$), și alta orientată după axa U , care dispare la demodulare cu $\pm \cos \omega t$. Deci nu va apare diafotie între canalele de cromatică U și V , iar culoarea va fi redată corect ca nuanță.

Analitic se observă același lucru :

$$\underline{F} = E_V \cos(\omega t + \beta) + E_V \sin(\omega t + \beta) ;$$

$$\underline{F}^* = -E_V \cos(\omega t + \beta) + E_V \sin(\omega t + \beta) ;$$

$$-\underline{F} = -E_V \cos(\omega t + \beta) - E_V \sin(\omega t + \beta) ;$$

$$\underline{F}^* - \underline{F} = -2E_V \cos(\omega t + \beta) = -2E_V [\cos \omega t \cos \beta - \sin \omega t \sin \beta].$$

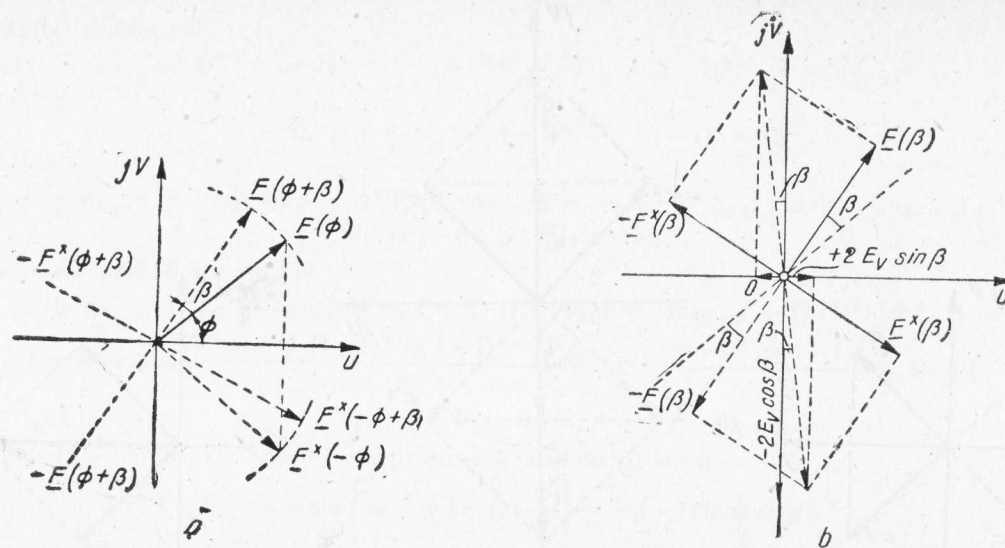


Fig. 4.41R

Primul termen va fi demodulat în demodulatorul de produs cu subpurătoarea regenerată $-\cos \omega_{sp}t$, dînd la ieșire semnalul dorit cu desaturația $2 E_V \cos \beta$, iar al doilea dispare la înmulțirea cu $\cos \omega_{sp}t$.

4.42. Ținînd seama de secvențele care apar la intrarea sumatorului Σ_1 o să rezulte permanent $2 E_V \sin \omega_{sp}t$, iar la ieșirea lui Σ_2 o să apară $+2 E_V \cos \omega_{sp}t$; $-2 E_V \cos \omega_{sp}t$ etc., așa cum s-a arătat și în problema 4.39.

În cazul în care apar erori de fază, raționamentul făcut în aceeași problemă rămîne valabil și aici și diagramele de fazori sînt valabile, cu deosebirea că la sumatorul Σ_1 apare E_U și la Σ_2 apare E_V .

● Circuite pentru TVC

4.43. Se calculează mai întîi curenții I_x injectați de generatoarele de curent cu tranzistoarele T_1 și T_2 din figura 4.43.

Pentru tensiuni este valabilă relația :

$$E_1^+ = U_x + U_{EB} + U_0 = R_E I_x + U_{EB} + U_0.$$

Deci :

$$I_x = \frac{1}{R_E} (E_1^+ - U_{EB} - U_0),$$

iar dacă se ținea seama de amplificările sumatorului cu amplificator operațional :

$$I_x = \frac{1}{R_E} \left[E_1^+ - U_{EB} - \left(-\frac{R_7}{R_1 + P_1} U_{in} + \frac{R_7}{R_3 + P_2 + P_3} E^- \right) \right];$$

$$I_x = \frac{1}{R_E} \left[E_1^+ - \frac{R_7}{R_3 + P_2 + P_3} E^- - U_{EB} + \frac{R_7}{R_1 + P_1} U_{in} \right].$$

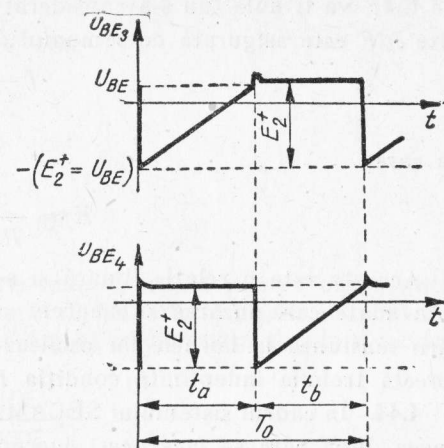


Fig. 4.43R

Pe de altă parte trebuie evaluată perioada de oscilație T . Aceasta este formată din suma timpilor t_a și t_b în care tranzistoarele T_3 respectiv T_4 sînt blocate, așa cum se observă din diagramele din figura 4.43R :

$$T = t_a + t_b.$$

Ținînd seama de sarcina electrică transportată de curentul I_x , care dă la bornele condensatoarelor variația de tensiune ΔU , se poate scrie

$$I_x t_a = C_4 \Delta U \text{ și } I_x t_b = C_3 \Delta U,$$

respectiv după exprimarea timpilor t_a și t_b și adunare :

$$T = t_a + t_b = \frac{C_4 \Delta U}{I_x} + \frac{C_3 \Delta U}{I_x} = \frac{E_2^+}{I_x} (C_3 + C_4)$$

și frecvența de oscilație va fi :

$$f = \frac{1}{T_0} = \frac{I_x}{E_2^+ (C_3 + C_4)}$$

sau, înlocuind valoarea pentru I_x se obține :

$$f = \frac{1}{R_E (C_3 + C_4) E_2^+} \left[E_1^+ - \frac{R_7}{R_3 + P_2 + P_3} E^- - U_{EB} + \frac{R_7}{P_1 + R_1} U_{in} \right]$$

în care f este frecvența instantanee. S-a presupus ca din reglajul manual, oscilatorul este reglat chiar pe armonica corespunzătoare a lui f_H , de exemplu $f_0 = 282 f_H$. Astfel tensiunea

de CAF va fi nulă (nu s-a considerat în calcule). Deviația de frecvență Δf a oscilației modulate MF este asigurată de semnalul de VF de amplitudine U_{in} . Prin urmare:

$$f = f_0 + \Delta f = f_c + KU_{in},$$

$$\Delta f = KU_{in}$$

în care

$$K = \frac{1}{R_E(C_3 + C_4)E_2^+} \cdot \frac{R_7}{R_1 + P_1}.$$

Aceasta este o relație liniară și s-a putut obține prin folosirea generatoarelor de curent comandate care încarcă sub curent constant condensatoarele C_3 și C_4 . Deci pe timpul blocării tensiunea la bornele lor oscilează liniar. Mai trebuie menționat că pentru funcționarea corectă trebuie îndeplinită condiția $E_2^+ \leq |U_{BEinv}|_{max}$.

4.44. În cadrul sistemului SECAM, în VF trebuie făcută o accentuare a frecvențelor înalte, Legea după care se face acest lucru este

$$A_{VF} = A_0 \frac{1 + j \frac{f}{f_1}}{1 + j \frac{f}{Kf_1}},$$

în care $K = 3$ și $f_1 = 85$ kHz. A_0 este amplificarea la frecvențe joase.

Pentru schema dată în figura 4.44 amplificările sînt:

$$A_1 = A_3 \cong \frac{R}{R_1 + R_2} \cdot \frac{1 + j\omega R_1 C_1}{1 + j\omega \frac{R_1 R_2}{R_1 + R_2} C_1} = A_{01} A(j\omega);$$

$$A_{01} = A_{03} = -\frac{R}{R_1 + R_2} = -1,5 \text{ pentru } D_B;$$

$$A_{02} = -\frac{R_6}{R_5};$$

$$A_{01} \cdot A_{02} = 1,9 \text{ pentru } D_R;$$

$$\frac{1}{2\pi R_1 C_1} = f_1 = 85 \text{ kHz};$$

$$\frac{1}{2\pi \frac{R_1 R_2}{R_1 + R_2} C_1} = Kf_1 = 3 \cdot 85 \text{ kHz}.$$

De aici rezultă că $R_1 = 2 R_2$.

Amplificările referitoare la semnalele de identificare sînt

$$A_R = \frac{R}{R_3} \cdot \frac{R_6}{R_5};$$

$$A_B = - \frac{R}{R_4}.$$

Alegînd $R_2 = 200 \Omega$, rezultă $R_1 = 400 \Omega$, $C_1 = 4,7 \text{ nF}$.

Rezistența de reacție va fi de cca. $1 \text{ k}\Omega = R$.

4.45. Circuitul rezonant serie LC se acordează pe frecvența centrală pentru curba anticlopot : $f_c = 4,286 \text{ MHz}$. Factorul său de calitate Q trebuie să fie astfel aranjat cu ajutorul rezistenței încît să asigure alura corespunzătoare a curbei după caracteristica standard pentru sistemul SECAM :

$$A_{IF} = A(j\omega) = \frac{1 + jQ\xi}{1 + jKQ\xi},$$

în care :

$$\xi = \frac{f}{f_c} - \frac{f_c}{f}, \text{ cu } f_c = 4,286 \text{ MHz};$$

$$Q = 16;$$

$$KQ = 1,26 \Rightarrow K = 0,078.$$

Prin urmare va trebui să asigurăm :

$$f_c = \frac{1}{2\pi LC};$$

$$Q = \frac{\omega_c L}{r} = \frac{1}{\omega_c C r} = 16;$$

$$KQ = \frac{r}{R + r} Q = 1,26.$$

Se alege unul dintre elemente, de exemplu $C = 68 \text{ pF}$ și vor rezulta din aceste trei condiții celelalte elemente.

4.46. Fie semnalele avînd pulsația ω_1 la intrările multiplicatoarelor :

$$\text{la } X_1 : u_{11} = U_1 \sin(\omega_1 t + 45^\circ);$$

$$\text{la } X_2 : u_{12} = U_1 \sin(\omega_1 t - 45^\circ),$$

iar cele cu pulsația ω_2

$$\text{la } X_1 : u_{21} = U_2 \sin(\omega_2 t + 90^\circ);$$

$$\text{la } X_2 : u_{22} = U_2 \sin \omega_2 t.$$

Făcînd produsele și însumînd se obține la ieșire

$$u_0 = u_{01} + u_{02} = u_{11} u_{21} + u_{12} u_{22},$$

în care constantele multiplicatorului se consideră egale cu unitatea :

$$u_0 = U_1 U_2 \sin(\omega_1 t + 45^\circ) \sin(\omega_2 t + 90^\circ) + U_1 U_2 \sin(\omega_1 t - 45^\circ) \sin \omega_2 t = \frac{U_1 U_2}{2} [\cos(\omega_1 t - \omega_2 t - 45^\circ) - \cos(\omega_1 t + \omega_2 t + 135^\circ) + \cos(\omega_1 t - \omega_2 t - 45^\circ) - \cos(\omega_1 t + \omega_2 t - 45^\circ)].$$

Ținînd seama că :

$$\begin{aligned} \cos(\omega_1 t + \omega_2 t + 135^\circ) &= -\cos(180^\circ - \omega_1 t - \omega_2 t - 135^\circ) = -\cos(45^\circ - \omega_1 t - \omega_2 t) = \\ &= -\cos(\omega_1 t + \omega_2 t - 45^\circ), \end{aligned}$$

rezultă

$$u_0 = U_1 U_2 \cos[(\omega_1 - \omega_2)t - 45^\circ],$$

deci offsetul dorit. Defazajul de 45° nu are importanță.

4.47. Conform celor arătate în problema 4.46, la ieșirea multiplicatorului X_1 se va obține

$$u_{01} = U_1 \sin(\omega_1 t + 90^\circ) \cdot U_2 \sin(\omega_2 t + 90^\circ),$$

iar la cel de-al doilea, X_2 :

$$u_{02} = U_1 \sin \omega_1 t \cdot U_2 \sin \omega_2 t.$$

La ieșirea sumatorului vom avea :

$$\begin{aligned} u_0 &= U_1 U_2 [\sin(\omega_1 t + 90^\circ) \sin(\omega_2 t + 90^\circ) + \sin \omega_1 t \sin \omega_2 t] = \frac{U_1 U_2}{2} [\cos(\omega_1 t - \omega_2 t) - \\ &\quad - \cos(180^\circ + \omega_1 t + \omega_2 t) + \cos(\omega_1 t - \omega_2 t) - \cos(\omega_1 t + \omega_2 t)]. \end{aligned}$$

Ținînd seama că :

$$\cos(\omega_1 t + \omega_2 t + 180^\circ) = -\cos(-\omega_1 t - \omega_2 t) = -\cos(\omega_1 + \omega_2)t,$$

rezultă :

$$u_0 = U_1 U_2 \cos(\omega_1 - \omega_2)t,$$

deci semnalul cu offsetul $f_{sp} - \frac{f_v}{2}$ dorit.

4.48. Schema bloc va trebui să conțină un oscilator pe frecvența $f_{sp} = 4,433619$ MHz, un etaj de ieșire pentru codor, etajele care să obțină de la semnalul S_v cu frecvența $f_v = 50$ Hz un semnal de frecvență $\frac{f_v}{2} = 25$ Hz, etajele de obținere a offsetului de $f_{sp} - \frac{f_v}{2}$. Mai departe după o limitare care să formeze semnale dreptunghiulare din sinusoida de frecvență dife-

rentă necesare pentru tactul lanțului de divizare, urmează blocurile de divizare și multiplicare care să asigure relația de legătură între f_{sp} și f_H

$$f_{sp} = \left(284 - \frac{1}{4}\right) f_H + \frac{f_v}{2}$$

$$\left(f_{sp} - \frac{f_v}{2}\right) = \left(284 - \frac{1}{4}\right) f_H \Rightarrow f_H = \frac{\left(f_{sp} - \frac{f_v}{2}\right)}{284 - \frac{1}{4}}$$

Deci

$$f_H = \frac{f_{sp} - \frac{f_v}{2}}{\frac{1135}{4}} = 4 \frac{\left(f_{sp} - \frac{f_v}{2}\right)}{227 \times 5}$$

Asa cum se vede din schema bloc din figura 4.48R, vor fi doi divizori (cu 5 și cu 227) și un multiplicator cu 4.

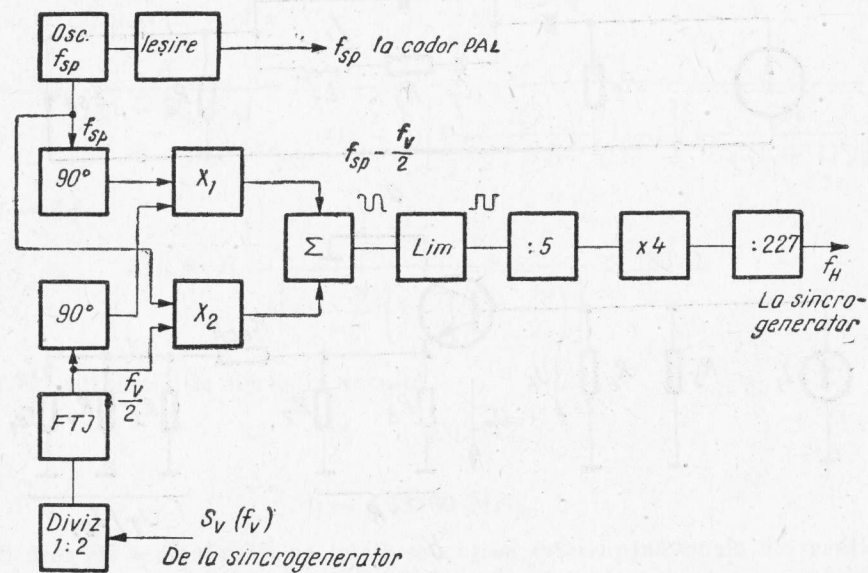


Fig. 4.48R

4.49. a). Tranzistorul T_1 în conexiune cu baza comună se comportă ca un amplificator neinvorsor, iar tranzistorul T_2 , cu sarcină distribuită, repetă în emitor semnalul din colectorul lui T_1 . Deci, considerind emitorul lui T_1 intrare și emitorul lui T_2 ieșire, se obține un amplificator neinvorsor la care o fracțiune din semnalul de ieșire (dată de cvadripolul de reacție ce cuprinde și rezonatorul cu cuarț) se aplică înapoi la intrarea acestuia.

b) Schema echivalentă a rețelei de reacție este dată în figura 4.49R, a.
Expresia impedanței este :

$$\begin{aligned} Z &= \frac{1}{j\omega C_L} + \frac{\frac{1}{j\omega C_0} \left(R_1 + \frac{1}{j\omega C_1} + j\omega L_1 \right)}{\frac{1}{j\omega C_0} + \frac{1}{j\omega C_1} + R_1 + j\omega L_1} = \frac{1}{j\omega C_L} + \frac{1}{j\omega C_0} \cdot \frac{1 + j\omega C_1 R_1 - \omega^2 L_1 C_1}{1 + \frac{C_1}{C_0} + j\omega C_1 R_1 - \omega^2 L_1 C_1} = \\ &= \frac{1}{j\omega C_L} \frac{1 + \frac{C_1}{C_0} + j\omega C_1 R_1 - \omega^2 L_1 C_1 + \frac{C_L}{C_0} (1 + j\omega C_1 R_1 - \omega^2 L_1 C_1)}{1 + \frac{C_1}{C_0} + j\omega C_1 R_1 - \omega^2 L_1 C_1} \end{aligned}$$

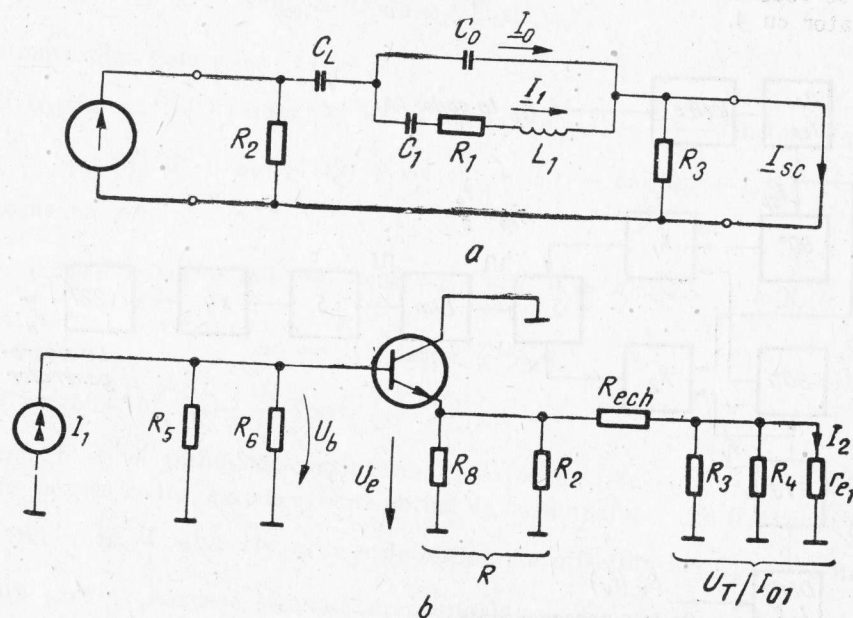


Fig. 4.49R

Notînd $\Omega = \omega^2 L_1 C_1$; $1 + \frac{C_L}{C_0} = K$; $\frac{C_1}{C_0} = \varepsilon$; $\omega C_1 R_1 = \frac{1}{Q}$ se obține

$$\underline{Z} = X_{eL} \cdot \frac{\varepsilon + (1 - \Omega^2)K + j \frac{K}{Q}}{-\frac{1}{Q} + j(1 + \varepsilon - \Omega^2)}$$

La rezonanță ($\Omega = \Omega_0$) \underline{Z} este pur rezistiv, cu alte cuvinte

$$\frac{\varepsilon + (1 - \Omega^2)K}{-\frac{1}{Q}} = \frac{\frac{K}{Q}}{1 + \varepsilon - \Omega_0^2}$$

După transformări se găsește că :

$$\Omega_0^2 = 1 + \frac{\varepsilon}{2} \cdot \frac{K+1}{K} \left(1 - \sqrt{1 - \frac{4K}{(K+1)^2}} \right).$$

Impedanța la rezonanță va fi :

$$Z_{res} = X_{eL} \frac{K}{Q(1 - \Omega_0^2 + \varepsilon)} = R_1 \frac{K}{(K-1) \left[1 - \frac{K+1}{2K} \left(1 - \sqrt{1 - \frac{4K}{(K+1)^2}} \right) \right]}$$

Pentru $K = 4$:

$$Z_{res} = R_1 \frac{4}{3 \left[1 - \frac{5}{8} \left(1 - \sqrt{1 - \frac{16}{25}} \right) \right]} \cong 180 \, \Omega,$$

Frecvența de autooscilație normată rezultă

$$\Omega_0 = 1,0002142$$

și

$$f_0 = 4,43360 \text{ MHz.}$$

c) Amplificarea de semnal mic pe buclă se obține întrerupînd bucla de reacție în colectorul tranzistorului T_1 , ca în figura 4.49R, b, în care R_{ech} este rezistența cristalului.

Conform schemei și notațiilor din figură se poate scrie :

$$U_2 = r_{e1} I_2 ;$$

$$U_3 = r_{e1} I_2 + R_{ech} I_2 \left(1 + \frac{r_{e1}}{R_3} + \frac{r_{e1}}{R_4} \right) ;$$

$$I_4 = I_2 \left(1 + \frac{r_{e1}}{R_3} + \frac{r_{e1}}{R_4} \right) + \frac{U_e}{R_2} + \frac{U_e}{R_5} = I_2 \left(1 + \frac{r_{e1}}{R_3} + \frac{r_{e1}}{R_4} \right) +$$

$$+ I_2 \left(\frac{1}{R_2} + \frac{1}{R_5} \right) \left[r_{e1} + R_{ech} \left(1 + \frac{r_{e1}}{R_3} + \frac{r_{e1}}{R_4} \right) \right] ;$$

$$U_o = U_e + I_e r_{e2} = I_2 \left\{ r_{e1} + R_{ech} \left(1 + \frac{r_{e1}}{R_3} + \frac{r_{e1}}{R_4} \right) + \right.$$

$$\left. + r_{e2} \left[1 + \frac{r_{e1}}{R_3} + \frac{r_{e1}}{R_4} + \frac{R_2 + R_5}{R_2 R_5} \left(r_{e1} + R_{ech} \left(1 + \frac{r_{e1}}{R_3} + \frac{r_{e1}}{R_4} \right) \right) \right] \right\}$$

$$U_o = \frac{R_5 R_6}{R_2 + R_6} \left(I_1 - \frac{I_e}{\beta} \right) = \frac{R_5 R_6}{R_2 + R_6} I_1 = \frac{1}{\beta} \cdot \frac{R_5 R_6}{R_5 + R_6} I_e + U_e + r_{e2} \cdot I_e.$$

Considerind $I_e \approx 0$; $R_3 \gg R_2$ și notînd $\frac{R_5 R_6}{R_5 + R_6} = R_L$ se obține

$$I_1 R_L = r_{e2} I_2 \left[1 + \frac{r_{e1}}{R_3} + \frac{r_{e1} + R_{ech} \left(1 + \frac{r_{e1}}{R_3} \right)}{R_2} \right] + r_{e1} I_2 + R_{ech} I_2 \left(1 + \frac{r_{e1}}{R_3} \right).$$

Rezultă :

$$\frac{I_2}{I_1} = \frac{R_L}{r_{e1} + R_{ech} \left(1 + \frac{r_{e1}}{R_3} \right) + r_{e2} \left[1 + \frac{r_{e1}}{R_3} + \frac{r_{e1} + R_{ech} \left(1 + \frac{r_{e1}}{R_3} \right)}{R_2} \right]}$$

Alegînd

$$R_3 = R_2 = 68 \, \Omega$$

și

$$I_{C1} = 1 \, \text{mA} \text{ și } I_{C2} = 3 \, \text{mA},$$

amplificarea pe buclă I_2/I_1 devine

$$\frac{I_2}{I_1} = \frac{R_L}{25 + 180 \left(1 + \frac{25}{68} \right) + 10 \left[1 + \frac{25}{68} + \frac{10 + 180 \left(1 + \frac{25}{68} \right)}{68} \right]} = \frac{R_L}{321 \, \Omega}.$$

Pentru o amplificare inițială pe buclă de 2, ceea ce asigură autoamorsarea oscilațiilor, rezultă $R_L \cong 640 \Omega$.

d) Calculul elementelor circuitelor de polarizare în curent continuu se face după cum urmează :

$$R_4 + R_{11} = \frac{E^- - U_{BE1}}{I_{C1}} = \frac{6 - 0,6}{1} = 5,4 \text{ k}\Omega.$$

Se aleg

$$R_4 = 2,7 \text{ k}\Omega;$$

$$R_{11} = 2,7 \text{ k}\Omega;$$

$$R_5 + R_{10} = \frac{E^+ - U_{CE1}}{I_{C1}} = \frac{12 - 9}{1} = 3 \text{ k}\Omega.$$

Se aleg

$$R_5 = 1,8 \text{ k}\Omega;$$

$$R_{10} = 1,2 \text{ k}\Omega.$$

Din valoarea $R_L = 640 \Omega$ rezultă $R_6 = 1 \text{ k}\Omega$.

$$R_3 + R_{12} = \frac{E^- - U_{BE2}}{I_{C3}} = \frac{6 - 0,6}{3} = 1,8 \text{ k}\Omega.$$

Se aleg

$$R_3 = 1 \text{ k}\Omega;$$

$$R_{12} = 820 \Omega.$$

Se aleg de asemenea

$$R_7 = 1,8 \text{ k}\Omega;$$

$$R_9 = 390 \Omega.$$

e) Capacitatea de acord se realizează cu un condensator semireglabil

$$C_1 = 10 \dots 40 \text{ pF},$$

iar toate celelalte condensatoare de cuplaj și de decuplare se iau

$$C = 68 \text{ nF/63 V}.$$

4.50. a) Ținând cont de impedanța mare de intrare a repetorului pe emitor, semnalul de intrare $u_i(t)$ se obține ca o medie ponderată între $u_1(t)$ și $u_2(t)$:

$$u_i(t) = \frac{\frac{R_5 R_6}{R_5 + R_6}}{\frac{R_5 R_6}{R_5 + R_6} + \frac{R_3 R_4}{R_3 + R_4}} \left[\frac{R_3}{R_3 + R_4} \cdot u_2(t) + \frac{R_4}{R_3 + R_4} u_1(t) \right]$$

în care

$$u_1(t) = \frac{R_1 \cdot \left[R_3 + \frac{1}{\frac{1}{R_2 + R_4} + \frac{1}{R_6} + \frac{1}{R_5}} \right]}{R_1 + R_3 + \frac{1}{\frac{1}{R_2 + R_4} + \frac{1}{R_6} + \frac{1}{R_5}}} \cdot s_1(t);$$

$$u_2(t) = \frac{R_2 \cdot \left[R_4 + \frac{1}{\frac{1}{R_1 + R_3} + \frac{1}{R_6} + \frac{1}{R_5}} \right]}{R_2 + R_4 + \frac{1}{\frac{1}{R_1 + R_3} + \frac{1}{R_6} + \frac{1}{R_5}}} \cdot s_2(t),$$

$s_1(t)$ și $s_2(t)$ reprezentînd componentele variabile ale curenților de colector din cele două oscilatoare cu cuarț.

Alegînd rezistențele R_3 și R_4 egale între ele și ținînd cont că rezistențele R_1 și R_2 sînt egale, tensiunile u_1 și u_2 intervin cu ponderi egale în expresia tensiunii de intrare a repetorului.

b) Întrucît tensiunea de semnal, de mers în gol, la ieșirea oscilatoarelor este de circa 10–12 V_{vv}, cu o lege de variație în timp apropiată de forma dreptunghiulară, iar pentru comanda formatorului diferențial este necesar un semnal cu circa 3–4 V_{vr}, față de nivelul de mers în gol la intrarea repetorului trebuie obținut un semnal de patru ori mai mic. Acest lucru se obține mărind rezistențele interne echivalente prin înserierea lui R_3 și R_4 și debitînd pe o sarcină de circa patru ori mai mică, sarcină egală practic cu rezultanta rezistoarelor $R_5 R_6$ din divizorul de polarizare a repetorului pe emitor.

Alegînd $R_3 = R_4 = 1,5 \text{ k}\Omega$ rezultă:

$$\frac{R_5 R_6}{R_5 + R_6} \cong \frac{R_3 + R_4}{4} \cong \frac{3,3}{4} = 820 \text{ }\Omega;$$

Pentru a asigura funcționarea repetorului în RAN, se alege un PSF cu $I_{C1} = 4 \text{ mA}$ și $U_{EC} = 3 \text{ V}$. Astfel

$$R_7 = \frac{E^+ - U_{EC1}}{I_{C1}} \cong \frac{12 - 3}{4} \cong 2,2 \text{ k}\Omega,$$

Se alege $R_7 = 2,2 \text{ k}\Omega \pm 10\%$.

Tensiunea în baza repetorului T_1 este

$$U_{B1} = U_{EC1} - U_{EB1} = 2,4 \text{ V} = \frac{R_6}{R_5 + R_6} E^+;$$

de unde rezultă coeficientul necesar de divizare r

$$\frac{R_6}{R_5 + R_3} = \frac{U_{B1}}{E^+} = \frac{2,4}{12} = 0,20.$$

Rezistența R_5 rezultă

$$R_5 = \frac{\frac{R_5 R_6}{R_5 + R_6}}{\frac{R_6}{R_5 + R_6}} = \frac{820}{0,20} = 4,1 \text{ k}\Omega.$$

Se alege $R_3 = 4,3 \text{ k}\Omega \pm 10\%$, iar $R_6 = \frac{R_5}{4} = 1 \text{ k}\Omega$. Se alege $R_6 = 1 \text{ k}\Omega \pm 10\%$.

c) Tranzistorul T_2 împreună cu dioda D formează un amplificator diferențial cu ieșire asimetrică, avînd ca sarcină un circuit derivație amortizat LC_4C_5 , acordat pe frecvența subpurtătoarei de culoare.

Polarizarea amplificatorului diferențial ce lucrează în regim de comparator se asigură cu ajutorul a două generatoare de curent constant, realizate cu T_3 și T_4 . Prin decuplarea în regim variabil a anodului diodei cu ajutorul condensatorului C_6 , potențialul mediu al anodului diodei se va stabili la o asemenea valoare la care curentul mediu prin tranzistorul T_2 să fie egal cu diferența dintre I_{C3} și I_{C4} . Acești curenți se aleg într-un raport de 2 : 1 și astfel se obține autoechilibrarea în curent continuu a comparatorului.

Circuitul de autoechilibrare face ca legea de variație a curentului de colector i_{C2} să prezinte simetrie impară și în mod corespunzător nu va conține armonici superioare de ordin par.

Făcînd dezvoltarea în serie, fundamentală pulsurilor de curent de colector va fi de amplitudine

$$I_{sp} = \frac{4}{\pi} I_0.$$

Alegînd $2 I_0 = 0,8 \text{ mA}$ amplitudinea fundamentalei pulsurilor de curent de colector rezultă

$$I_{sp} = 0,4 \frac{4}{\pi} = 0,5 \text{ mA}.$$

Rezistența R_9 se calculează :

$$R_9 = \frac{E^- - U_{BE3}}{2 I_0} = \frac{6 - 0,6}{0,8} = 6,75 \text{ k}\Omega.$$

Se alege $R_9 = 6,8 \text{ k}\Omega \pm 5\%$.

Rezistențele R_{11} și R_{12} se aleg egale între ele și

$$R_{11} = R_{12} = 2,7 \text{ k}\Omega \pm 10\%.$$

Rezistența R_{10} rezultă

$$R_{10} = \frac{E^+ - \frac{R_{11}}{R_{11} + R_{12}} - U_{EB4}}{I_0} = \frac{12 \cdot 0,5 - 0,6}{0,4} = 13,5 \text{ k}\Omega.$$

Se alege $R_{10} = 15 \text{ k}\Omega \pm 5\%$, iar R_{11} se modifică la valoarea $R_{12} = 2,4 \text{ k}\Omega$.
Se aleg rezistențele de amortizare

$$R_{13} + R_{14} = 3,3 \text{ k}\Omega$$

și un raport între capacitățile de acord $\frac{C_4}{C_5} = 2$.

Pentru a asigura un factor de calitate de cel puțin $Q_{min} = 10$ capacitatea C_4 trebuie să fie mai mare decât cea rezultată din condiția

$$\frac{1}{\omega_{sp} C_4} \leq \frac{R_{13} + R_{14}}{Q_{min}}$$

sau

$$C_4 \geq \frac{Q_{min}}{\omega_{sp}(R_{13} + R_{14})} = \frac{10}{2\pi \cdot 4,4 \cdot 10^6 \cdot 3,3 \cdot 10^3} = 100 \text{ pF}.$$

Se aleg

$$C_4 = 500 \text{ pF};$$

$$C_5 = 220 \text{ pF}.$$

Inductanța de acord necesară va fi:

$$L = \frac{1}{\omega_{sp}^2 \frac{C_4 C_5}{C_4 + C_5}} = \frac{1}{4\pi^2 \cdot 4,43^2 \cdot 10^{12} \cdot 152 \cdot 10^{-12}} = 8,5 \cdot 10^{-6} \text{ H} = 8,5 \text{ }\mu\text{H}.$$

Impedanța la rezonanță rezultă

$$Z_p = Q_L X_L \parallel (R_{13} + R_{14}) \left(1 + \frac{C_4}{C_5}\right)^2.$$

$$\begin{cases} X_L = 2\pi f_{sp} L = 236 \text{ }\Omega; \\ Q_L = 100, \end{cases}$$

$$Z_p = 23,6 \text{ k}\Omega \parallel 30 \text{ k}\Omega = 13 \text{ k}\Omega.$$

Amplitudinea fundamentalei tensiunii în colectorul lui T_1 rezultă

$$U_{sp2} = Z_p \cdot I_{sp} = 13 \cdot 10^3 \cdot 0,5 \cdot 10^{-3} = 6,5 \text{ V}$$

Ținând cont de divizarea capacitivă C_4 , C_5 amplitudinea subpurtătoarei la intrarea divizorului rezistiv R_{13} , R_{14} rezultă de circa 2 V.

4.51. Circuitul de interfață se compune dintr-un comparator integrat CLB 2711 alimentat cu +12 și -6 volți și un circuit pentru translație de potențial cu repetorul T și dioda cu străpungere D .

Semnalul subportător sinusoidal, decalat cu 25 Hz în jos, obținut la ieșirea comună a modulatorilor echilibrați se aplică pe intrarea neînversoare a comparatorului având intrarea inversoare conectată la masă. La ieșirea comparatorului se obțin semnale dreptunghiulare cu cele două paliere compatibile cu nivelele TTL corespunzătoare unei alimentări $0 \div +5$ V, cu un fan-out egal cu unu.

Întrucât circuitele logice se alimentează între -5 V și masă, pentru asigurarea compatibilității este necesară intercalarea unui circuit de translație de potențial, care asigură la nivel coborât un fan-out de cel puțin 2.

Acest circuit se compune dintr-un repetor pe emitor având ca sarcină în emitor o diodă cu străpungere și o rezistență.

La nivel coborât la ieșire, schema este reprezentată în figura 4.51R, a. Întrucât comparatorul lucrează practic în gol, tensiunea de ieșire este negativă de circa -0,5 V, datorită saturării tranzistorului generator de curent constant din etajul de ieșire.

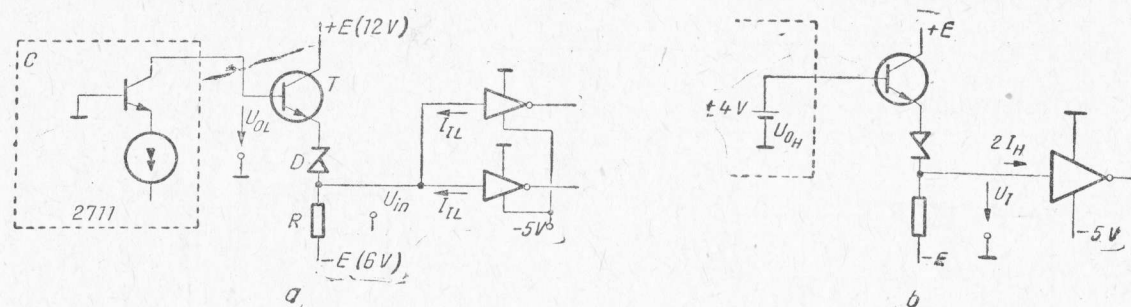


Fig. 4.51R

Pentru a asigura compatibilitatea, se alege o diodă cu străpungere care să fie blocată în această stare, din condiția :

$$U_{0L} - U_{INLmax} - U_{BE\text{ prag}} < U_Z$$

sau

$$U_Z > -0,5 - (-4,6) - 0,6 = 3,5 \text{ V.}$$

Dioda cu străpungere fiind blocată, rezistența R se calculează astfel ca doi curenți de intrare I_{IL} să determine o cădere de tensiune suficient de mică pentru ca potențialul intrărilor U_{IN} să nu crească cu mai mult de 0,4 V peste -5 V, care este tensiunea V_{SS} de alimentare pentru circuitele logice. Deci :

$$2 R I_{ILmax} < (E^- - E_{TTL} + U_{0Lmax}),$$

de unde

$$R < \frac{6 - 5 + 0,4}{2 \cdot 1,6} = \frac{1,4}{3,2} = 433 \, \Omega.$$

Se alege $R = 330 \, \Omega$.

La nivel ridicat la ieșire schema corespunzătoare este cea din figura 4.51R, b. Tensiunea la ieșirea comparatorului este de minimum $+4 \, \text{V}$, după dioda cu străpungere potențialul trebuie să fie mai mare decât $U_{IH \min}$. Deci

$$U_{0H} - U_{BE} - U_Z > -(E_{TTL} - U_{OH \min}),$$

adică :

$$4 - 0,6 - U_Z > -(5 - 2,4);$$

$$4 + 2,6 - 0,6 > U_Z \Rightarrow U_Z > 6 \, \text{V}.$$

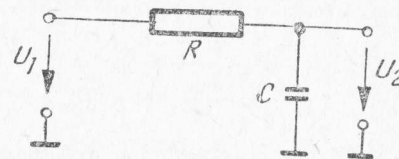
Din cele două condiții pentru dioda cu străpungere se alege o diodă cu $U_Z = 5,6 \, \text{V}$ de tipul PL5V6.

4.52.(R). Se pot folosi circuite RC ca în figurile 4.52R, a și b. Pentru circuitul din figura 4.52R, a funcția de transfer este

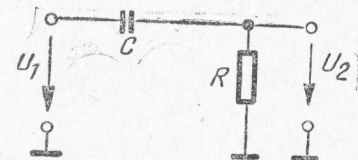
$$\frac{U_2}{U_1} = \frac{1}{1 + j\omega CR}.$$

Faza este dată de

$$\text{tg } \varphi = -\omega CR.$$



a



b

Fig. 4.52R

Pentru defazaj de $\varphi = -45^\circ = -\frac{\pi}{4}$, condiția este

$$\text{tg } \varphi = -1 \Rightarrow \omega CR = 1; \omega \tau = 1.$$

Se va alege constanta de timp a circuitului astfel ca

$$\tau = \frac{1}{2\pi f_{sp}} = \frac{T_{sp}}{2\pi}.$$

Pentru circuitul din figura 4.52R, b funcția de transfer este

$$\frac{U_2}{U_1} = \frac{j\omega RC}{1 + j\omega RC} \text{ și } \operatorname{tg} \varphi = \frac{1}{\omega CR}.$$

Pentru defazaj de $\varphi = +45 = +\frac{\pi}{4}$, condiția este

$$\operatorname{tg} \varphi = 1, \text{ deci } \omega CR = 1.$$

Se va alege constanta de timp τ astfel ca

$$\tau = \frac{1}{2\pi f_{sp}} = \frac{T_{sp}}{2\pi}.$$

4.53. Se alege structura circuitului din figura 4.53R, a , care este un etaj cu două ieșiri în antifază urmat de un circuit CR . Din diagrama de fazori din figura 4.53R, b se observă că tensiunea de ieșire U_0 poate avea un defazaj variabil față de tensiunea de intrare, care este în fază cu I_C , respectiv U_E .

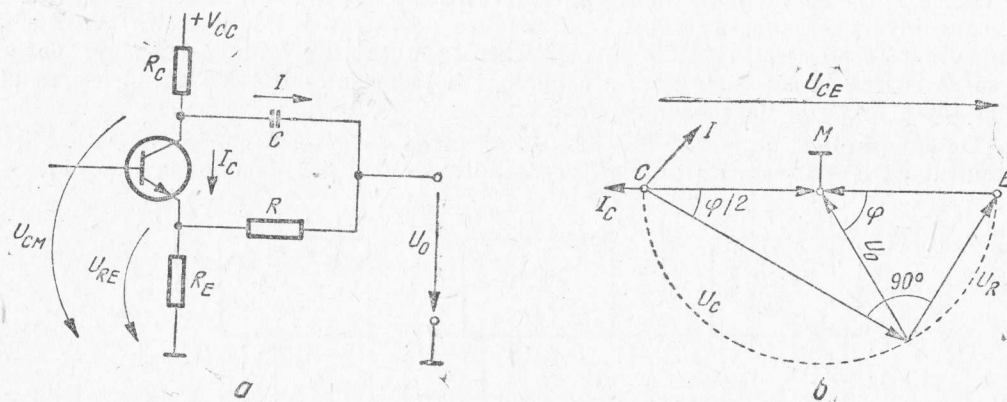


Fig. 4.53R

Se observă că

$$\operatorname{tg} \frac{\varphi}{2} = \frac{|U_E|}{|U_C|} = \frac{RI}{\frac{I}{\omega C}},$$

respectiv

$$\varphi = 2 \operatorname{arc} \operatorname{tg} \omega RC.$$

Dacă la o frecvență dată $\omega = \omega_0$ se dorește defazaj de $90^\circ = \pi/2$, trebuie îndeplinită condiția $\varphi/2 = \frac{\pi}{4}$, deci $\omega RC = 1$.

4.54. Se aleg numărătoare decadice reversibile de tip CDB 4192. Pentru asigurarea divizării se folosesc trei circuite care vor diviza cu 7, cu 2, cu 2, adică trei decade, care corespund unităților, zecilor și sutelor ca în figura 4.54R. Inițiatizarea se face introducând pe intrările

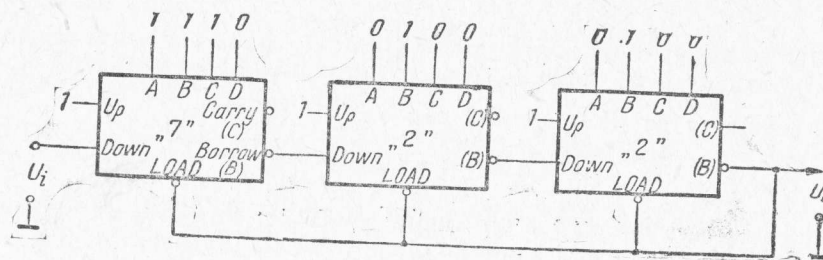


Fig. 4.54R

de date cifrele 7, 2, 2 exprimate în cod binar, respectiv 0111, 0010, 0010. Numărarea se va face în sens invers. De aceea tactul se introduce pe intrarea Count-Down. Ieșirile se iau de la împrumut (*borrow*). După 227 de impulsuri se obține un impuls de ieșire. Tot atunci trebuie să se revină în starea inițială a celulelor. Aceasta se realizează legând ieșirea ultimei decade la toate intrările de încărcare (*load*).

4.55. Descompunând numărul 567 în factori primi se găsește că $567 = 3 \times 3 \times 3 \times 3 \times 7$. Cum circuitul CDB 490 este un numărător decadice, se aleg trei decade ca în figura 4.55R.

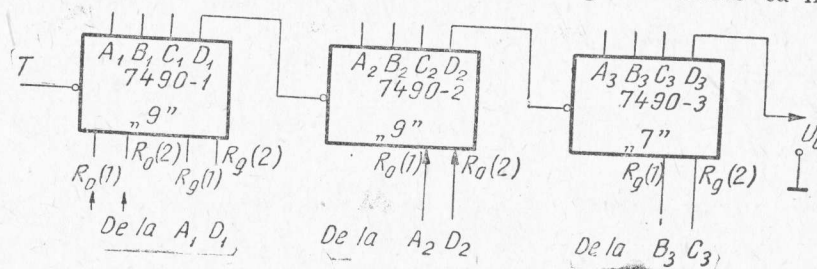


Fig. 4.55R

Deoarece $567 = 9 \times 9 \times 7$, două decade vor număra cu 9 și a treia cu 7. Numărarea cu 9 se asigură legând intrările $R_{0(1)}$ și $R_{0(2)}$ la ieșirile A și D. În loc să revină în starea inițială la al zecelea impuls de tact când dă și un impuls la ieșire, din cauza acestei legături, circuitul va reveni în starea inițială la al nouălea impuls, când $A = 1$ și $D = 1$, fiindcă are 11 pe intrările de aducere la zero.

Numărarea cu șapte se poate asigura făcând legăturile B și C la $R_{9(1)}$ și $R_{9(2)}$. Astfel, la al șaselea impuls, când stările ieșirilor ABCD sînt 0110, numărătorul va trece în starea 9 avînd 11 pe intrările $R_{9(1)}$ și $R_{9(2)}$. Deci se sar trei stări. Cînd sosește al șaptelea impuls de tact, numărătorul dă impuls la ieșire și revine automat în starea 0.

5. AMPLIFICATOARE DE AUDIO ȘI DE VIDEOFRECVENȚĂ

● Dispozitivul activ la nivel mic

$$5.1. R_E \cong \frac{|U_{E0}|}{|I_{C0}|} = 2 \text{ k}\Omega; R_C = \frac{|E_C| - |U_{CE0}| - |U_{E0}|}{|I_{C0}|} = 4 \text{ k}\Omega;$$

$$R_1 \cong \frac{|U_{E0}|}{|I_d|} = 2 \text{ k}\Omega; R_2 \cong \frac{|E_C| - |U_{E0}|}{|I_d|} = 10 \text{ k}\Omega.$$

$$5.2. g_m = 35 |I_{C0}| \text{ (mA)} \left(\frac{\text{mA}}{\text{V}} \right) = 70 \frac{\text{mA}}{\text{V}}; r_1 = \frac{h_{21}}{g_m} = 2,86 \text{ k}\Omega,$$

schema fiind reprezentată în figură.

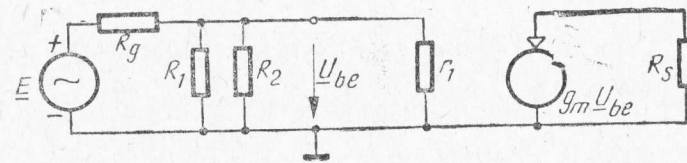


Fig. 5.2R

5.3. $r_1 = \frac{h_{21}}{35 |I_{C0}| \text{ (mA)}} \text{ (k}\Omega\text{)}$. Pentru $|I_{C0}| = 0,5 \text{ mA}$ rezultă $r_1 = 5,7 \text{ k}\Omega$, iar pentru $|I_{C0}| = 3 \text{ mA}$ se obține $r_1 = 0,95 \text{ k}\Omega$.

$$5.4. R_E \cong \frac{U_{E0}}{I_{C0}} = 500 \Omega; R_1 = \frac{U_{E0} + U_{BE0}}{I_d} = 1,7 \text{ k}\Omega (U_{BE0} \cong 0,7 \text{ V});$$

$$R_2 = \frac{E_C - (U_{E0} + U_{BE0})}{I_d} = 10,3 \text{ k}\Omega; R_C = \frac{E_C - U_{CE0} - U_{E0}}{I_{C0}} = 3 \text{ k}\Omega.$$

● Amplificatorul de audiofrecvență la nivel mic

5.5. Aplicând relațiile (12) se obține: $A_u = 275$; $A_i = 440$; $R_{intr} = 7,6 \text{ k}\Omega$; $R_{ies} = 19 \text{ k}\Omega$.

5.6. Pentru schema echivalentă din figură, se determină $g_m = 35 |I_{C0}| = 70 \text{ mA/V}$, $r_{b'e} = \frac{h_{21}}{g_m} - r_{bb'} = 2,8 \text{ k}\Omega$; $r_{bb'} = 50 \text{ }\Omega$.

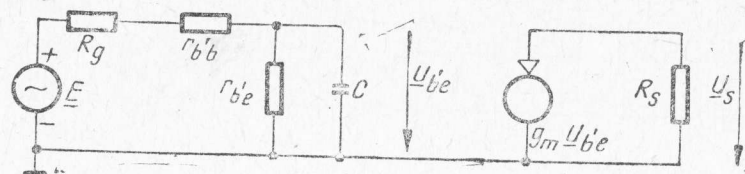


Fig. 5.6R

În domeniul frecvențelor medii se obține:

$$\underline{A_u} = \frac{U_s}{E} = -g_m R_s \frac{r_{b'e}}{R_g + r_{bb'} + r_{b'e}} = -202.$$

Frecvența limită superioară este $f_s = \frac{1}{2\pi C R''} = 149,4 \text{ kHz}$, unde $R'' = 1,18 \text{ k}\Omega$.

5.7. $f_\beta = f_T/h_{21} = 1,4 \text{ MHz}$; $g_m = 35 |I_{C0}| = 70 \text{ mA/V}$; $r_{b'e} = \frac{h_{21}}{g_m} - r_{bb'} = 664 \text{ }\Omega$; $C_{b'e} = 1/2\pi r_{b'e} f_\beta = 171 \text{ pF}$; $C = C_{b'e} \parallel g_m R_s C_{b'c} = 1011 \text{ pF}$; $R'' = 328 \text{ }\Omega$; $f_s = 1/2\pi C R'' = 480 \text{ kHz}$.

5.8. $f_\beta = f_T/h_{21} = 1,4 \text{ MHz}$; $g_m = 35 |I_{C0}| = 105 \text{ mA/V}$; $r_{b'e} = \frac{h_{21}}{g_m} - r_{bb'} = 426 \text{ }\Omega$; $r_{bb'} = 50 \text{ }\Omega$; $C_{b'e} = 1/2\pi r_{b'e} f_\beta = 266 \text{ pF}$; $R'' = \frac{r_{b'e}(R_g + r_{bb'})}{r_{b'e} + R_g + r_{bb'}} = 303 \text{ }\Omega$; $C = 1/2\pi f_s R'' = 1050 \text{ pF}$, $R_s = (C - C_{b'e})/g_m C_{b'c} = 1,24 \text{ k}\Omega$. Amplificarea în tensiune este:

$$\underline{A_u} = -g_m R_s \frac{r_{b'e}}{R_g + r_{b'e} + r_{bb'}} = -37,6.$$

5.9. $R_{ge} = 714 \text{ }\Omega$; $R'_E = 25,5 \text{ }\Omega$; $C_E = 1/2\pi f'_j R'_E = 208 \text{ }\mu\text{F}$.

5.10. $R'_E = \frac{R_E(h_{11} + R_g)}{h_{11} + R_g + (h_{21} + 1)R_E} = 16,9 \text{ }\Omega$, unde $h_{11} = \frac{h_{21}}{35 |I_{C0}|} = 2,86 \text{ k}\Omega$. Rezultă $f'_j = 1/2\pi C_E R'_E = 94,2 \text{ Hz}$.

5.11. $g_m = 35 |I_{C0}| = 70 \text{ mA/V}$; $h_{11} = h_{21}/g_m = 1,43 \text{ k}\Omega$; $R'_g = 1,91 \text{ k}\Omega$; $C_B = 1/2\pi f'_j R'_g = 2,77 \text{ }\mu\text{F}$.

5.12. $g_m = 35$ $|I_{C0}| = 70$ mA/V; $h_{11} = h_{21}/g_m = 1,43$ k Ω ; $R_g'' = 1,91$ k Ω ; $f_j' = 1/2\pi C_B R_g'' = 8,33$ Hz; $R_{ge} = 714$ Ω ; $R_E' = 20,8$ Ω ; $f_j'' = 1/2\pi C_E R_E' = 76,5$ Hz. Frecvența limită inferioară este $f_j = \max(f_j', f_j'') = 76,5$ Hz.

5.13 Din schema echivalentă: $U_1 = I_1(r_{bb'} + r_{b'e} + R_E) + g_m U_{b'e} R_E$; $U_{b'e} = r_{b'e} I_1$. Rezultă $U_1/I_1 = R_{intr} = r_{bb'} + r_{b'e} + R_E(1 + g_m r_{b'e})$. Frecvența limită inferioară rezultă $f_j = 1/2\pi C_B R_{ech}$, unde $R_{ech} = R_g + \frac{R_B R_{intr}}{R_B + R_{intr}}$;

$$R_B = \frac{R_1 R_2}{R_1 + R_2};$$

Pentru aplicația numerică:

$$U_{E0} = E_C \frac{R_1}{R_1 + R_2} - U_{BE} = 1,3 \text{ V}; \quad I_{C0} \cong \cong U_{E0}/R_E = 4,33 \text{ mA}.$$

Se obțin:

$$g_m = 35 I_{C0} = 151,6 \text{ mA/V}; \quad r_{b'e} = h_{21}/g_m - r_{bb'} = 1,27 \text{ k}\Omega; \quad R_B = 833 \text{ }\Omega; \quad R_{ech} = 1,833 \text{ k}\Omega; \quad f_j = 4,34 \text{ Hz}.$$

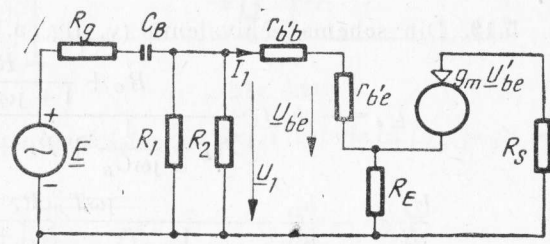


Fig. 5.13R

$$\mathbf{5.14.} \quad A_{u*} = \frac{(1 + h_{21})R_E}{h_{11} + (1 + h_{21} + \Delta h - h_{12})R_E} \cong \frac{(1 + h_{21})R_E}{h_{11} + (1 + h_{21})R_E};$$

$$R_{ies} = \frac{h_{11}}{1 + h_{21} + \Delta h - h_{12}} \cong \frac{h_{11}}{1 + h_{21}}.$$

$$\mathbf{5.15.} \quad g_m = 35 |I_{C0}| = 70 \text{ mA/V}; \quad h_{11} = h_{21}/g_m = 2,86 \text{ k}\Omega;$$

$$A_u \cong \frac{(1 + h_{c1})R_E}{h_{11} + (1 + h_{c1})R_E} = 0,986.$$

$$\mathbf{5.16.} \quad R_{ies} = \frac{h_{11} + R_{ge}}{1 + h_{21} + \Delta h - h_{12} + h_{22}R_{ge}} \cong \frac{h_{11} + R_{ge}}{1 + h_{21} + h_{22}R_{ge}};$$

$$\frac{1}{R_{ge}} = \frac{1}{R_g} + \frac{1}{R_1} + \frac{1}{R_2} \cong \frac{1}{R_g}.$$

Rezultă:

$$R_{ies} \cong \frac{h_{11} + R_g}{1 + h_{21}}; \quad g_m = 35 |I_{C0}| = 105 \text{ mA/V}; \quad h_{11} = h_{21}/g_m = 1,9 \text{ k}\Omega;$$

$$R_{ies} = 14,4 \text{ }\Omega,$$

● Amplificatorul de videofrecvență la nivel mic

5.17. Pentru întreg amplificatorul frecvența limită superioară este $f_{s2} = f_s(2^{1/2} - 1)^{1/2} = 3,22$ MHz.

5.18. Pentru un etaj frecvența limită superioară este $f_s = f_{s3}(2^{1/3} - 1)^{-1/2} = 12,75$ MHz.

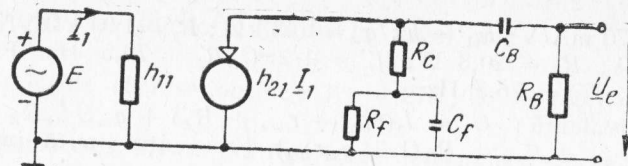


Fig. 5.19R

5.19. Din schema echivalentă (v. fig. 5.19R) se determină $I_1 = E/h_{11}$ și

$$\underline{U}_e = -h_{21}I_1 \frac{R_C + \frac{R_f}{1 + j\omega C_f R_f}}{R_B + \frac{1}{j\omega C_B} + R_C + \frac{R_f}{1 + j\omega C_f R_f}} R_B \text{ (divizor de curent).}$$

$$\frac{\underline{U}_e}{\underline{E}} = -\frac{h_{21}}{h_{11}} \frac{j\omega T_B(R_C + R_f) + (j\omega)^2 T_f T_B R_C}{1 + j\omega \left[T_B \left(1 + \frac{R_C + R_f}{R_f} \right) + T_f \right] + (j\omega)^2 T_f T_B \left(1 + \frac{R_C}{R_B} \right)},$$

unde $T_f = C_f R_f$ și $T_B = R_B C_B$. Pentru $\omega \rightarrow \infty$ se obține amplificarea în domeniul frecvențelor medii: $\frac{\underline{U}_e}{\underline{E}} = -\frac{h_{21}}{h_{11}} \frac{R_C R_B}{R_C + R_B}$.

5.20. Amplificarea este de forma:

$$\underline{A}_f(j\omega) = A_0 \frac{1 + \frac{1}{j\omega} a}{1 + \frac{1}{j\omega} b + \frac{1}{(j\omega)^2} c}.$$

Se determină

$$|\underline{A}_f(j\omega)|^2 = A_0^2 \frac{1 + \frac{a^2}{\omega^2}}{1 + \frac{b^2 - 2c}{\omega^2} + \frac{c^2}{\omega^4}}.$$

Condiția de optimizare este: $a^2 = b^2 - 2c$. În cazul concret analizat se obține:

$$\left(\frac{R_C + R_f}{T_f R_C} \right)^2 = \left[\frac{T_B(R_B + R_C + R_f) + T_f R_B}{T_f T_B(R_B + R_C)} \right]^2 - 2 \frac{R_B}{T_f T_B(R_B + R_C)}.$$

5.21. Din schema echivalentă (v. fig. 5.21R) se determină:

$$\frac{\underline{U}_e}{\underline{E}} = \frac{-g_m R_C (1 + j\omega \tau_E)}{1 + R_E \left(g_m + \frac{1}{r_{b'e}} \right) + \frac{R'_g}{r_{b'e}} + j\omega \left[\tau_E \left(1 + \frac{R'_g}{r_{b'e}} \right) + \tau_C \left(1 + \frac{R_E}{r_{b'e}} \right) \right] + (j\omega)^2 \tau_C \tau_E \frac{R'_g}{r_{b'e}}},$$

unde : $R'_g = R_g + r_{bb'}$, $\tau_E = R_E C_E$ și $\tau_C = C r_{b'e}$. În domeniul frecvențelor medii se obține ($\omega \rightarrow 0$) :

$$\frac{\underline{U}_e}{\underline{E}} = \frac{-g_m R_C}{1 + R_E \left(g_m + \frac{1}{r_{b'e}} \right) + \frac{R'_g}{r_{b'e}}}$$

5.22. Se obține

$$|\underline{A}_s(j\omega)|^2 = A_0^2 \frac{1 + a^2 \omega^2}{1 + (m^2 - 2n)\omega^2 + n^2 \omega^4},$$

de unde condiția din enunț. La frecvența limită superioară $f_s (\omega_s = 2\pi f_s)$ trebuie ca $|\underline{A}_s(j\omega_s)| = A_0 / \sqrt{2}$, de unde rezultă :

$$f_s = \frac{1}{2\pi n} \sqrt{\frac{a^2}{2} + \sqrt{\frac{a^4}{4} + n^2}},$$

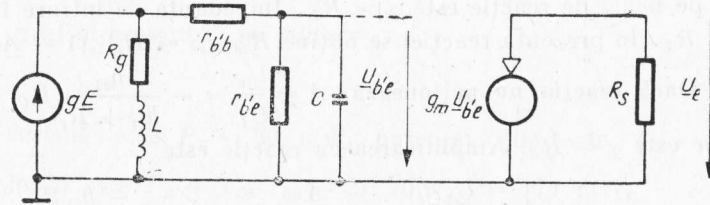
în care s-a ținut seama că $m^2 - 2n = a^2$.

5.23. Relația este :

$$\tau_E^2 = \left[\frac{\tau_E \left(1 + \frac{R'_g}{r_{b'e}} \right) + \tau_C \left(1 + \frac{R_E}{r_{b'e}} \right)}{1 + \frac{R'_g}{r_{b'e}} + R_E \left(g_m + \frac{1}{r_{b'e}} \right)} \right]^2 - 2 \frac{\tau_C \tau_E R'_g / r_{b'e}}{1 + \frac{R'_g}{r_{b'e}} + R_E \left(g_m + \frac{1}{r_{b'e}} \right)}$$

5.24. Din schema echivalentă (v. fig. 5.24R) se determină

Fig. 5.24R



$$\underline{U}_{b'e} = gE \frac{R_g j\omega L}{R_g + j\omega L + r_{bb'} + \frac{r_{b'e}}{1 + j\omega C r_{b'e}}} \cdot \frac{r_{b'e}}{1 + j\omega C r_{b'e}},$$

unde $C = C_{b'e} + g_m R_S C_{b'e}$;

$$\underline{A}_s(j\omega) = \frac{\underline{U}_e}{\underline{E}} = -g_m g R_S \frac{R_g + j\omega L}{1 + \frac{R_g + r_{bb'}}{r_{b'e}} + j\omega \left[C(R_g + r_{bb'}) + \frac{L}{r_{b'e}} \right] + (j\omega)^2 LC}$$

Fig. 5.21R

În domeniul frecvențelor medii, se obține

$$A_0 = \underline{A}_s(0) = -g_m g R_s \frac{R_g r_{b'e}}{R_g + r_{bb'} + r_{b'e}}.$$

Condiția de optimizare este :

$$\left(\frac{L}{R_g}\right)^2 = \left[\frac{C r_{b'e}(R_g + r_{bb'}) + L}{R_g + r_{bb'} + r_{b'e}}\right]^2 - 2 \frac{L C r_{b'e}}{R_g + r_{bb'} + r_{b'e}}.$$

5.25. Folosind rezultatele problemei 5.24 se obține $\frac{2,5 R_g^2}{R_g + 300} = 781,25$, deci $R_g = R_s = 500 \Omega$; $C = g_m R_s C_{b'e} = 250 \text{ pF}$.
Relația de condiție are drept soluție $L = 42 \mu\text{H}$.

● Reacția în amplificatoare

5.26. $1 - \underline{W} = 5/0,5 = 10$. Amplificarea cu reacție este $\underline{A}_r = \frac{\underline{A}}{1 - \underline{W}} = 40$. Tensiunea la intrare este egală cu 25 mV.

5.27. $1 - \underline{W} = 2$. Frecvența limită superioară devine 40 kHz.

5.28. Amplificarea dacă reacția nu acționează este $\underline{A} = -\frac{h_{21}}{h_{11} + R_E} R_C$. Funcția de transfer pe bucla de reacție este $\underline{\alpha} = R_E$. Impedanța de intrare în lipsa reacției este $R_{intr} = h_{11} + R_E$. În prezența reacției se obține $R_{intr(r)} = R_{intr}(1 - \underline{A}\underline{\alpha}/R_C) = h_{11} + R_E(1 + h_{21})$.

5.29. Dacă reacția nu acționează : $\underline{A} = \frac{\underline{U}_e}{\underline{U}_i} = -\frac{h_{21}}{h_{11} + R_E} R_C$. Funcția de transfer în bucla de reacție este $\underline{\alpha} = R_E$. Amplificarea cu reacție este

$$\underline{A}_r = \frac{\underline{U}_e}{\underline{U}_i} = \frac{\underline{A}}{1 - \underline{A}\underline{\alpha}/R_C} = \frac{-h_{21}R_C}{h_{11} + (1 + h_{21})R_E}.$$

Amplificarea

$$\underline{A}_{r0} = \frac{R_{intr(r)}}{R_g + R_{intr(r)}} \underline{A}_r.$$

Avind în vedere rezultatul problemei precedente, se obține

$$\underline{A}_{r0} = \frac{-h_{21}R_C}{R_{gt} + h_{11} + (1 + h_{21})R_E}; \quad h_{11} = h_{21}/g_m; \quad g_m = 35 | I_{C0}|;$$

5.30. Amplificarea montajului cu bucla de reacția deschisă este $\underline{A} = -\frac{h_{21}}{h_{11}} R_C$. Factorul de reacție este $\underline{\beta} = \frac{h_{11}}{h_{11} + R_1}$. Rezistența de intrare în tranzistor cu bucla de reacție întreruptă este $R_{intr} = h_{11}$. În prezența reacției se obține

$$R_{intr(r)} = \frac{h_{11}}{1 + \frac{h_{21} R_C}{h_{11} + R_1}}.$$

5.31. $\underline{A} = -\frac{h_{21}}{h_{11}} R_C$; $\underline{\beta} = \frac{h_{11}}{h_{11} + R_1}$; $\underline{A}_r = \frac{-\frac{h_{21}}{h_{11}} R_C}{1 + \frac{h_{21} R_C}{h_{11} + R_1}}$; $h_{11} = \frac{h_{21}}{35 I_{C0}}$.

5.32. Schema este reprezentată în figură. Deoarece $\underline{A} = 2 \cdot 10^3$ și $\underline{\beta}' = \underline{\beta} = -1$, rezultă $\underline{W} = \underline{A}\underline{\beta}' = -2 \cdot 10^3$ și $\underline{A}_r \cong 1$, iar noua frecvență limită $f'_s = f_s |1 - \underline{W}| \cong f_s |\underline{W}| = 2 \text{ MHz}$.

5.33. Se determină $\underline{\beta}' = \underline{\beta} = -\frac{R_1}{R_1 + R_R} \cong -0,01$ și

$$\underline{W} = \underline{A}\underline{\beta}' = -2 \cdot 10^3. \text{ Amplificarea este } \underline{A}_r = \frac{\underline{A}}{1 - \underline{W}} \cong 100,$$

iar noua impedanță de ieșire este $\underline{Z}'_E = \underline{Z}_E / |1 - \underline{W}| \cong \underline{Z}_E / |\underline{W}| = 0,375 \Omega$,

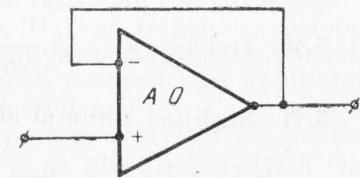


Fig. 5.32R

● Amplificator de audiofrecvență de putere cu tranzistoare

5.34. Dacă puterea în sarcină este $P_s = 60 \text{ mW}$, puterea utilă este $P_u = P_s / \eta_T = \frac{0,9^2 I_{C0} U_{C0}}{2}$. Puterea disipată este $P_d = I_{C0} U_{C0} = 2 P_s / 0,9^2 \eta_T = 174 \text{ mW}$,

5.35. La intrare $P_{intr} = P_u / A_p \cong \frac{U_{BM} I_{BM}}{8} = 44,4 \mu\text{W}$. Rezultă $U_{BM} = 154,6 \text{ mV}$ și $R_{intr} \cong U_{BM} / I_{BM} = 67,2 \Omega$. Puterea debitată de etajul prefinal este $P_{pr} = P_{intr} (R + R_{intr}) / R_{intr} = 375 \mu\text{W}$, iar amplitudinea tensiunii generatorului echivalent $U_{pr} = 0,65 \text{ V}$.

5.36 $R_{intr} = 68,2 \Omega$; $P_u = 49,5 \text{ mW}$; $P_d = \frac{U_{CM} + U_{cm}}{2} \cdot \frac{I_{CM} + I_{cm}}{2} = 144,3 \text{ mW}$; $R_s = 363,6 \Omega$ și $P_{intr} = 41,3 \mu\text{W}$.

5.37. $I_{CM} = 2P_u/\xi E_C = 0,148 \text{ A}$; $R_s = \xi E_C/I_{CM} = 36,49 \text{ } \Omega$, deci $n_1/n_2 = R_s/R_d = 2,47$; $P_a = 2E_C I_{CM}/\pi = 565,3 \text{ mW}$.

5.38. Rezistența de sarcină pentru un tranzistor este $R_s = \frac{R_d}{\eta_T} \left(\frac{n_1}{n_2} \right)^2 = 76,5 \text{ } \Omega$, unde $n_1/n_2 = 3,5$. Puterea utilă maximă în primar ($\xi \cong 1$) este $P_u = \frac{1}{2} E_C^2/R_s = 0,53 \text{ W}$, iar în secundar $P_s = \eta_T P_u = 0,425 \text{ W}$. Puterea absorbită este $P_a = 2E_C I_{CM}/\pi = 0,672 \text{ W}$. Randamentul etajului este $\eta = P_u/P_a = 0,785$, iar randamentul global $\eta_g = P_s/P_a = 0,63$.

5.39. Pentru $R_s = 4 \text{ } \Omega$, $P_{u \max} = \frac{1}{2} \left(\frac{E_C}{2} \right)^2 \frac{1}{R_s} = 1,12 \text{ W}$, iar pentru $R_s = 8 \text{ } \Omega$, $P_{u \max} = \frac{1}{2} \left(\frac{E_C}{2} \right)^2 \frac{1}{R_s} = 0,56 \text{ W}$.

5.40. Trebuie ca $C_s \geq \frac{1}{2\pi f_j R_s}$; $C_s \geq 2000 \text{ } \mu\text{F}$.

5.41. Neglijînd curentul absorbit în bază, $U_{CE} = \frac{R_2}{R_1} U_{BE}$. Pentru aplicația numerică $(R_1 + R_2)I_D = U_{CE}$ și deci $R_1 + R_2 = 7 \text{ k}\Omega$. Deoarece $R_2/R_1 = U_{CE}/U_{BE} = 1,4/0,63$, rezultă $R_2 = 3,15 \text{ k}\Omega$ și $R_1 = 3,85 \text{ k}\Omega$.

5.42. Curentul maxim de colector este $I_{C \max} = \frac{E_C}{2R_s} = 5 \text{ A}$. Puterea maximă absorbită de la sursă $P_a = \frac{I_{C \max}}{\pi} E_C = 63,6 \text{ W}$. Puterea utilă maximă este $P_u = \frac{1}{2} I_{C \max}^2 R_s = 50 \text{ W}$, iar puterea disipată corespunzătoare $P_d = P_a - P_u = 13,6 \text{ W}$.

5.43. Pentru un curent $I_C = K I_{C \max}$, în care $I_{C \max} = \frac{E_C}{2R_s}$, se obține $P_a = \frac{I_C}{\pi} E_C = K \frac{E_C}{2\pi R_s}$ și $P_u = \frac{1}{2} I_C^2 R_s = K^2 \frac{E_C^2}{4R_s}$, deci $P_d = P_a - P_u = \frac{E_C^2}{2R_s} \left(\frac{K}{\pi} - \frac{K^2}{2} \right)$. Valoarea maximă a puterii disipate rezultă pentru $\frac{dP_d}{dK} = 0$, deci $K = 0,636$. În final $P_{d \max} = 0,21 \frac{E_C^2}{4R_s}$, respectiv pentru aplicația numerică $P_{d \max} = 21 \text{ W}$.

5.44. Pentru tranzistorul echivalent nnp se determină: $h_{11} = h_{11(1)} + (1 + h_{21(1)})h_{11(2)}$; $h'_{21} = h_{21(1)} + h_{21(2)} + h_{21(1)}h_{21(2)}$, iar pentru tranzistorul echivalent pnp :

$$h_{11} = h_{11(1)}; h'_{21} = h_{21(1)} + h_{21(1)}h_{21(2)}.$$

5.45. Rezistența R_B mărește curentul de colector al tranzistorului T_1 în regim de repaus al tranzistorului T_2 , ceea ce are ca efect funcționarea tranzistorului T_1 cu h_{21} suficient de mare. Rezistența R_C limitează curentul prin tranzistorul T_1 în cazul unui scurtcircuit al sarcinii.

5.46. Din figura 5.46 se poate scrie că

$$U_{BE} = U_{AB} \frac{R_2}{R_1 + R_2}.$$

Deci

$$U_{AB} = \left[1 + \frac{R_1}{R_2} \right] U_{BE}.$$

Pentru diverse rapoarte R_1/R_2 egale cu 1, 2, 3 se obține o tensiune U_{AB} care este egală cu $2U_{BE}$, $3U_{BE}$ etc. Montajul este un montaj de diodă multiplicată. Acesta se folosește curent pentru polarizarea bazelor tranzistoarelor finale dintr-un amplificator final de AF, VF sau baleiaj V, realizat cu tranzistoare complementare.

În funcție de complexitatea schemei etajului final (două tranzistoare complementare în clasă B, sau mai multe în montaje Darlington, de exemplu), U_{AB} va trebui să reprezinte decalajul de potențial continuu între baze, egal cu căderile de tensiune pe numărul de joncțiuni BE care intervin în serie ($2 \times 0,6$ V : $3 \times 0,6$ V etc.). Astfel trecerea conducției de pe un tranzistor pe altul se va face fără momente de dispariție a curentului i_C .

De asemenea, montajul trebuie să asigure și compensarea variației cu temperatura a tensiunilor BE însumate, ale tranzistoarelor finale. Deci tensiunea de polarizare aplicată între baze la tranzistoarele finale trebuie să fie dependentă de temperatură, ținând să mențină curentul de colector constant (egal cu cel din PSF).

Variația cu temperatura a tensiunii U_{AB} este

$$\frac{\Delta U_{AB}}{\Delta T} = \left(1 + \frac{R_1}{R_2} \right) \frac{\Delta U_{BE1}}{\Delta T}.$$

Dacă tranzistorul care joacă rol de diodă multiplicată se montează în contact termic cu tranzistoarele finale, compensarea cu temperatura a tensiunii U_{AB} este asigurată.

5.47. a). Tranzistoarele T_1 și T_2 formează un amplificator diferențial cu ieșire asimetrică în colectorul lui T_1 . Etajul următor de amplificare, cu tranzistorul T_3 , cu sarcină distribuită în emitor și colector, introduce o inversare și o translație de potențial înapoi spre potențiale mai ridicate. Tensiunea din colectorul lui T_3 este reprodusă la ieșire de repetorul cu tranzistoarele complementare T_5 , T_6 , prepolarizarea joncțiunilor BE fiind asigurată de tranzistorul T_4 în configurație de diodă multiplicată. Tensiunea de la ieșirea repetorului pe emitor, complementar, se aplică prin intermediul divizorului de reacție R_{13} , R_{14} , R_{15} pe baza B_2 , reprezentând intrarea inversoare a amplificatorului diferențial.

Întrucât baza B_1 , intrarea neinversoare a amplificatorului diferențial se conectează la potențialul de referință prin rezistența R_2 , datorită reacției negative puternice, și baza tranzistorului T_2 se va stabili la un potențial foarte apropiat de zero. Cu alte cuvinte, tensiunea continuă U_2 la ieșirea repetorului complementar poate fi considerată zero.

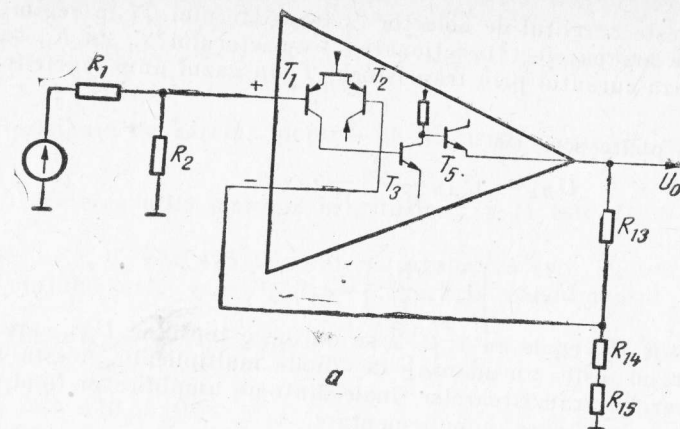
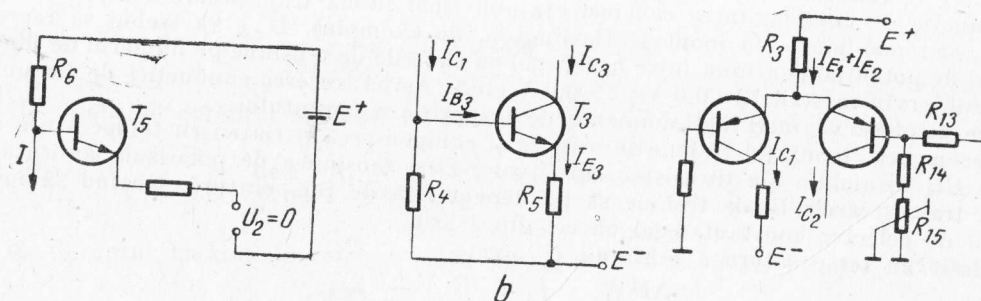


Fig. 5.47R



Circuitul echivalent simplificat al amplificatorului descris este dat în figura 5.47R, a.
b) Neglijând curenții de bază la calculul punctelor de funcționare și considerind $|U_{BE}| = 0,6$ V, curenții de colector se calculează după cum urmează, pe baza schemelor din figura 5.47R, b :

deci

$$R_6 I_{C3} + U_{BE5} + R_9 I_{E5} = E^+,$$

$$I_{C3} \cong \frac{E^+ - U_{BE5}}{R_6} = 6,3 \text{ mA}.$$

Curentul I_{C1} se deduce din relația :

$$R_4(I_{C1} - I_{B3}) = U_{BE3} + R_5(I_{C3} + I_{B3}).$$

Neglijând curentul I_{B3} se obține

$$I_{C1} \cong \frac{U_{BE3} + R_5 I_{C3}}{R_4} = \frac{0,6 + 0,63}{1,2} = 1 \text{ mA},$$

Curentul I_{C2} se obține din relațiile :

$$(I_{E1} + I_{E2})R_3 + U_{EB1} = E^+;$$

$$I_{E1} + I_{E2} \cong \frac{E^+ - U_{EB1}}{R_3} = \frac{12 - 0,6}{5,6} = 2 \text{ mA};$$

$$I_{E1} + I_{E2} \cong I_{C1} + I_{C2} \cong 2 \text{ mA};$$

$$I_{C2} = 2 \text{ mA} - I_{C1} = 1 \text{ mA};$$

$$U_{BC1} = U_{B1} + E^- - R_4 I_{C1} = 0 + 6 - 1,2 = 4,8 \text{ V}.$$

Curentul de repaus I_0 prin repetorul complementar se deduce din relația :

$$U_{BE5} + (R_9 + R_{10})I_0 + U_{EB6} = \left(1 + \frac{R_7}{R_8}\right)U_{BE4};$$

$$I_0 = \frac{\left(1 + \frac{R_7}{R_8}\right)U_{BE4} - U_{BE5} - U_{EB6}}{R_9 + R_{10}} \leq \frac{0,4}{30} = 13 \text{ mA}.$$

c) Reacția negativă de tip serie-paralel face ca impedența de intrare pe intrarea neînversoare să fie mult mai mare în modul decât rezistența R_2 ; astfel impedența de intrare la frecvențe medii poate fi socotită egală cu :

$$Z_i = R_i = R_1 + R_2.$$

d) Valoarea mare a amplificării pe buclă determină ca amplificarea cu reacție să fie egală practic cu inversa funcției de transfer a divizorului de reacție :

$$A = \frac{1}{\frac{R_{14} + R_{15}}{R_{13} + R_{14} + R_{15}}} \cong 1 + \frac{R_{13}}{R_{14} + R_{15}}.$$

Amplificarea globală se obține prin înmulțirea acestei amplificări cu factorul de divizare introdus de divizorul de intrare R_1, R_2 :

$$A_t = \frac{R_2}{R_1 + R_2} \left(1 + \frac{R_{13}}{R_{14} + R_{15}}\right).$$

Valorile maximă și minimă ale acestei amplificări sînt

$$A_{t \min} = \frac{R_2}{R_1 + R_2} \left(1 + \frac{R_{13}}{R_{15 \max} + R_{14}}\right) = 1,2;$$

$$A_{t \max} = \frac{R_2}{R_1 + R_2} \left(1 + \frac{R_{13}}{R_{14}}\right) = 2,2.$$

Rezistența de ieșire de cîțiva ohmi împreună cu rezistențele R_{16}, R_{17} asigură adaptarea la intrare a cablului coaxial cu impedența caracteristică de 75Ω , prin care se transmite semnalul la destinația dorită.

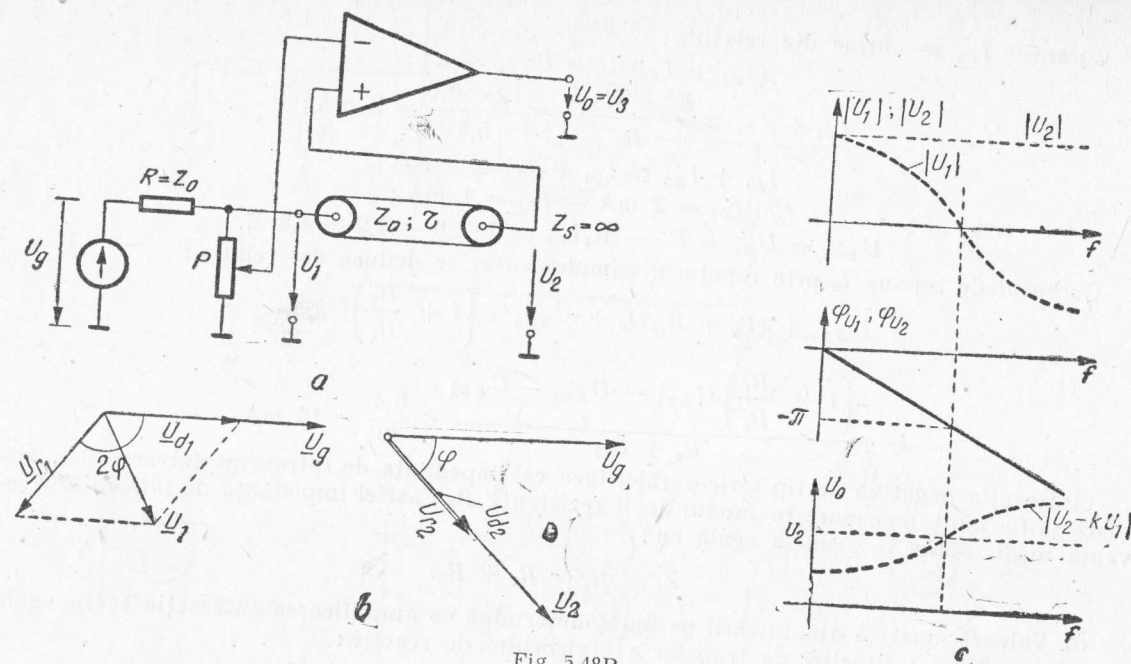


Fig. 5.48R

5.48. În figura 5.48R, a se dă schema de principiu a unui corector de apertură. Amplificatorul AO reprezentat simbolic în figură este amplificator diferențial. Linia de întârziere, cu întârziere τ , este adaptată la intrare și lăsată în gol la ieșire. Linia se presupune fără pierderi.

Din diagramele de fazori corespunzătoare intrării și ieșirii din figura 5.48R, b se vede că la ieșire tensiunea directă și cea reflectată sînt în fază și au același semn. Tensiunea U_2 rezultă din însumarea acestora. Amplitudinea va fi constantă cu frecvența. Datorită întârzierii τ apare un defazaj φ în raport cu tensiunea dată de etajul anterior (generatorul U_0). La intrare apare un defazaj 2φ datorită întârzierii duble suferite la ducere și întoarcere.

Se observă că tensiunea U_1 este în fază cu tensiunea U_2 , iar amplitudinea va fi variabilă depinzînd de frecvență. U_1 și U_2 au aceeași fază care depinde de frecvența considerată. Linia este caracterizată de constanta de propagare $\gamma = \alpha + j\beta$.

Tensiunea și curentul de intrare sînt date de ecuațiile liniilor. Dacă acestea se scriu pentru cazul în care $\alpha = 0$ și $\gamma = j\beta$, se obține :

$$\begin{cases} U_1 = U_2 \cos \beta l + jZ_0 I_2 \sin \beta l; \\ I_1 = I_2 \cos \beta l + j\frac{U_2}{Z_0} \sin \beta l, \end{cases}$$

Deoarece $Z_2 = \infty$, rezultă $I_2 = 0$ și

$$\begin{cases} U_1 = U_2 \cos \beta l; \\ I_1 = j \frac{U_2}{Z_0} \sin \beta l. \end{cases}$$

Impedanța de intrare este

$$\underline{Z}_1 = \frac{\underline{U}_1}{I_1} = -jZ_0 \operatorname{ctg} \beta l.$$

Tensiunea de intrare este

$$\underline{U}_1 = \frac{\underline{U}_g}{Z_0 + \underline{Z}_1} Z_1 = - \frac{\underline{U}_g}{Z_0 - jZ_0 \operatorname{ctg} \beta l} \cdot jZ_0 \operatorname{ctg} \beta l = \frac{U_g \cos \beta l}{\cos \beta l + j \sin \beta l}.$$

Deci

$$|U_1| = |U_g| \cos \beta l = |U_2| \cos \beta l.$$

Faza φ_1 a semnalului de intrare este

$$\operatorname{tg} \varphi_1 = - \frac{\sin \beta l}{\cos \beta l} = - \operatorname{tg} \beta l = \operatorname{tg}(-\beta l),$$

deci

$$\varphi_1 = -\omega \tau,$$

Tensiunea de ieșire U_2 este

$$\underline{U}_2 = \frac{\underline{U}_1}{\cos \beta l} = \underline{U}_g (\cos \beta l - j \sin \beta l);$$

$$|U_2| = |U_g|$$

și

$$\varphi_2 = -\omega \tau = \varphi_1.$$

În figura 5.48R, c sînt reprezentate formele de semnale și faza. Tensiunea de ieșire va fi reglabilă cu ajutorul potențiometrului P . Ea are expresia

$$|U_0| = |U_2 - KU_1|,$$

care va varia după o lege cosinusoidală ca și $|U_1|$.

Faza variază liniar, deci corectorul nu introduce distorsiuni de fază. Pentru $2\varphi_0 = \pi$ se produce anularea tensiunii U_1 . Aceasta înseamnă că $\varphi_0 = \frac{\pi}{2}$.

Frecvența de anulare se deduce din condiția

$$2\varphi_0 = 2\omega_0 \tau = 4\pi f_0 \tau = \pi,$$

deci

$$f_0 = \frac{1}{4\tau}.$$

6. AMPLIFICATOARE SELECTIVE

6.1. În schema echivalentă coeficienții de priză sînt

$$n_i = \frac{L_1 + M}{L_1 + L_2 + 2M} = 0,9 \text{ și } n_e = \frac{C_2}{C_1 + C_2} = 0,091. \text{ Rezistența } R_0 = Q_0 \frac{(C_1 + C_2)}{\omega C_1 C_2} = 21,9 \text{ k}\Omega,$$

iar $R_S/n_e^2 = 121 \text{ k}\Omega$ și $1/h_{22}n_i^2 = 61,7 \text{ k}\Omega$: combinația lor în paralel este $R_e = 14,3 \text{ k}\Omega$. Factorul de calitate în sarcină rezultă $Q = \frac{R_e}{R_0} Q_0 = 65,3$, lărgimea benzii de trecere $B_{3\text{dB}} =$

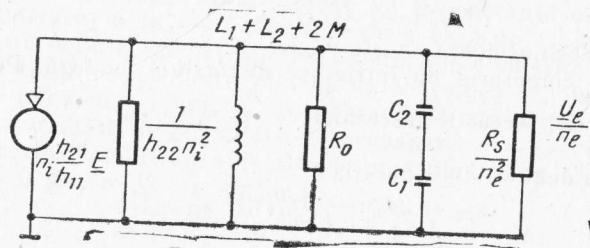
$$= f_r/Q = 12,25 \text{ kHz}, \text{ iar amplificarea } A_0 = -n_i n_e \frac{h_{21}}{h_{11}} R_e = -23,4.$$


Fig. 6.1R

6.2. $R_a = R_e = 14,3 \text{ k}\Omega$, iar amplificarea scade la jumătate ($A_0 = -11,7$).

6.3. Din schema echivalentă rezultă

$$|A_0| = \frac{h_{21}}{h_{11}} \cdot \frac{n_e}{\frac{1}{R_0} + \frac{n_e^2}{R_s} + h_{22}}; \quad R_0 = \omega_r(L_1 + L_2 + 2M) + L_2 + 2M; Q_0 = 15,7 \text{ k}\Omega.$$

Valoarea maximă se obține pentru

$$n_e = \sqrt{R_s \left(h_{22} + \frac{1}{R_0} \right)} = 0,44,$$

caz în care $|A_0| = \frac{1}{2} \cdot \frac{h_{21}}{h_{11}} \cdot \frac{R_s}{n_e} = 90,9$. Factorul de calitate în sarcină este

$$Q = \frac{R_s}{2n_e^2} \cdot \frac{1}{\omega_0(L_1 + L_2 + 2M)} = 32,9,$$

deci $B_{\text{adB}} = f_r/Q = 30,4 \text{ kHz}$.

6.4. Cu notația $n_e = C_2/(C_1 + C_2)$ se poate scrie pentru factorul de calitate în sarcină Q :

$$\frac{1}{Q} = \frac{B_{\text{adB}}}{f_r} = \left(\frac{1}{R_0} + \frac{n_e^2}{R_s} + h_{22} \right) \frac{1}{\omega_r C}; \quad R_0 = \frac{Q_0}{\omega_r C},$$

din care se determină n_e . Știind că $n_e = C_2/(C_1 + C_2)$, se determină $C_1 = C/n_e$, iar apoi C_2 . Amplificarea este

$$|A_0| = \frac{h_{21}}{h_{11}} n_e \frac{1}{2\pi B_{\text{adB}} C}.$$

6.5. Conform schemei echivalente din figura 6.1R, în care $C = C_1 C_2 / (C_1 + C_2)$, notînd cu R_e rezistența echivalentă $\left(\frac{1}{R_e} = \frac{1}{R_0} + h_{22} n_e^2 + \frac{n_e^2}{h_{11}} \right)$ amplificarea este $|A_0| = \frac{h_{21}}{h_{11}} n_e n_i R_e$.

Din condiția de lărgime de bandă rezistența R_e rezultă: $R_e = \frac{f_r}{B_{\text{adB}}} \cdot \frac{1}{\omega_r C}$. Se pune deci problema ca produsul $n_e n_i$ să fie maxim cu condiția

$$h_{22} n_i^2 + \frac{n_e^2}{h_{11}} = \frac{1}{R_e} - \frac{1}{R_0} = \omega_r C \left(\frac{B_{\text{adB}}}{f_r} - \frac{1}{Q_0} \right).$$

Notînd $N_i = n_i \sqrt{h_{22}}$ și $N_e = n_e / \sqrt{h_{11}}$, problema se transformă în realizarea produsului $N_i N_e$ maxim cînd $N_i^2 + N_e^2 = K^2$ (unde K este o constantă). Soluția este evidentă: $N_i = N_e = K/\sqrt{2}$. Revenind la vechile notații:

$$n_i = \sqrt{\frac{\omega_r C}{2h_{22}} \left(\frac{B_{\text{adB}}}{f_r} - \frac{1}{Q_0} \right)}; \quad n_e = \sqrt{\frac{\omega_r C h_{11}}{2} \left(\frac{B_{\text{adB}}}{f_r} - \frac{1}{Q_0} \right)}.$$

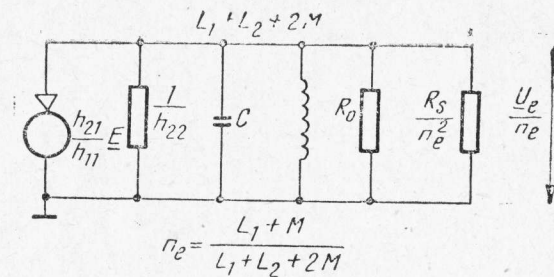


Fig. 6.3R

Amplificarea realizată este

$$|A_0| = \frac{h_{21}}{2\sqrt{h_{11}h_{22}}} \left(1 - \frac{f_r}{Q_0 B_{3dB}}\right).$$

6.6. Cu rezultatul problemei 6.5 se obțin: $n_i = 0,91$; $n_e = 0,29$; $|A_0| = 116,8$.

6.7. Notind combinația în paralel a rezistențelor: R_0 , $1/h_{22}$ și R_s/n_e^2 cu R_e , unde $n_e = C_2/(C_1 + C_2)$, amplificarea are expresia $|A_0| = \frac{h_{21}}{h_{11}} R_e n_e$. Factorul de calitate în sarcină este $Q = f_r/B_{3dB} = 50$. Se poate scrie:

$$\frac{1}{R_e} = \frac{1}{R_0} + h_{22} + \frac{n_e^2}{R_s} \text{ sau } \frac{1}{Q} = \frac{1}{Q_0} + \frac{1}{\omega_r C_e} \left(h_{22} + \frac{n_e^2}{R_s}\right),$$

unde capacitatea de acord este $C_e = C_1 C_2 / (C_1 + C_2)$. Amplificarea mai poate fi scrisă:

$$|A_0| = \frac{h_{21}}{h_{11}} \cdot \frac{Q}{\omega_r C_e} n_e = \frac{h_{21}}{h_{11}} \cdot \frac{Q n_e}{h_{22} + \frac{n_e^2}{R_s}} \cdot \left(\frac{1}{Q} - \frac{1}{Q_0}\right),$$

de unde rezultă valoarea optimă $n_e = \sqrt{h_{22} R_s} = 0,224$ și amplificarea

$$|A_0| = \frac{h_{21} n_e}{2h_{11} h_{22}} \left(1 - \frac{Q}{Q_0}\right) = 74,7.$$

Capacitatea de acord este $C_e = 159$ pF, deci $C_1 = C_e/n_e = 710$ pF și $C_2 = 205$ pF.

6.8. Se determină mai întâi performanțele unui etaj: factorul de calitate în sarcină este Q , unde

$$\frac{1}{Q} = \frac{1}{Q_0} + \frac{h_{22} n_i^2 + n_e^2/h_{11}}{\omega_r C},$$

deci $Q = 42,8$ și $B_{3dB} = f_r/Q = 11,05$ kHz; amplificarea este

$$|A_0| = \frac{h_{21}}{h_{11}} n_i n_e \frac{1}{2\pi C B_{3dB}} = 70,1.$$

Amplificarea globală este $|A_{03}| = |A_0|^3 = 344\,472$, iar lărgimea benzii de trecere la o atenuare cu 3dB: $B_3 = (2^{1/3} - 1)^{1/2} B_{3dB} = 5,63$ kHz.

6.9. Se găsesc $R_{1e} = n_i^2 \frac{Q}{\omega_r C} = 1,44$ kΩ, $R_{2e} = n_e^2 \frac{Q}{\omega_r C} = 8,54$ kΩ, iar $T_g = \frac{h_{21}}{h_{11}} \omega_r C_p R_{1e} R_{2e} = 0,146$.

6.10. Din condiția pentru T_g se obține $R_{1e} R_{2e} = 74,4 \cdot 10^3 \Omega^2$. Lărgimea benzii de trecere a unui etaj este $B_{3dB} = (2^{1/3} - 1)^{1/2} B_3 = 392,3$ kHz, iar factorul de calitate $Q = f_r/B_{3dB} = 27,3$. Amplificarea unui etaj poate fi scrisă

$$|A_0| = \frac{h_{21}}{h_{11}} n_i n_e \frac{Q}{\omega_r C} = \frac{h_{21}}{h_{11}} \sqrt{R_{1e} R_{2e}} = 5,46,$$

deci amplificarea globală este $|A_{03}| = |A_0|^3 = 162,8$.

6.11. Se cunoaște $\sqrt{R_{1e}R_{2e}} = 272.8 \, \Omega$ și $Q = 27.3$. Se pot scrie ecuațiile :

$$\frac{1}{Q} - \frac{1}{Q_0} = \frac{1}{\omega_r C} \left(\frac{n_e^2}{h_{11}} + h_{22} \right) \text{ și } n_e \frac{Q}{\omega_r C} = \sqrt{R_{1e}R_{2e}},$$

în care necunoscute sînt C și n_e . Se obține $n_e = 0,013$ și $C = 19,1 \, \text{pF}$.

6.12. Pentru un etaj $B_{3dB} = B_{n3dB}(2^{1/3} - 1)^{-1/2} = 17,65 \, \text{kHz}$. Se poate scrie

$$|A_n(j\omega)| = |A_{0n}| \left\{ 1 + \left[\frac{2(f - f_r)^2}{B_{3dB}^2} \right]^{-3/2} \right\}$$

deci $|A_{0n}/A_n(j\omega_1)| = 11,18$, unde $f_1 = 479 \, \text{kHz}$.

6.13. Din relația (11) $B_{3dB} = 151,6 \, \text{kHz}$.

6.14. Din $\eta_3 = 1/\sqrt{2}$ rezultă pe etaj $\eta = 0,89 = 2g/(1 + g^2)$ și deci $g = 1,64$. Factorul de calitate este

$$Q_1 = Q_2 = \frac{f_r}{B_c} \sqrt{2} \sqrt{g^2 - 1} = 98,34,$$

deoarece pe etaj $B_c = 200 \, \text{kHz}$. Coeficientul de cuplaj este $k = g/\sqrt{Q_1 Q_2} = 0,0167$.

6.15. Pe etaj $\eta = 0,89$. Pentru $b = \frac{Q_1}{Q_2} + \frac{Q_2}{Q_1} = 3,33$, din ecuația (9) rezultă $g = 1,73$.

Se determină $\sqrt{Q_1 Q_2} = \sqrt{2} \sqrt{g^2 - \frac{b}{2}} f_r / B_c = 44,6$, de unde $Q_1 = 25,75$ și $Q_2 = 77,25$.

Coeficientul de cuplaj este $k = g/\sqrt{Q_1 Q_2} = 0,039$.

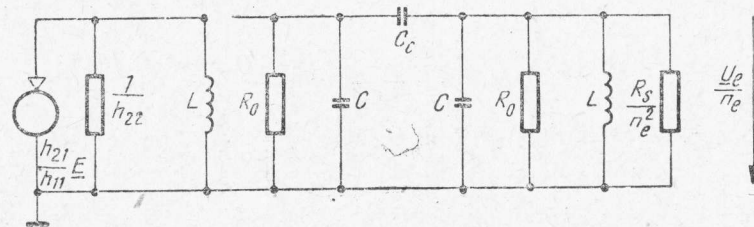
6.16. Se obține $k + C_c/(C + C_c) = g/\sqrt{Q_1 Q_2} = 0,02$. Capacitatea de acord este $(C + C_c) = \frac{1}{\omega_r^2 L} = 1,15 \, \text{nF}$. Rezultă $C_c = 23 \, \text{pF}$ și $C = 1,12 \, \text{nF}$. Lărgimea de bandă este

$B_{3dB} = \sqrt{2} f_r / \sqrt{Q_1 Q_2} = 13,3 \, \text{kHz}$ iar amplificarea

$$|A_0| = \frac{h_{21}}{h_{11}} \frac{Q}{2\omega_r(C + C_c)} = 368.$$

6.17. Schema echivalentă este reprezentată în figură. Factorii de calitate sînt $Q_1 = Q_2 = \sqrt{2} f_r / B_{3dB} = 28,2$. Coeficientul de cuplaj este $k = C_c/(C + C_c) = g/\sqrt{Q_1 Q_2} = 0,0355$

Fig. 6.17R



deci $C_c = (C + C_c)k = 35,5 \text{ pF}$. Este necesar ca $\frac{1}{h_{22}} = \frac{n_e^2}{R_s}$ deci $n_e = 0,224$. Amplificarea este

$$|A_0| = \frac{h_{21}}{h_{11}} n_e \frac{\sqrt{Q_1 Q_2}}{2\omega_r(C + C_c)} = 25,1$$

6.18. Se obține $B_{3\text{dB}} = \sqrt{2} f_r / Q = 9,4 \text{ kHz}$;

$$|A(j\omega_1)|/|A_0| = \left\{ 1 + \left[\frac{2(f_1 - f_0)}{B_{3\text{dB}}} \right]^2 \right\}^{-1/2} = 0,0245.$$

6.19. Schema echivalentă a amplificatorului este reprezentată în figură. Pentru neuniformitatea de 3 dB este necesar ca $g = 2,41$. Notind $Q_1 = Q_2 = Q$ se obține

$$Q = \sqrt{2} \frac{I_r}{B_c} \sqrt{g^2 - 1} = 50.$$

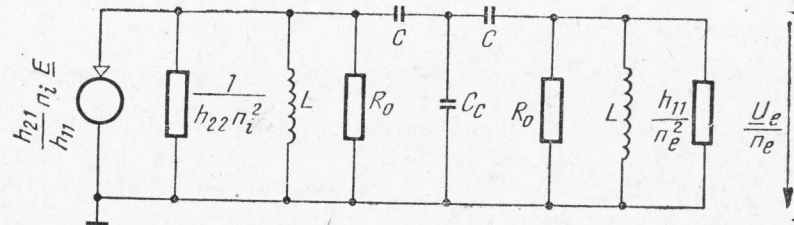


Fig. 6.19R

Coeficientul de cuplaj este $k = C/(C + C_c) = g/Q = 0,0482$, deci $C_c = 19,75 \text{ nF}$. Din

$$\frac{1}{Q} = \frac{1}{\omega_r C_a} \left(\frac{1}{R_0} + \frac{n_e^2}{h_{11}} \right) = \frac{1}{Q_0} + \frac{1}{\omega_r C_a} \frac{n_e^2}{h_{11}},$$

unde $C_a = \frac{C(C + C_c)}{2C + C_c} = 0,954 \text{ nF}$, se găsește

$$n_e = \sqrt{\frac{(Q_0 - Q)\omega_r C_a h_{11}}{Q Q_0}} = 0,31.$$

Din condiția $Q_1 = Q_2$ rezultă

$$\frac{1}{h_{22} n_i^2} = \frac{h_{11}}{n_e^2} \text{ și } n_i = n_e / \sqrt{h_{11} h_{22}} = 0,98.$$

Amplificarea este

$$|A_0| = \frac{h_{21}}{2\sqrt{2}h_{11}} n_i n_e \frac{Q}{\omega_r C_a} = 45.$$

6.20. Din $\eta = 0,891 = 2g/(1 + g^2)$ rezultă $g = 1,62$. Se obține

$$Q = \sqrt{2} \frac{I_r}{B_c} \sqrt{g^2 - 1} = 96,4,$$

La curenul de colector $I_{C0} = 2 \text{ mA}$ panta este $g_m = h_{21}/h_{11} = 70 \text{ mA/V}$. Amplificarea unui etaj are expresia

$$|A_0| = g_m n_i n_e \frac{Q}{2\pi f_r(C + C_c)} \cdot \frac{g}{1 + g^2} = 11,23.$$

Întreg amplificatorul are amplificarea $|A_{03}| = |A_0|^3 = 1416,25$, lărgimea de bandă în sens Cebișev $B_{3c} = B_c = 200 \text{ kHz}$ și neuniformitatea $\gamma_3 = \gamma^3 = 0,707$, adică 3 dB.

6.21. Se determină

$$R_{1e} = n_e^2 \frac{Q_2}{\omega_r(C + C_c)} = 35,9 \text{ } \Omega; \quad R_{2e} = n_i^2 \frac{Q_1}{\omega_r(C + C_c)} = 3,58 \text{ k}\Omega$$

Modulul fazorului de reacție este $T_g = g_m \omega_r C_p R_{1e} R_{2e} = 0,15$. Pertormanțele predeterminate rămîn valabile cu aproximație acceptabilă.

7. OSCILATOARE ȘI SCHIMBĂTOARE DE FRECVENȚĂ

⊗ Oscilatoare LC

7.1. Ținând seama că la punerea în funcțiune a oscilatorului, oscilațiile trebuie să se amorseze foarte ușor și că este de dorit o bună stabilitate a frecvenței, se alege $\frac{S}{S_0} \cong 0.6$; rezultă pentru $S_0 = 85 \text{ mA/V}$, panta oscilatorului (de semnal mare) $S = 0.6 S_0 = 51 \text{ mA/V}$. Se știe că factorul de calitate este $Q = \frac{\omega L_3}{R} = \frac{X_1 + X_2}{R}$; pentru o bună stabilitate a frecvenței (vezi problema 7.2) $Z_{in} = Z_{ie}$ sau $X_1 = X_2$; se obține $Q = \frac{2}{\omega C_1 R}$ sau $R = \frac{2}{\omega C_1 Q} = \frac{2|X_1|}{Q}$. Din relația (8, b) se află

$$X_1^2 = \frac{R}{S} = \frac{2|X_1|}{SQ}$$

sau

$$X_1 = -\frac{2}{SQ} = -0.79 \Omega;$$

se alege $C_1 = 200 \text{ nF}$. Pe de altă parte se află din relația (6)

$$L_3 = \frac{-2X_1}{\omega} = \frac{4}{\omega SQ} = 0.249 \mu\text{F};$$

se alege $L_3 = 0.25 \mu\text{F}$.

7.2(R). Se pleacă de la oscilatorul reprezentat în figura 7.2R (în care nu s-au reprezentat polarizările tubului). Se presupune că dintr-o cauză oarecare (variația temperaturii, a tensiunilor de alimentare etc.) s-a produs variația capacității C_1 cu ΔC_1 . Această determină o modificare a frecvenței cu Δf , numită *deriva electronică* a frecvenței. Să determinăm relația ce există între Δf și ΔC și condițiile pentru ca Δf să fie cât mai mic. Capacitatea de acord a circuitului oscilant este $C = \frac{C_1 C_2}{C_1 + C_2}$ și la scăderea ei se produce o modificare a lui f determinată de relația

$$\frac{\Delta f}{f} = \frac{1}{2} \cdot \frac{\Delta C}{C},$$

dedusă prin derivare din relația (6). Este necesar să se afle legătura între ΔC și ΔC_1 . Se determină impedanța Z_{AK} între punctele A și K și impedanța Z_{AG} între punctele A și G, presupunând Δf foarte mic și R — rezistența circuitului oscilant — de asemenea foarte mică, atunci fiind în paralel pe C_1 a apărut ΔC_1 :

$$Z_{AK} \cong \frac{\frac{1}{j\omega C_1} j \left(\omega L_3 - \frac{1}{\omega C_2} \right)}{R + j \left[(\omega + \Delta\omega) L_3 - \frac{1}{\omega \left(1 + \frac{\Delta\omega}{\omega} \right) \frac{C_1 C_2}{C_1 + C_2}} \right]} - \frac{1}{j\omega \Delta C_1};$$

în relația de mai sus la numărător s-a neglijat R față de $\omega L_3 - \frac{1}{\omega C_2}$. Ținând seama de relația (6) se scrie

$$\begin{aligned} Z_{AK} &\cong \frac{\frac{1}{\omega^2 C_1^2}}{R + j \left[\omega L_3 - \frac{1}{\omega C} \left(1 - \frac{\Delta\omega}{\omega} \right) + \Delta\omega L_3 \right]} - \frac{1}{j\omega \Delta C_1} = \\ &= \frac{\frac{1}{\omega^2 C_1^2}}{R + j2\Delta\omega L_3} - \frac{1}{j\omega \Delta C_1} = \frac{X_1^2 R - j2\Delta\omega L_3}{R^2 + 4\Delta\omega^2 L_3^2} - \\ &= \frac{1}{j\omega \Delta C_1} = \frac{X_1^2}{R} - j \frac{2L_3}{R} \cdot \frac{X_1^2}{R} \Delta\omega + j \frac{1}{\omega \Delta C_1}. \end{aligned}$$

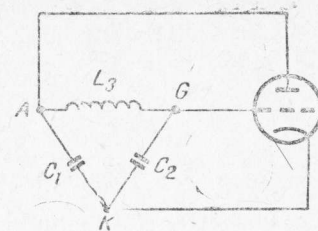


Fig. 7.2R

Dar același efect asupra frecvenței ar apărea dacă s-ar modifica nu C_1 , ci C cu ΔC . În această situație

$$\underline{Z}_{AG} \cong \frac{\frac{L_3}{C}}{R + j2\Delta\omega L_3} - \frac{1}{j\omega\Delta C} \cong \frac{L_3}{CR} - j \frac{2L_3}{R} \cdot \frac{L_3}{CR} \Delta\omega + j \frac{1}{\omega\Delta C}.$$

În aceste relații s-au neglijat $4\Delta\omega^2 L_3^2$ față de R^2 . Deci la apariția lui $-\Delta C_1$ sau $-\Delta C$ frecvența se modifică cu Δf . Ținând seama că $Z_{ies} = \frac{X_1^2}{R}$, $Z_{in} = \frac{X_2^2}{R}$ și $Z_r = \frac{L_3}{CR}$ (impedanța circuitului acordat) și că circuitul este acordat, se poate scrie că \underline{Z}_{AK} și \underline{Z}_{AG} sînt reale, deci

$$-2 \frac{L_3}{R} Z_{ies} \Delta\omega + \frac{1}{\omega\Delta C_1} = 0,$$

$$-2 \frac{L_3}{R} Z_r \Delta\omega + \frac{1}{\omega\Delta C} = 0$$

și

$$\frac{\Delta C}{\Delta C_1} = \frac{Z_{ies}}{Z_r}.$$

Din relația de mai sus se poate scrie

$$\frac{\Delta f_1}{f} = \frac{1}{2} \cdot \frac{Z_{ies}}{CZ_r} \Delta C_1,$$

unde Δf_1 este modificarea frecvenței cînd C_1 a scăzut cu ΔC_1 . Dacă și C_2 scade cu ΔC_2 , frecvența se va modifica cu Δf_2 dedusă similar

$$\frac{\Delta f_2}{f} = \frac{1}{2} \cdot \frac{Z_{in}}{CZ_r} \Delta C_2.$$

Avînd în vedere că la modificarea unor parametri în general și C_1 și C_2 se modifică și că $\Delta C_1 \cong \Delta C_2 = \Delta C$, se poate scrie variația totală a frecvenței

$$\frac{\Delta f}{f} = \frac{\Delta f_1 + \Delta f_2}{f} = \frac{1}{2} \cdot \frac{\Delta C}{CZ_r} [Z_{in} + Z_{ies}].$$

Deoarece din relația (8, b) se știe că $Z_{in} Z_{ies} = \frac{1}{S^2} = \text{const.}$, rezultă că minimumul lui $\underline{Z}_{in} + Z_{ies}$ se obține atunci cînd $Z_{in} = Z_{ies}$. În aceste condițiuni $\frac{\Delta f}{f}$ este minim, deci oscilatorul are stabilitate de frecvență maximă,

7.3. Se pleacă de la relația lui $\frac{\Delta f}{f}$ din problema 7.2, se înlocuiește $Z_{in} = Z_{ies} = \frac{1}{S}$ și se obține pentru $\Delta C_1 = \Delta C_2 = \Delta C$:

$$\frac{\Delta f}{f} = \frac{1}{2} \cdot \frac{\Delta C}{CZ_r} \cdot \frac{2}{S} = \frac{\omega}{SQ} \Delta C,$$

unde $Z_r = \frac{Q}{\omega C}$.

Se vede că $\frac{\Delta f}{f}$ este minim cînd Q este cît mai mare, f — cît mai mic și S — cît mai mare. Alegerea lui S mare, înseamnă că $Z_{in} = Z_{ies}$ este mic [relația (8, b)], deci că există un cuplaj slab între circuit și dispozitivul activ.

7.4. Pentru circuitul din figura 7.4 se poate calcula

$$Z_{in} \cong \frac{L}{CR} \text{ și } Z_{ies} = j\omega L_D + \frac{\omega^2 M^2}{R}.$$

În această expresie s-a neglijat amortizarea circuitului oscilant LC de către impedanța de intrare a TEC-ului, care este polarizat automat. Această impedanță are valoarea $\frac{R_G}{3}$ și se alege mare. De aceea se alege pentru $R_G = 1 \div 3 \text{ M}\Omega$. De asemenea, se neglijează amortizarea circuitului oscilant de către rezistența internă a TEC-ului, căci cuplajul cu circuitul oscilant este slab. În general într-o exploatare curentă se admite

$$\omega L_D \ll \frac{\omega^2 M^2}{R} \text{ și se poate scrie}$$

$$Z_{ies} \cong \frac{\omega^2 M^2}{R}.$$

Panta efectivă S este

$$S = \frac{1}{\sqrt{Z_{in} Z_{ies}}} = \frac{RC}{M}.$$

Avînd în vedere că se alege $S/S_0 \cong 0,6$, se obține

$$M = \frac{RC}{0,6 S_0}.$$

7.5. Avînd în vedere că $X_3 = -\frac{1}{\omega C_{CB}}$ (fig. 7.5), rezultă că cristalul de cuarț se comportă inductiv, deci trebuie să lucreze între frecvența de rezonanță serie și cea derivate (schema echivalentă a cristalului de cuarț din figura 7.5R, a arată că montajul se comportă inductiv

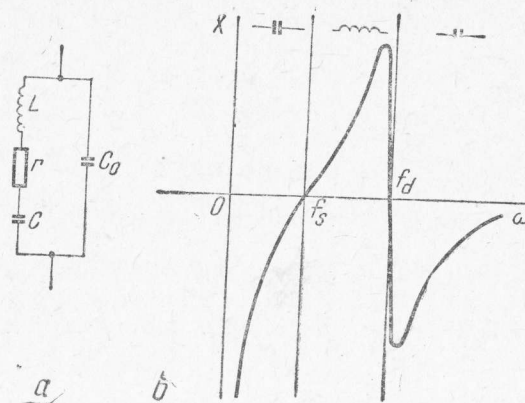


Fig. 7.5R

între frecvența de rezonanță serie f_s și cea de rezonanță paralelă f_d (fig. 7.5R. b); în mod similar, circuitul oscilant $L_a C_a$ trebuie să aibă frecvența de rezonanță f_a mai mică decât cea a oscilatorului, f_0 .

7.6. Montajul este cu tranzistor cu baza la masă. Se vede că

$$Z_{in} = Z_{ie} = \frac{X_1^2}{R} = \omega^2 L_1^2 C_3 Q,$$

unde Q este factorul de calitate a circuitului. Ținând seama de relația (6) se poate obține

$$Z_{in} = \frac{\omega L_1 Q}{2}$$

și

$$S = \frac{1}{Z_{in}} = \frac{2}{\omega L_1 Q}.$$

Alegerea dispozitivului activ se face la frecvența cea mai mică, cînd se cere panta cea mai mare, deci

$$S = \frac{2}{2\pi \cdot 10^6 \times 10^{-3} \times 50} = 0,64 \text{ mA/V}.$$

Panta de semnal mic (care se dă în catalog) este $\eta_{21} = S_0 \cong \frac{S}{0,6} = 1 \text{ mA/V}$. Cînd frecvența scade, panta efectivă necesară scade și deci funcționarea devine mai stabilă, dar stabilitatea frecvenței scade. De aceea se alege raportul $\frac{f_M}{f_m} \cong 1,8$, unde f_M este frecvența maximă. Deci $f_M \cong 1,8 \text{ MHz}$. Din relația (6) se află la frecvența minimă

$$C_{3M} = \frac{1}{2\omega_m^2 L_1} = \frac{1}{8\pi^2 f_m^2 L_1} = 1270 \text{ pF}$$

și la frecvența maximă

$$C_{3m} = \frac{1}{8\pi^2 f_M^2 L_1} \cong 390 \text{ pF}.$$

Avînd în vedere că ΔC_3 necesar este $\Delta C_3 = 880 \text{ pF}$, se poate afirma că practic va trebui să se folosească două subgame folosind un condensator fix $C_3' = 330 \text{ pF}$ pe prima subgamă. Cu un condensator variabil cu variația $25 \div 500 \text{ pF}$ se poate ajunge pe prima subgamă pînă la $C_{3M} = 330 + 500 = 830 \text{ pF}$. Pe a doua subgamă se alege $C_3'' = 770 \text{ pF}$ și se ajunge la $C_{3M} = 770 + 500 = 1270 \text{ pF}$.

7.7. Se scrie expresia puterii active, care trebuie să fie aceeași indiferent unde se fac măsurările. adică

$$\frac{U_r^2}{2Z_r} = \frac{U_u^2}{2Z_{in}} = \frac{U_{ie\delta}^2}{2Z_{ie\delta}}$$

și se obține

$$Z_{in} = Z_r \left(\frac{U_{il}}{U_r} \right)^2,$$

$$Z_{ie\delta} = Z_r \left(\frac{U_{ie\delta}}{U_r} \right)^2,$$

unde $Z_r = \frac{Q}{\omega C_0}$ este impedanța întregului circuit oscilant măsurată la bornele bobinei L_3 , iar Q — factorul de calitate a acestui circuit. Ținând seama de inegalitățile din textul problemei, se scrie

$$Z_{in} = Z_r \left(\frac{C_3}{C_2} \right)^2,$$

$$Z_{ie\delta} = Z_r \left(\frac{C_0}{C_1} \right)^2$$

și panta efectivă necesară este

$$S = \frac{1}{\sqrt{Z_{in}Z_{ie\delta}}} = \frac{\omega}{Q} \frac{C_1 C_2}{C_3} = 2,51 \text{ mA/V.}$$

Se deduce $S_0 = 0,8S \cong 3,14 \text{ mA/V}$ și se alege tranzistorul BFW 11 cu $S_0 \cong 3,2 \text{ mA/V}$.

7.8. Se determină frecvența eventuală de oscilație

$$f_0 = \frac{1}{2\pi \sqrt{L_3 \frac{C_1 C_2}{C_1 + C_2}}} = 6,81 \text{ MHz.}$$

Condiția de oscilație este

$$S \geq \frac{1}{\sqrt{Z_{in}Z_{ie\delta}}} = \frac{R}{X_1 X_2},$$

unde $R \cong R_1 + R_2 + R_3 + \frac{X_1^2}{R_{ie\delta}}$ (se neglijează $\frac{X_2^2}{R_{in}}$, care este foarte mică). $R = 10 + 4,55 = 14,55 \text{ } \Omega$ și $\frac{R}{X_1 X_2} = 2,66 \text{ mA/V}$. Deoarece $S < \frac{R}{X_1 X_2}$, oscilațiile nu se amorsează,

7.9. Schema din figura 7.9, *a* este incorectă; cea din figura 7.9, *b* este corectă.
 7.10. Frecvența oscilațiilor generate este dată de relația

$$X_1 + X_2 + X_3 = 0,$$

în care $X_1 = X_2$, și rezultă

$$2X_1 = -X_3.$$

Reactanța X_1 este reactanța circuitului oscilant acordat pe $f_r = 10$ MHz. Deci

$$X_1 = \frac{-\omega_0 L_1 \frac{1}{\omega_0 C_1}}{\omega_0 L_1 - \frac{1}{\omega_0 C_1}} = \frac{-\frac{1}{\omega_0 C_1}}{1 - \frac{1}{\omega^2 L_1 C_1}} = \frac{-\omega_0 L_1}{1 - \frac{\omega_r^2}{\omega_1^2}},$$

unde f_0 este frecvența de oscilație iar C_1 capacitatea cu care pe frecvența f_r se acordă induc-tivitatea L_1 ; $X_3 = \frac{1}{\omega_0 C_{GD}}$; în aceste condițiuni

$$2 \frac{-\omega_0 L_1}{1 - \frac{\omega_r^2}{\omega_1^2}} = \frac{1}{\omega_0 C_{GD}}$$

și

$$\omega_0 = \sqrt{\frac{-1 + \sqrt{1 + 8\omega_r^2 L_1 C_{GD}}}{4L_1 C_{GD}}}.$$

$$f_0 = 8,76 \text{ MHz.}$$

7.11. Schema echivalentă este prezentată în figura 7.11(R). În această schemă $C_1 =$

$$= C_{ak}, C_2 = C_{gk}, \text{ iar } \omega L_3 = -\frac{Z_0 \operatorname{tg} \beta l \frac{1}{\omega_0 C_{ga}}}{1 - \frac{1}{\omega_0 C_{ga}}}. \text{ Condiția de oscilație este}$$

$$X_1 + X_2 + X_3 = 0$$

$$\frac{1}{\omega_0 C_{ak}} - \frac{1}{\omega_0 C_{gk}} - \frac{\frac{Z_0 \operatorname{tg} \beta l}{\omega_0 C_{ga}}}{Z_0 \operatorname{tg} \beta l - \frac{1}{\omega_0 C_{ga}}} = 0.$$

Rezultă

$$\operatorname{tg} \beta l = \frac{1}{Z_0 \omega_0} \cdot \frac{\frac{1}{C_{ga}} \left[\frac{1}{C_{ak}} + \frac{1}{C_{gk}} \right]}{\frac{1}{C_{ak}} + \frac{1}{C_{gk}} + \frac{1}{C_{ga}}} = 0,105 ;$$

$$\beta l = 0,105 ;$$

$$l = 0,105 \frac{\lambda}{2\pi} = 0,105 \frac{f(\text{MHz})}{2\pi 300} = 0,056 \text{ m.}$$

Panta efectivă necesară este $S = \frac{R}{X_1 X_2}$, unde R are valoarea

$$R = R_1 + R_2 + R_3 + \frac{X_2^2}{R_{in}} = \frac{1}{C_{ak}} + \frac{1}{C_{gk}} + \frac{1}{\omega^2 C_{gk}^2 R_{in}} ;$$

în cazul montajului cu negativare automată prin grupul $C_g R_g$, impedanța de intrare este

$$R_{in} = \frac{R_g}{3} \cong \frac{1}{3} 10^6 \Omega ; \text{ în aceste condiții}$$

$$R = 0,647 \Omega.$$

Se obține $S = \frac{R}{X_1 X_2} = \omega^2 C_{ak} C_{gk} R = 0,358 \text{ mA/V.}$

Se alege un tub cu panta de semnal mic $S_0 \geq \frac{S}{0,8} = 0,45 \text{ mA/V.}$

7.12. În figura 7.12(R) este prezentată schema echivalentă, în care $\frac{1}{\omega_0 C_1} =$

$$= \frac{Z_0 \operatorname{tg} \beta l_1 \frac{1}{\omega_0 C_{DS}}}{Z_0 \operatorname{tg} \beta l_1 - \frac{1}{\omega_0 C_{DS}}} ; C_2 = C_{GS} \text{ și}$$

$$\omega L_3 = - \frac{Z_0 \operatorname{tg} \beta l_3 \frac{1}{\omega_0 C_{GD}}}{Z_0 \operatorname{tg} \beta l_3 - \frac{1}{\omega_0 C_{GD}}} . \text{ Avînd în vedere că valorile}$$

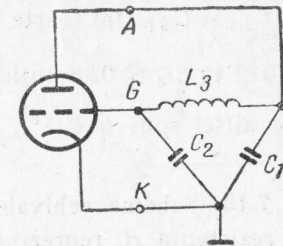


Fig. 7.11R

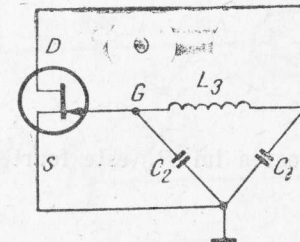


Fig. 7.12R

lui C_{DS} și C_{GD} sînt foarte mici, se poate scrie că $-\frac{1}{\omega_0 C_1} \cong Z_0 \operatorname{tg} \beta l_1$ și $\omega L_3 \cong Z_0 \operatorname{tg} \beta l_3$, deci $\operatorname{tg} \beta l_1 < 0$ și $\operatorname{tg} \beta l_3 > 0$. Soluția tehnică cea mai bună corespunde la $\beta l_3 \in (0, \pi/2)$ și $\beta l_1 \in (\pi/2, \pi)$ sau altfel spus $l_1 \leq \lambda^3/4$ și $\frac{\lambda}{4} \leq l_3 \leq \frac{\lambda}{2}$.

7.13. Schema echivalentă este dată în figura 7.13R, în care capacitatea C_1 în paralel cu rezistența R_1 reprezintă circuitul $L_D C_D$ la frecvența de oscilație f_0 , știind că frecvența de acord a acestui circuit este $f_D = \frac{1}{2\pi \sqrt{L_D C_D}} < f_0$; cristalul de cuarț se comportă ca o inductivitate L_3 (vezi problema 7.5), lucrînd între frecvența serie de rezonanță f_s și cea derivație f_d . Frecvența de oscilație f_c este egală cu frecvența de 1 MHz a cristalului de cuarț. Condiția de oscilație se determină din condiția (1), adică factorul de transfer

$$\underline{A\beta} = S \frac{n}{G_T} = 1,$$

unde $n = \frac{u_i(t)}{u_e(t)} \Big|_{G=0}$ (cînd conductanța în paralel pe C_2 este 0), iar $G_T = \frac{1}{R_1} + n^2 \frac{1}{R'_{in}}$ este conductanța de transfer; rezistența $R'_{in} = \frac{R_G}{3}$, iar $n = \frac{C_2}{C_1}$. În aceste condiții

$$S = \frac{G_T}{n} = \frac{1}{nR_1} + \frac{n}{R'_{in}} = \frac{C_1}{C_2} \cdot \frac{1}{R_1} + \frac{C_2}{C_1} \cdot \frac{3}{R_G}.$$

În problema 7.3 s-a arătat că stabilitatea de frecvență este maximă cînd $Z_{in} = Z_{ies}$, adică la $C_1 = C_2$. Deci se va alege regimul de funcționare cu $C_1 = C_2$ și

$$S = \frac{1}{R_1} + \frac{3}{R_G}.$$

Valoarea lui R_G este foarte mare față de R_1 , deci se poate scrie condiția de amorsare

$$S \geq \frac{1}{R_1} = 1 \text{ mA/V}.$$

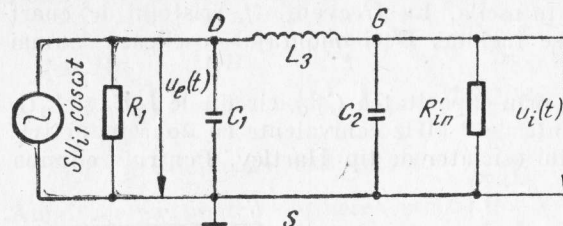


Fig. 7.13R

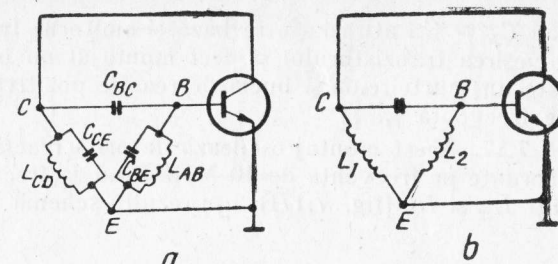


Fig. 7.14R

7.14. Avînd în vedere că oscilațiile parazite sînt pe o frecvență mult mai mare în comparație cu frecvența de lucru a amplificatorului și că circuitele $L_B C_B$ și $L_C C_C$ sînt acordate pe frecvența de lucru a amplificatorului, se poate afirma că aceste circuite sînt scurtcircuitate pe frecvența oscilatorului. Practic rămîn în circuitul oscilatorului conexiunea AB în paralel cu capacitatea parazită C_{BE} (condensatorul C_1 este scurtcircuitat la această frecvență), capacitatea parazită C_{BC} și conexiunea CD în paralel cu capacitatea parazită C_{CE} (condensatorul de filtraj C_f este un scurtcircuit), reprezentate în figura 7.14R. *a.* Conexiunile AB și CD la frecvența de oscilație sînt echivalente cu niște inductivități, adică L_{AB} — respectiv L_{CD} . Aceste circuite au frecvența de acord superioară frecvenței de oscilație, deci la frecvența de oscilație se comportă ca două inductivități: L_2 respectiv L_1 [fig. 7.14R. *b.*]. Oscilatorul este de tip Hartley. Pentru a elimina aceste oscilații, se montează direct la conexiunea de bază, respectiv de colector a tranzistorului, rezistențe de 100Ω în paralel cu mici bobine, care sînt scurtcircuit pe frecvența de lucru a amplificatorului și de valoare mult mai mare de 100Ω pe frecvența de oscilație. În aceste condiții, rezistențele sînt eliminate în curent continuu și pe frecvența de lucru a amplificatorului, dar rămîn în circuit pe frecvența oscilatorului, ducînd la amortizarea oscilațiilor, deci la scoaterea din oscilație. căci crește rezistența R din relația (8, *b.*)

7.15. Circuitele $L_B C_B$ și $L_C C_C$, acordate pe frecvența de 2 MHz sînt scurtcircuitate pe frecvența de 100 kHz, rămînînd doar bobinele de șoc L_{S1} și L_{S2} (puse la masă prin sursele de alimentare) în paralel cu C_{f1} , respectiv C_{f2} . Reacția pe frecvența de oscilație se realizează prin capacitatea C_{BC} . Circuitele $L_{S1} C_{f1}$ și $L_{S2} C_{f2}$ [fig. 7.15R] se comportă ca două inductivități L_1 , L_2 și se obține un oscilator Hartley.

7.16. În problema 7.5 s-a arătat schema echivalentă a cristalului de cuarț. La o frecvență diferită de frecvența de rezonanță serie a cristalului de cuarț f_s , ramura serie L, C, r are o impedanță foarte mare și se poate neglija, rămînînd doar capacitatea C_0 . Se constată că se formează o punte alcătuită din bobina AB , capacitatea C_0 și condensatorul C_N .

Dacă puntea este la echilibru, adică deci $\frac{L_{AM}}{L_{MB}} = 1 = \frac{C_N}{C_0}$

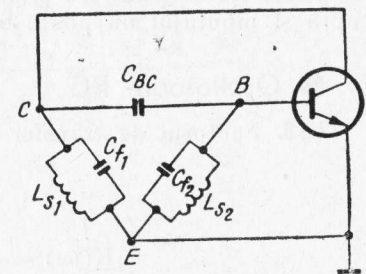


Fig. 7.15R

sau $C_N = C_0$, atunci între baza și emitorul tranzistorului nu apare prin reacție tensiune de la ieșirea tranzistorului și deci montajul nu poate oscila. La frecvența f_s cristalul de cuarț este un scurtcircuit și bucla de reacție pozitivă se închide. Deci montajul oscilează numai pe frecvența f_s .

7.17. Acest montaj oscilează datorită reacției prin capacitatea C_{BC} , circuitele L_2C_2 și L_1C_1 acordate pe frecvența de 10 MHz fiind la frecvența de 9 MHz echivalente cu două inductivități L_{e2} și L_{e1} [fig. 7.17R, a]; rezultă schema unui oscilator de tip Hartley. Pentru a elimina

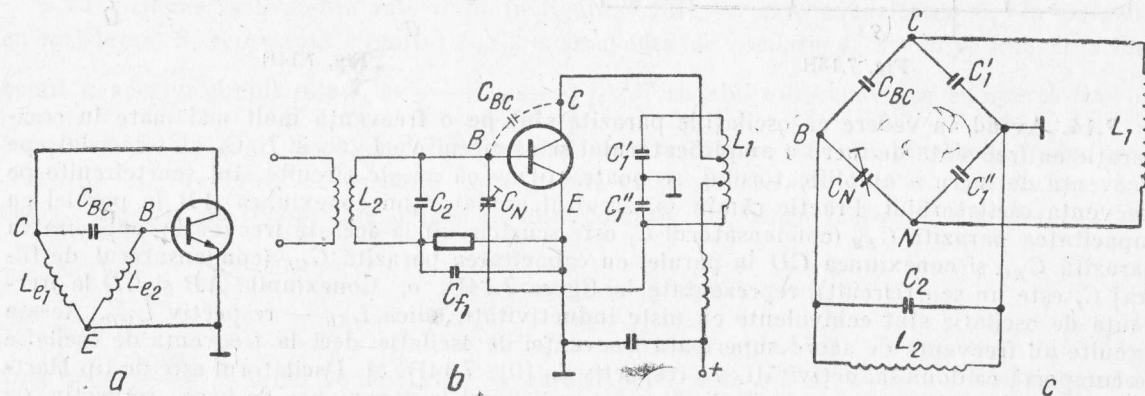


Fig. 7.17R

aceste oscilații, schema se modifică conform figurii 7.17R, b, folosindu-se neutralizarea de colector. Schema echivalentă este dată în figura 7.17R, c, în care se formează un montaj în punte ce se aduce la echilibru când

$$\frac{C_1'}{C_1''} = \frac{C_{BC}}{C_N},$$

care nu depinde de frecvență. Se vede că din tensiunea de la ieșire (de la bornele bobinei L_1) la intrare nu se transferă nimic (la bornele circuitului L_2C_2), deci calea de reacție este întreruptă și montajul nu poate oscila.

● Oscilatoare RC

7.18. Factorul de transfer este dat de relația

$$\underline{K}(j\omega) = \frac{\underline{U}_4}{\underline{U}_1};$$

$$\underline{K}(j\omega) = \frac{1}{-\left[\frac{5}{(\omega CR)^2} - 1\right] + j\left[\frac{1}{(\omega CR)^3} - \frac{6}{\omega CR}\right]}.$$

Pentru obținerea unui defazaj de 180° trebuie ca

$$\frac{1}{(\omega CR)^3} - \frac{6}{\omega CR} = 0; \text{ rezultă } f = \frac{1}{2\pi\sqrt{6} RC}.$$

7.19. $f_{MAX} = 195 \text{ kHz}; f_{min} = 7,8 \text{ kHz}.$

7.20. Se calculează rezistența $R = \frac{\sqrt{6}}{2\pi f_0 C} = 65 \text{ k}\Omega.$

Amplificarea pentru obținerea oscilațiilor este dată

de condiția $A > 29$; practic se alege $A = 1,1 \cdot 29 = 32$; $A = \frac{SR_D r_{DS}}{r_{DS} + R_D}$, unde S este panta

TEC-ului, iar r_{DS} — rezistența lui internă. $R_D = \frac{Ar_{DS}}{Sr_{DS} - A} = 20 \text{ k}\Omega.$

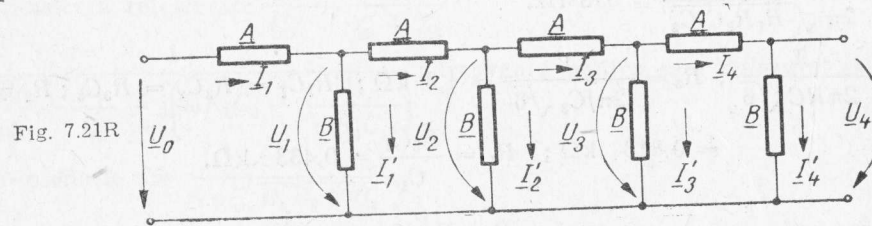
Rezistența R_D rezultă din punerea în paralel a rezistenței de drenă în curent continuu și a rezistenței de intrare a rețelei $R_D = \frac{R_{D1} Z_i}{R_{D1} + Z_i}.$

În cazul rețelei trece-jos, la frecvența de oscilație impedanța de intrare este egală cu $Z_i = 1,1R$. Rezultă,

$$R_{D1} = \frac{1,1RR_D}{1,1R - R_D} \cong 27 \text{ k}\Omega.$$

7.21. Pentru cazul general se notează impedanțele elementelor cu \underline{A} și \underline{B} [fig. 7.21R].

Raportul $\frac{\underline{A}}{\underline{B}} = \underline{k}$ este un număr imaginar, deoarece un element este pur rezistiv, iar celălalt



pur capacitiv:

$$\underline{U}_4 = \underline{B} \underline{I}_4;$$

$$\underline{U}_3 = \underline{A} \underline{I}_4 + \underline{U}_4 = \underline{U}_4 (1 + \underline{k});$$

$$\underline{U}_2 = \underline{U}_3 + \underline{A} \underline{I}_3 = \underline{U}_4 (1 + 3\underline{k} + \underline{k}^2);$$

$$\underline{U}_1 = \underline{U}_2 + \underline{A} \underline{I}_2 = \underline{U}_4 (1 + 6\underline{k} + 5\underline{k}^2 + \underline{k}^3);$$

$$\underline{U}_0 = \underline{U}_1 + \underline{A} \underline{I}_1 = \underline{U}_4 (1 + 10\underline{k} + 15\underline{k}^2 + 7\underline{k}^3 + \underline{k}^4).$$

Pentru introducerea unui defazaj de 180° trebuie ca

$$10\underline{k} + 7\underline{k}^3 = 0; \text{ rezultă } \underline{k}^2 = -\frac{10}{7}.$$

$$\text{Se obține } \underline{A}_{min} = \frac{\underline{U}_0}{\underline{U}_4} = 1 + 15\underline{k}^2 + \underline{k}^4 = -18,39.$$

a) pentru celule defazoare trece-sus $\underline{A} = \frac{1}{j\omega C}$, $B = R$; rezultă

$$\underline{k} = \frac{1}{j\omega RC};$$

$$\underline{k}^2 = -\frac{10}{7} = -\frac{1}{\omega^2 R^2 C^2}, \text{ sau } f = \frac{1}{2\pi \sqrt{\frac{10}{7}} RC}.$$

b) pentru celule defazoare trece-jos $A = R$, $\underline{B} = \frac{1}{j\omega C}$, $\underline{k} = j\omega RC$; $\underline{k}^2 = -\frac{10}{7} =$

$$= -\omega^2 R^2 C^2, \text{ sau } f = \frac{1}{2\pi RC \sqrt{\frac{10}{7}}}.$$

$$7.22. f = \frac{1}{2\pi \sqrt{R_1 R_2 C_1 C_2}} \cong 1,59 \text{ kHz.}$$

$$7.23. f = \frac{1}{2\pi \sqrt{R_1 R_2 C_1 C_2}} \cong 398 \text{ Hz.}$$

$$7.24. f = \frac{1}{2\pi RC \sqrt{6}}; R_3 = \frac{1}{2\pi f C_3 \sqrt{6}} = 1,3 \text{ k}\Omega; R_1 C_1 = R_2 C_2 = R_3 C_3; R_2 = \frac{R_3 C_3}{C_2} = 0,813 \text{ k}\Omega; R_1 = \frac{R_3 C_3}{C_1} = 0,433 \text{ k}\Omega.$$

$$7.25. f = \frac{1}{2\pi RC \sqrt{6 + \frac{4R_0}{R}}}; \text{ pentru } R = R_0, f = \frac{1}{2\pi RC \sqrt{10}}.$$

$$7.26. h_{21e} = 23 + \frac{29R}{R_0} + \frac{4R_0}{R}; \text{ egalînd cu zero derivata acestei expresii se obține}$$

$$\frac{R_0}{R} \cong 2,7,$$

Rezultă $h_{21e \min} \cong 45$; $f = \frac{1}{2\pi RC \sqrt{16,8}}$.

7.27. $f = \frac{1}{2\pi RC} \sqrt{6 + \frac{4R_c}{R}}$; pentru $R = R_c$, $f = \frac{\sqrt{10}}{2\pi RC}$; plecînd de la relația lui h_{21e} (dată în problema 7.26) se obține pentru $R = R_c$, $h_{21e} \geq 56$.

7.28. Schema echivalentă a oscilatorului este prezentată în figura 7.28R. S-a presupus că rezistența de sarcină din colector este mult mai mică decît impedanța de ieșire a tranzistorului $R \ll \frac{1}{h_{22e}}$. Atenuarea de curent este dată de relația :

$$\gamma = 3 - \omega^2 R^2 C^2 + \frac{h_{11e}}{R} (1 - 5\omega^2 R^2 C^2) + j \left[4\omega RC + \frac{h_{11e}}{R} (6\omega RC - \omega^3 R^3 C^3) \right].$$

Egalînd cu zero partea imaginară se obține frecvența de oscilație :

$$f = \frac{1}{2\pi RC} \sqrt{6 + \frac{4R}{h_{11e}}}.$$

$$7.29. \underline{Z}_1 = R_1 + \frac{1}{j\omega C_1}; \quad \underline{Z}_2 = \frac{R_2}{1 + j\omega R_2 C_2};$$

funcția de transfer a rețelei este $\frac{\underline{U}_2}{\underline{U}_1} = \frac{\underline{Z}_2}{\underline{Z}_1 + \underline{Z}_2}$;

$$\frac{\underline{U}_2}{\underline{U}_1} = \frac{1}{1 + \frac{R_1}{R_2} + \frac{C_2}{C_1} + j \left(\omega R_1 C_2 - \frac{1}{\omega R_2 C_1} \right)}; \text{ frecvența pentru care defazaajul este nul este}$$

$$\text{frecvența de oscilație } f = \frac{1}{2\pi \sqrt{R_1 R_2 C_1 C_2}}.$$

$$7.30. f = \frac{0,28}{RC} = 5 \text{ kHz};$$

$$7.31. f \cong 1517 \text{ Hz};$$

7.32. Frecvența maximă se obține pentru valoarea minimă a rezistenței ;

$$f_{MAX} = \frac{1}{2\pi C \sqrt{R_1 \frac{R_{b1} R_{b2}}{R_{b1} + R_{b2}}}};$$

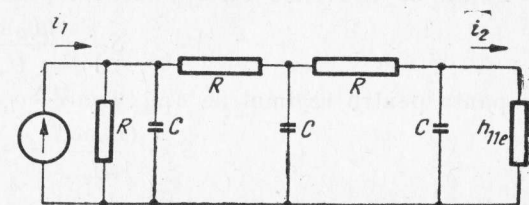


Fig. 7.28R

● Schimbătoare de frecvență

7.33. Între grilă și masă la un TEC-J (vezi fig. 9) se aplică tensiunea $u_{GS} = u_s + u_h + E_{GS}$, unde $u_s = U_s(t) \cos \omega_s t$ este tensiunea semnalului, $u_h = U_h \cos \omega_h t$ — tensiunea oscilatorului local, iar E_{GS} — tensiunea de polarizare grilă-sursă. Se înlocuiește în expresia lui i_D și se obține

$$i_D = I_{DM} \left(1 - \frac{u_s + u_h + E_{GS}}{E'_{GS}} \right)^2.$$

Panta de conversie corespunde componentei de frecvență ω_i și este

$$S_c = \frac{(I_D)\omega_i}{U_s} = \frac{I_{DM}}{E'^2_{GS}} U_h,$$

iar panta pentru regimul de amplificare corespunde componentei de frecvență ω_s :

$$S = \frac{(I_D)\omega_s}{U_s} = \frac{2 I_{DM}}{E'^2_{GS}} (E'_{GS} - E_{GS}).$$

Rezultă

$$S_c = \frac{U_h}{2(E'_{GS} - E_{GS})} S.$$

7.34. În cazul TEC-MIS, urmînd aceeași cale ca în problema 7.33(R) se scrie

$$i_D = \frac{\beta}{2} (u_s + u_h + E_{GS} - E'_{GS})^2.$$

Panta de conversie corespunde componentei de frecvență ω_i :

$$S_c = \frac{(I_D)\omega_i}{U_s} = \frac{\beta U_h}{2},$$

iar panta pentru regimul de amplificare — componentei de frecvență ω_s :

$$S = \frac{(I_D)\omega_s}{\omega_s} = \beta(E_{GS} - E'_{GS}).$$

Deci

$$S_c = \frac{U_h}{2(E_{GS} - E'_{GS})} S.$$

7.35. Din expresia (26) și din analiza curbei $\frac{I_1(x)}{I_0(x)}$ rezultă că panta de conversie este maximă cînd $x \geq 4$. Curba avînd un caracter asimptotic, pentru $x \geq 4$ valoarea pantei de conversie este mai mare ca 0,86 S . Deci tensiunea oscilatorului local se alege

$$U_h \geq 4U_T \cong 0,1 \text{ V.}$$

De obicei se alege $0,1 \text{ V} \leq U_h \leq 0,15 \text{ V}$.

7.36. Se are în vedere că într-o funcționare normală la un etaj schimbător de frecvență cu TEC-J este necesar să nu se intre în regiunea de polarizare directă a grilei și nici în regiunea de tăiere. În aceste condițiuni se alege $E_{GS} = \frac{E'_{GS}}{2}$ și $U_h \cong \frac{E'_{GS}}{2}$ și rezultă [a se vedea problema 7.33(R)]

$$S_{C \max} = \left| \frac{I_{DM}}{2E'_{GS}} \right| = \frac{S_0}{4},$$

unde S_0 este panta în regim de amplificare pentru $E_{GS} = 0$. În aceste condițiuni amplificarea este maximă. La tranzistorul BFW 10 rezultă

$$S_{C \max} \cong 1,1 \text{ mA/V}$$

pentru $E_{GS} \cong -2,2 \text{ V}$ și $U_h \cong 2,2 \text{ V}$. La $E_{GS} = -2,2 \text{ V}$ se obține $I_D = 4 \text{ mA}$ și rezultă

$$(\text{fig. 9}) \quad R_S = \frac{|E_{GS}|}{I_D} = \frac{2,2}{4} 10^3 = 550 \text{ } \Omega.$$

Se alege $R_S = 540 \text{ } \Omega$.

7.37. Din curba din figura 8 se determină, pentru $x = \frac{0,15}{0,026} = 5,76$, $\frac{I_1(x)}{I_0(x)} \cong 0,9$ și deci $S_C \cong 0,9y_{21} = 58,5 \text{ mA/V}$.

7.38. Pentru a rămîne în regiunea parabolică (în această regiune datorită neliniarității caracteristicii $i_D = f(u_{GS})$ se poate obține schimbarea de frecvență), este necesar ca tensiunea de polarizare să se aleagă $E_{GS} = \frac{E'_{GS} + u_{GS}}{2} = -0,9 \text{ V}$ și $U_h \cong \frac{-E'_{GS} + u_{GS}}{2} = 0,3 \text{ V}$. Pentru aceste valori rezultă $I_D \cong 200 \text{ } \mu\text{A}$ și $S = 0,5 \text{ mA/V}$ (din caracteristicile de catalog); panta de conversie este $S_C = \left| \frac{U_h}{2(E'_{GS} - E_{GS})} \right| S = \frac{0,3}{0,6} 0,5 = 0,25 \text{ mA/V}$. Pentru a obține această pantă, cunoscînd E_{GS} și I_D se află $R_S = \frac{-E_{GS}}{I_D} = \frac{0,9}{0,2} 10^3 = 4,5 \text{ k}\Omega$ (fig. 9).

8. MODULATOARE ȘI DEMODULATOARE

● Producerea modulației liniare

8.1. Curentul din colectorul tranzistorului T_3 este :

$$I_0(t) = I_{00}(1 + m \cos \omega_m t), \quad I_{00} = \alpha \frac{E_E - V_0}{(2 - \alpha)R}; \quad m = \frac{U_m}{E_E - V_0}.$$

Curentul prin colectorul tranzistorului T_2 , conform relațiilor (10), (11) este

$$i_{c2} \cong \alpha \frac{I_0(t)}{2} - \alpha I_0(t) a_1(x) \cos \omega_0 t; \quad x = \frac{U_0}{E_0},$$

unde s-a neglijat $a_3(x)$ conform tabelului 1. Ținând seama de proprietățile de filtrare ale circuitului acordat, dacă lărgimea sa de bandă la o atenuare cu 3 dB este mai mare decât $2f_m$ se obține

$$u_e(t) = E_G + \alpha a_1(x) I_{00} R_0 (1 + m \cos \omega_m t) \cos \omega_0 t.$$

8.2. $m = 0,377$. Nu, deoarece trebuie ca $I_0(t) > 0$.

8.3. $I_{00} = 0,883 \text{ mA}$; $m = 0,566$; $a_1(1) = 0,2356$. Rezultă $u_e(t) = 6 + 0,624(1 + 0,566 \cos \omega_m t) \cos \omega_0 t$. În sarcină trebuie $Q < f_0/2f_m = 25$. Deci

$$R_0 \omega_0 C < 25 \text{ sau } C < 2,65 \text{ nF}.$$

8.4. Din relația (12) se găsește conductanța drenă-sursă :

$$g_{DS} = \frac{di_D}{du_{DS}} \cong \frac{di_D}{du_{GS}} = \frac{2I_{DSS}}{-U_p} \left(1 - \frac{u_{GS}}{U_p}\right); \quad u_{DS} \cong u_{GS},$$

deoarece se poate considera $u_i \cong 0$ și neglija $u_1(t)$. Tensiunea la ieșire este :

$$u_e(t) = -g_{DS} R u_1(t) = -R \frac{2I_{DSS}}{U_p^2} u_1(t) u_2(t).$$

Restricțiile, conform relațiilor (13), sînt :

$$|u_1(t)| < 100 \text{ mV}; \quad U_p < u_2(t) + U_p < V_0.$$

3.5. $m = 0,5$. Tensiunea la ieșire este

$$u_e(t) = -0,4(1 + 0,5 \cos \omega_m t) \cos \omega_0 t;$$

3.6. Din relația (12), în care

$$u_{G,S} = U_0 \cos \omega_0 t + A(1 + m \cos \omega_m t) + U_p,$$

rezultă pentru curentul de drenă expresia

$$i_D = I_{DSS} \frac{[U_0 \cos \omega_0 t + A(1 + m \cos \omega_m t)]^2}{U_p^2}.$$

Ținînd seama de selectivitatea circuitului derivație, acordat pe frecvența purtătoare (ω_0), se obține

$$u_e(t) = E_D - \frac{2I_{DSS}U_0R_0A}{U_p^2} (1 + m \cos \omega_m t) \cos \omega_0 t.$$

3.7. Componentele nedorite sînt pe frecvențele $2f_m$ și $2f_0$. Frecvența $2f_m$ este atenuată de $2 \cdot 10^4$ ori (86 dB), iar $2f_0$ — de 100 ori (40 dB).

3.8. Condițiile pentru gradul de modulație sînt determinate de

$$A(1 - m) - U_0 \geq 0; \quad A(1 + m) + U_0 \leq V_0 + |U_p|;$$

Condiția pentru R_0 se determină din

$$E_D - \frac{2I_{DSS}U_0A}{U_p^2} (1 + m)R_0 > -|U_p|;$$

3.9. Se găsesc

$$U_0 = \frac{V_0 + |U_p|}{2} (1 - m) = 1,175 \text{ V}; \quad A = \frac{U_0 + |U_p|}{2} = 2,59 \text{ V};$$

$$R_{0MAX} = \frac{(E_D + |U_p|)U_p^2}{2I_{DSS}U_0A(1 + m)} = 7,01 \text{ k}\Omega.$$

3.10. $u_e(t) = U_1 K_M \cos(\omega_0 \pm \omega_1)t + U_2 K_M \cos(\omega_0 \pm \omega_2)t$,

în care semnele plus se aleg cînd sumatorul efectuează scăderea.

3.11. Frecvența de acord a circuitului f_r trebuie aleasă $f_r = f_0 + \frac{f_{mM} + f_{mm}}{2}$. Cea mai

apropiată frecvență nedorită se găsește la $\Delta f = -\left(f_{mm} + \frac{f_{mM} + f_{mm}}{2}\right) = 1950 \text{ Hz}$. Rezultă

$$x = \frac{2\Delta f}{f} Q \text{ și pentru } f_0 = 10 \text{ kHz} \Rightarrow x = -78, \text{ iar pentru } f_0 = 100 \text{ kHz} \Rightarrow x = -7,8; \text{ deci,}$$

în primul caz atenuarea este de 35,8 dB, iar în al doilea 17,9 dB.

$$8.12. u_e(t) = \frac{U_m K_m}{2} 0,75 \cos(\omega_0 - \omega_m)t + \frac{U_m K_m}{2} 0,25 \cos(\omega_0 + \omega_m)t = \frac{U_m K_m}{2} \cos \omega_m t \cos \omega_0 t + \frac{U_m K_m}{4} \sin \omega_m t \sin \omega_0 t.$$

$$8.13. u_e(t) = \frac{U_0 K_m}{2} (1 + m \cos \omega_m t) \cos \omega_0 t + \frac{U_0 K_m m}{4} \sin \omega_m t \sin \omega_0 t.$$

8.14. Fiind respectată condiția $|u_{DS}| < 100 \text{ mV}$, se poate scrie cînd TEC este în conducție :

$$u_1(t) = \frac{g(t)}{1 + R_1 g_{DS}}; \quad g_{DS} = \frac{2I_{DSS}}{-U_p} \left(1 - \frac{u_{GS}}{U_p} \right) \Big|_{u_{GS}=0} = \frac{2I_{DSS}}{-U_p}.$$

Cînd TEC este blocat, rezultă $u_1(t) = g(t)$, dacă $R_1 \ll (1 + h_{21})R_E$.
În consecință

$$u_1(t) = g(t)f_i(t) + \frac{g(t)}{1 + R_1 g_{DS}} [1 - f_i(t)].$$

Componentele tensiunii $u_1(t)$ în jurul frecvenței ω_0 , pentru $g(t) = U_m \cos \omega_m t$, sînt

$$\bar{u}_1(t) = \frac{R_1 g_{DS}}{1 + R_1 g_{DS}} \frac{2U_m}{\pi} \cos \omega_m t \cos \omega_0 t.$$

Tensiunea la ieșire rezultă

$$u_e(t) = \frac{R_0}{R_E} \bar{u}_1(t) = \frac{2R_0 U_m}{\pi R_E} \cdot \frac{R_1 g_{DS}}{1 + R_1 g_{DS}} \cos \omega_m t \cos \omega_0 t.$$

Pentru rezistența R_1 se obține condiția

$$\frac{U_m}{1 + R_1 g_{DS}} < 0,1 \text{ V sau } R_1 > \left(\frac{0,1}{U_m} - 1 \right) \frac{1}{g_{DS}}.$$

8.15. Componentele utile sînt pe frecvențele $(\omega_0 + \omega_m)$ și $(\omega_0 - \omega_m)$ și cea mai apropiată componentă supărătoare este pe frecvența $(3\omega_0 - \omega_m)$. Nu există componente de joasă frecvență.

● Producerea modulației în frecvență

8.16. Din relația $i_L + i_C = 0$ rezultă

$$\frac{1}{L} \int u(\tau) d\tau + (C_0 + \Delta C \cos \omega_m t) \frac{du(t)}{dt} = 0,$$

care este ecuația semnalelor MF (19), în care

$$\omega_i(t) = \frac{1}{\sqrt{LC_0 \left(1 + \frac{\Delta C}{C_0} \cos \omega_m t \right)}} \cong \frac{1}{\sqrt{LC_0}} \left(1 - \frac{1}{2} \frac{\Delta C}{C_0} \cos \omega_m t \right).$$

Comparind acest rezultat cu (18), se deduce

$$\Delta\omega = \frac{1}{2} \cdot \frac{\Delta C}{C_0} \cdot \frac{1}{\sqrt{LC_0}}.$$

8.17. Din relația $i_L + i_{C_0} + i_C + A(t)i_C = 0$, în care

$$i_L = \frac{1}{L} \int u(\tau) d\tau; \quad i_C = C \frac{du(t)}{dt}, \quad i_{C_0} = C_0 \frac{du(t)}{dt},$$

se obține:

$$\int u(\tau) d\tau + \frac{1}{\omega_1^2(t)} \frac{du(t)}{dt} = 0;$$

$$\omega_1^2(t) = \frac{1}{L\{C_0 + C[1 + A(t)]\}},$$

adică ecuația semnalelor MF (19).

Se găsește

$$\omega_0 = \frac{1}{\sqrt{L[C_0 + C(1 + A_0)]}}; \quad \frac{\Delta\omega}{\omega_0} = \frac{CA_1}{2[C_0 + C(1 + A_0)]}.$$

8.18. Se determină $I_E = I_{E0} + I_{E1} \cos \omega_m t$, unde

$$I_{E0} = \frac{E_E - V_E - V_0}{R}; \quad I_{E1} = \frac{U_m}{R}.$$

Deoarece $A(t)i_C(t) = g_m u_1 = g_m i_{Cr}$, $g_m = \alpha \frac{I_E}{4E_0}$, rezultă

$$A(t) = \alpha \frac{I_{E0} r}{4E_0} + \alpha \frac{I_{E1} r}{4E_0} \cos \omega_m t,$$

sau

$$A_0 = \alpha \frac{I_{E0} r}{4E_0}, \quad A_1 = \alpha \frac{I_{E1} r}{4E_0}.$$

8.19. La momentul t_i , detectorul de prag sesizează tensiunea $v = +V$ și comandă trecerea comutatorului K pe poziția b . Tensiunea la ieșirea integratorului va fi

$$v = V - K_1 \int_{t_i}^t u_i(\tau) d\tau = V - K_1 U_i[\theta(t) - \theta(t_i)],$$

care are o lege liniar scăzătoare în θ . La momentul t_{i+1} , tensiunea v atinge nivelul $-V$ și, la comanda detectorului de prag, comutatorul K trece în poziția a . Expresia tensiunii v va fi

$$v = -V + K_1 \int_{t_{i+1}}^t u_i(\tau) d\tau = -V + K_1 U_i[\theta(t) - \theta(t_{i+1})],$$

care corespunde unei legi liniar crescătoare în θ .

Montajul creează deci o tensiune v triunghiulară și periodică în funcție de θ (conform figurii 4). Din condiția

$$K_1 U_i \frac{I}{2} = 2 \text{ V, rezultă } \omega_0 = \frac{2\pi}{T} = \frac{\pi K_1 U_i}{2V}, \text{ deviația de frecvență realizată fiind } \Delta\omega,$$

$$\begin{aligned} 8.20. \text{ Se determină } u_1(t) &= U_0 \frac{\Delta\omega}{\omega_m} \sin \omega_m t \sin \omega_0 t \text{ și deci } u_e(t) = U_0 \cos \omega_0 t - U_0 \beta \sin \omega_m t \sin \omega_0 t = \\ &= U_0 \cos(\omega_0 t + \beta \sin \omega_m t), \text{ ultima egalitate fiind valabilă dacă } \beta < 0,2 \text{ radiani,} \end{aligned}$$

8.21. Ținând seama de relația (21) se determină

$$u_1(t) = \frac{4V}{\pi} \left[\cos \omega_0 t - \frac{1}{3} \cos 3\omega_0 t + \dots \right]$$

În cazul triplorului, reținând componentele din jurul frecvenței $3\omega_0$, se obține la ieșire semnalul

$$u_e(t) = \frac{-4}{3\pi} V \cos \left(3\omega_0 t + \frac{3\Delta\omega}{\omega_m} \sin \omega_m t \right),$$

în care deviația de frecvență a fost triplată. Lărgimea benzii de trecere a filtrului trebuie să fie

$$B = 2(1 + \beta' + \sqrt{\beta'}) f_m; \quad \beta' = 3\beta.$$

$$8.22. \quad u_e(t) = -0,21 \cos \left(3\omega_0 t + 3 \frac{\Delta\omega}{\omega_m} \sin \omega_m t \right) \text{ și } B = 94,5 \text{ kHz,}$$

● Demodularea semnalelor cu modulație liniară

8.23. Din

$$\begin{aligned} u(t) + A \cos [(\omega_0 + \Delta\omega)t + \varphi_0] &= a(t) \cos \omega_0 t + b(t) \sin \omega_0 t = \\ &= U(t) \cos [\omega_0 t + \varphi(t)] \end{aligned}$$

se găsește

$$\begin{aligned} U(t) &= \sqrt{a^2(t) + b^2(t)} \cong \\ &\cong \frac{ag(t)}{2} \cos (\Delta\omega t + \varphi_0) - \frac{bg(t)}{2} \sin (\Delta\omega t + \varphi_0) \end{aligned}$$

pentru care s-au utilizat aproximațiile din enunț. Deoarece $u_e(t) = \eta_d U(t)$, rezultatul cerut este imediat.

8.24. Se determină mai întâi (v. fig. 7):

$$u_1(t) = K_m u(t) A \cos(\omega_0 t + \varphi_0) = \frac{K_m A U_m}{2} \cos \omega_m t \cos \omega_0 t + \frac{K_m A U_m}{2} \cos \omega_m t \cos (2\omega_0 t + \varphi_0),$$

La ieșirea filtrului trece-jos rezultă

$$u_e(t) = \frac{K_m A U_m}{2} \cos \varphi_0 \cos \omega_m t.$$

Factorul $\cos \varphi_0$ reduce amplitudinea semnalului demodulat. Pentru $\varphi_0 = \pm 15^\circ$ reducerea este maximă, și anume cu 3,4%.

8.25. Din $u_1(t) = K_m U_m A \cos(\omega_0 + \omega_m)t \cos(\omega_0 + \Delta\omega)t$ se obține $u_e(t) = \frac{1}{2}$

$K_m A U_m \cos(\omega_m - \Delta\omega)t$, ceea ce arată o deplasare cu $\Delta\omega$ a frecvenței semnalului demodulat față de semnalul modulator. La transmisiile vocale, dacă $|\Delta f| < 10$ Hz, acest efect nu este supărător.

8.26 $\delta_2 = 1,72\%$.

8.27. $\delta_2 = 10\%$.

8.28. Demodulatorul are schema echivalentă din figura 8. Rezultă, ținînd seama de relația (24),

$$u_e(t) = \frac{\alpha R_0}{\pi R} U_0(1 + m \cos \omega_m t) - \frac{\alpha V_0 R_0}{2R}.$$

8.29. Pentru $u(t) < 0$ dioda D_1 conduce și dioda D_2 este blocată. Dacă $u(t) > 0$, dioda D_1 este blocată iar dioda D_2 conduce, avînd ca efect realizarea unei reacții negative în bucla amplificatorului operațional. Se poate scrie

$$u_1(t) = \begin{cases} -\frac{u(t)R_2}{R_1}, & u(t) < 0; \\ 0, & u(t) \geq 0. \end{cases}$$

Al doilea etaj cu amplificator operațional are factorul de transfer

$$H(j\omega) = -\frac{R_4}{R_3} \frac{1}{1 + j\omega R_4 C},$$

similar unui circuit $R-C$ de filtrare, dar cu avantajul unei impedanțe de ieșire foarte mici,

8.30. Este necesar ca $\omega_m R_4 C < 1$, deci $C < 3,54$ nF. Cu o valoare $C = 3$ nF frecvența purtătoare este filtrată foarte bine, deoarece $\omega_0 R_4 C = 88,6$ și atenuarea introdusă este de 39 dB.

8.31. Rezistența de intrare în detector este $R_d = R_0/2 = 5$ k Ω . Deoarece $R' = Q/\omega_0 C' = 27,1$ k Ω , pentru ca factorul de calitate să scadă la jumătate trebuie ca $R_d/n_L^2 = R'$, adică $n_L = 0,43$.

8.32. Din relațiile (25) și (26) se găsește cu

$$C = C'/n_L^2 = 5,41 \text{ nF}; \quad R = R'/n_L^2 = 5 \text{ k}\Omega;$$

$$2\pi f_{mM} \frac{2RR_0}{R_0 + 2R} (C + C_0) = 0,98 < 1; \quad \frac{2RC}{R_0 C_0} = 3,61 > 1,$$

Demodulatorul lucrează corect.

● Demodularea semnalelor cu modulație de frecvență

8.33. Se poate scrie :

$$i_c = C \frac{du_c}{dt} = C \frac{du}{dt} = -U_0 C (\omega_0 + \Delta\omega \cos \omega_m t) \sin(\omega_0 t + \beta \sin \omega_m t).$$

Curentul prin colectorul tranzistorului T este

$$i(t) = \begin{cases} \alpha i_e(t) & \text{pentru } i_e(t) > 0; \\ 0 & \text{pentru } i_e(t) \leq 0. \end{cases}$$

Cu ajutorul grupului $R_0 C_0$ de filtrare se obține demodularea de anvelopă prin mediere, deci :

$$u_e(t) = \frac{\alpha U_0 C R_0}{\pi} (\omega_0 + \Delta\omega \cos \omega_m t).$$

8.34. Este necesar ca $|u_e(t)| < E_c$. Panta maximă se realizează dacă :

$$\frac{\alpha U_0 C R_0}{\pi} (\omega_0 + \Delta\omega) = E_c; \quad C = 450 \text{ pF.}$$

Condensatorul C_0 trebuie să îndeplinească condiția

$$\omega_{mM} C_0 R_0 < 1; \quad C_0 < 5,3 \text{ nF.}$$

8.35. Se determină

$$u_e(t) = \frac{\alpha U_0 R_0 C}{\pi} \left(\omega_0 + \Delta\omega \cos \omega_m t - \frac{1}{RC} \right).$$

Funcționarea echilibrată se obține pentru

$$\omega_0 = \frac{1}{RC}.$$

8.36. Este necesară respectarea condiției $|u_e(t)| < E_c$. Rezultă, la limită (v. problema 8.35)

$$\frac{\alpha U_0 R_0 C}{\pi} \Delta\omega = E_c; \quad C = 90 \text{ nF.}$$

Pentru funcționarea echilibrată

$$R = \frac{1}{\omega_0 C} = 1,77 \text{ } \Omega.$$

Valoarea rezistenței R fiind prea mică, tranzistorul T_2 și dioda D_2 ar trebui să lucreze la curenți foarte mari. Se va alege rezistența R admisibilă și se deduce apoi capacitatea condensatorului C . Astfel, pentru $R = 50 \text{ } \Omega$ rezultă $C = 1/\omega_0 R = 3,19 \text{ nF}$.

8.37. Se determină $R' = Q_0/\omega_0 C = 13,8 \text{ k}\Omega$. Din condiția $R_0/2 = R'$ care asigură scăderea factorului de calitate la jumătate ($Q = 40$), rezultă $R_0 = 27,6 \text{ k}\Omega$.

fiind seama de relațiile (30) și (31). în care $I_0 = y_{21} U_0$ și $R = R'/2 = 6,9 \text{ k}\Omega$, panta maximă se realizează cînd $|Z(j\omega_0)|'$ este maxim. Deoarece

$$|Z(j\omega_0)|' = \frac{R}{\pi B} x_0 [1 + x_0^2]^{-3/2}; \quad x_0 = \frac{\omega_0 - \omega_r}{\pi B},$$

se determină valoarea optimă $x_0 = \pm 1/\sqrt{2}$. Rezultă

$$f_0 - f_r = \pm \frac{1}{2\sqrt{2}} B = \pm \frac{f_0}{2\sqrt{2}Q} = \pm 4,08 \text{ kHz.}$$

8.38. Din condițiile (32), alegînd $B_2 = 5B_{MF} = 1 \text{ MHz}$ rezultă $Q_2 = 10,7$ și

$$C_2 = \frac{k^2 Q_2^2}{4} C_1 = 28,6 \text{ pF,}$$

Panta demodulatorului, conform relației (33) este

$$S = \frac{u_e}{\Delta f} = \eta_d \frac{2\sqrt{2}}{B_2} U_1 = 11,3 \text{ mV/kHz,}$$

8.39. Se determină din relația (34)

$$Q_s = \frac{f_0}{\Delta f} \frac{U_e}{0,254(E_C - V_0)} = 32,4$$

Din relația (35) se obține

$$\frac{C_1 C_2}{C_1 + C_2} = \left(\frac{1}{Q_s} - \frac{1}{Q_L} \right) \frac{1}{R, \omega_0} = 8,3 \text{ pF,}$$

Avînd în vedere condiția (36), rezultă

$$C_1 = 9,1 \text{ pF}; \quad C_2 = 95 \text{ pF,}$$

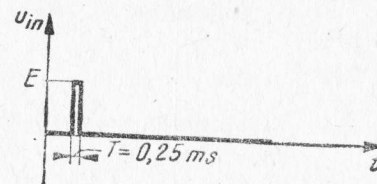
Bobina are inductanța

$$L = \frac{1}{\omega_0^2 (C_1 + C_2)} = 5,7 \text{ }\mu\text{H,}$$

9. CIRCUITE DE IMPULSURI

● Circuite de formare a impulsurilor

9.1. În figura 9.1R, *a* este reprezentat semnalul de intrare, iar în figura 9.2R, *b* este reprezentat semnalul de ieșire. Rezultă pentru amplitudinea semnalului la ieșire valoarea



$$E_{ieș} = E \left(1 - e^{-\frac{T}{\tau}} \right) = 1 - e^{-\frac{2,5 \cdot 10^{-4}}{10^{-2}}} = 0,025 \text{ V} = 25 \text{ mV}$$

Durata impulsului de ieșire este

$$T = T_1 + 3RC = 2,5 \cdot 10^{-4} + 3 \cdot 10^{-2} = 30,25 \text{ ms} \gg T_1$$

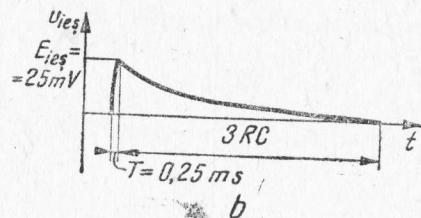


Fig. 9.1R

9.2. Se determină $\tau = RC = 10^{-2} \text{ s} \gg \frac{1}{\omega} = \frac{1}{2\pi \cdot 2 \cdot 10^3} \approx 8 \cdot 10^{-6} \text{ s}$, deci circuitul este un circuit de integrare;

în aceste condiții, plecând de la expresia exactă a tensiunii la bornele condensatorului C pentru $t \in \left(0, \frac{T}{2}\right)$ se poate scrie, ținând seama că $u_{ieș} = u_C$,

$$u_{ieș} = u_C = -U_C + (E + U_C) \left(1 - e^{-\frac{t}{\tau}} \right) \text{ pentru } t \in \left(0, \frac{T}{2}\right),$$

unde U_C este amplitudinea impulsurilor (fig. 9.2R, *b*);

pentru $t = \frac{T}{2}$, $u_C = U_C$ este amplitudinea impulsurilor, adică

$$2U_C = (E + U_C) \left(1 - e^{-\frac{T}{2\tau}} \right)$$

sau

$$U_c = 0,5(E + U_c) \left(1 - e^{-\frac{t}{2\tau}}\right) \cong 12,5 \cdot 10^{-3}(E + U_c);$$

se obține

$$U_c \cong 12,5 \text{ mV.}$$

Expresia tensiunii la ieșire este

$$\begin{cases} u_c = U_c \left(\frac{4t}{T} - 1 \right) & \text{pentru } t \in \left(0, \frac{T}{2}\right); \\ u_c = U_c \left(-\frac{4t}{T} + 3 \right) & \text{pentru } t \in \left(\frac{T}{2}, T\right). \end{cases}$$

Se vede că impulsurile sînt periodice și pentru a obține expresia lui u_c funcție de t pentru $t \notin (0, T)$ se translatează expresiile de mai sus.

9.3. Constanta de timp a circuitului $\tau = RC = 5 \cdot 10^{-3}$ s este mult mai mică decît durată impulsului $T_i = 5 \cdot 10^{-2}$ s. În consecință, circuitul este circuit de diferențiere și se obțin două impulsuri de durată $T \cong 3RC = 15 \cdot 10^{-3}$ s și de polarități opuse (fig. 9.3R) cu amplitudinea $E = 1$ V. Expresia analitică este

$$\begin{cases} u_{ie} = E e^{-\frac{t}{\tau}} & \text{pentru } t \in (0, T_i); \\ u_{ie} = -E e^{-\frac{t-T_i}{\tau}} & \text{pentru } t \in (T_i, +\infty). \end{cases}$$

9.4. La momentul $t = 0$ condensatorul C_{in} se încarcă la tensiunea $u_{ie} = \frac{EC}{C + C_{in}}$, datorită divizorului capacitiv C, C_{in} . Apoi urmează încărcarea condensatorului C prin rezistența R_G , ceea ce arată de ce tensiunea u_{in} de la bornele lui R_G scade exponențial. În consecință, expresia tensiunii va fi:

$$\begin{cases} u_{ie} = E \frac{C}{C + C_{in}} e^{-\frac{t}{\tau}} & \text{pentru } t \in (0, T_i); \\ u_{ie} = -E \frac{C}{C + C_{in}} e^{-\frac{t-T_i}{\tau}} & \text{pentru } t \in (T_i, +\infty); \end{cases}$$

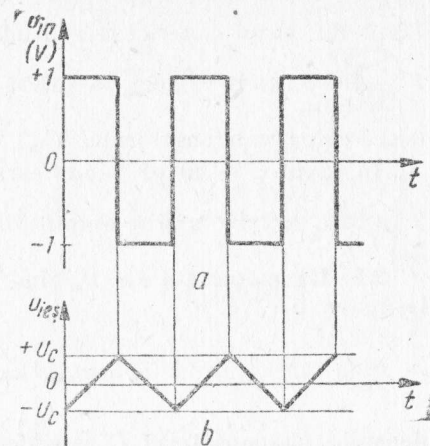


Fig. 9.2R

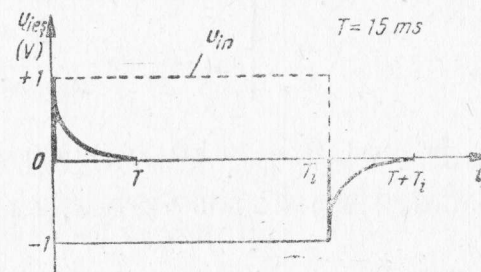


Fig. 9.3R

Dacă în cazul anterior amplitudinea impulsului pe grila TEC-ului era 1 V, acum ea este $E \frac{C}{C + C_{in}} \cong 1$ V, deci nu suferă nici o modificare. (În procesul ce are loc se produce și descărcarea condensatorului C_{in} , dar el avînd o valoare mică fenomenul este neglijabil).

În cazul $C = 40$ pF modificarea ce se produce este modificarea duratei impulsurilor la $T \cong 3RC = 2 \cdot 10^{-3}$ s și a amplitudinii: $E = \frac{C}{C + C_{in}} = 0,89$ V.

9.5. La momentul $t = 0$, cînd apare impulsul dreptunghiular de durată T_i , tensiunea la ieșire va fi

$$u_{ie}, |_{t=0} = R_G |_{t=0} = \frac{E}{R_g + R_G} R_G,$$

deoarece condensatorul C este descărcat și există divizorul rezistiv R_g, R_G . Apoi urmează fenomenul de încărcare a condensatorului C prin rezistențele $R_g + R_G$ [$\tau = C(R_g + R_G)$] astfel că se obțin două impulsuri de scurtă durată, tensiunea la ieșire avînd expresia

$$\begin{cases} u_{ie} = E \frac{R_G}{R_g + R_G} e^{-\frac{t}{\tau}} \text{ pentru } t \in (0, T_i); \\ u_{ie} = -E \frac{R_G}{R_g + R_G} e^{-\frac{t-T_i}{\tau}} \text{ pentru } t \in (T_i, +\infty); \end{cases}$$

În cazul $R_g = 10$ k Ω amplitudinea impulsurilor este $E \frac{R_G}{R_g + R_G} = 0,98$ V, $\tau = C(R_g + R_G) = 5,1 \cdot 10^{-3}$ s, ceea ce arată că practic nu se schimbă nimic față de situația din problema 9.3; dacă $R_g = 100$ k Ω , atunci $E \frac{R_G}{R_g + R_G} = 0,83$ V și $\tau = 6 \cdot 10^{-3}$ s, ceea ce arată că apar unele modificări (fig. 9.5R).

9.6. Pentru a calcula tensiunea u_{ie} , se determină schema generatorului echivalent văzut la stînga condensatorului C (generatorul echivalent de tensiune Thèvenin). Acest generator are tensiunea echivalentă

$$u_g = E \frac{R}{R + R_g}$$

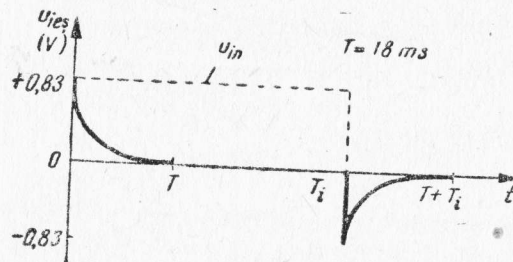


Fig. 9.5R

și impedanța internă

$$R_i = \frac{RR_g}{R + R_g};$$

rezultă schema echivalentă din figura 9.6R. În aceste condiții tensiunea la ieșire este

$$\begin{cases} u_{ie\beta} = u_e \left[1 - e^{-\frac{t}{\tau}} \right] \text{ pentru } t \in (0, T_1); \\ u_{ie\beta} = u_e e^{-\frac{t-T_1}{\tau}} \text{ pentru } t \in (T_1, +\infty), \end{cases}$$

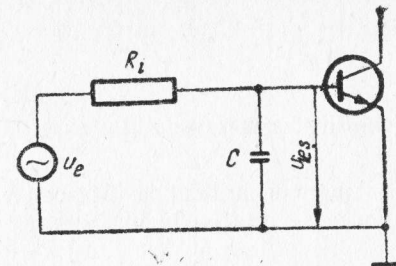


Fig. 9.6R

unde $\tau = CR_i = C \frac{RR_g}{R + R_g}$. Rezultă $u_e = 0,91 \text{ V}$, $R_i = 9,1 \text{ k}\Omega$, $\tau = 0,2 \text{ ms}$ și tensiunea u_e are forma din figura 9.6, b.

9.7. Se ține seama de faptul că $C \gg C_{in}$ și $R_g \gg R_g$, ceea ce ne permite să neglijăm în timpul încărcării condensatorului C_{in} capacitatea C și să considerăm că constanta de timp este $\tau_1 = C_{in}R_i \cong C_{in}R_g$ (a se vedea problema 9.6). Neglijarea condensatorului C este echivalentă cu un scurtcircuit, deoarece în perioada de încărcare a condensatorului C_{in} condensatorul C [$C \gg C_{in}$] este complet descărcat și încărcarea lui durează mult mai mult decât a lui C_{in} . În consecință, atât timp cât se încarcă condensatorul C_{in} condensatorul C se poate considera scurtcircuit și deci se poate neglijă. Expresia tensiunii de ieșire este

$$u_{ie\beta} = \frac{ER_g}{R_g + R_g} \left[1 - e^{-\frac{t}{\tau_1}} \right] \text{ pentru } t \in (0, T_1),$$

unde $T_1 = 3\tau_1$ (este timpul în care tensiunea $u_{ie\beta}$ devine egală $0,95E$). Din momentul $t = T_1$ condensatorul C_{in} este încărcat și fenomenul este determinat mai departe de încărcarea condensatorului C prin rezistențele $R_g + R_g$, expresia tensiunii de ieșire fiind

$$u_{ie\beta} = E \frac{R_g}{R_g + R_g} e^{-\frac{t-T_1}{\tau_2}} \text{ pentru } t > T_1.$$

Se vede ușor că din cele două relații se poate scrie expresia generală a răspunsului

$$u_{ie\beta} = E \frac{R_g}{R_g + R_g} \left[e^{-\frac{t}{\tau_2}} - e^{-\frac{t}{\tau_1}} \right].$$

Pentru $\tau_1 = C_{in} R_g = 50 \cdot 10^{-9} \text{ s} = 50 \text{ ns}$, $\tau_2 = C(R_g + R_G) \cong 25 \text{ } \mu\text{s}$ rezultă

$$u_{ies} = 0,98 \left[e^{-\frac{t}{25 \cdot 10^{-6}}} - e^{-\frac{t}{50 \cdot 10^{-9}}} \right] \text{ V.}$$

Amplitudinea semnalului este 0,98 V, iar durata lui este

$$T = 3\tau_1 + 3\tau_2 \cong 75 \text{ } \mu\text{s}.$$

La impulsul aplicat la intrare cu durata $T_i = 1 \text{ ms}$ se obține, pe lângă impulsul pozitiv reprezentat de relația de mai sus, și un impuls negativ dat de relația

$$u_{ies} = -0,98 \left[e^{-\frac{t-T_i}{\tau_1}} - e^{-\frac{t-T_i}{\tau_2}} \right],$$

reprezentate de figura 9.7R. Dacă R_g și C_{in} sînt nule, timpul de creștere $T_1 = 3\tau_1 = 0 \text{ s}$ și se vede că deosebirea nu este mare.

9.8. Tensiunea E se obține plecînd de la tensiunea de polarizare E_a și este $E = KE_a [K \in (0,1)]$. Condensatorul C_1 se consideră un scurtcircuit la frecvența de lucru ω , ceea ce face ca la bornele lui să existe numai tensiunea constantă E . Cînd $u_D \geq 0$ dioda este deschisă și, folosind legea lui Ohm, se ajunge pînă la urmă la expresia tensiunii

$$u_{ies} = \frac{R}{R + R_D + R_g} u_{in} + \frac{R_D + R_g}{R + R_D + R_g} E,$$

iar cînd $u_D < 0$

$$u_{ies \text{ lim}} = \frac{R}{R + R_{inv} + R_g} u_{in} + \frac{R_{inv} + R_g}{R + R_{inv} + R_g} E.$$

În condiții obișnuite $R \ll R_{inv} + R_g$; dacă se acceptă și condiția $R_D + R_g \ll R$ rezultă

$$u_{ies} \cong u_{in}$$

$$u_{ies \text{ lim}} \cong E.$$

Condiția $u_D = 0$ are loc la $u_{in} = E$, care este și nivelul de limitare (fig. 9.8R). În cazul $E_a = 10 \text{ V}$, $K = 0,1$ rezultă $E = 1 \text{ V}$; pentru $R = 2 \text{ k}\Omega$, $R_g = 4 \Omega$, $R_D = 100 \Omega$ și $R_{inv} = 1 \text{ M}\Omega$ rezultă

$$R_D + R_g \ll R \ll R_{inv} + R_g$$

și

$$\begin{cases} u_{ies} = 10 \sin [10^5 t] \text{ V} & \text{pentru } u_{in} \leq 1 \text{ V;} \\ u_{ies \text{ lim}} = 1 \text{ V} & \text{pentru } u_{in} > 1 \text{ V.} \end{cases}$$

Se constată că modificînd pe K (deci deplasînd cursorul potențiometrului R_1) se poate varia nivelul de limitare,

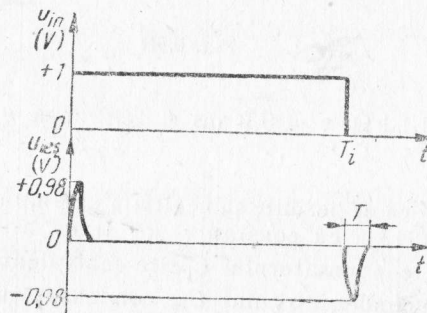


Fig. 9.7R

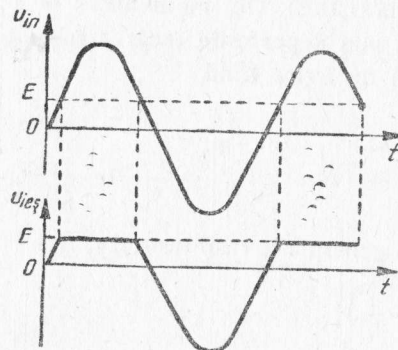


Fig. 9.8R

3.9. Se vede ușor că

$$\begin{cases} u_{ie\delta} = \frac{R}{R + R_D} u_{in} & \text{pentru } t \in \left[kT, \left(k + \frac{1}{2}\right)T \right]; \\ u_{ie\delta} = \frac{R}{R + R_{inv}} u_{in} & \text{pentru } t \in \left[\left(k + \frac{1}{2}\right)T, (k+1)T \right]. \end{cases}$$

Avînd în vedere că $R \ll R_D \ll R_{inv}$, rezultă

$$\begin{cases} u_{ie\delta} \cong u_{in} = 10 \text{ V} & \text{pentru } t \in \left[kT, \left(k + \frac{1}{2}\right)T \right]; \\ u_{ie\delta} = 0 & \text{pentru } t \in \left[\left(k + \frac{1}{2}\right)T, (k+1)T \right]. \end{cases}$$

În cazul că se ține seama de capacitățile parazite, în momentul apariției treptei negative a tensiunii de intrare dioda se blochează, însă tensiunea $u_{ie\delta}$ nu devine egală cu zero, ci se micșorează prin salt cu mărimea

$$\Delta u_{ie\delta} = \frac{C_D}{C_D + C} \Delta u_{in} = \frac{2C_D}{C_D + C} E,$$

după care tinde către 0 după o lege exponențială, cu constanta de timp

$$\tau_1 = \frac{RR_{inv}}{R + R_{inv}} (C_D + C) \cong R(C_D + C).$$

Rezultă $\Delta u_{ie\delta} = 5,7 \text{ V}$ și $\tau_1 = 10^4 \cdot 28 \cdot 10^{-12} = 0,28 \text{ } \mu\text{s}$. S-a arătat (problema 9.7) că durata T_1 de stabilire a tensiunii de ieșire la valoarea 0 este

$$T_1 = 3\tau_1 = 0,84 \text{ } \mu\text{s} < \frac{T}{2} = 2 \text{ } \mu\text{s}.$$

La saltul pozitiv al tensiunii de intrare ($2E$) tensiunea de ieșire sare cu $\Delta u_{ie\delta}$ de mai sus, după care se stabilește la tensiunea E după o lege exponențială cu o constantă

$$\tau_2 = \frac{RR_D}{R + R_D} (C_D + C) \cong R_D(C_D + C) \ll \tau_1, \text{ căci } R \gg R_D;$$

durata T_2 de stabilire a tensiunii $u_{ie\delta} = E$ este

$$T_2 = 3\tau_2 = 10^2 \cdot 28 \cdot 10^{-12} = 280 \text{ ns} \ll T_1.$$

Figura 9.9R, *b* reprezintă tensiunea $u_{ie\delta}$ cînd nu se ține seama de capacitățile parazite, iar figura 9.9R, *c* — cînd se ține seama de aceste capacități.

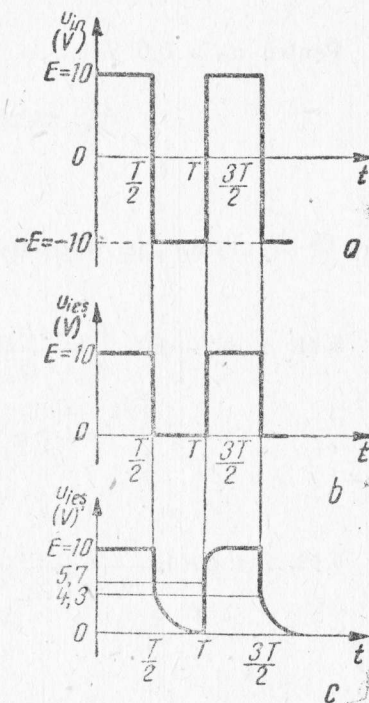


Fig. 9.9R

9.10. Se știe că o diodă cu siliciu poate fi considerată deschisă când tensiunea este $u_D \geq 0,6$ V. Pentru $u_D \leq 0,6$ V, când diodele sînt închise, tensiunea la ieșire este

$$u_{ief} = \frac{R_s}{R_s + R_p} u_{in} \cong u_{in} \text{ pentru } -0,6 \text{ V} \leq u_{in} \leq 0,6 \text{ V}.$$

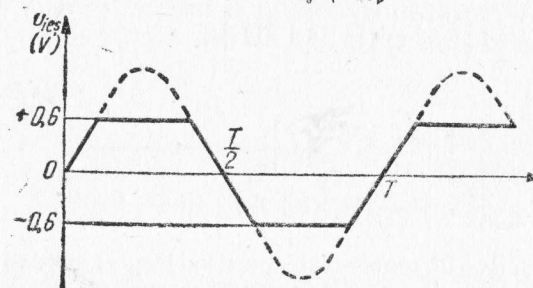


Fig. 9.10R

Ultima condiție se poate scrie sub forma
 $-0,6 \text{ V} \leq E \sin \omega t \leq 0,6 \text{ V}$

sau

$$-\frac{1}{2} \leq \sin \omega t \leq \frac{1}{2};$$

rezultă că

$$u_{ief} \cong u_{in} \text{ pentru } \omega t \in \left[-\frac{\pi}{6} + k\pi, \frac{\pi}{6} + k\pi \right] \text{ (fig. 9.10R)}_s$$

Pentru $u_D \geq 0,6$ V

$$u_{ief} \cong 0,6 \text{ V pentru } \omega t \in \left[\frac{\pi}{6} + k\pi, \frac{5\pi}{6} + k\pi \right].$$

● Oscilator de relaxare cu tub de neon

$$9.11. T = C \left[R \ln \frac{E_a - U_{stg}}{E_a - U_{apr}} + R_t \ln \frac{U_{apr}}{U_{stg}} \right];$$

$$f = \frac{1}{T} \cong 48,8 \text{ Hz}; U_{ee} = U_{apr} - U_{stg} = 25 \text{ V}.$$

$$9.12. T \cong CR \ln \frac{E_a - U_{stg}}{E_a - U_{apr}} = CR \ln \frac{E_a - \frac{E_a}{4}}{E_a - \frac{E_a}{2}};$$

$$f = \frac{1}{T} \cong 2,5 \text{ Hz}.$$

● Circuite basculante

9.13. Se modifică constantele de timp de descărcare ale celor două condensatoare, menținându-se însă constantă suma lor.

9.14. $T = T_1 + T_2$ (T_1 — durata cit tranzistorul T_1 este blocat; T_2 — durata cit tranzistorul T_{II} este blocat):

$$T = C_1 R_{B1} \ln \frac{2E_C + I_{CB0}(R_{B1} - R_{C2})}{E_C + R_{B1} I_{CB0}} + C_2 R_{B2} \ln \frac{2E_C + I_{CB0}(R_{B2} - R_{C1})}{E_C + R_{B2} I_{CB0}},$$

9.15. Din cauza diodei D , la blocarea tranzistorului T_{II} capacitatea C_1 se va încărca numai prin rezistența R , într-un timp (timp de revenire) $t_{rev} = 2,3 RC_1$; deci R se alege astfel ca $R \ll R_{C2}$.

Rezistența din colectorul tranzistorului T_{II} , cînd acesta este saturat, este $R'_{C2} = \frac{R_{C2}R}{R_{C2} + R}$;

condiția de menținere în saturație este dată de relația

$$R_{B2} \leq \beta_2 \frac{R_{C2}R}{R_{C2} + R}.$$

$$9.16. T = R_{B2}C_2 \ln 2 + R_{B1}C_1 \ln 2 = 20,8 \mu s; f = \frac{1}{T} \approx 48 \text{ kHz}.$$

$$9.17. T = 2CR_B \ln \left[1 + \frac{E_C R_s + E R_C - I_{CB0} R_C R_s}{(R_C + R_s)(E_C + R_B I_{CB0})} \right];$$

— dacă $E = 0$ (sarcina conectată între colector și masă), ținînd seama că $E_C \gg I_{CB0} R_C$, $E_C \gg R_B I_{CB0}$ și $R_s \gg R_C$

$$T = 2CR_B \ln \left[2 - \frac{R_C}{R_s} \right];$$

— dacă $E = E_C$, $T = 2CR_B \ln 2$ (influența sarcinii este practic nulă).

$$9.18. R_{B1} < \frac{\beta_1 R_{C1}(E_C - U_{EB1})}{E_C - U_{ECsat1}}; R_{B2} < \frac{\beta_2 R_{C2}(E_C - U_{EB2})}{E_C - U_{ECsat2}};$$

$$U_{ev} = E_C - R_C I_{CB0} - U_{ECsat}.$$

$$9.19. T = 2CR_B \ln \left(1 + \frac{E_{C1}}{E_{C2}} \right); E_{C2} > U_{EB} + \frac{R_B(E_C - U_{ECsat})}{\beta R_C}$$

(a se vedea problema 9.18).

$$9.20. f = \frac{1}{2CR_B 0,69} = 48,309 \text{ kHz}; t_1 = 2,3\tau_1 = 1,15 \mu s,$$

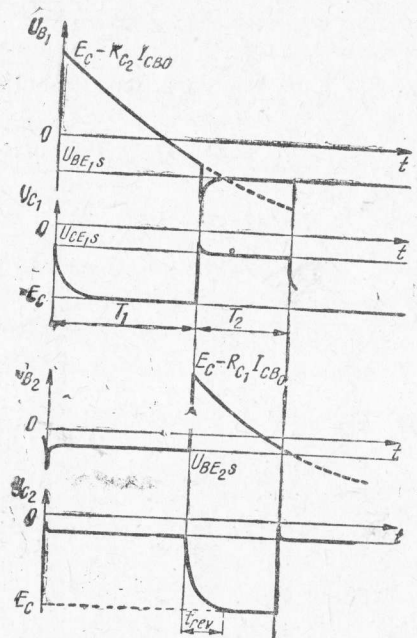


Fig. 9.21R

9.21. Se obțin formele de undă din figura 9.21R.

$$9.22. T = 2CR_B \ln \left(1 + \frac{E_{C1}}{E_{C2}} \right) = 643 \mu s; f = \frac{1}{T} = 1553 \text{ kHz.}$$

Dacă tranzistorul T_{II} este saturat, imediat după basculare $i_{B1} = \frac{E_{C2} - U_{EB}}{R_{B1}}$; $CR_C \ll CR_B$;

$$i_{C1 \max} = \frac{E_{C1} - U_{EC \text{ sat}}}{R_{C1}} + \frac{E_{C2} + (E_{C1} - U_{EB}) - U_{EC \text{ sat}}}{R_{B2}}.$$

Valoarea necesară pentru β (neglijând U_{EC} și U_{EB}) este:

$$\beta > \frac{i_{C1 \max}}{i_{B1}} = \frac{\frac{E_{C1}}{R_{C1}} + \frac{E_{C2}}{R_{B2}} + \frac{E_{C1}}{R_{B2}}}{\frac{E_{C2}}{R_{B1}}}.$$

Pentru $R_{C1} = R_{C2} = R_C$ și $R_{B1} = R_{E2} = R_B$

$$\beta > 1 + \frac{E_{C1}}{E_{C2}} \left(1 + \frac{R_B}{R_C} \right); \text{ rezultă } \beta > 45.$$

9.23. Folosind teorema lui Thévenin se află

$$f = \frac{1}{2CR \ln \left(1 + \frac{E_C}{E_1} \right)}; R = \frac{R_3 R_6}{R_3 + R_6} = \frac{R_4 R_5}{R_4 + R_5} = 7,5 \text{ k}\Omega;$$

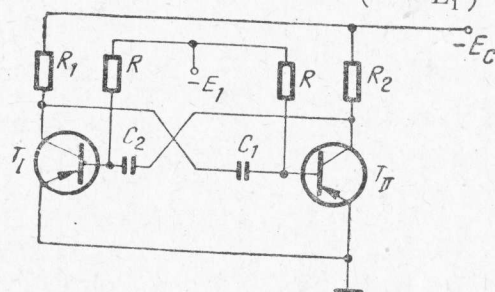


Fig. 9.23R

$$E_1 = E_C \frac{R_5}{R_4 + R_5} + E \frac{R_4}{R_4 + R_5} = 9 \text{ V (pentru } E \text{ cu semnul minus);}$$

$$E_1 = E_C \frac{R_5}{R_4 + R_5} - E \frac{R_4}{R_4 + R_5} = 3 \text{ V (pentru } E \text{ cu semnul plus)}$$

(a se vedea figura 9.23R).

Rezultă

$$f_1 = \frac{1}{2,5 \cdot 10^{-3} \cdot 7,5 \cdot 10^3 \ln \left(1 + \frac{12}{9} \right)} = 15,74 \text{ kHz};$$

$$f_2 = \frac{1}{2,5 \cdot 10^{-3} \cdot 7,5 \cdot 10^3 \ln \left(1 + \frac{12}{3} \right)} = 8,28 \text{ kHz}.$$

$$9.24. f \cong 2CR_B \ln \left(2 + \frac{R_C''}{R_C'} \right) = 10 \text{ kHz}; U_{vz} = E_C = 12 \text{ V}.$$

$$9.26. T \cong T_1 + T_2 = C_1 R_{B1} \ln \frac{R_{C1}}{R_{C1} + R_e} \frac{R_e + R_{C2}}{R_{C2}} + C_2 R_{B2} \ln \frac{2R_{C1}R_{C2} + R_e(R_{C1} + R_{C2})}{R_{C1}(R_e + R_{C2})};$$

$$T = 16,5 + 51 = 67,5 \text{ ms}.$$

9.27. Cele două surse se aleg în așa fel ca să fie satisfăcută relația $E_{C1} < E_C + R_C I_{C0 \text{ max}}$; în acest caz, dacă T_1 este saturat dioda D_1 este polarizată invers iar dioda D_2 este polarizată direct. Îmbunătățirea formei impulsurilor se realizează pe două căi: a) condensatorul din colectorul tranzistorului blocat se încarcă prin dioda polarizată direct și prin rezistența de intrare a tranzistorului saturat, deci cu o constantă de timp foarte mică; b) tensiunea în colectorul tranzistorului care se blochează variază în salt de la U_{Csat} la E_{C1} (se neglijează căderea de tensiune pe diodă); amplitudinea impulsurilor nu este influențată de I_{C0} , deci de variațiile de temperatură.

$$9.28. T = T_1 + T_2; T_1 = CR_1 \ln \frac{E_C + E_1 - U_{BE1} - U_{ECsat2}}{E_1 - U_{BE1}};$$

$$T_2 = CR_2 \ln \frac{E_1 + 2E_C + U_{R1} - U_{BE1} - U_{ECsat2} - U_D}{E_1 + E_C - U_D}; \text{ făcînd neglijarile obișnuite, se}$$

$$\text{obține } T_1 \cong CR_1 \ln \left(1 + \frac{E_C}{E_1} \right) \text{ și } T_2 \cong CR_2 \ln \left(1 + \frac{E_C}{E_C + E_1} \right). \text{ Rezultă } T \cong CR_1 \ln \left(1 + \frac{E_C}{E_1} \right) + CR_2 \ln \left(1 + \frac{E_C}{E_C + E_1} \right).$$

9.29 Un avantaj este faptul că tranzistoarele sînt deblocate un interval de timp scurt (intervalul de formare a impulsului); de aceea, consumul de energie este foarte mic.

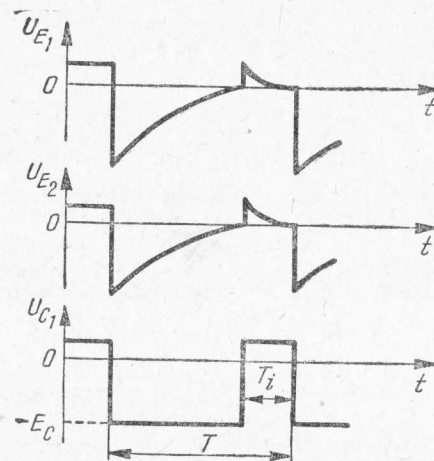


Fig. 9.29R

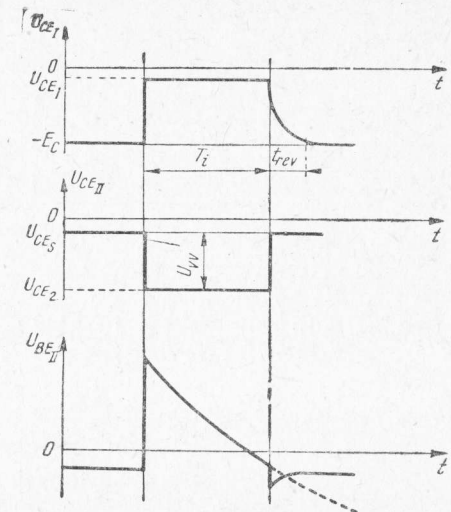


Fig. 9.30R

9.30 Se obțin formele de undă din figura 9.30R.

9.31. Durata T_i a impulsului scade la o creștere a temperaturii.

9.32. $R_{C2} = \frac{E_C}{I_{C2 sat}} = 6 \text{ k}\Omega$; condiția ca T_{11} să fie saturat este îndeplinită dacă

$R_{B2} = \frac{\beta R_{C2}}{\beta} = 60 \text{ k}\Omega$; $T_1 = 0,69 C_2 R_{B2} = 4,14 \text{ ms}$; rezistențele R și R_{B1} rezultă din sistemul

$$\frac{R}{R + R_{B1}} = \frac{U_{B1}}{E_B} = \frac{1,5}{6}; \frac{E_C}{R + R_{C2}} - \frac{E_B}{R_{B1}} = \frac{n E_C}{\beta R_{C1}};$$

se obține $R \cong 12 \text{ k}\Omega$; $R_{B1} = 3R \cong 36 \text{ k}\Omega$. Amplitudinea impulsului $U_{vv} = \frac{R}{R + R_{C2}} E_C = 8 \text{ V}$. Timpul de revenire $t_{rev} = 2,3 C_2 R_{C1} = 0,46 \text{ ms}$.

9.33. La apariția impulsului de comandă condensatorul C_2 se descarcă prin tranzistorul T_1 saturat și prin rezistența R_{B2} . Legea de variație a tensiunii pe condensator este

$$u_{C2}(t) = 2E_C e^{-\frac{t}{R_{B2}C_2}} - E_C.$$

În momentul în care $u_{C2}(T_i) = 0$ se obține bascularea în sens invers :

$$u_{C2}(T_i) = 2E_{ce}^{-\frac{T_i}{R_{B2}C_2}} - E_C = 0 ; T_i = R_{B2}C_2 \ln 2.$$

$$\text{Rezultă } C_2 = \frac{T_i}{0,69 R_{B2}} = 2,9 \cdot 10^{-9} \text{ F.}$$

9.34. Condiția de blocare a tranzistorului T_1 este :

$$U_{B1} = \frac{R_1}{R_1 + R_2} E_B > 0 ; U_{C1} = -E_C ; I_{B1} = I_{C1} = 0.$$

Condiția de saturație a tranzistorului T_{II} este :

$$\frac{I_{C2}}{I_{B2}} = \frac{\frac{E_C}{R_{C2}} - \frac{E_B}{R_1 + R_2}}{\frac{E}{R_B}}.$$

După declanșare, tensiunea pe baza tranzistorului T_{II} variază după legea $u_{B2}(t) = -E + (E_C + E)e^{-\frac{t}{CR_B}}$; durata impulsului este dată de $u_{B2}(T_i) = 0 ; -E + (E_C + E)e^{-\frac{T_i}{CR_B}} =$

$$= 0 ; \text{rezultă } T_i = CR_B \ln \left(1 + \frac{E_C}{E} \right) ;$$

timpul de revenire este $t_{rev} = 2,3 CR_{C1}$.

9.35. Perioada T a impulsurilor de comandă aplicate trebuie să îndeplinească condiția $T < T_i + t_{rev}$; în condițiile divizorului, $nT = T_i + t_{rev}$.

$$9.36. T_i = C_2 R_{B2} \ln 2.$$

$$9.37. T_i = CR_{B2} \ln \left[1 + \frac{E_C \frac{R_{C2}}{R_e + R_{C2}}}{E_B - E_C \frac{R_e}{R_e + R_{C1}}} \right] ;$$

$$t_{rev} = 2,3C \left[R_{C1} + \frac{R_e R_{C2}}{R_e + R_{C2}} \right].$$

$$9.38. T_i = C_1 \left(R_{B2} + \frac{R' R''}{R' + R''} \right) \ln \left[1 + \frac{R'_2 (R' + R'')}{R'' (R_1 + R_2)} \right],$$

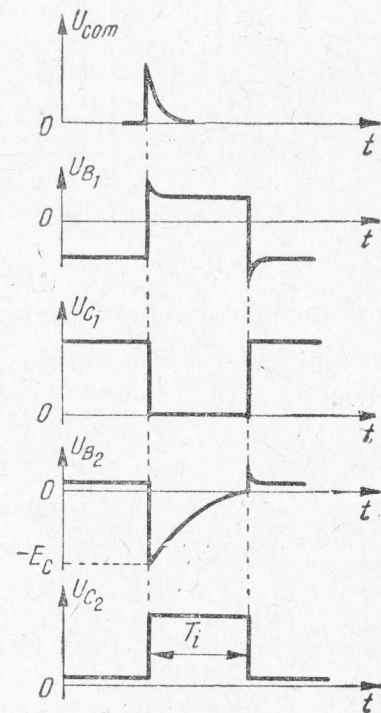


Fig. 9.36R

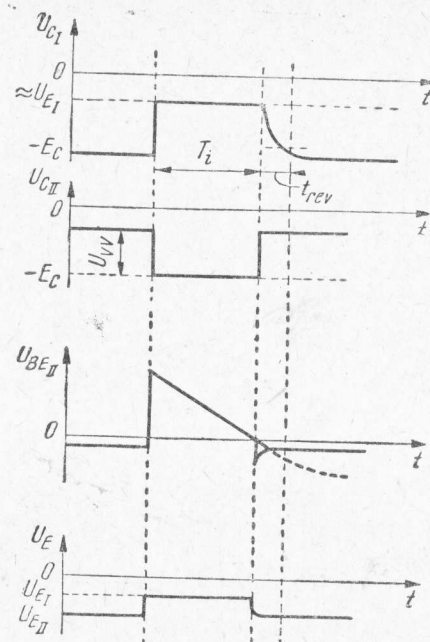


Fig. 9.40R

$$\text{unde } R'_2 = \frac{R_{C2} R_{B2}}{R_{C2} + R_{B2}}; \quad R' = \frac{R_e R_1}{R_e + R_1}; \quad R'' =$$

$$= \frac{R_{C1} R_2}{R_{C1} + R_2}.$$

$$U_{vv} \cong E_C \frac{R'_2}{R_e + R'_2}.$$

9.39. Tranzistorul T_1 este blocat dacă

$$E_C \frac{R_e}{R_e + R'_2} > (E_C + R_1 I_{CB0 \max}) \frac{R_2}{R_1 + R_2},$$

unde $R'_2 = \frac{R_{C2} T R_{B2}}{R_{C2} + R_{B2}}$; tranzistorul T_{II} conduce la satu-
rație dacă $R_{B2} \leq \beta_{min} R_{C2}$; timpul de revenire $t_{rev} =$

$$= 2,3 C_1 \left(R_{C1} + \frac{R_e R'_2}{R_e + R'_2} \right).$$

9.40. Se obțin formele de undă din figura 9.40.R.

9.41. Avantajele schemei sînt: stabilitate bună față de variațiile de temperatură; impulsuri de durată foarte scurtă în comparație cu perioada și fronturi abrupte.

9.43. Pentru tranzistorul blocat $U_{CEI} = \frac{R}{R + R_C} (-E_C + R_C I_{CB0})$;
pentru tranzistorul saturat $U_{CEII} = U_{CES}$;

amplitudinea impulsului este $U_{vv} = U_{CEII} - U_{CEI} \cong \frac{R}{R + R_C} E_C$.

$$9.44. U_{vv} = U_{CES} + \frac{R}{R + R_C} (E_C - R_C I_{CB0}) = 8,9 \text{ V}.$$

9.45. Dacă T_{II} este blocat schema echivalentă a circuitului este prezentată în figura 9.45R, a. Tensiunea U_{EB2} este dată de relația

$$U_{EB2} = E_B \frac{R_1}{R_1 + R_2} - \frac{R_1 R_2}{R_1 + R_2} I_{CB0}.$$

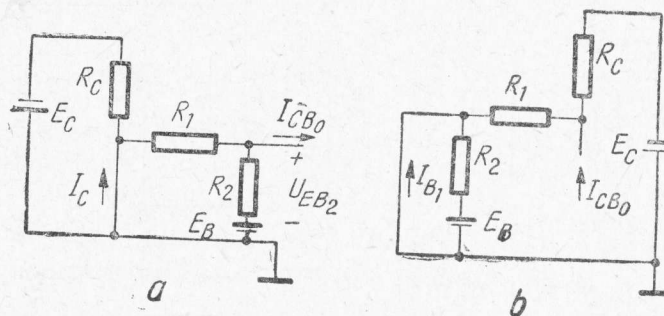


Fig. 9.45R

Condiția de blocare a tranzistorului T_{II} este $U_{EB2} > 0$; se calculează

$$U_{EB2} = \frac{27}{29} - \frac{18}{29} = \frac{9}{29} \text{ V} > 0.$$

Condiția ca tranzistorul T_I să fie saturat este $I_{B1} > I_{BS1} = \frac{I_C}{\beta} = 0,25 \text{ mA}$. Din schema echivalentă prezentată în figura 9.45R, b se obține

$$I_{B1} = \frac{E_C - R_C I_{CB0}}{R_1 + R_G} - \frac{E_B}{R_2}; \quad R_C = \frac{E_C}{-I_C} = 450 \text{ } \Omega.$$

Rezultă $I_{B1} = 0,326 \text{ mA}$, deci $I_{B1} > 0,25 \text{ mA}$, condiția de saturație fiind îndeplinită.

9.46. Se știe că amplitudinea impulsului generat este $U_{vv} \cong \frac{R}{R + R_G} E_C$, de unde rezultă

$$\frac{R_C}{R} = \frac{E_C - U_{vv}}{U_{vv}} = \frac{1}{2}; \text{ tensiunea pe baza tranzistorului blocat este } U_{EB2} \cong \frac{R_C}{R_C + R_B} E_B$$

(dacă T_{II} este blocat), de unde se află $\frac{R_B}{R_G} = \frac{E_B - U_{EB2}}{U_{EB2}} = \frac{5,5}{0,5} = 11$; pentru tranzistorul

blocat se poate scrie $R_B \leq \frac{E_B}{I_{CB0}} = 60 \text{ k}\Omega$. Se alege $R_B = 22 \text{ k}\Omega$ și rezultă $R_C = 1 \text{ k}\Omega$;

$R = 2 \text{ k}\Omega$.

9.47. Condiția ca un tranzistor să fie blocat este $R_E I_E > R_B I_{CB0 \text{ max}}$, unde

$$I_E \cong \frac{E_C}{R_C + R_E}.$$

Condiția ca celălalt tranzistor să lucreze în regim de saturație este

$$R \leq \frac{\beta_{min}}{1 + \beta_{min} \frac{I_{CB0 \text{ max}}}{I_C}} R_C, \text{ unde}$$

$$I_C \cong \frac{E_C - R_E I_E}{R_G}; \quad U_{CE1} = U_{CES} - R_E I_E;$$

$$U_{CE2} = \frac{R}{R + R_G} [-E_C + R_E I_E + R_C I_{CB0}]; \text{ rezultă}$$

$$U_{vv} = U_{CE1} - U_{CE2} \cong \frac{R}{R + R_C} E_C - R_E I_E \left(1 + \frac{R}{R + R_C} \right).$$

9.48. Condiția de saturație: $\beta \geq \frac{R}{R_C} = 7.5$ (este îndeplinită); condiția de blocare

$$R_E I_E > 0 \text{ (a se vedea problema 9.47)}; I_E \cong \frac{E_C}{R_C + R_E} = 4,8 \text{ mA}; U_{CE1} \cong -R_E I_E = -2,4 \text{ V}$$

(pentru tranzistorul saturat);

$$U_{CE2} \cong \frac{R}{R + R_C} [-E_C + R_E I_E] = -8,45 \text{ V}; \text{ rezultă}$$

$$U_{vv} = U_{CE1} - U_{CE2} \cong 6,05 \text{ V}.$$

Schema prezintă două avantaje importante: 1) colectorul lui T_{II} nu face parte din bucla de reacție, deci impulsurile de ieșire vor avea fronturi mai bune și funcționarea este stabilă, influențată de modificarea sarcinii; 2) baza lui T_I nu face nici ea parte din bucla de reacție și este un punct potrivit pentru aplicarea semnalului de comandă.

9.50. Diodele D_1 și D_2 conectate la sursa suplimentară E_{C1} ($E_{C1} < E_C$) au rolul de a fixa nivelul tensiunii pe colectorul tranzistorului blocat; se micșorează în acest fel influența temperaturii și a sarcinii conectate în colector asupra funcționării bistabilului.

● Oscilatorul autoblocat

9.51. Pentru oscilatoarele astabile se lucrează de obicei cu raport pauză/impuls (T_p/T_i) mare, deci perioada oscilațiilor $T \cong T_p$. Pentru a se asigura stabilitatea frecvenței cu temperatura se alege $R_B \ll \frac{E_C}{I_{CB0}}$ și rezultă $T = \frac{1}{f} = CR_B \ln \left(1 + \frac{U_i}{E_C} \right)$. Mărind E_C scade T , deci crește f .

9.52. Pentru $f = 1\,000 \text{ Hz}$, $R_B = 20 \text{ k}\Omega$, iar pentru $f = 500 \text{ Hz}$, $R_B = 40 \text{ k}\Omega$.

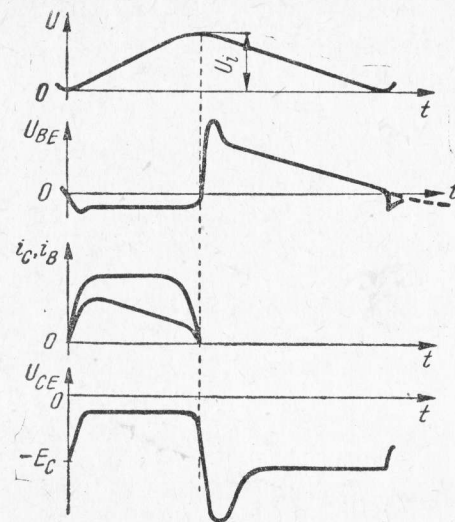


Fig. 9.53R

9.53. Se obțin formele de undă din figura 9.53R.

$$9.54. T = T_p + T_i \cong T_p; T_p \cong R_B C_1 \ln \left[1 + \frac{U_{C1max}}{U_B + R_B I_{CB0}} \right].$$

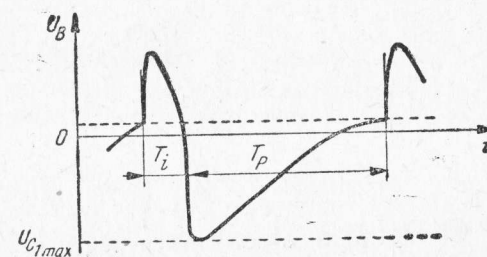


Fig. 9.54R

10. CIRCUITE DE BALEIAJ

● Deflexia electromagnetă

10.1. Pentru a ilustra cele spuse în enunț, se poate folosi figura 10.1R, în care s-a ales un sistem de axe xyz . Electronul va fi supus unei forțe $\vec{F} = m\vec{a}$, care în cazul nostru va fi egală cu $\vec{f} = e(\vec{v} \times \vec{B})$. Vom scrie însă acest lucru după cele două axe după care vor exista componente ale forței, respectiv ale accelerației (derivata a doua a spațiului în raport cu timpul) și ale vitezei (derivata întâi a spațiului în raport cu timpul). Semnele țin seama de sensul ales al cîmpului.

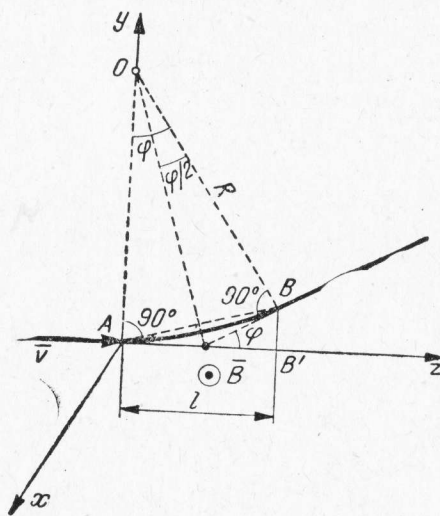


Fig. 10.1R

$$m \frac{d^2 y}{dt^2} = -eB \frac{dz}{dt} \text{ și } m \frac{d^2 z}{dt^2} = -eB \frac{dy}{dt}.$$

Condițiile inițiale, la $t = 0$, sînt

$$x = y = z = 0 \Rightarrow \frac{dy}{dt} = 0 \text{ și } \frac{dz}{dt} = v.$$

Se găsesc soluțiile

$$y = \frac{mv}{eB} \left(1 - \cos \frac{eB}{m} t \right);$$

$$z = \frac{mv}{eB} \sin \frac{eB}{m} t.$$

Eliminînd timpul, rezultă

$$\left(y - \frac{mv}{eB} \right)^2 + z^2 = \left(\frac{mv}{eB} \right)^2.$$

Accasta este ecuația unui cerc cu centrul în O și cu raza

$$R = \frac{mv}{eB}.$$

Unghiul făcut cu tangenta la cerc în punctul de ieșire din cîmp, tangenta după care se mișcă electronul pînă la ecran, este dat de

$$\sin \varphi = \frac{l}{R} = \frac{leB}{mv}.$$

○ **Observație.** Același lucru se poate deduce și ținînd seama de faptul că la un cîmp uniform și la o viteză constantă care-și modifică doar direcția și nu valoarea, mișcarea electronului se face după un cerc a cărui rază rezultă din egalitatea forței centripete \bar{f} cu forța centrifugă $f = \frac{mv^2}{R}$.

Atunci :

$$evB = \frac{mv^2}{R}$$

și

$$R = \frac{mv}{eB}.$$

10.2. Din figura 1 din breviar se deduce că în punctul B electronul are coordonatele

$$\begin{cases} z = R \sin \varphi; \\ y = R - R \cos \varphi = R \left(1 - \sqrt{1 - \frac{x^2}{R^2}} \right). \end{cases}$$

Pentru $z = l$

$$y|_{z=l} = R \left(1 - \sqrt{1 - \frac{l^2}{R^2}} \right) \cong R \left[1 - \left(1 - \frac{1}{2} \cdot \frac{l^2}{R^2} \right) \right] = \frac{1}{2} \cdot \frac{l^2}{R}.$$

Deviația pe verticală avută în punctul B este, ținînd seama că $\sin \varphi = l/R$,

$$y|_{z=l} = \frac{l}{2} \sin \varphi.$$

Mai departe mișcarea se face pe tangenta. Electronul se mișcă ca și cînd ar fi mers nedeviat pînă în punctul P , iar apoi este deviat brusc cu unghiul φ . Dacă se presupune ecranul sferic, distanța $\overline{PQ} = \overline{PM}$ și deviația totală y va fi

$$Y = L \sin \varphi.$$

Ținînd seama că

$$\sin \varphi = \frac{l}{R} = \frac{leB}{mv},$$

rezultă

$$Y = \frac{leB}{mv} L.$$

Ținând de asemenea seama de egalitatea energiilor cinetică și a cîmpului :

$$eU_a = \frac{mv^2}{2},$$

se deduce

$$v = \sqrt{\frac{2e}{m} U_a}.$$

Înlocuind în expresia deviației, se obține

$$Y = \sqrt{\frac{e}{2m}} \cdot \frac{B}{\sqrt{U_a}} lL.$$

Sensibilitatea este raportul

$$S_m = \frac{Y}{B} = \sqrt{\frac{e}{2m}} \cdot \frac{lL}{\sqrt{U_a}},$$

care dă deplasarea pe unitatea de cîmp.

Se observă că aceasta este direct proporțională cu lungimea cîmpului, cu distanța la ecran și este invers proporțională cu tensiunea de accelerare.

De aceea, într-un cinescop, cînd crește luminanța ecranului crește curentul de fascicul, scade de regulă U_a și ca urmare se mărește dimensiunea imaginii.

10.3. Se poate arăta că $\overline{AM} = \overline{MB}$ și că

$$\overline{MB'} = \frac{a}{\operatorname{tg} \varphi}; \quad \overline{AM} = \overline{MB} = \frac{a}{\sin \varphi},$$

iar

$$\overline{PM} = \overline{MA} - \frac{l}{2} = \frac{l}{2} - \overline{MB'} = \frac{a}{\sin \varphi} - \frac{l}{2}.$$

Dar

$$l = \frac{a}{\sin \varphi} + \frac{a}{\operatorname{tg} \varphi/2} = \overline{MA} + \overline{MB'}.$$

Scriind că $\sin \varphi = 2 \sin \frac{\varphi}{2} \cos \frac{\varphi}{2}$; $\operatorname{tg} \varphi = \frac{\sin \varphi}{\cos \varphi}$ și $\cos \varphi = 2 \cos^2 \frac{\varphi}{2} - 1$, și făcînd înlocuirile, se găsește

$$l = \frac{a}{\operatorname{tg} \frac{\varphi}{2}}.$$

Introducând în valoarea pentru \overline{PM} , se găsește

$$\overline{PM} = \frac{l \operatorname{tg} \frac{\varphi}{2}}{\sin \varphi} - \frac{l}{2} = \frac{l}{2} \left[\frac{\operatorname{tg} \frac{\varphi}{2}}{\sin \frac{\varphi}{2} \cos \frac{\varphi}{2}} - 1 \right] = \frac{l}{2} \left[\frac{1}{\cos^2 \varphi/2} - 1 \right].$$

Cum

$$\cos \varphi = 2 \cos^2 \frac{\varphi}{2} - 1 \Rightarrow \cos^2 \frac{\varphi}{2} = \frac{1 + \cos \varphi}{2},$$

rezultă după transformări:

$$\overline{PM} = \frac{l}{2} \left[\frac{1 - \cos \varphi}{1 + \cos \varphi} \right].$$

La $\varphi = 0$ rezultă $\overline{PM} = 0$, la $\varphi = 45^\circ$, $\overline{PM} = 0,086$, deci foarte mic și în orice caz și mai mic în raport cu L ($l \ll L$). Prin urmare nu se face practic nici o eroare dacă se consideră centrul de deflexie la $l/2$.

10.4. S-a arătat în problemele 10.1 și 10.2 că

$$\sin \varphi = \frac{leB}{mv} \text{ și } v = \sqrt{\frac{2e}{m} U_a}.$$

Ținând seama că $B = \mu_0 \mu_r H$, avînd $\mu_r = 1$, după înlocuiri rezultă:

$$\sin \varphi = \frac{le\mu_0 H \sqrt{m}}{m \sqrt{2eU_a}} = \mu_0 \sqrt{\frac{e}{2m}} \cdot \frac{l}{\sqrt{U_a}} H = k \frac{l}{\sqrt{U_a}} H.$$

Introducînd valorile cunoscute

$\mu_0 = 4\pi 10^{-7}$ H/m; $e = 1,6 \cdot 10^{-19}$ C; $m = 9,109 \cdot 10^{-31}$ kg; $e/m = 1,756 \cdot 10^{11}$ C/kg, se pot calcula pe rînd

$$e/2m = 8,7810^{10}; \sqrt{e/2m} = 2,963 \cdot 10^5$$

și rezultă în final

$$k = 37,2310^{-2} = 0,37 \approx \frac{1}{2,69}.$$

Prin urmare:

$$H = 2,69 \frac{\sqrt{U_a}}{l} \sin \varphi \text{ [A/m]}.$$

Dacă, așa cum se vede din figura 1 din breviar, D este diametrul în care este situat cîmpul, contează reluctanța în aer și

$$nI = HD = 2,7 \frac{D}{l} \sqrt{U_a} \sin \varphi.$$

La începutul unui calcul, D nu se cunoaște, dar se poate scrie în funcție de diametrul gîtului

$$D = qd.$$

De regulă $q_H = 1,4$ și $q_V = 1,2$.

Lungimea bobinelor l nu poate fi prea mare (ca să scadă nl) fiindcă fasciculul poate atinge gîtul. Valoarea maximă a lungimii se poate deduce din condiția ca dimensiunea $\overline{BB'}$ (v. fig. 10.3) să nu depășească diametrul interior al gîtului, d_{int} .
Dar

$$\overline{BB'} = R(1 - \cos \varphi_{max}) = \frac{l_{max}}{\sin \varphi_{max}} (1 - \cos \varphi_{max}).$$

Deci

$$a_{int} = \frac{d_{int}}{2} \cong 0,45 d_g = \frac{l_{max}}{\sin \varphi_{max}} (1 - \cos \varphi_{max}).$$

Rezultă

$$l_{max} = 0,45 d_g \frac{\sin \varphi_{max}}{1 - \cos \varphi_{max}} = 0,45 d_g \operatorname{ctg} \frac{\varphi_{max}}{2}.$$

Unghiul φ_{max} este socotit pe diagonala ecranului. În mod absolut corect ar trebui să se țină seama și de dimensiunea fasciculului de diametrul $2r$, care indică o reducere suplimentară a lungimii bobinelor

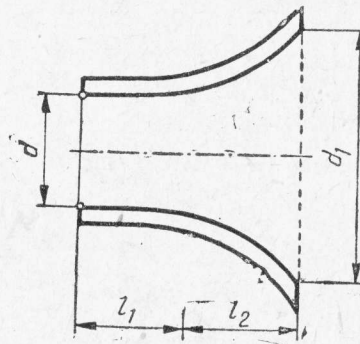


Fig. 10.5R

Lungimea echivalentă este dată de relația

$$l_{ech} = l_1 + l_2 \frac{1 + \frac{d}{d_1}}{2}.$$

O altă cale de a deduce inductanța este următoarea,

10.5. Se pornește de la condiția că energia magnetică să fie concentrată în volumul V al cilindrului ocupat de bobină. Cilindrul are diametrul bazei D și lungimea l .

$$W_m = \frac{1}{2} L I_M^2 = w_m V = \frac{BH}{2} V = \frac{\mu H^2}{2} \cdot \frac{\pi D^2}{4} l.$$

Cum

$$H = \frac{I_M n}{D} \text{ și } \mu_0 = 4\pi 10^{-7} \text{ (H/m)},$$

dacă se ia $\pi^2 \cong 10$ după înlocuiri rezultă

$$L \cong l n^2 \cdot 10^{-6} \text{ [H]}.$$

Pentru bobina care îmbracă și o parte din con, atît în formula care dă numărul de amperspire, cît și în expresia inductanței trebuie să se țină seama de o lungime echivalentă l_{ech} , așa cum se arată în figura 10.5R.

Se scrie că :

$$HD = nI_M$$

Fluxul este :

$$\Phi = BS = Bd_g l = \mu_0 H d_g l$$

și rezultă inductanța

$$L = \frac{n\Phi}{I_M} = \frac{n\mu_0 H d_g l}{\frac{HD}{n}} = \mu_0 n^2 \frac{d_g}{D} l = 4\pi \cdot 10^{-7} n^2 \frac{d_g}{D} l,$$

deci

$$L \cong 1,26 n^2 \frac{d_g}{D} \cdot 10^{-6} \quad [\text{H}],$$

în care lungimea bobinelor se știe :

$$l = \frac{1}{2} \frac{d_g}{\text{tg} \frac{\varphi_{max}}{2}} = \frac{a}{\text{tg} \frac{\varphi_D}{2}}$$

10.6. Expresia generală a energiei magnetice W_m într-un volum V în care există densitatea de energie w_m este

$$W_m = w_m V = \frac{BH}{2} V = \mu \frac{H^2}{2} V.$$

Înlocuind cu expresiile și valorile deduse în problemele precedente pe H și μ_0 și ținând seama că în literatura de specialitate se notează de regulă raza gîtului tubului cu a , deci volumul este

$$V = \pi \left(\frac{d^2}{2} \right) l = \pi a^2 l$$

și, dacă se consideră într-o primă aproximație bobinele amplasate direct pe gît, atunci

$$W_m = \mu_0 \frac{2,7^2}{2} \cdot \frac{U_a}{l^2} \cdot \sin^2 \varphi \cdot \pi a^2 l = 143,89 \cdot 10^{-7} a^2 \frac{U_a}{l} \sin^2 \varphi,$$

Dar

$$l = \frac{a}{\text{tg} \varphi/2}$$

și energia rezultă

$$W_m = 143,89 \cdot 10^{-7} a U_a \sin^2 \varphi \cdot \text{tg} \varphi/2.$$

În această expresie avem a [m], U_a [V] și rezultă W_m [J].

○ **Observație.** Este mai comod uneori să se lucreze direct cu a [mm] și U_a [kV]. Ținând seama de aceasta va rezulta

$$W_m = 0,0143 a [\text{mm}] \cdot U_a [\text{kV}] \sin^2 \varphi \cdot \text{tg} \varphi/2 \quad [\text{mJ}].$$

Acestei expresii trebuie să i se aducă unele corectii. Așa cum s-a arătat, lungimea maximă l_{max} depinde de unghiul de deflexie pe diagonală φ_{max} sau φ_D . Cîmpul H este creat pe cele două direcții H și V ca să asigure deflexia cu unghiurile φ_H, φ_V , bobinele nu sînt puse direct pe gît (intervine o majorare cu q_H sau q_V), iar fasciculul de rază r_f nu trebuie să atingă peretele tubului.

Reluînd calculele se ajunge la expresia :

$$W_m = \frac{0,0143(a + q_{H,V})^2 U_a \sin^2 \varphi_{H,V} \operatorname{tg} \varphi_{D/2}}{(a - r_f)}$$

în care se folosesc aceleași unități (mm, kV), pentru ca rezultatul să se obțină în milijouli. Unghiurile de deflexie se calculează ușor cînd se cunoaște cinescopul, diagonală D , unghiul de deflexie pe diagonală φ_D și raportul de aspect al imaginii H/V . Astfel :

$$\operatorname{tg} \varphi_H = \frac{H}{D} \operatorname{tg} \varphi_D; \quad \operatorname{tg} \varphi_V = \frac{V}{D} \operatorname{tg} \varphi_D,$$

din care se pot calcula $\sin \varphi_H$, respectiv $\sin \varphi_V$.

Pentru cinescoapele cu diagonală de 31 cm cu $2\varphi_D = 110^\circ$, $d_g = 20$ mm și $U_a = 11$ kV rezultă o energie de circa 0,8 mJ. Pentru cinescoapele cu diagonală de 65 cm cu $2\varphi_D = 110^\circ$, $d_g = 28$ mm și $U_a = 18$ kV se ajunge la energii de ordinul 1,8–2 mJ.

10.7. Densitățile de energie sînt :

$$w_m = \frac{1}{2} BH = \frac{1}{2} \frac{B^2}{\mu} = \frac{1}{2} \mu H^2;$$

$$w_e = \frac{1}{2} ED = \frac{1}{2} \frac{D^2}{\epsilon} = \frac{1}{2} \epsilon E^2.$$

În condiții de egalitate rezultă :

$$\frac{B^2}{\mu} = \epsilon E^2,$$

de unde

$$\frac{B}{E} = \sqrt{\epsilon\mu}, \text{ iar în aer } \frac{B}{E} = \sqrt{\epsilon_0\mu_0} = \frac{1}{c}.$$

Raportul dintre forțele necesare în cazul celor două cîmpuri este :

$$\frac{F_m}{F_e} = \frac{evB}{eE} = \frac{v}{c} = \frac{1}{c} \sqrt{\frac{2e}{m}} \cdot U_a.$$

Dacă, de exemplu, $U_a = 18$ kV rezultă $v/c = 0,27$ și $F_e \cong 4F_m$.

Dacă d_g este dat, o să rezulte volume diferite $V_m > V_e$ deoarece bobinele sînt amplasate în exteriorul tubului, iar plăcile de deflexie în interior. Prin urmare

$$W_m = w_m V_m > W_e = w_e V_e$$

pentru o deflexie dată.

10.8 Se aleg cinescoape cu diagonala de 31 cm, avind $d_g = 20$ mm și $U_a = 11$ kV, $2\varphi_D = 90^\circ$ și cu diagonala de 65 cm, avind $U_a = 18$ kV și $2\varphi_D = 110^\circ$. Bobinele de deflexie folosite au $L_H = 260$ μ H, respectiv $L_H = 2,9$ mH, la care se pot adăuga în serie inductanțe de corecție a liniarității $L_i \cong 0,1$ mH și de reglaj al dimensiunilor $L_a = 0,1$ mH.

Calculule se fac determinind mai întâi φ_D , apoi $\text{tg } \varphi_D$. Ulterior se află $\text{tg } \varphi_H$, respectiv $\text{tg } \varphi_V$, cunoscind rapoartele $\frac{H}{D}$ și $\frac{V}{D}$ care depind de raportul imaginii cinescopului $\frac{H}{V} = \frac{4}{3}$ sau $\frac{5}{4}$.

Din valoarea tangentei se calculează $\sin \varphi_{H,V}$, apoi $\sin^2 \varphi_{H,V}$.

Cunoscind toate acestea, se introduc în formula din problema 10.6 și se găsesc energiile. Se ține seama de corecțiile date de valoarea lui $q_{H,V}$ și a razei fasciculului r_f .

Se găsesc valori de circa

$$W_{m1} \cong 0,8 - 1 \text{ mJ};$$

$$W_{m2} \cong 1,8 - 2 \text{ mJ},$$

ceva mai mari pe orizontală decît pe verticală.

Curentul I_H rezultă din expresia energiei

$$W_{mH} = \frac{1}{2} L_H I_{HM}^2,$$

dat fiind compartamentul inductiv al bobinelor L_H :

$$I_{HM} = \sqrt{\frac{2W_{mH}}{L_H}}$$

și este în condițiile date de ordinul $I_{Hvv} = 2 \text{ A}_{vv}$.

Puterea este

$$P_H = W_{mH} f_H \cong 1 \div 2 \text{ (mJ)} \times 15\,625 = (15 - 30) \text{ VA}$$

(sau chiar mai mare în TVC).

Pentru baleiajul vertical comportamentul bobinelor este aproape pur rezistiv. Dacă bobinele au rezistența R_V , se poate scrie că

$$P_V \cong R_V I_{Vef}^2 = R_V \frac{I_{Vvv}^2}{\sqrt{12}} = \frac{R_V I_{VM}^2}{\sqrt{3}}.$$

În expresia de mai sus s-a ținut seama de valoarea efectivă a unui curent în formă de dinte de ferăstrău.

Cunoscind rezistența și puterea, se deduce curentul necesar. Puterile sînt de ordinul wattului cel mult și curenții care rezultă sînt de ordinul 1–2 A_{vv} .

10.9. În cazul unui ecran sferic (v. fig. 1 din breviar) deviația y_s este dată de:

$$y_s = L \sin \varphi,$$

iar dacă ecranul este plan

$$y_p = L \text{tg } \varphi = L \frac{\sin \varphi}{\sqrt{1 - \sin^2 \varphi}}.$$

Din capul locului se vede că deviația nu mai este proporțională cu unghiul, respectiv cu curențul sau cîmpul (I și H variază cu $\sin \varphi$ și pînă la unghiuri $\varphi \leq 50^\circ$ dependența este apropiată de cea liniară), ci cu tangenta.

Pentru curenți egali, respectiv unghiuri egale, în cazul ecranului plan se obțin deviații mai mari. Cu cît ne depărtăm de centrul ecranului distanța între linii se va mări. Cumulînd efectele pe cele două direcții, forma imaginii va fi distorsionată sub formă de pernă,

Conform figurii 1 din breviar se poate scrie că

$$y = L \operatorname{tg} \varphi \text{ și } y_{\max} = \frac{D}{2} = L \operatorname{tg} \varphi_{\max} = L \operatorname{tg} \varphi_D.$$

Prin urmare

$$\frac{y}{D/2} = \frac{\operatorname{tg} \varphi}{\operatorname{tg} \varphi_D}.$$

Pe de altă parte, considerînd curenții, s-a văzut că expresia care dă amperspirele este de tipul

$$i = K \sin \varphi$$

pentru un curenț oarecare, iar pentru curențul maxim

$$I_M = K \sin \varphi_D.$$

Înlocuind

$$\operatorname{tg} \varphi = \frac{\sin \varphi}{\sqrt{1 - \sin^2 \varphi}} \text{ și } \operatorname{tg} \varphi_D = \frac{\sin \varphi_D}{\sqrt{1 - \sin^2 \varphi_D}},$$

se găsește

$$\frac{y}{D/2} = \frac{i}{I_M} \cdot \frac{\cos \varphi_D}{\sqrt{1 - \frac{i^2}{K^2} \cdot \frac{I_M^2}{I_M^2}}} = \frac{i}{I_M} \cdot \frac{\cos \varphi_D}{\sqrt{1 - \left[\frac{i}{I_M} \sin \varphi_D \right]^2}}.$$

Pentru un unghi φ_D dat se poate face reprezentarea $\frac{y}{D/2} = f\left(\frac{i}{I_M}\right)$, care arată ca în figura 10.9R, a.

În mod obișnuit interesează nu unghiul pe diagonală, ci φ_H , respectiv φ_V , care intervin pentru curenții pe cele două direcții. Diagrama este trasată pentru $\varphi_{H\max} = 50^\circ$ în cazul unui cinescop cu $2\varphi_D = 110^\circ$. Se vede că relația este neliniară.

Corecția se poate face căutînd să se găsească forma necesară a cîmpului H , respectiv a curențului I .

Înlocuind în relația

$$y = L \operatorname{tg} \varphi = L \frac{\sin \varphi}{\sqrt{1 - \sin^2 \varphi}}$$

cîmpul din relația de tipul

$$\sin \varphi = KH,$$

rezultă

$$y = \frac{KLH}{\sqrt{1 - K^2 H^2}}.$$

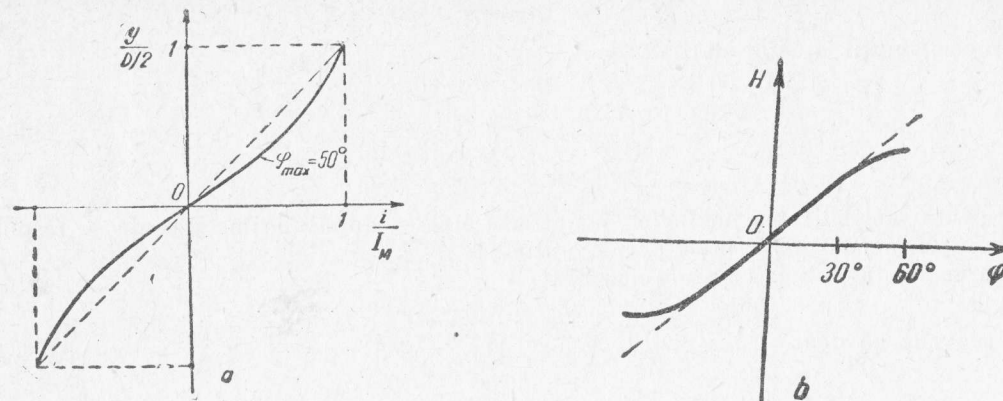


Fig. 10.9R

Se rezolvă ecuația în raport cu H :

$$H = \frac{1}{K} \cdot \frac{y/L}{\sqrt{1 + (y/L)^2}} = \frac{1}{K} \cdot \frac{\operatorname{tg} \varphi}{\sqrt{1 + \operatorname{tg}^2 \varphi}}.$$

Dacă se dorește o variație liniară a deplasării pe ecran în raport cu timpul

$$y = K \operatorname{tg} \varphi = K \frac{2l}{T_d} \operatorname{tg} \varphi_{\max},$$

atunci H , respectiv curentul i , vor trebui să varieze neliniar cu φ .

Expresia precedentă este reprezentată în figura 10.9R, b . Se observă că este necesară o formă în „S”. Așa se și procedează în practică. Se realizează o predistorsiune în formă de „S” a curentului, pentru compensarea distorsiunii de ecran plat.

Se poate deduce din relațiile precedente și expresia care dă curentul în funcție de timp

$$\frac{i}{I_M} = \frac{2l}{T_d} \cdot \frac{1}{\cos \varphi_{\max}} \cdot \frac{1}{\sqrt{1 + \left(\frac{2l}{T_d}\right)^2 \operatorname{tg}^2 \varphi_{\max}}}.$$

10.10. Se știe că din motive de simetrie pară față de axa x și impară față de origină (ținând seama de sensurile curentilor), ca în figura 10.10R, legea de distribuție a amperspirelor n_α în jurul gîtului poate fi exprimată printr-o expresie în care intervin doar termeni în cosinus, și numai cei impari :

$$n_\alpha = a_1 \cos \alpha + a_3 \cos 3\alpha + a_5 \cos 5\alpha,$$

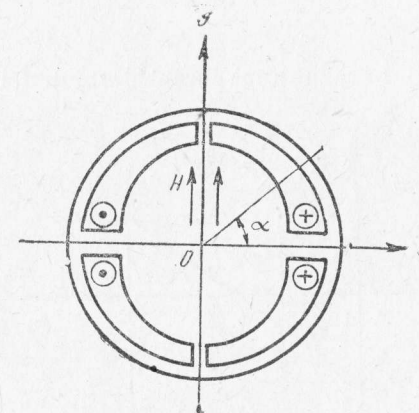


Fig. 10.10R

În care coeficienții a_k sînt dați de

$$a_k = \frac{4}{\pi} \int_0^{\frac{\pi}{2}} n_x \cos(kx) d\alpha.$$

a_1 reprezintă sensibilitatea bobinelor, iar ceilalți sînt — după mărime și semn — responsabili de diverse forme de distorsiuni (pernă, butoi etc.).

Dacă se ia un bobinaj cosinusoidal cu

$$n_x = n_0 \cos \alpha,$$

atunci se vede că doar

$$a_1 = \frac{4}{\pi} \int_0^{\frac{\pi}{2}} n_0 \cos^2 \alpha d\alpha = \frac{4}{\pi} \int_0^{\frac{\pi}{2}} n_0 \left(\frac{1 + \cos 2\alpha}{2} \right) d\alpha \neq 0$$

și toți ceilalți coeficienți sînt nuli, deoarece pentru $k \neq 1$

$$a_k = \frac{4}{\pi} \int_0^{\frac{\pi}{2}} n_0 \cos \alpha \cdot \cos(k\alpha) d\alpha = 0.$$

10.11. Definiția valorii efective este

$$I_{ef} = \sqrt{\frac{1}{T} \int_0^T i^2(t) dt}.$$

În cazul unui curent dinte de ferăstrău, acesta se poate exprima pe cursa directă sub forma

$$i(t) = I_M \left(1 - \frac{2t}{T_d} \right),$$

asa cum se vede din figura 10.11R (dacă curentul este descrescător), sau sub forma

$$i(t) = I_M \left(\frac{2t}{T_d} - 1 \right)$$

dacă este crescător.

Se calculează întii expresia de sub integrală, după ce s-a scos afară I_M

$$\frac{1}{T_d} \int_0^{T_d} \left(1 - \frac{2t}{T_d} \right)^2 dt = \frac{1}{T_d} \int_0^{T_d} dt - \frac{1}{T_d} \int_0^{T_d} \frac{4t}{T_d} dt + \frac{1}{T_d} \int_0^{T_d} \frac{4t^2}{T_d^2} dt.$$

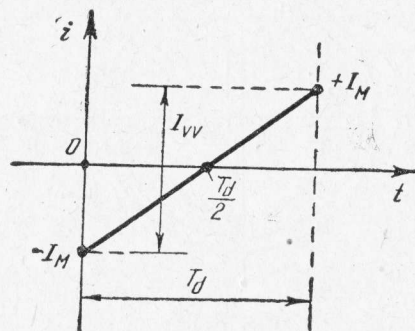


Fig. 10.11R

Se obține :

$$\frac{1}{T_a} T_a - \frac{1}{T_a} \cdot \frac{4}{2} \cdot \frac{T_a^2}{T_a} + \frac{1}{T_a} \cdot \frac{4}{3} \cdot \frac{T_a^3}{T_a} = 1 - 2 + \frac{4}{3} = \frac{1}{3}.$$

Deci

$$I_{ef} = \frac{I_M}{\sqrt{3}}.$$

Dacă se consideră $I_M = \frac{I_{vv}}{2}$, atunci

$$I_{ef} = \frac{I_{vv}}{2\sqrt{3}} = \frac{I_{vv}}{\sqrt{12}}.$$

● Baleiajul orizontal

10.12. Tensiunea la bornele bobinei este

$$u_H = L_H \frac{di_H}{dt}.$$

În cazul unui curent sub formă de dinte de ferăstrău, pe cursa directă derivata este chiar tangenta I_{Hvv}/T_{aH} , deci

$$U_{dir} = \frac{L_H I_{Hvv}}{T_{aH}}.$$

Înlocuind valorile, rezultă :

$$U_{dir} = \frac{3 \cdot 10^{-3} \cdot 2}{52 \cdot 10^{-6}} \approx 115 \text{ V}.$$

Prin urmare, tensiunea de alimentare a etajului final de baleiaj orizontal care lucrează în comutație cu un tranzistor sau tiristor, trebuie să fie cel puțin egală cu această valoare.

10.13. Circuitul echivalent pe timpul întoarcerii este reprezentat în figura 10.13R, a când se deschide comutatorul care simbolizează tranzistorul care se blochează.

Condițiile inițiale sînt, la $t = 0$:

$$i = I_M; u_C = E; u_L = L \frac{di}{dt} \Rightarrow \frac{di}{dt} = \frac{E}{L}.$$

Ecuația care descrie circuitul este dedusă din teorema a doua a lui Kirchhoff :

$$\frac{di}{dt} + Ri + \frac{1}{C} \int i dt = 0,$$

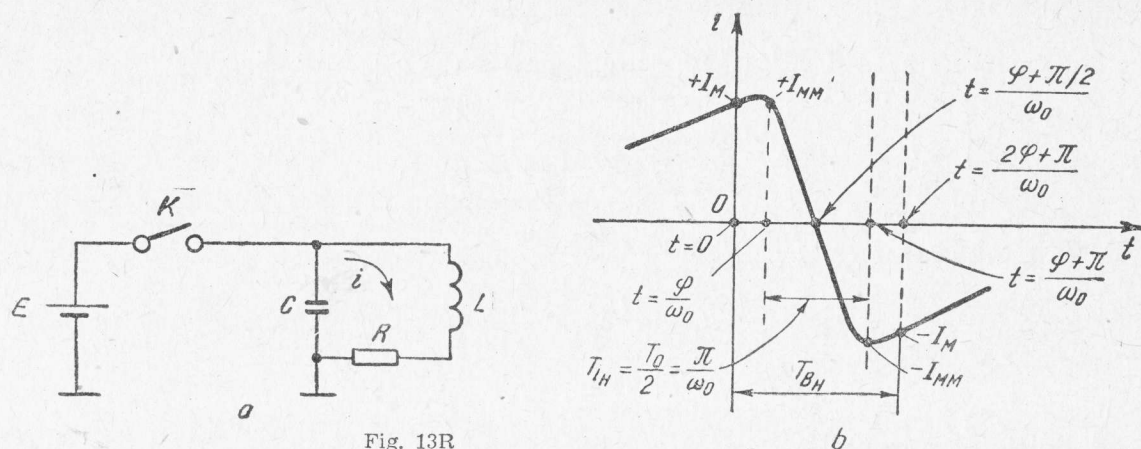


Fig. 13R

Se mai derivează o dată și se împarte cu L . Se obține :

$$\frac{d^2 i}{dt^2} + \frac{R}{L} \cdot \frac{di}{dt} + \frac{1}{LC} i = 0.$$

Se introduce decrementul $\delta = \frac{R}{2L}$ și pulsația $\omega_0^2 = \frac{1}{LC}$, făcînd notațiile

$$\frac{R}{L} = 2\delta = 2\xi\omega_0;$$

$$\xi = \frac{R}{2L} \sqrt{LC} = \frac{R}{2} \sqrt{\frac{C}{L}} = \frac{R}{2\omega_0 L} = \frac{R}{2X_L} = \frac{1}{2Q} = \frac{\delta}{\omega_0}.$$

În aceste condiții, ecuația caracteristică este

$$\alpha^2 + 2\xi\omega_0\alpha + \omega_0^2 = 0.$$

Rădăcinile sînt

$$\alpha_{1,2} = -\xi\omega_0 \pm \sqrt{\xi^2\omega_0^2 - \omega_0^2} = \omega_0[-\xi \pm j\sqrt{1-\xi^2}] = -\delta \pm j\sqrt{\delta^2 - \omega_0^2} = -\delta \pm x.$$

Cum $\delta < \omega_0$, notăm $\omega_1 = \sqrt{\omega_0^2 - \delta^2}$ și $x = j\omega_1$.

Deci

$$\alpha_{1,2} = -\delta \pm j\omega_1.$$

Circuitul va fi în regim oscilant amortizat. Fenomenul are loc datorită energiei înmagazinate în bobina L , $W_m = \frac{1}{2} L I_M^2$ la deschiderea comutatorului.

Soluția generală a ecuației diferențiale a circuitului este

$$i = A e^{\alpha_1 t} + B e^{\alpha_2 t}.$$

Determinarea constantelor A și B se face ținând seama de condițiile inițiale și considerând încă o ecuație dată de derivata curentului.

La $t = 0$ avem

$$\begin{aligned} i &= A + B = I_M; \\ \frac{di}{dt} &= \alpha_1 A + \alpha_2 B = \frac{E}{L}. \end{aligned}$$

Din rezolvarea sistemului de două ecuații cu două necunoscute se determină

$$\begin{aligned} A &= \frac{E/L - \omega_0 I_M (-\xi - j\sqrt{1-\xi^2})}{2j\omega_0\sqrt{1-\xi^2}}; \\ B &= \frac{-E/L + \omega_0 I_M (-\xi + j\sqrt{1-\xi^2})}{2j\omega_0\sqrt{1-\xi^2}}. \end{aligned}$$

Introducând aceste valori în expresia soluției generale, se găsește după înlocuire și gruparea termenilor

$$i = e^{-\xi\omega_0 t} \left[I_M \cos \omega_0 \sqrt{1-\xi^2} \cdot t + \frac{E/L + \xi\omega_0 I_M}{\omega_0 \sqrt{1-\xi^2}} \sin \omega_0 \sqrt{1-\xi^2} \cdot t \right]$$

S-a ținut seama că

$$\frac{e^{jx} + e^{-jx}}{2} = \cos x \text{ și } \frac{e^{jx} - e^{-jx}}{2j} = \sin x.$$

Punând

$$\frac{\frac{E}{L} + \xi\omega_0 I_M}{I_M \omega_0 \sqrt{1-\xi^2}} = \operatorname{tg} \varphi \text{ și știind că } \cos \varphi = \frac{1}{\sqrt{1 + \operatorname{tg}^2 \varphi}},$$

rezultă după înlocuire, restringerea termenilor și cu notațiile făcute inițial

$$i = e^{-\delta t} \sqrt{I_M^2 + \frac{\left(\frac{E}{L} + \delta I_M\right)^2}{\omega_0^2 - \delta^2}} \cdot \cos(\omega_1 t - \varphi);$$

Aceasta este o oscilație pe frecvența $\omega_1 = \sqrt{\omega_0^2 - \delta^2}$, cu amplitudini ce scad cu timpul. Cum $\delta \ll \omega_0$, pulsația este dată chiar de elementele LC.

Dacă se admite că pierderile sînt neglijabile, $\delta \cong 0$ și expresia va fi

$$i = I_M \sqrt{1 + \left(\frac{E}{L\omega_0 I_M}\right)^2} \cos(\omega_0 t - \varphi).$$

Acest lucru este în orice caz valabil pentru o semiperioadă a oscilațiilor adică atît timp cît este lăsat circuitul să oscileze pentru a asigura întoarcerea, iar la $t = 0$ și $t = \pi$, $i = I_M$ respectiv $-I_M$. Reprezentarea este făcută în figura 10.13R, b.

Valorile maxime sînt obținute pentru $\cos(\omega_0 t - \varphi) = 1$, adică la $\omega_0 t - \varphi = 0$ sau $\omega_0 t - \varphi = \pi$.

$$i \Big|_{t=\frac{\varphi}{\omega_0}} = I_M \sqrt{1 + \operatorname{tg}^2 \varphi} = I_{MM}.$$

Aceasta se petrece după întreruperea circuitului.

Valoarea de la momentul $t = 0$ se regăsește cu semn schimbat și la momentul dat de $\omega_0 t - 2\varphi = \pi$.

Se poate calcula și tensiunea la bornele bobinei:

$$u_L = L \frac{di}{dt} = -\omega_0 L I_M \sqrt{1 + \left(\frac{E}{L\omega_0 I_M} \right)^2} \sin(\omega_0 t - \varphi).$$

Scriind altfel se obține

$$u_L = -E \sqrt{1 + \frac{1}{\operatorname{tg}^2 \varphi}} \sin(\omega_0 t - \varphi).$$

Valoarea maximă a tensiunii inverse este

$$|U_{i \max}| = E \sqrt{1 + \frac{1}{\operatorname{tg}^2 \varphi}}$$

și apare la jumătatea cursei de întoarcere, la

$$t = \frac{\varphi + \pi/2}{\omega_0}.$$

10.14. Intoarcerea propriu-zisă este dată aproximativ de relația

$$T_i \cong \frac{T_0}{2} = \pi \sqrt{LC}.$$

Deci

$$\sqrt{LC} = \frac{T_i}{\pi}.$$

Prin urmare timpul $t = \frac{\varphi}{\omega_0}$ după care se ajunge la valoarea maximă a curentului se poate evalua aproximativ considerind $\operatorname{tg} \varphi \cong \varphi$ (acest timp este foarte mic, deci aproximarea este valabilă).

Ținînd cont că

$$\operatorname{tg} \varphi = \frac{E}{L\omega_0 I_M} = \frac{E}{L I_M} \sqrt{LC} = \frac{I_M}{\frac{T_d}{2} I_M} \sqrt{LC},$$

rezultă

$$\operatorname{tg} \varphi = \frac{2}{T_d} \sqrt{LC} = \frac{2}{\pi} \frac{T_i}{T_d} \ll 1.$$

$$t = \frac{\varphi}{\omega_0} = \frac{2}{T_d} \cdot \frac{\sqrt{LC}}{\omega_0} = \frac{2}{T_d} LC = \frac{2}{\pi^2} \cdot \frac{T_i^2}{T_d}$$

Durata în care nu se transmite semnalul de imagine este, după figura 10.13R, b:

$$T_i = \frac{2\varphi}{\omega_0} + \frac{\pi}{\omega_0} = \frac{1}{\omega_0} (2\varphi + \pi) = \pi \sqrt{LC} \left(\frac{2\varphi}{\pi} + 1 \right);$$

$$T_i = \pi \sqrt{LC} \left[1 + \frac{4}{\pi T_d} \sqrt{LC} \right] = \frac{T_0}{2} \left[1 + \frac{2}{\pi} \cdot \frac{T_0}{T_d} \right].$$

Dacă se dorește o relație aproximativă în funcție de T_i (din normă), se face înlocuirea $\sqrt{LC} = \frac{T_i}{\pi}$ și se obține și frecvența de oscilație:

$$\omega_0 = \frac{1}{\sqrt{LC}} = \frac{\pi}{T_i} \left[1 + \frac{4}{\pi^2} \cdot \frac{T_i}{T_d} \right].$$

10.15. Tensiunea la bornele bobinelor de deflexie are valoarea maximă la momentul

$$t = \frac{\varphi + \frac{\pi}{2}}{\omega_0}.$$

Se presupune în continuare că $\operatorname{tg} \varphi \ll 1$, deci inegalitatea $\operatorname{tg}^2 \varphi \ll 1$ va fi și mai bine satisfăcută.

Prin urmare

$$U_{imax} = E \sqrt{1 + \frac{1}{\operatorname{tg}^2 \varphi}} \cong \frac{E}{\operatorname{tg} \varphi} = \frac{E}{2\sqrt{LC}} T_d.$$

Înlocuind valoarea găsită în problema 10.14 pentru $\omega_0 = \frac{1}{\sqrt{LC}}$, se găsește

$$U_{imax} = E \frac{\pi}{2} \cdot \frac{T_d}{T_i} \left[1 + \frac{4}{\pi^2} \cdot \frac{T_i}{T_d} \right] = E \left[\frac{2}{\pi} + \frac{\pi}{2} \cdot \frac{T_d}{T_i} \right].$$

Pentru cazul unei tensiuni de alimentare $E = 120$ V, în cadrul normei OIRT ($T_d = 52$ μ s și $T_i = 12$ μ s) se găsește

$$U_{imax} = 120 \left[\frac{2}{\pi} + \frac{\pi}{2} \cdot \frac{52}{12} \right] \cong 900 \text{ V.}$$

În funcție de montaj, la bornele comutatorului poate apărea această tensiune la care se adaugă și tensiunea sursei de alimentare, deci

$$U_{com max} = E + U_{i max} = E \left[1 + \frac{2}{\pi} + \frac{\pi}{2} \cdot \frac{T_d}{T_i} \right]$$

rezultînd în cazul analizat circa 1000 V.

○ **Notă.** Acest calcul se poate face și mai simplu, uneori considerînd de exemplu circuitul și știind fie energia W_m și valoarea capacității de acord C , fie inductanța, valoarea curentului și pulsația pe întoarcere ω_0 , care este de circa $3\omega_H$. Se pot vedea relațiile (14) și (15) din breviar, care conduc la aceleași valori.

10.16. Amplitudinea vîrf la vîrf a curentului de colector la tranzistorul BU 205 este

$$I_{Hv} = I_{Cv} = I_{CM}^+ + I_{CM}^- = 1,35 + 0,85 = 2,2 \text{ A}_{vv}.$$

În raport cu valoarea medie nulă a curentului de deflexie $I_H = 0$, curentul de colector are o valoare medie de 0,25 A, dedusă din

$$I_C = I_{CM}^+ - \frac{I_{Cv}}{2} = 1,35 - 1,1 = 0,25 \text{ A}.$$

Așa stînd lucrurile, timpii de conducție normală T_{dT} și inversă T_{iT} ai tranzistorului BU 205 vor fi diferiți.

Se poate scrie că

$$\frac{I_{CM}^+}{I_{CM}^-} = \frac{T_{dT}}{T_{iT}} \Rightarrow \frac{I_{CM}^+ + I_{CM}^-}{I_{CM}^-} = \frac{T_{dT} + T_{iT}}{T_{iT}},$$

respectiv

$$T_{iT} = T_{dH} \cdot \frac{I_{CM}^-}{I_{Cv}} = 52 \cdot 10^{-6} \cdot \frac{0,85}{2,2} = 20 \text{ } \mu\text{s}.$$

Conducția directă este cu 6 μs mai lungă decît cea inversă:

$$T_{dT} = 32 \text{ } \mu\text{s}; T_{iT} = 20 \text{ } \mu\text{s}.$$

10.17. Se consideră un radiator de aluminiu lucios de grosime 2 mm și suprafață 1,4 dm², ca într-un televizor cu circuite integrate. Acesta are rezistența termică $R_{th} = 4^\circ\text{C/W}$. Rezistența termică de contact între capsula tranzistorului și radiator (izolată cu o plăcuță de mică de grosime 0,1 mm) este de circa 1°C/W .

Suma rezistențelor termice va fi

$$\Sigma R_{th} = 2,5 + 4 + 1 = 7,5^\circ\text{C/W}.$$

Puterea ce poate fi disipată va fi

$$P_D = \frac{T_{j \text{ max}} - T_{amb}}{\Sigma R_{th}}.$$

La $T_{amb} = 90^\circ$ corespunde

$$P_D = \frac{115 - 90}{7,5} = 3,3 \text{ W}.$$

La $T_{amb} = 55^\circ$ (cam cît este temperatura într-un televizor), puterea va fi

$$P_D = \frac{115 - 55}{7,5} = \frac{60}{7,5} = 8 \text{ W}.$$

○ **Observație.** Dacă puterea disipată în mod real este mai mică, de exemplu de numai 5 W, se poate determina temperatura la care lucrează joncțiunea. Pentru $T_{amb} = 50^\circ$, de exemplu:

$$T_j = P_D \Sigma R_{th} + T_{amb} = 57,5 + 50 = 87,5^\circ.$$

10.18. Va trebui exprimat raportul $\sqrt{\eta} = \frac{I_{CM}^-}{I_{CM}^+}$.

Se notează $\frac{T_{iH}}{T_H} = p$ și $I_{Cv} = I_{CM}^+ + I_{CM}^-$.

I_{C0} este curentul absorbit de la sursă, deci o componentă medie obținută din repartizarea pe întreaga perioadă T_H .

Dacă se consideră doar cursa directă T_{aH} , atunci componenta medie I_{C0} corespunzătoare doar acestui domeniu va fi mai mare. Se poate deduce din relația

$$I_{C0} T_H = I_{C0} T_{aH} = I_{C0} (T_H - T_{iH}) = I_{C0} T_H \left(1 - \frac{T_{iH}}{T_H}\right).$$

Deci

$$I_{C0} = I_{C0} \frac{T_H}{T_H (1 - p)} = \frac{I_{C0}}{1 - p}.$$

Așa stînd lucrurile, curenții vor fi:

$$I_{CM}^+ = \frac{I_{Cv}}{2} + \frac{I_{C0}}{1 - p};$$

$$I_{CM}^- = \frac{I_{Cv}}{2} - \frac{I_{C0}}{1 - p};$$

$$\sqrt{\eta} = \frac{I_{CM}^-}{I_{CM}^+} = \frac{\frac{I_{Cv}}{2} - \frac{I_{C0}}{1 - p}}{\frac{I_{Cv}}{2} + \frac{I_{C0}}{1 - p}}.$$

Ca și în problema 10.16, se pot deduce duratele de conducție

$$T_{iT} = T_{aH} \cdot \frac{I_{CM}^-}{I_{Cv}} \text{ și } T_{aT} = T_{aH} \cdot \frac{I_{CM}^+}{I_{Cv}},$$

în care se vor înlocui I_{CM}^- și I_{CM}^+ cu valorile ce depind de I_{Cv} și I_{C0} :

10.19. În figura 10.19R se arată durata minimă $\delta_{min} T_H$ pe care o poate avea pulsul de tensiune. Acesta trebuie să se termine astfel încît timpul de stocare t_s să nu depășească începutul întoarcerii și să țină seama de momentul deschiderii tranzistorului, care nu se face la momentul $T_{aH}/2$, ci înainte de acesta.

Astfel

$$\delta_{min} = \frac{\delta_{min} T_H}{T_H} = \frac{\text{timp excitație}}{T_H}.$$

Din figură se poate scrie că

$$\delta_{min} \cdot T_H = T_H - t_s - T_{iH} - T_{iT}.$$

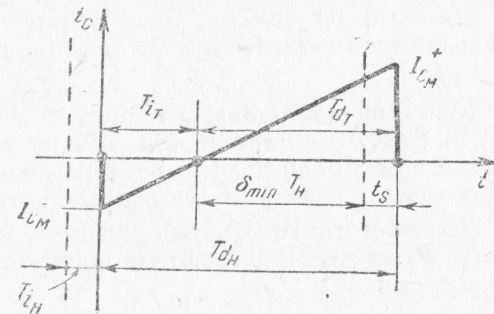


Fig. 10.19R

Dar

$$T_{iH} = \frac{\delta_{min} T_H + t_s}{\frac{I_{CM}^+}{I_{CM}^-}}.$$

Înlocuind și grupînd termenii se găsește că factorul de umplere are valoarea minimă,

$$\delta_{min} = \frac{1 - \frac{T_{iH}}{T_H}}{1 + \frac{I_{CM}^-}{I_{CM}^+}} - \frac{t_s}{T_H} = \frac{(1-p)}{1 + \sqrt{\eta}} - \frac{t_s}{T_H}.$$

Valoarea maximă pentru durata pulsului de tensiune de comandă în secundar va fi

$$\delta_{max} \cdot T_H = T_H - t_s - T_{iH},$$

deci cît toată cursa directă mai puțin timpul de stocare.

Deci factorul de umplere va fi

$$\delta_{max} = 1 - \frac{T_{iH}}{T_H} - \frac{t_s}{T_H} = 1 - p - \frac{t_s}{T_H}.$$

Pentru cazul în care $T_{iH} = 12 \mu s$, $T_H = 64 \mu s$, rezultă $p \cong 0,19$ și dacă $\sqrt{\eta} = 0,75$ rezultă

$$\delta_{min} = 0,3;$$

$$\delta_{max} = 0,6.$$

Pulsul de tensiune de comandă va trebui să se termine la începutul timpului de stocare, iar factorul de umplere să fie $\delta = 0,3 \div 0,6$. Evident, frecvența va fi egală cu f_H .

10.20. Tranzistoarele de tip BU 205, BU 208 etc. sînt construite special pentru baleiajul orizontal, ca să lucreze atît în conducție normală cît și inversă cu curenți de vîrf de ordinul 1–2 A și să suporte tensiuni inverse de ordinul 1 200–1 500 V. Din acest motiv, plăcuța de siliciu pe care sînt construite prezintă o rezistență mare între contactul de colector și contactul capsulei.

Tensiunile se măsoară nu între contactele de pe plăcuța de siliciu, deci direct între electrozi, ci între contactele capsulei.

Curentul de colector trece prin această rezistență și dă o cădere de tensiune pe ea, cu o polaritate ce depinde de sensul curentului de colector. Deci:

$$u_{BC} = u_{BC'} \pm u_{RC}.$$

Curentul longitudinal prin tranzistor trece de la E la C sau de la C la E, după regim.

a) Pentru saturația inversă situația este reprezentată în figura 10.20R, a.

În aceste condiții, prin definiție avem

$$u_{BE} > 0; u_{BC'} > 0 \text{ și } u_{BC'} > u_{BE}.$$

La acest tip de tranzistor căderile de tensiune pe joncțiuni la saturație sînt mai mari ca la tranzistoarele obișnuite de putere mică (de circa 1 V). În aceste condiții $u_{BC} \cong 1,1$ V și $u_{BE} \cong 1$ V.

$$u_{C'E} = u_{BE} - u_{BC'} = 1 - 1,1 = -0,1 \text{ V.}$$

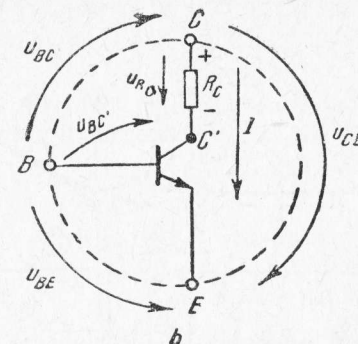
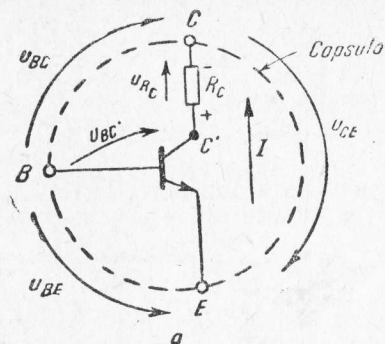


Fig. 10.20R

Dar

$$u_{BC} = u_{BC'} + u_{RC} = 1,1 + 0,4 = 1,5 \text{ V},$$

iar

$$u_{CEsat} = u_{C'E} + u_{RC} = -0,1 - 0,4 = -0,5 \text{ V}.$$

b) La saturație directă sensul curentului se schimbă ca în figura 10.20R, b.
În acest caz

$$u_{BE} > u_{BC} \text{ respectiv } 1 \text{ V} > 0,8 \text{ V}.$$

Deci

$$u_{BC} = u_{BC'} - u_{RC} = 0,8 - 1,3 \text{ V} = -0,5 \text{ V}.$$

Deci deși ambele joncțiuni sînt polarizate în sens direct, din cauza căderii de tensiune pe R_C și a curentului transversal care este mai mare la saturația directă, se măsoară între bornele B și C ale capsulei, o tensiune negativă.

Între electrozi

$$u_{C'E} = u_{BE} - u_{BC} = 1 - 0,8 = +0,2 \text{ V}.$$

Aceasta ar apărea la un tranzistor obișnuit. La tranzistorul în cauză se adaugă și căderea de tensiune pe R_C .

$$u_{CEsat} = u_{C'E} + u_{RC} = 0,2 + 1,3 = +1,5 \text{ V}.$$

Deoarece curentul de colector crește către sfîrșitul cursei directe, u_{RC} crește către $t = T_{an}$ și evident crește și u_{CEsat} .

10.21. S-a arătat în breviar și în probele 10.3 și 10.9 că din cauza ecranului plan apare o distorsiune a rastrului și a formei imaginii. Distorsiunea este simetrică. Pentru a obține rastru cu linii echidistante, curentul de baleiaj trebuie să-și modifice forma. În loc de dinte de ferăstrău va avea o formă de „S”. Aceasta se obține introducînd în serie cu bobinele L_H un condensator C_S .

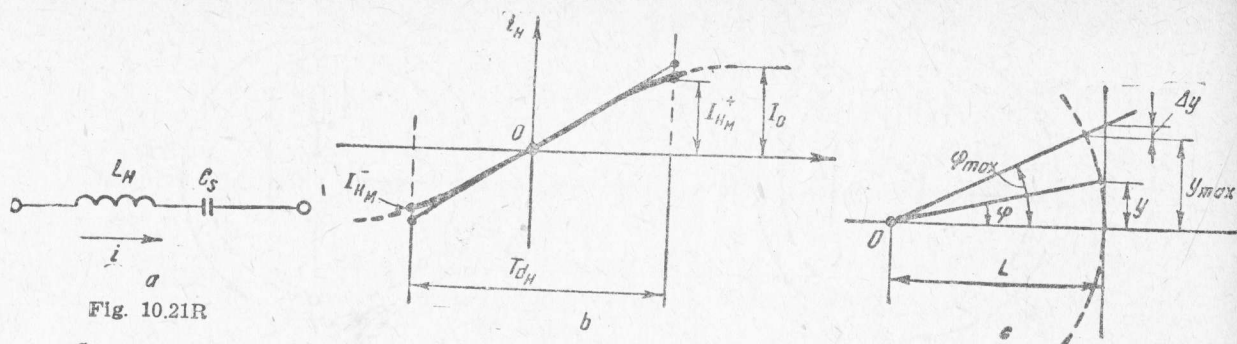


Fig. 10.21R

Curentul printr-un circuit serie de forma din figura 10.21R, *a* este :

$$i = I_0 \sin \omega_0 t = I_0 \sin \frac{t}{\sqrt{L_H C_S}}.$$

I_0 este amplitudinea maximă a sinusoidei care rezultă. Aceasta este diferită de valoarea pe care o avea curentul I_{HM} , așa ca în figura 10.21R, *b*.

Pentru a nu avea distorsiuni, deviația pe ecran trebuie să varieze liniar cu timpul, deci așa cum se vede în figura 10.21R, *c* în care $y = L \operatorname{tg} \varphi$, trebuie îndeplinită condiția

$$\operatorname{tg} \varphi = \frac{2t}{T_{dH}} \operatorname{tg} \varphi_{max},$$

adică

$$\varphi = \arctg \frac{2t}{T_{dH}} \operatorname{tg} \varphi_{max}.$$

Însă unghiul este proporțional aproximativ cu curentul de baleiaj $\varphi = Ki$ pentru unghiuri $\varphi \leq 50^\circ$.
Deci

$$i = \frac{1}{K} \arctg \frac{2t}{T_{dH}} \operatorname{tg} \varphi_{max}.$$

Funcțiile sinus și arctg se pot înlocui cu niște funcții polinomiale, din care, pentru valori mici ale argumentelor, se pot reține doar primii doi termeni. Astfel

$$\sin x = x - \frac{x^3}{3!};$$

$$\arctg y = y - \frac{y^3}{3}.$$

În cazul nostru, expresiile curentului scrise în cele două condiții devin :

$$i = I_0 \left[\frac{t}{\sqrt{L_H C_S}} - \frac{t^3}{6 (\sqrt{L_H C_S})^3} \right] = I_0 \frac{t}{\sqrt{L_H C_S}} \left[1 - \frac{t^2}{6 L_H C_S} \right]$$

$$i = \frac{1}{K} \left[\frac{2l}{T_{dH}} \operatorname{tg} \varphi_{max} - \frac{8l^3}{3T_{dH}^3} \operatorname{tg}^3 \varphi_{max} \right] = \frac{1}{K} \cdot \frac{2l}{T_{dH}} \operatorname{tg} \varphi_{max} \left[1 - \frac{4l^2}{3T_{dH}^2} \operatorname{tg}^2 \varphi_{max} \right]$$

Termenul care este responsabil de predistorsionarea în „S” este termenul în l^3 . Scoțind în factor termenul în l , care ar da un curent liniar, modificarea dorită va fi făcută de termenul în l^2 .

Din identificarea celor doi termeni în l^2 din cele două expresii, va rezulta C_s :

$$\frac{l^2}{6 L_H C_s} = \frac{4l^2}{3T_{dH}^2} \operatorname{tg}^2 \varphi_{max}$$

Deci

$$C_s = \frac{T_{dH}^2}{8 L_H \operatorname{tg}^2 \varphi_{max}}$$

10.22. Din figura 10.22R se vede că

$$U_2 = U_{avr} \text{ și } U_1 = U_{inv} - U_2 \cong U_{inv}$$

În aceste condiții se poate scrie că

$$U_1 \cong L_H \frac{di_H}{dt} = L_H I_M \omega_0 = L_H I_M \frac{2\pi}{T_0} = L_H I_M \frac{\pi}{T_{iH}}$$

și

$$U_2 = L_H \frac{di_H}{dt} = L_H \frac{2I_M}{T_{dH}}$$

Făcînd raportul, se obține

$$\gamma = \frac{U_1}{U_2} = \frac{\pi}{2} \cdot \frac{T_{dH}}{T_{iH}} = \frac{\pi}{2} \cdot \frac{(1-p)}{p}$$

În cazul normei OIRT, acest raport are valoarea $\gamma = 6,80 \cong 7$.

10.23. Dacă, în schema din figura 10.23, R_1 și R_2 sînt mult mai mari decît R_3 și R_4 și rezistența de intrare în tranzistor (care este $R_i \cong \beta R$) este mult mai mare decît $R_3 || R_4$, iar condensatorul de cuplaj C se prezintă ca un scurtcircuit, schema echivalentă este cea din figura 10.23R și

$$U_i = \frac{U}{2} \cdot \frac{R_e}{R_e + \frac{1}{j\omega C_V}} = \frac{U}{2} \cdot \frac{j\omega R_e C_V}{1 + j\omega C_V R_e}$$

$$R_e = R_3 || R_4$$

Fig. 10.23R

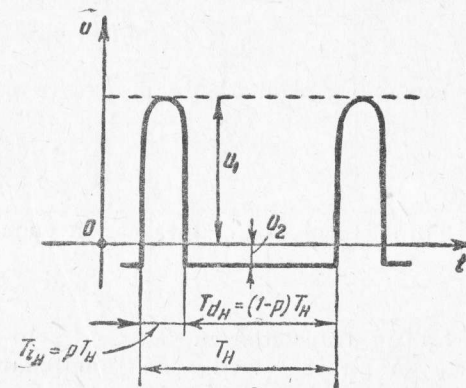
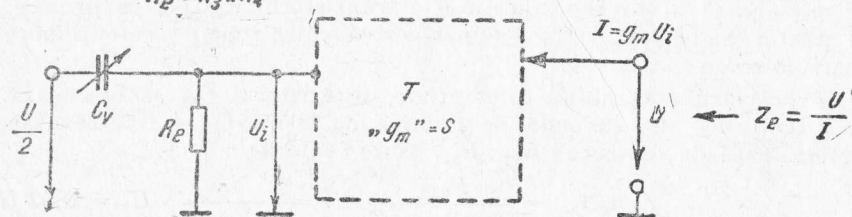


Fig. 10.22R

Dacă $|\omega R_e C_V| \ll 1$,
atunci

$$U_i \cong j \frac{U}{2} \omega R_e C_V.$$

Curentul la ieșire este

$$I = g_m U_i = S U_i = j \frac{U}{2} \omega S R_e C_V.$$

Impedanța echivalentă pe care o prezintă tranzistorul la ieșire este

$$Z = \frac{U}{I} = \frac{1}{j \omega \frac{S R_e C_V}{2}} = \frac{1}{j \omega C_e}.$$

Tranzistorul se prezintă ca un element de reactanță avînd o capacitate echivalentă

$$C_e = \frac{S R_e C_V}{2}.$$

La un tranzistor cu $S = g_m \cong 10$ mA/V, cu $R_e \cong 3$ k Ω și o diodă varicap care prezintă în punctul mediu de funcționare unde este polarizată o capacitate de circa 20 pF, rezultă $C_e = 300$ pF deci $C_e = 15 C_V$.

Această valoare este suficientă pentru a face să varieze frecvența circuitului acordat al oscilatorului de baleiaj orizontal care lucrează pe frecvența f_H .

10.24. Schema de principiu a triggerului Schmitt din circuitul integrat sincroprocesor TBA 950 este dată în figura 10.24R, a.

Tranzistoarele Q_{70} , Q_{71} formează un amplificator diferențial cu ieșire asimetrică din colectorul lui Q_{70} . În emitoare acesta este polarizat cu generatorul de curent constant, de tip oglindă de curent, realizat cu tranzistoarele Q_{72} și Q_{79} .

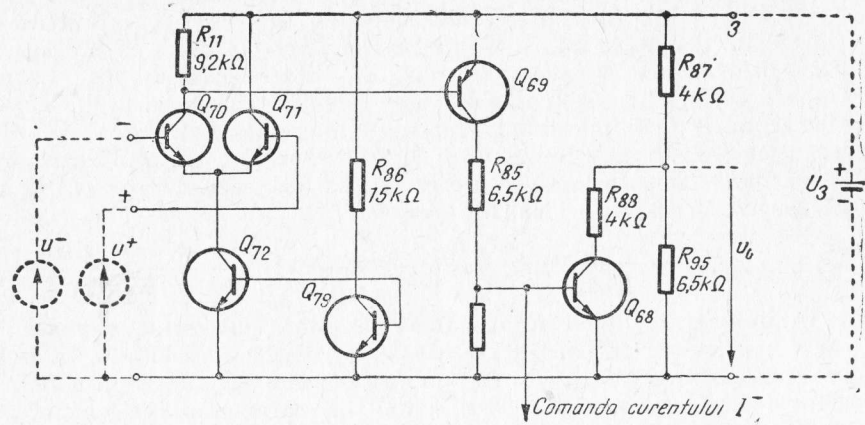
Amplificatorul neinversor cu două etaje conectate în cascadă cu tranzistorul *npn* Q_{69} și cel *npn* Q_{68} , are ca sarcină rețeaua de rezistențe R_{87} , R_{88} și R_{95} . Prin conectarea în cascadă a etajului diferențial propriu-zis și a celor două tranzistoare, Q_{69} și Q_{68} , se obține un amplificator diferențial cu ieșire asimetrică, cu o amplificare diferențială apreciabilă.

Astfel, pentru o tensiune diferențială pozitivă ($u^+ > u^-$), curentul de colector al tranzistorului Q_{70} scade, tensiunea u_{EB} a tranzistorului Q_{69} scade, curentul de colector în Q_{69} se micșorează, scade tensiunea u_{BE} a tranzistorului Q_{68} și ca urmare punctul de funcționare al acestuia se deplasează în regiunea activă, către zona de curenți mici de colector și tensiuni mari colector-emitor.

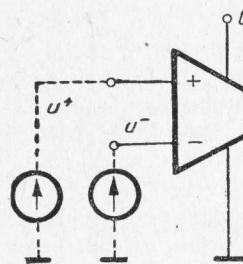
Prin mărirea tensiunii diferențiale, tranzistorul Q_{68} se blochează, rezistența R_{88} rămîne în circuit deschis, excursia de tensiune de ieșire U_0 se limitează superior (H) la o valoare determinată de divizorul R_{87} , R_{95} , avînd valorile

$$U_{0H} = \frac{R_{95}}{R_{87} + R_{95}} \cdot U_3 = \frac{6,5}{4 + 6,5} \cdot U_3 = 0,62 U_3.$$

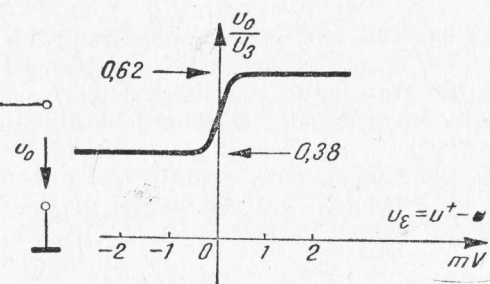
Fig. 10.24R



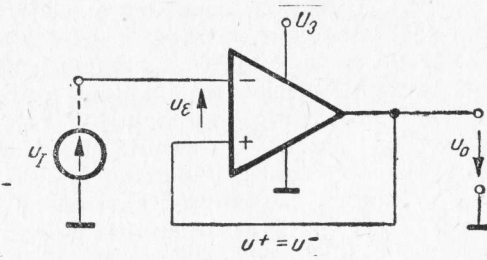
a



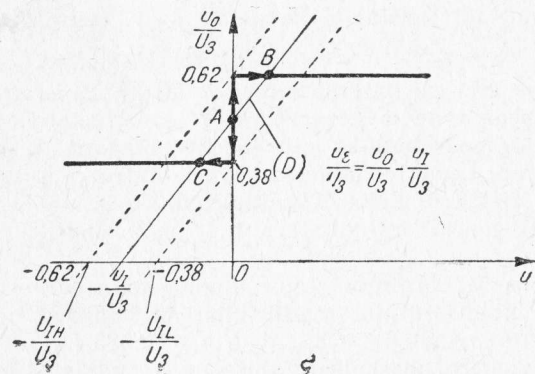
b



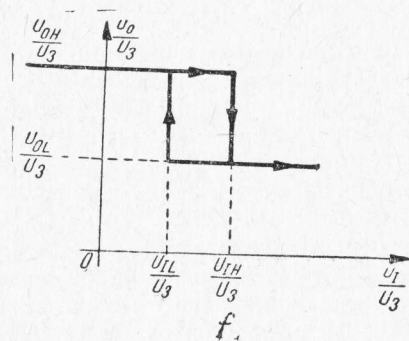
c



d



e



f

Pentru o tensiune diferențială negativă ($u^+ < u^-$) curentul de colector al tranzistorului Q_{70} crește, tensiunea u_{EB} a tranzistorului pnp Q_{69} crește, crește curentul de colector al acestuia, determinând creșterea tensiunii u_{EE} a tranzistorului Q_{68} . Ca urmare, punctul de funcționare al acestuia se deplasează spre zona de curenți mari de colector și tensiuni colector-emitor mici. Prin micșorarea tensiunii diferențiale (mărirea valorii absolute a tensiunii diferențiale negative), tranzistorul Q_{68} se saturează, capătul rezistenței R_{88} se pune la masă și excursia de tensiune la ieșire U_0 se limitează inferior (L) la o valoare determinată de divizorul R_{95} în paralel cu R_{88} , respectiv R_{87} .

$$U_{0L} = \frac{R_{95}R_{88}}{R_{87}(R_{95} + R_{88}) + R_{95} \cdot R_{88}} \cdot U_3 = \frac{4 \cdot 6,5 U_3}{4(6,5 + 4) + 6,5 \cdot 4} = 0,38 U_3.$$

Amplificatorul diferențial comentat este reprezentat simbolic în figura 10.24R, *b*, iar caracteristica de transfer $u_0 = f(u^+ - u^-)$ este reprezentată în figura 10.24R, *c*.

Dacă se conectează ieșirea amplificatorului diferențial din figura 10.24R, *b* la intrarea neînversoare, se obține triggerul Schmitt cu caracteristică de histerezis cu inversare, așa cum se vede din figura 10.24R, *d*. Ca urmare, tensiunea diferențială de intrare este egală cu diferența dintre tensiunea de ieșire și cea aplicată la intrarea inversoare:

$$u_e = u_0 - u_i.$$

Acestei dependențe, determinate de configurația de circuit cu reacție pozitivă de la ieșire spre intrare, îi corespunde în planul caracteristicii de transfer o dreaptă. Intersecțiile acestei drepte cu caracteristica de transfer a amplificatorului furnizează punctele posibile de funcționare. Printr-o normare în raport U_3 și în ordonată și în abscisă, se obține reprezentarea din figura 10.24R, *e*.

Pentru o anumită plajă de valori de intrare se obțin trei puncte de intersecție, dintre care numai punctele *B* și *C* sînt stabile. În afara acestei plaje se obține cîte un singur punct permis de funcționare. Prin urmare caracteristica de transfer a triggerului Schmitt are alura din figura 10.24R, *f*.

Întrucît pantă dreptei *D* din planul normat la U_3 din figura 10.24R, *e* este egală cu unitatea, tensiunile de prag ce delimitează regiunea de valori de intrare pentru care există cîte două valori posibile de ieșire, sînt egale cu tensiunile de palier de la ieșire:

$$U_{iL} = 0,38 U_3 \text{ și } U_{iH} = 0,62 U_3.$$

10.25. Cînd ieșirea triggerului Schmitt se află pe palierul superior (U_{0H}), generatorul I^- va fi deconectat și condensatorul C_{13} se încarcă de la generatorul I^+ cu un curent de încărcare $I_{inc} = I^+$ (fig. 10.25). Condensatorul încărcîndu-se sub curent constant, la bornele sale apare o tensiune care crește liniar în timp. Cînd tensiunea u_C de la intrarea triggerului ajunge la valoarea $u_{Cmax} = U_{iH} = 0,62 U_3$, triggerul Schmitt basculează, ieșirea se situează pe palierul inferior U_{0L} , și se conectează și generatorul de curent I^- la bornele condensatorului C_{13} .

Curentul de descărcare este dat de diferența curenților celor două generatoare ($I_{desc} = I^- - I^+ = 6I^+$). Tensiunea la bornele condensatorului scade liniar în timp cu o viteză de șase ori mai mare decît cea de creștere. La o valoare $u_{Cmin} = U_{iL} = 0,383 U_3$ se atinge tensiunea de prag inferior de intrare și triggerul basculează din nou avînd la ieșire ten-

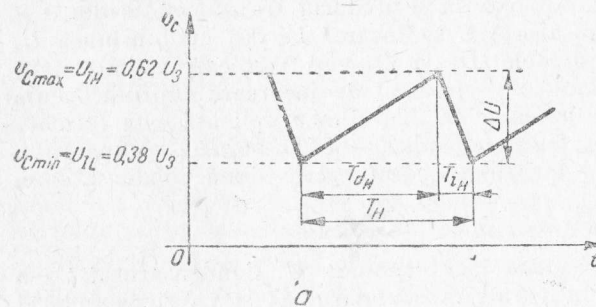
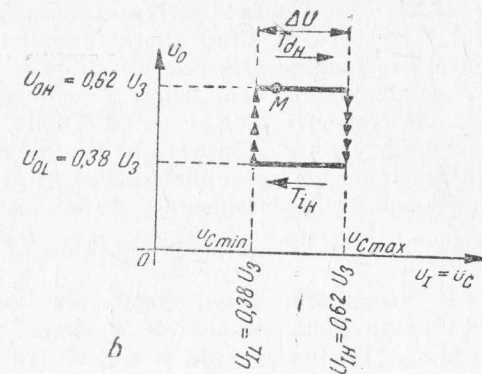


Fig. 10.25R



siunea U_{OH} corespunzătoare palierului superior; începe o nouă încărcare a condensatorului de la generatorul I^+ , ciclul repetindu-se. Tensiunea la bornele condensatorului este reprezentată în figura 10.25R, a.

Excursia punctului de funcționare M , pe caracteristica de transfer a triggerului Schmitt este arătată în figura 10.25R, b.

În intervalul de timp T_{dH} (cursa directă pe linii) variația de tensiune de la bornele condensatorului (egală cu diferența dintre tensiunile de prag ale triggerului Schmitt) este dată de sarcina electrică transportată de curentul I^+ în acest interval, respectiv :

$$I^+ T_{dH} = C \Delta U.$$

În mod similar, pe cursa inversă, la descărcare se obține :

$$(I^- - I^+) T_{iH} = C \Delta U.$$

Frecvența de oscilație f_H este egală cu inversul perioadei $T_H = T_{dH} + T_{iH}$:

$$f_H = \frac{1}{T_H} = \frac{1}{T_{dH} + T_{iH}}.$$

Făcând înlocuirile se obține :

$$f_H = \frac{1}{\frac{C \Delta U}{I^+} + \frac{C \Delta U}{I^- - I^+}} = \frac{1}{C \Delta U \left(\frac{R_{14}}{U_{com}} + \frac{R_{14}}{6 U_{com}} \right)}.$$

Pentru $U_{com} = 0,5 U_3$ și $\Delta U = (0,62 - 0,38) U_3 = 0,24 U_3$, rezultă :

$$f_H = \frac{6 \cdot 0,5}{7 \cdot 0,24} \cdot \frac{1}{R_{14} C_{13}} = \frac{1,78}{R_{14} C_{13}}.$$

Înlocuind valoarea frecvenței $f_H = 15\,625$ Hz, se obține valoarea necesară a rezistenței :

$$R_{14} = \frac{1,78}{15\,625 \cdot 10^{-8}} = 11,4 \text{ k}\Omega.$$

10.26. Din figura 10.26 se remarcă funcționarea. Se consideră inițial toate condensatoarele descărcate. Când apare semialternanța pozitivă în secundarul transformatorului, curentul i se închide prin cele trei diode și condensatorul C se încarcă la vîrf cu tensiunea U .

În alternanța următoare, cea negativă, diodele D_1 și D_3 vor fi blocate avînd minus pe anod respectiv plus pe catod. Dioda D_2 conduce și circuitul de încărcare cuprinde acum cele două condensatoare C_1 și C_2 în serie prin dioda D_2 . Tensiunea aplicată este formată din tensiunea de pe condensatorul C , egală cu U , și tensiunea $-U$ la bornele secundarului transformatorului. Tensiunea totală este $2U$, iar fiecare dintre cele două condensatoare, C_1 și C_2 , se vor încărca la tensiunea $\frac{2U}{2} = U$.

În următoarea semiperioadă, în secundar apare iar tensiunea U . Condensatorul C va avea acum două circuite de încărcare puse în paralel: secundarul C_1 și D_3 și secundarul D_1 și C_2 . Pe fiecare cale se aplică tensiunea $2U$ (U din secundar și U de la bornele condensatoarelor C_1 și C_2 și astfel C se va încărca la tensiunea $2U$).

Într-o nouă alternanță C_1 și C_2 se vor încărca la

$$U_{C1,2} = \frac{2U + U}{2} = U + \frac{U}{2}.$$

Într-a cincea semiperioadă C se încarcă din nou pe cele două căi cu o tensiune

$$U_C = U + \left(U + \frac{U}{2} \right) = 2U + \frac{U}{2}.$$

Într-a șasea semiperioadă C_1 și C_2 vor primi

$$U_{C1,2} = \frac{U + 2U + \frac{U}{2}}{2} = U + \frac{U}{2} + \frac{U}{4};$$

apoi C va primi tensiunea

$$U_C = U + U + \frac{U}{2} + \frac{U}{4} = U + U \left[1 + \frac{1}{2} + \frac{1}{4} + \dots \right].$$

Se observă că seria

$$\left[1 + \frac{1}{2} + \frac{1}{4} + \dots \right]$$

reprezintă o progresie geometrică cu primul termen $a = 1$ și cu rația $q = \frac{1}{2}$. Aceasta are o sumă a termenilor egală cu

$$S = \frac{a}{1 - q} = \frac{1}{1 - \frac{1}{2}} = 2.$$

Se observă că după mai multe cicluri tensiunea la bornele condensatorului C ajunge la valoarea

$$U_c = U + 2U = 3U,$$

iar condensatoarele C_1 și C_2 se vor încărca fiecare la tensiunea

$$U_{c1} = U_{c2} = 2U.$$

Raționamentul este valabil pentru cazul cînd sarcina acestui redresor, multiplicator de tensiune, este foarte mică în sensul că R_s este foarte mare și se absoarbe curent mic. Condensatoarele nu se descarcă decît foarte puțin între cicluri și diodele conduc numai în vecinătatea valorilor maxime ale sinusoidelor.

10.27. Dacă tensiunea aplicată schemei este de tipul celei din figura 10.22R, aceasta este nesimetrică, avînd $U_i \neq U_a$.

Principiul de funcționare rămîne același, numai că tensiunile de încărcare a condensatoarelor C și C_1 sau C_2 vor fi succesiv :

pentru C

$$U_i; U_i \oplus \frac{U_i + U_a}{2}; U_i \oplus \frac{U_i + U_a}{2} \oplus \frac{U_i + U_a}{4} \text{ etc.},$$

respectiv

$$U_i; U_i \oplus \frac{U_i}{2} \oplus \frac{U_a}{2}; U_i \oplus \frac{U_i}{2} \oplus \frac{U_i}{4} \oplus \frac{U_a}{2} \oplus \frac{U_a}{4} \text{ etc.};$$

pentru C_1 respectiv C_2 , tensiunile $U_{c1} = U_{c2}$ vor lua valorile :

$$\frac{U_i + U_a}{2}; \frac{U_i + U_a}{2} \oplus \frac{U_i + U_a}{4} \text{ etc.};$$

respectiv

$$\frac{U_i}{2} \oplus \frac{U_a}{2}; \frac{U_i}{2} \oplus \frac{U_i}{4} \oplus \frac{U_a}{2} \oplus \frac{U_a}{4} \text{ etc.};$$

Ca și în problema precedentă, se observă că tensiunile sînt date de niște progresii geometrice

$$U_c = U_i \oplus \frac{U_i}{2} \oplus \frac{U_i}{4} \oplus \dots \oplus \frac{U_a}{2} \oplus \frac{U_a}{4} \oplus \dots$$

Tensiunea la care se ajunge după multe cicluri de funcționare va fi suma progresiilor

$$U_c = U_i \left[1 \oplus \frac{1}{2} \oplus \frac{1}{4} \oplus \frac{1}{8} \oplus \dots \right] \oplus U_a \left[\frac{1}{2} \oplus \frac{1}{4} \oplus \dots \right],$$

deci

$$U_c = 2U_i \oplus U_a;$$

Ținînd seama de problema 10.22, se obține

$$U_c = U_i \left[2 \oplus \frac{U_a}{U_i} \right] = U_i \left[2 \oplus \frac{1}{\gamma} \right].$$

Pentru $p \cong 18\%$ rezultă $\gamma \cong 7$, deci în acest caz tensiunea finală la care se încarcă C va fi

$$U_c = 2,14 U_i \cong 2 U_i.$$

Deci deși schema este de triplare (în regim sinusoidal), în cazul redresorului *FIT* folosit în *TV* pornind de la baleiajul H se obține doar o dublare.

Tensiunile pe condensatoarele C_1 și C_2 vor fi:

$$U_{C1} = U_{C2} = U_i \left[\frac{1}{2} + \frac{1}{4} + \frac{1}{8} + \dots \right] + U_a \left[\frac{1}{2} + \frac{1}{4} + \dots \right];$$

$$U_{C1} = U_{C2} = U_i + U_a = U_i \left[1 + \frac{U_a}{U_i} \right] = U_i \left(1 + \frac{1}{\gamma} \right);$$

$$U_{C1} = U_c \cong U_i.$$

Dacă se dorește să se obțină triplare, vor trebui puse cinci diode și patru condensatoare C_1 , C_2 , C_3 , C_4 .

Refăcînd raționamentul în mod analog, se ajunge după multe cicluri de funcționare la o tensiune

$$U_c = U_i \left[3 + \frac{2}{\gamma} \right] \cong 3,28 U_i.$$

10.28. Se consideră un redresor *FIT* clasic care redresează aceeași tensiune ca și unul cu două diode de separare montate între cele trei înfășurări secundare secționare, cu raport de transformare n .

Situațiile sînt reprezentate schematic în figurile 10.28R, *a* și 10.28R, *b*.

S-a considerat pentru simplificare că transformatorul simplu are un raport de transformare $3n$ dat de cele trei înfășurări dispuse în serie.

Prin C_1 s-a notat capacitatea parazită proprie a fiecărei înfășurări, iar prin C_2 cea a înfășurării față de masă.

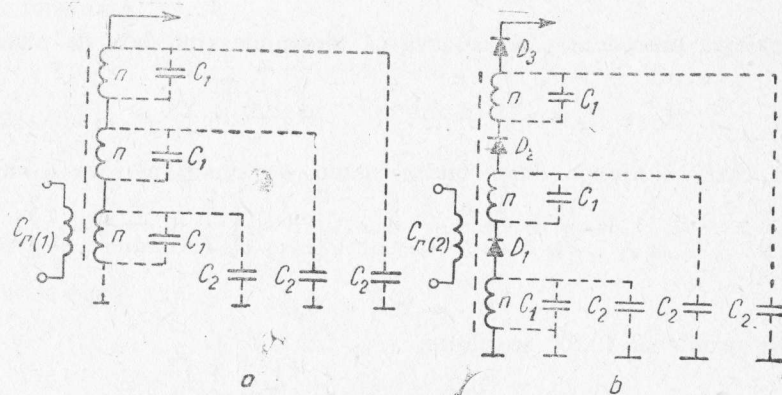


Fig. 10.28R

Pentru primul transformator (1) capacitățile raportate vor fi :

$$C_{1r(1)} = \frac{1}{3} C_1 (3n)^2 = 3n^2 C_1 ;$$

$$C_{2r(1)} = n^2 C_2 + (2n)^2 C_2 + (3n)^2 C_2 = 14n^2 C_2 ;$$

Pentru transformatorul secționat (2) vor apărea, în paralel în primar, trei capacități reflectate de fiecare înfășurare, egale cu $n^2 C_1$. Deci

$$C_{1r(2)} = 3n^2 C_1 ,$$

adică același lucru ca în cazul transformatorului de *FIT* obișnuit.

Dar capacitățile parazite față de masă vor fi raportate în același mod din cauza separării. Prin urmare

$$C_{2r(2)} = 3n^2 C_2 .$$

Deci în cazul (2) capacitatea raportată este numai $3/14 \cong 20\%$ din cazul obișnuit. Astfel, acest transformator avînd C_r mai mic permite un acord pe o armonică superioară, care are ca efect micșorarea rezistenței interne a redresorului și deci îmbunătățirea caracteristicii externe.

10.29. În general, la un redresor rezistența internă echivalentă depinde de unghiul de conducție a diodei.

Dacă R_s este rezistența secundarului și R_d este rezistența diodei, atunci la redresorul monoalternanță cu filtru cu intrare pe condensator de valoare mare

$$R_{tech} \cong \frac{\pi}{\theta} (R_s + R_d) .$$

Cu cît θ este mai mic, cu atît rezistența internă echivalentă este mai mare, deci caracteristica externă a redresorului este mai căzătoare.

La redresoarele pentru *FIT* este bine să se asigure o rezistență internă de circa $1,5 \text{ M}\Omega$ pentru ca la consumul impus de cinescop (curentul de fascicul) tensiunea U_a , deci dimensiunea și luminanța imaginii, să nu varieze.

Prin acordarea transformatorului pe o armonică superioară, a noua în cazul transformatoarelor noi, se obține un puls de curent deformat, de lățime cît mai apropiată de T_{IB} . Astfel unghiul de conducție crește și scade R_{tech} .

La acordul pe armonica a treia pulsul este îngust, chiar mai îngust decît fără acord (realizat pentru reducerea tensiunii U_{OFImv} și creșterea U_{FIT}) și rezistența este de ordinul $3-4 \text{ M}\Omega$.

● Baleiajul vertical

Pentru un cinescop de 31 cm cu unghi maxim de deflexie de 110° , puterea medie de deflexie este $P_{mD} = 0,43 \text{ W}$.

Din relația

$$P_{mD} = R_v \left(\frac{I_{v0}}{\sqrt{12}} \right)^2$$

se scoate

$$I_{vv} = \sqrt{\frac{12 P_{mD}}{R_v}} \cong 0,6 A_{vv}$$

Înlocuind valorile se găsește $I_{vv} \cong 0,6 A_{vv}$. Tensiunea inversă pentru tranzistoarele finale este dată de căderea de tensiune pe bobină în timpul cursei inverse, la care se adaugă căderea de tensiune pe rezistență

$$U_{inv} = L_v \frac{di_v}{dt} + R_v i_v$$

Expresia

$$\frac{di_v}{dt} = \frac{I_{vv}}{T_{iv}}$$

reprezintă variația de curent totală I_{vv} pe timpul întoarcerii pe verticală T_{iv} , egală cu circa 1 ms.

Deci

$$U_{inv} = 30 \cdot 10^{-6} \frac{0,6}{1 \cdot 10^{-3}} + 16 \times 0,6 = 18 + 9,6 = 27,6 V.$$

Puterea medie se găsește în modul următor. Energia necesară pentru deflexie se determină din relația (5) din breviar pentru unghiul φ_v . Această energie implică o putere reactivă, care este $P_m = W_{mv} f_v$.

Energia este asigurată de curentul I_{vv} dat de etajul final într-o inductanță convenabilă L_v , conform relației (7). Bobinele L_v au însă comportament practic rezistiv la frecvența f_v și rezistența lor este

$$R_v [\Omega] \cong 0,5 L_v [mH].$$

Etajul final va trebui să dea o putere activă utilă P_{mD} în bobină, care asigură curentul I_{vv} . Aceasta dă energia necesară W_{mv} în bobinele L_v și astfel se asigură deflexia.

10.31. Există în general două tipuri de scheme de baleiaj vertical, între oscilator și bobinele de deflexie, din punctul de vedere al sensului curentului. Unele lucrează cu curent descrescător la ieșire, altele cu curent crescător.

Dacă se examinează aceste scheme, de exemplu cea dintr-un televizor cu 2 Cl, se vede că conține după oscilator un circuit de formare a dintelui, apoi un etaj inversor, încă un etaj de excitație a tranzistoarelor finale care mai inversează odată și, în fine, etajul final cu două tranzistoare complementare care este format din două repetitoare care conduc pe rînd în cele două umătăți ale cursei directe. Acestea nu mai inversează.

Din punctul de vedere al dintelui, acesta, respectiv dintele de curent injectat de tranzistoarele finale în bobine (ca și tensiunea la bornele bobinei) este în fază cu dintele de tensiune de la intrarea primului tranzistor care constituie etajul premergător celui de excitație. Acest tranzistor are două intrări, una inversoare în raport cu colectorul (baza), care este ieșirea sa și alta neinversoare (emitorul),

Ținând cont de cele două inversări în prefinal și în preamplificator, intrarea (baza) preamplificatorului este intrare neînversoare în raport cu ieșirea etajelor finale, iar emitorul este intrare înversoare.

Se poate simboliza acest grup de trei etaje cu simbolul AO cu cele două intrări (+) și (−) și o ieșire.

Dintele se aplică la intrarea neînversoare.

Dacă se urmărește schema se observă că de la ieșire există o legătură printr-o rezistență la emitorul preamplificatorului. Aceasta este o legătură de reacție negativă în curent continuu, deoarece nu are condensator de cuplaj și se aplică pe intrarea înversoare. Rolul său este de a stabiliza PSF-ul. Tot acolo se aplică o tensiune printr-un condensator, luată de pe rezistența de $R_r \leq 1 \Omega$ montată în serie cu bobinele. Aceasta este rezistența traductor de curent, folosită întâi pentru această reacție negativă în curent alternativ. Rolul său este de a reduce distorsiunile neliniare și a reduce impedanța dinamică de ieșire.

Dar de la R_r se mai ia o tensiune care se aplică printr-o rețea de integrare (PC_2) la intrarea neînversoare. Această tensiune se adună la tensiunea sub formă de dinte obținută prin grupul RC_1 . Ea se folosește pentru corecția formei curentului de ieșire — liniară în centru și sub formă de „S” la capete.

Dacă se consideră grupul pentru generarea TLV (tensiune liniar variabilă) cu rezistența legată la tensiunea de alimentare și condensatoarele la masă, rezultă schema echivalentă din figura 10.31R. Bobinele sînt și ele la masă prin R_r , iar curentul prin bobine, ca și tensiunea de intrare, sînt crescătoare.

Dacă ne referim la schema reală dintr-un televizor cu 2 CI, atunci grupul pentru TLV are condensatorul la alimentare și rezistența la masă. Bobinele sînt și ele legate la plus. Schema principală generală rămîne aceeași cu modificările menționate. Se schimbă doar sensul de variație a tensiunii de intrare în raport cu masa și cel al curentului prin bobină, care vor fi descrescătoare.

10.32. Tensiunea obținută cu un grup RC comutat periodic de oscilatorul de baleiaj V nu este în realitate o tensiune liniar variabilă, ci o exponențială în care intervine τ , constanta de timp a circuitului, cu expresia :

$$u_{C1} = A \left(1 - e^{-\frac{t}{\tau}} \right)$$

Pentru simplificare să considerăm $A = 1$.

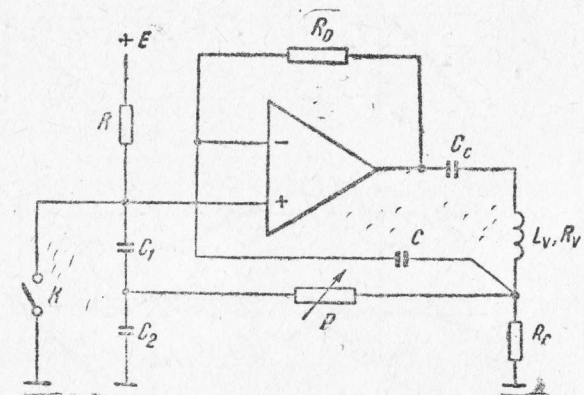


Fig. 10.31R

Ținând seama că funcția e^{-x} se poate aproxima cu o funcție polinomială de tipul

$$e^{-x} = 1 - x + \frac{x^2}{2!} - \frac{x^3}{3!} + \dots$$

și că pentru $x \ll 1$ respectiv $t \ll \tau$ aproximația este corectă dacă se rețin numai primii doi termeni, tensiunea devine

$$u_{C1} = \left(1 - 1 + \frac{t}{\tau} - \frac{1}{2!} \cdot \frac{t^2}{\tau^2} \right) = \frac{t}{\tau} - \frac{1}{2!} \cdot \frac{t^2}{\tau^2}$$

Prin urmare se poate considera că grupul de formare RC_1 ($C_1 \ll C_2$, deci contează numai C_1) dă o tensiune liniară însumată cu o parabolă cu concavitatea în jos, așa cum se vede în figura 10.32R, a.

Această tensiune ajunge la ieșire și curentul i_V va avea aceeași formă.

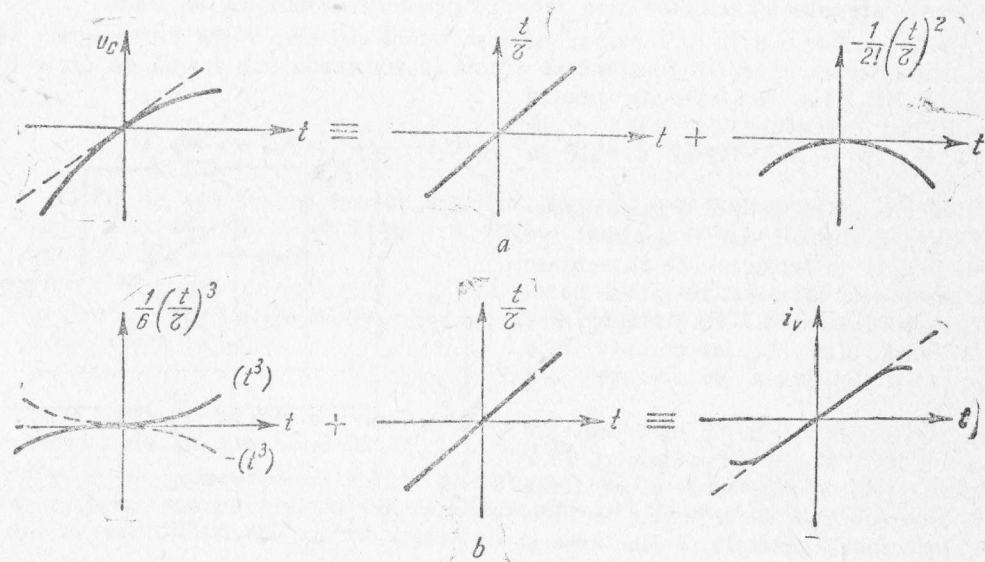


Fig. 10.32R

De la bornele rezistenței R , se preia o tensiune u_r proporțională cu curentul: $u_r = R \cdot i_V$. Aceasta se integrează în grupul PC_2 .

Tensiunea de la bornele condensatorului C_2 care se însumează cu u_{C1} va fi deci

$$u_{C2} = \int_0^t \left(\frac{t}{\tau} - \frac{t^2}{2! \tau^2} \right) dt = \frac{t^2}{2\tau^2} - \frac{1}{6} \cdot \frac{t^3}{\tau^3}$$

Va apărea aşadar o tensiune formată dintr-un termen parabolic şi unul de gradul trei. Parabola avînd concavitatea în sus, compensează termenul pătratic al tensiunii exponenţiale iar termenul de gradul trei adunîndu-se cu cel liniar variabil (termenul în t/τ) va da un curent în formă de „S” ca în figura 10.32R, b.

Tensiunea de intrare, ca şi curentul prin bobină, vor fi de forma

$$u_V = At - Bt^3.$$

10.33. Tensiunea şi curentul din bobina de deflexie sînt reprezentate în figura 10.33R.

La blocarea tranzistoarelor T_2 şi T_3 , odată cu începerea întoarcerii pe verticală, tensiunea care apare pe bazele lor este de circa 0 V.

Circuitul bobinelor rămîne nealimentat, dar în inductanţa bobinelor este acumulată o energie care va da naştere la oscilaţii în circuitul format din bobine şi capacitatea parazită a montajului (la ieşire).

Există tendinţa ca această primă alternanţă a oscilaţiilor să depăşească axa de zero în domeniul negativ.

Cînd tensiunea ajunge la circa $-0,6$ V tranzistorul T_3 se deschide, lucrînd în regiunea activă inversată cu $u_{BE} \cong 0$. După ce curentul a ajuns la zero, tensiunea existentă pe condensatorul C deschide tranzistorul T_3 (în conducţie directă) şi curentul îşi schimbă semnul.

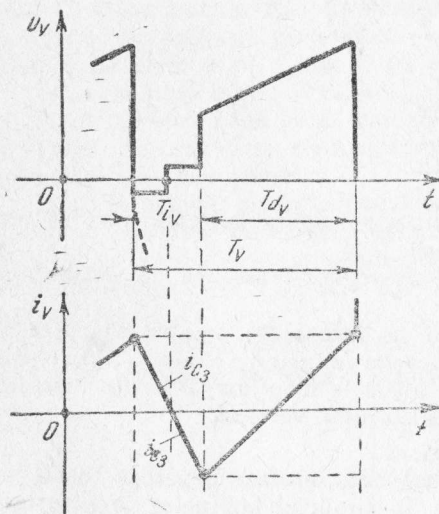


Fig 10.33R

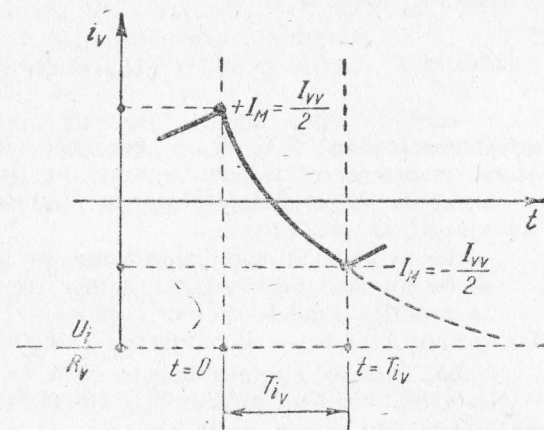


Fig 10.34R

Cînd curentul i_V ce trece prin T_3 ajunge la valoarea maximă negativă, se aplică pe bază impulsul de tensiune care pe prima jumătate a cursei directe aduce la saturaţie tranzistorul T_3 şi curentul scade liniar prin L_V , C descărcîndu-se.

10.34. Se consideră forma de undă din figura 10.34R, care arată variaţia curentului pe timpul întoarcerii. Dacă U_{iV} este tensiunea aplicată pe timpul întoarcerii, curentul tinde

să ajungă la tensiunea $-\frac{U_i}{R_v}$ după o lege exponențială, în circuitul $L_v R_v$ format avînd o constantă de timp $\tau_v = L_v / R_v$.

Curba curentului este dată de expresia

$$i_v(t) = i_i - (i_f - i_i)(1 - e^{-t/\tau_v}),$$

deci

$$i_v(t) = \frac{I_{vv}}{2} - \left(\frac{I_{vv}}{2} + \frac{U_{iv}}{R_v} \right) \left(1 - e^{-\frac{t}{\tau_v}} \right).$$

$$\text{La } t = T_{iv} \text{ avem } i_v(t) = -\frac{I_{vv}}{2}.$$

Prin urmare

$$-\frac{I_{vv}}{2} = \frac{I_{vv}}{2} - \left(\frac{I_{vv}}{2} + \frac{U_{iv}}{R_v} \right) \left(1 - e^{-\frac{T_{iv}}{\tau_v}} \right).$$

Rezultă că

$$\frac{I_{vv}}{2} \left(1 + e^{-\frac{T_{iv}}{\tau_v}} \right) = \frac{U_{iv}}{R_v} \left(1 - e^{-\frac{T_{iv}}{\tau_v}} \right).$$

Tensiunea necesară va fi

$$U_{iv} = R_v \frac{I_{vv}}{2} \cdot \frac{1 - e^{-\frac{T_{iv}}{\tau_v}}}{1 + e^{-\frac{T_{iv}}{\tau_v}}}.$$

Cunoscînd τ_v , T_{iv} , R_v și curentul vîrf la vîrf pentru a asigura deflexia, rezultă tensiunea necesară ce trebuie asigurată pe timpul întoarcerii.

Dacă, la valori date, tensiunea U_{iv} care se aplică (de regulă tensiunea de alimentare) nu ajunge, se caută:

- fie o schemă care să asigure un regim oscilant pe întoarcere, pentru a scurta-o;
- fie un mod de a mări tensiunea care se aplică bornelor numai pe timpul întoarcerii.

Se practică ambele metode: prima — de obicei în unele scheme cu elemente discrete, iar cea de-a doua — în circuitele integrate dedicate balcizajului vertical.

10.35. Schema circuitului este dată în figura 10.35R, a.

La sfîrșitul cursei directe T_{dv} ambele tranzistoare finale sînt blocate deoarece tensiunea pe bazele lor ajunge egală cu zero. În acest moment, în circuitul bobinelor în care este acumulată energia $W_m = \frac{1}{2} L_v I_{vM}^2$ apar oscilații datorită capacității parazite.

În prima semialternanță crește tensiunea pe emitorul tranzistoarelor și tranzistorul T_1 începe să conducă în sens invers. Regimul său — saturația inversată sau *RAI* cu străpungere sau fără — depinde de curentul injectat în bază. În acest moment condensatorul C din paralel cu dioda D (care nu poate conduce) intervine în serie cu condensatorul de cu-

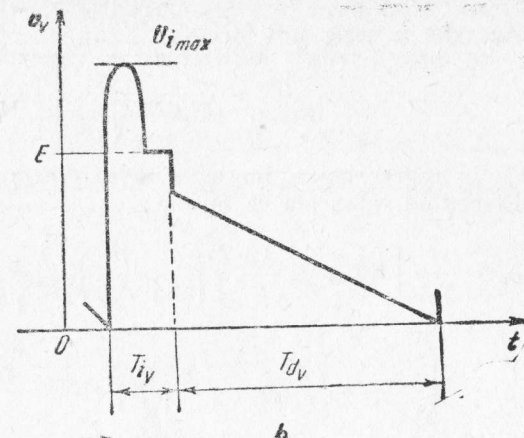
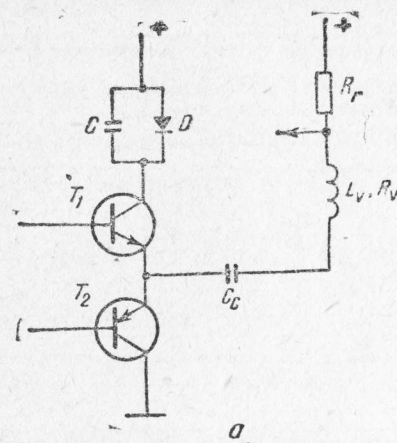


Fig. 10.35R

plaj C_c și cu bobina L_v . În circuitul rezonant serie astfel format se descrie o primă semi-perioadă de oscilații pe seama energiei care a fost acumulată în bobină. Frecvența este dictată de elementele L_v și C ($C \ll C_c$).

În acest timp curentul $i_v = i_{C1}$ crește pînă la zero, de la valoarea $-I_{VM}$ avută, și continuă să crească pînă la o valoare pozitivă $I_v^+ < I_{VM}$ din cauza pierderilor.

După trecerea prin zero curentul prin tranzistorul T_1 își schimbă semnul. Tranzistorul începe să conducă direct.

După o primă semialternanță urmează a doua. Dar acum dioda, avînd tensiunea negativă pe catod, se deschide. Regimul oscilant se termină și tranzistorul T_1 fiind în conducție directă curentul $i_{C1} = i_{v1}$ crește exponențial pînă la valoarea $+I_{VM}$. Creșterea are loc în circuitul format de L_v , R_v , R_r , T_1 și condensatorul C_c , pe seama tensiunii existente la bornele lui C_c .

Forma de undă rezultată este reprezentată în figura 10.35R, b.

10.36. Curentul va avea o variație liniară descrescătoare, deci

$$i(t) = I_M \left(1 - \frac{2t}{T_{dv}} \right).$$

Tensiunea la bornele sarcinii formate din condensatorul de cuplaj C_c și bobina L_v , R_v , va fi

$$u(t) = R_v i(t) + L_v \frac{di(t)}{dt} + \frac{1}{C_c} \int_0^t i(t) dt + K.$$

Constanta de integrare se determină astfel ca valoarea medie a tensiunii variabile la bornele condensatorului pe timpul cursei directe T_{dv} să fie nulă.

Aceasta se scrie sub forma

$$\tilde{U}_{ce} = \frac{1}{T_{av}} \int_0^{T_{av}} \left[K + \frac{1}{C_c} \int_0^t i_d l \right] dt = 0,$$

adică, în reprezentare, lucrurile să se prezinte ca în figura 10.36R, a.

Efectuind integrala se obține:

$$\tilde{U}_{ce} = \frac{1}{T_{av}} \left[K T_{av} + \frac{I_M}{C} \int_0^{T_{av}} \left(t - \frac{t^2}{T_{av}} \right) dt \right] = K + \frac{I_M}{C T_{av}} \left(\frac{t^2}{2} - \frac{t^3}{3 T_{av}} \right) \Big|_0^{T_{av}} = K + \frac{I_M T_{av}}{6 C_c} = 0,$$

deci

$$K = - \frac{I_M T_{av}}{6 C_c}.$$

Tensiunea pe timpul deflexiei va fi

$$u(t) = R_v I_M \left(1 - \frac{2t}{T_{av}} \right) + \frac{2 I_M L_v}{T_{av}} - \frac{I_M T_{av}}{4 C_c} \left(1 - \frac{2t}{T_{av}} \right)^2 + \frac{I_M T_{av}}{12 C_c}$$

Valoarea minimă pe care o poate lua tensiunea în punctul A este cea pentru care $t = T_{av}$:

$$U_{Amin} = u|_{t=T_{av}} + u_{BE2max} + u_{CE T_0};$$

Tensiunile sînt considerate astfel:

$$u_{BE2max} \text{ pentru } I_{C2} = I_M;$$

$$u_{CE T_0} \text{ pentru } I_{C0} = \frac{I_M}{\beta_2}.$$

Pentru simplificare se notează

$$U_0 = u_{BE2max} + u_{CE T_0};$$

atunci

$$u_{Amin} = U_0 + I_M \left(R_v + 2 \frac{L_v}{T_{av}} \right) + \frac{I_M T_{av}}{6 C_c}.$$

Reprezentările grafice sînt date în figura 10.36R, b.

Se observă că pe prima parte a cursei inverse tensiunea u_A depășește valoarea celei de alimentare, E . Astfel tranzistorul T_1 poate fi pus în

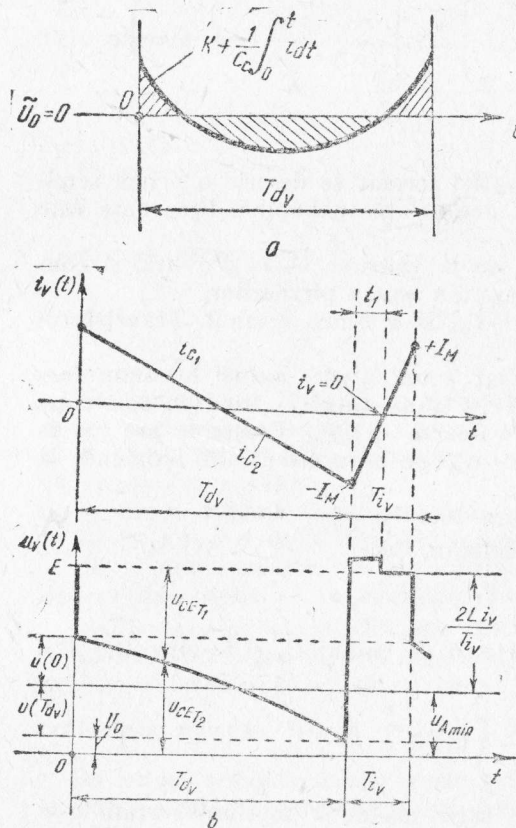


Fig. 10.36R

conducție inversă. Supratensiunea apare ca urmare a oscilațiilor libere, care nu pot depăși însă tensiunea $u_{CE T1} + E$.

Întoarcerea este asigurată de tranzistorul T_1 și s-a presupus liniară.

Pentru a determina durata t_1 se consideră pe întoarcere circuitul L_V , R_V cu $\tau_V = L_V/R_V$, în serie cu sursa $E - u_A$, i_V tinzînd la valoarea $\frac{E - u_A}{R_V}$. Se scrie că pe întoarcere se pleacă de la $i_i = -I_M$:

$$i_V(t) = i_i + (i_f - i_i) \left(1 - e^{-\frac{t}{\tau_V}}\right).$$

Înlocuind:

$$i_V(t) = -I_M + \left(\frac{E - u_A}{R_V} + I_M\right) \left(1 - e^{-\frac{t}{\tau_V}}\right)$$

pentru $t = t_1$, $i_V(t) = 0$.

Înlocuind, după transformări se găsește că

$$t_1 = 2,3 \tau_V \log \left(1 + \frac{I_M R_V}{E - u_A}\right).$$

Pentru partea a doua a cursei de întoarcere, neglijînd efectul lui C_K , ca și rezistența tranzistorului, curentul va varia după legea (pornind de la $i_V(t) = 0$):

$$i_V(t) = \frac{E - u_A}{R_V} \left(1 - e^{-\frac{(t-t_1)}{\tau_V}}\right).$$

Ținînd cont că la $t = T_{iV}$, $i(T_{iV}) = I_M$, dacă considerăm că

$$\tau_V \gg T_{iV} - t_1$$

se găsește că

$$I_M = \frac{E - u_A}{R_V} (T_{iV} - t_1).$$

Dacă se admite o creștere cvasiliniară a curentului — și pe întoarcere — se poate spune că

$$T_{iV} - t_1 \cong \frac{T_{iV}}{2}$$

și se obține durata întoarcerii

$$T_{iV} = \frac{2I_V I_M}{E - u_A}.$$

10.37. Puterea instantanee disipată de fiecare tranzistor va fi produsul dintre curentul de colector i_C și tensiunea u_{CE} , considerînd că tranzistoarele lucrează în clasă B și că curentul este liniar.

Ținând seama de reprezentarea din figura 10.36R, b și de faptul că $i_c(t) = i_v(t) = i$,

$$\begin{cases} p_1 = i[E - u_A - u(t)] \text{ pentru } 0 \leq t \leq \frac{T_{av}}{2}; \\ p_2 = -i[u_A + u(t)] \text{ pentru } \frac{T_{av}}{2} \leq t \leq T_{av}. \end{cases}$$

Făcînd înlocuirile rezultă (v. problema 10.36)

$$\begin{cases} p_1 = I_M \left(1 - \frac{2t}{T_{av}}\right) \left[E - U_0 - 2R_v I_M + \left(\frac{2R_v}{T_{av}} - \frac{1}{C_e}\right) I_M t + \frac{I_M t^2}{T_{av} C_e} \right]; \\ p_2 = I_M \left(1 - \frac{2t}{T_{av}}\right) \left[-U_0 - 2R_v I_M + \left(\frac{2R_v}{T_{av}} - \frac{1}{C_e}\right) I_M t + \frac{I_M t^2}{T_{av} C_e} \right]. \end{cases}$$

Valorile medii pe intervalul de timp de conducție ale fiecăruia dintre tranzistoare vor fi

$$P_1 = \frac{1}{T_{av}/2} \int_0^{T_{av}/2} p_1 dt = \frac{I_M}{2} (E - U_0) - \frac{5I_M^2 R_v}{6} - \frac{I_M^2 T_{av}}{16C_e}$$

și

$$P_2 = \frac{1}{T_{av}/2} \int_{\frac{T_{av}}{2}}^{T_{av}} p_2 dt = \frac{I_M}{2} U_0 + \frac{R_v I_M^2}{6} + \frac{I_M^2 T_{av}}{16C_e}$$

Se observă că în funcție numai de C_e , cu scăderea sa, crește P_2 și scade P_1 .

Efectul capacității C_e se poate neglija dacă este satisfăcută condiția ca termenul $\frac{I_M^2 T_{av}}{16C_e}$ să

fie mai mic decît cel mai mic dintre termenii $\frac{I_M U_0}{2}$ și $\frac{R_v I_M^2}{6}$.

Aceasta înseamnă că

$$C_e \gg \begin{cases} \frac{3}{8} \cdot \frac{T_{av}}{R_v}; \\ \frac{I_M}{8} \cdot \frac{T_{av}}{U_0}. \end{cases}$$

În aceste condiții expresiile găsite anterior devin

$$\begin{aligned} u_A &= U_0 + I_M \left(R_v + \frac{2I_v}{T_{av}} \right); \\ p_1 &= I_M \left(1 - \frac{2t}{T_{av}} \right) \left[E - U_0 + 2R_v I_M \left(1 - \frac{t}{T_{av}} \right) \right]; \\ p_2 &= -I_M \left(1 - \frac{2t}{T_{av}} \right) \left[U_0 + 2R_v I_M \left(1 - \frac{t}{T_{av}} \right) \right] \end{aligned}$$

și

$$\begin{cases} P_1 = \frac{1}{2} I_M (E - U_0) - \frac{5}{6} I_M^2 R_V; \\ P_2 = \frac{1}{2} I_M U_0 + \frac{1}{6} R_V I_M^2. \end{cases}$$

Dacă considerăm puterile medii disipate pe întreaga durată a cursei directe de fiecare tranzistor, se obține

$$P_{1V} = \frac{1}{2} P_1 = \frac{1}{4} I_M (E - U_0) - \frac{5}{12} R_V I_M^2;$$

$$P_{2V} = \frac{1}{2} P_2 = \frac{1}{4} I_M U_0 + \frac{1}{12} R_V I_M^2.$$

10.38. Perioada T_0 se compune din două intervale de timp: t_a , cît conduce tranzistorul T_2 și t_b , cît conduce T_1 , T_2 fiind blocat.

Primul interval de timp se găsește considerînd timpul în care condensatorul C se încarcă de la sursă prin R_{C1} și C și joncțiunea BE a tranzistorului T_2 .

Cînd tensiunea la bornele sale ajunge la o valoare mai mare decît $(0,9 - 0,95)E$, curentul prin condensatorul C scade mult, T_2 iese din saturație și CBA basculează din starea inițială cu T_1 blocat și T_2 în conducție, în starea cealaltă cu T_1 în conducție și T_2 blocat.

Considerînd un circuit cu $\tau_1 = R_{C1}C$ în serie cu sursa E , timpul în care tensiunea la borne

$$u_C = E \left(1 - e^{-\frac{t}{\tau_1}} \right)$$

ajunge la o valoare egală cu 95% E se poate deduce din relația

$$0,95 = \left(1 - e^{-\frac{t_{95}}{\tau_1}} \right).$$

După transformări se ajunge la

$$t_{95} = t_a = 2,3 \tau_1 \log 20 = 3 \tau_1.$$

Pentru intervalul celălalt se analizează forma tensiunii pe baza tranzistorului T_2 din figura 10.38R.

Se notează raportul tensiunilor de emitor și de alimentare cu η :

$$\eta = \frac{R_E}{R_{C1} + R_E}.$$

Se scrie relația generală care dă variația de tensiune pe bază

$$u(t) = u_{BE2}(t) = U_i - (U_f - U_i) \left(1 - e^{-\frac{t}{\tau_2}} \right),$$

în care $\tau_2 = R_{B2}C$.

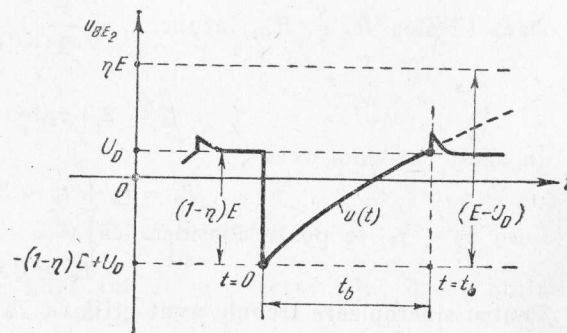


Fig. 10.38R

Înlocuind cu valorile de pe diagramă

$$u(t) = -(1 - \eta)E + U_D + (E - U_D)\left(1 - e^{-\frac{t}{\tau_2}}\right).$$

Pentru $t = t_b$, $u(t) = U_D$.

Făcînd înlocuirile

$$U_D = -E + \eta E + U_D + (E - U_D)\left(1 - e^{-\frac{t_b}{\tau_2}}\right).$$

Dezvoltînd se ajunge la

$$\eta E - U_D = (E - U_D)e^{-\frac{t_b}{\tau_2}}$$

sau

$$e^{\frac{t_b}{\tau_2}} = \frac{E - U_D}{\eta E - U_D},$$

de unde prin logaritmare se obține

$$t_b = \tau_2 \ln \frac{E - U_D}{\eta E - U_D} = 2,3 \tau_2 \log \frac{E - U_D}{\eta E - U_D}.$$

Perioada va fi

$$T_0 = t_a + t_b.$$

În general se poate neglija U_D , deoarece

$$E \gg U_D \text{ și } \eta E \gg U_D.$$

Prin urmare

$$t_b = 2,3 \tau_2 \log \frac{1}{\eta}.$$

Dacă se aleg $R_E = R_{C1}$, atunci $\eta = \frac{1}{2}$

și

$$t_b = 2,3 \tau_2 \log 2 = 0,69 \tau_2.$$

În acest caz vom avea

$$T_0 = t_a + t_b = 3 \tau_1 + 0,69 \tau_2.$$

Cum $\tau_1 \ll \tau_2$, se poate considera că

$$T_0 \cong 0,69 \tau_2.$$

Pentru sincronizare trebuie avut grijă ca T_0 să fie mai mare decît perioada impulsurilor de sincronizare T_V :

$$T_0 > T_V.$$

10.39. Formele de undă trasate în funcție de modul de funcționare descris sînt prezentate în figura 10.39R.

10.40. CBA prezentat în figura 10.40 este un circuit cu două tranzistoare complementare. În aceste condiții poate lucra cu ambele tranzistoare blocate sau saturate simultan, realizînd un consum redus de la sursă.

În curent continuu acesta este un amplificator cu două etaje cu reacție negativă prin care se asigură plasarea punctelor de funcționare în RAN, pentru a evita întreruperea accidentală a oscilațiilor.

Considerînd curenții de bază neglijabili, iar tensiunile directe pe joncțiunile BE ale tranzistoarelor cu siliciu, respectiv pe dioda D_1 , egale cu 0,6 V, căderea de tensiune pe rezistența R_6 va fi

$$U_{R5} = U_{R6} = \frac{R_5}{R_0 + R_5} (E - U_D).$$

Curentul de colector al tranzistorului T_1 produce pe R_1 o cădere de tensiune egală cu tensiunea directă U_{EB} a tranzistorului T_2

$$I_{C1} \cong \frac{U_{R6}}{R_6} - I_{C1} = \frac{R_5}{R_0 + R_5} \cdot \frac{E - U_D}{R_6} - \frac{U_D}{R_1}.$$

Căderea de tensiune pe rezistențele R_8 și R_9 se ia egală cu $(0,1 \div 0,2)E$, spre a asigura o tensiune colector-emitor suficient de mare pentru T_2 și astfel prin saturarea acestuia în timpul funcționării ca oscilator, un curent suficient de mare pentru încărcarea rapidă a condensatorului

$$(R_8 + R_9)I_{C2} \cong (0,1 \div 0,2)E,$$

ceea ce conduce la relația

$$\frac{R_5}{R_0 + R_5} \cong (0,1 \div 0,2) \frac{R_6}{R_8 + R_9},$$

respectiv

$$(R_8 + R_9) \cong (0,1 \div 0,2) \left(1 + \frac{R_0}{R_5}\right) R_6.$$

Prin conectarea condensatorului C_0 între baza lui T_1 și colectorul lui T_2 , se obține o reacție pozitivă.

Schema echivalentă în stare cvasistabilă cu ambele tranzistoare saturate este cea din figura 10.40R, a.

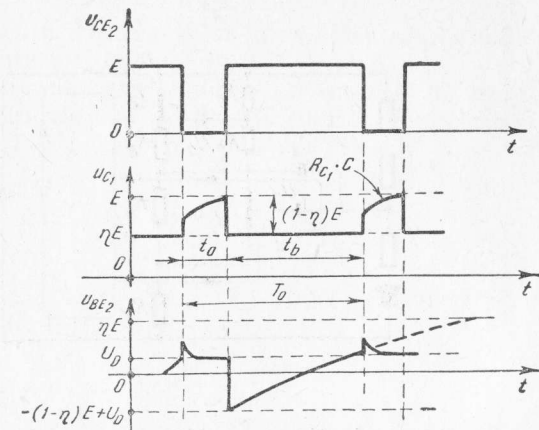


Fig. 10.39R

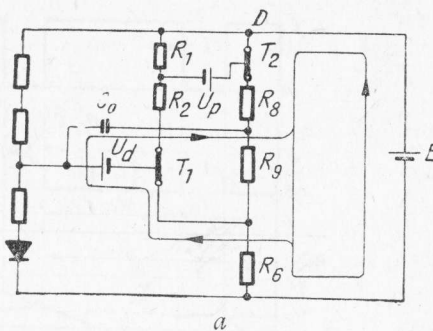


Fig. 10.40R

Constanta de timp τ_1 este

$$\tau_1 = C_0 \frac{R_9 \left(R_8 + \frac{R_2 R_6}{R_2 + R_6} \right)}{R_9 + R_8 + \frac{R_2 R_6}{R_2 + R_6}} \cong C_0 \frac{R_9 (R_8 + R_6)}{R_9 + R_8 + R_6}.$$

Curentul de încărcare scade exponențial spre zero, pornind de la valoarea inițială

$$I_{in} \cong \frac{E}{R_8 + R_6}.$$

Condițiile de saturare ale celor două tranzistoare sînt deduse din

$$I_{C1 \text{ sat min}} + \frac{U_D}{R_1} = \frac{I_{C2 \text{ sat max}}}{\beta_2} = I_{B2 \text{ sat max}},$$

de unde

$$I_{C2 \text{ sat max}} < \beta_2 \left(I_{C1 \text{ sat min}} - \frac{U_D}{R_1} \right).$$

Înlocuind, se obține

$$\frac{E}{R_6 + R_8} < \beta_2 \left(\frac{1}{R_2} \frac{R_8}{R_6 + R_8} \cdot E - \frac{U_D}{R_1} \right)$$

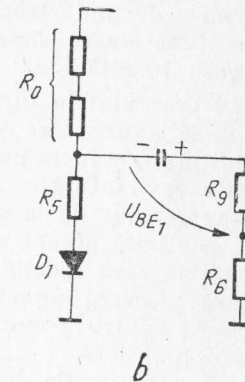
sau

$$\frac{E}{R_6 + R_8} < \beta_2 \frac{R_8}{R_6 + R_8} \cdot \frac{E}{R_2}.$$

În fine, condiția este

$$\beta_2 R_8 > R_2.$$

Schema echivalentă în starea cvasistabilă cu ambele tranzistoare blocate este cea din figura 10.40R, b.



10.41. Perioada de oscilație T_0 este compusă din duratele celor două stări evasistabile t_1 și t_2 pentru care s-au făcut schemele echivalente din figurile 10.40R a și b.

Circuitul se menține în starea cu ambele tranzistoare saturate un interval de timp t_1 în care curentul exponențial descrescător de încărcare al condensatorului este superior ca valoare curentului incipient de saturație al lui T_2 :

$$I_{B2 sat} = \frac{I_{C1}}{\beta_1},$$

adică

$$I_{initial} e^{-\frac{t}{\tau_1}} \geq \frac{R_8 + R_9}{R_6 + R_8 + R_9} \cdot \frac{E}{\beta_1 R_2}.$$

Înlocuind

$$I_{in} = \frac{E}{R_6 + R_8},$$

se găsește

$$t_1 \cong \tau_1 \ln \frac{\beta_1 R_2}{R_8 + R_9} \cong (5 \div 7) \tau_1.$$

Condensatorul tinde să se încarce către o tensiune finală egală cu

$$U_0 = U_{cfinal} = U_{R9} - U_D = \frac{R_9}{R_8 + R_6 + R_9} \cdot E - U_D.$$

În starea cu ambele tranzistoare blocate, condensatorul C_0 se descarcă prin rezistența R_0 și $R_9 + R_6$, dar

$$R_0 \gg R_9 + R_6$$

și constanta de timp τ_2 este atunci

$$\tau_2 \cong R_0 C_0.$$

Din diagrama din figura 10.41R se observă că

$$U_{initial} = -U_0;$$

$$U_{final} = +E.$$

Scriind direct relația care dă variația de tensiune la bornele condensatorului C_0 , respectiv pe baza lui T_1 , pentru situația $t = t_2$ când $u(t) = U_D$, se găsește

$$U_D = U_{in} + (U_f - U_{in}) (1 - e^{-\frac{t_2}{\tau}}).$$

După transformări succesive se obține

$$\frac{U_D - U_{in}}{U_f - U_{in}} = 1 - e^{-t_2/\tau_1}$$

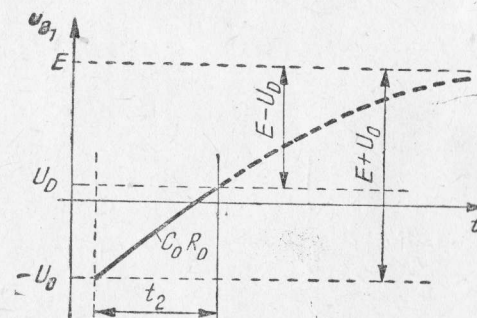


Fig. 10.41R

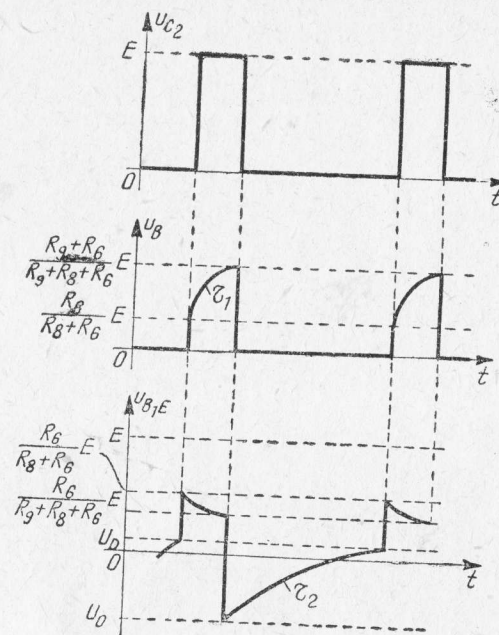


Fig. 10.42R

10.42. În figura 10.42R s-au reprezentat formele de tensiuni cerute. Se observă limitele de variație ale tensiunilor conform celor analizate în problemele 10.40 și 10.41 și influența celor două constante de timp asupra fronturilor și palierelor tensiunilor. În colectorul tranzistorului T_2 tensiunea are o formă corectă. De aici se ia semnalul de ieșire pentru formatorul TLV și blocul de amplificare de baleiaj V_2 .

și

$$e^{-\frac{t_i}{\tau_2}} = 1 - \frac{U_D - U_{in}}{U_f - U_{in}} = \frac{U_f - U_{in} - (U_D - U_{in})}{U_f - U_{in}};$$

sau

$$e^{\frac{t_2}{\tau}} = \frac{U_f - U_{in}}{(U_f - U_{in}) - (U_D - U_{in})},$$

din care rezultă :

$$t_2 = \tau_2 \ln \frac{E + U_0}{E - U_D} \cong 2,3 \tau_2 \log \left(1 + \frac{R_9}{R_8 + R_6 + R_9} \right).$$

Cu valorile folosite în schema reală rezultă

$$\tau_1 \cong 0,044 \text{ ms};$$

$$t_1 \cong 6 \cdot \tau_1 \cong 0,264 \text{ ms};$$

$$\tau_2 = 0,1 \text{ s};$$

$$t_2 = 0,2 \tau_2 \cong 0,020 \text{ s} = 20 \text{ ms}.$$

Se observă că starea de blocare este cea care durează aproape toată perioada de baleiaj vertical, deoarece

$$t_2 \geq t_1;$$

Perioada va fi deci

$$T_0 = t_1 + t_2 \cong t_2.$$

11. CIRCUITE DE ALIMENTARE

● Redresoare

11.1. Se obține forma de undă din figura 11.1R.

11.2. Se obține forma de undă din figura 11.2R.

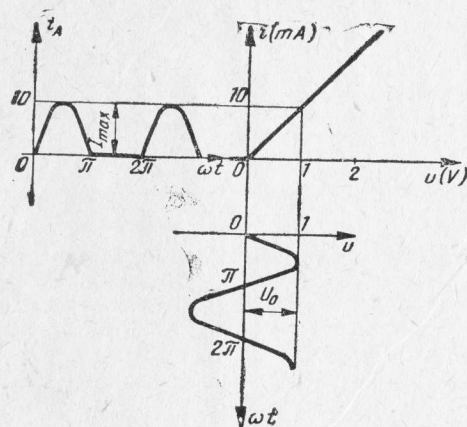


Fig. 11.1R

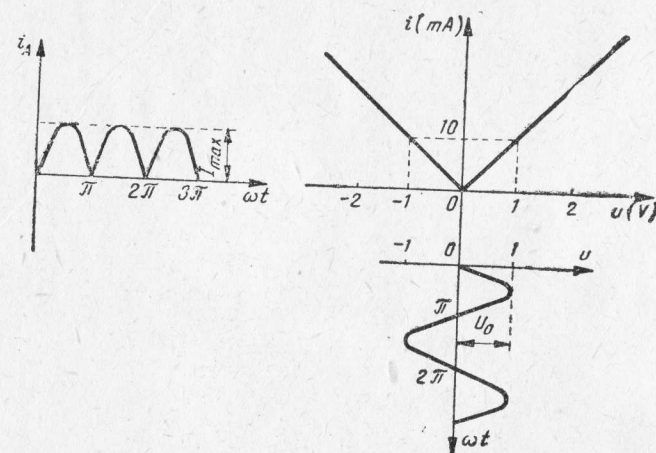


Fig. 11.2R

11.3. În acest caz, pentru $e_2 = E_2 \cos \omega t$,

$$\begin{cases} i = \frac{E_2 \cos \omega t - e_0}{R_s + R_f} & \text{pentru } e_2 > e_0; \\ i = 0 & \text{pentru } e_2 < e_0. \end{cases}$$

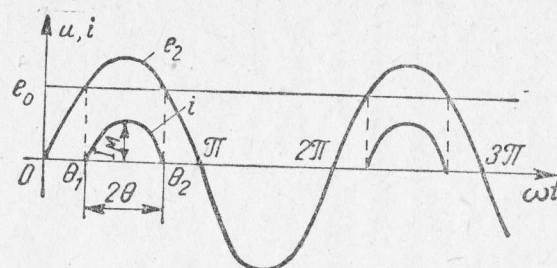


Fig. 11.3R

Dacă se notează cu 2θ unghiul de conducție, rezultă

$$\cos \theta = \frac{e_0}{E_2}.$$

Se obține

$$I_M = \frac{E_2 - e_0}{R_s + R_t};$$

$$I_0 \cong \frac{E_2}{\pi(R_t + R_s)} \sin \theta - \frac{e_0}{\pi(R_t + R_s)} 0;$$

$$U_{inv M} = E_2 + e_0.$$

Pentru datele problemei: $\cos \theta = 0,6 \rightarrow \theta \cong 53^\circ$; $I_M = 4 \text{ A}$; $I_0 \cong 1,067 \text{ A}$; $U_{inv M} = 16 \text{ V}$.

$$11.4. U_0 = \frac{U}{\pi}; U = \frac{R_s}{R_t + R_s} E_2; E_2 = nE_1 = 440 \text{ V};$$

$$R_t = R_i + r_2 + n^2 r_1; R_i = \frac{1}{S} = 500 \Omega; R_t = 565 \Omega.$$

$$\text{Rezultă } U = 370 \text{ V, iar } U_0 = 118 \text{ V}; I_{aM} = \frac{E_2}{R_t + R_s} = 123 \text{ mA}.$$

$$11.5. E_2 = \frac{e_0}{\cos \theta}; E_2 = \frac{12}{0,087} \cong 138 \text{ V. Rezultă } n = \frac{E_2}{E} = 0,627. \text{ Deoarece } \theta \cong \frac{\pi}{2}, \text{ se poate considera, fără să se facă o eroare prea mare, că}$$

$$I_0 \cong \frac{E_2}{\pi(R_t + R_s)} - \frac{e_0}{2(R_t + R_s)}; R_t \cong 35,93 \Omega.$$

$$\text{Rezultă: } I_0 \cong 70,8 \text{ mA}; U_0 = R_s I_0 = 35,4 \text{ V}; U_{inv M} = E_2 + e_0 = 150 \text{ V}.$$

$$11.6. I_0 = \frac{U_0}{R_s} = 50 \text{ mA}; I_0 = \frac{E_2}{\pi(R_t + R_s)} - \frac{e_0}{2(R_t + R_s)}; R_t = R_i;$$

$$E_2 = \frac{2\pi I_0(R_t + R_s) + e_0\pi}{2} \cong 181 \text{ V}.$$

$$\text{Rezultă } n = \frac{E_2}{E_1} \cong 0,82.$$

11.7. Puterea absorbită de circuitul de redresare de la sursa de curent alternativ este

$$P_a = \frac{1}{2\pi} \int_0^{2\pi} \frac{E_2^2 \sin^2 \omega t}{R_t + R_s} d(\omega t) = \frac{E_2^2}{4(R_t + R_s)}.$$

Puterea de curent continuu debitată în sarcină este $P_u = \frac{U_0^2}{R_s} = \frac{E_2^2 R_s}{\pi^2 (R_t + R_s)^2}$; rezultă randamentul redresării $\eta = \frac{P_u}{P_a} = 0,405 \frac{1}{1 + \frac{R_t}{R_s}}$; în cazul ideal $R_t = 0$ și $\eta = 40,5\%$;

11.8. Pe durata impulsului $(0, t_1)$ condensatorul C se încarcă, iar pe durata $t_1 - t_2$ se descarcă pe rezistența de sarcină R_s .

Constanta de timp de încărcare $\tau_c = \frac{RR_s}{R + R_s} C \cong 74 \mu s$; deoarece $\frac{T}{2} > 3 \tau_c$, condensatorul se va încărca aproximativ pînă la valoarea de vîrf a tensiunii aplicate.

Constanta de timp de descărcare $\tau_d = R_s C = 5 \text{ ms}$; deoarece $\tau_d \gg \frac{T}{2}$ se poate considera că, condensatorul se va descărca foarte puțin. Rezultă $U_0 \cong 79 \text{ V}$.

11.9. $E_2 = \frac{U_0}{\cos \theta} = 400 \text{ V}$, deci $n = \frac{E_2}{E_1} \cong 1,82$. Din graficul prezentat în figura 11.3 rezultă pentru $\theta = 60^\circ$:

$$F_1(\theta) = \operatorname{tg} \theta - \theta = \frac{\pi R_t}{R_s} \cong 0,64; R_t = R_t \text{ și se obține } R_s \cong 1,473 \text{ k}\Omega; I_0 = \frac{U_0}{R_s} = 136 \text{ mA};$$

$$\gamma = \frac{\pi - \theta}{2\pi f C R_s} \cong 18\%; U_{inv M} = E_2 + U_0 = 600 \text{ V}.$$

$$\textbf{11.10. } E_2 = n E_1 = 220 \text{ V}; U_0 \cong E_2 \cos \theta; F_1(\theta) = \operatorname{tg} \theta - \theta = \frac{\pi R_t}{R_s}; R_t = R_t + r_2 + n^2 r_1 =$$

$$= 80 \Omega; F_1(\theta) \cong 0,125.$$

Din figura 11.3 rezultă

$$0^\circ \cong 41^\circ; \cos \theta = 0,76; U_0 \cong 167 \text{ V}; I_0 = \frac{U_0}{R_s} = 83,5 \text{ mA}; U_{inv M} = 220 + 167 =$$

$$= 387 \text{ V}; \gamma = \frac{\pi - \theta}{2\pi f C R_s} \cong 3,86\%.$$

11.11. $\eta = 81\%$ (A se urmări problema 11.7).

$$\textbf{11.12. } E_2 = n E_1 = 330 \text{ V}; U = \frac{R_s}{R_t + R_s} E_2; U = \frac{\pi U_0}{2} = 236 \text{ V}.$$

Rezultă:

$$R_t = \frac{R_s(E_2 - U)}{U} \cong 1 \text{ k}\Omega; R_t = \frac{R_t - r_2 - r_1 n^2}{2} = 486,4 \Omega.$$

$$11.13. F_1(\theta) = \operatorname{tg} \theta - \theta = \frac{\pi R_t}{2R_s}; R_t = 2R_t + r_2 + n^2 r_1 = 220 \, \Omega; F_1(\theta) = 0,172.$$

Din figura 11.3 rezultă

$$\theta = 45^\circ; U_0 = E_2 \cos \theta; U_0 = 17 \, \text{V}; I_0 = \frac{U_0}{R_s} = 8,5 \, \text{mA}; \gamma = \frac{\pi - 2\theta}{4\pi f C R_s} = 5\%.$$

$$11.14. U_0 = \frac{2U}{\pi}; U = \frac{R_s}{R_t + R_s} E_2; E_2 = nE_1 = 440 \, \text{V}; R_t = R_t + r_2 + n^2 r_1 = 113 \, \Omega.$$

Rezultă

$$U \cong 428 \, \text{V} \text{ și } U_0 \cong 272 \, \text{V}; \gamma = \frac{U_1}{U_0} (U_1 - \text{amplitudinea componentei fundamentale cu } f = 100 \, \text{Hz}); U_1 = \frac{4U}{3\pi} \cong 182 \, \text{V}; \gamma = 66,8\%; U_{inv M} \cong 2E_2 = 880 \, \text{V}.$$

$$11.15. I_0 = \frac{U_0}{R_s} = \frac{2U}{\pi R_s}; I_0 = \frac{2E_2}{\pi(R_t + R_s)}; I_M = \frac{2E_2}{R_t + R_s}.$$

Rezultă:

$$I_M = \pi I_0 = 214 \, \text{mA}.$$

$$11.16. F_1(\theta) = \operatorname{tg} \theta - \theta = \frac{\pi R_t}{2R_s} = 0,045; \text{ din graficul prezentat în figura 3 rezultă: } \theta \cong 28^\circ; \cos \theta = 0,88; U_0 \cong E_2 \cos \theta \cong 387,2 \, \text{V}; U_{inv M} \cong E_2(1 + \cos \theta) = 827,2 \, \text{V}; \gamma = \frac{\pi - 2\theta}{2\omega C R_s} \cong 3,5\%.$$

$$11.17. R_s = \frac{U'_0}{I_0} = 2,5 \, \text{k}\Omega. \text{ Din condiția pentru funcționarea normală a redresorului (vezi breviar) rezultă:}$$

$$L \geq \frac{R}{3\omega} = 2,65 \, \text{H}; \text{ se alege } L = 3 \, \text{H}; \text{ presupunind } R_t \cong 0, \gamma = \frac{2}{3} = 0,667; C = \frac{0,667 + \gamma'}{4\gamma'\omega^2 L} = 12,1 \, \mu\text{F}.$$

$$\text{Căderea de tensiune continuă la bornele bobinei } U_{L0} = 0,02 U'_0 = 2 \, \text{V}; \text{ valoarea maximă a rezistenței bobinei } R_L = \frac{U_{L0}}{I_0} = 50 \, \Omega.$$

$$11.18. U'_0 = \frac{R_s}{R_s + R_L} U_0 = U_0; U_0 = \frac{2U}{\pi} = \frac{2E_2}{\pi}; U_0 \cong 70 \, \text{V}; I_0 = \frac{U_0}{R_s} = 58,3 \, \text{mA}.$$

$$\text{Factorul de ondulație } \gamma' = \frac{\gamma}{4\omega^2 LC - 1}.$$

Pentru $R_t = 0$; $\gamma = 0,667$; $\gamma' = 2,8\%$; $I_M = \frac{U_0}{R_s} + \frac{U_1}{\sqrt{R_L^2 + \left(2\omega L - \frac{1}{2\omega C}\right)^2}}$

$U_1 = \gamma U_0 = 1,96 \text{ V}$, și $I_M \cong 59 \text{ mA}$.

11.19. $U'_0 = \frac{R_s}{R_s + R_L} U_0$; $U_0 = \frac{2U}{\pi}$; $U = \frac{R_s + R_L}{R_t + R_s + R_L} E_2$; $R_t = R_i + r_2 + n^2 r_1 = 126,4 \Omega$; $E_2 = nE_1 = 264 \text{ V}$; $U \cong 241 \text{ V}$.

Rezultă:

$U'_0 \cong 136 \text{ V}$; $I_0 = \frac{U'_0}{R_s} \cong 114 \text{ mA}$; $\gamma' = \frac{\gamma}{4\omega^2 LC - 1}$; $\gamma = \frac{2}{3} \left(1 + \frac{R_t}{R_s + R_L}\right) \cong 0,73$; $\gamma' \cong 4,94\%$; $U_1 = \gamma' U'_0 = 6,72 \text{ V}$.

11.20. $\theta^\circ = 45^\circ$; $\cos \theta = 0,707$; $F_1(\theta) = \frac{\pi R_t}{2(R_s + R_L)} = \tan \theta - \theta \cong 0,2$; $R_t = R_i + r_2 + n^2 r_1 \cong 100 \Omega$; se presupune neglijabile pierderile în transformator; rezultă

$R_s = 585 \Omega$; $U'_0 = R_s I_0 = 51,37 \text{ V}$; $U_0 = (R_s + R_L) I_0 = 58,9 \text{ V}$; $E_2 \cong \frac{U_0}{\cos \theta} \cong 83 \text{ V}$; $E_1 = \frac{E_2}{n} \cong 28 \text{ V}$.

Factorul de ondulație la intrarea în filtru

$$\gamma = \frac{\pi - 2\theta}{2\omega C(R_s + R_L)} \cong 12,7\%$$

Factorul de ondulație la ieșirea din filtrul LC este

$$\gamma' = \frac{\gamma}{4\omega^2 LC_0 - 1} \cong 0,56\%$$

11.21. În acest caz $F_1(\theta) = \frac{\pi R_t}{2(R_s + R_L + R_1)}$; rezultă $R_s = 385 \Omega$; $U'_0 = R_s I_0 \cong 29 \text{ V}$.

Factorul de ondulație la intrare în filtrul LC_0 este

$\gamma = \frac{\pi - 2\theta}{2\omega C(R_L + R_1 + R_s)} \cong 12,7\%$; factorul de ondulație al tensiunii redresate la ieșirea din filtrul LC_0 este

$$\gamma' = \frac{\gamma}{4\omega^2 LC_0 - 1} = 0,56\%$$

Factorul de ondulație al tensiunii redresate obținute pe sarcină este

$$\gamma'' = \frac{\gamma'}{2\omega C_1 R_1} = 0,45\%;$$

$$11.22. \gamma'_R = \frac{\gamma}{2\omega RC}; \gamma'_L = \frac{\gamma}{4\omega^2 LC - 1} \cong \frac{\gamma}{4\omega RC};$$

rezultă :

$$\gamma'_R = 2\gamma'_L.$$

11.23. Se face calculul considerându-se redresorul cu intrarea pe $C = 25 \mu F$ și $R_s = R_s + R_0 = 3,5 \text{ k}\Omega$. Se calculează $F_1(\theta) = \frac{\pi R_t}{2R'_s}$, unde $R_t = 2R_t + r_2 + n^2 r_1 = 530 \Omega$; $F_1(\theta) = 0,24$; din figura 3 se obține $\theta \cong 47^\circ$; $\cos \theta = 0,68$. Rezultă, la intrarea filtrului $R_0 C_0$: $U_e = E_2 \cos \theta = nE_1 \cos \theta \cong 300 \text{ V}$; $\gamma = \frac{\pi - 2\theta}{2\omega C R'_s} \cong 2,73\%$. Aceste mărimi, la ieșirea din filtrul $R_0 C_0$, vor avea valorile

$$U'_0 = \frac{R_s}{R_0 + R_s} U_0 \cong 214 \text{ V}; \gamma' = \frac{\gamma}{2\omega C_0 R_0} = 0,17\%.$$

11.24. Se determină U_0 la intrarea în filtrul $R_0 C_0$.

$$R_t = R_t + r_2 + n^2 r_1 = 124 \Omega;$$

În acest caz expresia funcției $F_1(\theta)$ este

$$F_1(\theta) = \frac{2\pi R_t}{R_s + R_0} = 0,071;$$

din figura 3 rezultă

$$\theta \cong 32^\circ; \cos \theta = 0,848; U_0 \cong 2E_2 \cos \theta \cong 746 \text{ V}; U'_0 = \frac{R_s}{R_s + R_0} U_0 \cong 678 \text{ V}; I_0 = \frac{U'_0}{R_s} = 67,8 \text{ mA}.$$

Factorul de ondulație la intrarea în filtrul $R_0 C_0$ este

$$\gamma = \frac{\pi - \theta}{\omega C (R_s + R_0)} \cong 3\%;$$

rezultă factorul de ondulație la ieșirea din filtru

$$\gamma' = \frac{\gamma}{2\omega R_0 C_0} \cong 0,19\%; U_{inv M} \cong E_2(1 + \cos \theta) \cong 813 \text{ V}.$$

⊗ Stabilizatoare de tensiune

11.25. $U_z = \frac{P_{dz}}{I_{zM}} = 10 \text{ V}$. Expresiile tensiunii maxime, respectiv minime, la intrare, sînt :

$$U_{1m} = R(I_{sM} + I_{zm}) + U_z;$$

$$U_{1M} = R(I_{sm} + I_{zM}) + U_z.$$

Rezultă :

$$I_{sM} = \frac{U_{1m} - U_Z - RI_{zm}}{R} = 26 \text{ mA};$$

$$I_{sm} = \frac{U_{1M} - U_Z - RI_{zM}}{R} = 21 \text{ mA}.$$

$\Delta I_Z = I_{zM} - I_{zm} = 17 \text{ mA}$; variația tensiunii la ieșirea stabilizatorului $\Delta U_Z = R_Z \Delta I_Z = 0,136 \text{ V}$.

11.27. Se alege dioda DZ 309-IPRS ($U_Z = 9 \text{ V}$; $I_{zM} = 100 \text{ mA}$; $I_{zm} = 5 \text{ mA}$; $R_Z = 25 \Omega$). Tensiunea U_1 se alege din condiția $U_1 \cong 2U_Z = 18 \text{ V}$ pentru a se asigura un bun factor de stabilizare a tensiunii pe sarcina R_s ; rezultă :

$$U_{1M} = 20,7 \text{ V} ; U_{1m} = 15,3 \text{ V}.$$

Se calculează :

$$R_{sm} = \frac{U_s}{I_{sm}} = 180 \Omega ; R_{sM} = \frac{U_s}{I_{sM}} = 450 \Omega$$

și rezistența de limitare [folosind relația (15)] :

$$R = \frac{U_1 \left(1 + \frac{\alpha}{100}\right) - U_Z}{I_{sm} + I_{zM}} = \frac{U_{1M} - U_Z}{I_{sm} + I_{zM}} = \frac{11,7}{120 \cdot 10^{-3}} = 97,5 \Omega.$$

Se alege $R = 100 \Omega$ și se verifică că $R_m < R < R_M$:

$$R_m = \frac{U_{1M} - U_Z - R_Z I_{zM}}{I_{zM} \left(1 + \frac{R_Z}{R_{sM}}\right) + \frac{U_Z}{R_{sM}}} \cong 73,3 \Omega ;$$

$$R_M = \frac{U_{1m} - U_Z - R_Z I_{zm}}{I_{zm} \left(1 + \frac{R_Z}{R_{sm}}\right) + \frac{U_Z}{R_{sm}}} \cong 110 \Omega.$$

Se află $P_R = (I_{sm} + I_{zM})^2 R = 1,44 \text{ W}$.

Rezistența de ieșire a stabilizatorului este :

$$R_{ies} = \frac{R_Z R}{R_Z + R} = 20 \Omega.$$

$$\mathbf{11.28.} \quad I_{zM} = \frac{P_{dZ}}{U_Z} = 38,9 \text{ mA} ; I_{zm} = \frac{U_{1M} - U_Z}{R} ; R = \frac{U_{1M} - U_Z}{I_{zM}} = 107 \Omega. \text{ Se alege}$$

o rezistență mai mare ca 107Ω .

11.31. Datele pentru tranzistorul AC 181 se iau din catalog, Z_1 este formată din două diode DZ 310 în serie. Datele diodei DZ 310 ; $U_Z = 10 \text{ V}$; $I_{zm} = 5 \text{ mA}$; $I_{zM} = 100 \text{ mA}$.

Rezistența R_2 trebuie să asigure curentul I_{Zm} prin diode cînd tensiunea la intrare este U_{1m} :

$$R_{2M} = \frac{U_{1m} - 2U_Z}{I_{Zm}} = 1,4 \text{ k}\Omega; \text{ se alege } R_2 = 1,2 \text{ k}\Omega.$$

Curentul maxim ce trece prin dioda Zener

$$I_{ZM} = \frac{U_{1M} - 2U_Z}{R_2} = 11,7 \text{ mA}.$$

Rezistența R_1 limitează puterea disipată pe tranzistor. Ea se determină din relația:

$$R_1 = \frac{U_{1M} - U'_2 - U_{CEM}}{I'_s},$$

unde U_{CEM} este tensiunea maximă colector-emitor a tranzistorului T_1 , care se admite, iar I'_s — curentul de colector a acestui tranzistor. Acest curent este $I'_s = I_s + I_{Z2} \geq 35 + 40 = 75 \text{ mA}$. Se alege $I'_s = 42 \text{ mA}$ și $U_{CEM} = 8 \text{ V} \leq 16 \text{ V}$ (valoarea din catalog). Deci rezultă:

$$U'_2 = 2U_Z - U_{BE} \cong 2U_Z$$

și

$$R_1 \cong 140 \Omega.$$

La fel se calculează etajul următor, considerînd că tensiunea de intrare este U'_2 și curentul I'_s se divizează pe sarcină și prin Z_2 care se alege cu tensiunea nominală $U_{Z2} = 10 \text{ V}$ și $I_{Z2} = 7 \text{ mA}$.

11.32. Semnalul de eroare care comandă tensiunea bazei tranzistorului regulator este în prealabil amplificat. În cazul introducerii între ieșirea stabilizatorului și intrarea tranzistorului regulator a unui amplificator de curent acest lucru va fi echivalent cu mărirea factorului de amplificare al tranzistorului regulator, deci cu mărirea factorului de stabilizare. Dacă tensiunea pe sarcină crește, crește tensiunea de negativare în baza lui T_2 ; curentul de bază al acestuia crește; la fel va crește și curentul de colector; va crește polarizarea bazei lui T_1 , scade i_B , deci scade curentul de emitor al lui T_1 , care este echivalent cu curentul de sarcină și deci scade tensiunea la bornele rezistenței de sarcină.

11.33. $B = \frac{I_{sM} + I_{Zm}}{I_{sm} + I_{ZM}}$. Se alege dioda DZ 309 ($U_Z = 9 \text{ V}$; $I_{ZM} = 100 \text{ mA}$; $I_{Zm} = 5 \text{ mA}$; $R_Z = 25 \Omega$).

Rezultă:

$$B = 0,417; E = \left(1 - \frac{\beta}{100}\right) - \left(1 + \frac{\alpha}{100}\right)B = 0,32; E > 0, \text{ dioda corespunde } U_1 \cong 2U_Z = 18 \text{ V},$$

$$R = \frac{U_1 \left(1 + \frac{\alpha}{100}\right) - U_Z}{I_{sm} + I_{ZM}} = 97,5 \Omega. \text{ Se alege } R = 100 \Omega.$$

Puterea maximă disipată de rezistența R este :

$$P_R = (I_{sM} + I_{zM})^2 R = 1,44 \text{ W};$$

$$\text{factorul de stabilizare } F \cong \left(\frac{R + R_r}{R_Z} + 1 \right) \frac{U_Z}{U_1} = 2,8;$$

se determină rezistența de ieșire a stabilizatorului

$$R_{ies} = \frac{R_Z(R + R_r)}{R_Z + R + R_r} = 20,5 \Omega.$$

11.34. Condensatoarele C_1 și C_2 sînt condensatoare cu tantal și au rolul de a evita apariția unor oscilații parazite atunci cînd la ieșirea stabilizatorului se conectează sarcina, care este de obicei un aparat electronic. Condensatorul C_3 are același rol, prin eliminarea unei reacții parazite ce poate duce la apariția unor oscilații parazite a schemei stabilizatorului integrat.

Se verifică că $\frac{U_s}{R_1} = 50 \text{ mA} > 3I_Q = 36 \text{ mA}$. În aceste condițiuni domeniul de reglaj

$$\text{al tensiunii } U_v \text{ este } \frac{U_{vM}}{U_{vm}} = \frac{R_1 + R_2}{R} = 2; \text{ mai exact, } U_{vM} = U_s \left[1 + \frac{R_2}{R_1} \right] + I_Q R_2 =$$

$$= 11,2 \text{ V}, U_{vm} = 5 \text{ V} \text{ și } \frac{U_{vM}}{U_{vm}} = 2,24; \text{ avînd în vedere că } U_{12m} \cong 2,5 \text{ V (vezi datele}$$

de catalog) și ținînd seama de eventualele variații ale tensiunii U_1 (obținute prin redresare de la rețea) se alege $U_1 = 1,1 (U_{vM} + U_{12m}) \cong 15 \text{ V}$ (coeficientul 1,1 ține seama de variațiile tensiunii de rețea). În aceste condițiuni $U_{12M} \cong U_1 - U_{vm} = 10 \text{ V}$, ceea ce corespunde cu datele de catalog.

11.35. Se alege circuitul integrat de tip LM 340 - 08, cu $U_s = U_{vm} = 8 \text{ V}$; $I_{sM} = 1 \text{ A}$; $I_Q = 7 \text{ mA}$; $U_{12m} = 2,5 \text{ V}$ și $U_{12M} = 17 \text{ V}$. Se află din relația (17) $R_1 < \frac{U_s}{3I_Q} = \frac{5}{21} 10^3 =$

$$= 238 \Omega. \text{ Se alege } R_1 = 200 \Omega. \text{ Din relația (18) } \frac{R_1 + R_2}{R_1} = 1,5; \text{ se obține } R_2 = 100 \Omega.$$

Se află $U_{vM} = 12,7 \text{ V}$ și $U_1 = 1,1 (U_{vM} + U_{12m}) \cong 17 \text{ V}$. În aceste condițiuni $U_{12M} = U_1 - U_{vm} = 9 \text{ V} \leq 17 \text{ V}$.

11.36. Se va folosi schema de stabilizator de curent din figura 11 cu circuitul integrat de tip LM 341 - 5,0 cu $U_s = 5 \text{ V}$, $I_{sM} = 0,5 \text{ A}$, $I_Q = 7 \text{ mA}$, $U_{12m} = 2,2 \text{ V}$, $U_{12M} = 20 \text{ V}$. Din relația (19) se află pentru $I_s = 50 \text{ mA}$, $R_1 = U_s / I_s = 100 \Omega$. Pentru a determina tensiunea U_1 se pleacă de la faptul că ansamblul de acumulatele la terminarea procesului de încărcare trebuie să aibe $U_2 = 15 \text{ V}$. În aceste condițiuni $U_1 = 1,1 (U_2 + U_s + U_{12m}) \cong$

$$\cong 25 \text{ V} \text{ și } U_{12M} = U_1 - U_s - U_{2m} = 25 - 5 - 12 = 8 \text{ V} \leq 20 \text{ V}.$$

11.37. Se consideră pentru simplificare un transformator avînd număr egal de spire în primar și secundar ($n_1 = n_2 = n$). Dacă S_{fer} este suprafața ferestrei (m^2), iar S_f secțiunea în miez (m^2), se obține utilizînd relația (21)

$$S_f = \frac{4}{3} S_{fer} = \frac{4}{3} n\pi d^2 = \frac{4}{3} n\pi 1,13^2 \frac{I_1}{J} 10^6.$$

Deoarece $n = U_1/n_v$, iar n_v este dat de relația (22), se obține în final $S_f \cong 10^{-3} \sqrt{\frac{P}{f}}$ (m^2).

11.38. Din $4a^2(m^2) = 10^{-3} \sqrt{\frac{P}{f}}$ rezultă:

$$a \text{ (cm)} = 0,595 \sqrt[4]{P(VA)}.$$

11.39. Se alimentează un transformator de la rețeaua de 220 V, avînd ca sarcină secundarul celui de al doilea transformator, care în aceste condiții realizează în înfășurarea primară tensiunea de 220 V la care se poate, fără dificultate, asigura o sarcină de 200 VA.

11.40. Rezultă $n = \sqrt{\frac{45}{5}} = 3$.

11.41. În funcție de sensul inserierii, n_2/n_1 sau zero.

11.42. Conform problemei 11.38: $a \text{ (cm)} = 0,595 \sqrt[4]{P(VA)} \cong 1,4 \text{ cm}$. Se alege tola E-14. Din relația (18), pentru $B_M = 0,8T$ rezultă $n_v = 7,182 \text{ sp/V}$ și $n_1 = n_v \cdot 0,95 \cdot 220 = 1501 \text{ sp}$, $n_2 = n_v \cdot 1,05 \cdot 24 = 181 \text{ sp}$. Dacă $\eta_T = 0,95$ rezultă $P_1 = 31,58 \text{ VA}$ și curentul prin primar $I_1 = \frac{P_1}{U_1} = 0,144 \text{ A}$. La o densitate de curent de 2 A/mm^2 se alege $d_1 = 0,35 \text{ mm}$. Similar, pentru secundar $I_2 = 1,25 \text{ A}$ și $d_2 = 0,9 \text{ mm}$. Dacă sîrma este cupru-email, conform tabelului (11.1), $q_1 = 592 \text{ sp/cm}^2$, $q_2 = 101 \text{ sp/cm}^2$, ocupă suprafața $S = n_1/q_1 + n_2/q_2 = 4,32 \text{ cm}^2$. Suprafața ferestrei este $3a^2 = 5,88 \text{ cm}^2$, ceea ce ținînd seama de prezența carcasei bobinajului este corespunzător.

11.43. $P_2 = 3 \text{ VA}$, $P_1 = 3,16 \text{ VA}$ ($\eta_T = 0,95$); se alege tola E-8, $n_v = 22 \text{ sp/V}$ (pentru $B_M = 0,8T$). Se obține: $n_1 = 4598 \text{ spire}$, $n_2 = 231 \text{ spire}$, conductor cupru-email pentru $J = 2 \text{ A/mm}^2$; $d_1 = 0,1 \text{ mm}$, $q_1 = 5700 \text{ sp/cm}^2$, $d_2 = 0,45 \text{ mm}$, $q_2 = 368 \text{ sp/cm}^2$. Secțiunea ocupată de conductoare este $S = 1,44 \text{ cm}^2$, în raport cu fereastra de $1,92 \text{ cm}^2$.

Coli de tipar 30.500. B.T. 16.02.1982.
Format 12,61×86. Apărut 1982.

I. P. „Oltenia” Craiova
Str. M. Viteazul nr. 4
Republica Socialistă România
Plan 7059/244/1981

